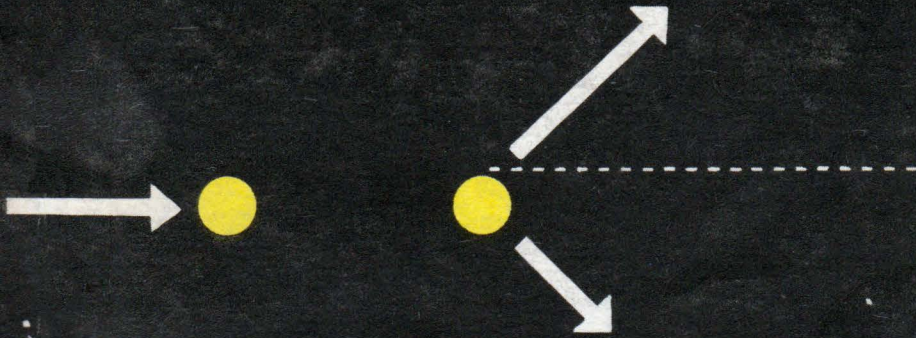


**CURSUL DE FIZICĂ**  
**BERKELEY**

• VOLUMUL I •

**MECANICĂ**







# **CURSUL DE FIZICĂ**

**Berkeley**

VOLUMUL I

CURSUL DE FIZICĂ

# **MECHANICS**

VOLUME 1

*Berkeley Physics Course Volume 1, Second Edition*



---

# **CURSUL DE FIZICĂ**

# **BERKELEY**

• VOLUMUL I •

**Charles Kittel**

Profesor de fizică la Universitatea  
Berkeley, California

**Walter D. Knight**

Profesor de fizică la Universitatea  
Berkeley, California

**Malvin A. Ruderman**

Profesor de fizică la Universitatea  
New York

Revizuită de:

**A. Carl Helmholz**

Profesor de fizică la Universitatea  
Berkeley, California

**Burton J. Moyer**

Decanul Colegiului de Arte Libere,  
Universitatea Eugene, Oregon



EDITURA DIDACTICĂ ȘI PEDAGOGICĂ, BUCUREȘTI — 1981

# CURSUL DE FIZICA

*Traducerea:* dr. **ANDREI IONESCU** (cap. 1—4)

cercetător dr. **IRINEL CAPRINI** (cap. 5—8 și cap. 9 până la *Orbite: ecuația și excentricitatea*)

cercetător dr. **VLADIMIR PROTOPODESCU** (cap. 9 de la *Orbite: ecuația și excentricitatea*, cap. 10—14 și *Anexa*).

*Redactor:* prof. **ELISABETA MESAROȘ**

*Tehnoredactor:* **VIORICA CONDOPOL**

*Coperta:* **V. WEGEMANN**

Copyright (c) 1973 by Mc Graw-Hill, Inc. All right reserved. Printed in the United States of America. No part of this publication may be reproduced, stored in a retrieval system, or transmitted, in any form or by any means, electronic, mechanical, photocopying, recording or otherwise, without the prior written permission of the publisher.



# Cuprins

Prefață la versiunea în limba română .....	7
Cuvînt înainte .....	9
Prefață la ediția a doua a volumului întâi .....	10
Prefața originală la Cursul de fizică Berkeley .....	11
Îndrumări metodice .....	13
Îndrumări pentru cititor .....	17
Notății .....	18
1. Introducere .....	21
2. Vectori .....	43
3. Legile newtoniene ale mișcării .....	77
4. Sisteme de referință: transformarea galileeană .....	121
5. Conservarea energiei .....	157
6. Conservarea impulsului .....	195
7. Oscilatorul armonic: proprietăți și exemple .....	225
8. Introducere în dinamica corpurilor rigide .....	263
9. Forțe invers proporționale cu pătratul distanței .....	291
10. Viteza luminii .....	321
11. Relativitatea restrînsă: transformarea Lorentz .....	345
12. Dinamica relativistă: impulsul și energia .....	369
13. Probleme de dinamică relativistă .....	393
Anexe .....	428
Lista filmelor .....	430
Tabel de valori .....	435
Index .....	439





## Prefață la versiunea în l. română

Scrierea unui curs bun de fizică generală este astăzi o sarcină deosebit de grea. Autorii sînt confrunțați cu necesitatea de a face numeroase opțiuni în materie de conținut, metodică și formă, de atitudine, atît față de progresele fizicii cit și față de cei ce se inițiază în tainele ei. O întrunire adecvată a acestor opțiuni poate avea ca rezultat un material cu valoare de referință ce se va bucura de o largă circulație. Dimpotrivă, o alegere necorespunzătoare a mijloacelor poate să îngreuneze, dacă nu să dăuneze, înțelegerii și însușirii disciplinei. La originea acestei situații se află, desigur, dezvoltarea foarte rapidă a cercetării științifice de fizică. Volumul de informații crește continuu, iar importanța relativă a multor fapte se schimbă. Aceasta creează greutăți în selectarea corectă a elementelor și noțiunilor de bază, proces care nu poate fi realizat prin simple adăugiri și eliminări, ci necesită o muncă de analiză și sinteză, de evaluare și ordonare. În același timp, ritmul rapid de acumulare face ca ceea ce astăzi este surprinzător și de avangardă, mîine să apară ca vechi și uneori depășit. Asimilarea într-un curs universitar a noutăților științifice trebuie făcută astfel încît modificările ulterioare să conserve, pe o perioadă cit mai îndelungată, structura logică și valoarea de cunoaștere a faptelor expuse. Imaginea pe care cursul sau manualul de fizică ține să o creeze în conștiința studentului este aceea a unei științe a naturii solid constituite și, totodată, orientată mereu spre progres.

Întregul proces de instruire este de fapt supus acestor exigențe, iar numeroasele căutări din întreaga lume privind organizarea și modernizarea predării fizicii reflectă tocmai conștiința că soluțiile actuale pot fi, în continuare, îmbunătățite.

Modul de organizare și orientare a procesului de învățămînt năzuiește spre formarea unor specialiști cu o gîndire sistematică și, totodată, independentă și creatoare. Se știe că învățămîntul strict expozitiv-deductiv, cu pretenția de a da enunțuri definitive unor constatări valabile în general numai pentru cazuri idealizate, determină formarea unor specialiști limitați, incapabili să vadă dincolo de litera cărții. Claritatea și logica internă a unei cărți nu este contradictorie cu deschiderea sa către faptele reale, care nu pot fi tratate în general exact, putînd fi în schimb modelate din ce în ce mai adecvat. De aceea, aprecierea valorii unui curs de fizică generală trebuie făcută nu numai din punctul de vedere al clarității faptelor prezentate ci, în egală măsură, prin deschiderea pe care o oferă înțelegerii fenomenelor complexe în interdependență.

Aplicarea cit mai eficientă a unor asemenea criterii de orientare și evaluare a materialului didactic constituie o preocupare permanentă a învățămîntului din țara noastră, angajat într-un proces de continuă perfecționare, în pas cu exigențele progresului și în acord cu condițiile deosebite create de statul nostru învățămîntului și cercetării științifice. O serie de cărți de fizică de bună calitate apărute în ultimii ani demonstrează concret rezultatele acestei preocupări. În acest sens, traducerea în limba română a cursului de fizică al Universității din Berkeley poate constitui o contribuție exemplară.

Cursul, apărut în cinci volume, conține lecțiile de fizică generală pentru studenții anilor I-II de la Universitatea Berkeley — SUA. Între autori am recunoscut cu plăcere fizicieni

ale căror înaltă competență și autoritate profesională de cercetători le-am putut aprecia din experiența contactelor și colaborării directe.

De data aceasta, specialiști ca Knight, Kittel, Pound, Purcell și alții sînt, în primul rînd, profesori. Scopul lor mărturisit este de a prezenta un ciclu de lecții care să permită atît formarea gîndirii fizice cît și însușirea noțiunilor de bază ale acestei științe. Cele cinci volume — mecanica, electricitatea, oscilații și unde, fizica cuantică, fizica statistică — nu constituie unități închise, fiind legate unele de altele prin exemple interesante care se referă la fenomene ce urmează a fi prezentate sau prin referiri la legi și noțiuni discutate anterior. Dezvoltarea cursului se face din aproape în aproape, într-o succesiune firească. Nivelul matematic este accesibil, redus la strictul necesar, în centrul atenției autorilor aflîndu-se explicația sensului fizic al fenomenelor. Se realizează astfel o tratare clară, modernă și unitară a întregului ansamblu al ideilor de bază ale fizicii.

Fiecare volum posedă un material de metodică a predării capitolului respectiv, destinat profesorului cit și unele recomandări ale autorilor către student. Prefetele volumelor dau lămuriri complete asupra conținutului și metodicii. Se scoate astfel în evidență atenția cu care aceste lucrări au fost elaborate, reprezentînd și sub acest aspect un model de lucru care poate fi studiat cu folos și la noi în țară.

Cu toate că materia prezentată în fiecare volum se propune a fi predată într-o perioadă scurtă de timp (8—14 săptămîni), spațiul alocat este suficient pentru ca studentul să poată efectua un studiu individual. În acest scop sînt indicate lucrări bibliografice, sînt date exerciții și probleme și sînt expuse și propuse spre efectuare o serie de experimente pentru acasă. Se încearcă și se reușește, să se aducă „acasă” fizica studiată la facultate.

Pe baza experienței dobîndite în mai mulți ani de predare, cursul a suferit modificări care i-au îmbunătățit conținutul și au permis aducerea lui la o formă cit mai adecvată, didactic și științific.

Dacă se ține seama de faptul că în cadrul programului Berkeley a fost pus la punct și un set de lucrări de laborator, se poate aprecia că acest curs este bine echilibrat, cuprinzînd atît aspectele teoretice cît și cele experimentale esențiale în predarea fizicii generale.

Sînt sigur că lucrarea va fi mult folosită de toți cei care fac primii pași în însușirea meseriei de fizician reprezentînd, alături de alte traduceri și tratate scrise de specialiști români, o carte de referință. Consider că Editura didactică și pedagogică face, prin publicarea traducerii acestui curs, un serviciu real învățămîntului de fizică, precum și învățămîntului tehnic, în general, din țara noastră.

acad. prof. Ioan Ursu



## Cuvînt înainte

Una dintre problemele urgente ce confruntă astăzi universitățile este aceea a învățămîntului studențesc. Pe măsură ce cercetarea științifică devine din ce în ce mai importantă în facultate, un „rabat subtil la procesul de învățămînt“ (pentru a-l cita pe filozoful Sidney Hook) are loc mult prea adesea. În plus, în multe domenii, conținutul și structura în schimbare a cunoștințelor ca rezultat al cercetării științifice a creat nevoia unei revizii generale. Acest fapt este desigur adevărat și pentru știința fizicii.

Este, astfel, o plăcere să contribuim cu un cuvînt înainte la Cursul și Laboratorul de fizică Berkeley, care constituie o majoră îmbunătățire a programei universitare destinată a reflecta fantastica revoluție realizată în fizică în ultimii o sută de ani. Acest curs reflectă eforturile multor fizicieni care lucrează în domenii de vîrf ale cercetării și s-a bucurat de sprijinul Fundației Naționale de Știință, printr-o donație către compania Serviciile Educaționale. Cursul a fost verificat cu succes în cadrul orelor de fizică la anii mici ai Universității din California, Berkeley, pe o perioadă de cîteva semestre. Cursul reprezintă un progres educațional marcant și eu sper că va fi folosit pe scară largă.

Universitatea din California este fericită de a fi gazda grupului interuniversitar responsabil pentru elaborarea acestui nou curs și laborator și bucuroasă că un număr de studenți, de la Berkeley, s-au oferit să ajute la testarea lui. Apreciem mult sprijinul financiar al Fundației Naționale de Știință și cooperarea cu compania Serviciile Educaționale. Poate grațitudinea cea mai mare trebuie să o avem față de interesul viu manifestat pentru învățămîntul studențesc de un număr substanțial de membri ai Universității din California ce au participat la îmbunătățirea acestei programe. Tradiția savantului dascăl este veche și de onoare; munca dăruită acestui nou curs și laborator de fizică arată că tradiția mai este încă onorată la Universitatea din California.

Clark Kerr

## Prefață la ediția a doua a volumului întâi

Volumul 1 al cursului de fizică de la Berkeley a fost utilizat în forma legată timp de aproape șapte ani. Acum cîțiva ani s-a considerat necesară o revizie. Pînă în acel moment, fiecare dintre noi predase acest curs la Berkeley de cîteva ori și pe baza experienței proprii precum și a discuțiilor cu colegii, atît de la Berkeley cît și de la alte instituții, am studiat și operat modificările necesare pentru a-l face mai „didactic” pentru studenții de la fizică și inginerie. Astfel s-a trecut la această revizuire.

Am încercat să păstrăm modul direct de abordare ce era caracteristic întregului curs de fizică de la Berkeley, folosirea unor exemple luate din laboratoarele de cercetare precum și prezentarea unor subiecte interesante ce fuseseră adesea considerate prea avansate pentru un curs introductiv. Am scos cîteva dintre Temele avansate din volumul 1 precum și capitolul 15 „Particulele fizicii moderne”, cu credința că ele nu sînt des folosite într-un curs de acest nivel. Modificarea cea mai mare a constat în rescrierea completă a capitolului 8: „Mișcarea corpului rigid”. Deși acum acest capitol are un caracter mult mai pămîntean el este mai potrivit cu nivelul studenților. Ordinea de prezentare a subiectelor a rămas aceeași cu excepția capitolelor 3 și 4 care au fost interschimbate, în speranța că o anumită familiarizare a studentului cu aplicațiile obișnuite ale legilor Newtoniene ale mișcării va pune bazele unei mai bune înțelegeri a conceptului întrucîtva mai avansat al transformărilor Galileene. În sfîrșit, deoarece studenții au întîmpinat substanțiale dificultăți cu aparatul matematic, în special cu ecuațiile diferențiale, am adăugat un număr de note matematice.

Îndrumările metodice care urmează vor detalia modul de utilizare a acestei cărți ca manual. Există încă mai mult material decît cel necesar pentru un curs de un semestru sau de un pătrar. Cel care predă trebuie să facă o alegere judicioasă a materialului pe care dorește să-l utilizeze. În ultimii ani, trecerea la Berkeley la sistemul pătrarelor a făcut, din nefericire, necesară separarea lucrărilor de laborator de materia din primul pătrar cînd se studiază mecanica. Un curs introductiv trebuie să fie legat de laborator și revederea Laboratorului de fizică Berkeley de Alan Portis și Hugh Young ne oferă lucrări de laborator valoroase pentru orice introducere în mecanică.

Am beneficiat de ajutorul și critica multor colegi. În mod special, remarcăm ajutorul d-rei Miriam Machlis în pregătirea acestei revizui.

A. Carl Helmholtz  
Burton J. Moyer



## Prefața originală la cursul de fizică Berkeley

Acesta este un curs general de fizică de doi ani pentru studenții ce urmează științele și ingineria. Intenția autorilor a fost de a prezenta elementele de fizică, pe cât posibil, în modul în care sînt folosite de către fizicienii ce lucrează pe fronturi înaintate ale domeniului lor. Ne-am gîndit să facem un manual care să scoată în evidență fundamentele fizicii. Obiectivele noastre particulare au fost de a introduce, în mod coerent, într-o programă elementară ideile relativității restrinse, fizicii cuantice și ale fizicii statistice.

Acest curs se adresează oricărui student ce a urmat un curs de fizică în liceu. În paralel cu acest curs ar trebui urmat un curs de matematică incluzînd calculul diferențial și integral.

În momentul de față<sup>1</sup>, în Statele Unite, se află în lucru citeva noi cursuri universitare de fizică. Ideea de a elabora cursuri noi aparține multor fizicieni afectați atît de nevoile dezvoltării științei și ingineriei cît și de accentul crescînd pus pe studiul științelor în școala generală și în liceu. Propriul nostru curs a fost inițiat ca urmare a discuției ce a avut loc la sfîrșitul anului 1961 între Philip Morrison de la Universitatea Cornell și Charles Kittel. Am fost încurajați de către John Mays și colegii săi de la Fundația Națională de Știință și de către Walter C. Michels, pe atunci președintele Comisiei de fizică universitară. S-a format un comitet neoficial care să îndrume elaborarea cursului în etapele inițiale. Comitetul a fost alcătuit, la început, din Luis Alvarez, William B. Fretter, Charles Kittel, Walter D. Knight, Philip Morrison, Edward M. Purcell, Malvin A. Ruderman și Jerrold R. Zacharias. Comitetul s-a întrunit pentru prima dată în mai 1962, la Berkeley; la acea dată, a elaborat un plan provizoriu al noului curs de fizică. Din cauza obligațiilor unora dintre membrii inițiali, comitetul a fost parțial reconstituit în ianuarie 1964 și acum constă din subsemnații. Contribuțiile celorlalți au fost recunoscute în prefețele la volumele individuale.

Planul provizoriu și ideea care a stat la baza elaborării lui au avut o puternică influență asupra cursului final. Planul a acoperit în întregime temele și deprinderile care credem că ar trebui și ar putea fi însușite de către studenții începători în studiul științei și ingineriei. N-am avut niciodată intenția să elaborăm un curs adresat numai absolvenților sau studenților avansați. Ne-am gîndit să prezentăm principiile fizicii din puncte de vedere noi și unificatoare. De aceea părți ale acestui curs pot părea aproape tot atît de noi, atît pentru cel care instruește cît și pentru cel instruit. Cele cinci volume ale cursului vor include:

- I Mecanica (Kittel, Knight, Ruderman)
- II Electricitate și Magnetism (Purcell)
- III Unde (Crawford)
- IV Fizica cuantică (Wichmann)
- V Fizica statistică (Reif)

Autorii fiecărui volum au fost liberi să-și aleagă stilul și metoda de prezentare potrivite subiectului elaborat.

<sup>1</sup> în ianuarie 1965 (N.T.)

Activitatea de început la acest curs l-a condus pe Alan M. Portis să conceapă un nou laborator de fizică generală denumit acum Laboratorul de fizică Berkeley. Deoarece cursul scoate în evidență principiile fizicii, unor profesori li s-ar putea părea că el nu se ocupă îndeajuns de fizica experimentală. Laboratorul este bogat în experiențe importante și contrabalansează cursul.

În vederea apariției acestui curs, sprijinul financiar a fost dat de Fundația Națională de Știință cu un aport indirect din partea Universității din California. Fondurile au fost administrate de către compania Serviciile Educaționale, o organizație constituită pentru a administra îmbunătățirea programelor generale. Sîntem în mod special îndatorați lui Gilbert Oakley, James Aldrich și William Jones, toți de la Serviciile Educaționale, pentru sprijinul lor substanțial și binevoitor. Serviciile Educaționale au deschis la Berkeley, sub competența direcției a d-nei Mary R. Maloney, un oficiu pentru a ajuta la dezvoltarea cursului și a laboratorului. Universitatea din California nu a avut o legătură oficială cu programul nostru dar ne-a ajutat în diferite moduri. Pentru acest ajutor dorim să mulțumim în special celor doi președinți consecutivi ai Departamentului de fizică, August C. Helmholtz și Burton J. Moyer; cadrelor didactice și personalului departamentului; lui Donald Coney și multor alora din Universitate. Abraham Olshen ne-a ajutat mult în problemele inițiale de organizare.

Corecturile și sugestiile dumneavoastră vor fi întotdeauna bine primite.

Eugene D. Commins  
Frank S. Crawford, Jr.  
Walter D. Knight  
Philip Morrison  
Alan M. Portis

Edward M. Purcell  
Frederick Reif  
Malvin A. Ruderman  
Eyvind H. Wichmann  
Charles Kittel, președinte

Berkeley, California  
ianuarie 1965



## Îndrumări metodice

Scopul acestui volum este de a fi utilizat ca manual. Nivelul său este cel al unor studenți care au învățat și continuă învățarea analizei matematice și care au urmat un curs de fizică în liceu. La Universitatea Berkeley din California studenții de la fizică și inginerie încep analiza în primul pătrar din anul I și o continuă în paralel cu acest curs în pătrarul al doilea. Ei vor fi făcut deja calculul diferențial până la începutul cursului de fizică și vor ajunge la integrală cel mai târziu până la mijlocul celui de-al doilea pătrar. Asemenea programare strinsă cere o foarte bună cooperare cu cei ce predau cursul de matematică. Desigur, ei nu vor fi studiați încă ecuațiile diferențiale și astfel câteva cunoștințe privind soluțiile unor forme simple de ecuații diferențiale au fost introduse în notele matematice de la sfârșitul capitolelor 3 și 7. Sînt destul de puține tipuri de ecuații ce trebuie rezolvate într-un astfel de curs de mecanică și noi credem că studentul le poate învăța pe fiecare.

Profesorul va constata că lista filmelor a fost pusă în întregime la sfârșitul cărții și nu la sfârșitul fiecărui capitol. Scrisoarea Comisiei pentru resursele fizicii universitare constituie o listă de filme completă. Au fost evidențiate îndeosebi acelea ce par potrivite cu subiectul mecanicii. În ultimii ani s-au făcut numeroase filme. Unele dintre acestea sînt folositoare ca scurte ilustrații pentru anumite subiecte speciale; fiecare profesor le va găsi pe acelea ce îi sînt mai potrivite pentru predare.

Deși problemele introduse în această ediție sînt, în cea mai mare parte, mai ușoare decît cele pe care le-au înlocuit, n-am introdus probleme foarte simple sau probleme de simplă înlocuire în formulă. Unele dintre acestea sînt folositoare studentului pentru că îi dau o oarecare încredere în el. Noi credem că fiecare profesor poate să-și elaboreze singur asemenea probleme sau măcar să le găsească în cărți. Nu sînt doi profesori care vor voi să predea cursul de mecanică în exact același mod, și folosirea unor probleme speciale le oferă o bună ocazie de diversificare. De asemenea, acum există câteva culegeri de probleme folositoare. Unele dintre ele, precum și alte cărți de mecanică la acest nivel, sînt prezentate în anexă.

Există desigur mai multe modalități de utilizare a cărții ca manual. Unul din modurile în care ediția întâi se pare că a fost mai rar utilizată, dar pentru care noi credem că s-ar putea găsi o bună întrebuintare întregii cărți, este folosirea sa în cadrul unui curs de mecanică ce ar urma unui an de facultate fără analiză matematică, așa cum se prezintă situația în institutele mai mici ce nu au posibilitatea ținerii și a unui curs introductiv fără analiză și a unui curs cu analiză. La un asemenea curs, ce poate fi predat studenților din anii doi sau trei, poate fi acoperită întreaga carte deoarece multe subiecte vor fi fost incluse într-o formă mai puțin avansată în primul an.

Ca parte introductivă obișnuită a unui curs de fizică generală, această carte conține prea mult material, și noi îl implorăm pe profesor să se abțină de a încerca să acopere totul. Multe cursuri introductive nu includ relativitatea restrînsă, astfel încît primele două capitole constituie o introducere coerentă în mecanica clasică. Dar chiar și acest material, dacă cineva ar încerca să-l acopere în întregime, ar fi prea mult pentru un curs de nouă sau zece săptămă-



mini sau o fracțiune de semestru cit se acordă de obicei mecanicii. Vom da, astfel, mai jos, câteva sugestii pentru o acoperire minimă a capitolelor. Cîteodată, nu este de dorit includerea unor probleme de electricitate sau de magnetism într-un curs de inițiere. Credem că manualul poate fi folosit în acest sens dar este totuși adevărat că mulți studenți consideră problemele de electricitate foarte interesante. Mulți profesori nu au „obraznicia” de a reduce din material. Propria noastră experiență ne spune că este de preferat să acoperim bine un anumit material decît să predăm superficial mai mult material. Paragrafele cu un conținut mai avansat și Temele avansate ar trebui să ofere studenților buni ceva cu care să-și încerce capacitățile iar studenților care continuă fizica o lucrare de referință care să poată fi utilizată în legătură cu studiile lor ulterioare.

Cu aceste comentarii vom trece la detalierea diferitelor capitole.

*Capitolul 1.* Ca și în prima ediție acest capitol nu este esențial pentru studiul mecanicii dar poate constitui o lectură interesantă pentru cei cu preocupări mai largi. Pentru profesorii care vor să predea acest capitol, acum ar fi locul potrivit să ilustreze conceptul de ordin de mărime.

*Capitolul 2* Vectorii îl introduc pe student într-un limbaj ce va fi foarte folositor în fizică. După cum este accentuat și în text se poate omite aici produsul vectorial precum și exemplele de forțe magnetice în care  $\mathbf{v}$  și  $\mathbf{B}$  nu sînt perpendiculari. Se poate ajunge pînă la capitolul 6 fără să se studieze produsul vectorial urmînd să ne întoarcem la el abia atunci. Produsul scalar este utilizat adesea pentru calcularea mărimilor din capitolul 5, privind lucrul mecanic și energia, astfel încît este de dorit să-l introducem aici. El constituie în plus un instrument pentru rezolvarea a numeroase probleme interesante. Secțiunea privind derivatele vectoriale este de asemenea utilă dar părțile care tratează vectorii unitari  $\mathbf{r}$  și  $\boldsymbol{\theta}$  pot fi omise și introduse mult mai tîrziu. Sperăm ca mișcarea circulară să fie o bună introducere pentru capitolul de dinamică ce urmează.

*Capitolul 3.* Acesta este un capitol lung cu o mulțime de aplicații. S-au introdus legile lui Newton în forma convențională și s-a trecut la aplicații ale legii a doua. Pentru un curs mai scurt sau pentru unul ce nu include aplicațiile electrice și magnetice, paragrafele în care acestea din urmă sînt prezentate pot fi omise în întregime sau se poate trata cîmpul magnetic numai în cazul vectorilor viteză și cîmp magnetic perpendiculari. Acum se introduce, prin intermediul legii a treia a lui Newton, conservarea impulsului. În problemele de ciocnire, se fac referiri la energia cinetică deși aceasta nu este introdusă decît în capitolul 5. Mulți studenți au auzit de ea în liceu și nu întîmpină dificultăți; după dorință, ea poate fi însă și omisă.

*Capitolul 4.* După cum se precizează și în text acest capitol nu este de tip clasic. Mulți fizicieni sînt atrași de introducerea transformărilor galileene iar pentru cei ce vor să continue cu relativitatea restrînsă acest capitol constituie o bună introducere la transformările de coordonate. Cu toate acestea, pentru studenții nefizicieni sau pentru cei cu mai puțin timp, acesta constituie o bătaie de cap prea mare. Ar trebui făcute anumite referiri la sistemele de referință accelerate sau la forțe fictive dar acestea pot fi scoase din primele citeva pagini.

*Capitolul 5.* Se introduc lucrul mecanic și energia cinetică, întîi într-o dimensiune și apoi în trei. Acum produsul scalar este cu adevărat necesar, dar se poate sări peste folosirea integralei curbilinii. Se tratează în detaliu energia potențială. Pentru un curs mai scurt, se poate omite discuția privind cîmpurile conservative, după cum se poate omite discuția privitoare la potențialul electric. Acesta este, totuși, un capitol important și n-ar trebui să trecem repede prin el.



*Capitolul 6.* Acest capitol tratează din nou ciocnirile și introduce sistemul de referință al centrului de masă. Centrul de masă este un concept important pentru corpurile rigide și, deși sistemul centrului de masă este utilizat pe scară largă, pentru o versiune prescurtată a cursului de mecanică se poate omite. Momentul cinetic și momentul forței cer introducerea produsului vectorial. Până acum studenții au atins un nivel care le permite abordarea și folosirea produsului vectorial și, dacă acesta a fost omis mai înainte, el poate fi reluat aici. Conservarea momentului cinetic este un subiect atrăgător pentru mulți studenți.

*Capitolul 7.* Aici ar trebui studiată întâi nota matematică dacă studenții au dificultăți cu ecuațiile diferențiale. Un corp fixat de un resort și pendulul sînt exemple imediate pentru a evidenția importanța subiectului „mișcarea oscilatorie”. Într-o versiune prescurtată, para-grafele privind valoarea medie a energiei cinetice sau potențiale, mișcarea amortizată precum și oscilațiile forțate pot fi omise în întregime. Laboratorul poate da excelente exemple de astfel de tipuri de mișcare. Temele avansate privind oscilatorul anarmonic precum și oscilatorul forțat sînt interesante pentru studenții mai avansați.

*Capitolul 8.* Autorii consideră că o tratare introductivă a corpurilor rigide este folositoare tuturor studenților. Ideile despre momentul forței și accelerația unghiulară în jurul unei axe fixe nu sînt dificile și ele oferă studenților legătura cu lumea reală, vizibilă. Tratarea simplă a giroscopului este de asemenea folositoare; dar introducerea axelor principale, a momentelor de inerție precum și a sistemelor de coordonate în rotație ar trebui omisă în cele mai multe cursuri.

*Capitolul 9.* Problema forțelor centrale este foarte importantă. Anumiți profesori nu vor dori, poate, să risipească timpul pentru calcularea potențialului în interiorul și în exteriorul maselor sferice și, desigur, acest lucru poate fi omis. De asemenea, ei ar putea considera că se depune un efort prea mare pentru integrarea ecuației radiale în care caz, ar putea să o omită. Ar trebui să-i bucure Temele avansate. Se poate tăia mult din acest capitol dacă este necesar dar munca depusă pentru a-l parcurge va fi recompensată. Problema celor două corpuri precum și conceptul de masă redusă sînt folositoare dar ar putea fi de asemenea omise într-un curs prescurtat.

*Capitolul 10.* Acest capitol trece în revistă un număr de metode pentru determinarea vitezei luminii. Pentru un curs de mecanică, acest material nu este necesar, Noi credem că studenții vor fi interesați să-l citească, dar ar putea fi considerat ca lectură suplimentară. Urmează apoi experiența Michelson—Morley, care, într-un curs ca acesta, constituie cea mai convingătoare dovadă pentru renunțarea la transformările galileene. S-a introdus efectul Doppler deoarece pe baza lui se demonstrează că stelele îndepărtate au viteze foarte mari, iar capitolul se încheie cu un paragraf privind viteza luminii ca viteză limită pentru obiectele materiale precum și cu considerații privind eșecul formulei lui Newton pentru energia cinetică. Pentru cei care au un timp limitat pentru studiul relativității restrinse, o trecere în revistă a acestui capitol ar fi suficientă.

*Capitolul 11.* În acest capitol se deduc ecuațiile de transformare Lorentz care sînt apoi aplicate caracteristicilor celor mai obișnuite ale relativității restrinse, contracția lungimii și dilatarea timpului. Se introduc și se dau exemple privind transformările de viteze. Pe acest capitol se bazează capitolele următoare și în consecință ar trebui afectat destul de mult timp pentru studiul lui.

*Capitolul 12.* Se utilizează rezultatele din capitolul 11 pentru a arăta necesitatea unor schimbări în definirea impulsului și energiei relativiste iar în final se arată originea relației  $E = mc^2$ . Trebuie scoasă în evidență legătura cu experiențele cu particule de mare energie și cu experiențele din fizica nucleară a energiei înalte. În acest stadiu studenții își dau doar





## Îndrumări pentru cititor

Primul an de studiu al fizicii în învățământul superior este de obicei cel mai dificil. În primul an sint dezvoltate mult mai multe idei, concepte și metode decît în cursurile mai avansate ce vor urma. Studentul care va înțelege clar bazele fizicii dezvoltate în acest prim volum, chiar dacă nu va fi în stare să le aplice cu ușurință la situațiile mai complexe, a dat la o parte multe dintre dificultățile reale în învățarea fizicii.

Ce ar trebui să facă un student care are dificultăți în înțelegerea unor părți din acest curs precum și în rezolvarea problemelor, chiar dacă a citit și recitit textul? În primul rînd ar trebui să se întoarcă și să recitească părțile importante dintr-o carte de fizică de liceu. Recomandăm în special Fizica P S S C<sup>1</sup>. Foarte bună este și Fizica de la Harvard. Apoi ar trebui să consulte și să studieze una din multele cărți de introducere în fizică de nivel universitar. Multe dintre acestea nu folosesc calculul diferențial și integral și astfel dificultățile create de aparatul matematic vor fi minime. Exercițiile, în special exercițiile rezolvate, vor fi probabil de foarte mare ajutor. În sfîrșit, după ce va fi înțeles aceste cărți mai elementare, ar putea trece și la celelalte cărți ce sint enumerate în anexă. Desigur, ar trebui să-și amintească că profesorii săi constituie cea mai bună sursă de răspunsuri la întrebările sale și tot ei sint cei mai în măsură să-i clarifice neînțelegerile.

Mulți studenți au dificultăți cu matematica. În afara manualului de calcul diferențial și integral sint folositoare și cărți mai simple. O revedere excelentă a elementelor de calcul există sub forma unui manual de autoinstruire: „Quick Calculus“ (Calculul rapid), de Daniel Kleppner și Norman Ramsey (John Wiley & Sons, Inc., New York, 1965).

<sup>1</sup> Tradusă și în limba română sub titlul „Fizica P S S C“ la Editura didactică și pedagogică — București, 1974, 1975.

## Notații

### Unități

Fiecare domeniu, din știință sau inginerie, bine constituit are unitățile sale speciale pentru mărimile ce intervin frecvent. Astfel *acru*-*picio* este unitatea naturală de volum pentru un inginer de irigații, un fermier sau un procuror din vestul Statelor Unite. *MeV*-ul sau *milionul de electronvolți* este unitatea naturală de energie pentru fizicianul nuclearist; *kilocaloria* este unitatea de energie a chimistului iar *kilowattul-oră* este unitatea de energie a inginerului energetician. Fizicianul teoretician va zice pur și simplu: alegeți-vă unitățile astfel încât viteza luminii să fie egală cu unitatea. Savantul care lucrează nu pierde prea mult timp trecind de la un sistem de unități la altul; mai mult timp cheltuiește tirind în calculele sale factori de 2 sau semne de plus sau de minus. Nici nu-și va bate prea mult capul cu argumente privind unitățile, deoarece nici o teorie științifică bună nu a rezultat vreodată dintr-un asemenea argument.

Fizica este concepută și publicată în mod special în sistemele de unități CGS (Gauss) și SI (sau MKS). Orice om de știință sau inginer ce dorește să aibă acces ușor la literatura de fizică va trebui să se familiarizeze cu aceste sisteme.

Textul este scris în sistemul CGS — Gauss; dar se fac un număr de referiri și la sistemul SI (Système Internationale), care pînă de curind se mai numea și MKS sau MKSA. În problemele de mecanică, trecerea de la unitățile CGS la unitățile SI este ușoară, după cum va fi explicat în text. Totuși, cînd este vorba de probleme de electricitate sau de magnetism apar dificultăți. În text se vor da explicații despre ambele sisteme și se vor rezolva citeva probleme în ambele sisteme. Nu este clar dacă trecerea la sistemul de unități SI care a început acum peste douăzeci de ani va continua. În literatura curentă de fizică se pare că sînt încă mai multe lucrări scrise în sistemul CGS, acesta este și motivul pentru care îl folosim în acest volum. Cu un curs ca acesta, dorim să-i fie cit se poate de ușor atît omului de știință cit și inginerului să citească revistele, în special revistele de fizică.<sup>1</sup>

### Constante fizice

Valori aproximative ale constantelor fizice precum și mărimi numerice folosite sînt tipărite la paginile 435, 436, 437. Valorile mai precise ale constantelor fizice sînt tabelate în E. K. Cohen și J. W. M. DuMond, *Rev. Mod. Phys.*, 37, 537 (1965) și B. N. Taylor, W. H. Parker și D. N. Langenberg, *Rev. Mod. Phys.*, 41, 375 (1969).

<sup>1</sup> În conformitate cu dispozițiile legale în Republica Socialistă România peste tot în textul versiunii românești s-a folosit SI. Desigur, s-au făcut peste tot referiri la sistemul CGS intrucît, după cum menționau mai sus și autorii acestui curs, încă peste 50% din lucrările publicate sînt scrise în CGS. (N.T.)



Am încercat în general să aderăm la simbolurile și abrevierile ce se utilizează în literatura de fizică — și care sînt, în cea mai mare parte acceptate prin convenție internațională.

Aici, prezentăm o listă cu cîteva semne care sînt utilizate pe larg în întreaga carte:

$\approx$  aproximativ egal cu;

$\sim$  același ordin de mărime cu

 $\propto$  proportional cu

Folosirea semnelor  $\approx$ ,  $\cong$ , și  $\sim$  nu este standardizată dar definițiile date aici sint folosite pe scară largă de către fizicieni. Institutul American de Fizică incurajează folosirea semnului  $\approx$  unde alții ar folosi fie  $\approx$  fie  $\cong$ . (Style Manual, American Institute of Physics, rev. ed., Nov. 1970).

Semnul  $\sum_{j=1}^n$  sau  $\sum_j^n$  reprezintă suma după tot ce se află la dreapta lui  $\Sigma$  peste toți indicii cuprinși între  $j = 1$  și  $j = n$ . Notăția  $\sum_{i,j}$  reprezintă suma dublă după  $i$  și  $j$ . Notăția  $\sum'_{i,j}$  sau  $\sum_{\substack{i,j \\ i \neq j}}$  reprezintă suma după toate valorile lui  $i$  și  $j$  cu excepția  $i = j$ .

### Ordinul de mărime

Prin această frază înțelegem de obicei „pînă la un factor de  $10^4$ ”. Estimarea rapidă a ordinului de mărime al unei mărimi este caracteristică muncii fizicianului și modului său de a vorbi. Ea constituie un obicei profesional extrem de valoros, deși, adesea, îi incurcă enorm pe studenții începători. Vom spune, de exemplu, că  $10^4$  este ordinul de mărime al numerelor 5 500 și 25 000. În unități SI ordinul de mărime al masei electronului este  $10^{-30}$  kg; valoarea precisă este  $(0.910954 \pm 0.000005) \times 10^{-30}$  kg.

Vom spune cîteodată că o soluție include (este corectă pînă la) termeni de ordinul  $x^2$  sau  $E$ , oricare ar fi această cantitate. Acest lucru se mai scrie ca  $O(x^2)$  ori  $O(E)$ . Acest mod de exprimare spune că, pentru anumite scopuri, termenii soluției exacte ce conțin puteri mai mari (ca de exemplu  $x^3$  ori  $E^2$ ) ale mărimii considerate, pot fi neglijați în comparație cu termenii reținuți în soluția aproximativă.

## Prefixe

Următorul tabel arată abrevierea și semnificația numerică a citorva prefixe utilizate frecvent:

$10^{12}$	T	tera-
$10^9$	G	giga-
$10^6$	M	mega-
$10^3$	k	kilo-
$10^{-3}$	m	mili-
$10^{-6}$	$\mu$	micro-
$10^{-9}$	n	nano-
$10^{-12}$	p	pico-

## Alfabetul grec

■	α	alfa
■	β	beta
Γ	γ	gamma
Δ	δ	delta
■	ε	epsilon
■	ζ	zeta
■	η	eta
Θ	θ	theta
■	■	iota
■	κ	kappa
Λ	λ	lambda
■	μ	miu
■	ν	niu
■	ξ	csi
■	■	omicron
Π	π	pi
■	ρ	ro
Σ	σ	sigma
■	τ	tau
■	■	iupsilon
Φ	φ ϕ	fi
■	χ	hi
Ψ	ψ	psi
Ω	ω	omega

Caracterele ce nu sînt folosite frecvent sînt umbrite; cele mai multe dintre ele sînt prea apropiate în formă de caracterele latine pentru a putea fi folosite drept simboluri independente.



# 1

## Introducere

### Cuprins

Lumea naturală

Rolul teoriei

Geometria și fizica

Estimări ale curbării spațiului

Geometria la o scară mai mică

Invarianța

Invarianța la translații

Invarianța la rotații

Probleme

Lecturi suplimentare

## LUMEA NATURALĂ

Fiecărui om natura i se pare imensă și complexă, scena unei uimitoare diversități de apariții și evenimente. Aceste impresii sînt justificate de estimările ordinelor de mărime ale valorilor mărimilor de interes pentru studierea lumii naturale. Nu vom argumenta, în această etapă, măsurătorile ce au dus la cifrele date mai jos. Lucrul cel mai remarcabil privind aceste cifre este în primul rînd acela că le cunoaștem; este de mai mică importanță faptul că unele dintre ele ne sînt cunoscute doar cu aproximație.

*Universul este imens.* Din observațiile astronomice, deducem o valoare de  $10^{26}$  metri sau  $10^{10}$  ani lumină, pentru o dimensiune caracteristică numită cu destulă larghețe raza universului. Valoarea este, probabil, nesigură pînă la un factor de 3. Pentru comparație, distanța de la Pămînt la Soare este  $1,5 \times 10^{11}$  m iar raza Pămîntului este  $6,4 \times 10^6$  m.

*Numărul de atomi din univers este foarte mare.* Se crede că numărul total de protoni și de neutroni din univers, cu o nedeterminare de pînă la 100 de ori, este de ordinul a  $10^{80}$ . În Soare sînt  $1 \times 10^{57}$  iar în Pămînt  $4 \times 10^{51}$ . Totalitatea celor din univers ar da deci naștere la  $10^{80}/10^{57}$  (sau  $10^{23}$ ) stele egale ca masă cu masa soarelui nostru. [Pentru comparație, numărul de atomi dintr-un atom-gram (numărul lui Avogadro) este  $6 \times 10^{23}$ .] Se crede că cea mai mare parte din masa universului se află în stele, și toate stelele cunoscute au mase cuprinse între 0,01 și 100 de ori masa soarelui nostru.

*Viața pare a fi cel mai complex fenomen din univers.* Omul, una dintre cele mai complexe forme de viață, se compune din aproximativ  $10^{16}$  celule. O celulă este o unitate fiziologică elementară ce conține între  $10^{12}$  și  $10^{14}$  atomi. Se consideră că fiecare celulă a oricărei varietăți de materie vie conține cel puțin o fibră moleculară lungă de ADN (acid desoxiribonucleic) sau ruda sa apropiată ARN (acid ribonucleic). Fibra de ADN din moleculă păstrează toate instrucțiunile chimice, sau informația genetică, necesară pentru a construi în întregime un om, o pasăre etc. Într-o moleculă de ADN, care poate fi compusă din  $10^8$  pînă la  $10^{10}$  atomi, aranjamentul precis al atomilor poate varia de la individ la individ; aranjamentul variază întotdeauna de la specie la specie<sup>1</sup>.

Pe planeta noastră au fost descrise și denumite mai mult de  $10^6$  specii.

*Materia anorganică apare de asemenea sub multe forme.* Protonii, neutronii și electronii se combină pentru a forma în jur de 100 elemente chimice diferite și aproximativ  $10^3$  izotopi identificați pînă azi. Elementele individuale s-au

<sup>1</sup> Termenul de specie se definește, aproximativ, prin aceea că două populații constituie specii diferite, dacă pot fi găsite între ele diferențe morfologice și dacă nu se încrucișează în stare naturală.



combinat în diferite proporții pentru a forma cei poate  $10^6$  sau mai mulți compuși chimici diferiți (identificați pînă acum), și la acest număr se poate adăuga încă un număr vast de lichide precum și de soluții solide și aliaje cu compoziții variate, avînd proprietăți fizice distincte.

Științele experimentale ne ajută să învățăm toate aceste fapte din lumea naturală, să clasificăm stelele și să estimăm masele, compozițiile, distanțele și vitezele; să clasificăm speciile vii și să dezvăluim relațiile lor genetice; să sintetizăm cristale anorganice, biochimice și noi elemente chimice; să măsurăm liniile de emisie spectrală ale atomilor și moleculelor în domeniul de frecvență de la 100 la  $10^{20}$  Hz; să creăm în laborator noi particule fundamentale.

Aceste mari cuceriri ale științelor experimentale au fost realizate de către oameni foarte diferiți: răbdători sau perseverenți, cu intuiție sau inventivi, energici sau leneși sau norocoși sau cu vederi înguste sau cu mîini îndemînatice. Unii au preferat să folosească numai aparatură simplă; alții au inventat sau construit instrumente de mare rafinament, mărime sau complexitate. Cei mai mulți dintre aceștia au avut în comun numai cîteva lucruri: au fost onești și au efectuat realmente observațiile comunicate, publicînd rezultatele muncii lor într-o formă ce a permis și celorlalți să repete experimentul sau observația.

## ROLUL TEORIEI

Descrierea pe care am făcut-o universului natural ca fiind imens și complex nu epuizează problema, pentru că înțelegerea teoretică face ca anumite părți ale imaginii despre lume să arate mult mai simplu. Avem o înțelegere remarcabilă asupra unor aspecte centrale și importante ale universului. Domeniile pe care credem că le înțelegem (rezumate mai jos), împreună cu teoria relativității și mecanica statistică, sînt printre marile realizări intelectuale ale umanității.

1. Legile mecanicii clasice și gravitației (volumul 1), care ne ajută să precizem cu precizie remarcabilă mișcările diferitelor părți ale sistemului solar (inclusiv cometele și asteroizii), au condus la precizarea și descoperirea de noi planete. Aceste legi sugerează mecanisme posibile pentru formarea de stele și galaxii și, împreună cu legile radiației, explică bine legătura observată între masa și luminozitatea unei stele. Aplicațiile astronomice ale legilor mecanicii clasice sînt printre cele mai frumoase dar nu și singurele care au avut succes. În mod constant, utilizăm aceste legi în viața de toate zilele precum și în științele ingineresti. Aventurile noastre contemporane în spațiu, precum și utilizarea sateliților se bazează pe aplicarea rafinată a legilor mecanicii clasice și ale gravitației.
2. Legile mecanicii cuantice (volumul 4) dau o foarte bună descriere a fenomenelor atomice. Pentru atomii simpli, s-au făcut predicții care concordă cu experiența pînă la o parte în  $10^5$  și chiar mai bine. Cînd sînt aplicate evenimentelor la scară mare de pe pămînt sau din spațiu, legile mecanicii cuantice dau preziceri care nu se disting de cele obținute cu legile mecanicii clasice. Mecanica cuantică ne oferă, în principiu, o bază teoretică precisă pentru întreaga chimie și metalurgie





41ca1



tosta



gud



арав



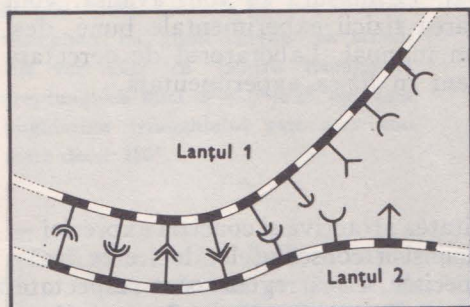


FIG. 1.1. (e) Când celula se reproduce, fiecare moleculă de ADN se desface în două lanțuri separate.

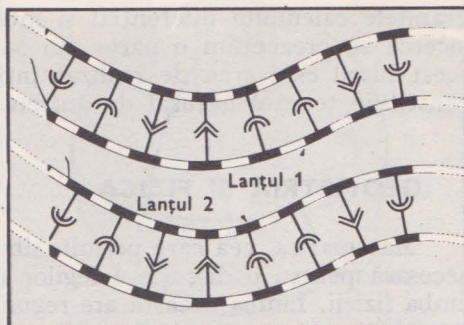


FIG. 1.1. (f) Fiecare lanț își formează apoi complementul său din materialul celular existent, pentru a produce două noi molecule identice de ADN.

Legile fizicii și înțelegerea teoretică, menționate în rezumatul de mai sus, diferă ca formă de rezultatele directe ale observațiilor experimentale. Legile, ce rezumă părțile esențiale dintr-un număr mare de observații, ne ajută să facem cu succes anumite tipuri de preziceri, limitate în practică de complexitatea sistemului. Ele sugerează adesea tipuri noi și neobișnuite de experiențe. Deși legile pot fi puse, de obicei, într-o formă compactă<sup>1</sup>, aplicarea lor cere uneori analiză și calcul matematic laborios.

Există și un alt aspect al legilor fundamentale ale fizicii. Acele legi ale fizicii pe care am reușit să le înțelegem, au o frumusețe și o simplitate care ne atrag.<sup>2</sup> Aceasta nu înseamnă că lumea va trebui să nu mai facă experiențe numai fiindcă legile fizicii au fost, în general, descoperite după experimentări făcute cu ingeniozitate și sacrificii. Afirmatia spune că am fi doar puternic surprinși ca viitoarele principii ale teoriei fizicii să aibă o formă neplăcută sau stângace. Calitatea estetică a legilor fizicii descoperite până acum colorează speranțele noastre, pentru legile încă necunoscute. Tindem să denumim o ipoteză ca atractivă atunci când simplitatea și eleganța o singularizează dintr-un număr larg de teorii posibile.

În acest curs, vom face efortul să enunțăm unele dintre legile fizicii în așa fel încât să fie scoase în evidență trăsături ca simplitatea și eleganța. Aceasta înseamnă că vom utiliza destul de mult formularea matematică, deși la acest nivel al cursului utilizarea matematicii nu va depăși în mod normal

<sup>1</sup> Prima frază dintr-o carte subțirică spune: „Aceste lecții vor acoperi toată fizica” R. Feynman, „Teoria proceselor fundamentale” (Theory of Fundamental Processes) W. A. Benjamin, Inc., New York, 1961.

<sup>2</sup> „Se pare că cel ce lucrează pentru obținerea unor ecuații frumoase și are o intuiție sănătoasă, se va afla cu siguranță pe linia progresului” P. A. M. Dirac, Scientific American, 208 (5): 45–53 (1963). Dar mulți fizicieni consideră că lumea reală este prea subtilă pentru un atac atât de îndrăzneț, exceptând marile minți ale timpului ca Einstein sau Dirac sau poate încă o duzină. În mîinile altora o mie, această abordare a fost limitată de o distribuție inegală printre oameni a „intuiției sănătoase”.



granițele calculului diferențial și integral. Pe măsură ce vom avansa, vom încerca să prezentăm o parte din savoaarea fizicii experimentale bune, deși acest lucru este greu de realizat într-un manual. Laboratorul de cercetare constituie terenul natural de antrenament în fizica experimentală.

## GEOMETRIA ȘI FIZICA

Matematica, cea care permite simplitatea atractivă și concizia expresiei — necesară pentru o discuție a legilor fizicii și a consecințelor lor, este însăși limba fizicii. Limba aceasta are reguli speciale. Dacă regulile sînt respectate, atunci se pot face numai afirmații corecte: rădăcina pătrată din 2 este 1,414..., sau  $\sin 2a = 2 \sin a \cos a$ .

Trebuie să fim atenți să nu confundăm asemenea adevăruri cu afirmațiile exacte privind lumea fizică. Este o problemă de experiență, mai de grabă decît de contemplație, de a vedea dacă raportul dintre circumferința unui cerc real și diametrul său este într-adevăr 3,14159 ... Măsurătoarea geometrică este esențială pentru fizică, și trebuie să ne decidem asupra anumitor chestiuni, înaintea trecerii la utilizarea geometriei euclidiene ori a oricărei alte geometrii pentru descrierea naturii. Cu siguranță că există o întrebare privind universul: putem admite pentru măsurătorile fizice adevărul axiomelor și teoremelor lui Euclid?

Putem spune doar cîteva lucruri simple, despre proprietățile spațiului care rezultă din experiență, înainte de a intra în dificultăți matematice. Cea mai faimoasă teoremă existentă în toate matematicile este cea atribuită lui Pitagora: într-un triunghi dreptunghic pătratul ipotenuzei este egal cu suma pătratelor celor două catete (fig. 1.2). Acest adevăr matematic, care presupune validitatea geometriei euclidiene, este el de asemenea adevărat și în lumea fizică? Ar putea fi și altfel? Simpla contemplare a problemei nu este suficientă; trebuie să apelăm la experiență pentru a găsi răspunsul. Întrucît nu putem folosi aici matematica spațiului curb tridimensional, vom oferi argumente care sînt întrucîtva incomplete.

FIG. 1.2. Descriu axiomele geometriei euclidiene, din care derivă logic teorema lui Pitagora, cu precizie, lumea fizică? Numai experiența poate decide.

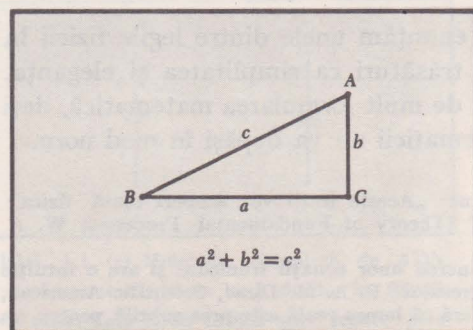


FIG. 1.3. Distanța cea mai scurtă, „linia dreaptă” dintre punctele B și C de pe o sferă, este de-a lungul unui cerc mare ce trece prin aceste puncte și nu de-a lungul oricărei alte traiectorii P.

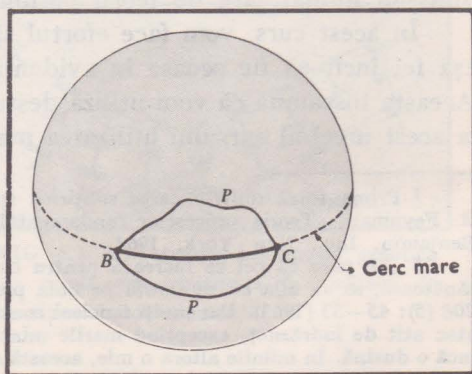
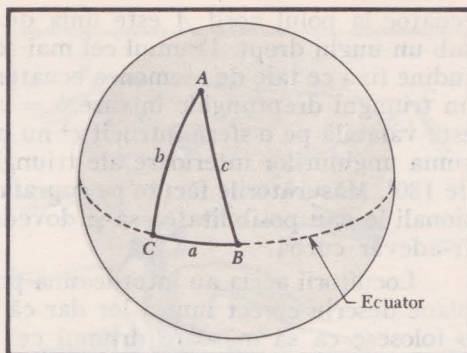




FIG. 1.4. Fiind date trei puncte  $A, B, C$ , ființele bidimensionale își pot construi triunghiuri cu „linii drepte” ca laturi. Ele vor găsi că pentru triunghiuri dreptunghice mici  $a^2 + b^2 \approx c^2$ , iar suma unghiurilor triunghiului este ușor mai mare decât  $180^\circ$ .



Să considerăm întâi situația unor ființe bidimensionale ce trăiesc într-un univers așezat pe suprafața unei sfere. Matematicienii lor, le-au descris proprietățile spațiilor cu trei sau chiar cu mai multe dimensiuni, dar ei au tot atâtea dificultăți în formarea unei înțelegeri intuitive a acestor lucruri precum avem și noi în reprezentarea spațiului cu patru dimensiuni. Cum ar putea ei să determine dacă trăiesc sau nu pe o suprafață curbă? O cale ar fi aceea de a testa axiomele geometriei plane încercând să confirme experimental câteva dintre teoremele lui Euclid. Ei pot construi o linie dreaptă ca drumul cel mai scurt între două puncte  $B$  și  $C$  pe suprafața unei sfere; vom denumi acest drum un cerc mare, ca în figura 1.3. Ei pot continua cu construirea de triunghiuri și cu testarea teoremei lui Pitagora. Pentru un triunghi foarte mic, ale cărui laturi sînt toate mici în comparație cu raza sferei, teorema va fi verificată cu mare dar nu totală precizie; pentru triunghiuri mari vor apărea abateri importante (vezi fig. 1.4—1.6).

Dacă  $B$  și  $C$  sînt puncte de pe ecuatorul sferei, „linia dreaptă” care le unește este porțiunea  $BC$  din ecuator. Drumul cel mai scurt de la  $C$  de pe

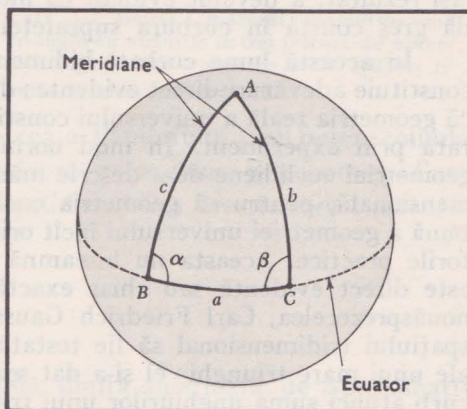
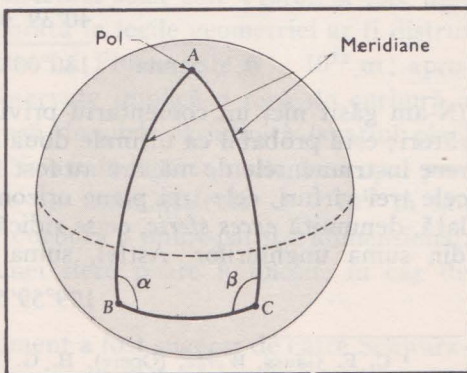


FIG. 1.5. Dacă ar folosi triunghiuri mai mari, suma unghiurilor ar deveni considerabil mai mare decât  $180^\circ$ . Aici, cu  $B$  și  $C$  pe ecuator, iar  $A$  la pol,  $\alpha$  și  $\beta$  sînt amîndouă unghiuri drepte. Evident că  $a^2 + b^2 \neq c^2$ , deoarece  $b$  este egal cu  $c$ .

FIG. 1.6. Pentru acest triunghi cu  $B$  și  $C$  mai jos de ecuator  $\alpha + \beta > 180^\circ$ , lucru care se poate întîmpla numai pentru că „spațiul” bidimensional al suprafeței sferice este curb. Un argument similar poate fi aplicat spațiului tridimensional. Raza de curbură a spațiului bidimensional prezentat aici este tocmai raza sferei.





ecuator la polul nord  $A$  este linia de longitudine fixă ce taie ecuatorul  $BC$  sub un unghi drept. Drumul cel mai scurt de la  $A$  la  $B$  este drumul de longitudine fixă ce taie de asemenea ecuatorul  $BC$  sub un unghi drept. Avem acum un triunghi dreptunghic în care  $b = c$ . Este clar că teorema lui Pitagora nu este valabilă pe o sferă întrucît  $c^2$  nu poate fi acum egal cu  $b^2 + a^2$ ; mai mult suma unghiurilor interioare ale triunghiului  $ABC$  este întotdeauna mai mare de  $180^\circ$ . Măsurătorile făcute pe suprafața curbă de către locuitorii săi bidimensionali le dau posibilitatea să-și dovedească pentru sine că suprafața este într-adevăr curbă.

Locuitorii aceia au întotdeauna posibilitatea să spună că legile geometriei plane descriu corect lumea lor dar că necazul ar proveni de la rigla pe care o folosesc ca să măsoare drumul cel mai scurt și să definească astfel linia dreaptă. Ei ar spune că rigla nu are o lungime constantă ci că s-ar lungi sau scurta după cum ar fi mutată în diferite locuri de pe suprafață. Numai după ce s-a văzut prin măsurători continue în diferite moduri că se ajunge la același rezultat, a devenit evident că motivul pentru care geometria euclidiană dă greș constă în curbura suprafeței.

În această lume curbată-bidimensională, axiomele geometriei plane nu constituie adevăruri direct evidente; de fapt ele nici nu sînt adevăruri. Vedem că geometria reală a universului constituie o ramură a fizicii ce trebuie explorată prin experiment. În mod normal, noi nu punem la îndoială dreptul geometriei euclidiene de a descrie măsurătorile făcute în lumea noastră tridimensională, pentru că geometria euclidiană constituie o aproximație atît de bună a geometriei universului încît orice abatere de la ea nu apare în măsurătorile practice. Aceasta nu înseamnă că aplicabilitatea geometriei euclidiene este direct evidentă sau chiar exactă. Marele matematician al secolului al nouăsprezecelea, Carl Friedrich Gauss, a sugerat ca netezimea euclidiană a spațiului tridimensional să fie testată prin măsurarea unghiurilor interioare ale unui mare triunghi; el și-a dat seama că dacă spațiul tridimensional este curb atunci suma unghiurilor unui triunghi suficient de mare ar trebui să fie în mod semnificativ diferită de  $180^\circ$ .

Gauss<sup>1</sup> a folosit echipament topometric (1821—1823) pentru a măsura cu exactitate triunghiul format în Germania de piscurile Brocken, Hohehagen și Inselberg (fig. 1.7). Latura cea mai lungă a triunghiului era de aproape 100 km. Unghiurile interioare măsurate erau

$$\begin{array}{r} 86^\circ 13' 58,366'' \\ 53^\circ 6' 45,642'' \\ 40^\circ 39' 30,165'' \\ \hline \text{Suma} \quad 180^\circ 00' 14,173'' \end{array}$$

(N-am găsit nici un comentariu privind eroarea care a afectat aceste măsurători; este probabil ca ultimele două zecimale să nu fie semnificative.) Deoarece instrumentele de măsură au fost fixate la orizontala locului în fiecare din cele trei vîrfuri, cele trei plane orizontale nu erau paralele. O corecție calculată, denumită *exces sferic*, ce se ridică pînă la  $14,853''$  de arc, trebuie scăzută din suma unghiurilor. Astfel, suma corectă este,

$$179^\circ 59' 59,320''$$

<sup>1</sup> C. F. Gauss, *Werke*, (Opere), B. G. Teubner, Leipzig, 1903; vezi în special paginile 299, 300, 314 și 319. Operele complete ale lui Gauss constituie un exemplu remarcabil al ceea ce poate realiza, un om înzestrat, în întreaga sa viață.



diferind doar cu  $0,680''$  de arc de  $180^\circ$ . Gauss a considerat că aceasta se încadrează în limita erorilor experimentale, și a tras concluzia că spațiul este euclidian în limita preciziei cu care au fost făcute aceste măsurători.

Am văzut, în exemplul anterior, că geometria euclidiană descrie corect un mic triunghi de pe o sferă bidimensională dar deosebirile devin mai evidente pe măsură ce crește scara. Pentru a vedea dacă spațiul nostru este plat cu adevărat, trebuie să măsurăm triunghiuri foarte mari ale căror vîrfuri să fie formate de Pămînt și stele de departate sau chiar galaxii. Dar apare o

problemă: poziția noastră este fixată de cea a Pămîntului și nu putem colinda liber prin spațiu cu instrumentele de măsurat triunghiuri astronomice. Cum am putea oare testa dreptul geometriei euclidiene de a descrie corect măsurătorile făcute în spațiu?

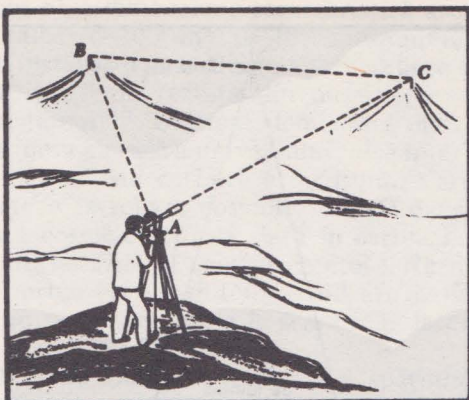


FIG. 1.7. Gauss a măsurat unghiurile unui triunghi cu vîrfurile în trei piscuri de munte și n-a găsit nici o abatere de la  $180^\circ$  în limita preciziei măsurătorilor.

### Estimări ale curburii spațiului

*Predicții asupra planetelor.* O primă limită inferioară de aproximativ  $5 \times 10^{15}$  m, pentru raza de curbură a universului nostru, este implicată de corectitudinea observațiilor astronomice din cadrul sistemului solar. De exemplu, pozițiile planetelor Neptun și Pluton au fost obținute prin calcul, mai înainte de confirmările vizuale, prin observații cu telescopul. Descoperirea lui Neptun și a lui Pluton, foarte aproape de pozițiile calculate pentru ele, s-a făcut pe baza micilor perturbații ale orbitelor planetelor deja cunoscute. Cea mai îndepărtată planetă din sistemul solar este Pluton și este ușor de imaginat că doar o mică eroare strecurată în legile geometriei ar fi distrus această coincidență. Raza medie a orbitei lui Pluton este  $6 \times 10^{12}$  m; apropierea dintre pozițiile prezise și cele observate implică o rază de curbură a spațiului de cel puțin  $5 \times 10^{15}$  m. O rază de curbură infinită (spațiul plat) n-ar fi incompatibilă cu datele noastre. Ne-am îndepărta mult de scopul propus, dacă am discuta detaliile numerice ale estimării celor  $5 \times 10^{15}$  m sau dacă definim precis ce înseamnă raza de curbură a unui spațiu tridimensional. Analogul bidimensional al suprafeței unei sfere poate fi folosit, în caz de necesitate, ca un paliativ util.

*Paralaxa trigonometrică.* Un alt argument a fost sugerat de către Schwarzschild<sup>1</sup>. Între două observații făcute la un interval de timp de 6 luni, poziția

<sup>1</sup> K. Schwarzschild, *Vierteljahrsschrift der astronomischen Ges.*, 35 :337 (1900).



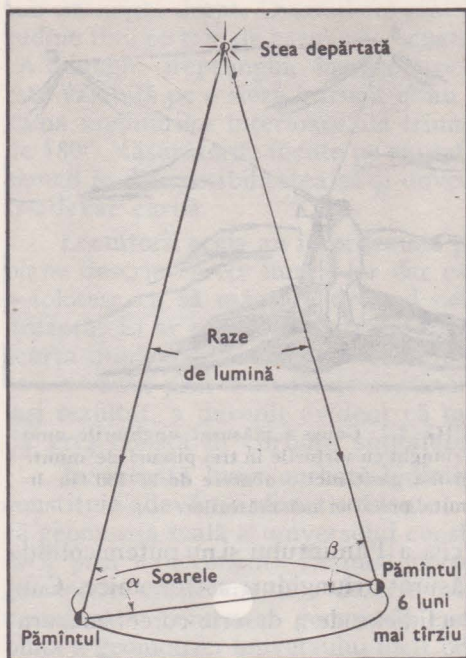


FIG. 1.8. Demonstrația lui Schwarzschild că pe o suprafață plană  $\alpha + \beta < 180^\circ$ . *Paralaxa* unei stele este definită ca  $\frac{1}{2} (180^\circ - \alpha - \beta)$ .

Pământului relativă la Soare s-a schimbat cu  $3 \times 10^{11}$  m — diametrul orbitei Pământului. Să presupunem că, în aceste două momente, observăm o stea și măsurăm unghiurile  $\alpha$  și  $\beta$  așa ca în figura 1.8. (Aici  $\alpha$  și  $\beta$  sînt literele grecești alfa și beta.) Dacă spațiul este plat, suma unghiurilor  $\alpha + \beta$  este întotdeauna mai mică decît  $180^\circ$  dar se apropie de această valoare pe măsură ce distanța pînă la stea se apropie de infinit. Se numește *paralaxă*, jumătate din diferența dintre  $\alpha + \beta$  și  $180^\circ$ . Dar într-un

spațiu curb nu este cu necesitate adevărat ca  $\alpha + \beta$  să fie întotdeauna mai mică decît  $180^\circ$ . Un astfel de exemplu este arătat în figura 1.6.

Să ne întoarcem la situația ipotetică a astronomilor bidimensionali care trăiesc pe suprafața unei sfere, pentru a vedea cum descoperă ei din măsurători ale lui  $\alpha + \beta$  că spațiul lor este curb. Din discuția noastră anterioară asupra triunghiului  $ABC$ , vedem că atunci cînd steaua este la o depărtare de un sfert de circumferință suma  $\alpha + \beta = 180^\circ$ ; cînd steaua este mai apropiată  $\alpha + \beta < 180^\circ$ ; iar cînd steaua este mai îndepărtată,  $\alpha + \beta > 180^\circ$ . Astronomul trebuie doar să privească stele din ce în ce mai îndepărtate și să urmărească momentul cînd suma începe să depășească  $180^\circ$ . Același argument este valabil și în cadrul spațiului nostru tridimensional.

Nu există pînă acum nici o evidență că suma  $\alpha + \beta$  măsurată de astronomi ar fi fost mai mare de  $180^\circ$ , după ce au fost făcute corecțiile ce se impuneau pentru mișcarea Soarelui în raport cu centrul galaxiei noastre. Valori ale lui  $\alpha + \beta$  mai mici de  $180^\circ$  sînt folosite pentru determinarea prin triangulație a distanțelor pînă la stelele apropiate. Valori mai mici de  $180^\circ$  pot fi observate pînă la aproape  $3 \times 10^{18}$  m<sup>1</sup>, corespunzînd unghiului limită măsurabil cu telescoapele actuale. Din acest argument, nu se poate deduce direct că raza de curbură a spațiului trebuie să fie mai mare decît  $3 \times 10^{18}$  m; pentru anumite tipuri de spații curbe, este nevoie și de alte argumente. Răspunsul final este că raza de curbură (determinată prin triangulație) trebuie să fie mai mare de  $6 \times 10^{17}$  m.

<sup>1</sup> Se poate obiecta că măsurătorile de distanță, ele însele, presupun aplicarea geometriei euclidiene. Totuși, există și alte metode de măsurare a distanțelor și ele sînt prezentate în tratatele moderne de astronomie.



La începutul acestui capitol, am spus că o dimensiune caracteristică asociată universului se consideră a avea valoarea  $10^{26}$  m sau  $10^{10}$  ani-lumină. Acest număr corespunde, de exemplu, cu distanța pe care lumina ar parcurge-o într-un timp egal cu vârsta universului, așa cum rezultă din observații ce ne-ar lua prea mult spațiu ca să le prezentăm aici<sup>1</sup>. Cea mai elementară interpretare a acestei mărimi este de a o considera ca rază a universului; altă interpretare posibilă este de a o considera ca rază de curbura a spațiului. Care dintre ele este cea corectă? Aceasta este o întrebare cosmologică. (O excelentă introducere în știința speculativă a cosmologiei este dată în cartea lui Bondi, citată la lecturile suplimentare de la sfârșitul acestui capitol.) Rezumăm părerea noastră privind raza de curbura a spațiului, făcând afirmația că ea nu este mai mică de  $10^{26}$  m și că nu cunoaștem dacă la scară mai largă spațiul are sau nu curbura.

Observațiile precedente se referă la raza medie de curbura a spațiului și nu sînt sensibile la convexitățile ce se crede că ar exista în imediata vecinătate a stelelor și care ar produce denivelări locale ale spațiului plat sau ușor curbat. Date experimentale care să susțină această afirmație sînt foarte greu de găsit, chiar și în vecinătatea Soarelui nostru. Printr-o atentă și dificilă observație făcută, asupra stelelor vizibile la marginea Soarelui, în timpul eclipselor solare, s-a stabilit că razele de lumină sînt ușor curbate cînd trec pe lângă marginea Soarelui și, prin extensie, prin apropierea oricărei alte stele

FIG. 1.9. O fotografie a coroanei solare în infraroșul apropiat, la 7 martie 1970; pe eclipsa de soare s-a înregistrat imaginea stelei M de magnitudine patru,  $\emptyset$  Acuariei (un pic deasupra și la dreapta lui S), cam la 11 raze solare de soare. Semicercurile de sus și de jos sînt urmele plăcii de presare. În interiorul discului întunecat se află fotografia eclipsei făcută de Gordon Newkirk, care a fost folosită pentru orientarea acestei fotografii.

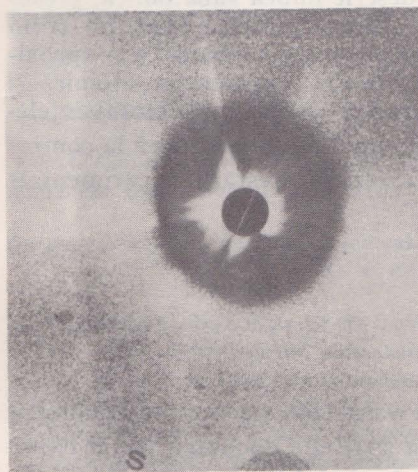
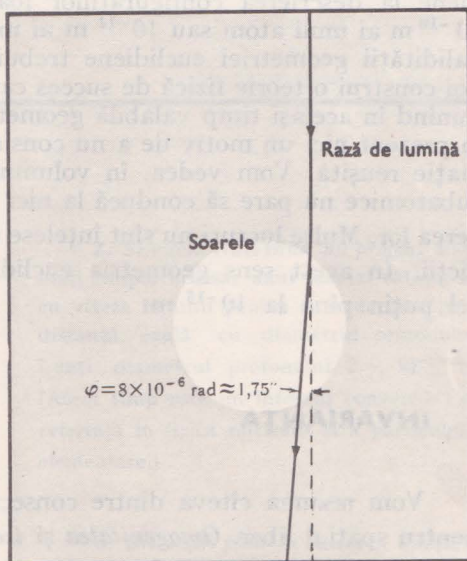


FIG. 1.10. Curbarea luminii de către soare a fost prezisă de Einstein în 1915 și verificată prin observație imediat după aceea.



<sup>1</sup> Un astfel de argument este prezentat în Capitolul 10 (pag. 340)



similare (vezi fig. 1.9 și 1.10). Pentru o rază tangentă, unghiul de îndoire este foarte mic, mergînd pînă la  $1,75''$ . Astfel, pe măsură ce Soarele traversează bolta, dacă am putea să le vedem în timpul zilei, stelele aproape eclipsate, ar părea că se deplasează un pic de la pozițiile lor normale. Această observație spune doar că lumina se deplasează pe o traiectorie curbă în apropierea Soarelui; nu justifică prin ea însăși unica interpretare a spațiului curb din apropierea Soarelui. Numai prin măsurători precise făcute, din apropierea Soarelui, cu variate instrumente de măsură, am putea stabili direct dacă un spațiu curb reprezintă descrierea cea mai naturală și eficientă. Posibilitatea existenței spațiului curb este dată și de un alt tip de observații. Orbita lui Mercur, planeta cea mai apropiată de Soare diferă foarte puțin de cea prezisă prin aplicarea legilor lui Newton ale mișcării și gravitației universale. (vezi fig. 14.9). Ar putea fi această slabă abatere un efect al curbării spațiului din jurul Soarelui? Pentru a răspunde la această întrebare ar trebui să știm cum ar putea afecta o posibilă curbură ecuațiile de mișcare pentru Mercur, și acest lucru presupune mai mult decît simplă geometrie. [Aceste subiecte sînt discutate mai tîrziu (dar pe scurt) în capitolul 14.]

Într-o remarcabilă și frumoasă serie de lucrări, Einstein, [A. Einstein, Berl. Ber., 778, 799, 844 (1915); Ann.d. Phys. 49: 769 (1916)] a descris o teorie a gravitației și geometriei, teoria generalizată a relativității, care a prezis, în concordanță cantitativă cu observațiile, tocmai cele două efecte descrise mai sus. Sînt încă puține confirmări ale prezicerilor geometrice ale teoriei. Totuși, în ciuda slabei evidențe, simplitatea esențială a teoriei generalizate a făcut-o să fie larg acceptată, deși în ultimii ani s-au făcut cercetări considerabile în acest domeniu (vezi cap. 14).

**Geometria la scară mică.** Din măsurătorile astronomice tragem concluzia că geometria euclidiană ne dă o extraordinar de bună descriere a măsurătorilor de lungimi, arii, unghiuri, cel puțin pînă ce atingem lungimi enorme de  $10^{26}$  m. Dar pînă acum, nu s-a spus nimic despre folosirea geometriei euclidiene la descrierea configurațiilor foarte mici, comparabile în mărime cu  $10^{-10}$  m ai unui atom sau  $10^{-14}$  m ai unui nucleu. În cele din urmă, problema validității geometriei euclidiene trebuie formulată în felul următor: putem noi construi o teorie fizică de succes care să descrie lumea subatomică, presupunînd în același timp valabilă geometria euclidiană? Dacă putem, nu avem în prezent nici un motiv de a nu considera geometria euclidiană ca o aproximație reușită. Vom vedea, în volumul 4, că teoria fenomenelor atomice și subatomice nu pare să conducă la nici un paradox care să ne fi blocat înțelegerea lor. Multe lucruri nu sînt înțelese dar nici unul nu pare să ducă la contradicții. În acest sens geometria euclidiană a rezistat testării experimentale cel puțin pînă la  $10^{-15}$  m.

## INVARIANTA

Vom rezuma cîteva dintre consecințele validității geometriei euclidiene pentru spațiul liber. *Omogenitatea* și *izotropia* spațiului euclidian pot fi exprimate prin două principii de invarianță, care, la rîndul lor, implică două principii fundamentale de conservare.



**Invarianța la translații.** Prin acest principiu înțelegem că spațiul este omogen, cu alte cuvinte că nu diferă de la un punct la altul. Dacă se mută o figură fără rotație dintr-un loc într-altul atunci nu apare nici o schimbare în mărimea sau proprietățile ei geometrice. De asemenea, vom presupune că proprietățile fizice ale unui obiect, cum ar fi inerția sa sau forțele dintre particulele sale constitutive, nu se schimbă chiar dacă mutăm obiectul în altă regiune a spațiului. Astfel, frecvența naturală a unui diapazon sau spectrul caracteristic de linii al unui atom nu sînt schimbate într-o astfel de deplasare.

**Invarianța la rotații.** Din experiență se cunoaște cu mare precizie că spațiul este izotrop, astfel încît toate direcțiile sînt echivalente. Proprietățile geometrice și fizice nu se modifică, dacă reorientăm în direcție un obiect în spațiu. Se poate imagina un spațiu ce nu este izotrop; de exemplu, viteza luminii într-o direcție ar putea fi mai mare decît valoarea ei într-altă direcție perpendiculară pe prima. Nu există nici o evidență în spațiul liber pentru un efect de acest fel; cu toate acestea, într-un cristal se întîlnesc multe asemenea efecte anizotrope. În regiuni ale spațiului apropiate marilor stele și altor surse puternice de gravitație, pot fi observate efecte ce se pot interpreta ca o ușoară abatere de la omogenitatea și izotropia spațiului. (Am amintit două astfel de efecte în capitolul precedent, dar mai sînt și altele.)

Proprietățile de invarianță la translații conduc la *conservarea impulsului*; invarianța la rotații conduce la *conservarea momentului cinetic*. Aceste principii de conservare sînt dezvoltate în capitolele 4 și 6 iar conceptul de invarianță este dezvoltat în capitolele 2 și 4.

Lunga discuție de pînă acum, privind geometria și fizica, constituie un exemplu de ce fel de întrebări trebuie să-și pună fizicienii atunci cînd cercetează caracteristicile de bază ale universului nostru. Dar la nivelul cursului nostru nu vom trata mai în amănunt asemenea probleme.

## PROBLEME

1. *Universul cunoscut.* Folosind informația din text, estimați următoarele:

(a) Masa totală în universul cunoscut.  
R:  $\approx 10^{53}$  kg.

(b) Densitatea medie a materiei din univers.  
R:  $\sim 10^{-26}$  kg/m<sup>3</sup>, echivalent cu 10 atomi de hidrogen/m<sup>3</sup>.

(c) Raportul razei universului cunoscut la cea a protonului. Luați raza protonului  $1 \times 10^{-15}$  m iar masa protonului  $1,7 \times 10^{-27}$  kg.

2. *Semnale traversînd un proton.* Estimați timpul necesar unui semnal călătorind cu viteza luminii pentru a se deplasa pe o distanță egală cu diametrul protonului. Luați diametrul protonului  $2 \times 10^{-15}$  m. (Acest timp este un interval convenabil de referință în fizica nucleară și a particulelor elementare.)

3. *Distanța pînă la Sirius.* Parallaxa unei stele este jumătate din unghiul subîntins de stea pînă la punctele extreme ale

orbitei Pământului în jurul Soarelui. Paralaxa lui Sirius este  $0,371''$ . Găsiți distanța în metri, ani lumină și parseci. Un parsec este distanța pînă la o stea a cărei paralaxă este de  $1''$  (Vezi tabela cu valori de la paginile 435, 436, 437.)

R:  $8,3 \times 10^{16}$  m; 8,8 ani lumină;  
2,7 parseci.

4. *Dimensiunea atomilor.* Folosind valoarea numărului lui Avogadro dat în tabela de la paginile 435, 436, 437. și aprecierea dumneavoastră privind densitatea medie a solidelor normale, estimați cu aproximație diametrul unui atom mediu, adică, dimensiunea spațiului cubic umplut de atom.

5. *Unghiul subîntins de Lună.* Luați o scară milimetrică și, cînd sint condiții de observare favorabile, încercați următoarea experiență: țineți scara milimetrică (o riglă) la o distanță egală cu lungimea brațului și măsurați diametrul Lunii; măsurați distanța de la riglă la ochiul dumneavoastră. (Raza orbitei Lunii este  $3,8 \times 10^8$  m, iar raza Lunii însăși este  $1,7 \times 10^6$  m.)

(a) Dacă ați fost în stare să faceți experiența care este rezultatul?

(b) Dacă n-ați putut face măsurătoarea, calculați din datele de mai sus unghiul subîntins de Lună la nivelul Pământului.

R:  $9 \times 10^{-3}$  radiani (rad).

(c) Care este unghiul subîntins de Pământ la nivelul Lunii? (Vezi pag. 72, capitolul 2.)

R:  $3,3 \times 10^{-2}$  rad.

6. *Vîrsta universului.* Presupunind raza universului ca fiind cea dată la pagina 22, găsiți vîrsta universului făcînd ipoteza că o stea care este acum la extremitatea razei a călătorit de la început din centru spre înafară cu viteza de  $0,6c = 1,8 \times 10^8$  m/s ( $c$  viteza luminii în vid).

R:  $2 \times 10^{10}$  ani.

7. *Unghiurile într-un triunghi sferic.* Găsiți suma unghiurilor din triunghiul sferic din figura 1.5, presupunînd că  $A$  este situat la pol iar  $a$  = raza sferei. Pentru a afla unghiul din  $A$ , determinați care ar fi trebuit să fie valoarea lui  $a$  pentru ca unghiul să fie de  $90^\circ$ .

## LECTURI SUPLIMENTARE

Primele două cărți recomandate sînt manuale de liceu în uz. Ele sînt excelente, pentru o revedere și clarificare a conceptelor din fizică. Celelalte conțin și mult material istoric și filozofic.

*Fizica PSSC* [Physical Science Study Committee (PSSC), "Physics"] capitolele 1-4, D. C. Heath & Co., Boston 1965. Ediția a doua.

F. G. Rutherford, G. Holton și F. J. Watson, *Curs de Fizică* („Project Physics Course“), Holt, Rinehart and Winston, Inc., New York, 1970. Un produs al lui Harvard Project Physics (HPP).

O. Struve, B. Lynds și H. Pillans, *Astronomie Elementară* („Elementary Astronomy“), Oxford University Press, New York, 1959. Scoate în relief principalele idei ale fizicii în legătură cu universul; o carte excelentă.

*Enciclopedia de Astronomie Larousse* („Larousse Encyclopedia of Astronomy“), Prometheus Press, New York, 1962. Aceasta este o carte frumoasă și plină de informații.

H. Bondi, *Cosmologia* („Cosmology“), ed. 2-a, Cambridge University Press, New York, 1960. O prezentare scurtă, clară, plină de autoritate, cu accent pe datele observate dar lipsindu-i mult din lucrările mai recente.



D. W. Sciama, *Cosmologia modernă* („Modern Cosmology“), Cambridge University Press, New York, 1971. Această carte include dezvoltările mai recente.

Robert H. Haynes și Philip C. Hanawalt, *Bazele moleculare ale vieții* („The Molecular Basis of Life“), W. H. Freeman & Co. San. Francisco, 1968. O colecție de articole din revista *Scientific American* plus un text de legătură.

Ghunter S. Stent, *Genetica Moleculară* („Molecular Genetics“), W. H. Freeman & Co., San Francisco, 1971. O lucrare introductivă.

Ann Roe, *Cum se formează un om de știință* („The Making of a Scientist“), Dodd, Mead & Co., New York, 1953; retipărit de Appolo, 1961. Aceasta constituie un excelent studiu sociologic al unui grup de oameni de știință americani de la sfârșitul anilor 1940. Probabil că au avut loc importante schimbări în populația oamenilor de știință de când această carte a văzut pentru prima oară în 1953 lumina tiparului.

Bernice T. Eiduson, *Oamenii de știință; Lumea lor psihică* („Scientists: Their Psy-

chological World“), Basic Books, Inc., Publishers, New York, 1962.

A. Einstein, note autobiografice în *Albert Einstein, Om de știință-filozof* („Albert Einstein: Philosopher-Scientist“); editor P. A. Schilpp, Library of Living Philosophers, Evanston, 1949. O excelentă scurtă autobiografie. Este păcat că sint atit de rare biografiile bune ale oamenilor de știință remarcabili cum este cea a lui Freud de Ernest Jones. Sint puține altele comparabile în adincime și onestitate cu marile biografii literare ca de pildă „James Joyce“ de Richard Ellman. Autobiografia lui Charles Darwin constituie o excepție. Cei ce scriu despre oamenii de știință par a fi intimidați peste măsură de fraza lui Einstein: „Pentru că esențialul într-un om ca mine constă tocmai în ce gindește și cum gindește iar nu în ce face sau suferă.“

L. P. Wheeler, *Josiah Willard Gibbs, Istoria unei minți mari* („Josiah Willard Gibbs; The History of a Great Mind“), Yale University Press, New Haven, Conn. 1962.

E. Segré, *Enrico Fermi, fizician* („Enrico Fermi, Physicist“), The University of Chicago Press, Chicago, 1971.

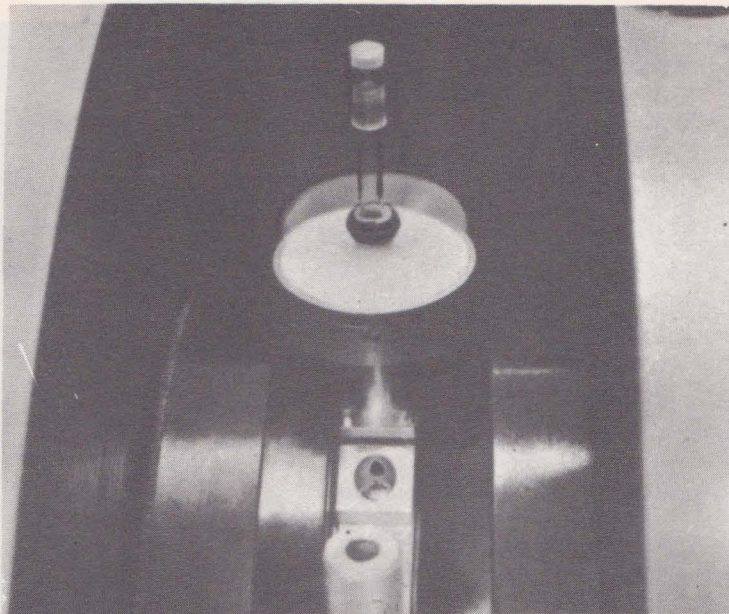
**INSTRUMENTELE FIZICII EXPERIMENTALE.** Fotografiiile din pagina aceasta și din următoarele vor arăta câteva dintre instrumentele și mașinile care contribuie la dezvoltarea științelor fizice.

Un laborator de rezonanță magnetică nucleară pentru studii de structură chimică. (ASUC Photography).





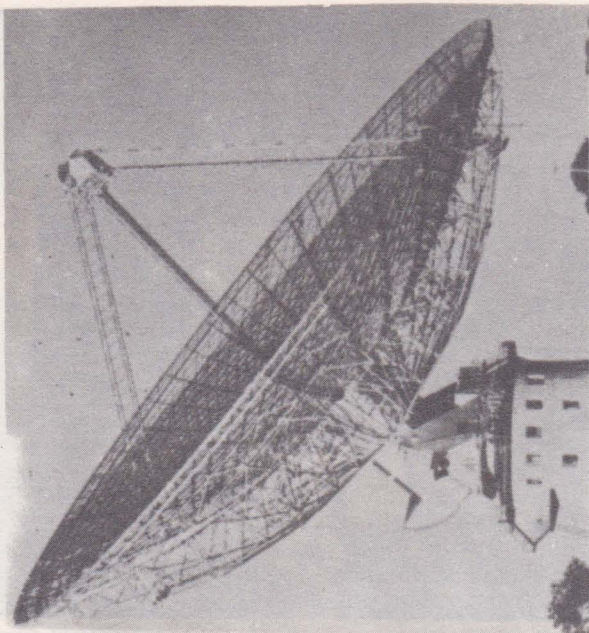
Studierea spectrelor de rezonanță magnetică nucleară: este arătată o probă învîrtindu-se rapid între piesele polare ale unui electromagnet pentru a media variațiile cîmpului magnetic (*Esso Research*).



Operatorul din laboratorul de rezonanță magnetică nucleară este gata să plaseze o substanță în unitatea de temperatură variabilă în care se rotește proba. (*Esso Research.*)

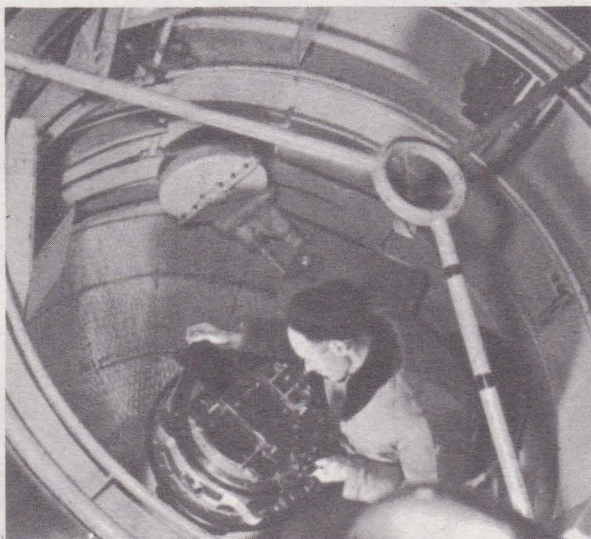




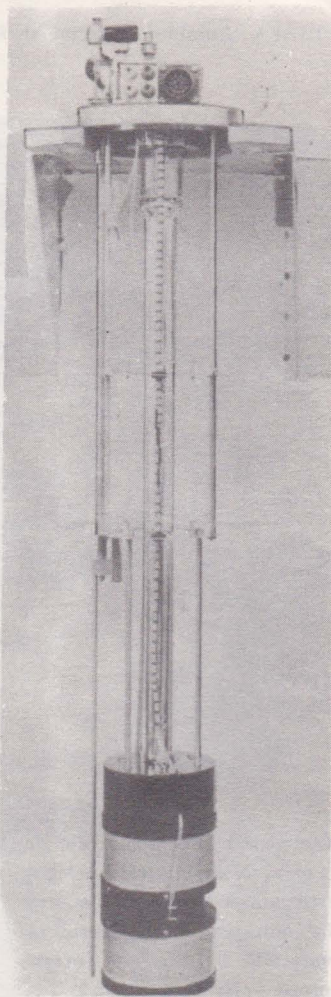


Marele radiotelescop din Australia. Oglinda are 64m în diametru și se află într-o vale liniștită la 320 km vest de Sydney, New South Wales. În această localitate îndepărtată există un minim de perturbații electrice. (*Australian News & Information Bureau.*)

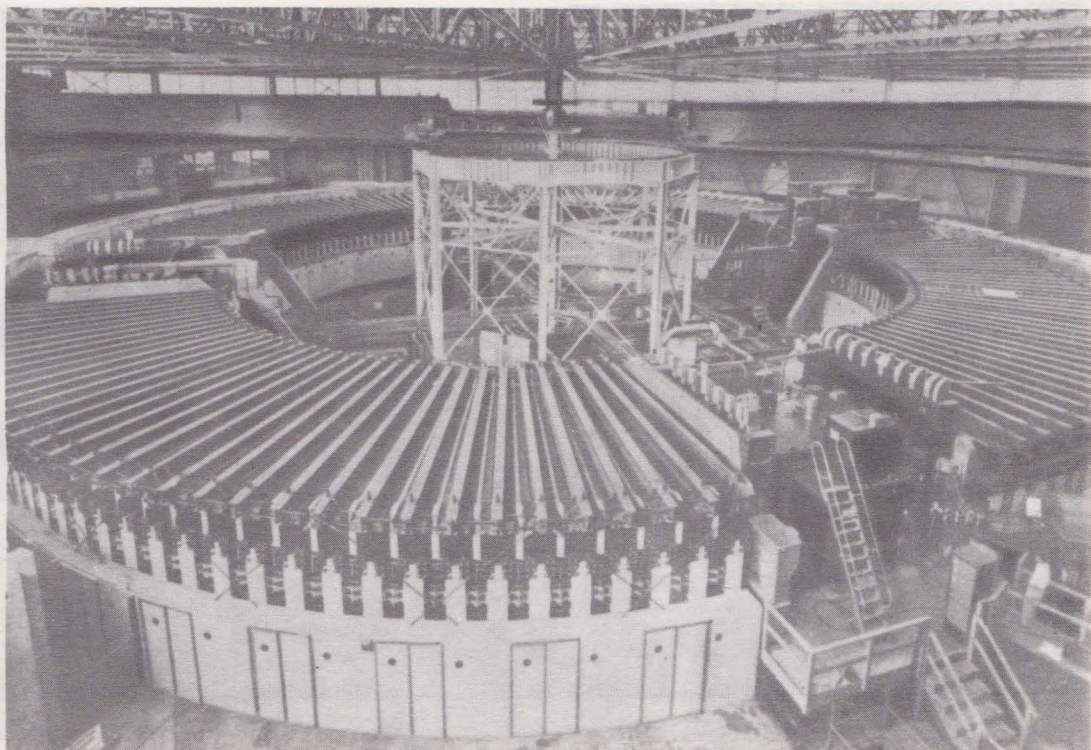
Observatorul aflat în cușca focarului schimbă filmul la telescopul de 200 de țoli de la Hale. (*Prin amabilitatea lui Hale Observatories.*)



Un magnet construit din sirmă supraconductoare pentru a fi folosit la temperatură foarte joasă. Bobinele din figură pot produce un cîmp de 54 000 Gauss (5,4 Tesla în SI). Un asemenea instrument constituie inima unui laborator de temperaturi joase. (*Varian Associates.*)



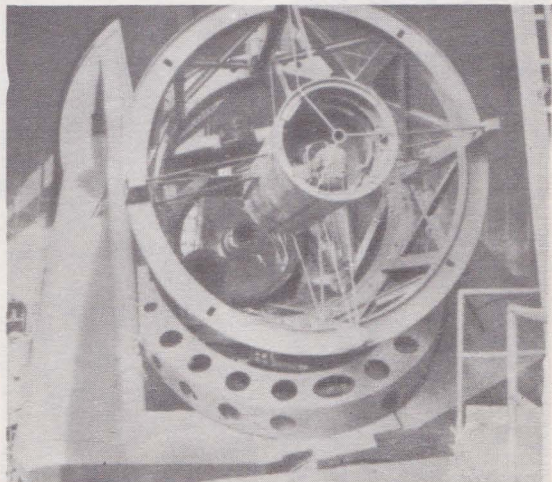




Un accelerator de particule de mare energie: bevatronul de la Berkeley. Protonii sînt injectați din dreapta jos. (*Lawrence Berkeley Laboratory.*) Pînă acum, acceleratoare de energii și mai mari sînt în funcțiune la laboratorul Brookhaven din Long Island, la laboratorul CERN din Geneva, la Serpukhov în URSS și la NAL lîngă Chicago.

Telescopul de 200 de țoli ( $\approx 5\text{m}$ ) de la Hale îndreptat spre zenit; vedere dinspre sud. (*Prin amabilitatea lui Hale Observatories.*)

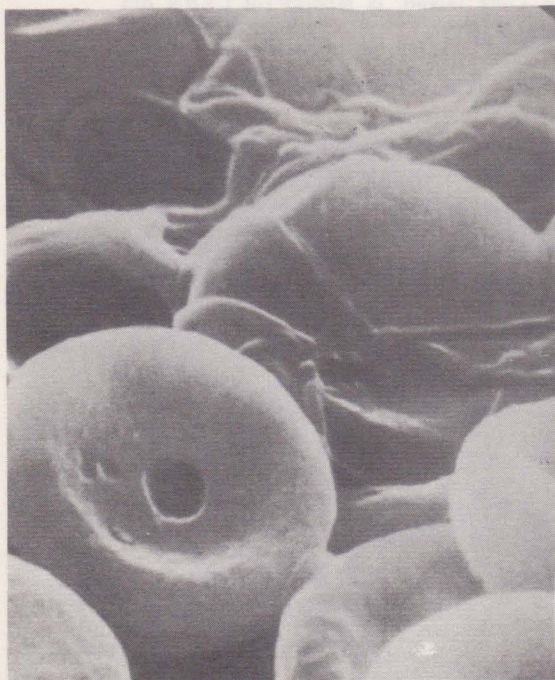
Suprafața reflectătoare a oglinzii de 200 de țoli a telescopului de la Hale cu observatorul în cușca focarului. (*Prin amabilitatea lui Hale Observatories.*)





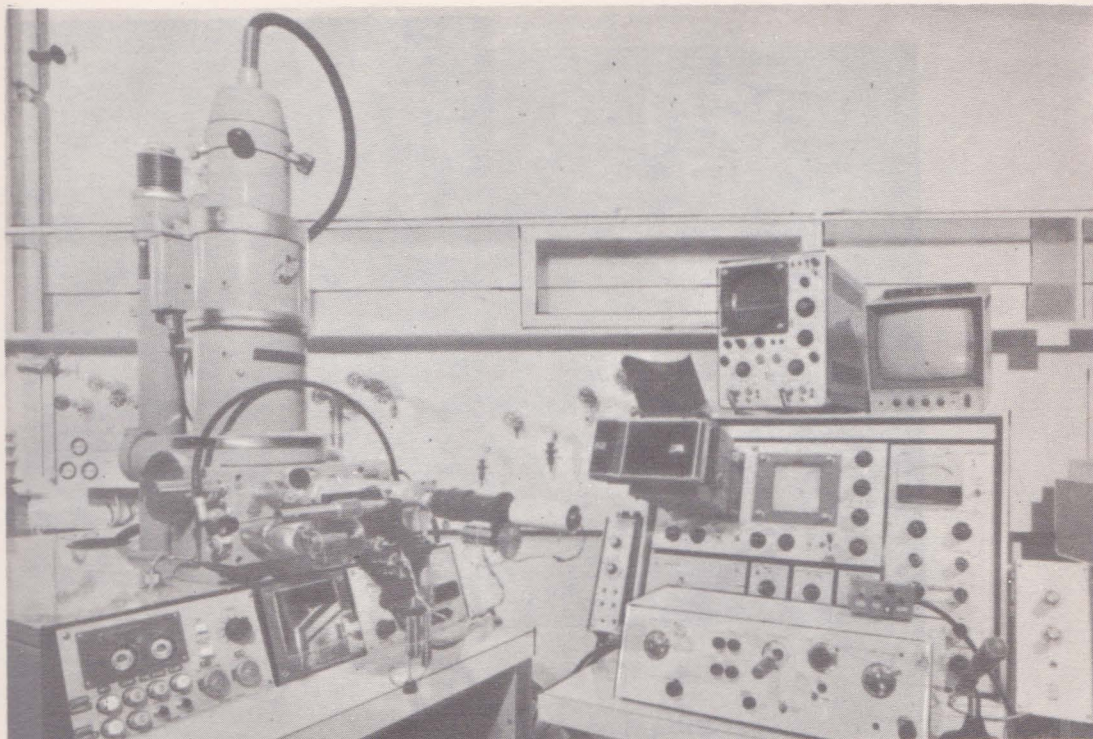


**Galaxia spirală NGC 4594 din constelația Fecioarei văzută cu marginea în față; totografie la telescopul de 200 de țoli. (Prin amabilitatea lui Hale Observatories.)**



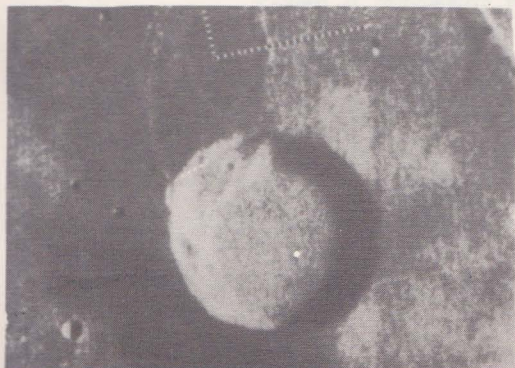
**Globulele roșii ale singelui omenesc văzute la microscopul electronic cu scanning și mărite de 15 000 de ori. Obiectele în formă de disc sînt globulele roșii legate într-o plasă din fibre de fibrină. De notat caracterul realist, tridimensional al fotografiei. (Prin amabilitatea lui Dr. Thomas L. Hayes, Donner Laboratory. Lawrence Berkeley Laboratory, University of California, Berkeley.)**



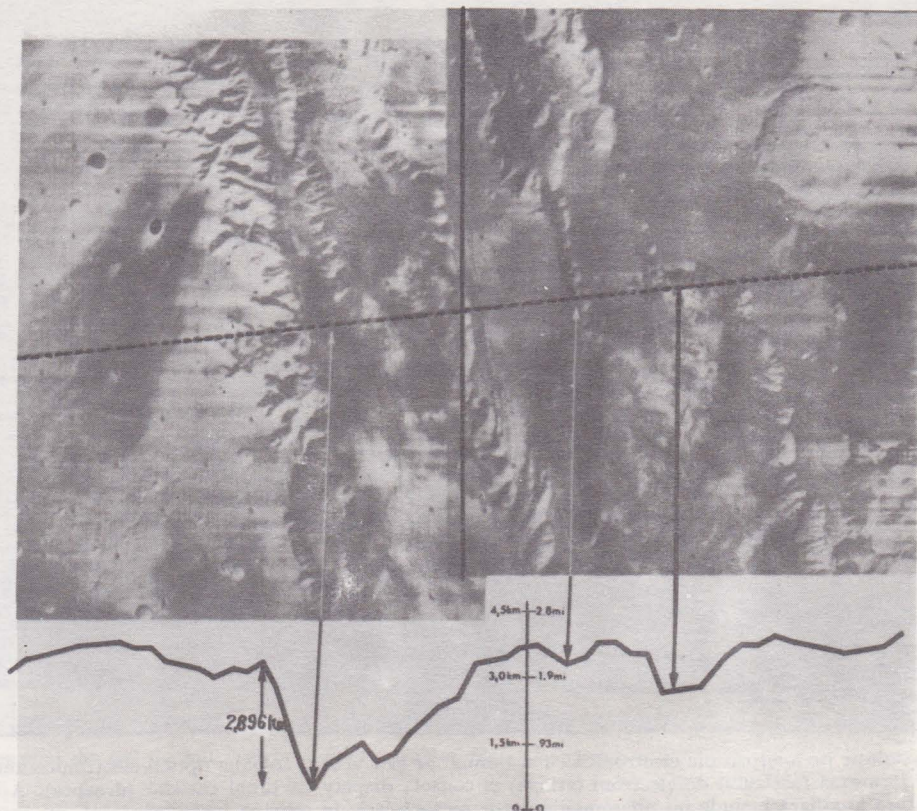


Instalație de microscopie electronică cu scanning. Se pot vedea: coloana opticii electronice unde se formează fasciculul de electroni (stînga) și consola display cu tubul catodic (dreapta). Aparatura auxiliară include un micromanipulator piezoelectric în coloana instrumentului, un ecran de televiziune și un magnetoscop, un aparat de fotografiat Polaroid precum și un osciloscop monitor de semnale. (Prin amabilitatea lui Dr. Thomas L. Hayes, Donner Laboratory, Lawrence Berkeley Laboratory, University of California, Berkeley.)

Un crater marșian de 70 km în diametru fotografiat de Mariner 9 la 16 decembrie 1971. Soarele bate din dreapta. Dreptunghiul cu linie albă punctată delimitează suprafața prezentată în fotografia de jos făcută cu camera de mare rezoluție a lui Mariner la 22 decembrie. Șanțurile, similare cu șanțurile lunare, se presupun a fi crăpături în scoarță pe unde a ieșit lava. Ambele fotografii au fost îmbunătățite prin prelucrare la calculator. (Prin amabilitatea lui Jet Propulsion Laboratory, California Institute of Technology, N.A.S.A.)







Acest mozaic, format din două fotografii ale regiunii Lacului Tithonius de pe Marte luate de către nava cosmică Mariner 9, prezintă un canion de două ori mai adânc decât Marele Canion din Arizona. Fotografiiile au fost comparate cu măsurătorile de presiune făcute prin spectrometrie în ultraviolet la bordul navei spațiale. Săgețile unesc adâncimile deduse din măsurătorile de presiune făcute cu spectrometrul de ultraviolet și trăsăturile corespunzătoare din fotografie. Linia punctată arată traiectoria măturată de spectrometru. Fotografiiile au fost luate de la înălțimea de 1 700 km și acoperă o suprafață cu lărgimea de 650 km. (Prin amabilitatea lui Jet Propulsion Laboratory, California Institute of Technology, NASA.)



# 2

## Vectori

### Cuprins

#### **Vectori: limbaj și concepte**

*Notăția vectorială*

*Egalitatea vectorilor*

**Adunarea vectorilor**

**Produse de vectori**

*Produsul scalar*

*Produsul vectorial*

**Derivate vectoriale**

*Viteza*

*Accelerația*

*Exemplu: Mișcarea circulară*

**Invarianți**

*Exemple de diferiți vectori elementari*

*Operații*

*Probleme*

*Note matematice:*

*Derivata în raport cu timpul. Viteza și accelerația*

*Unghiuri*

*Funcția  $e^x$*

*Dezvoltarea în serie*

*Vectorii și coordonatele polare*

*Identități vectoriale utile*

*Lecturi suplimentare*

## VECTORI: LIMBAJ ȘI CONCEPTE

Limbajul este o componentă esențială a gândirii abstracte. Este greu a gândi clar și ușor, despre concepte abstracte și sofisticate, într-un limbaj ce nu are cuvinte potrivite unor asemenea concepte. Pentru a exprima noi concepte științifice, au fost inventate și adăugate limbilor noi cuvinte; multe asemenea cuvinte au fost formate din rădăcinile existente în greaca sau latina clasică. Un cuvânt nou poate fi adoptat de multe limbi moderne dacă el satisface necesitățile comunității științifice. Astfel *vector* în engleză (și română) este *vecteur* în franceză, *Vektor* în germană și *BEKTOP* (pronunțat *vector*) în rusă.

*Vector* este un cuvânt ce definește o cantitate care are *direcție*, sens și *mărime* și care se compune cu alți vectori după o regulă specială.<sup>1</sup> În toată mecanica (ca și în alte ramuri ale fizicii) vom întâlni cantități (viteză, forță, câmp electric, moment de dipol magnetic) care au atât mărime cât și direcție și, în consecință, este important a dezvolta limbajul și tehnicile pentru abordarea acestor mărimi. Deși analiza vectorială este considerată adesea o ramură a matematicii, importanța ei pentru fizică este atât de mare încât merită să includem aici o introducere.

**Notația vectorială.** Deoarece simbolurile sînt componentele limbajului matematic o parte importantă a analizei matematice constă în tehnica utilizării corecte a notațiilor. Notația vectorială are două proprietăți importante:

1. Formularea legilor fizicii în termeni vectoriali este independentă de alegerea axelor de coordonate. Notația vectorială oferă un limbaj în care enunțurile au un conținut fizic fără să introducem vreodată un sistem de coordonate.
2. Notația vectorială este concisă. Multe legi fizice au forme simple și ușor de intuit dar care sînt ascunse atunci cînd legile se scriu în termeni unui sistem particular de coordonate.

Deși în rezolvarea problemelor vom dori să lucrăm într-un sistem particular de coordonate, vom enunța legile fizicii în forma vectorială, ori de cîte ori va fi posibil. Unele legi mai complicate, ce nu pot fi exprimate în formă

---

<sup>1</sup> Înțelesul cuvîntului vector constituie o extindere naturală al unui sens mai vechi, acum demodat, din astronomie: o linie dreaptă imaginară ce unește o planetă în mișcarea sa pe elipsă cu un focar al elipsei.

Regula specială este dată la pagina 46.



vectorială, pot fi exprimate în formă tensorială. Un *tensor* este o generalizare a vectorului și include vectorul ca un caz particular. Analiza vectorială pe care o cunoaștem azi este în mare parte rezultatul muncii desfășurate la sfârșitul secolului trecut de către Josiah Willard Gibbs și Oliver Heaviside.

Notăția vectorială pe care o vom adopta este următoarea: pe tablă, mărimea vectorială  $A$  este scrisă punind o linie ondulată sub  $A$  ori punind o săgeată deasupra literei. În carte vectorii vor apărea întotdeauna cu litere **aldine**. Mărimea vectorului va fi tipărită cu litere latine:  $A$  este mărimea lui  $\mathbf{A}$ ;  $A$  se mai scrie și  $|\mathbf{A}|$ . Un vector unitar este un vector de lungime unitate; un vector unitar în direcția lui  $\mathbf{A}$  se scrie cu căciulă pusă deasupra astfel  $\hat{\mathbf{A}}$  și se citește „ $A$  versor” sau „ $A$  căciulă”. Recapitulăm această notație prin identitatea:

$$\mathbf{A} \equiv \hat{\mathbf{A}} A \equiv A \hat{\mathbf{A}}.$$

Figurile de la 2.1 la 2.4 prezintă: un vector, opusul celui vector, vectorul înmulțit cu un scalar și vectorul unitar.

Utilitatea și aplicabilitatea vectorilor în problemele de fizică se bazează în cea mai mare măsură pe geometria euclidiană. Enunțarea unei legi în termeni vectoriali presupune de obicei acceptarea geometriei euclidiene. Dacă geometria n-ar fi euclidiană, adunarea a doi vectori într-o manieră simplă și clară n-ar mai fi posibilă. Pentru spațiul curb există un limbaj mai general, geometria diferențială metrică, care este limbajul teoriei generalizate a rela-

FIG. 2.1. Vectorul  $\mathbf{r}$  reprezintă poziția punctu lui  $P$  relativ la alt punct  $O$  luat drept origine.

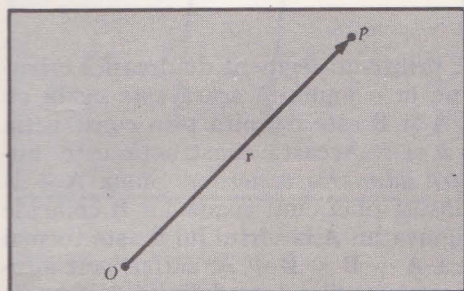


FIG. 2.2. Vectorul  $-\mathbf{r}$  este egal în mărime cu  $\mathbf{r}$  dar opus ca sens.

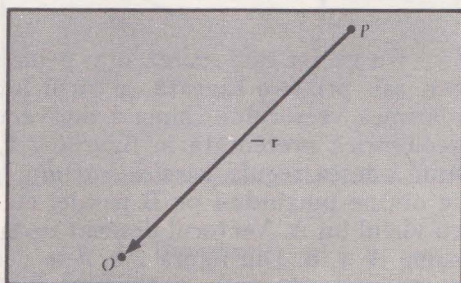


FIG. 2.3. Vectorul  $0,6 \mathbf{r}$  se află pe direcția lui  $\mathbf{r}$  și are mărimea  $0,6 r$ .

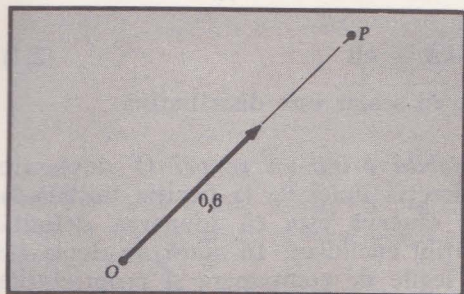
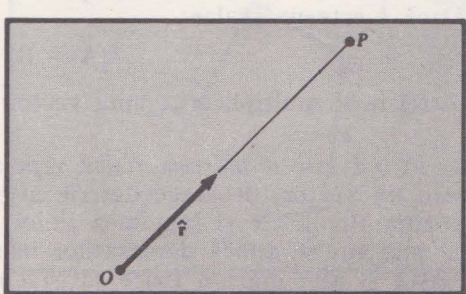


FIG. 2.4. Vectorul  $\hat{\mathbf{r}}$  este vectorul unitate în direcția lui  $\mathbf{r}$ . Notați că  $\mathbf{r} = r \hat{\mathbf{r}}$ .





tivității, domeniul fizicii în care geometria euclidiană nu mai este suficient de precisă.

Am considerat vectorul ca fiind o cantitate ce are atât direcție cât și mărime. Aceste proprietăți nu au absolut nici o legătură cu vreun sistem particular de coordonate, deși presupunem că direcția vectorului poate fi definită, de exemplu, în raport cu camera laboratorului, sau cu stelele fixe etc. Cu toate acestea, vom vedea că sînt și alte obiecte matematice care au mărime și direcție dar care nu sînt vectori ca, de pildă, rotațiile finite (pagina 48). O cantitate ce are o mărime dar *nu* și direcție este un *scalar*. Mărimea unui vector este un scalar. Temperatura și masa sînt tot scalari. Pe de altă parte viteza  $\mathbf{v}$  este un vector și forța  $\mathbf{F}$  este tot un vector.

**Egalitatea vectorilor.** După ce am stabilit notațiile, vom trece acum la cîteva operații vectoriale: adunarea, scăderea și înmulțirea. Doi vectori  $\mathbf{A}$  și  $\mathbf{B}$  ce descriu mărimi fizice similare (de exemplu forțe) sînt considerați egali cînd au aceeași mărime, aceeași direcție și același sens; acest lucru se scrie  $\mathbf{A} = \mathbf{B}$ . Un vector nu trebuie să aibă neapărat precizată și o poziție în spațiu, deși el ar putea să se refere la o mărime definită într-un anumit punct. Doi vectori pot fi comparați, chiar și atunci cînd ei măsoară mărimi fizice definite în diferite puncte din spațiu și la momente diferite. Dacă n-ar exista încrederea (bazată pe experiență) că putem considera spațiul ca nefiind curb, adică euclidian — cu excepția, poate, a distanțelor enorme — atunci n-am putea compara fără nici un echivoc doi vectori aflați în puncte diferite.

## ADUNAREA VECTORILOR

Un vector este reprezentat geometric printr-un segment de dreaptă orientat, sau printr-o săgeată, a cărei lungime la o anumită scară este egală cu mărimea vectorului. Suma a doi vectori  $\mathbf{A}$  și  $\mathbf{B}$  este definită prin construcția geometrică prezentată în figurile 2.5,  $a$ ,  $b$  și  $c$ . Această construcție este numită adesea regula *paralelogramului pentru adunarea vectorilor*. Suma  $\mathbf{A} + \mathbf{B}$  se obține purtîndu-l pe  $\mathbf{B}$  paralel cu el însuși pînă cînd coada lui  $\mathbf{B}$  coincide cu vîrfurile lui  $\mathbf{A}$ . Vectorul desenat de la originea lui  $\mathbf{A}$  la vîrfurile lui  $\mathbf{B}$  este tocmai suma  $\mathbf{A} + \mathbf{B}$ . Din figura 2.5,  $d$  se vede că  $\mathbf{A} + \mathbf{B} = \mathbf{B} + \mathbf{A}$ , astfel încît adunarea vectorilor este comutativă. Scăderea vectorilor este definită în figurile 2.6,  $a$  și  $b$  cu  $\mathbf{B} + (-\mathbf{B}) = 0$  definind vectorul negativ (opus).

Adunarea vectorilor satisface relația  $\mathbf{A} + (\mathbf{B} + \mathbf{C}) = (\mathbf{A} + \mathbf{B}) + \mathbf{C}$ , deci adunarea vectorilor este asociativă (vezi fig. 2.7). Suma unui număr finit de vectori este independentă de ordinea în care aceștia sînt adunați. Dacă  $\mathbf{A} - \mathbf{B} = \mathbf{C}$ , atunci adunînd pe  $\mathbf{B}$  la ambii membri obținem  $\mathbf{A} = \mathbf{B} + \mathbf{C}$ . Dacă  $k$  este un scalar:

$$k(\mathbf{A} + \mathbf{B}) = k\mathbf{A} + k\mathbf{B} \quad (2.1)$$

astfel încît multiplicarea unui vector cu un scalar este distributivă.

*Cînd este o mărime fizică reprezentabilă printr-un vector?* O deplasare este un vector, deoarece descrie atât direcția liniei de la poziția inițială la poziția finală cât și lungimea liniei; se observă ușor că adunarea definită ca mai sus se aplică deplasărilor în spațiul euclidian. În afară de deplasări există și alte mărimi fizice satisfăcînd legile de compunere și proprietățile



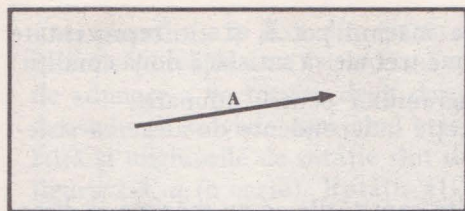


FIG. 2.5.(a) Vectorul  $A$ .

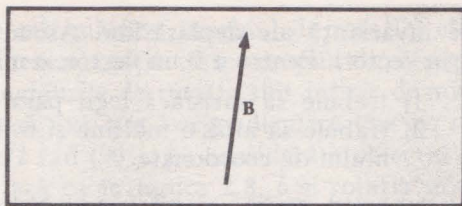


FIG. 2.5.(b) Vectorul  $B$ .

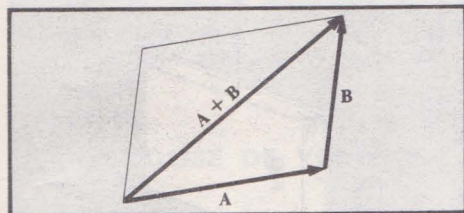


FIG. 2.5. (c) Vectorul sumă  $A + B$ .

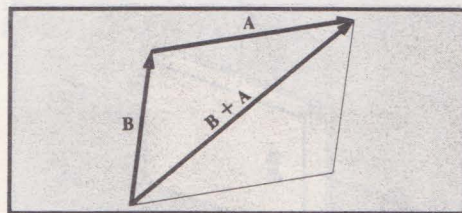


FIG. 2.5. (d) Vectorul sumă  $B + A$  este egal cu  $A + B$ .

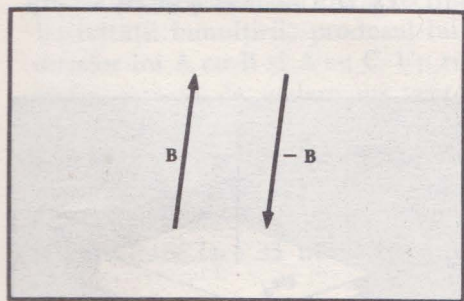


FIG. 2.6. (a) Vectorii  $B$  și  $-B$ .

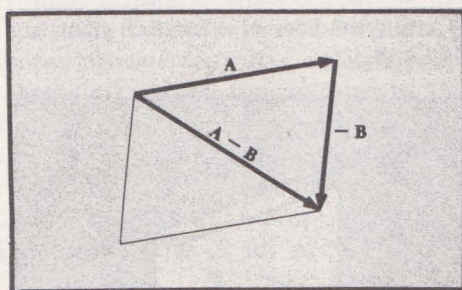
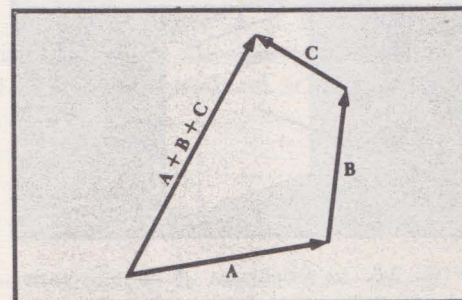


FIG. 2.6. (b) Formarea lui  $A - B$ ; scăderea vectorilor.



FIG. 2.7. Suma a trei vectori:  $A + B + C$ . Verificați dumneavoastră că suma aceasta este egală cu  $B + A + C$ .



de invarianță ale deplasărilor. Asemenea mărimi pot fi și ele reprezentate prin vectori. Pentru a fi un vector, o mărime trebuie să satisfacă două condiții:

- 1) trebuie să satisfacă legii paralelogramului pentru adunare;
- 2) trebuie să aibă o mărime și o direcție independente de alegerea sistemului de coordonate.

*Rotațiile finite nu sînt vectori.* Nu toate cantitățile ce au mărime și direcție sînt cu necesitate vectori. De exemplu, rotația unui corp rigid în jurul

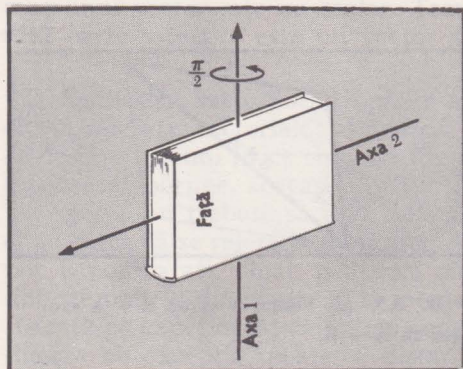


FIG. 2.8. (a) Orientarea originală a cărții. Ea este rotită apoi cu  $\pi/2$  radiani (rad) în jurul axei 1.

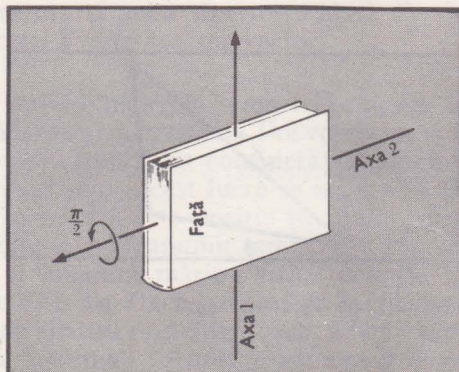


FIG. 2.8. (d) Orientarea originală a cărții.

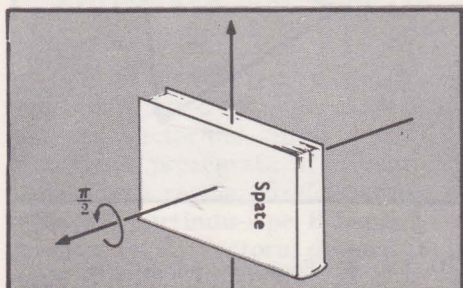


FIG. 2.8. (b) Orientarea după o rotație de  $\pi/2$  rad. în jurul axei 1.

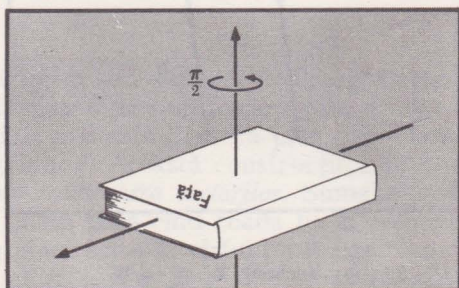


FIG. 2.8. (e) Orientarea după o rotație de  $\pi/2$  rad. în jurul axei 2.

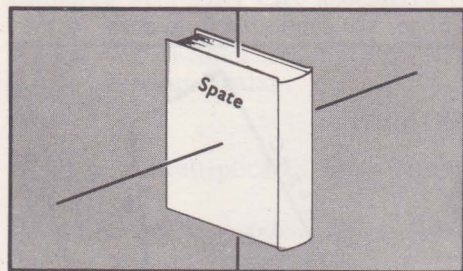


FIG. 2.8. (c) Orientarea după o rotație ulterioară de  $\pi/2$  rad. în jurul axei 2.

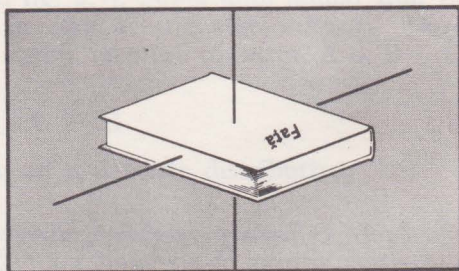


FIG. 2.8. (f) Orientarea după o rotație ulterioară de  $\pi/2$  rad. în jurul axei 1.



unei anumite axe fixe din spațiu are atît mărime (unghiul de rotație) cît și direcție (direcția axei). Dar două asemenea rotații nu se compun după regula de adunare a vectorilor, decît dacă unghiurile de rotație sînt infinit de mici<sup>1</sup>. Acest lucru se vede ușor cînd cele două axe sînt perpendiculare una pe cealaltă și unghiurile de rotație sînt de  $\pi/2$  rad ( $90^\circ$ ). Să considerăm obiectul din figura 2.8, *a* (o carte). Rotația (1) o lasă ca în figura 2.8, *b* și rotația următoare (2) în jurul unei alte axe o lasă ca în figura 2.8, *c*. Dar dacă obiectului, orientat ca la început (fig. 2.8, *d*), îi aplicăm întîi rotația (2), (fig. 2.8, *e*) și apoi rotația (1) în final el ajunge ca în poziția din figura 2.8, *f*. Orientarea din figura a șasea nu este aceeași ca cea din figura a treia. Este evident, că aceste rotații nu satisfac legea comutativității adunării vectorilor. În ciuda faptului că au o mărime și o direcție, rotațiile finite nu pot fi reprezentate prin vectori.

## PRODUSE DE VECTORI

Deși nu avem nici un motiv să ne întrebăm dacă suma a doi vectori este un scalar sau un vector, o astfel de întrebare este importantă atunci cînd ne referim la produsul a doi vectori. Există două moduri foarte utile în care se poate defini produsul a doi vectori. Amîndouă produsele satisfac legea distributivității înmulțirii: produsul lui **A** cu suma  $\mathbf{B} + \mathbf{C}$  este egal cu suma produselor lui **A** cu **B** și **A** cu **C**. Un tip de produs este un scalar, celălalt este din multe puncte de vedere un vector. Ambele produse sînt folosite în fizică. Există și alte definiții de produse ce nu sînt folositoare: de ce  $\mathbf{AB}$  nu este o definiție folositoare pentru produsul a doi vectori? Prin  $\mathbf{AB}$  înțelegem produsul obișnuit  $|\mathbf{A}| \cdot |\mathbf{B}|$  al mărimilor lui **A** și lui **B**. Observăm că dacă  $\mathbf{D} = \mathbf{B} + \mathbf{C}$  atunci, în general,  $\mathbf{AD} \neq \mathbf{AB} + \mathbf{AC}$ . Absența proprietății de distributivitate face să nu se folosească  $\mathbf{AB}$  ca produs al lui **A** cu **B**.

**Produsul scalar.** Produs scalar al lui **A** și **B** se definește ca fiind acel număr obținut înmulțind mărimea lui **A** cu mărimea lui **B** și cu cosinusul unghiului dintre ele (vezi fig. 2.9 de la *a* la *c*). Produsul scalar este un scalar. Pentru produsul scalar există simbolul:

$$\mathbf{A} \cdot \mathbf{B} \equiv AB \cos (\mathbf{A}, \mathbf{B}) \quad (2.2)$$

Aici  $\cos (\mathbf{A}, \mathbf{B})$  înseamnă cosinusul unghiului dintre **A** și **B**. Vedem că în definiția dată produsului scalar nu intervine nici un sistem de coordonate. Observăm că  $\cos (\mathbf{A}, \mathbf{B}) = \cos (\mathbf{B}, \mathbf{A})$  astfel încît produsul scalar este comutativ:

$$\mathbf{A} \cdot \mathbf{B} = \mathbf{B} \cdot \mathbf{A}. \quad (2.3)$$

Vom citi  $\mathbf{A} \cdot \mathbf{B}$  ca „**A** punct **B**”.

<sup>1</sup> Vitezele unghiulare sînt vectori, chiar dacă rotațiile de unghiuri finite nu sînt.

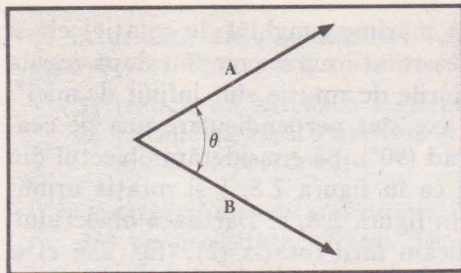


FIG. 2.9. (a) Pentru a-l forma pe  $A \cdot B$  aduceți vectorii  $A$  și  $B$  într-o origine comună.

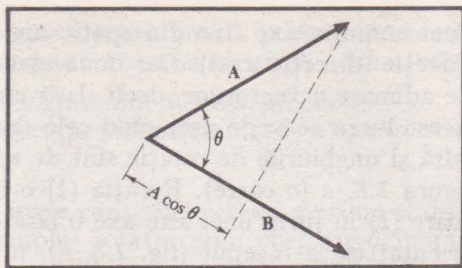


FIG. 2.9. (b)  $B(A \cos \theta) = A \cdot B$ .

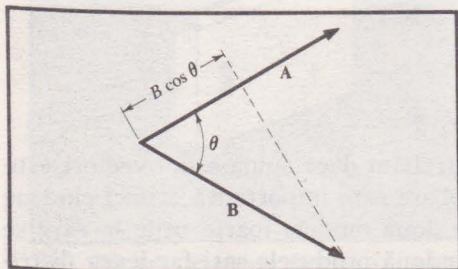


FIG. 2.9. (c)  $A(B \cos \theta) = A \cdot B$ . Aici  $\theta$ , litera greacă theta, reprezintă unghiul dintre  $A$  și  $B$ .

Dacă unghiul dintre  $A$  și  $B$  se află între  $\pi/2$  și  $3\pi/2$ , atunci  $\cos(A, B)$  și  $A \cdot B$  vor fi numere negative. Dacă  $A = B$ , atunci  $\cos(A, B) = 1$  și:

$$A \cdot B = A^2 = |A|^2.$$

Dacă  $A \cdot B = 0$  și  $A \neq 0$ ,  $B \neq 0$ , vom spune că  $A$  este ortogonal pe  $B$  sau perpendicular pe  $B$ . De notat că  $\cos(A, B) = \hat{A} \cdot \hat{B}$ , astfel încât produsul scalar a doi vectori unitari este tocmai cosinusul unghiului dintre ei. Mărimea proiecției lui  $B$  pe direcția lui  $A$  este:

$$B \cos(A, B) = B \hat{A} \cdot \hat{B} = B \cdot \hat{A}$$

unde  $\hat{A}$  este vectorul unitar în direcția lui  $A$ . Proiecția lui  $A$  pe direcția lui  $B$  este:

$$A \cos(A, B) = A \cdot \hat{B}.$$

Produsul scalar nu are invers: dacă  $A \cdot X = b$  atunci nu există soluție unică pentru  $X$ . Împărțirea cu un vector este o operație fără sens, nu este definită.

*Componente, mărimi și cosinuși directori.* Fie  $\hat{x}, \hat{y}, \hat{z}$  trei vectori unitari ortogonali<sup>1</sup> ce definesc un sistem cartezian de coordonate ca în figura 2.10, a. Un vector arbitrar  $A$  se poate scrie:

$$A = A_x \hat{x} + A_y \hat{y} + A_z \hat{z} \quad (2.4)$$

<sup>1</sup> Ortogonali, în sensul de aici, înseamnă reciproc perpendiculari.



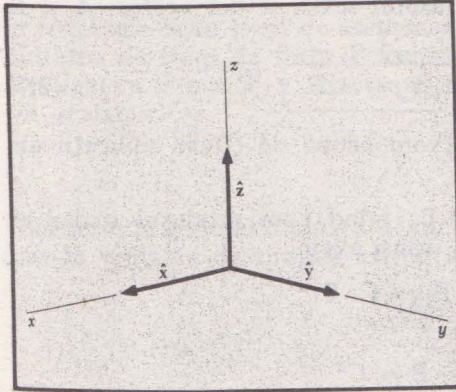


FIG. 2.10. (a) Vectorii unitari cartezieni ortogonali  $\hat{x}$ ,  $\hat{y}$ ,  $\hat{z}$ .

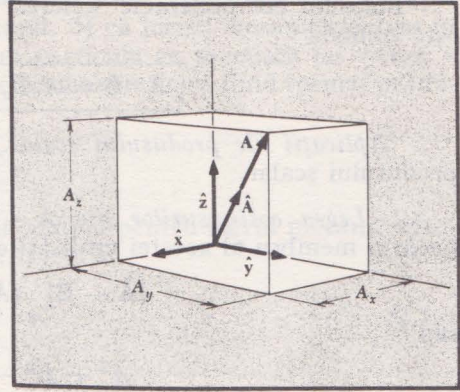


FIG. 2.10. (b)  $\mathbf{A} = \hat{x} A_x + \hat{y} A_y + \hat{z} A_z$

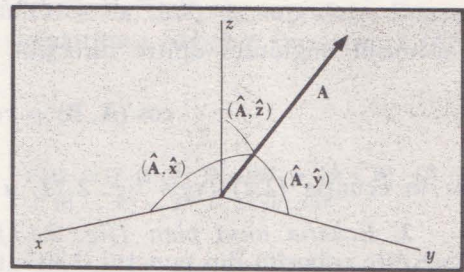


FIG. 2.11. Cosinuşii directori referitori la unghiurile indicate.

unde  $A_x$ ,  $A_y$  şi  $A_z$  se numesc *componentele* lui  $\mathbf{A}$ , aşa cum se vede în figura 2.10, b. Se vede imediat că  $A_x = \mathbf{A} \cdot \hat{x}$  deoarece:

$$\mathbf{A} \cdot \hat{x} = A_x \hat{x} \cdot \hat{x} + A_y \hat{y} \cdot \hat{x} + A_z \hat{z} \cdot \hat{x} = A_x$$

şi

$$\hat{y} \cdot \hat{x} = 0 = \hat{z} \cdot \hat{x}$$

$$\hat{x} \cdot \hat{x} = 1.$$

În funcţie de componentele  $A_x$ ,  $A_y$ ,  $A_z$  mărimea lui  $A$  este:

$$\begin{aligned} A &= \sqrt{\mathbf{A} \cdot \mathbf{A}} = \sqrt{(A_x \hat{x} + A_y \hat{y} + A_z \hat{z}) \cdot (A_x \hat{x} + A_y \hat{y} + A_z \hat{z})} = \\ &= \sqrt{A_x^2 + A_y^2 + A_z^2}. \end{aligned} \quad (2.5)$$

Dacă vrem să scriem o expresie pentru vectorul unitar  $\hat{\mathbf{A}}$  (vezi de asemenea fig. 2.10, b) vedem că:

$$\hat{\mathbf{A}} = \frac{\hat{x} \hat{x} \cdot \mathbf{A}}{A} + \frac{\hat{y} \hat{y} \cdot \mathbf{A}}{A} + \frac{\hat{z} \hat{z} \cdot \mathbf{A}}{A} = \hat{x} \frac{A_x}{A} + \hat{y} \frac{A_y}{A} + \hat{z} \frac{A_z}{A} \quad (2.6)$$

este tocmai o astfel de expresie. Din figura 2.11 şi ecuaţia (2.6) deducem că unghiurile pe care le face  $\hat{\mathbf{A}}$  cu axele  $x$ ,  $y$ , şi  $z$  au cosinuşii  $A_x/A$ ,  $A_y/A$  şi  $A_z/A$  sau  $\hat{x} \cdot \hat{\mathbf{A}}$ ,  $\hat{y} \cdot \hat{\mathbf{A}}$  şi  $\hat{z} \cdot \hat{\mathbf{A}}$ . Aceştia se numesc *cosinuşii directori* şi au proprietatea că suma pătratelor a trei cosinuşi directori este egală cu unu, după cum se poate vedea cu ajutorul ecuaţiei (2.5).

Folosind componentele scrierea produsului scalar a doi vectori  $\mathbf{A}$  și  $\mathbf{B}$  este comodă

$$\mathbf{A} \cdot \mathbf{B} = A_x B_x + A_y B_y + A_z B_z \quad (2.7)$$

*Aplicații ale produsului scalar.* Ne vom ocupa de câteva aplicații ale produsului scalar.

1. *Legea cosinusurilor.* Fie  $\mathbf{A} - \mathbf{B} = \mathbf{C}$ ; luînd apoi produsul scalar al fiecărui membru al acestei egalități cu el însuși avem:

$$(\mathbf{A} - \mathbf{B}) \cdot (\mathbf{A} - \mathbf{B}) = \mathbf{C} \cdot \mathbf{C}$$

sau

$$A^2 + B^2 - 2\mathbf{A} \cdot \mathbf{B} = C^2$$

care este tocmai faimoasa relație trigonometrică:

$$A^2 + B^2 - 2AB \cos(\mathbf{A}, \mathbf{B}) = C^2. \quad (2.8)$$

Cosinusul unghiului dintre direcțiile a doi vectori este dat de:

$$\cos(\mathbf{A}, \mathbf{B}) = \cos \theta_{AB} = \frac{\mathbf{A} \cdot \mathbf{B}}{AB}$$

ca în ecuația (2.2) (vezi fig. 2.12,  $a$  și  $b$ ).

2. *Ecuția unui plan* (fig. 2.13). Fie  $\mathbf{N}$  normala la planul considerat, care este coborîtă din punctul  $O$  situat în afara planului. Fie  $\mathbf{r}$  un vector arbitrar cu originea în  $O$  și cu extremitatea în orice punct  $P$  din plan. Proiecția lui  $\mathbf{r}$  pe  $\mathbf{N}$  trebuie să fie egală în mărime cu  $N$ . Astfel planul este descris de ecuația:

$$\mathbf{r} \cdot \mathbf{N} = N^2. \quad (2.9)$$

Pentru a stabili identitatea acestei relații compacte cu expresia cunoscută din geometria analitică pentru ecuația planului:

$$ax + by + cz = 1$$

să scriem pe  $\mathbf{N}$  și  $\mathbf{r}$  în funcție de componentele  $N_x$ ,  $N_y$  și  $N_z$  precum și de  $x$ ,  $y$ ,  $z$ . Ecuția (2.9) ia acum forma:

$$(x \hat{\mathbf{x}} + y \hat{\mathbf{y}} + z \hat{\mathbf{z}}) \cdot (N_x \hat{\mathbf{x}} + N_y \hat{\mathbf{y}} + N_z \hat{\mathbf{z}}) = N^2$$

care se reduce la:

$$x \frac{N_x}{N^2} + y \frac{N_y}{N^2} + z \frac{N_z}{N^2} = 1.$$

3. *Vectorii electric și magnetic într-o undă electromagnetică.* Fie  $\hat{\mathbf{k}}$  vectorul unitate în direcția de propagare a unei unde electromagnetice plane în vid (vezi fig. 2.14), atunci (după cum vom vedea în volumele 2 și 3) vectorii intensitate electrică și inducție magnetică  $\mathbf{E}$  și  $\mathbf{B}$  trebuie să se afle în planul normal la  $\hat{\mathbf{k}}$  și să fie perpendiculari unul pe celălalt. Vom exprima această condiție geometrică prin relațiile:

$$\hat{\mathbf{k}} \cdot \mathbf{E} = 0, \quad \hat{\mathbf{k}} \cdot \mathbf{B} = 0, \quad \mathbf{E} \cdot \mathbf{B} = 0.$$



4. *Lucrul mecanic efectuat în unitatea de timp (puterea).* S-a învățat în fizica din liceu (vezi de asemenea și capit. 5) că lucrul mecanic efectuat în unitatea de timp de forța  $\mathbf{F}$  asupra unei particule ce se mișcă cu viteza  $\mathbf{v}$  este egal cu  $Fv \cos(\mathbf{F}, \mathbf{v})$ . Recunoaștem această expresie ca fiind tocmai produsul scalar:

$$\mathbf{F} \cdot \mathbf{v}.$$

Vom scrie în general derivata  $dL/dt$  ca un simbol pentru lucrul mecanic efectuat în unitatea de timp și astfel (fig. 2.15):

$$\frac{dL}{dt} = \mathbf{F} \cdot \mathbf{v}. \quad (2.10)$$

5. *Debitul.* Fie  $\mathbf{S}$  un vector perpendicular pe o suprafață plană și de mărime egală cu aria acelei suprafețe și fie  $\mathbf{v}$  viteza cu care se deplasează suprafața. Atunci volumul parcurs în unitatea de timp de suprafața  $\mathbf{S}$  este un cilindru avînd ca bază suprafața  $\mathbf{S}$  și înălțimea oblică  $\mathbf{v}$  (vezi fig. 2.16), sau  $\mathbf{S} \cdot \mathbf{v}$ .

FIG. 2.12. (a)  $\mathbf{C} \cdot \mathbf{C} = C^2 = (\mathbf{A} - \mathbf{B}) \cdot (\mathbf{A} - \mathbf{B}) = A^2 + B^2 - 2\mathbf{A} \cdot \mathbf{B} = A^2 + B^2 - 2AB \cos \theta$ .

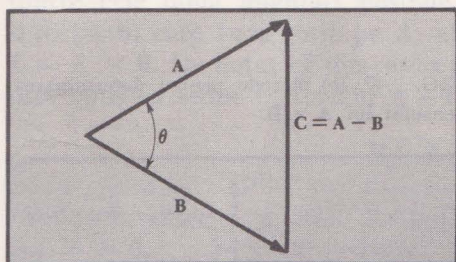


FIG. 2.12. (b)  $\mathbf{D} \cdot \mathbf{D} = D^2 = (\mathbf{A} + \mathbf{B}) \cdot (\mathbf{A} + \mathbf{B}) = A^2 + B^2 + 2AB \cos \theta$ .

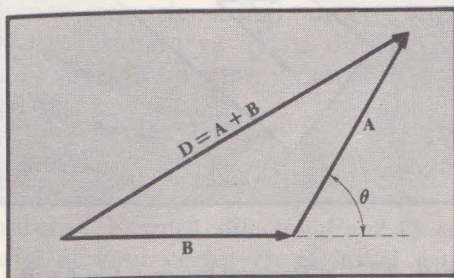


FIG. 2.13. Ecuația unui plan.  $\mathbf{N}$  este normala la plan dusă din originea  $O$ . Ecuația planului este  $\mathbf{N} \cdot \mathbf{r} = N^2$ .

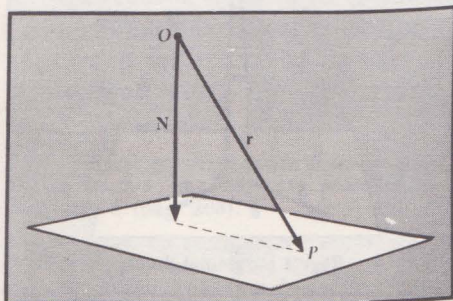
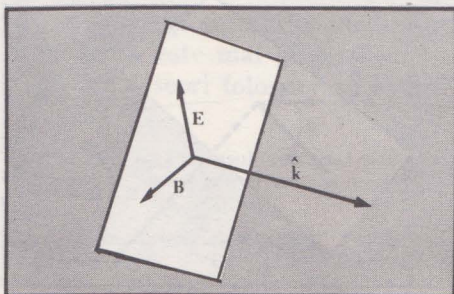


FIG. 2.14. Cimpurile electric și magnetic într-o undă electromagnetică plană în vid sînt perpendiculare pe direcția de propagare  $\hat{\mathbf{k}}$ . Astfel  $\hat{\mathbf{k}} \cdot \mathbf{E} = \hat{\mathbf{k}} \cdot \mathbf{B} = 0$ ;  $\mathbf{E} \cdot \mathbf{B} = 0$ .





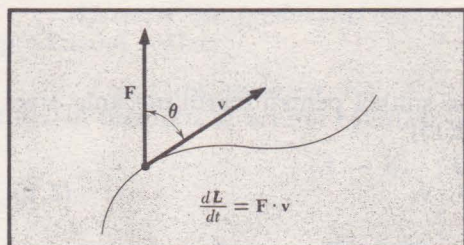


FIG. 2.15. Lucrul mecanic efectuat în unitatea de timp de forța  $F$  asupra unei particule ce se mișcă cu viteza  $v$ .

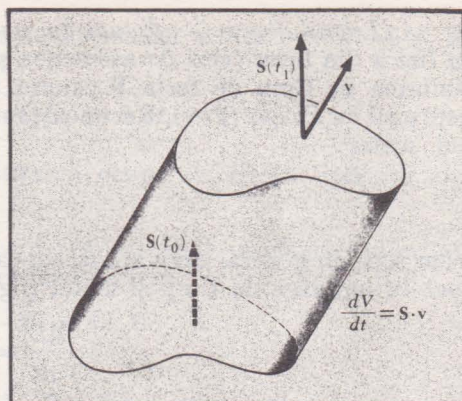


FIG. 2.16. Volumul măsurat în unitatea de timp de suprafața  $S$  în deplasare cu viteza  $v$ .

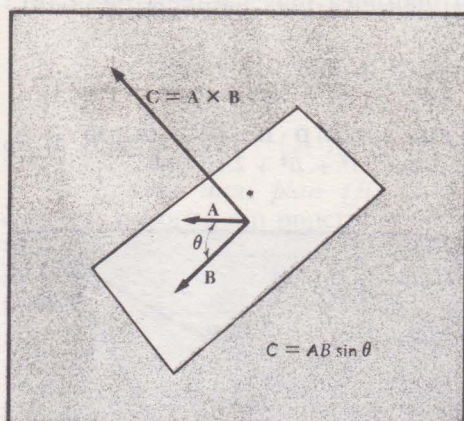


FIG. 2.17. (a) Produsul vectorial  $C = A \times B$ .

FIG. 2.17. (c) Produsul vectorial  $B \times A$  are sens opus lui  $A \times B$ .

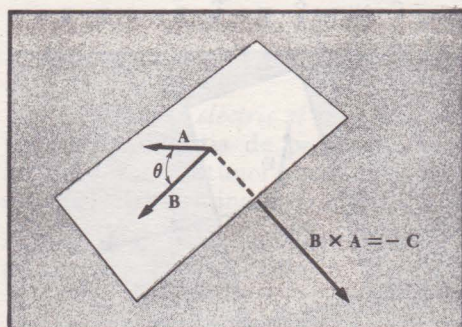
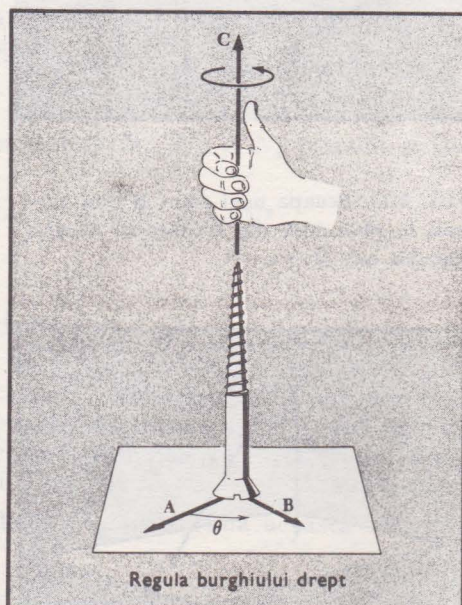


FIG. 2.17. (b) Metode pentru determinarea sensului lui  $A \times B$ .





Debitul este atunci:

$$\frac{dV}{dt} = \mathbf{S} \cdot \mathbf{v}. \quad (2.11)$$

**Produsul vectorial**<sup>1</sup>. În fizică este utilizat pe scară mare și un alt produs de doi vectori. Acest produs este mai degrabă un vector decât un scalar, dar este un vector într-un sens mai restrâns. Produsul vectorial  $\mathbf{A} \times \mathbf{B}$  se definește ca fiind vectorul normal pe planul ce trece prin  $\mathbf{A}$  și  $\mathbf{B}$  avînd mărimea  $AB|\sin(\mathbf{A}, \mathbf{B})|$  ca în figura 2.17,a:

$$\mathbf{C} = \mathbf{A} \times \mathbf{B} = \hat{\mathbf{C}} AB|\sin(\mathbf{A}, \mathbf{B})| \quad (2.12)$$

$\mathbf{A} \times \mathbf{B}$  se citește: „ $\mathbf{A}$  produs vectorial cu  $\mathbf{B}$ ” sau (atunci cînd nu există posibilitatea de confuzie cu produsul scalar) „ $\mathbf{A}$  ori  $\mathbf{B}$ ”. Sensul lui  $\mathbf{C}$  se determină printr-o convenție fixată de *regula burghiului drept*: vectorul  $\mathbf{A}$ , primul factor al produsului este rotit cu unghiul cel mai mic pînă cînd coincide cu direcția lui  $\mathbf{B}$ . Sensul lui  $\mathbf{C}$  este sensul de înaintare al unui burghiu normal cu filet pe dreapta (burghiul standard și în România) atunci cînd burghiul este rotit în același sens ca și vectorul  $\mathbf{A}$ , după cum se vede și în figura 2.17,b.

Să formulăm într-alt fel regula ce dă direcția lui  $\mathbf{C}$ : în primul rînd, să facem ca cei doi vectori  $\mathbf{A}$  și  $\mathbf{B}$  să aibă aceeași origine; ei vor defini un plan. Vectorul  $\mathbf{C}$  este perpendicular pe acest plan, adică produsul vectorial  $\mathbf{A} \times \mathbf{B}$  este perpendicular atît pe  $\mathbf{A}$  cît și pe  $\mathbf{B}$ . Rotim pe  $\mathbf{A}$  peste  $\mathbf{B}$  cu cel mai mic dintre cele două unghiuri posibile — îndoim degetele mîinii drepte după direcția în care l-am rotit pe  $\mathbf{A}$ , atunci degetul mare va indica direcția lui  $\mathbf{C} = \mathbf{A} \times \mathbf{B}$ . De notat că din cauza acestei convenții de semn vectorul  $\mathbf{B} \times \mathbf{A}$  este opus ca semn vectorului  $\mathbf{A} \times \mathbf{B}$  (vezi fig. 2.17, c):

$$\mathbf{B} \times \mathbf{A} = -\mathbf{A} \times \mathbf{B}. \quad (2.13)$$

Produsul vectorial nu este, astfel, comutativ. Rezultă din ecuația 2.13 că  $\mathbf{A} \times \mathbf{A} = 0$ , astfel încît produsul vectorial al unui vector cu el însuși este zero. Produsul vectorial este distributiv:

$$\mathbf{A} \times (\mathbf{B} + \mathbf{C}) = \mathbf{A} \times \mathbf{B} + \mathbf{A} \times \mathbf{C}.$$

Demonstrația (ceva mai complicată) poate fi găsită în orice carte de analiză vectorială<sup>2</sup>.

*Produsul vectorial în coordonate cartezienne.* Așa cum am găsit în relația (2.6) cosinuşii directori ai vectorului  $\mathbf{A}$ , putem găsi și sinusurile unghiurilor pe care  $\mathbf{A}$  le face cu axele cartezienne. Acest lucru este mai greu și sinusul poate fi aflat mai ușor din cosinus. Totuși, este deseori folositor să avem o

<sup>1</sup> Acest paragraf poate fi acum omis (pag. 55 pînă la 59). Produsul vectorial este folosit în capitolul 3 (pag. 89) care poate fi de asemenea omis; el este necesar numai începînd cu capitolul 6 (pag. 208).

<sup>2</sup> Vezi, de exemplu, C. E. Weatherburn, „Analiză vectorială elementară” (Elementary Vector Analysis) pag. 57, G. Bell & Sons, Ltd., London, 1928; J. G. Goffin, „Analiză vectorială” (Vector Analysis), pag. 35, John Wiley & Sons, Inc., New York, 1911.

formulă pentru exprimarea produsului vectorial a doi vectori în funcție de componentele lor:

$$\begin{aligned} \mathbf{A} \times \mathbf{B} &= (A_x \hat{\mathbf{x}} + A_y \hat{\mathbf{y}} + A_z \hat{\mathbf{z}}) \times (B_x \hat{\mathbf{x}} + B_y \hat{\mathbf{y}} + B_z \hat{\mathbf{z}}) = \\ &= (\hat{\mathbf{x}} \times \hat{\mathbf{y}}) A_x B_y + (\hat{\mathbf{x}} \times \hat{\mathbf{z}}) A_x B_z + (\hat{\mathbf{y}} \times \hat{\mathbf{z}}) A_y B_z + (\hat{\mathbf{y}} \times \hat{\mathbf{x}}) A_y B_x + \\ &\quad + (\hat{\mathbf{z}} \times \hat{\mathbf{x}}) A_z B_x + (\hat{\mathbf{z}} \times \hat{\mathbf{y}}) A_z B_y \end{aligned}$$

unde am folosit rezultatele:  $\hat{\mathbf{x}} \times \hat{\mathbf{x}} = \hat{\mathbf{y}} \times \hat{\mathbf{y}} = \hat{\mathbf{z}} \times \hat{\mathbf{z}} = 0$ .

Se ridică acum o problemă: cât este  $\hat{\mathbf{x}} \times \hat{\mathbf{y}}$ ? Este  $\hat{\mathbf{z}}$  sau  $-\hat{\mathbf{z}}$ ? Vom face următoarea alegere  $\hat{\mathbf{x}} \times \hat{\mathbf{y}} = +\hat{\mathbf{z}}$  și vom construi axele de coordonate în concordanță cu această alegere. Această convenție, folosită mult în fizică, definește un sistem de coordonate drept<sup>1</sup>. Convenim să lucrăm numai în sisteme de coordonate drepte ca acelea din figurile 2.10 a și b.

Acum avem  $\hat{\mathbf{x}} \times \hat{\mathbf{z}} = -\hat{\mathbf{y}}$ ,  $\hat{\mathbf{y}} \times \hat{\mathbf{z}} = \hat{\mathbf{x}}$  și așa mai departe și vedem că:

$$\mathbf{A} \times \mathbf{B} = \hat{\mathbf{x}}(A_y B_z - A_z B_y) + \hat{\mathbf{y}}(A_z B_x - A_x B_z) + \hat{\mathbf{z}}(A_x B_y - A_y B_x). \quad (2.14)$$

De notat că dacă indicii sînt ciclici în raport cu  $xyz$ , termenii din produsul vectorial sînt pozitivi, în caz contrar ei sînt negativi. Cine este familiarizat cu determinanții poate vedea imediat că reprezentarea:

$$\mathbf{A} \times \mathbf{B} = \begin{vmatrix} \hat{\mathbf{x}} & \hat{\mathbf{y}} & \hat{\mathbf{z}} \\ A_x & A_y & A_z \\ B_x & B_y & B_z \end{vmatrix} \quad (2.15)$$

este echivalentă cu ecuația (2.14) și se ține minte ușor.

*Aplicații ale produsului vectorial.* În următoarele paragrafe vom trata câteva aplicații ale produsului vectorial.

### 1. Aria unui paralelogram. Mărima:

$$|\mathbf{A} \times \mathbf{B}| = AB |\sin(\mathbf{A}, \mathbf{B})|$$

este aria paralelogramului cu laturile  $\mathbf{A}$  și  $\mathbf{B}$  (sau de două ori aria triunghiului cu laturile  $\mathbf{A}$  și  $\mathbf{B}$ ) (vezi fig. 2.18, a). Direcția lui  $\mathbf{A} \times \mathbf{B}$  este normală la planul paralelogramului; putem astfel considera  $\mathbf{A} \times \mathbf{B}$  ca vectorul arie al paralelogramului. Deoarece am dat semne laturilor  $\mathbf{A}$  și  $\mathbf{B}$  vectorul arie apare înzes-

<sup>1</sup> Cum am putea comunica unei alte ființe dintr-un alt sistem solar al galaxiei noastre, definiția dată de noi sistemului drept de coordonate? Am putea face acest lucru utilizînd unde radio polarizate circular. Semnalul poartă un mesaj care îi va spune observatorului îndepărtat în ce sens am definit polarizarea undelor. Observatorul îndepărtat va fi construit două aparate de recepție, care, în termenii intensității semnalului, vor avea, unul, sensul corect iar celălalt sensul incorect. Orice metodă de măsură are nevoie de o analiză foarte atentă: în lucrarea originală privind efectul Zeeman din spectroscopie, descoperitorul lui a asociat în mod incorect semnul plus sarcinilor oscilante din atom, deoarece a interpretat greșit sensul radiației circular polarizate. [Vezi P. Zeeman, *Philosophical Magazine*, (5) 43:55 și 226 (1897). În mod asemănător, prima transmisie prin intermediul satelitelui Telstar din ziua de 11 iulie 1962 a fost destul de prost recepționată în Marea Britanie din cauza: „inversării unei mici piese din antenă care a provenit dintr-o ambiguitate în definirea sensului de rotație a undelor radio” *Times* (London), July 13, 1962, pag. 11.]



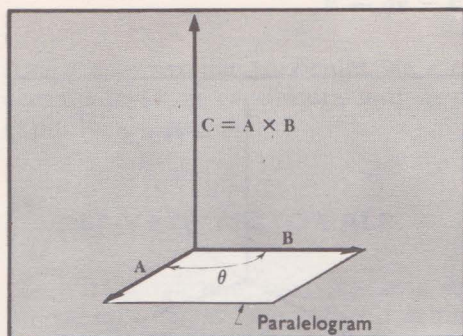


FIG. 2.18. (a) Vectorul arie a unui paralelogram este  $\mathbf{C} = \mathbf{A} \times \mathbf{B} = AB \sin \theta \hat{\mathbf{C}}$ .

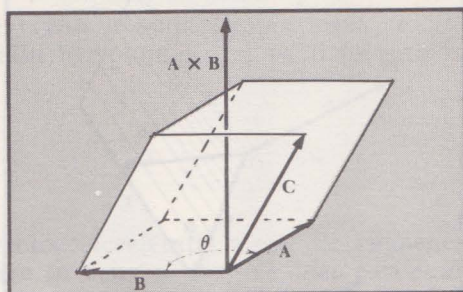
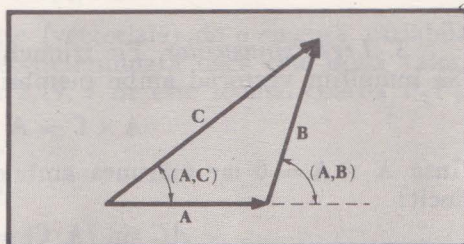


FIG. 2.18. (b)  $\mathbf{A} \times \mathbf{B} \cdot \mathbf{C} = \text{aria bazei} \times \text{înălțimea} = \text{volumul paralelipipedului}$ .

FIG. 2.18. (c) Legea sinusurilor într-un triunghi.

Notăți că:  $\sin(\mathbf{A}, \mathbf{B}) = \sin[\pi - (\mathbf{A}, \mathbf{B})]$ .



trat cu o direcție. Sînt aplicații fizice cînd este util să dăm ariei o direcție [Vezi ecuația (2.11).]

## 2. Volumul unui paralelipiped. Scalarul:

$$|(\mathbf{A} \times \mathbf{B}) \cdot \mathbf{C}| = V$$

este volumul paralelipipedului cu aria bazei  $\mathbf{A} \times \mathbf{B}$  iar  $\mathbf{C}$  este muchia sau înălțimea oblică (fig. 2.18, b). Dacă cei trei vectori  $\mathbf{A}$ ,  $\mathbf{B}$  și  $\mathbf{C}$  sînt în același plan, volumul va fi zero; astfel trei vectori sînt coplanari dacă și numai dacă  $(\mathbf{A} \times \mathbf{B}) \cdot \mathbf{C} = 0$ .

Se vede din figură că:

$$\mathbf{A} \cdot (\mathbf{B} \times \mathbf{C}) = (\mathbf{A} \times \mathbf{B}) \cdot \mathbf{C}$$

astfel încît se poate schimba în produsul mixt punctul cu semnul „ori” fără să se modifice valoarea produsului. Totuși,

$$\mathbf{A} \cdot (\mathbf{B} \times \mathbf{C}) = -\mathbf{A} \cdot (\mathbf{C} \times \mathbf{B}).$$

Produsul mixt nu se modifică la o permutare circulară a ordinii vectorilor dar își schimbă semnul dacă ordinea ciclică s-a schimbat. (Permutări ciclice ale lui  $ABC$  sînt  $BCA$  și  $CAB$ ; permutări neciclice ale lui  $ABC$  sînt  $BAC$ ,  $ACB$  și  $CBA$ .)

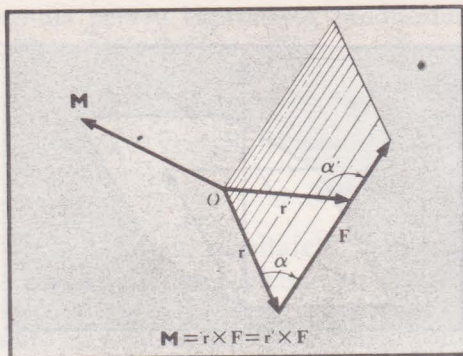


FIG. 2.18. (d) Momentul forței ca produs vectorial.

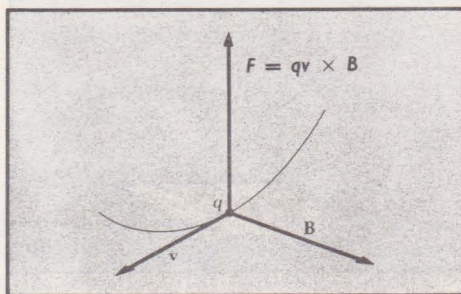


FIG. 2.18. (e) Forța exercitată asupra unei sarcini pozitive în mișcare într-un câmp magnetic.

3. *Legea sinusurilor.* Fie triunghiul definit prin  $C = A + B$  (fig. 2.18,c). Să înmulțim vectorial ambii membri ai acestei ecuații cu  $A$ :

$$A \times C = A \times A + A \times B.$$

Însă  $A \times A = 0$  iar mărimea ambilor membri trebuie să fie aceeași, astfel încît:

$$AC \sin (A, C) = AB \sin (A, B)$$

sau:

$$\frac{\sin (A, C)}{B} = \frac{\sin (A, B)}{C}. \quad (2.16)$$

Această relație este tocmai *legea sinusurilor într-un triunghi*.

4. *Momentul.* Ideea de moment ne este familiară din multe cursuri de introducere în fizică. El este important pentru mișcarea corpurilor rigide discutată în capitolul 8. Momentul se referă la un punct și în termeni vectoriali are o expresie convenabilă:

$$M = r \times F \quad (2.17)$$

unde  $r$  este vectorul de la punctul de referință pînă la vectorul  $F$ . Din figura 2.18, d se vede că momentul are o direcție perpendiculară atît pe  $r$  cît și pe  $F$ . De notat că mărimea lui  $M$  este  $rF \sin \alpha$  și  $r \sin \alpha$  este mărimea perpendicularei de la punct ( $O$  în figură) la  $F$ . Din figură se vede că  $r \sin \alpha = r' \sin \alpha'$ . Rezultă că momentul este independent atît în mărime cît și în direcție de punctul de pe direcția lui  $F$  pînă la care se desenează  $r$ .

5. *Forța ce acționează asupra unei particule în mișcare într-un câmp magnetic.* Forța ce se exercită asupra unei sarcini electrice punctiforme ce se mișcă cu viteza  $v$  în câmpul magnetic  $B$  este proporțională cu  $v$  înmulțit cu componenta perpendiculară a lui  $B$  pe  $v$ . În termenii produsului vectorial (vezi fig. 2.18, e):

$$F = \frac{q}{c} v \times B \text{ (unități Gauss)} \quad (2.18)$$



$$\mathbf{F} = q\mathbf{v} \times \mathbf{B} \quad (\text{unități SI}).$$

Aici  $q$  este sarcina particulei iar  $c$  este viteza luminii. Despre legea ce dă această forță se va discuta mai în detaliu în volumul 2 și va fi folosită în capitolul 3 (pag. 89).

## DERIVATE VECTORIALE

Viteza  $\mathbf{v}$  a unei particule este un vector; accelerația  $\mathbf{a}$  este de asemenea un vector. Viteza este rata de schimbare în timp a poziției unei particule. Poziția unei particule la orice moment de timp  $t$  poate fi specificată de vectorul  $\mathbf{r}(t)$  desenat dintr-un punct fix  $O$  pînă la particulă, ca în figura 2.19, *a*. Pe măsură ce trece timpul, particula se mișcă și vectorul de poziție își schimbă direcția și mărimea (fig. 2.19, *b*). Diferența  $\mathbf{r}(t_2) - \mathbf{r}(t_1)$  este vectorul din figura 2.19, *c*:

$$\Delta \mathbf{r} = \mathbf{r}(t_2) - \mathbf{r}(t_1).$$

Dacă vectorul  $\mathbf{r}$  este privit ca o funcție (vectorială) de o singură variabilă scalară  $t$ , valoarea lui  $\Delta \mathbf{r}$  va fi complet determinată dacă cele două valori  $t_1$  și  $t_2$  sînt cunoscute. Astfel, în figura 2.19, *d*  $\Delta \mathbf{r}$  este tocmai coarda  $P_1P_2$ . Raportul:

$$\frac{\Delta \mathbf{r}}{\Delta t}$$

FIG. 2.19. (a) Poziția  $P_1$  a unei particule la timpul  $t_1$  este descrisă prin vectorul  $\mathbf{r}(t_1)$  relativ la originea fixă din punctul  $O$ .

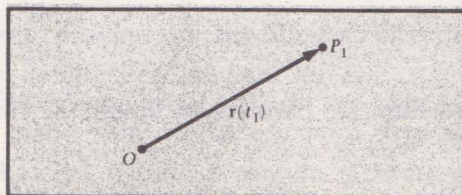


FIG. 2.19. (b) La timpul  $t_2$  particula a avansat în  $P_2$ .

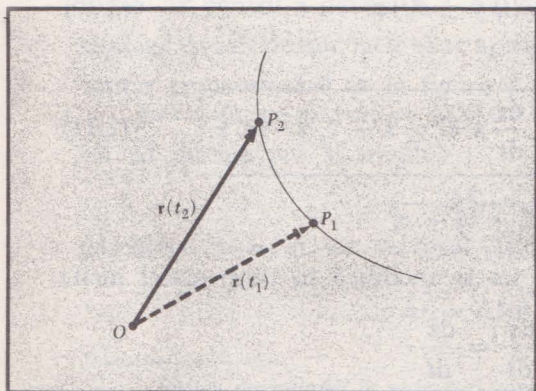
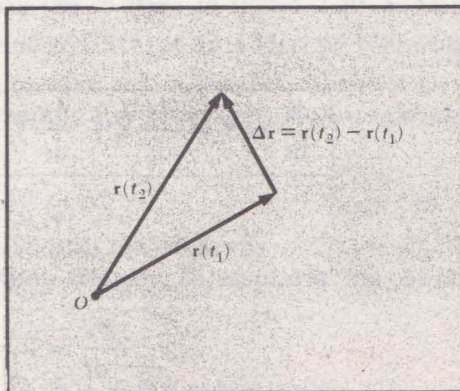


FIG. 2.19. (c) Vectorul  $\Delta \mathbf{r}$  este diferența dintre  $\mathbf{r}(t_2)$  și  $\mathbf{r}(t_1)$ .



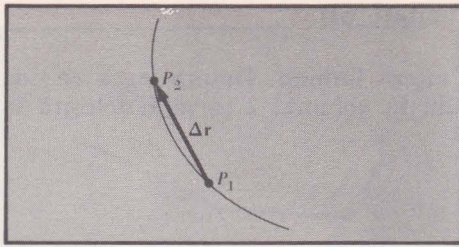


FIG. 2.19. (d)  $\Delta \mathbf{r}$  este coarda dintre punctele  $P_1$  și  $P_2$  de pe traiectoria particulei.

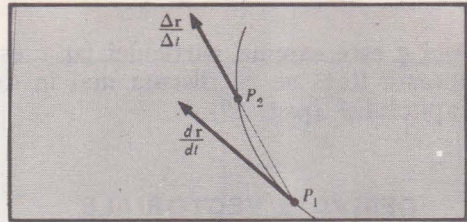


FIG. 2.19. (e) Pe măsură ce  $\Delta t = t_2 - t_1 \rightarrow 0$ , vectorul  $\Delta \mathbf{r}/\Delta t$  coliniar cu coarda se apropie de vectorul  $d\mathbf{r}/dt$  coliniar cu tangenta la traiectorie în punctul  $P_1$ .

este un vector coliniar cu coarda  $P_1P_2$  dar mărit cu raportul  $1/\Delta t$ . Pe măsură ce  $\Delta t$  tinde spre zero,  $P_2$  se apropie de  $P_1$  și coarda  $P_1P_2$  se apropie de tangenta în  $P_1$ . Atunci vectorul:

$$\frac{\Delta \mathbf{r}}{\Delta t} \text{ se apropie de } \frac{d\mathbf{r}}{dt}$$

care este un vector tangent la curbă în  $P_1$  și îndreptat în sensul în care variabila  $t$  crește de-a lungul curbei (fig. 2.19, e).

### Viteza. Vectorul

$$\frac{d\mathbf{r}}{dt} = \lim_{\Delta t \rightarrow 0} \frac{\Delta \mathbf{r}}{\Delta t}$$

se numește derivata în funcție de timp a lui  $\mathbf{r}$ . Prin definiție vectorul vitezei este:

$$\mathbf{v}(t) \equiv \frac{d\mathbf{r}}{dt}. \quad (2.19)$$

Mărimea  $v = |\mathbf{v}|$  a vectorului viteză este un scalar. În termenii componentelor putem scrie:

$$\mathbf{r}(t) = x(t) \hat{\mathbf{x}} + y(t) \hat{\mathbf{y}} + z(t) \hat{\mathbf{z}} \quad (2.20)$$

și:

$$\frac{d\mathbf{r}}{dt} = \mathbf{v} = \frac{dx}{dt} \hat{\mathbf{x}} + \frac{dy}{dt} \hat{\mathbf{y}} + \frac{dz}{dt} \hat{\mathbf{z}} = v_x \hat{\mathbf{x}} + v_y \hat{\mathbf{y}} + v_z \hat{\mathbf{z}} \quad (2.21)$$

$$v = |\mathbf{v}| = \sqrt{v_x^2 + v_y^2 + v_z^2}$$

unde am presupus că vectorii unitari nu se modifică în timp astfel încât:

$$\frac{d\hat{\mathbf{x}}}{dt} = 0 = \frac{d\hat{\mathbf{y}}}{dt} = \frac{d\hat{\mathbf{z}}}{dt}.$$



Putem scrie, în general, ecuația (2.20) fără să-l exprimăm pe  $\mathbf{r}$  în componente:

$$\mathbf{r}(t) = r(t) \hat{\mathbf{r}}(t)$$

unde scalarul  $r(t)$  este lungimea vectorului iar  $\hat{\mathbf{r}}(t)$  este vectorul de lungime unitate în direcția lui  $\mathbf{r}$ . Derivata lui  $\mathbf{r}(t)$  poate fi definită ca:

$$\frac{d\mathbf{r}}{dt} = \frac{d}{dt} [r(t) \hat{\mathbf{r}}(t)] = \lim_{\Delta t \rightarrow 0} \frac{r(t + \Delta t) \hat{\mathbf{r}}(t + \Delta t) - r(t) \hat{\mathbf{r}}(t)}{\Delta t}. \quad (2.22)$$

Putem retranscrie numărătorul<sup>1</sup>, reținând numai primii doi termeni din dezvoltările în serie ale lui  $r(t + \Delta t)$  și  $\hat{\mathbf{r}}(t + \Delta t)$ :

$$\left[ r(t) + \frac{dr}{dt} \Delta t \right] \left[ \hat{\mathbf{r}}(t) + \frac{d\hat{\mathbf{r}}}{dt} \Delta t \right] - r(t) \hat{\mathbf{r}}(t) = \Delta t \left( \frac{dr}{dt} \hat{\mathbf{r}} + r \frac{d\hat{\mathbf{r}}}{dt} \right) + (\Delta t)^2 \left( \frac{dr}{dt} \frac{d\hat{\mathbf{r}}}{dt} \right).$$

Cînd rezultatul de mai sus este plasat în ecuația (2.22), termenul al doilea al raportului tinde la 0 cînd  $\Delta t \rightarrow 0$  și avem:

$$\mathbf{v} = \frac{d\mathbf{r}}{dt} = \frac{dr}{dt} \hat{\mathbf{r}} + r \frac{d\hat{\mathbf{r}}}{dt}. \quad (2.23)$$

Aici  $d\hat{\mathbf{r}}/dt$  reprezintă viteza de variație a direcției vectorului unitar  $\hat{\mathbf{r}}$ . Relația de mai sus reprezintă o exemplificare a regulii generale de derivare a produsului unui scalar  $a(t)$  cu un vector  $\mathbf{b}(t)$ :

$$\frac{d}{dt} a\mathbf{b} = \frac{da}{dt} \mathbf{b} + a \frac{d\mathbf{b}}{dt}. \quad (2.24)$$

În ecuația (2.23) o contribuție la viteză provine din modificarea direcției lui  $\hat{\mathbf{r}}$ ; cealaltă contribuție provine din modificarea lungimii lui  $r$ .

Deoarece vom folosi forma lui  $\mathbf{v}$  dată de ecuația (2.23) (în mod special în capitolul 9, pentru mișcarea într-un plan), vom dezvolta acum o expresie similară pentru  $d\mathbf{r}/dt$  folosind vectorul radial unitate  $\hat{\mathbf{r}}$  precum și vectorul unitate perpendicular pe el și pe care îl vom denumi  $\hat{\boldsymbol{\theta}}$ .

Pentru a înțelege mai bine cine sînt acești vectori unitari și derivatele lor în timp, să considerăm mișcarea unui punct pe o traiectorie circulară; în acest caz vectorul unitar  $\hat{\mathbf{r}}$  se va modifica în intervalul de timp  $\Delta t$  cu mărimea  $\Delta \hat{\mathbf{r}}$  pentru a deveni  $\hat{\mathbf{r}} + \Delta \hat{\mathbf{r}}$ , după cum se vede în figura 2.20, *a*. Dacă se alege  $\Delta t$  atît de mic încît să se apropie de zero atunci  $\Delta \hat{\mathbf{r}}$  ia direcția vectorului unitar transversal  $\hat{\boldsymbol{\theta}}$  ca în figura 2.20, *b*.

Mai mult, pe măsură ce  $\Delta t$  și  $\Delta \theta$  corespunzător se apropie de zero mărimea lui  $\Delta \hat{\mathbf{r}}$  devine pur și simplu:

$$|\Delta \hat{\mathbf{r}}| = |\hat{\mathbf{r}}| \Delta \theta = \Delta \theta$$

(deoarece  $|\hat{\mathbf{r}}| = 1$ ), iar vectorul  $\Delta \hat{\mathbf{r}}$  și raportul  $\Delta \hat{\mathbf{r}}/\Delta t$  devin

$$\Delta \hat{\mathbf{r}} = \Delta \theta \hat{\boldsymbol{\theta}}; \quad \frac{\Delta \hat{\mathbf{r}}}{\Delta t} = \frac{\Delta \theta}{\Delta t} \hat{\boldsymbol{\theta}}.$$

<sup>1</sup> Pentru dezvoltarea în serie vezi pagina 73 de la sfîrșitul acestui capitol.

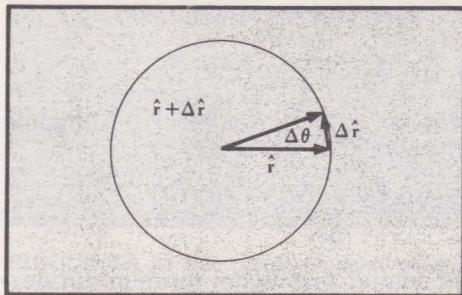


FIG. 2.20. (a)  $\Delta \hat{r}$  este variația vectorului unitar  $\hat{r}$ .

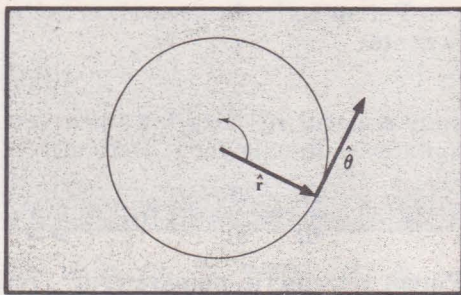


FIG. 2.20. (b) Vectorul unitar  $\hat{\theta}$  este perpendicular pe  $\hat{r}$  și are sensul în sensul creșterii lui  $\theta$ .

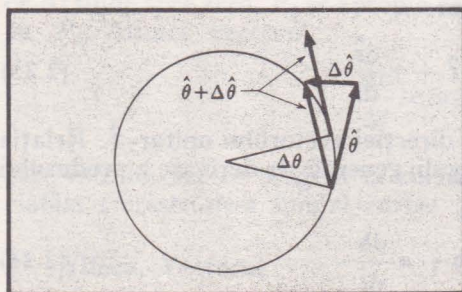


FIG. 2.20. (c)  $\Delta \hat{\theta}$  este modificarea vectorului unitar  $\hat{\theta}$ .

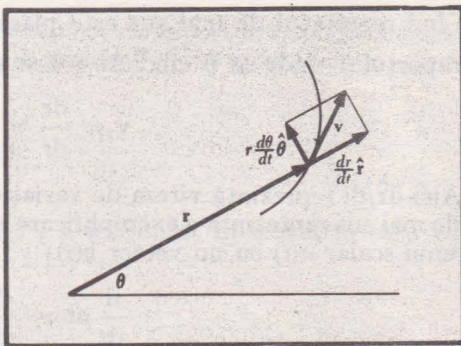


FIG. 2.21. Componentele vectorului viteză în funcție de  $\hat{r}$  și  $\hat{\theta}$ .

Când facem limita  $\Delta t \rightarrow 0$ , obținem derivata în timp a vectorului unitar:

$$\frac{d\hat{r}}{dt} = \frac{d\theta}{dt} \hat{\theta}. \quad (2.25)$$

Cu argumente similare, utilizând figura 2.20, c se vede imediat că derivata în timp a lui  $\hat{\theta}$  este

$$\frac{d\hat{\theta}}{dt} = -\frac{d\theta}{dt} \hat{r}. \quad (2.26)$$

Dacă vom considera acum un punct ce se mișcă într-un plan pe o direcție oarecare, ca în figura 2.21, recunoaștem că vectorul viteză  $\mathbf{v}$  este compus la orice moment de timp din vectorul componentă radială  $dr/dt \hat{r}$  și din vectorul componentă transversală  $r d\theta/dt = r \hat{\theta} d\theta/dt$ . Pentru ultimul vector am utilizat ecuația (2.25). Atunci expresia lui  $\mathbf{v}$  în forma din ecuația (2.23) este:

$$\mathbf{v} = \frac{dr}{dt} \hat{r} + r \frac{d\theta}{dt} \hat{\theta} \quad (2.27)$$



**Accelerația.** Accelerația este tot un vector; el este legat de  $\mathbf{v}$  în același mod în care  $\mathbf{v}$  este legat de  $\mathbf{r}$ . Vom defini accelerația ca fiind:

$$\mathbf{a} \equiv \frac{d\mathbf{v}}{dt} = \frac{d^2\mathbf{r}}{dt^2}. \quad (2.28)$$

Utilizând ecuația (2.21) obținem, în componente carteziene,

$$\mathbf{a} = \frac{d\mathbf{v}}{dt} = \frac{d^2x}{dt^2} \hat{\mathbf{x}} + \frac{d^2y}{dt^2} \hat{\mathbf{y}} + \frac{d^2z}{dt^2} \hat{\mathbf{z}} \quad (2.29)$$

În viitor, (cap. 9), vom avea nevoie de  $\mathbf{a}$  și în funcție de  $r$  și de  $\theta$ ; din ecuația (2.27):

$$\frac{d\mathbf{v}}{dt} = \frac{d^2r}{dt^2} \hat{\mathbf{r}} + \frac{dr}{dt} \frac{d\hat{\mathbf{r}}}{dt} + \frac{dr}{dt} \frac{d\theta}{dt} \hat{\boldsymbol{\theta}} + r \frac{d^2\theta}{dt^2} \hat{\boldsymbol{\theta}} + r \frac{d\theta}{dt} \frac{d\hat{\boldsymbol{\theta}}}{dt}.$$

Făcând apel la relațiile (2.25) și (2.26) pentru  $d\hat{\mathbf{r}}/dt$  și  $d\hat{\boldsymbol{\theta}}/dt$ , aducem expresia de mai sus în forma următoare:

$$\mathbf{a} = \frac{d\mathbf{v}}{dt} = \frac{d^2r}{dt^2} \hat{\mathbf{r}} + \frac{dr}{dt} \frac{d\theta}{dt} \hat{\boldsymbol{\theta}} + \frac{dr}{dt} \frac{d\theta}{dr} \hat{\boldsymbol{\theta}} + r \frac{d^2\theta}{dt^2} \hat{\boldsymbol{\theta}} - r \left( \frac{d\theta}{dt} \right)^2 \hat{\mathbf{r}}.$$

Apoi după strângerea termenilor și o mică rearanjare, se poate scrie în modul următor:

$$\mathbf{a} = \left[ \frac{d^2r}{dt^2} - r \left( \frac{d\theta}{dt} \right)^2 \right] \hat{\mathbf{r}} + \frac{1}{r} \left[ \frac{d}{dt} \left( r^2 \frac{d\theta}{dt} \right) \right] \hat{\boldsymbol{\theta}} \quad (2.30)$$

Această expresie va fi folosită în exemplul privind mișcarea pe un cerc (de mai jos) precum și în mod particular în studiul mișcării unei particule în jurul unui centru de forțe (în cap. 9).

## EXEMPLU

**Mișcarea circulară.** Acest exemplu (prezentat în fig. 2.22) este foarte important din cauza numeroaselor cazuri de mișcare circulară întâlnite în fizică și în astronomie. Dorim să obținem expresii explicite, pentru vectorii viteză și accelerație ai unei particule ce se mișcă cu viteză constantă pe o orbită circulară de rază fixă  $r$ . O orbită circulară poate fi descrisă de:

$$\mathbf{r}(t) = r \hat{\mathbf{r}}(t) \quad (2.31)$$

unde  $r$  este constant și vectorul  $\hat{\mathbf{r}}$  se rotește cu o viteză constantă.

Putem trata această problemă în oricare din următoarele două moduri: fie folosind expresiile din ecuațiile (2.27) până la (2.30) în funcție de  $r$  și de  $\theta$  fie folosind axele  $\hat{\mathbf{x}}$  și  $\hat{\mathbf{y}}$  fixe în spațiu și ecuațiile (2.21) și (2.29).

**Metoda 1.** Deoarece  $r$  este constant, ecuația (2.27) ne dă pur și simplu  $v = r d\theta/dt \hat{\boldsymbol{\theta}}$ . De obicei, viteza unghiulară  $d\theta/dt$  se notează prin litera grecească  $\omega$ . Ea se măsoară în radiani<sup>1</sup>

<sup>1</sup> Vezi pag. 72 de la sfârșitul acestui capitol pentru explicarea radianilor.

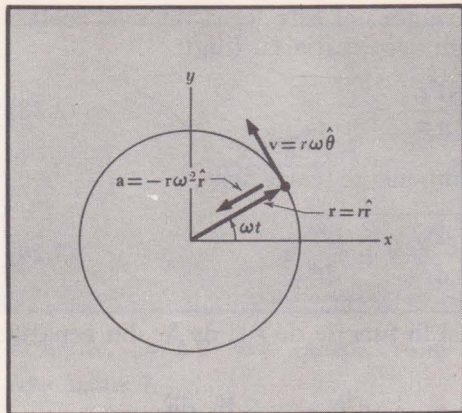


FIG. 2.22. O particulă în mișcare cu viteză constantă pe un cerc de rază  $r$ . Viteza unghiulară constantă este  $\omega$ . Sînt arătate viteza și accelerația particulei așa cum rezultă din relațiile (2.31) pînă la (2.38).

pe secundă (rad/s) și în cazul de față este constantă. Astfel  $v = r\omega\hat{\theta}$  iar viteza constantă a particulei este:

$$v = \omega r. \quad (2.32)$$

Pentru accelerație vom utiliza ecuația (2.30) care cu  $r$  constant și  $d\theta/dt = \omega$  constantă ne va da:

$$\boxed{a = -r\omega^2\hat{r}} \quad (2.33)$$

Accelerația este, astfel, constantă în mărime și îndreptată înspre centrul traiectoriei circulare.

*Metoda 2.* În funcție de componentele carteziene, vom scrie vectorul de poziție al particulei în mișcare circulară la orice moment de timp  $t$ , în forma dată de ecuația (2.20):

$$\mathbf{r}(t) = r \cos \omega t \cdot \hat{x} + r \sin \omega t \cdot \hat{y}. \quad (2.34)$$

Atunci, vectorul viteză, dat de ecuația (2.21), cu  $r$  constant, este:

$$\mathbf{v} = \frac{d\mathbf{r}}{dt} = -\omega r \sin \omega t \hat{x} + \omega r \cos \omega t \hat{y}. \quad (2.35)$$

Mărimea vectorului viteză este:

$$v = \sqrt{\mathbf{v} \cdot \mathbf{v}} = \omega r \sqrt{\sin^2 \omega t + \cos^2 \omega t} = \omega r \quad (2.36)$$

în concordanță cu ecuația (2.29). Se poate vedea că vectorul  $\mathbf{v}$  este perpendicular pe  $\mathbf{r}$  prin faptul că produsul scalar al acestor vectori este zero.

În acord cu ecuația (2.29) găsim vectorul accelerație ca derivata în funcție de timp a lui  $\mathbf{v}$ . Diferențierea ecuației (2.35) ne dă:

$$\begin{aligned} \mathbf{a} = \frac{d\mathbf{v}}{dt} &= -\omega^2 r \cos \omega t \hat{x} - \omega^2 r \sin \omega t \hat{y} = -\omega^2 (r \cos \omega t \hat{x} + r \sin \omega t \hat{y}) = \\ &= -\omega^2 \mathbf{r} = -\omega^2 r \hat{r}. \end{aligned} \quad (2.37)$$

Rezultatul acesta este identic cu cel obținut în ecuația (2.33) prin metoda 1. Accelerația are mărimea constantă  $a = \omega^2 r$  și este îndreptată spre centru în acord cu  $-\hat{r}$ . Folosind  $v = \omega r$  din ecuația (2.36) sau din (2.32) se poate scrie mărimea accelerației ca fiind:

$$a = \frac{v^2}{r}. \quad (2.38)$$



Ea se numește accelerație *centripetă* (îndreptată spre centru) și vă este, poate, familiară din liceu.

Viteza unghiulară  $\omega$  are o legătură simplă cu frecvența obișnuită  $f$ . În unitatea de timp, vectorul  $\mathbf{r}$  din ecuația (2.34) mătură (parcurge)  $\omega$  radiani astfel încât  $\omega$  reprezintă numărul de radiani parcurși în unitatea de timp. Dar frecvența obișnuită  $f$  este definită ca numărul de cicluri complete parcurse în unitatea de timp. Deoarece sînt  $2\pi$  radiani într-un cerc trebuie să avem:

$$2\pi f = \omega.$$

*Perioada*  $T$  a mișcării este definită ca timpul necesar pentru parcurgerea unui cerc (ciclu) complet. Vedem din ecuația (2.34) că un ciclu este parcurs în timpul  $T$  astfel încît  $\omega T = 2\pi$ , sau:

$$T = \frac{2\pi}{\omega} = \frac{1}{f}.$$

Ca exemplu numeric, fie frecvența  $f$  de 50 de revoluții sau cicluri pe secundă (50 Hz). Atunci perioada:

$$T = \frac{1}{f} = \frac{1}{50} = 0,02 \text{ s}$$

iar frecvența unghiulară este:

$$\omega = 2\pi f \approx 314 \text{ rad/s}.$$

Dacă raza orbitei circulare este de 10 cm, atunci viteza este:

$$v = \omega r = (314) \cdot (10) \approx 3,14 \times 10^3 \text{ cm/s} = 31,4 \text{ m/s}.$$

Accelerația în orice punct al orbitei este:

$$a = \omega^2 r = (314)^2 (10) \approx 0,98 \times 10^6 \text{ cm/s}^2 = 9,8 \times 10^3 \text{ m/s}^2.$$

În capitolul 4 vom prezenta un exemplu numeric din care se va vedea că accelerația unui punct fixat pe suprafața pămîntului la ecuator datorată mișcării pămîntului în jurul axei sale este de  $3,4 \text{ cm/s}^2$ .

## INVARIANTȚI

Am menționat (pag. 44), că independența în alegerea axelor de coordonate constituie un aspect important al legilor fizicii precum și un motiv puternic pentru folosirea notației vectoriale. Să considerăm valoarea mărimii unui vector în două sisteme de coordonate diferite care au originea comună dar care sînt rotite unul în raport cu celălalt ca în figura 2.23. În cele două sisteme de coordonate:

$$\mathbf{A} = A_x \hat{\mathbf{x}} + A_y \hat{\mathbf{y}} + A_z \hat{\mathbf{z}}$$

și

$$\mathbf{A} = A'_x \hat{\mathbf{x}}' + A'_y \hat{\mathbf{y}}' + A'_z \hat{\mathbf{z}}' \quad (\text{vezi fig. 2.23}).$$

Deoarece  $\mathbf{A}$  nu s-a modificat,  $A^2$  trebuie să fie același și astfel:

$$A_x^2 + A_y^2 + A_z^2 = A'^2_x + A'^2_y + A'^2_z.$$

Cu alte cuvinte mărimea unui vector este aceeași în orice sistem de coordonate ce diferă unul de altul printr-o rotație rigidă a axelor de coordonate; se spune despre această mărime că are o *formă invariantă* (sau mai pe scurt

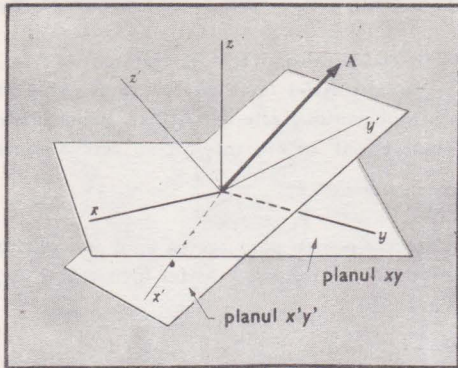


FIG. 2.23. Vectorul  $A$  poate fi descris în coordonatele  $x, y, z$  sau în coordonatele  $x', y', z'$  obținute din  $x, y, z$  printr-o rotație arbitrară. Spunem că  $A^2$  este o formă invariantă în raport cu rotația. Aceasta înseamnă  $A_{x'}^2 + A_{y'}^2 + A_{z'}^2 = A_x^2 + A_y^2 + A_z^2$ .

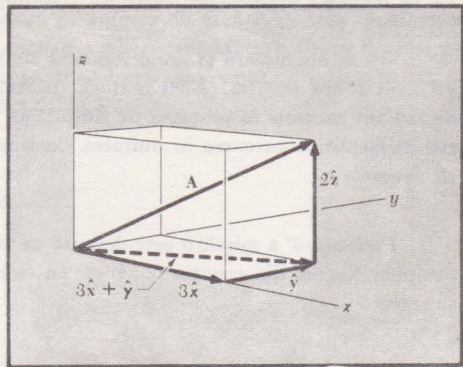


FIG. 2.24. Vectorul  $A = 3\hat{x} + \hat{y} + 2\hat{z}$  și proiecția sa în planul  $xy$ .

că este un invariant). Problema 20 (de la sfârșitul acestui capitol) ne oferă o metodă pentru verificarea acestei invarianțe. Se vede clar, din definiția sa, că produsul scalar din ecuația (2.7) are o formă invariantă și că mărimea produsului vectorial este un alt invariant. Presupunem că nu există nici o modificare de scară; de exemplu, lungimea ce reprezintă o unitate rămâne neschimbată la o rotație.

Vorbim cîteodată despre o funcție scalară de poziție, cum ar fi temperatura  $T(x, y, z)$  în punctul  $(x, y, z)$ , ca despre un *cîmp scalar*. În mod similar, un vector a cărui valoare este o funcție de poziție, cum este viteza  $\mathbf{v}(x, y, z)$  a unei particule în punctul  $(x, y, z)$ , se zice că este un *cîmp vectorial*. O bună parte din obiectul analizei vectoriale se referă la cîmpurile scalare și vectoriale precum și la operațiile diferențiale cu vectori, subiecte ce vor fi tratate în extenso în volumul 2.

#### Exemple de diferite operații elementare cu vectori.

Vom considera vectorul (fig. 2.24):

$$\mathbf{A} = 3\hat{x} + \hat{y} + 2\hat{z}.$$

- (1) Să se afle lungimea lui  $A$ . Formăm pe  $A^2$ :

$$A^2 = \mathbf{A} \cdot \mathbf{A} = 3^2 + 1^2 + 2^2 = 14$$

astfel încît  $A = \sqrt{14}$  este mărimea lui  $A$ .

- (2) Care este lungimea proiecției lui  $A$  pe planul  $xy$ ? Vectorul ce reprezintă proiecția lui  $A$  pe planul  $xy$  este  $3\hat{x} + \hat{y}$ ; pătratul lungimii acestui vector este  $3^2 + 1^2 = 10$ .

- (3) Construiți un vector situat în planul  $xy$  și perpendicular pe  $A$ .

Dorim un vector de forma:

$$\mathbf{B} = B_x\hat{x} + B_y\hat{y}$$

cu proprietatea  $\mathbf{A} \cdot \mathbf{B} = 0$ , sau:

$$(3\hat{x} + \hat{y} + 2\hat{z}) (B_x\hat{x} + B_y\hat{y}) = 0.$$



Efectuind produsul scalar găsim:

$$3B_x + B_y = 0$$

sau:

$$\frac{B_y}{B_x} = -3.$$

Cu datele din problemă nu se poate determina și lungimea vectorului  $\mathbf{B}$  (vezi fig. 2.25).

(4) Construiți vectorul unitate  $\hat{\mathbf{B}}$ . Trebuie să avem  $\hat{B}_x^2 + \hat{B}_y^2 = 1$  sau:

$$\hat{B}_x^2(1^2 + 3^2) = 10\hat{B}_x^2 = 1.$$

Astfel:

$$\hat{\mathbf{B}} = \sqrt{1/10} \hat{\mathbf{x}} - \sqrt{9/10} \hat{\mathbf{y}} = \frac{\hat{\mathbf{x}} - 3\hat{\mathbf{y}}}{\sqrt{10}}.$$

(5) Găsiți produsul scalar al vectorului  $\mathbf{A}$  cu vectorul  $\mathbf{C} = 2\hat{\mathbf{x}}$  (vezi fig. 2.26). Se vede direct că el este  $2 \times 3 = 6$ .

(6) Găsiți expresiile lui  $\mathbf{A}$  și  $\mathbf{C}$ , într-un sistem de coordonate obținut din vechiul sistem de coordonate printr-o rotație de unghi  $\pi/2$  în sensul acelor de ceas privind de-a lungul direcției pozitive a axei  $z$  (fig. 2.27). Noii vectori unitari  $\hat{\mathbf{x}}'$ ,  $\hat{\mathbf{y}}'$ ,  $\hat{\mathbf{z}}'$  sînt legați de cei vechi prin:

$$\hat{\mathbf{x}}' = \hat{\mathbf{y}}, \quad \hat{\mathbf{y}}' = -\hat{\mathbf{x}}, \quad \hat{\mathbf{z}}' = \hat{\mathbf{z}}.$$

FIG. 2.25. Vectorul  $\mathbf{B}$  se află în planul  $xy$  și este perpendicular pe  $\mathbf{A}$ .

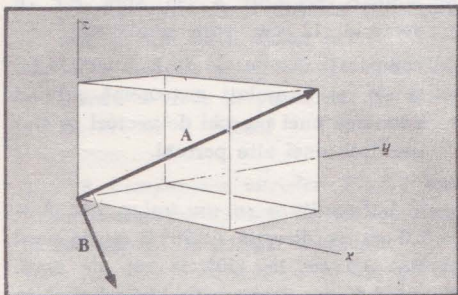


FIG. 2.27. Sistemul de referință accentuat  $x'$ ,  $y'$ ,  $z'$  se obține din sistemul neaccentuat  $x, y, z$  printr-o rotație de  $+\pi/2$  în jurul axei  $z$ .

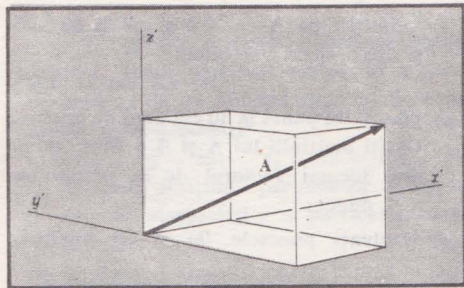


FIG. 2.26. Proiecția pe  $\mathbf{A}$  a vectorului  $\mathbf{C} = 2\hat{\mathbf{x}}$ ;  $\mathbf{A} \cdot \mathbf{C} = (\text{proiecția lui } \mathbf{C} \text{ pe } \mathbf{A})$  înmulțit cu  $A$ .

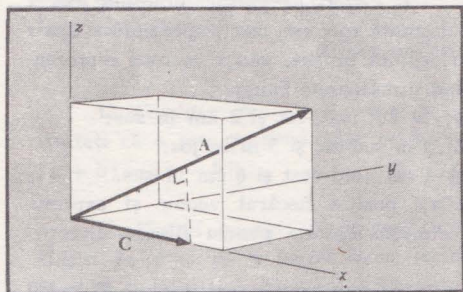
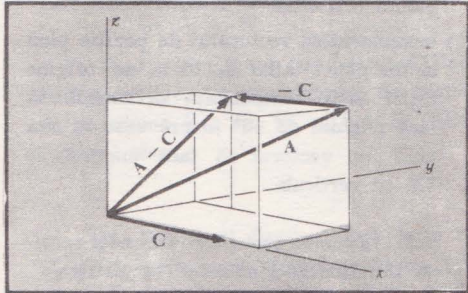


FIG. 2.28. Vectorul  $\mathbf{A} - \mathbf{C}$ .



Unde apărea  $\hat{x}$  avem acum  $-\hat{y}$  și unde apărea  $\hat{y}$  avem acum  $\hat{x}$  astfel încît:

$$\mathbf{A} = \hat{x} - 3\hat{y} + 2\hat{z}; \quad \mathbf{C} = -2\hat{y}.$$

(7) Găsiți produsul scalar  $\mathbf{A} \cdot \mathbf{C}$  în sistemul  $x'y'z'$ . Cu ajutorul rezultatului din (6) avem  $(-3)(-2) = 6$  exact ca în sistemul  $xyz$ .

(8) Aflați produsul vectorial  $\mathbf{A} \times \mathbf{C}$ . În sistemul  $xyz$  acesta este:

$$\begin{vmatrix} \hat{x} & \hat{y} & \hat{z} \\ 3 & 1 & 2 \\ 2 & 0 & 0 \end{vmatrix} = 4\hat{y} - 2\hat{z}.$$

Formînd produsele scalare se poate confirma că acest vector este perpendicular atît pe  $\mathbf{A}$  cît și pe  $\mathbf{C}$ .

(9) Aflați vectorul  $\mathbf{A} - \mathbf{C}$ . Avem (vezi fig. 2.28)

$$\mathbf{A} - \mathbf{C} = (3 - 2)\hat{x} + \hat{y} + 2\hat{z} = \hat{x} + \hat{y} + 2\hat{z}.$$

## PROBLEME

1. *Vectori de poziție.* Folosind axa  $x$  îndreptată spre est, axa  $y$  spre nord și axa  $z$  îndreptată în sus, găsiți vectorii reprezentînd următoarele puncte:

- (a) 10 km nord-est și 2 km în sus;
- (b) 5 m sud-est și 5 m în jos;
- (c) 1 cm nord-vest și 6 cm în sus.

Aflați poziția fiecărui vector și expresia vectorului unitate pentru fiecare direcție.

2. *Componentele vectorului.* Folosind axele din problema 1 aflați următoarele:

- (a) componentele vectorului de poziție de lungime 5 cm din origine și pînă la punctul situat pe direcția sud-est în planul orizontal.
- (b) componentele vectorului de poziție pînă la un punct aflat la 15 m de origine astfel încît componenta orizontală să facă unghiul de  $60^\circ$  înspre vest cu axa nord iar vectorul să facă unghiul de  $45^\circ$  cu verticala.

3. *Adunarea vectorilor.* Desenați rezultatele următoarelor adunări vectoriale:

- (a) adunați vectorul 2 cm spre est cu vectorul 3 cm spre nord-vest;

- (b) adunați vectorul 8 cm spre est cu vectorul 12 cm spre nord-vest;
- (c) comparați rezultatele de la punctele (a) și (b), și formulați o teoremă privind adunarea unei perechi de vectori ce sînt multipli unei alte perechi.

4. *Înmulțirea cu un scalar.* Fie  $\mathbf{A} = 2,0$  cm cu direcția de  $70^\circ$  la est de nord și  $\mathbf{B} = 3,5$  cm la  $130^\circ$  la est de nord. Folosind fie un raportor fie hirtie liniată în coordonate polare:

- (a) desenați vectorii descriși mai sus precum și alți doi de 2,5 ori mai lungi decît primii;
- (b) înmulțiți pe  $\mathbf{A}$  cu  $-2$  și pe  $\mathbf{B}$  cu  $+3$  și aflați suma vectorială;

$\mathbf{R}$ : 9,2 cm la  $152^\circ$ .

- (c) plasați un punct la 10 cm nord de origine. Găsiți multiplii lui  $\mathbf{A}$  și  $\mathbf{B}$  a căror sumă este tocmai vectorul de la origine la acel punct;
- (d) rezolvați punctele (b) și (c) analitic.

5. *Produse scalare și vectoriale a doi vectori.* Fiind dați vectorii  $\mathbf{a} = 3\hat{x} + 4\hat{y}$  -



...  $5\hat{z}$  și  $\mathbf{b} = -\hat{x} + 2\hat{y} + 6\hat{z}$ , calculați cu ajutorul metodelor vectoriale:

(a) lungimea fiecăruia;  $\mathbf{R}: a = \sqrt{50}; b = \sqrt{41}$ .

(b) produsul scalar  $\mathbf{a} \cdot \mathbf{b}$ ;  $\mathbf{R}: -25$ .

(c) unghiul dintre ei;  $\mathbf{R}: 123,5^\circ$ .

(d) cosinuzii directori ai fiecăruia;

(e) suma și diferența vectorială  $\mathbf{a} + \mathbf{b}$  și  $\mathbf{a} - \mathbf{b}$ .

$$\mathbf{R}: \mathbf{a} + \mathbf{b} = 2\hat{x} + 6\hat{y} + \hat{z}.$$

(f) produsul vectorial  $\mathbf{a} \times \mathbf{b}$ .

$$\mathbf{R}: 34\hat{x} - 13\hat{y} + 10\hat{z}.$$

6. *Algebra vectorială.* Fiind dați doi vectori astfel încât  $\mathbf{a} + \mathbf{b} = 11\hat{x} - \hat{y} + 5\hat{z}$  și  $\mathbf{a} - \mathbf{b} = -5\hat{x} + 11\hat{y} + 9\hat{z}$ :

(a) aflați  $\mathbf{a}$  și  $\mathbf{b}$ ;

(b) găsiți unghiul dintre  $\mathbf{a}$  și  $(\mathbf{a} + \mathbf{b})$  folosind metode vectoriale.

7. *Adunarea vectorială a vitezelor.* Pe o apă liniștită un om poate vizita o barcă cu 8 km pe oră.

(a) Dacă el vislește exact perpendicular pe direcția unui curent ce curge cu 3 km pe oră, care va fi direcția traiectoriei sale și care va fi viteza sa?

(b) În ce direcție ar trebui să vislească el, pentru a trece perpendicular pe curent și care ar fi viteza?

8. *Compunerea vitezelor.* Pilotul unui avion dorește să ajungă într-un loc situat la 200 km est de poziția sa actuală. Vântul bate din spre nord-vest cu 30 km pe oră. Calculați vectorul vitează, în raport cu masa de aer în mișcare dacă orarul îi cere pilotului să ajungă la destinație în 40 de minute.

$$\mathbf{R}: \mathbf{v} = 279\hat{x} + 21\hat{y} \text{ km/h}; \hat{x} = \text{est}; \hat{y} = \text{nord}.$$

9. *Operații vectoriale; vectorul poziție relativă.* Două particule emise de o sursă comună au la un anumit moment de timp următoarele deplasări:

$$\mathbf{r}_1 = 4\hat{x} + 3\hat{y} + 8\hat{z}; \quad \mathbf{r}_2 = 2\hat{x} + 10\hat{y} + 5\hat{z}.$$

(a) Schițați pozițiile particulelor și scrieți expresia deplasării  $\mathbf{r}$  a particulei 2 față de particula 1.

(b) Utilizați produsul scalar pentru a afla mărimea fiecărui vector.

$$\mathbf{R}: r_1 = 9,4; r_2 = 11,4; r = 7,9.$$

(c) Calculați unghiurile dintre toate perechile posibile de vectori.

(d) Calculați proiecția lui  $\mathbf{r}$  pe  $\mathbf{r}_1$ .  $\mathbf{R}: -1,2$ .

(e) Calculați produsul vectorial  $\mathbf{r}_1 \times \mathbf{r}_2$ .  
 $\mathbf{R}: -65\hat{x} - 4\hat{y} + 34\hat{z}.$

10. *Apropierea cea mai mare dintre două particule.* Două particule, 1 și 2, se deplasează de-a lungul axelor  $x$  și  $y$  cu vitezele  $\mathbf{v}_1 = 2\hat{x}$  cm/s, respectiv  $\mathbf{v}_2 = 3\hat{y}$  cm/s. La  $t = 0$  ele se găsesc în pozițiile:  $x_1 = -3$  cm,  $y_1 = 0$ ;  $x_2 = 0$ ,  $y_2 = -3$  cm.

(a) Aflați vectorul  $\mathbf{r}_2 - \mathbf{r}_1$  care reprezintă poziția lui 2 în raport cu 1 în funcție de timp.

$$\mathbf{R}: \mathbf{r} = (3 - 2t)\hat{x} + (3t - 3)\hat{y} \text{ cm}.$$

(b) Cînd și unde este apropierea dintre aceste două particule cea mai mare?

$$\mathbf{R}: t = 1,15 \text{ s}.$$

11. *Diagonala mare a unui cub.* Care este unghiul dintre două diagonale mari ale unui cub ce se intersectează?

(O diagonală mare unește două vîrfuri și trece prin interiorul cubului. O diagonală mică unește două vîrfuri și este conținută într-o față a cubului.)

$$\mathbf{R}: \arccos(1/3).$$

12. *Condiția pentru a avea  $\mathbf{a} \perp \mathbf{b}$ .* Arătați că  $\mathbf{a}$  este perpendicular pe  $\mathbf{b}$  dacă  $|\mathbf{a} + \mathbf{b}| = |\mathbf{a} - \mathbf{b}|$ .

13. *Vectori paraleli și perpendiculari.* Găsiți pe  $x$  și pe  $y$  astfel încît vectorii  $\mathbf{B} = x\hat{x} + 3\hat{y}$  și  $\mathbf{C} = 2\hat{x} + y\hat{y}$  să fie fiecare perpendicular pe  $\mathbf{A} = 5\hat{x} + 6\hat{y}$ . Arătați acum că  $\mathbf{B}$  și  $\mathbf{C}$  sînt paraleli. Mai este adevărat, în trei dimensiuni, că doi vectori perpendiculari pe un al treilea sînt cu necesitate paraleli între ei?

14. *Volumul unui paralelipiped.* Paralelipipedul are muchiile descrise de vectorii de la origine  $\hat{x} + 2\hat{y}$ ,  $4\hat{y}$ , și  $\hat{y} + 3\hat{z}$ . Aflați volumul său.

$$\mathbf{R}: 12$$

15. *Echilibrul forțelor.* Trei forțe  $\mathbf{F}_1$ ,  $\mathbf{F}_2$  și  $\mathbf{F}_3$  acționează simultan asupra unei particule punctiforme. Forța rezultantă  $\mathbf{F}_R$  este pur și simplu suma vectorială a forțelor.



Se zice că particula se află în echilibru dacă  $F_R = 0$ .

(a) Arătați că dacă  $F_R = 0$  atunci vectorii reprezentând cele trei forțe formează un triunghi.

(b) Dacă  $F_R = 0$ , ca mai sus, este posibil ca unul dintre vectori să se afle în afara planului determinat de ceilalți doi?

(c) O particulă supusă unei forțe verticale de sus în jos de 10 newtoni (N) și suspendată de un fir (tensiunea 15 N) făcând un unghi de 0,1 radiani cu verticala, nu poate fi în echilibru. Care este a treia forță necesară pentru a produce echilibrul?

16. *Lucrul mecanic efectuat de forțe.* Forțele constante  $F_1 = \hat{x} + 2\hat{y} + 3\hat{z}$  (N) și  $F_2 = 4\hat{x} - 5\hat{y} - 2\hat{z}$  (N) acționează împreună asupra unei particule în timpul deplasării din punctul A (20, 15, 0) (m) în punctul B (0, 0, 7) (m).

(a) Care este lucrul mecanic efectuat asupra particulei (în J)? Lucrul mecanic efectuat (capitolul 5) este dat de  $F \cdot r$ , unde  $F$  este forța rezultantă (aici  $F = F_1 + F_2$ ) iar  $r$  este deplasarea.

$$R: -48 \text{ J.}$$

(b) Calculați separat lucrul mecanic efectuat de forțele  $F_1$  și  $F_2$ .

(c) Să presupunem că ar acționa aceleași forțe dar deplasarea s-ar face de la B la A. Care este lucrul mecanic efectuat asupra particulei în acest caz?

17. *Momentul forței față de un punct.* Momentul  $M$  al forței față de un punct este dat de  $r \times F$ , unde  $r$  este vectorul îndreptat de la punctul dat spre punctul de aplicație al lui  $F$ . Să considerăm forța  $F = -3\hat{x} + \hat{y} + 5\hat{z}$  (N) acționând în punctul  $7\hat{x} + 3\hat{y} + \hat{z}$  (m). Să ne amintim că  $F \times r = -r \times F$ .

(a) Care este momentul, în Nm, față de origine? (Exprimați, doar, rezultatul ca o combinație liniară de  $\hat{x}$ ,  $\hat{y}$ , și  $\hat{z}$ .)

$$R: 14\hat{x} - 38\hat{y} + 16\hat{z}.$$

(b) Care este momentul față de punctul (0, 10, 0)?

$$R: -36\hat{x} - 38\hat{y} - 14\hat{z}.$$

18. *Viteza și accelerația: derivarea unui vector.* Aflați viteza și accelerația punctelor descrise de următorii vectori de poziție ( $t$  = timpul în secunde):

$$(a) r = 16t\hat{x} + 25t^2\hat{y} + 33\hat{z} \text{ m.}$$

$$(b) r = 10 \sin 15t\hat{x} + 35t\hat{y} + e^{6t}\hat{z} \text{ m.}$$

(Pentru derivate vezi notele matematice de la sfârșitul acestui capitol.)

19. *Zboruri la întâmplare.* O particulă urmează în spațiu, o traiectorie ce constă din  $N$  pași egali, fiecare dintre ei de lungime  $s$ . Direcția în spațiu a fiecărui pas este complet întâmplătoare fără nici o relație sau corelație între oricare doi pași. Deplasarea totală este:

$$S_t = \sum_{i=1}^N s_i.$$

Arătați că media pătratului distanței dintre pozițiile inițiale și finale este  $\langle S^2 \rangle = Ns^2$ , unde  $\langle \rangle$  înseamnă valoarea medie. [Indicație: faptul că direcția unui pas este independentă de direcția oricărui alt pas conduce la  $\langle s_i \cdot s_j \rangle = 0$  pentru toți  $i$  și  $j$  cu excepția  $i = j$ .]

20. *Invarianță.* Să considerăm un vector  $A$ , într-un sistem de coordonate carteziene cu vectorii unitari  $\hat{x}$ ,  $\hat{y}$  și  $\hat{z}$ . Vom roti acum acest sistem cu unghiul  $\theta$  în jurul axei  $\hat{z}$ .

(a) Exprimați noii vectori unitari  $\hat{x}'$  și  $\hat{y}'$  în funcție de  $\hat{x}$ ,  $\hat{y}$  și  $\theta$ ;  $\hat{z}' = \hat{z}$ .

(b) Exprimați pe  $A$  în funcție de  $A'_x$ ,  $A'_y$ ,  $A'_z$  și  $\hat{x}'$ ,  $\hat{y}'$ ,  $\hat{z}'$ ; treceți la  $\hat{x}$ ,  $\hat{y}$  și  $\hat{z}$  și aflați astfel relațiile dintre  $A'_x$ ,  $A'_y$ ,  $A'_z$  și  $A_x$ ,  $A_y$ ,  $A_z$ .

(c) Arătați că  $A_x^2 + A_y^2 + A_z^2 = A'^2_x + A'^2_y + A'^2_z$ . (Această problemă, transpusă pentru o rotație arbitrară în trei dimensiuni, este complicată. O metodă ar fi să utilizăm cei nouă cosinusi directori între care există șase relații, trei din ortogonalitatea lui  $\hat{x}$ ,  $\hat{y}$  și  $\hat{z}$  și trei din faptul că suma pătratelor cosinuşilor directori este unu.)



## NOTE MATEMATICE

*Derivate în raport cu timpul, viteza și accelerația.* Dinamica presupune mișcarea particulelor și a obiectelor și în consecință evoluția lor în timp; cu alte cuvinte, anumite mărimi ce descriu particulele sau obiectele, se modifică în timp. Foarte adesea, pentru descrierea sistemului fizic vom utiliza coordonatele  $x$ ,  $y$ , și  $z$ . La sfârșitul acestui paragraf, vom introduce alte două tipuri importante de sisteme de coordonate: cilindrice și sferice.

Descrierea cinematică se face cu ajutorul coordonatelor  $x$ ,  $y$  și  $z$  ca funcții de timp. O astfel de descriere este dată în figura 2.29 unde  $x$  este reprezentat în funcție de timpul  $t$ . Pentru a înțelege cum se modifică  $x$ , panta acestei curbe constituie o caracteristică importantă. Între  $A$  și  $B$ ,  $x$  crește uniform și panta, care este tangenta unghiului format de curbă și axa  $t$ , este constantă. Între  $B$  și  $C$  curba este paralelă cu axa  $t$  și panta este zero. De notat că  $x$  nu se modifică și astfel panta este o reflectare a componentei  $x$  a vitezei. Între  $C$  și  $D$  panta devine negativă, tangenta unghiului este de asemenea negativă, și  $x$  descrește. În  $D$  panta devine zero iar pe urmă crește. În relația (2.21) am definit pe  $dx/dt$  ca viteza în direcția  $x$  și aceasta este, bineînțeles, și definiția pantei. Este important să ne reamintim că viteza în orice direcție particulară are o mărime ce poate fi sau pozitivă sau negativă.

S-ar pierde prea mult timp și s-ar consuma prea multă hîrtie, dacă ar trebui

să facem un grafic de fiecare dată cînd vrem să descriem o anumită mișcare. În locul graficului se dă de obicei o relație funcțională între coordonatele  $x$ ,  $y$  sau  $z$  și timpul  $t$ . O astfel de relație este  $x = vt$ . Deoarece  $dx/dt = v$ , vedem că viteza este o

constantă  $v$ . Alt exemplu este  $x = \frac{1}{2}at^2$ ; în

acest caz  $dx/dt = at = v$ . Putem acum să facem graficul lui  $v$  în funcție de  $t$ . Cine ar fi panta acestei curbe? Am discutat deja (vezi relația (2.28)) acest lucru și știm că ea este tocmai accelerația pe direcția  $x$ ; astfel  $d^2x/dt^2 = dv/dt = a$ . În următoarele capitole ne vom referi la accelerație și o vom folosi foarte des.

Merită să notăm aici că unitățile de viteză se află împărțind unitatea de *lungime* la unitatea de *timp*. Sînt desigur multe unități pentru lungime și multe unități pentru timp. După cum am menționat în capitolul 1, vom folosi de obicei metrul pentru lungime și secunda pentru timp astfel încît unitatea noastră pentru viteză este metrul pe secundă (m/s). Cu toate acestea, mile pe oră (mi/h), țoli pe secol sau kilometri pe microsecundă (km/μs) ar fi unități tot atît de bune. (În CGS unitatea de măsură este cm/s.)

La derivare este util să ne reamintim, regula privind derivarea unui produs de funcții. Derivata produsului este egală cu derivata primului factor înmulțită cu toți ceilalți plus derivata celui de-al doilea factor înmulțită cu toți ceilalți plus derivata celui de-al treilea factor înmulțită cu toți ceilalți etc.

Aflați viteza și accelerația pe direcțiile  $x$ ,  $y$  și  $z$  dacă:

$$x = 35t$$

$$y = \frac{1}{2}At^2$$

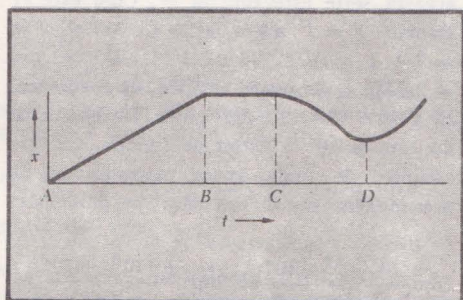
$$z = \frac{1}{2}Ct^4 + \frac{1}{4}Dt^3$$

$$x = 5 \cos 8t$$

$$y^2 = 25t$$

$$z = 7e^{-t}$$

FIG. 2.29. Graficul lui  $x$  în funcție de  $t$ .



$$\begin{aligned}x &= t^2 \sin 6t \\y &= t^{1/2} \operatorname{tg} 5t \\z &= A \ln t.\end{aligned}$$

Dacă nu sînteți familiarizați cu derivata sinusului sau a cosinusului iată mai jos deducerea formulei:

$$\begin{aligned}\frac{d}{dt} \sin t &= \lim_{\Delta t \rightarrow 0} \frac{\sin(t + \Delta t) - \sin t}{\Delta t} = \\&= \lim_{\Delta t \rightarrow 0} \frac{\sin t \cos \Delta t + \cos t \sin \Delta t - \sin t}{\Delta t} = \\&= \lim_{\Delta t \rightarrow 0} \frac{\sin t + \cos t \Delta t - \sin t}{\Delta t} = \cos t.\end{aligned}\quad (2.39)$$

Vezi relațiile (2.44) și (2.45) pentru  $\sin \Delta t$  și  $\cos \Delta t$ . Asemănător

$$\frac{d}{dt} \cos t = -\sin t. \quad (2.40)$$

Dacă vrem să derivăm pe  $\sin \omega t$ , înlocuim  $\omega t = z$ . Atunci

$$\frac{d}{dt} \sin \omega t = \frac{d}{dz} \sin z \frac{dz}{dt} = \omega \cos z = \omega \cos \omega t. \quad (2.41)$$

Putem arăta acum că

$$\begin{aligned}\frac{d}{dt} \operatorname{tg} t &= \frac{d}{dt} \frac{\sin t}{\cos t} = \frac{\cos t}{\cos t} + \frac{\sin t \sin t}{\cos^2 t} = \\&= \frac{1}{\cos^2 t} = \sec^2 t.\end{aligned}$$

**Unghiuri.** În descrierea poziției unei particule, așa cum a fost cazul în mișcarea circulară (pagina 63), unghiurile sînt folosite adesea ca element util al acestei descrieri. Viteza unghiulară este derivata unghiului în raport cu timpul avînd vectorul orientat paralel cu axa de rotație. Peste tot, în fizică, se folosește o mărime naturală de măsură a unghiului și ea se numește radian (rad.). Un radian este unghiul subîntins de un arc de cerc a cărui lungime este egală tocmai cu raza cercului din care face parte. Deoarece circumferința este de  $2\pi$  ori raza, unghiul cercului complet, notat adesea prin  $360^\circ$ , este  $2\pi$  rad. Împărțind  $360$  prin  $2\pi$  obținem  $57,3^\circ$ , care este tocmai valoarea în grade a unui radian.

Viteza unghiulară va fi măsurată în radiani pe secundă. Știind viteza unghiulară, putem obține ușor viteza liniară, dacă raza este constantă, doar prin înmulțire cu raza [vezi relația (2.32)]. De notat că radianii nu au dimensiuni; cu alte cuvinte ei sînt lungime împărțită la lungime, arc împărțit la rază.

Iată mai jos cîteva probleme privind măsura unghiurilor:

1. Aflați în radiani unghiurile de  $90^\circ$ ,  $240^\circ$  și  $315^\circ$ .

2. Dacă  $\theta = \frac{1}{5}t$ , aflați viteza unghiulară.

Considerîndu-l pe  $\theta$  dat în radiani, aflați viteza unghiulară în grade pe secundă ( $^\circ/\text{s}$ ).

3. O particulă se mișcă, pe un cerc de rază 15 m, cu viteza de 5 m/s. Aflați viteza unghiulară.

**Funcția  $e^x$ .** O întrebare interesantă din punct de vedere matematic este: ce funcție are o derivată egală cu însăși funcția? Dacă ne imaginăm că această funcție ar putea fi reprezentată printr-o serie infinită atunci s-ar putea ghici următoarea serie:

$$\begin{aligned}1 + x + \frac{x^2}{2!} + \frac{x^3}{3!} + \frac{x^4}{4!} + \frac{x^5}{5!} + \frac{x^6}{6!} + \\+ \frac{x^7}{7!} + \dots + \frac{x^n}{n!} + \dots\end{aligned}$$

Dacă o derivăm în raport cu  $x$ , vedem că primul termen dă zero, dar următorul dă 1, următorul  $x$ , următorul  $x^2/2!$  și așa mai departe, astfel încît avem tocmai seria de la care am plecat. Prin definiție această serie este funcția  $e^x$ . Cine este  $e$ ? Punînd  $x = 1$  avem  $e^1 = e$ . Astfel  $e = 1 + 1 + 1/2 + 1/3! + 1/4! + 1/5! + \dots = 2,7183 \dots$  Se poate verifica, de asemenea, că  $e^{x+y} = e^x e^y$ . Ne-am putea întreba de ce nu este și  $10^x$  o astfel de funcție. Cu alte cuvinte, de unde apare mărimea  $e$ ? Să presupunem că îl calculăm pe  $d(10^x)/dx$ :

$$\lim_{\Delta x \rightarrow 0} \frac{10^{x+\Delta x} - 10^x}{\Delta x} = \lim_{\Delta x \rightarrow 0} \frac{10^x 10^{\Delta x} - 10^x}{\Delta x} =$$



$$= \lim_{\Delta x \rightarrow 0} \frac{10^x(10^{\Delta x} - 1)}{\Delta x} = 10^x \times 2,30 \dots =$$

$$= 2,30 \dots \times 10^x.$$

Din acest punct de vedere se observă că  $e$  este tocmai acea mărime pentru care:

$$\frac{de^x}{dx} = e^x. \quad (2.42)$$

Unul dintre motivele importanței unei asemenea mărimi pentru fizică este și faptul că ne întâlnim adesea cu o ecuație de forma  $dy/dx = ky$  sau derivata lui  $y$  este egală cu o constantă înmulțită cu  $y$ . Vedem că putem scrie  $dy/kdx = y$ ; și dacă îl considerăm pe  $kx$  ca o variabilă independentă  $z$ , atunci  $dy/dz = y$ . Amintindu-ne relația (2.42) vedem că  $y = e^z = e^{kx}$  este tocmai funcția ce satisface ecuația noastră. Astfel, am „găsit o soluție” ecuației  $dy/dx = ky$ .

Dăm aici câteva proprietăți ale lui  $e^x$ :  $e^0 = 1$ ;  $e^{-\infty} = 0$ ;  $e^1 = e$  și  $e^\alpha \approx 1 + \alpha$ , unde  $\alpha$  este foarte mic. Notăm aici că seria lui  $e^x$  arată asemănător cu seriile lui  $\sin x$  și  $\cos x$  cu excepția faptului că în ultimele două serii semnele termenilor alternează și au doar puteri impare, respectiv, pare în  $x$ . Cei cu experiență în matematici știu că  $\sqrt{-1} = i$  își alternează semnul când este ridicat la puteri crescătoare. Să vedem cum ar arăta  $e^{i\theta}$ :

$$e^{i\theta} = 1 + i\theta + \frac{(i\theta)^2}{2!} + \frac{(i\theta)^3}{3!} + \frac{(i\theta)^4}{4!} +$$

$$+ \frac{(i\theta)^5}{5!} \dots = 1 - \frac{\theta^2}{2!} + \frac{\theta^4}{4!} - \frac{\theta^6}{6!} + i\theta -$$

$$- \frac{i\theta^3}{3!} + \frac{i\theta^5}{5!} - \frac{i\theta^7}{7!} \dots \quad (2.43)$$

<sup>1)</sup> Factorul  $2,30 \dots$  este logaritmul natural al lui 10. Fie  $10^{\Delta x} = 1 + \alpha$  unde atât  $\Delta x$  cât și  $\alpha$  sînt mărimi mici

$$\log_e 10^{\Delta x} = 2,30 \dots \log_{10} 10^{\Delta x} = 2,30 \dots \Delta x$$

$$\log_e(1 + \alpha) = \alpha.$$

Deci  $\alpha = (2,30 \dots) \Delta x$ . Puteți verifica acest rezultat folosind o tabelă de logaritmi.

adică tocmai  $\cos \theta + i \sin \theta$ . Relația:

$$e^{i\theta} = \cos \theta + i \sin \theta$$

se numește *teorema lui De Moivre*, și vom avea ocazia să o folosim în capitolul 7 (la notele matematice).

Cînd am dedus relația (2.39) am folosit  $\sin(\theta + \Delta\theta) = \sin\theta \cos\Delta\theta + \cos\theta \sin\Delta\theta \approx \sin\theta + \cos\theta\Delta\theta$ , unde  $\Delta\theta$  este o cantitate mică. Cu alte cuvinte,  $\sin\Delta\theta \approx \Delta\theta$  și  $\cos\Delta\theta \approx 1$ , unde  $\Delta\theta$  este un unghi mic. De reținut că unghiul este măsurat în radiani. Cititorul poate să-și caute în tabele valorile sinusului și ale cosinusului și să verifice el însuși cele de mai sus. Aproximațiile de mai sus reprezintă chiar primii termeni din dezvoltarea în serie a sinusului și a cosinusului:

$$\sin \theta = \theta - \frac{\theta^3}{3!} + \frac{\theta^5}{5!} - \frac{\theta^7}{7!} \dots \quad (2.44)$$

$$\cos \theta = 1 - \frac{\theta^2}{2!} + \frac{\theta^4}{4!} - \frac{\theta^6}{6!} \dots \quad (2.45)$$

De notat că dacă  $\theta$  este mic, de exemplu 0,10, atunci termenul al doilea din seria sinusului este  $\theta^3/6 = 1/6\,000$  sau  $1/600$  din primul termen. Facem astfel o eroare mică omițînd al doilea termen, și, la limită, cînd  $\theta$  tinde la zero, aproximația este strict corectă.

**Dezvoltarea în serie.** În fizică este, adesea, de mare importanță să putem calcula valoarea unei funcții într-un punct cînd cunoaștem valoarea ei într-un punct învecinat. Pentru acest lucru se folosește dezvoltarea în *serie Taylor*. În vecinătatea punctului  $x_0$ , valoarea funcției  $f(x)$  este dată de

$$f(x) = f(x_0) + (x - x_0) \left[ \frac{df(x)}{dx} \right]_{x=x_0} +$$

$$+ \frac{1}{2} (x - x_0)^2 \left[ \frac{d^2f(x)}{dx^2} \right]_{x=x_0} + \dots \quad (2.46)$$

Raportul termenului al treilea către al doilea este:

$$\frac{\frac{1}{2} (x - x_0)^2 \left[ \frac{d^2f(x)}{dx^2} \right]_{x=x_0}}{(x - x_0) \left[ \frac{df(x)}{dx} \right]_{x=x_0}} \approx (x - x_0)$$

exceptind cazurile cind derivatele au o comportare neobișnuită. Astfel, dacă  $x - x_0$  este mic în comparație cu 1, cu o mică eroare (care cel puțin poate fi calculată) putem aproxima pe  $f(x)$  prin formula:

$$f(x) = f(x_0) + (x - x_0) \left( \frac{df}{dx} \right)_{x=x_0} \quad (2.47)$$

Să presupunem, de exemplu, că  $y = Ax^5$  și că îl cunoaștem pe  $y_0 = Ax_0^5$  și dorim să îl calculăm pe  $y$  în punctul  $x = x_0 + \Delta x$ . Atunci:

$$\left( \frac{dy}{dx} \right)_{x_0} = 5Ax_0^4; \quad (x - x_0) \left( \frac{df}{dx} \right)_{x_0} = \Delta x 5Ax_0^4$$

și astfel:

$$y = Ax_0^5 + 5Ax_0^4 \Delta x \dots \quad (2.48)$$

Să scriem următoarea relație:

$$(a + bx)^n = a^n \left( 1 + \frac{bx}{a} \right)^n$$

și folosind dezvoltarea binomială obținem

$$\begin{aligned} a^n \left( 1 + \frac{bx}{a} \right)^n &= a^n \left[ 1 + n \left( \frac{bx}{a} \right) + \right. \\ &+ \frac{n(n-1)}{2!} \left( \frac{bx}{a} \right)^2 + \frac{n(n-1)(n-2)}{3!} \left( \frac{bx}{a} \right)^3 \\ &+ \dots + \dots \left. \right] \quad (2.49) \end{aligned}$$

Dacă  $bx/a$  este mic în comparație cu 1, obținem o bună aproximație renunțind la toți termenii de după  $n(bx/a)$ . Aplicind această relație problemei anterioare putem scrie:

$$\begin{aligned} y &= A(x_0 + \Delta x)^5 = Ax_0^5 \left( 1 + \frac{\Delta x}{x_0} \right)^5 = \\ &= Ax_0^5 \left( 1 + 5 \frac{\Delta x}{x_0} \dots \right) = \\ &= Ax_0^5 + 5Ax_0^4 \Delta x \dots \end{aligned}$$

care concordă cu relația (2.48).

Dacă  $x$  este mic în raport cu 1, demonstrați următoarele aproximații:

$$\frac{1}{\sqrt{1-x}} = 1 + \frac{1}{2}x \dots$$

$$\sqrt{1+x} = 1 + \frac{1}{2}x \dots$$

$$\sqrt{1-x} = 1 - \frac{1}{2}x \dots$$

$$\sqrt[3]{1+x} = 1 + \frac{1}{3}x \dots$$

$$\frac{1}{\sqrt[3]{1+x}} = 1 - \frac{1}{3}x \dots$$

**Vectori și coordonate sferice.** Poziția unei particule este dată în coordonate sferice prin  $r, \theta, \varphi$ . Aici  $r$  este mărimea vectorului  $r$  de la origine la particulă;  $\theta$  este unghiul dintre  $r$  și axa polară  $z$ ; iar  $\varphi$  este unghiul dintre axa  $x$  și proiecția lui  $r$  pe planul ecuatorial  $xy$ . Luăm  $0 \leq \theta \leq \pi$ . Proiecția lui  $r$  pe planul  $xy$  are mărimea  $r \sin \theta$ . Notați că poziția în coordonate carteziene este dată prin:

$$\begin{aligned} x &= r \sin \theta \cos \varphi; & y &= r \sin \theta \sin \varphi; \\ z &= r \cos \theta \text{ ca în figura 2.30.} \end{aligned} \quad (2.50)$$

1. Fie prima particulă la  $r_1 \equiv (r_1, \theta_1, \varphi_1)$  și o a doua particulă la  $r_2 \equiv (r_2, \theta_2, \varphi_2)$ . Fie  $\theta_{12}$  unghiul dintre  $r_1$  și  $r_2$ .

Exprimind produsul scalar  $\hat{r}_1 \cdot \hat{r}_2 = \cos \theta_{12}$  în funcție de  $\hat{x}, \hat{y}, \hat{z}$ , arătați că

$$\begin{aligned} \cos \theta_{12} &= \sin \theta_1 \sin \theta_2 \cos(\varphi_1 - \varphi_2) + \\ &+ \cos \theta_1 \cos \theta_2 \end{aligned} \quad (2.51)$$

unde am folosit identitatea trigonometrică:

$$\begin{aligned} \cos(\varphi_1 - \varphi_2) &= \cos \varphi_1 \cos \varphi_2 + \\ &+ \sin \varphi_1 \sin \varphi_2. \end{aligned} \quad (2.52)$$

Iată un bun exemplu al puterii metodelor vectoriale. Încercați să aflați rezultatul (2.51) pe altă cale!



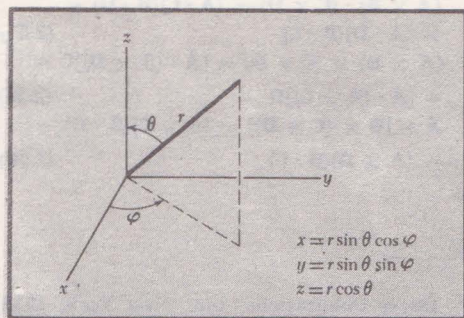


FIG. 2.30. Coordonate sferice.

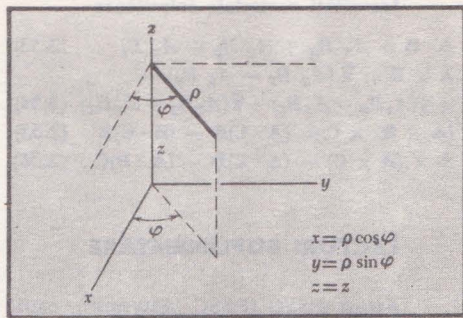


FIG. 2.31. Coordonate cilindrice.

2. În mod asemănător, formind  $\mathbf{r}_1 \times \mathbf{r}_2$ , aflați o relație pentru  $\sin \theta_{12}$ .

Coordonatele cilindrice  $\rho, \varphi, z$  reprezintă un set de coordonate ortogonale înlocuite de  $x = \rho \cos \varphi, y = \rho \sin \varphi$  și  $z = z$ .

ca în figura 2.31. Când le utilizăm în două dimensiuni coordonatele de mai sus se reduc la  $\rho$  și  $\varphi$ . Cu toate acestea, vom folosi adesea pe  $r$  și  $\theta$  în loc de  $\rho$  și  $\varphi$ . (Vezi, de exemplu, formulele de mai jos.)

### Formule de geometrie analitică

Dreapta în planul $xy$	$ax + by = 1$
Dreapta în planul $xy$	$y = ax$
trecând prin origine	
Planul	$ax + by + cz = 1$
Planul prin origine	$ax + by + cz = 0$

#### Coordonate carteziene

$$x^2 + y^2 = r_0^2$$

$$\frac{x^2}{a^2} + \frac{y^2}{b^2} = 1$$

centrul în origine

$$y^2 = mx$$

virful în origine

$$\frac{x^2}{a^2} - \frac{y^2}{b^2} = 1$$

centrul în origine

#### Coordonate polare

Cercul, centrul în origine

$$r = r_0$$

Elipsa

$$\frac{1}{r} = \frac{1 - e \cos \theta}{a}$$

$e < 1$ ; originea într-un focar

Parabola

$$\frac{1}{r} = \frac{1 - \cos \theta}{a}$$

originea în focar

Hiperbola

$$\frac{1}{r} = \frac{1 - e \cos \theta}{a}$$

$e > 1$ ; originea în focar

### Identități vectoriale folositoare

$$\mathbf{A} \cdot \mathbf{B} = A_x B_x + A_y B_y + A_z B_z \quad (2.53)$$

$$\mathbf{A} \times \mathbf{B} = \hat{x}(A_y B_z - A_z B_y) + \hat{y}(A_z B_x - A_x B_z) + \hat{z}(A_x B_y - A_y B_x) \quad (2.54)$$

$$(\mathbf{A} \times \mathbf{B}) \times \mathbf{C} = (\mathbf{A} \cdot \mathbf{C})\mathbf{B} - (\mathbf{B} \cdot \mathbf{C})\mathbf{A} \quad (2.55)$$

$$\mathbf{A} \times (\mathbf{B} \times \mathbf{C}) = (\mathbf{A} \cdot \mathbf{C})\mathbf{B} - (\mathbf{A} \cdot \mathbf{B})\mathbf{C} \quad (2.56)$$

### LECTURI SUPLIMENTARE

*Fizica PSSC* (PSSC „Physics“), capitolul 6, D. C. Heath & Co., Boston, 1965 (Tradusă în limba română sub titlul „Fizica PSSC“, N.T.)

Banesh Hoffman, *Despre vectori* („About Vectors“), Prentice-Hall, Inc., Englewood Cliffs, N.J., 1966. Nu este un manual, dar îi îndeamnă la lectură pe cei cu anumite cunoștințe despre vectori.

G. E. Hay, *Analiză vectorială și tensorială* („Vector and Tensor Analysis“),

$$(\mathbf{A} \times \mathbf{B}) \cdot (\mathbf{C} \times \mathbf{D}) = (\mathbf{A} \cdot \mathbf{C})(\mathbf{B} \cdot \mathbf{D}) - (\mathbf{A} \cdot \mathbf{D})(\mathbf{B} \cdot \mathbf{C}) \quad (2.57)$$

$$(\mathbf{A} \times \mathbf{B}) \times (\mathbf{C} \times \mathbf{D}) = [\mathbf{A} \cdot (\mathbf{B} \times \mathbf{D})]\mathbf{C} - [\mathbf{A} \cdot (\mathbf{B} \times \mathbf{C})]\mathbf{D} \quad (2.58)$$

$$\mathbf{A} \times [\mathbf{B} \times (\mathbf{C} \times \mathbf{D})] = (\mathbf{A} \times \mathbf{C})(\mathbf{B} \cdot \mathbf{D}) - (\mathbf{A} \times \mathbf{D})(\mathbf{B} \cdot \mathbf{C}) \quad (2.59)$$

Dover Publications, Inc., New York, 1953,

D. E. Rutherford, *Metode vectoriale* („Vector Methods“), Oliver & Boyd Ltd., Edinburgh, sau Interscience Publishers, Inc., New York, 1949.

H. B. Phillips, *Analiză vectorială* („Vector Analysis“), John Wiley & Sons, Inc., New York, 1933. Aceasta este o carte veche, mult folosită de o generație întreagă de studenți.



# 3

## Legile Newtoniene ale mișcării

### Cuprins

**Legile newtoniene ale mișcării**

*Mișcarea în cazul  $F = 0$*

**Forțe și ecuații de mișcare**

*Unități*

*Dimensiuni*

**Mișcarea unei particule într-un câmp gravitațional uniform**

Exemplu: Bătaia maximă

**Legea newtoniană a gravitației universale**

Exemplu. Satelitul pe o orbită circulară

**Forțele electrice și magnetice ce acționează asupra unei particule încărcate; unități**

*Câmpul electric*

*Câmpul magnetic și forța Lorentz*

**Mișcarea unei particule încărcate într-un câmp electric uniform și constant**

Exemplu. Accelerația longitudinală a unui proton

Exemplu. Accelerația longitudinală a unui electron

Exemplu. Accelerația transversală a unui electron

**Mișcarea unei particule încărcate într-un câmp magnetic uniform și constant**

Exemplu. Frecvența giromagnetică

Exemplu. Raza de girație

**Conservarea impulsului**

*Demonstrație pe baza legii a treia a lui Newton*

Exemplu. Ciocnirea elastică a două particule de mase egale, una dintre ele fiind inițial în repaus

**Forțe de contact; frecarea**

Exemplu. Măsurarea lui  $\mu$

Exemplu. Alunecarea sub acțiunea unei forțe tangențiale de direcție oarecare

Exemplu. Mișcarea într-un plan orizontal cu forțe de frecare constante

**Probleme**

*Teme avansate. Particula încărcată într-un câmp electric omogen alternativ*

*Noțiă matematică. Ecuații diferențiale*

*Noțiă istorică. Invenția ciclotronului*

*Lecturi suplimentare*

## LEGILE NEWTONIENE ALE MIȘCĂRII

Acest capitol se va ocupa în principal de legile newtoniene ale mișcării. Vom enunța la început legile în forma lor tradițională și apoi vom prezenta câteva aplicații pentru a-l ajuta pe student să capete siguranță atunci când le va folosi.

Câteva probleme privind alegerea sistemelor de coordonate și transformarea lui Galilei vor fi tratate în capitolul 4. Deși materialul din capitolul 4 ar putea fi parcurs înaintea celui din prezentul capitol, câștigarea unei experiențe cu anumite aplicații imediate ale legilor, va îmbunătăți înțelegerea aspectelor mai subtile din capitolul 4.

*Prima lege a lui Newton:* un corp rămîne în starea de repaus sau de mișcare uniformă (acelerație nulă) dacă asupra sa nu acționează nici o forță; adică,

$$\mathbf{a} = 0 \text{ cînd } \mathbf{F} = 0.$$

(Nu vom trata aici probleme filozofice privind conținutul legii întîi, de exemplu, dacă ea este conținută în întregime în legea a doua <sup>1</sup>).

*Legea a doua a lui Newton:* viteza de variație a impulsului unui corp este proporțională cu forța ce acționează asupra corpului. Definim impulsul ca  $M\mathbf{v}$ , unde  $M$  este masa și  $\mathbf{v}$  este vectorul viteză, astfel încît:

$$\mathbf{F} = K \frac{d}{dt} (M\mathbf{v}) = KM \frac{d\mathbf{v}}{dt} = KMa$$

unde s-a presupus că în termenii trei și patru  $M$  este constant. Vom alege unitățile astfel încît  $K = 1$ . În SI dacă  $M$  este măsurat în kilograme (kg) și  $\mathbf{a}$  în metri pe secundă la pătrat ( $\text{m/s}^2$ ) atunci  $\mathbf{F}$  este măsurat în newtoni (N). Un newton este forța care acționînd asupra unui corp cu masa de un kilogram îi imprimă o accelerație de un metru pe secundă la pătrat. În CGS,  $M$  este măsurat în grame (g),  $\mathbf{a}$  în centimetri pe secundă la pătrat ( $\text{cm/s}^2$ ) și atunci  $\mathbf{F}$  este măsurat în dyne (dyn). O dynă este astfel forța care aplicată unui corp cu masa de un gram îi imprimă o accelerație de un centimetru pe secundă la pătrat.

$$1\text{N} = 10^3\text{g} \times 100 \text{ cm/s}^2 = 10^5 \text{ dyn.}$$

<sup>1</sup> Vezi, de exemplu, E. Mach, *Știința mecanicii*, („The Science of Mechanics”) ed. 6, pg 302, The Open Court Publ. Co., La Salle III., 1960.



Atunci putem scrie:

$$\mathbf{F} = \frac{d}{dt} M \mathbf{v} \quad (3.1)$$

și dacă  $dM/dt = 0$

$$\mathbf{F} = M \mathbf{a} \quad (3.2)$$

Presupunerea că  $M$  este constant ne restringe automat numai la problemele nerelativiste cu  $v \ll c$ . Noi tratăm teoria specială a relativității în capitolele 10 pînă la 14, iar variația masei cu  $v$  în capitolul 12. Nu vom putea trata, de asemenea, alte cîteva probleme interesante cum ar fi rachetele și lanțurile care cad. (Vom trata cîteva dintre subiectele acestea în capitolul 6.) Cu toate acestea, vom avea la îndemînă o bogată varietate de probleme în care  $M$  este constant.

*Legea a treia a lui Newton:* ori de cîte ori interacționează două corpuri forța  $\mathbf{F}_{21}$ <sup>1</sup> pe care corpul 1 o exercită asupra corpului 2 este egală și de sens contrar cu forța  $\mathbf{F}_{12}$  pe care corpul 2 o exercită asupra corpului 1.

$$\mathbf{F}_{12} = -\mathbf{F}_{21} \quad (3.3)$$

Vom vedea că pe această lege se bazează conservarea impulsului. Viteza finită de propagare a forțelor (ca în relativitatea restrînsă) introduce dificultăți în aplicarea acestei legi, dificultăți pe care le vom menționa în capitolul 4.

Merită să subliniem aici că cele două forțe  $\mathbf{F}_{12}$  și  $\mathbf{F}_{21}$  acționează asupra unor corpuri diferite, și la aplicarea legii a doua a lui Newton unui anumit corp, numai forța care acționează asupra acelui corp trebuie luată în considerare. Forța egală și opusă influențează numai mișcarea celuilalt corp. (Vezi problema 1 de la sfîrșitul acestui capitol.)

Prezentăm acum un număr de exemple de aplicare a legilor lui Newton. Cei ce nu sînt familiarizați cu soluțiile ecuațiilor diferențiale vor trebui să citească notele matematice de la sfîrșitul acestui capitol care au legătură cu materialul ce urmează.

**Mișcarea în cazul  $\mathbf{F} = 0$ .** Acest caz simplu este tocmai acela al primei legi a lui Newton. Scriind:

$$M \frac{d\mathbf{v}}{dt} = \mathbf{F} = 0 \quad (3.4)$$

vedem imediat că  $\mathbf{v}$  trebuie să fie o constantă. Aici caracterul vectorial al lui  $\mathbf{v}$  este important deoarece atît mărimea cît și direcția lui  $\mathbf{v}$  trebuie să fie constante. De exemplu, corpul ce se mișcă cu viteză constantă pe un cerc are un vector viteză ce își modifică continuu direcția și astfel nu s-ar putea mișca pe o asemenea traiectorie dacă  $\mathbf{F} = 0$ .

Dacă viteza constantă  $\mathbf{v}$  este zero, corpul de masă  $M$  rămîne în repaus. Dacă nu este zero, dar

$$\mathbf{v} = \frac{d\mathbf{r}}{dt} = \mathbf{v}_0 \quad (3.5)$$

<sup>1</sup> Vom adopta aici convenția că  $F_{ij}$  este forța exercitată asupra corpului  $i$  din partea corpului  $j$ .



putem integra această ecuație pentru a obține:

$$\mathbf{r} = \mathbf{v}_0 t + \mathbf{r}_0 \quad (3.6)$$

unde  $\mathbf{r}_0$  este valoarea lui  $\mathbf{r}$  la  $t = 0$ . Aceste ecuații pot fi, desigur, scrise și în formă carteziană.

## FORȚE ȘI ECUAȚII DE MIȘCARE

Mult mai importante, totuși, sînt cazurile cînd  $\mathbf{F}$  nu este egal cu zero. Sub influența forței  $\mathbf{F}$ , o particulă de masă constantă suferă o accelerație în concordanță cu legea a doua a lui Newton:

$$\mathbf{F} = M\mathbf{a} = M \frac{d^2\mathbf{r}}{dt^2} \quad (3.7)$$

Această expresie matematică este așa-numita *ecuație de mișcare*. Prin aceasta înțelegem că prin integrarea succesivă a acestei ecuații diferențiale vom obține expresii pentru viteza și poziția particulei ca funcție de timp.

Pentru a rezolva o astfel de ecuație trebuie să cunoaștem forța  $\mathbf{F}$ , dependența ei de poziția și de viteza particulei precum și dependența de timp dacă ea variază explicit cu timpul. Desigur, rezolvarea unei ecuații de mișcare poate fi o problemă foarte dificilă dacă dependența forței de aceste variabile este complicată; dar, din fericire în multe cazuri importante și instructive apar forțe constante în timp și de asemenea independente de viteză.

În fizică sînt cunoscute cîteva tipuri importante de forțe: forța gravitațională, forța electrostatică, forța magnetică, și, printre altele, forțele nucleare tari dar cu rază scurtă de acțiune. Prin astfel de forțe, particulele pot interacționa unele cu altele chiar dacă sînt separate în vid. Dacă o particulă suferă acțiunea unei forțe rezultante datorată interacțiunii gravitaționale cu alte particule sau corpuri, putem spune că particula se află în *cîmpul gravitațional* produs de acele particule. Cînd o particulă încărcată electric suferă acțiunea unei forțe rezultante datorată distribuției de sarcini electrice aflate pe alte particule sau corpuri așezate în vecinătatea ei, vom considera că particula se află într-un *cîmp electric*.

În multe aplicații și probleme de mecanică vom vorbi despre *forțele de contact*, cum ar fi tensiunea din arcul ce suportă greutatea pendulului sau presiunea exercitată pe un plan de un obiect ce stă pe el. Cel mai adesea sînt prezente atît forțele de cîmp cît și forțele de contact, cum se întîmplă la balansarea în cîmpul gravitațional a masei pendulului suportată de către tensiunea în fir. În ultimă analiză, toate forțele de contact sînt forțe de cîmp deoarece ele provin din interacțiunile electromagnetice dintre particulele atomice. Cu toate acestea, este adesea mai convenabil pentru scopurile pe care ni le-am propus să considerăm numai forțele de contact sau forța de contact. Cînd se tratează despre mecanica particulelor atomice sîntem preocupați de regulă numai cu forțe de cîmp; *contactul* nu mai poate fi înțeles în sensul său simplu, în cadrul domeniului atomic.

**Unități.** În acest paragraf ne vom abate pentru scurt timp de la subiectul legilor lui Newton pentru a discuta problema unităților. Spre sfîrșitul capi-



tolului cînd se vor introduce forțele magnetice și electrice vom discuta unitățile folosite pentru sarcina electrică precum și pentru cîmpurile electrice și magnetice. Aici ne vom ocupa numai de unitățile mecanice.

Pentru a comunica informații despre mișcări, sînt cu siguranță necesare etaloane de timp și de distanță. Din fericire există un acord unanim în ceea ce privește etalonul de timp: secunda (s). La început a fost definită ca o parte dintr-un an, anul fiind definit în termenii observațiilor astronomice. Totuși, în folosirea acestei definiții, apar dificultăți practice, astfel încît, acum, secunda este definită în termenii numărului de oscilații caracteristice ale unui sistem atomic, și anume cel al atomului de cesiu. Definiția exactă spune că o secundă este timpul în care au loc 9 192 631 770 oscilații ale atomului de cesiu. Lăsînd la o parte procedeul experimental, este exact același lucru cu a lua ceasornicul bunicului și a spune că secunda este timpul necesar pentru atîtea oscilații complete ale pendulei.

În ceea ce privește unitatea de lungime nu mai există un acord unanim, întrucît țările de limbă engleză folosesc un sistem iar restul lumii alt sistem. Oamenii de știință au găsit că sistemul de unități folosit de restul lumii este mai simplu și mai ușor de utilizat decît sistemul britanic și, în consecință, l-au adoptat; se speră că și țările de limbă engleză vor adopta în curînd acest sistem. Sistemul presupune un etalon, centimetrul sau metru cu multiplii (sau submultiplii) zecimali ai etalonului. Etalonul original consta în distanța dintre două trăsături aflate pe o bară păstrată la Paris, distanța fiind exact 100 cm sau 1 m. Sînt și dificultăți practice în ceea ce privește folosirea acestui etalon, cum ar fi, de exemplu, lățimea zgîrieturilor. Astfel, noi folosim astăzi un etalon mai bun, lungimea de undă a radiației roșii a  $^{86}\text{Kr}$ ; un metru este 1 650 763,73 lungimi de undă. Întrebarea dacă metru sau centimetrul este unitatea fundamentală de lungime este întrucîtva academică, deoarece factorul de conversie este exact 100. În această carte vom utiliza metru deși vom face referiri la folosirea centimetrului, multe alte cărți folosesc centimetrul ca unitate de lungime. În sistemul Britanic, dificultățile sînt cauzate de faptul că diferitele unități de lungime nu sînt legate simplu unele de celelalte: de exemplu, piciorul are 12 țoli, iardul are 3 picioare iar mila are 1 760 de iarzi.

Legea a doua a lui Newton mai presupune două mărimi: masa și forța. Avem nevoie de etaloane pentru ambele mărimi? Răspunsul, după cum s-a menționat mai sus, este nu. Putem stabili un etalon pentru una dintre ele și apoi să folosim legea a doua a lui Newton pentru a-l defini pe celălalt. Din punct de vedere istoric masa a fost considerată ca fundamentală iar forța ca derivată. Unitatea de masă este gramul sau kilogramul, care este exact 1 000 de grame. Și kilogramul etalon este ținut la Paris. Compararea maselor este un lucru ușor astfel că nu a mai fost necesară adoptarea ca etalon a masei unui anumit atom.

Sistemul britanic este, iarăși, complicat deoarece uncia, libra și tona anglosaxonă nu sînt legate între ele într-un mod mai simplu. Vom adopta astfel metru, secunda și kilogramul, ca unități fundamentale de lungime, timp și, respectiv, masă, și vom utiliza unități derivate din acestea pentru forță, impuls, energie, putere etc. Acesta este sistemul SI (provenit din MKS). Este folosit, de asemenea, în mod obișnuit și *sistemul CGS* utilizînd centimetrul și gramul în locul metrului și kilogramului. În legătură cu unitățile, apar probleme mai deosebite odată cu discutarea fenomenelor electrice și magnetice în volumul 2, intervenind și viteza luminii ce se poate găsi și în acest capitol în paragraful privind cîmpurile magnetice.



**Dimensiuni.** Când lucrăm la un calcul complicat, este foarte important să fim siguri că unitățile dintr-o parte a ecuației rezultante sînt aceleași cu unitățile din partea cealaltă. De exemplu, calculînd distanța parcursă de un obiect, este sigur că s-a strecurat vreo greșeală dacă răspunsul apare în kilograme. O analiză de acest tip poartă, de obicei, numele de *analiză dimensională*. Nu este nevoie să specificăm unitățile folosite ci numai dimensiunile masei, lungimii și timpului, după cum se va vedea mai jos.

Care sînt dimensiunile forței? Folosind relația (3.7) vedem că forța este masa înmulțită cu accelerația, accelerația este viteza împărțită la timp iar viteza este distanța împărțită la timp; astfel încît, utilizînd  $M$ ,  $L$  și  $T$  pentru a denumi masa, lungimea și timpul, vom obține:

$$\text{Forța} = [M] [\text{accel}] = [M] [L] [T]^{-2}.$$

$$\text{Accelerația} = \frac{[L]}{[T] [T]} = [L] [T]^{-2}.$$

$$\text{Viteza} = \frac{[L]}{[T]} = [L] [T]^{-1}.$$

Ca exemplu de analiză dimensională să presupunem că ajungem la o relație de tipul: forța =  $\frac{3}{5} \rho v^2$  unde  $\rho$  este masa pe unitatea de volum, sau densitatea, iar  $v$  este viteza. Analiza dimensională nu ne va spune niciodată dacă factorul  $3/5$  este corect deoarece el este fără dimensiuni, adică un număr pur. Să ne uităm totuși la  $\rho v^2$ .

$$\rho = [M] [L]^{-3}; \quad v^2 = [L]^2 [T]^{-2}.$$

Atunci  $\rho v^2 = [M] [L]^{-3} [L]^2 [T]^{-2} = [M] [L]^{-1} [T]^{-2}$  pe cînd forța, după cum am văzut, este  $[M] [L] [T]^{-2}$ . Am făcut astfel o greșeală în deducerea ecuației. Cei ce sînt familiari cu conceptul de *presiune*, care este forța pe unitatea de suprafață, pot vedea că  $\rho v^2$  are dimensiunile unei presiuni.

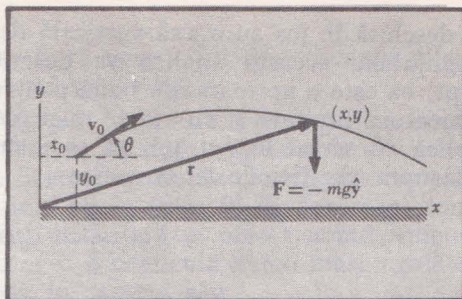
## MIȘCAREA UNEI PARTICULE ÎNTR-UN CÎMP GRAVITAȚIONAL UNIFORM

Vom trece acum la cîteva aplicații ale legii a doua a lui Newton. Dacă ne restrîngem considerațiile doar la regiunea laboratorului ale cărei dimensiuni sînt mici în raport cu dimensiunea Pămîntului, atunci putem considera într-o bună aproximație că forța gravitațională exercitată asupra unei particule este peste tot îndreptată *în jos* și constantă. Accelerația datorată acestei forțe, îndreptată și ea în jos, are tocmai valoarea locală a accelerației gravitației  $g^1$ , și astfel mărimea forței ce acționează asupra particulei este tocmai  $mg$ . Ca vector această forță poate fi scrisă  $\mathbf{F} = -mg \hat{\mathbf{y}}$ , unde  $x$  și  $y$  sînt axele de coordonate alese ca în figura 3.1.

<sup>1</sup>  $g$  se consideră de obicei egal cu  $980 \text{ cm/s}^2 = 9,80 \text{ m/s}^2$ . În tabelul 4.1 sînt date valorile lui  $g$  la suprafața pămîntului.



FIG. 3.1. Mișcarea unei particule libere sub influența unui câmp gravitațional uniform; proiectată inițial din punctul  $(x_0, y_0)$  cu viteza  $v_0$  sub unghiul  $\theta$  față de orizontală. Vectorul de poziție la momentul surprins pe figură  $\mathbf{r} = x\hat{\mathbf{x}} + y\hat{\mathbf{y}}$ . Vectorul accelerație:  $d^2\mathbf{r}/dt^2 = (d^2x/dt^2)\hat{\mathbf{x}} + (d^2y/dt^2)\hat{\mathbf{y}} = -g\hat{\mathbf{y}}$ .



Dacă putem omite alte forțe, ca, de pildă, frecarea, ecuația de mișcare rezultând din legea a doua a lui Newton [relația (3.7)] este:

$$m \left[ \hat{\mathbf{x}} \frac{d^2x}{dt^2} + \hat{\mathbf{y}} \frac{d^2y}{dt^2} \right] = -mg\hat{\mathbf{y}}. \quad (3.12)$$

Deoarece direcțiile componente sînt ortogonale, vom separa această ecuație în două ecuații componente și astfel nu mai este nevoie să reținem versorii. Astfel:

$$\frac{d^2y}{dt^2} = -g; \quad \frac{d^2x}{dt^2} = 0. \quad (3.8)$$

Integrarea acestor ecuații pentru obținerea lui  $x$  și  $y$  ca funcții de  $t$  o găsiți în notele matematice de la sfîrșitul acestui capitol. Cu condițiile inițiale arătate în figura 3.1 unde componentele vitezei inițiale sînt  $v_0 \cos \theta$  și  $v_0 \sin \theta$  pentru direcțiile  $x$  și respectiv  $y$ , soluțiile sînt

$$\begin{aligned} x &= x_0 + (v_0 \cos \theta) t \\ y &= y_0 + (v_0 \sin \theta) t - \frac{1}{2} g t^2. \end{aligned} \quad (3.9)$$

Diferite cazuri speciale, cum ar fi căderea unei particule de la înălțimea  $h$  din repaus, pot fi explorate prin alegerea condițiilor inițiale pentru poziție și viteză și vor duce la rezultate familiare. Anumite cazuri sînt prezentate în problemele de la 2 pînă la 4.

Studentul familiarizat cu geometria analitică va recunoaște relațiile (3.9) ca forma parametrică a unei parabole, parametrul fiind  $t$ . Acest lucru se poate vedea mai clar eliminîndu-l pe  $t$  din cele două ecuații pentru a obține

$$y - \left( y_0 + \frac{v_0^2 \sin^2 \theta}{2g} \right) = - \frac{g}{2v_0^2 \cos^2 \theta} \left[ x - \left( x_0 + \frac{v_0^2 \sin \theta \cos \theta}{g} \right) \right]^2$$

Aceasta este forma canonică a unei parabole cu vîrful în

$$x_1 = x_0 + \frac{v_0^2 \sin \theta \cos \theta}{g}$$

$$y_1 = y_0 + \frac{v_0^2 \sin^2 \theta}{2g},$$

și deschisă în jos cu o axă verticală de simetrie. Dacă rezistența aerului este neglijabilă, această analiză va descrie corect mișcarea unui proiectil. În fapt, ea este o aproximație bună pentru obiecte cu masă mare ce se mișcă pe traiectorii limitate și cu viteze mici (vezi problema 20). Reprezentarea parabolică cu vârful în  $(x_1, y_1)$ , ca mai sus, ne dezvăluie că înălțimea maximă deasupra poziției de lansare este:

$$h = y_1 - y_0 = \frac{v_0^2 \sin^2 \theta}{2g}.$$

Bătaia orizontală, adică distanța pînă în punctul unde proiectilul a revenit la înălțimea de lansare, este dată de:

$$R = 2(x_1 - x_0) = \frac{2v_0^2 \sin \theta \cos \theta}{g} = \frac{v_0^2 \sin 2\theta}{g}. \quad (3.10)$$

### EXEMPLU

**Bătaia maximă.** Cu ce unghi trebuie proiectat un obiect astfel încît  $R$  să fie maxim? Înainte de a face calculul, putem vedea ușor că  $R(\theta)$  are un maxim; dacă  $\theta$  este prea mic, proiectilul nu va sta în zbor suficient de mult timp pentru a ajunge departe, dacă  $\theta$  este prea mare proiectilul va merge în sus și în jos și nu prea mult pe orizontală. Pentru a rezolva analitic problema vom folosi pur și simplu faptul că atunci cînd  $R$  este maxim  $dR/d\theta = 0$ . Folosind relația (3.10)

$$\frac{dR}{d\theta} = \frac{v_0^2}{g} 2 \cos 2\theta = 0$$

$$2\theta = \frac{\pi}{2}; \quad \theta = \frac{\pi}{4} = 45^\circ.$$

### LEGEA NEWTONIANĂ A GRAVITAȚIEI UNIVERSALE

În paragraful precedent am tratat cazul cîmpului gravitațional constant. Ce se întîmplă cînd distanța dintre obiectele aflate în interacție gravitațională este mare în comparație cu mărimea lor? Legea lui Newton a gravitației spune:

o particulă de masă  $M_1$  atrage orice altă particulă din univers de masă  $M_2$  cu o forță:

$$\mathbf{F} = - \frac{GM_1 M_2}{r^2} \hat{\mathbf{r}} \quad (3.11)$$

unde  $\hat{\mathbf{r}}$  este vectorul unitar de la  $M_1$  la  $M_2$  și  $G$  este o constantă avînd valoarea determinată experimental de:

$$6,67 \times 10^{-11} \text{ N} \cdot \text{m}^2/\text{kg}^2 \text{ sau } 6,67 \times 10^{-8} \text{ dyn} \cdot \text{cm}^2/\text{g}^2.$$



De notat că aceasta este forța exercitată asupra lui  $M_2$ . Semnul minus indică o forță atractivă; ea tinde să-l micșoreze pe  $r$ .

Forța gravitațională este o forță *centrală*: forța este orientată de-a lungul liniei ce unește cele două corpuri punctiforme. Modul de determinare a valorii lui  $G$  este tratat de obicei în textele de liceu. Experiența clasică este cea a lui Cavendish. Vom vedea, de asemenea, mai târziu (cap. 9) că deoarece forța depinde invers proporțional de pătratul distanței, un obiect avînd simetrie sferică va intra în interacție ca și cînd ar fi o particulă avînd masa egală cu întreaga masă a obiectului și localizată în centrul său.

Newton, însuși, nu a cunoscut valoarea lui  $G$ . Cu toate acestea el a știut — de fapt, a descoperit — că legea forței este o lege a inversei proporționalități cu pătratul distanței, și a mai știut că la suprafața Pămîntului (deoarece Pămîntul este esențialmente sferic):

$$mg = \frac{GmM_p}{R_p^2} \quad (3.12)$$

unde  $M_p$  este masa pămîntului și  $R_p$  este raza sa. El a putut, astfel, afla pe  $GM_p$  și mai departe a putut afla forța exercitată la orice distanță  $r$ :

$$F = \frac{GmM_p}{r^2} = \frac{GmM_p}{R_p^2} \cdot \frac{R_p^2}{r^2} = mg \left( \frac{R_p}{r} \right)^2.$$

De asemenea, el a știut cu un înalt grad de precizie că masele gravitaționale și inerțiale ale unui corp sînt egale. (Acest lucru va fi discutat în capitolul 14.) Ceea ce vrem să spunem este că valoarea masei  $m$  ce trebuie folosită în expresia de mai înainte a forței gravitaționale este egală cu valoarea masei aceluiasi corp folosită în legea a doua a lui Newton  $\mathbf{F} = m\mathbf{a}$ . Masa din legea gravitațională se numește *masă gravitațională* iar masa din legea a doua a lui Newton se numește *masă inerțială*. Experiențele clasice privind egalitatea celor două mase au fost făcute de Eötvös; experiențe mai recente și mai precise sînt descrise de R. H. Dicke<sup>1</sup> și de P. G. Roll, R. Krotkov și R. H. Dicke<sup>2</sup>. Experiența lui Eötvös este descrisă în capitolul 14. În relația (3.12) am presupus că există această egalitate.

## EXEMPLU

**Satelitul pe o orbită circulară.** Să considerăm un satelit pe o orbită circulară concentrică și coplanară cu ecuatorul terestru. La ce rază  $r$  a orbitei, satelitul va părea că rămîne staționar în raport cu un observator fix de pe Pămînt? Vom presupune că sensul rotației satelitului pe orbită este același cu sensul rotației Pămîntului.

Pe o orbită circulară atracția gravitațională este egală cu masa înmulțită cu accelerația centripetă:

$$\frac{GM_p M_s}{r^2} = M_s \omega^2 r \quad (3.13)$$

<sup>1</sup> Scientific American, 205: 84 (1961)

<sup>2</sup> Ann. Phys. (N.Y.), 26: 442 (1964)



unde  $M_s$  este masa satelitului. Vom rearanja expresia (3.13) astfel:

$$r^3 = \frac{GM_p}{\omega^2} = \frac{GM_p T^2}{(2\pi)^2} \quad (3.14)$$

unde  $T$  este perioada. Vrem ca viteza unghiulară  $\omega$  a satelitului pe orbită să fie egală cu viteza unghiulară  $\omega_p$  a rotației Pământului în jurul axei sale, astfel încît satelitul să apară staționar. Viteza unghiulară a Pământului este:

$$\omega_p = \frac{2\pi}{\text{o zi}} = \frac{2\pi}{8,64 \times 10^4} = 7,3 \times 10^{-5} \text{ s}^{-1}$$

și relația (3.14) devine, cu  $\omega = \omega_p$ :

$$r^3 \approx \frac{(6,67 \times 10^{-11}) (5,98 \times 10^{24})}{(7,3 \times 10^{-5})^2} \approx 75 \times 10^{21}$$

sau

$$r \approx 4,2 \times 10^7 \text{ m.}$$

Raza Pământului este  $6,38 \times 10^6 \text{ m}$ . Distanța este astfel aproximativ o zecime din distanța pînă la Lună și aproape de 6,6 ori mai mare decît raza Pământului.

## ACȚIUNEA FORȚELOR ELECTRICE ȘI MAGNETICE ASUPRA UNOR PARTICULE ÎNCĂRCATE; UNITĂȚI

În acest paragraf, dorim să considerăm probleme cu forțe electrice și magnetice ce acționează asupra unor particule încărcate. La lucrările de laborator, studenții vor observa și măsura efectele unor astfel de forțe asupra mișcării particulelor, iar subiectul va fi tratat pe larg în volumul 2. Acum, vom introduce pe scurt definițiile unităților mărimilor electrice și magnetice astfel încît să putem trata forțele ce apar în această importantă ramură a mecanicii.

Vă reamintiți că sarcinile electrice se resping cu forțe orientate de-a lungul liniei care le unește. Tăria repulsiei depinde invers proporțional de distanța care separă sarcinile și este direct proporțională cu produsul sarcinilor electrice. Aceasta este legea lui Coulomb; ea poate fi exprimată prin relația:

$$\mathbf{F} = \frac{q_1 q_2}{r^3} \mathbf{r} = \frac{q_1 q_2}{r^2} \hat{\mathbf{r}} \quad (3.15)$$

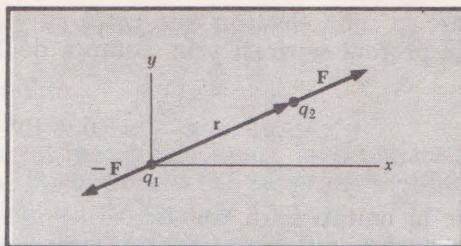
unde  $\mathbf{r}$  este vectorul ce separă sarcina punctiformă  $q_2$ , asupra căreia se exercită forța  $\mathbf{F}$ , de sarcina punctiformă  $q_1$  luată în origine. Vectorul unitar  $\hat{\mathbf{r}}$  este desigur egal cu  $\mathbf{r}/r$ . Figura 3.2 ilustrează această situație și ne reamintește că dacă  $\mathbf{F}$  acționează asupra lui  $q_2$  atunci  $-\mathbf{F}$  va acționa asupra lui  $q_1$ .

Expresia (3.15) enunță legea lui Coulomb în sistemul de unități Gauss. În acest sistem unitatea de sarcină  $q$  este definită astfel: două sarcini punctiforme egale ce se resping cu o forță de 1 dynă cînd se află la distanța de un cm reprezintă prin definiție o unitate Gauss de sarcină. Sarcina pe care o are fiecare particulă încărcată se numește unitate electrostatică (ues), sau 1 statcoulomb. „Dimensiunile” sarcinii electrice se văd în expresia (3.15):

$$[q] = [\text{forță}]^{\frac{1}{2}} \cdot [\text{distanță}] = [\text{masă}]^{\frac{1}{2}} \cdot [\text{lungime}]^{\frac{3}{2}} [\text{timp}]^{-1}.$$



FIG. 3.2. Ilustrație la legea lui Coulomb.  
 $\mathbf{F} = (q_1 q_2 / r^2) \hat{\mathbf{r}} = (q_1 q_2 / r^3) \mathbf{r}$ .



Astfel, folosind pentru aceste mărimi sistemul CGS, dimensiunile sarcinii în sistemul electrostatic gaussian sînt:

$$[q] = \text{g}^{\frac{1}{2}} \text{cm}^{\frac{3}{2}} \text{s}^{-1}.$$

Este, desigur, mai ușor să folosim numele de (*ues*) sau de *statcoulomb* decât să scriem de fiecare dată această combinație.

După cum am mai menționat, Sistemul internațional de unități, SI, folosește metrul pentru distanță și newtonul pentru forță. În locul definirii unității de sarcină prin legea lui Coulomb, se utilizează o definiție în termenii curentului electric, folosindu-se amperul (A). Unitatea de sarcină este: 1 coulomb (C) = 1 amper·secundă (A·s). Legea lui Coulomb trebuie atunci scrisă astfel:

$$F = k \frac{q_1 q_2}{r^2}; \quad \mathbf{F} = \frac{1}{4\pi\epsilon_0} \frac{q_1 q_2}{r^2} \hat{\mathbf{r}} \quad (3.15,a)$$

unde  $k$  are dimensiunile:

$$[\text{forță}] [\text{lungime}]^2 [\text{sarcină}]^{-2}$$

iar  $\epsilon_0$  are dimensiunile inverse. În electrostatică sînt multe operații care introduc un factor  $4\pi$ , și astfel la numitorul expresiei (3.15,a) s-a introdus factorul  $4\pi$  ca să se simplifice în timpul operațiilor. Valoarea lui  $k$  este:

$$k = \frac{1}{4\pi\epsilon_0} = 8,988 \times 10^9 \text{ N} \cdot \text{m}^2/\text{C}^2$$

sarcina unui proton  $q_p$  este sarcina electrică elementară și este notată aproape peste tot prin litera  $e$ . Valoarea ei în unități SI este:

$$e = + 1,60210 \times 10^{-19} \text{ C}$$

iar în unități CGS Gauss

$$e = + 4,8022 \times 10^{-10} \text{ ues}$$

$$1 \text{ C} = 2,9979 \times 10^9 \text{ ues}.$$

Sarcina unui electron este egală cu  $-e$ . Mărimea forței de respingere dintre doi protoni separați prin distanța de  $10^{-14}$  m este:

$$F = k \frac{e^2}{r^2} \approx 9,0 \times 10^9 \frac{(1,6 \times 10^{-19})^2}{(10^{-14})^2} \approx 2,3 \text{ N}$$

iar în unități CGS Gauss:

$$F = \frac{e^2}{r^2} \approx \frac{(4,8 \times 10^{-10}) (4,8 \times 10^{-10})}{10^{-12} \times 10^{-12}} \approx 2,3 \times 10^5 \text{ dyn.}$$

Forța dintre un proton și un electron este atractivă deoarece sarcinile au semne opuse.

**Cîmpul electric.** Cînd asupra unei particule încărcată electric se exercită o forță electrică spunem că particula se află într-un *cîmp electric*. Cîmpul precum și forța datorată lui și exercitată asupra particulei supuse atenției noastre se datoresc altei sarcini sau distribuții de sarcini aflate în vecinătate. Intensitatea  $E$  a cîmpului se definește prin relația:

$$\mathbf{F} = q\mathbf{E} \quad (3.16)$$

unde  $q$  reprezintă valoarea „sarcinii corpului de probă” asupra căruia observăm forța  $\mathbf{F}$ . Vectorul intensitate a cîmpului  $\mathbf{E}$  este astfel vectorul forță pe unitatea de sarcină pozitivă în punctul în care se află sarcina de probă.

Am prezentat în figura 3.3 aceeași situație ca în figura 3.2 dar am adoptat aici punctul de vedere potrivit căruia forța  $\mathbf{F}$  ce acționează asupra lui  $q_2$  se datorează intensității cîmpului  $\mathbf{E}$  produs de sarcina  $q_1$  plasată în origine. Vectorul  $\mathbf{E}$  este în acest caz dat de următoarea expresie:

$$\mathbf{E} = \frac{1}{4\pi\epsilon_0} \frac{q_1}{r^2} \hat{\mathbf{r}} \quad (3.17)$$

iar forța  $\mathbf{F} = q_2\mathbf{E}$  este astfel aceeași cu cea exprimată în relația (3.15,a). Importanța introducerii cîmpului va reieși la studiul electricității. Cîmpul este în mod special folositor atunci cînd trebuie să lucrăm cu forțe electrice produse de distribuții de sarcină cum ar fi sfere sau plane încărcate și, după cum se va explica în volumul 2, de cîmpuri magnetice variabile în timp.

Dimensiunile cîmpului sînt desigur forță pe unitatea de sarcină; astfel, unitatea poate fi exprimată în N/C. Pentru motive ce se vor vedea mai tîrziu, intensitatea cîmpului poate fi de asemenea exprimată ca volt pe metru (V/m).

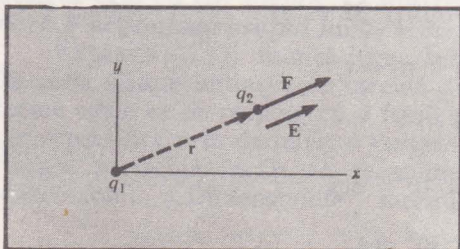


FIG. 3.3. Ilustrație la conceptul de intensitate a cîmpului electric  $\mathbf{E}$ .  $\mathbf{E} = (q_1/r^2)\hat{\mathbf{r}}$ ,  $\mathbf{F} = q_2\mathbf{E} = (q_1q_2/r^2)\hat{\mathbf{r}}$ .



Cele două moduri de exprimare înseamnă exact același lucru

$$1 \text{ N/C} = 1 \text{ V/m}$$

ultima exprimare scoțind în evidență lucrul mecanic ce apare la deplasarea unității de sarcină pe unitatea de lungime în câmpul electric iar prima scoțind în evidență forța ce acționează asupra unității de sarcină.

În sistemul CGS relația (3.16) este de asemenea relația de definiție pentru câmpul electric  $\mathbf{E}$  și  $E$  va avea unitățile dyn/ues. În locul relației (3.17) pentru câmpul electric datorat sarcinii  $q_1$  vom avea:

$$\mathbf{E} = \frac{q_1}{r^2} \hat{\mathbf{r}}. \quad (3.17, a)$$

Exact ca în SI,  $E$  poate fi exprimat în statvolt/cm și

$$1 \text{ dyn/ues} = 1 \text{ statvolt/cm}.$$

Factorul de conversie de la statvolt pe cm la volt pe metru este:

$$2,9979 \times 10^4 \text{ V/m} = 1 \text{ statvolt/cm}$$

$$1 \text{ V/m} = \frac{1}{2,9979 \times 10^4} \text{ statvolt/cm} \approx \frac{1}{3 \times 10^4} \text{ statvolt/cm}.$$

**Câmpul magnetic și forța Lorentz.** Până acum am considerat numai situația *statică*, situație în care particulele nu se mișcă unele în raport cu altele sau relativ la observator și am exprimat forța electrostatică exercitată asupra unei particule încărcate cu sarcina  $q$  ca fiind  $\mathbf{F}_{el} = q\mathbf{E}$ . Dar, experimental s-a constatat că dacă particula cu sarcină  $q$  se mișcă în raport cu observatorul poate apărea o forță adițională într-o direcție perpendiculară pe viteză; aceasta este *forța magnetică*. Într-o regiune în care există o astfel de forță dependentă de viteză se spune că este prezent un *câmp magnetic*; și se știe din experiență că vectorul inducție magnetică  $\mathbf{B}$  poate fi legat de forța magnetică prin relația <sup>1</sup>:

$$\boxed{\mathbf{F}_{mag} = q \mathbf{v} \times \mathbf{B}} \quad (3.18)$$

unde  $q$  este în coulombi,  $v$  în metri pe secundă iar  $F$  în newtoni. Relația îl definește pe  $B$  cu dimensiunile  $[\text{N}][\text{s}][\text{C}]^{-1}[\text{m}]^{-1}$ . Recent, pentru unitatea de inducție magnetică s-a adoptat un nume special, *tesla* (T), în locul celei denumite până acum weber pe metru pătrat ( $\text{Wb/m}^2$ )<sup>2</sup>. Produsul vectorial ne dă  $\mathbf{F}_{mag}$  perpendicular pe  $\mathbf{v}$  așa cum cere experiența și definește vectorul inducție magnetică  $\mathbf{B}$  ca fiind de asemenea perpendicular pe  $\mathbf{F}_{mag}$ . Aceste relații sînt ilustrate, în figura 3.4 pentru cazul cînd  $\mathbf{v}$  și  $\mathbf{B}$  sînt perpendiculari. Dacă înlocuim mișcarea sarcinii de-a lungul direcției lui  $\mathbf{v}$ , cu un conductor prin

<sup>1</sup> Dacă în capitolul 2 produsul vectorial a fost omis, acest paragraf poate fi studiat pentru cazul  $\mathbf{v}$  și  $\mathbf{B}$  perpendiculari unul pe altul.

<sup>2</sup> W. E. Weber (1807–1891) a fost un fizician german iar N. Tesla (1856–1943) a fost un inventator american.

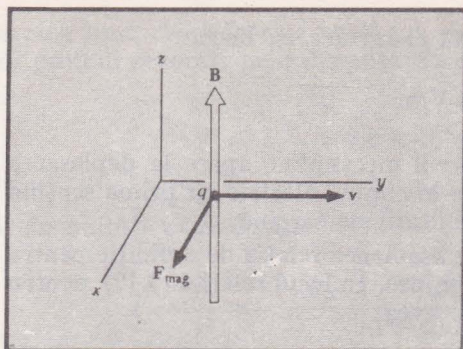


FIG. 3.4. Forța magnetică  $F_{mag} = q\mathbf{v} \times \mathbf{B}$ .

care circulă curentul, atunci direcția forței ce acționează asupra conducto-  
rului este aceeași cu cea arătată în figura 3.4.

În sistemul de unități CGS Gauss:

$$\mathbf{F}_{mag} = \frac{q}{c} \mathbf{v} \times \mathbf{B} \quad (3.18,a)$$

unde  $c$  este viteza luminii în vid iar  $\mathbf{v}$  este viteza particulei încărcate. Dimen-  
siunile lui  $B$  definit aici sînt aceleași cu cele ale lui  $E$  deoarece raportul  $v/c$   
nu are dimensiuni. Unitatea a primit numele de *gauss* (G) cu  $F$  în dyn și  $q$   
în ues. Astfel dacă un electron se mișcă cu o zecime din viteza luminii pe o  
direcție perpendiculară pe cîmpul magnetic a cărui inducție este de 10 000 G,  
intensitatea forței magnetice va fi:

$$F = (4,8 \times 10^{-10} \text{ ues}) \frac{1}{10} (10^4 \text{ G}) = 4,8 \times 10^{-7} \text{ dyn.}$$

Din fericire

$$1\text{T} = 10^4 \text{ G}$$

deși trebuie ținut minte că gauss și tesla nu au aceleași dimensiuni; ar trebui  
să spunem mai corect că 1 T corespunde la  $10^4$  G.

În SI problema precedentă sună astfel:  $B = 1 \text{ T}$ ,

$$v = 3 \times 10^7 \text{ m/s}, q = e = 1,6 \times 10^{-19} \text{ C și}$$

$$F = (1,6 \times 10^{-19}) (3 \times 10^7) (1,0) = 4,8 \times 10^{-12} \text{ N.}$$

Forța totală ce acționează asupra unei particule încărcate aflată în miș-  
care este suma vectorială a forțelor electrostatică și magnetică. Ea se numește  
*forța Lorentz*. (Uneori denumirea se utilizează și numai în cazul forței magne-  
tice singure.)

Din expresiile (3.16) și (3.18):

$$\mathbf{F} = q\mathbf{E} + q\mathbf{v} \times \mathbf{B} \quad (3.19)$$

în SI și

$$\mathbf{F} = q\mathbf{E} + \frac{q}{c} \mathbf{v} \times \mathbf{B} \quad (3.19,a)$$

în sistemul gaussian.



O bună parte din fizică provine din legea a doua a lui Newton,  $\mathbf{F} = M\mathbf{a}$  folosită împreună cu relația (3.19). Desigur, o bună parte din istoria fizicii este constituită din eforturile depuse pentru a stabili aceste două ecuații. [Scriind aici expresia (3.19) ca rezultat al experienței nu sîntem scutiți de necesitatea de a o discuta mai în amănunt în volumul 2.]

În acest capitol avem nevoie de următoarele valori numerice:  
viteza luminii:

$$c = 2,9979 \times 10^{10} \text{ cm/s} = 2,9979 \times 10^8 \text{ m/s};$$

masa electronului:

$$m = 0,9108 \times 10^{-27} \text{ g} = 0,9108 \times 10^{-30} \text{ kg};$$

masa  $M_p$  a protonului:

$$M_p = 1,6724 \times 10^{-24} \text{ g} = 1,6724 \times 10^{-27} \text{ kg}.$$

Cînd lucrăm cu forța Lorentz (3.19, *a*) în unități CGS Gauss, vom exprima pe  $F$  în dyne,  $E$  în statvolți pe cm,  $v$  și  $c$  în cm/s,  $B$  în gauss iar  $q$  în ues. În SI, folosind expresia (3.19) exprimăm pe  $F$  în newtoni,  $E$  în V/m,  $v$  în m/s,  $B$  în tesla iar  $q$  în coulombi. Factorii de conversie menționați mai sus (și obținuți în volumul 2) sînt recapitulați aici:

$$1 \text{ m/s} = 100 \text{ cm/s}$$

$$1 \text{ statvolt/cm} = 3,0 \times 10^4 \text{ V/m}^1$$

$$1 \text{ C} = 3,0 \times 10^9 \text{ statcoulomb sau ues}$$

$$1 \text{ T} \longleftrightarrow 1 \times 10^4 \text{ G}.$$

**Mișcarea unei particule încărcate într-un câmp electric uniform și constant.**  
Ecuația de mișcare pentru o particulă cu sarcina  $q$  și masa  $M$  aflată în câmpul electric  $\mathbf{E}$  uniform în spațiu și constant în timp este [vezi relația (3.16)]:

$$\mathbf{F} = M\mathbf{a} = q\mathbf{E} \quad (3.20)$$

și astfel

$$\mathbf{a} = \frac{d^2\mathbf{r}}{dt^2} = \frac{q}{M}\mathbf{E}$$

reprezintă o ecuație pentru accelerația particulei. Acest rezultat este similar cu cel obținut la mișcarea unei particule în câmpul gravitațional uniform  $\mathbf{F} = -Mg\hat{\mathbf{y}}$  la suprafața pămîntului. Pentru problema gravitațională ecuația de mișcare este  $M\mathbf{a} = -Mg\hat{\mathbf{y}}$  sau  $\mathbf{a} = -g\hat{\mathbf{y}}$ .

Se poate vedea prin verificare sau prin integrare directă că ecuația (3.20) are soluția generală:

$$\mathbf{r}(t) = \frac{q\mathbf{E}}{2M}t^2 + \mathbf{v}_0t + \mathbf{r}_0 \quad (3.21)$$

<sup>1</sup> Valorile exacte din relația a doua și a treia sînt date în paginile 87, 88 și 89; valorile de aici sînt suficient de precise pentru problemele noastre.

unde  $\mathbf{r}_0$  este vectorul de poziție al particulei la timpul  $t = 0$  iar  $\mathbf{v}_0$  este vectorul viteză la acest moment de timp. Derivând relația (3.21) obținem expresia vitezei la orice moment de timp, și anume:

$$\mathbf{v}(t) = \frac{d\mathbf{r}}{dt} = \frac{q\mathbf{E}}{M} t + \mathbf{v}_0 \quad (3.22)$$

din care se vede ușor că viteza inițială (cînd  $t = 0$ ) este într-adevăr  $\mathbf{v}_0$ .

### EXEMPLU

**Accelerația longitudinală a unui proton.** Un proton este accelerat din repaus timp de 1 nanosecundă ( $= 10^{-9}$  s) de un câmp electric  $E_x = 3,0 \times 10^4$  V/m. Care este viteza sa finală (vezi fig. 3.5)?

Viteza este dată de relația (3.22):

$$\frac{d\mathbf{r}}{dt} = \frac{e}{M} \mathbf{E}t + \mathbf{v}_0.$$

În problema noastră ea se reduce<sup>1</sup> la:

$$v_x(t) = \frac{e}{M} E_x t; \quad v_y = v_z = 0$$

deoarece am specificat că  $\mathbf{v} = 0$  la  $t = 0$ . Astfel încît viteza finală după  $t = 1 \times 10^{-9}$  s este:

$$v_x = \frac{(1,6 \times 10^{-19} \text{ C}) (3,0 \times 10^4 \text{ V/m}) (1 \times 10^{-9} \text{ s})}{2 \times 10^{-27} \text{ kg}} \approx 2,4 \times 10^3 \text{ m/s}.$$

De notat că  $1 \text{ C} \times 1 \text{ V/m} = 1 \text{ N} = 1 \text{ kg} \cdot \text{m/s}^2$ . Am folosit valoarea  $2 \times 10^{-27}$  kg ca ordin de mărime pentru masa protonului.

În unități CGS Gauss:

$$E_x = 1 \text{ statvolt/cm};$$

$$v_x = \frac{(4,8 \times 10^{-10} \text{ u.e.s}) (1 \text{ statvolt/cm}) (1 \times 10^{-9} \text{ s})}{2 \times 10^{-24} \text{ g}} \approx 2,4 \times 10^5 \text{ cm/s}.$$

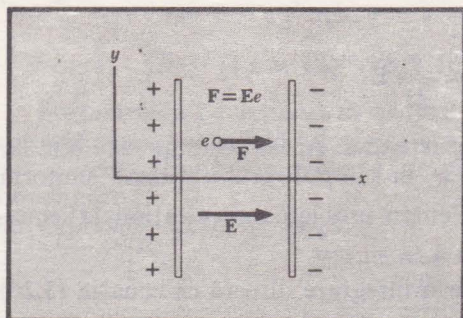


FIG. 3.5. Accelerația longitudinală a unui proton în câmpul electric dintre două plăci metalice încărcate.

<sup>1</sup> Ecuația (3.22) este o ecuație vectorială; cu  $\mathbf{E} = (E_x, 0, 0)$  și  $\mathbf{v}_0 = 0$ , ea se reduce la trei ecuații componente

$$\frac{dx}{dt} = \frac{e}{M} E_x t; \quad \frac{dy}{dt} = 0; \quad \frac{dz}{dt} = 0.$$



## EXEMPLU

**Accelerația longitudinală a unui electron.** Un electron, inițial în repaus, este accelerat pe parcursul unui cm de un câmp electric de  $3 \cdot 10^4$  V/m (1 statvolt/cm) îndreptat în sensul negativ al axei  $x$ . Care este viteza finală?

Din ecuația (3.22) avem, cu  $-e$  sarcina și  $m$  masa electronului:

$$v_x(t) = -\frac{e}{m} E_x t; \quad x(t) = -\frac{e}{2m} E_x t^2.$$

Vrem să-l eliminăm pe  $t$  și să-l aflăm pe  $v_x$  în funcție de  $x$ . Este convenabil să formăm  $v_x^2$  și apoi să rearanjăm termenii:

$$v_x^2 = \left( \frac{e}{m} E_x t \right)^2 = \left( \frac{2e}{m} E_x \right) \left( \frac{e}{2m} E_x t^2 \right) = -\frac{2e}{m} E_x x \approx \frac{-2 \times 1,6 \times 10^{-19}}{10^{-30}} \times \\ \times 3 \cdot 10^4 (-10^{-2}) \approx 10^{14} \text{ m}^2/\text{s}^2.$$

Viteza finală este astfel, aproximativ:

$$|v_x| \approx 10^9 \text{ cm/s} = 10^7 \text{ m/s}.$$

Aceasta este a treizecea parte din viteza luminii și este suficient de mică încât să nu luăm în considerare relativitatea (eroare de 10%).

## EXEMPLU

**Accelerația transversală a unui electron.** După ce a părăsit câmpul accelerator  $E_x$  din exemplul precedent, fasciculul de electroni intră într-o regiune de lungime  $L = 1$  cm în care există un câmp transversal de deflexie  $E_y = -3 \times 10^3$  V/m ( $-0,1$  statvolt/cm), ca în figura 3.6. Ce unghi face fasciculul de electroni cu axa  $x$ , când părăsește regiunea de deflexie? De notat că situația este identică cu cea a unui corp proiectat orizontal în câmpul gravitațional al pământului.

Deoarece acum nu există nici o componentă a câmpului pe axa  $x$ , componenta  $x$  a vitezei va rămâne constantă. Timpul  $\tau$  în care electronul se află în regiunea de deflexie este dat de:

$$v_x \tau = L$$

și, cum  $v_x = 10^7$  m/s

$$\tau = \frac{L}{v_x} = \frac{10^{-2}}{10^7} = 10^{-9} \text{ s}.$$

Viteza transversală dobândită în acest interval de timp este dată de:

$$v_y = -\frac{e}{m} E_y \tau = \frac{-1,6 \times 10^{-19} \text{ C}}{10^{-30} \text{ kg}} \left( -3 \cdot 10^3 \frac{\text{V}}{\text{m}} \right) \times 10^{-9} \text{ s} \approx 5 \times 10^5 \text{ m/s}.$$

Unghiul  $\theta$  pe care viteza finală îl face cu axa  $x$  este dat de  $\tan \theta = v_y/v_x$ , astfel încât:

$$\theta = \arctg \frac{v_y}{v_x} \approx \arctg \frac{5 \times 10^5}{10^7} = \arctg 0,05.$$

Pentru un unghi mic putem face aproximația:

$$\theta \approx \arctg \theta$$

unde  $\theta$  este în radiani. De mai sus se vede că  $\theta \approx 0,05$  rad, ceea ce înseamnă aproximativ  $3^\circ$ .

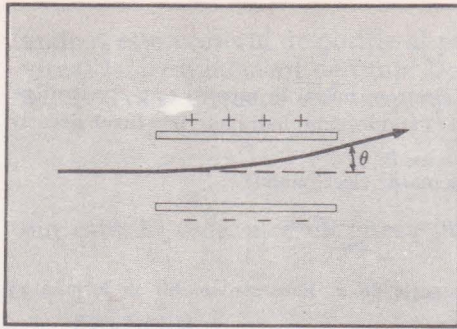


FIG. 3.6. Deflecția unui fascicul de electroni într-un câmp electric transversal. Unghiul  $\theta$  este mult exagerat față de valoarea găsită în exemplul din această pagină.

Estimind valoarea termenului următor din dezvoltarea în serie a lui  $\arctg \theta$  să vedem eroarea pe care am făcut-o în această aproximație. Tabelele matematice ne dau dezvoltarea în serie a funcțiilor matematice. Astfel, se poate citi în Dwight<sup>1</sup> la 505.1

$$\arctg x = x - \frac{x^3}{3} + \frac{x^5}{5} - \frac{x^7}{7} + \dots \text{ pentru } x^2 < 1.$$

Termenul  $x^3/3$  este mai mic, pentru  $x = 0,05$ , decât termenul conducător  $x$  cu factorul  $x^2/3 = (0,05)^2/3 \approx 10^{-3}$  sau 0,1%. Această eroare poate fi neglijată dacă este mai mică decât eroarea experimentală de măsurare a unghiului  $\theta$ . Pentru unghiuri mici este de asemenea adevărat că  $\sin \theta \approx \theta$  și  $\cos \theta \approx 1 - \frac{1}{2} \theta^2$ .

**Mișcarea unei particule încărcate în câmp magnetic constant și uniform<sup>2</sup>.**  
Ecuația de mișcare, pentru o particulă încărcată de masă  $M$  și sarcină  $q$  în câmpul magnetic constant  $\mathbf{B}$  este, din (3.18):

$$M \frac{d^2 \mathbf{r}}{dt^2} = M \frac{d\mathbf{v}}{dt} = q\mathbf{v} \times \mathbf{B}. \quad (3.23)$$

Fie câmpul magnetic de-a lungul axei  $z$ :

$$\mathbf{B} = \hat{z}B.$$

Cu regulile produsului vectorial:

$$[\mathbf{v} \times \mathbf{B}]_x = v_y B; \quad [\mathbf{v} \times \mathbf{B}]_y = -v_x B; \quad [\mathbf{v} \times \mathbf{B}]_z = 0.$$

<sup>1</sup> Pentru comoditate aproape toate referințele la tabele matematice s-au făcut la H.B. Dwight, Tabele de integrale și alte date matematice („Tables of Integrals and Other Mathematical Data”) ed. 4-a. Macmillan Co. New York, 1961. Există o serie de excelente colecții concise de date matematice; oricare din ele poate fi folosită. Ar fi de asemenea folositoare o carte cu date fizice și chimice cum ar fi „Handbook of Chemistry and Physics”, Chemical Rubber Publishing Co., New York, precum și o riglă de calcul de 25 cm.

<sup>2</sup> Dacă în capitolul 2 produsul vectorial a fost omis, acest paragraf poate fi studiat în cazul  $\mathbf{v}$  și  $\mathbf{B}$  perpendiculari.



Din ecuația (3.23)<sup>1</sup>:

$$\dot{v}_x = \frac{q}{M} v_y B; \quad \dot{v}_y = -\frac{q}{M} v_x B; \quad \dot{v}_z = 0. \quad (3.24)$$

Vedem că componenta vitezei de-a lungul axei cîmpului magnetic, axa  $z$  este constantă.

Putem vedea direct o altă trăsătură a mișcării. Energia cinetică

$$E_c = \frac{1}{2} M v^2 = \frac{1}{2} M \mathbf{v} \cdot \mathbf{v}$$

este constantă deoarece

$$\frac{dE_c}{dt} = \frac{1}{2} M (\dot{\mathbf{v}} \cdot \mathbf{v} + \mathbf{v} \cdot \dot{\mathbf{v}}) = M \mathbf{v} \cdot \dot{\mathbf{v}} = M \mathbf{v} \cdot \left( \frac{q}{M} \mathbf{v} \times \mathbf{B} \right) \equiv 0 \quad (3.25)$$

pentru că  $\mathbf{v} \times \mathbf{B}$  este perpendicular pe  $\mathbf{v}$ . Astfel: *cîmpul magnetic nu modifică energia cinetică a unei particule libere.*

Să căutăm soluții<sup>2</sup> ale ecuației de mișcare de forma:

$$v_x(t) = v_1 \sin \omega t; \quad v_y(t) = v_1 \cos \omega t; \quad v_z = \text{const.} \quad (3.26)$$

Proiecția pe planul  $xy$  ne dă o mișcare circulară cu o rază pe care o vom calcula mai jos. Derivînd pe  $v_x$  și  $v_y$  în relațiile (3.26)

$$\frac{dv_x}{dt} = \omega v_1 \cos \omega t; \quad \frac{dv_y}{dt} = -\omega v_1 \sin \omega t$$

astfel încît ecuația (3.24) devine

$$\omega v_1 \cos \omega t = \frac{qB}{M} v_1 \cos \omega t; \quad -\omega v_1 \sin \omega t = -\frac{qB}{M} v_1 \sin \omega t.$$

Aceste ecuații sînt satisfăcute dacă

$$\omega = \frac{qB}{M} \equiv \omega_c. \quad (3.27)$$

Această relație definește *frecvența ciclotronică (sau frecvența giromagnetică)*  $\omega_c$  ca fiind frecvența în mișcarea circulară a unei particule aflată într-un cîmp magnetic. Ecuațiile sînt satisfăcute pentru orice valoare a lui  $v_1$  dar vom vedea că  $v_1$  determină raza traiectoriei circulare.

Frecvența ciclotronică poate fi de asemenea obținută printr-un raționament mai elementar. Forța magnetică îndreptată spre interiorul traiecto-

<sup>1</sup> Adoptăm aici o convenție folosită în toată fizica: punctul de deasupra unei litere înseamnă derivată în raport cu timpul. Astfel  $\dot{\mathbf{r}} = d\mathbf{r}/dt$ ,  $\dot{\mathbf{A}} = d\mathbf{A}/dt$ . În același fel  $\ddot{\mathbf{r}} = d^2\mathbf{r}/dt^2$ ,  $\ddot{\mathbf{A}} = d^2\mathbf{A}/dt^2$ .

<sup>2</sup> Ecuația (3.25) ne spune că  $E_c$  este o constantă; tragem concluzia că și  $|\mathbf{v}|$  este o constantă. Acest rezultat ne sugerează încercarea unei soluții reprezentînd o mișcare circulară uniformă, în care componentele  $x$  și  $y$  ale vitezei să fie sinusoidale cu o diferență de fază de  $\pi/2$ . Este convenabil să reprezentăm  $qB/M$  ca o singură constantă avînd dimensiunea inversului unui timp; dimensiunile se văd ușor din ecuația (3.24). Ne așteptăm la o soluție implicînd o rotație, această constantă fiind deci legată de frecvența unghiulară  $\omega$ .

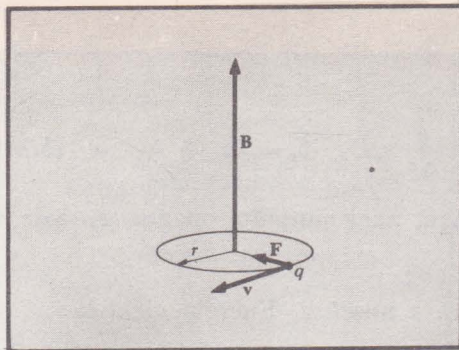


FIG. 3.7. Sarcina pozitivă  $q$ , cu viteza inițială  $v \perp$  pe  $B$  uniform, descrie un cerc cu viteză constantă  $v_1$  și raza  $r = Mv_1/qB$ .

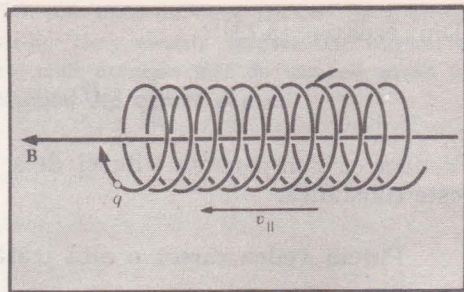


FIG. 3.8. O sarcină pozitivă  $q$  descrie o elice cu pas constant într-un câmp magnetic uniform  $B$ . Componenta vitezei  $v_{||}$  paralelă cu  $B$  este constantă. Dacă  $B = B\hat{z}$ ,  $v_{||} = v_z$ .

riei ( $qBv_1$ ) determină accelerația centripetă (îndreptată tot spre interiorul traiectoriei) ce intervine în mișcarea circulară a particulei. Mărimea acestei accelerații centripete este  $v_1^2/r$  sau  $\omega_c^2 r$ , deoarece  $\omega_c r = v_1$ . Astfel:

$$qBv_1 = M\omega_c^2 r = M\omega_c v_1,$$

de unde  $\omega_c = qB/M$  iar raza cercului este  $r = Mv_1/qB$  (vezi fig. 3.7).

Cum arată traiectoria rezultantă? Am văzut că proiecția ei pe planul  $xy$  este un cerc; pe axa  $z$  există pur și simplu o deplasare cu viteză constantă  $v_z$  (care, desigur, poate fi și zero) deoarece nu este prezentă nici o forță cu componentă  $z$ . Integrînd ecuațiile (3.26) cu  $\omega_c$  în locul lui  $\omega$  obținem traiectoria:

$$\begin{aligned} x &= x_0 + \frac{v_1}{\omega_c} - \frac{v_1}{\omega_c} \cos \omega_c t \\ y &= y_0 + \frac{v_1}{\omega_c} \sin \omega_c t \\ z &= z_0 + v_z t \end{aligned} \quad (3.28)$$

unde în ecuațiile respective am pus constantele de integrare

$$x_0 + v_1/\omega_c, y_0, \text{ și } z_0.$$

Ecuația (3.28) descrie poziția unei particule ce se mișcă în planul  $xy$  pe un cerc cu raza

$$r_c = \frac{v_1}{\omega_c} = \frac{Mv_1}{qB} \quad (3.29)$$

și centrul în punctul  $(x_0 + v_1/\omega_c, y_0)$ . Peste această mișcare circulară se suprapune o deplasare uniformă de-a lungul lui  $z$  cu viteza  $v_z$  care începe la  $z = z_0$  când  $t = 0$ .

Mișcarea rezultantă are loc pe o elice a cărei axă este paralelă cu câmpul  $B$ , adică, în acest caz, de-a lungul axei  $z$ . Ea este ilustrată în figura 3.8. Raza  $r_c$  este deseori numită *rază de girație sau raza ciclotronică*.

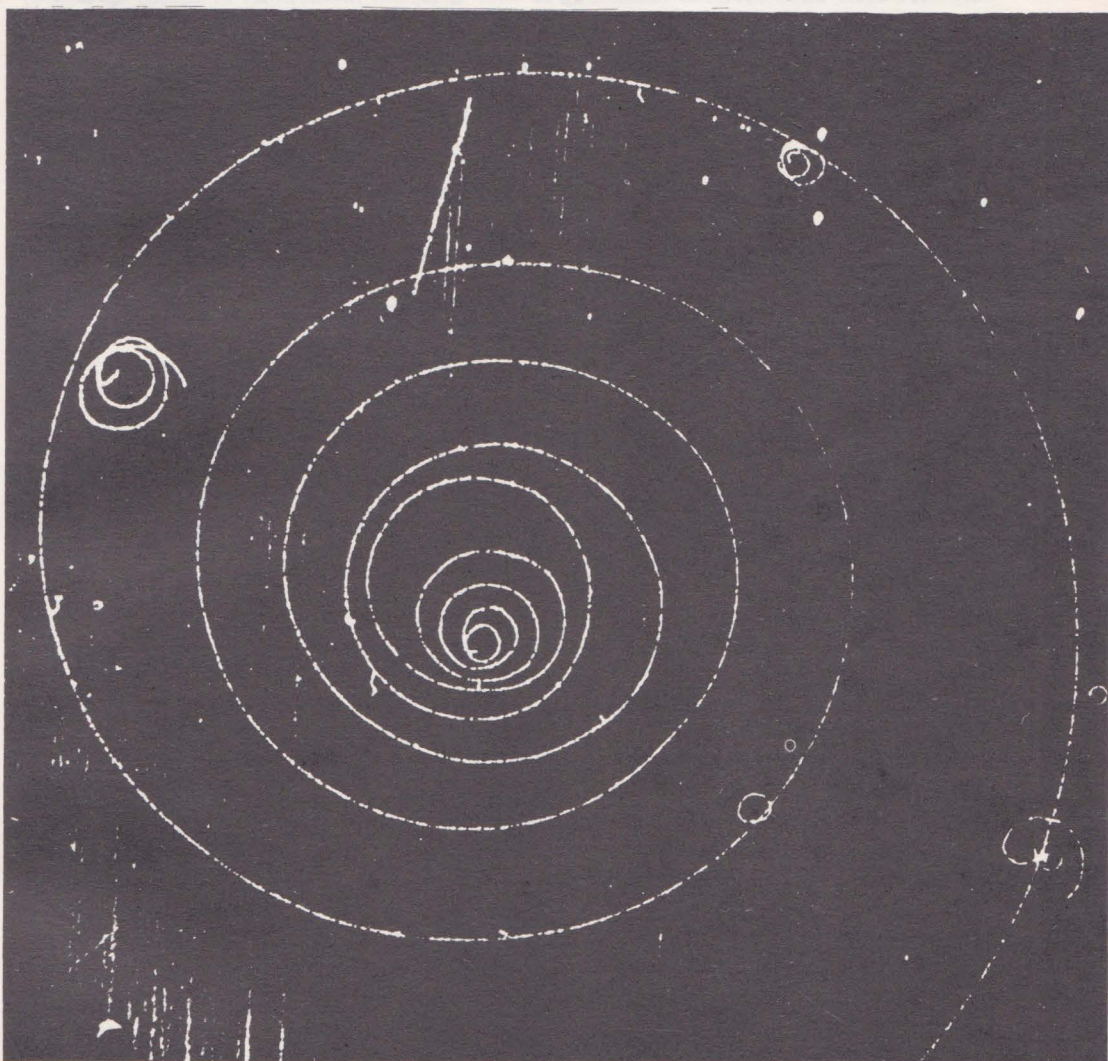


Vom scoate în evidență produsul dintre inducția magnetică și raza traiectoriei:

$$Br_c = \frac{Mv_1}{q}. \quad (3.30)$$

Această relație este importantă; vom vedea într-un capitol următor că ea este valabilă și în domeniul relativist dacă impulsul care aici este  $Mv_1$ , va fi înlocuit prin expresia sa relativistă. Această relație este folosită la determinarea impulsurilor particulelor încărcate, fie la viteze mari fie la cele mici (vezi fig. 3.9).

FIG. 3.9. Fotografia traiectoriei unui electron rapid în câmp magnetic făcută într-o cameră cu bule de hidrogen. Electronul intră prin dreapta jos. Electronul pierde energie prin ionizarea moleculelor de hidrogen. Pe măsură ce electronul este încetinit, raza curburii în câmp magnetic descrește, de unde orbita sub formă de spirală. (*Lawrence Berkeley Laboratory.*)



*Verificarea dimensiunilor.* Este bine, să verificăm întotdeauna faptul că dimensiunile din ambele părți ale unei ecuații sînt identice. Acesta este un mijloc ușor de a evita greșeli mari. În membrul drept al ecuației (3.30) avem:

$$\left[ \frac{Mv_1}{q} \right] = [M][L][T]^{-1}[q]^{-1}. \quad (3.31)$$

Unde am folosit notația din pagina 82 dar am păstrat dimensiunile lui  $q$ . În membrul stîng din (3.30) avem:

$$[Br_c] = [M][L][T]^{-2}[q]^{-1}[L]^{-1}[T][L] = [M][L][T]^{-1}[q]^{-1}. \quad (3.32).$$

Vedem că dimensiunile din (3.31) sînt aceleași cu cele din (3.32).

În CGS, unde forța este  $(q/c) \mathbf{v} \times \mathbf{B}$  în loc de  $q\mathbf{v} \times \mathbf{B}$  avem:

$$\omega = \frac{qB}{Mc} \equiv \omega_c \quad (3.27, a)$$

$$r_c = \frac{v_1}{\omega_c} = \frac{Mc v_1}{qB} \quad (3.29, a)$$

și

$$Br_c = \frac{Mv_1 c}{q}.$$

Verificarea dimensiunilor ne dă:

$$\left[ \frac{cMv_1}{q} \right] = \left[ \frac{L}{T} \right] [M] \left[ \frac{L}{T} \right] \left[ \frac{1}{q} \right] = \left[ \frac{ML^2}{qT^2} \right]$$

și

$$[Br_c] = \left[ \frac{F}{q} \right] [L] = \left[ \frac{ML^2}{qT^2} \right]$$

deoarece în concordanță cu expresia forței Lorentz (3.18) dimensiunile lui  $B$  în sistemul de unități Gauss sînt cele ale unei forțe împărțită la sarcină.

## EXEMPLU

**Frecvența de rotație.** Care este frecvența de rotație (ciclotronică) într-un cîmp de 1 T? (Un cîmp de 1 pină la 1,5 T, sau de 10 pină la 15 kG în CGS, este tipic pentru electro-magneții cu miez de fier dintr-un laborator obișnuit.)

Din relația (3.27) avem:

$$\omega_c = \frac{eB}{m} \approx \frac{(1,6 \times 10^{-19}) (1,0)}{10^{-30}} \approx 1,6 \times 10^{11} \text{ s}^{-1}$$

sau în unități CGS

$$\omega_c = \frac{eB}{mc} \approx \frac{(4,8 \times 10^{-10}) (1 \times 10^4)}{(10^{-27}) (3 \times 10^{10})} \approx 1,6 \times 10^{11} \text{ s}^{-1}.$$



Frecvența corespunzătoare, notată prin  $\nu_c$ , este:

$$\nu_c = \frac{\omega_c}{2\pi} \approx 3 \times 10^{10} \text{ Hz.}$$

Aceasta este echivalentă cu frecvența unei unde electromagnetice în vid cu lungimea de undă de:

$$\lambda_c = \frac{c}{\nu_c} \approx \frac{3 \times 10^{10}}{3 \times 10^{10}} = 1 \text{ cm.}$$

Frecvența de rotație  $\omega_{c(p)}$  a unui proton este mai mică decît cea a unui electron în același cîmp magnetic în raportul 1:1836, adică, raportul masei electronului la masa protonului. Pentru un proton într-un cîmp de 1 T:

$$\omega_{c(p)} = \frac{m}{M_p} \omega_{c(e)} \approx \frac{1,6 \times 10^{11}}{1,8 \times 10^3} \approx 10^8 \text{ s}^{-1}.$$

Sensul de rotație al electronului este opus celui al protonului deoarece ei au sarcini electrice de semn contrar.

## EXEMPLU

**Raza de rotație.** Care este într-un cîmp de 1 T raza orbitei ciclotronice a unui electron cu viteza de  $10^6$  m/s normală pe  $B$ ?

Folosind relația (3.29) pentru raza de rotație avem:

$$r_c = \frac{v_t}{\omega_c} \approx \frac{10^6}{1,6 \times 10^{11}} \approx 6 \times 10^{-6} \text{ m.}$$

Raza de rotație a unui proton cu aceeași viteză este mai mare decît a electronului în raportul  $M/m$ :

$$r_c \approx (6 \times 10^{-6}) (1,8 \times 10^3) \approx 0,01 \text{ m} = 1 \text{ cm.}$$

**Focalizarea magnetică la  $180^\circ$ .** Fie un fascicul de particule încărcate avînd mase și viteze diferite ce intră într-o regiune de cîmp magnetic uniform  $B$  perpendicular pe fascicul. O particulă va fi deviată pe o traiectorie cu o rază de curbură dată de  $B\rho = Mv_t/q$ , unde  $v_t$  este componenta vitezei în planul normal la  $B$ . Dacă examinăm fasciculul într-un anumit punct, să zicem după un parcurs de  $180^\circ$ , vedem că el este împrăștiat în planul mișcării deoarece diferite particule cu diferite mase și viteze au diferite raze de curbură, ca în figura 3.10. Practicînd o fantă de ieșire îngustă, dispozitivul poate fi folosit ca un *selector de impulsuri*, adică un aparat cu care se poate obține un fascicul de particule avînd impulsuri sensibil egale dacă toate particulele au aceeași sarcină  $q$ . Un avantaj al folosirii deflexiei de  $180^\circ$  este acela că particulele cu impulsuri egale dar trecînd prin fanta de intrare la unghiuri ușor diferite sînt aduse după  $180^\circ$  într-un focar aproape comun.

Precizia focalizării constituie pur și simplu o problemă de geometrie și este ilustrată în figura 3.11 *a* și *b*. Să considerăm o traiectorie ce face la început un unghi  $\theta$  cu traiectoria ideală. Distanța de la fanta de intrare pînă la punctul în care va lovi suprafața țintei este dată de coarda  $C$  a cercului de rază  $\rho$ . Diferența în lungime dintre diametru și coardă este:

$$2\rho - C = 2\rho(1 - \cos \theta) \approx \rho\theta^2$$



FIG. 3.10. Cîmpul magnetic ca selector de impulsuri.

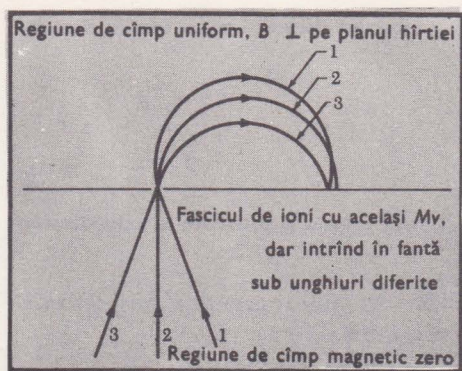


FIG. 3.11. (a) Focalizare la  $180^\circ$  într-un cîmp magnetic. Ionii cu același impuls dar direcții diferite sînt focalizați aproape unii de ceilalți.

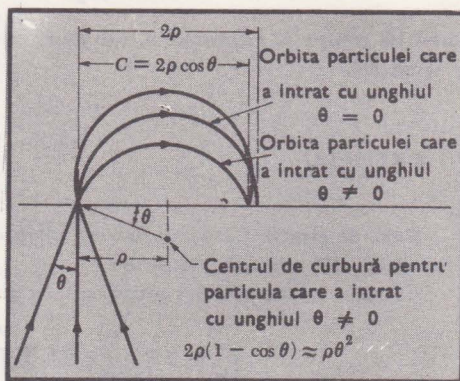


FIG. 3.11. (b) Diagramă arătînd detaliile de focalizare într-un selector de viteze la  $180^\circ$ .

unde pentru  $\theta$  mic am utilizat primii doi termeni din dezvoltarea în serie de puteri a cosinusului:

$$\cos \theta = 1 - \frac{\theta^2}{2!} + \frac{\theta^4}{4!} - \dots$$

după cum se poate găsi în tabelele matematice (Dwight 415.02). Dacă măsurăm puterea unghiulară de focalizare prin:

$$\frac{2\rho - C}{2\rho} \approx \frac{1}{2} \theta^2$$

avem, pentru  $\theta = 0,1$  rad, valoarea:

$$\frac{2\rho - C}{2\rho} \approx 5 \times 10^{-3}.$$

Aceasta ilustrează tocmai acțiunea de focalizare.

**Principiul accelerării ciclotronice.** Într-un ciclotron obișnuit particulele încărcate se mișcă, în cîmp magnetic constant, pe orbite aranjate aproape într-o spirală, după cum este descris în notița istorică de la sfîrșitul acestui



capitol și după cum se vede în figura 3.12. Un câmp electric oscilant accelerează particulele la fiecare jumătate de perioadă ( $\pi$  rad). Condiția accelerării periodice este ca frecvența câmpului electric să fie egală cu frecvența ciclotronică a particulelor.

Am arătat mai sus că frecvența ciclotronică a protonilor într-un câmp de 1 T este  $1 \times 10^8 \text{ s}^{-1}$  sau  $\nu_c = \omega_c/2\pi \approx 10^7 \text{ Hz} = 10 \text{ MHz}$ . Frecvența este independentă de energia particulei, atît timp cît viteza este nerelativistă, adică, este mică în comparație cu viteza luminii. În figura 3.13 este dat un grafic al lungimii de undă ( $c/\nu$ ) în funcție de  $B$ .

În fiecare ciclu de funcționare particula primește energie de la câmpul electric oscilant. Raza efectivă a orbitei crește pe măsură ce crește energia cinetică, deoarece, după cum se vede:

$$r_c = \frac{v}{\omega_c} = \frac{\sqrt{2E/M_p}}{\omega_c}$$

unde  $E$  este energia. Energia protonului nerelativist într-un câmp magnetic constant este determinată de raza exterioară a ciclotronului: la  $\omega_c = 1 \times 10^8 \text{ s}^{-1}$  și  $r_c = 50 \text{ cm}$ , avem  $v = \omega_c r_c \approx 5 \times 10^9 \text{ cm/s}$ , sau:

$$E = \frac{1}{2} M_p v^2 \approx 10^{-27} (5 \times 10^7)^2 \approx 2,5 \times 10^{-12} \text{ J}.$$

În practică această viteză este suficient de nerelativistă pentru funcționarea unui ciclotron convențional.

FIG. 3.12. O vedere interioară a unui ciclotron convențional de energii joase, constînd din sursa de ioni  $S$ , electrozii de accelerare goi pe dinăuntru (Duant<sub>1</sub>, Duant<sub>2</sub>) și deflectorul. Întregul aparat se găsește într-un câmp magnetic omogen și vertical  $B$  (orientat în sus). Planul orbitei particulei este orizontal și este de asemenea planul median al duanților. Câmpul electric accelerator de radio frecvență este limitat la intervalul dintre duanți.

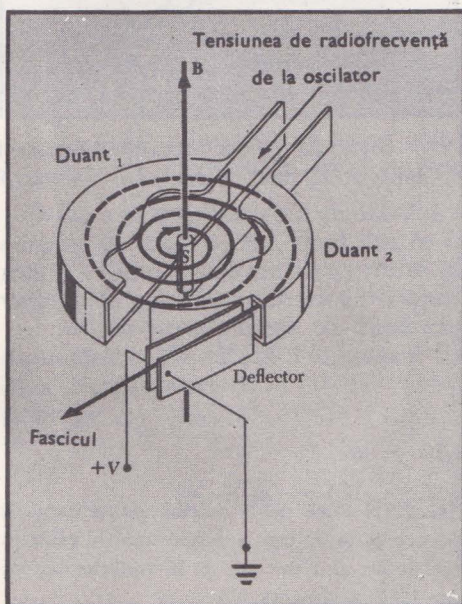
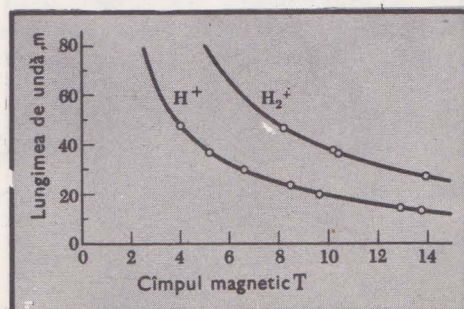


FIG. 3.13. Condiția de rezonanță pentru primul ciclotron (28 cm). Pe axa verticală sînt reprezentate lungimile de undă în vid ale puterii de radiofrecvență aplicată pe electrozii de accelerare (duanți). Curbele reprezintă relațiile teoretice pentru  $H^+$  și  $H_2^+$ ; cercurile reprezintă observațiile experimentale. [Lawrence and Livingston, Phys. Rev., 40:19 (1932)]





## CONSERVAREA IMPULSULUI

Studentul este probabil familiarizat cu legea conservării impulsului încă din liceu. Importanța ei în problemele de ciocnire este deosebit de mare. Vom prezenta aici o deducere bazată pe legea a treia a lui Newton și vom rezerva pentru capitolul 4 discutarea unei alte demonstrații. Legea spune că:

Pentru un sistem izolat, supus numai forțelor interne (forțele dintre membrii sistemului), impulsul total al sistemului este constant; nu se modifică în timp.

Legea conservării impulsului este aplicată, cel mai adesea, ciocnirilor a două particule și atunci se poate exprima astfel: suma impulsurilor după ciocnire este egală cu suma impulsurilor înainte de ciocnire cu condiția ca ciocnirea să aibă loc într-o regiune fără forțe externe:

$$p_1(\text{înainte}) + p_2(\text{înainte}) = p'_1(\text{după}) + p'_2(\text{după}) \quad (3.33)$$

unde impulsul  $p$  a fost definit prin relația:

$$p = Mv \quad (3.34)$$

iar prin literele ( $p'$ ) am indicat valorile după ciocnire. Vezi figura 3.14 pentru descrierea vectorilor impuls iar figura 3.15 pentru descrierea orbitelor. Ciocnirea poate fi ori elastică ori neelastică. Într-o ciocnire elastică întreaga ener-

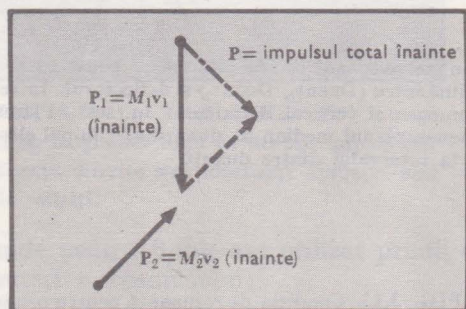


FIG. 3.14. (a) Înainte de ciocnire impulsurile  $P_1(\text{înainte})$  și  $P_2(\text{înainte})$  adunate dau  $P$ .

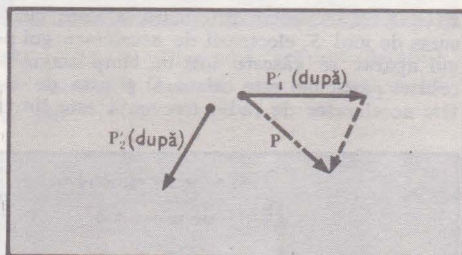


FIG. 3.14. (b) După ciocnire impulsurile  $P'_1(\text{după})$  și  $P'_2(\text{după})$  adunate dau același  $P$ .

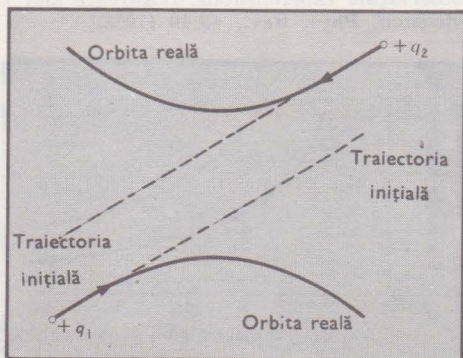


FIG. 3.15. Dacă două sarcini punctiforme în mișcare  $q_1$  și  $q_2$  trec aproape una de cealaltă, orbitele lor sînt deviate de la traiectoriile inițiale în linie dreaptă.



gie cinetică a particulelor înainte de ciocnire se regăsește după ciocnire tot ca energie cinetică dar altfel repartizată între particule. Într-o ciocnire neelastică obișnuită o parte din energia cinetică a particulelor incidente reapare după ciocnire sub formă de energie de excitație internă (cum ar fi căldura) a uneia ori mai multor particule. Este important să reținem că legea conservării impulsului se aplică *chiar* și ciocnirilor *neelastice*, în care nu se conservă energia cinetică.

**Demonstrație cu ajutorul legii a treia a lui Newton.** Să presupunem că două corpuri ascultă de legea a treia a lui Newton [relația (3.3)]. Avem pentru corpul 1:

$$\mathbf{F}_{12} = \frac{d\mathbf{p}_1}{dt} = \frac{d}{dt} (M_1 \mathbf{v}_1). \quad (3.35)$$

Pentru corpul al doilea:

$$\mathbf{F}_{21} = \frac{d\mathbf{p}_2}{dt} = \frac{d}{dt} (M_2 \mathbf{v}_2). \quad (3.36)$$

Adunînd aceste două relații obținem:

$$\mathbf{F}_{12} + \mathbf{F}_{21} = 0 = \frac{d\mathbf{p}_1}{dt} + \frac{d\mathbf{p}_2}{dt} = \frac{d}{dt} (\mathbf{p}_1 + \mathbf{p}_2) = \frac{d}{dt} (M_1 \mathbf{v}_1 + M_2 \mathbf{v}_2).$$

Astfel:

$$\mathbf{p}_1 + \mathbf{p}_2 = M_1 \mathbf{v}_1 + M_2 \mathbf{v}_2 = \text{const} = \mathbf{p}'_1 + \mathbf{p}'_2 = M_1 \mathbf{v}'_1 + M_2 \mathbf{v}'_2 \quad (3.37)$$

unde am indicat din nou cu accent valorile de după ciocnire. Dacă există mai mult de două corpuri se poate folosi același procedeu cu același rezultat aplicabil oricărui număr de corpuri ale unui sistem izolat.

Un număr de aplicații ale acestei legi vor fi prezentate în exemplele următoare. Va trebui însă să scoatem în evidență două lucruri:

1) această lege este o lege vectorială; deci într-o ciocnire de două particule ale căror impulsuri adunate definesc un impuls rezultat, cele două impulsuri rezultate din ciocnire adunate definesc același impuls;

2) doar aplicarea singură a acestei legi nu ne permite rezolvarea problemei de ciocnire în mod univoc.

Ca o exemplificare a punctului 2 să considerăm problema ciocnirii a două corpuri de mase egale, unul dintre ele fiind inițial în repaus. Numai o informație suplimentară ne va permite obținerea unui răspuns univoc, după cum vedem în următoarele două cazuri.

(a) Să presupunem că după ciocnire cele două particule s-au lipit una de cealaltă. Ce viteză vor avea? Fie viteza inițială a particulei în mișcare de-a lungul axei  $x$ .

Atunci:

$$\begin{aligned} \mathbf{p}_1 &= M_1 v_1 \hat{\mathbf{x}}; \quad \mathbf{p}_2 = 0 \\ (\mathbf{p}'_1 + \mathbf{p}'_2) &= (M_1 + M_2) \mathbf{v}' = 2M_1 \mathbf{v}' = \mathbf{p}_1 = M_1 v_1 \hat{\mathbf{x}} \\ \mathbf{v}' &= \frac{v_1}{2} \hat{\mathbf{x}}. \end{aligned}$$

(b) Să presupunem că în timpul ciocnirii prima particulă a fost oprită pe loc. Ce viteză va avea a doua particulă?

$$\begin{aligned} \mathbf{p}'_1 + \mathbf{p}'_2 &= 0 + M_2 \mathbf{v}'_2 = M_1 v_1 \hat{\mathbf{x}} \\ \mathbf{v}'_2 &= v_1 \hat{\mathbf{x}}. \end{aligned}$$

Pentru a rezolva în mod unic o problemă de ciocnire, avem nevoie de o informație suplimentară celei date de legea conservării impulsului așa cum este cea obținută dintr-unul dintre considerentele de la punctele (a) sau (b). Dar această informație suplimentară poate fi formulată în termeni de elasticitate sau de conservare a energiei.

## EXEMPLU

Ciocnirea elastică a două particule de mase egale, una dintre ele fiind inițial în repaus. Vrem să demonstrăm că în acest caz unghiul dintre cei doi vectori impuls sau dintre viteze după ciocnire este egal cu  $90^\circ$ .

$$\mathbf{p}_1 + \mathbf{p}_2 = M_1 \mathbf{v}_1 + 0 = M_1 \mathbf{v}'_1 + M_2 \mathbf{v}'_2.$$

Astfel dacă  $M_2 = M_1$  și  $M_2$  inițial în repaus:

$$\mathbf{v}_1 = \mathbf{v}'_1 + \mathbf{v}'_2.$$

Adjectivul *elastic* aplicat ciocnirilor înseamnă că energia cinetică  $\frac{1}{2} M v^2$  se conservă.

Astfel:

$$\frac{1}{2} M_1 v_1^2 = \frac{1}{2} M_1 v_1'^2 + \frac{1}{2} M_2 v_2'^2$$

ceea ce ne dă:

$$v_1^2 = v_1'^2 + v_2'^2. \quad (3.38)$$

Ecuția (3.38) ne amintește de teorema lui Pitagora și după cum se vede din diagrama vectorială din figura 3.16  $v_1$  trebuie să fie ipotenuza unui triunghi dreptunghic. Unghiul dintre  $\mathbf{v}'_1$  și  $\mathbf{v}'_2$  trebuie să fie astfel de  $90^\circ$ .

Alte exemple vor fi date în problemele de la 16 la 18, iar ciocnirile vor fi discutate mai în detaliu în capitolul 6.

*Mașina Atwood.* Atît legea a doua cît și legea a treia ale lui Newton sînt utilizate în familiara problemă a *mașinii Atwood*, ilustrată în figura 3.17. Două corpuri de mase diferite sînt suspendate printr-un fir de masă neglijabilă ce trece peste un scripete presupus a se roti fără frecare. Fie  $m_2$  mai mare decît  $m_1$ ; atunci accelerația fiecărui corp va fi în direcția arătată pe figură și va avea aceeași valoare din cauza continuității firului și a constanței lungimii lui. Să aflăm întîi valoarea accelerației.

Fiecare corp se găsește sub acțiunea a două forțe și anume, tensiunea din fir și forța gravitației. Legea a treia a lui Newton ne spune că tensiunea trebuie să aibă aceeași valoare față de fiecare corp. Legea a doua a lui Newton ne permite să scriem:

$$\begin{aligned} \text{pentru mișcarea lui } m_1 \quad T - m_1 g &= m_1 a; \\ \text{pentru mișcarea lui } m_2 \quad m_2 g - T &= m_2 a. \end{aligned} \quad (3.39)$$



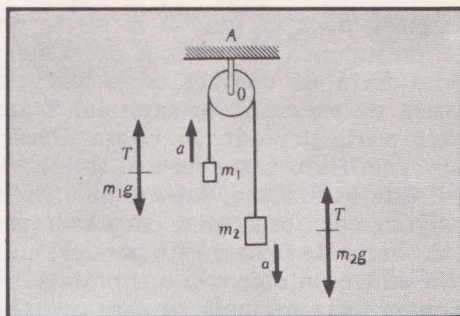
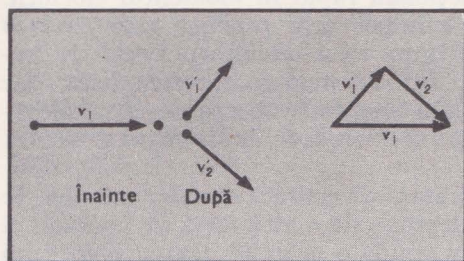


FIG. 3.16. Ciocnirea elastică a două mase egale. FIG. 3.17. Mașina Atwood.

Adunînd aceste două ecuații obținem:

$$(m_2 - m_1)g = (m_1 + m_2)a \quad \text{sau} \quad a = \frac{m_2 - m_1}{m_2 + m_1}g. \quad (3.40)$$

Putem acum evalua tensiunea  $T$  introducînd expresia lui  $a$  în oricare din ecuațiile (3.39). Găsim:

$$T = \frac{2m_1m_2}{m_1 + m_2}g.$$

Cît de tare ar trebui să fie firul? El nu trebuie să se rupă sub această tensiune, ceea ce înseamnă că el ar trebui să suporte o masă pentru care  $mg = T$ . Ar trebui să fie astfel cel puțin atît de rezistent încît să suporte masa:

$$m = \frac{2m_1m_2}{m_1 + m_2}$$

care este mai mare decît  $m_1$  deși mai mică decît  $m_2$ .

Este instructiv de notat că expresia accelerației [relația (3.40)] poate fi înțeleasă în sensul existenței unei forțe  $F = Ma$  ce acționează asupra unui singur corp, ținînd cont însă că masa totală în mișcare este  $m_1 + m_2$  în timp ce forța netă este  $(m_2 - m_1)g$ . Astfel, ca mai înainte,

$$a = \frac{F}{M} = \frac{(m_2 - m_1)g}{m_2 + m_1}.$$

## FORȚE DE CONTACT. FRECAREA

În activitatea noastră cotidiană sîntem adesea confrunțați cu forțe exercitate asupra unui corp prin intermediul presiunilor sau al tensiunilor ce acționează la contactul cu un alt corp. În paragraful precedent forțe de acest tip apăreau la considerarea tensiunii în fir iar în discuția anterioară despre

ciocniri, dacă ne gîndim la ele în sensul unor bile de piatră sau de biliard, se presupunea că presiuni de contact acționau rapid în momentul ciocnirii. Altă forță de contact cu o foarte mare importanță practică este *frecarea* (vezi, de exemplu, în capitolul 7 amortizarea unui oscilator). Forța de frecare poate depinde de viteza obiectului într-un mod foarte complicat, dar aici vom trata cazul cel mai simplu — cel al unei forțe constante, dacă obiectul este în mișcare, sau cel al unei forțe exact cît trebuie de mare pentru a asigura echilibrul unui corp în repaus.

Forța de frecare este paralelă cu suprafața de contact dintre două obiecte sau dintre un obiect și o suprafață. Ea depinde de o altă forță de contact, și anume forța normală pe care o suprafață solidă o exercită asupra obiectului pe care îl suportă. Figura 3.18 ne prezintă un obiect situat pe o suprafață plană orizontală. Desigur, forța de gravitate  $Mg$  acționează vertical de sus în jos. Deoarece corpul este în repaus, legea întâi a lui Newton ne spune că ar trebui de asemenea să existe o forță îndreptată în sus și egală cu  $Mg$ . O astfel de forță, normală pe suprafață și care împiedică corpul să cadă prin suprafață, este notată, de obicei, cu  $N$ , ca în figura 3.18. Forța ce tinde să introducă corpul în suprafață poate fi gravitatea, o componentă a forței gravitaționale sau o complet altă forță depinzînd de împrejurările particulare.

Să presupunem acum că exercităm asupra unui corp o forță  $F$  paralelă cu suprafața (legînd poate corpul de un fir ce are la capăt o greutate, ca în fig. 3.19) dar nu suficient de mare pentru a provoca alunecarea corpului. Folosind din nou legea întâi a lui Newton vedem că suprafața trebuie să exercite asupra corpului o forță egală și opusă  $-F$ . Această forță  $-F$  se numește *forță de frecare*. Ea este nulă pînă în momentul în care  $F$  încearcă să miște corpul.

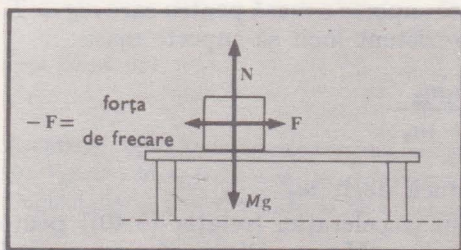


FIG. 3.18. Un corp pe o suprafață orizontală asupra căruia acționează gravitatea  $Mg$ , forța normală  $N$ , forța orizontală externă  $F$  și forța de frecare  $-F$ .

FIG. 3.19. (a)  $M$  departe de a aluneca.

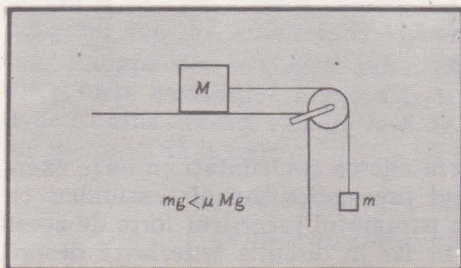
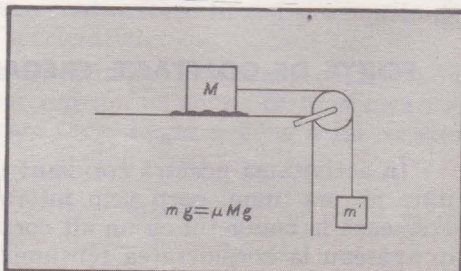


FIG. 3.19. (b)  $M$  gata să alunece.





Cît de mare poate fi forța de frecare? Putem întotdeauna (cu excepția obiectelor imobile) exercita o forță  $F$  suficient de mare pentru a produce alunecarea corpului. Este un fapt experimental că

$$F_{\max} = \mu N \quad (3.41)$$

unde  $\mu$  este o constantă numită *coeficient static de frecare* și este caracteristic suprafețelor în contact. Exemple cu cîteva valori ale lui  $\mu$  sînt date în tabelul 3.1.

TABELUL 3.1

Coeficienții statici de frecare  $\mu = F/N$

Materialul	$\mu$
Sticlă pe sticlă	0,9 – 1,0
Sticlă pe metal	0,5 – 0,7
Grafit pe grafit	0,1
Cauciuc pe solide	1 – 4
Ferodou pe fontă	0,4
Gheață pe gheață	0,05 – 0,15
Ceară de schi pe zăpadă uscată	0,04
Cupru pe cupru	1,6
Oțel pe oțel	0,58

Rețineți că forța de frecare statică poate lua orice valoare pînă la  $\mu N$ , depinzînd de valoarea forței externe aplicate; acest lucru se vede în figura 3.19.

### EXEMPLU

Măsurarea lui  $\mu$ . Valoarea lui  $\mu$  poate fi determinată aflînd unghiul  $\theta$  pe care un plan înclinat îl face cu orizontala atunci cînd corpul tocmai începe să alunece. Dacă ne referim la figura 3.20 și presupunem că tocmai începe alunecarea corpului, ne dăm seama că suma celor trei forțe  $Mg$ ,  $N$ , și  $F_{\text{frecțiune}}$  trebuie să fie zero. Luînd componentele paralele și perpendiculare cu suprafața găsim:

$$N = Mg \cos \theta; \quad F_{\text{frec}} = Mg \sin \theta. \quad (3.42)$$

Folosind faptul că  $F_{\text{frec}} = \mu N$ , obținem:

$$\mu = \frac{F_{\text{frec}}}{N} = \frac{Mg \sin \theta}{Mg \cos \theta} = \tan \theta. \quad (3.43)$$

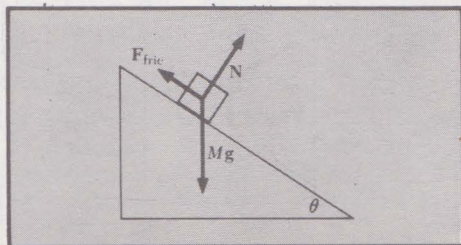


FIG. 3.20. Corpul gata să alunece în jos pe un plan înclinat.

## EXEMPLU

Alunecarea sub acțiunea unei forțe tangențiale, cu direcție oarecare. Un corp de masă  $M$  se află pe un plan înclinat avînd coeficientul de frecare  $\mu > \operatorname{tg} \theta$ . Să se afle mărimea forței paralele cu planul necesară pentru producerea alunecării corpului, în funcție de unghiul făcut cu direcția de pantă maximă a planului. O variantă a acestei probleme se formulează astfel: dacă o forță paralelă cu planul dar nu neapărat în susul sau în josul planului produce alunecarea corpului, să se găsească direcția în care corpul va începe să se miște, în funcție de direcția forței.

Figura 3.21 ne arată forțele paralele cu planul ce sînt responsabile pentru echilibru. Din figura 3.21 se vede că  $F_{\text{fric}}$ ,  $Mg \sin \theta$  și  $F$  (forța externă) adunate trebuie să dea zero. Deoarece corpul tocmai începe să alunece, avem din exemplul de mai sus:

$$F_{\text{fric}} = \mu Mg \cos \theta.$$

Luînd componentele din susul și josul planului,

$$F \cos \alpha + F_{\text{fric}} \cos \beta - Mg \sin \theta = 0$$

sau:

$$F \cos \alpha + \mu Mg \cos \theta \cos \beta = Mg \sin \theta.$$

Perpendicular pe această direcție:

$$F_{\text{fric}} \sin \beta - F \sin \alpha = 0; \quad F \sin \alpha = \mu Mg \cos \theta \sin \beta.$$

Eliminîndu-l pe  $\beta$  din aceste ecuații obținem:

$$\frac{F}{Mg} = \cos \alpha \sin \theta \pm \sqrt{\cos^2 \alpha \sin^2 \theta + \mu^2 \cos^2 \theta - \sin^2 \theta}. \quad (3.44)$$

Ce sens are semnul minus în relația (3.44)? Pentru a afla acest lucru să observăm că  $\mu^2 \cos^2 \theta > \sin^2 \theta$  deoarece am presupus că  $\mu > \operatorname{tg} \theta$ . Astfel rădăcina pătrată din termenul de sub radical este mai mare decît  $\cos \alpha \sin \theta$ . Dacă folosim semnul minus,  $F$  va fi o mărime negativă. Dar este clar că această soluție este inacceptabilă deoarece pe  $F$  l-am presupus pozitiv. Va trebui, deci, să folosim semnul plus. Să notăm că:

$$F = Mg \sin \theta + \mu Mg \cos \theta \quad \text{cînd } \alpha = 0$$

$$F = -Mg \sin \theta + \mu Mg \cos \theta \quad \text{cînd } \alpha = \pi$$

relații ce se pot obține imediat. Se poate verifica de asemenea că dacă  $\mu = \operatorname{tg} \theta$  și  $\alpha = \pi$ ,  $F = 0$ .

Cînd  $F$  va fi doar un pic mai mare decît valoarea din (3.44), corpul va începe să alunece în direcția opusă lui  $F_{\text{fric}}$ . Din ecuațiile de mai sus se poate calcula  $\beta$  și se obține:

$$\sin \beta = \frac{\sin \alpha}{\mu} (\cos \alpha \operatorname{tg} \theta + \sqrt{\mu^2 - \operatorname{tg}^2 \theta \sin^2 \alpha}).$$

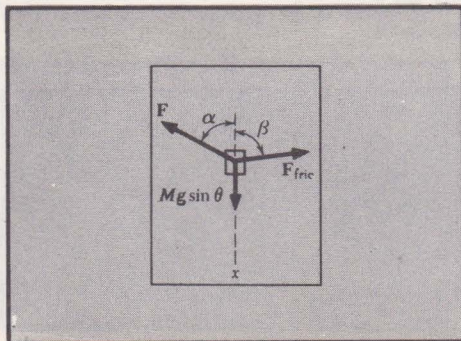


FIG. 3.21. Un corp gata să alunece pe un plan înclinat sub acțiunea unei forțe externe  $F$ .



Se poate verifica această ecuație alegând  $\beta = \pi/2$ , în care caz cele trei forțe  $F$ ,  $Mg \sin \theta x$ , și  $F_{frie}$  formează un triunghi dreptunghic.

## EXEMPLU

**Mișcarea orizontală cu forță de frecare constantă.** Să presupunem că coeficientul de frecare dintre o suprafață orizontală și un corp în mișcare este  $\mu$ . Cu ce viteză trebuie să proiectăm corpul paralel cu suprafața pentru a parcurge distanța  $D$  până la oprire? Avem o problemă cu o forță constantă și în care mișcarea are loc pe o dreaptă:

$$M \frac{d^2 x}{dt^2} = -\mu Mg; \quad \frac{d^2 x}{dt^2} = -\mu g.$$

Am obținut deja soluția unei ecuații similare în paragraful privind gravitatea. Vezi expresiile (3.8) și (3.9). Avem:

$$v_x = -\mu g t + v_0 \text{ și } x = -\frac{1}{2} \mu g t^2 + v_0 t$$

unde l-am pus pe  $x_0$  (valoarea lui  $x$  la  $t = 0$ ) egal cu zero. Viteza necesară este  $v_0$ . Când corpul se oprește,

$$v_x = 0 \text{ și } t = v_0 / \mu g.$$

Înlocuind această valoare în expresia lui  $x$  și făcându-l pe  $x$  egal cu  $D$ , obținem:

$$D = -\frac{1}{2} \mu g \left( \frac{v_0}{\mu g} \right)^2 + v_0 \frac{v_0}{\mu g} = \frac{1}{2} \frac{v_0^2}{\mu g}$$

sau

$$v_0 = \sqrt{2D\mu g}.$$

## PROBLEME

(Notă: După răspunsurile numerice indicați totdeauna și unitățile de măsură. Fără unități, un răspuns numeric nu are nici un sens.)

1. *Legea a treia a lui Newton.* Un începător în ale fizicii elementare se află în mijlocul unui patinoar. Coeficientul de frecare dintre gheață și picioarele sale este mic dar diferit de zero. Lui i s-a predat legea a treia a lui Newton. Deoarece legea spune că fiecărei acțiuni îi corespunde o reacțiune egală și opusă, suma tuturor

forțelor dă zero. El presupune astfel că nici o forță nu-l poate accelera către marginea patinoarului și atunci ar trebui să rămână în centrul lui.

(a) Cum îi explicați cum să ajungă la margine?

(b) Odată ajuns la margine, ce îi veți spune despre legile a doua și a treia ale lui Newton?

2. *Maimuța și vinătorul.* O demonstrație obișnuită la cursurile de fizică de anul I este prezentată în figura 3.22. Din punctul  $O$  se trage un cartuș cu o pușcă țintind la un obiect localizat în  $P$ . Simultan

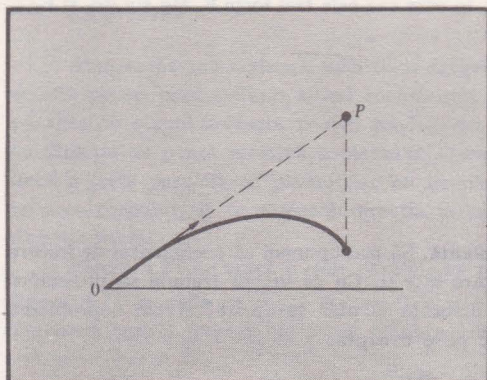


FIG. 3.22

cu lansarea glonțului este eliberat și obiectul. Se vede că proiectilul lovește obiectul ce cade. Arătați că această ciocnire în aer rezultă independent de viteza glonțului la gura puștii.

3. *Înălțimea tavanului la aruncatul mingii.* Doi copii aruncă și prind o minge într-un coridor lung. Înălțimea tavanului este  $H$ , iar mingea este aruncată și prinsă la înălțimea umărului  $h$ , aceeași pentru fiecare copil. Dacă copiii pot arunca mingea cu viteza  $v_0$ , la ce depărtare maximă ar putea să se joace?

$$R: R = 4 \sqrt{(H - h)[v_0^2/2g - (H - h)]}.$$

Arătați că dacă  $H - h > v_0^2/4g$ ,  $R = v_0^2/g$ . Explicați semnificația fizică a condiției  $H - h > v_0^2/4g$ .

4. *Împușcături în sus.* Viteza unui glonț de pușcă la gura țevii este de 30 m/s. Un om trage în aer, exact în sus, cite un foc la fiecare secundă. Nu se ia în considerare frecarea.

- Cite gloanțe vor fi în aer la fiecare moment de timp?
- La ce înălțime deasupra solului vor trece gloanțele unele pe lângă altele?

5. *Frecarea pe două plane înclinate.* În figura 3.23 planele 1 și 2 sînt amîndouă rugoase cu coeficienții de frecare  $\mu_1$  și  $\mu_2$ .

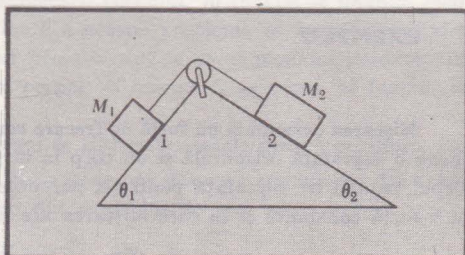


FIG. 3.23

Găsiți relația dintre  $M_1$ ,  $M_2$ ,  $\theta_1$ ,  $\theta_2$ ,  $\mu_1$  și  $\mu_2$  astfel încît:

- $M_1$  este gata să alunece pe planul 1;
- $M_2$  este gata să alunece pe planul 2.

6. *Frecare diferită de  $\mu Mg$ .* În figura 3.24 este prezentată forța  $F$  acționînd asupra unui bloc de masă  $M$  ce se sprijină pe o suprafață orizontală cu coeficientul de frecare  $\mu$ .

- Presupunînd  $F \gg Mg$ , să se găsească unghiul maxim la care forța nu mai poate face blocul să alunece indiferent cît de mare ar fi.
- Găsiți raportul  $F/Mg$  în funcție de  $\theta$  și de  $\mu$  așa încît blocul să înceapă tocmai alunecarea. Arătați că în cazul  $F \gg Mg$  răspunsul se reduce la cel de la punctul (a).

7. *Mașina Atwood.* Găsiți tensiunea din firul  $OA$  ce susține scripetele mașinii Atwood din figura 3.17. Arătați că suma vectorială a celor trei forțe — tensiunea aceasta,  $m_1g$  și  $m_2g$  — este egală cu viteza de variație a impulsului pe verticală.

8. *Satelitul și Luna.* Cine aleargă mai repede, Luna sau un satelit gravitînd în jurul Pămîntului pe o traiectorie a cărei rază este doar un pic mai mare decît raza Pămîntului? Care este raportul vitezelor în



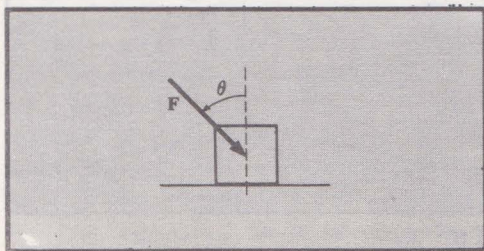


FIG. 3.24

funcție de raportul razelor? Care este raportul perioadelor? Ținând cont că Luna are o perioadă de revoluție de 27 de zile și raza orbitei de 380 000 km iar raza Pământului este 6 400 km, aflați perioada de rotație a satelitelui.

9. *Forța electrostatică.* Două mici sfere identice conducătoare de electricitate sînt suspendate în punctul P prin fire de lungime egală. Sferele atîrnă inițial liber și sînt în contact una cu cealaltă cu  $\theta \approx 0$ . Li se comunică o sarcină electrică pe care și-o împart în mod egal și pe urmă iau poziția de echilibru din figura 3.25. Găsiți pentru  $q$  o expresie în funcție de  $m$ ,  $g$ ,  $l$  și de  $\theta$ . (Considerați sferele mici ca sarcini punctuale.)

#### 10. Protonul într-un cîmp electric.

- Ce forță (în N) acționează asupra unui proton într-un cîmp electric de 100 V/m?
- Un proton inițial în repaus este lăsat liber într-un cîmp cu această intensitate; care va fi viteza lui după  $10^{-8}$  s?
- La ce distanță va ajunge după acest timp?

#### 11. Protonul într-un cîmp magnetic.

Un proton ( $e = 1,6 \times 10^{-19}$  C) este proiectat cu o viteză al cărei vector este  $\mathbf{v} = 2 \times 10^6 \hat{\mathbf{x}}$  m/s, într-o regiune în care există un cîmp magnetic uniform descris de  $\mathbf{B} = 0,1 \hat{\mathbf{z}}$  T.

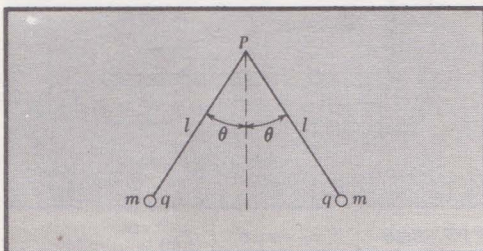


FIG. 3.25

- Evaluați forța (în mărime și în direcție) ce acționează asupra protonului imediat după proiectarea sa.
- Care este raza de curbură a traiectoriei sale ulterioare?
- Localizați poziția centrului traiectoriei circulare dacă protonul pleacă din origine.

12. *Raportul forțelor electrice și gravitaționale dintre doi electroni.* Mărimea forței electrostatice dintre doi electroni este  $e^2/4\pi\epsilon_0 r^2$ ; mărimea forței gravitaționale este  $Gm^2/r^2$ , unde  $G = 6,67 \cdot 10^{-11}$  N · m<sup>2</sup>/kg<sup>2</sup>. Care este raportul forțelor electrostatice și gravitaționale dintre cei doi electroni?

R:  $10^{42}$

13. *Cîmpuri electrice și magnetice încrucișate.* O particulă se mișcă în direcția  $x$  într-o regiune în care există un cîmp electric  $E_y$  și un cîmp magnetic perpendicular  $B_z$ . Ce condiție este necesară pentru ca forța rezultantă ce acționează asupra particulei să fie zero? Reprezentați vectorii  $\mathbf{v}$ ,  $\mathbf{E}$  și  $\mathbf{B}$  într-o diagramă. Cît trebuie să fie  $v_x$  dacă  $E_y = 3 \times 10^5$  V/m iar  $B_z = 3 \times 10^{-2}$  T?

R:  $= v_x = 1 \times 10^7$  m/s.

14. *Devieria între plăcile unui condensator.* O particulă de sarcină  $q$  și masă  $M$  intră într-un cîmp electric  $-E_y$  cu viteza

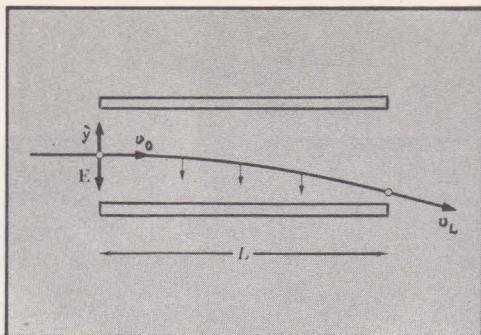


FIG. 3.26

$v_0 \hat{x}$  (vezi fig. 3.26). Vom presupune că  $E$  este uniform, adică, valoarea sa este constantă în toate punctele regiunii dintre plăcile de lungime  $L$  (cu excepția unor mici variații la marginile plăcilor și pe care le vom neglija).

- (a) Ce forțe acționează pe direcțiile  $x$  respectiv  $y$ ?

$$R: F_x = 0; F_y = -qE\hat{y}.$$

- (b) Va influența, o forță pe direcția  $y$ , componenta pe direcția  $x$  a vitezei?

- (c) Aflați pe  $v_x$  și  $v_y$  ca funcții de timp și scrieți expresia vectorială completă pentru  $\mathbf{v}(t)$ .

$$R: v_0 \hat{x} - (qE/M)t\hat{y}.$$

- (d) Plasați originea în punctul de intrare și scrieți expresia vectorială completă a poziției particulei ca funcție de timp pe perioada în care particula se află între plăcile condensatorului.

15. Continuarea problemei precedente. Dacă particula din problema 14 este un electron cu energia cinetică inițială de  $10^{-17}$  J

(energia cinetică =  $\frac{1}{2}mv^2$ ; 1 J este ener-

gia cinetică a unui corp cu masa de 2 kg mișcându-se cu viteza de 1 m/s), dacă intensitatea cîmpului electric este 300 V/m și dacă  $L = 0,02$  m, găsiți:

- (a) vectorul viteză în momentul în care electronul părăsește regiunea dintre plăci;

- (b) unghiul  $(\mathbf{v}, \hat{x})$  pe care îl face particula cu direcția inițială cînd părăsește plăcile;

$$R: 2,7^\circ,$$

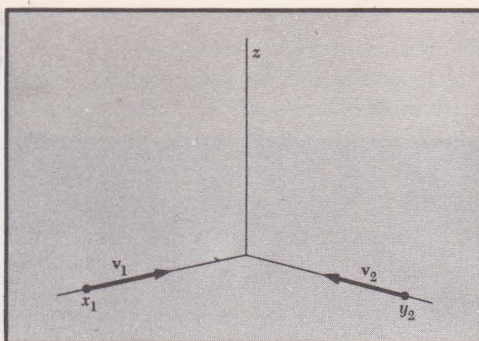


FIG. 3.27

- (c) punctul de intersecție al axei  $x$  cu direcția particulei cînd părăsește plăcile.

$$R: 0,01 \text{ m}.$$

16. Ciocniri. Două particule se află inițial în pozițiile  $x_1 = 5$  cm,  $y_1 = 0$ ,  $x_2 = 0$ ,  $y_2 = 10$  cm, cu  $\mathbf{v}_1 = -4 \times 100 \hat{x}$  m/s, și  $\mathbf{v}_2$  de-a lungul lui  $-\hat{y}$ , ca în figura 3.27.

- (a) Care trebuie să fie valoarea lui  $\mathbf{v}_2$  ca ele să se ciocnească?

$$R: -8 \times 100 \hat{y} \text{ m/s}.$$

- (b) Care este valoarea lui  $\mathbf{v}_r$ , viteza relativă?

$$R: 4 \times 100 (2\hat{y} - \hat{x}) \text{ m/s}.$$

- (c) Stabiliți un criteriu general pentru ciocnirea a două obiecte în funcție de vectorii de poziție  $\mathbf{r}_1$ ,  $\mathbf{r}_2$  și de vitezele  $\mathbf{v}_1$ ,  $\mathbf{v}_2$ .

17. Cinematica ciocnirilor. Două corpuri obligate să se miște într-un plan orizontal se ciocnesc. Fiind date inițial  $M_1 = 0,085$  kg,  $M_2 = 0,200$  kg,  $\mathbf{v}_1 = 6,4 \times 10^{-2} \hat{x}$  m/s și  $\mathbf{v}_2 = (-6,7 \hat{x} - 2,0 \hat{y}) \times 10^{-2}$  m/s:

- (a) aflați impulsul total.

$$R: (-7,96 \hat{x} - 4 \hat{y}) \times 10^3 \text{ kg m/s}.$$

- (b) Dacă după ciocnire  $|\mathbf{w}_1| = 9,23 \times 10^{-2}$  m/s și  $\mathbf{w}_2 = (-4,4 \hat{x} + 1,9 \hat{y}) \times 10^{-2}$  m/s, care este direcția lui  $\mathbf{w}_1$ ? (Am folosit simbolul  $\mathbf{w}$  pentru vitezele după ciocnire.)

$$R: -84^\circ \text{ în raport cu axa } x.$$

- (c) Care este viteza relativă  $\mathbf{w}_r = \mathbf{w}_1 - \mathbf{w}_2$ ?

$$R: (5,4 \hat{x} - 11 \hat{y}) \times 10^{-2} \text{ m/s}.$$



(d) Care sînt energiile cinetice totale inițiale și finale? Ciocnirea este elastică sau neelastică?

18. *Ciocnire neelastică.* Două obiecte ( $M_1 = 2$  kg;  $M_2 = 5$  kg) cu puțin timp înaintea unei ciocniri care le unește permanent au vitezele  $v_1 = 10 \hat{x}$  m/s și  $v_2 = 3 \hat{x} + 5 \hat{y}$  m/s.

(a) Care este viteza lor finală?

(b) Ce fracțiune din energia cinetică inițială se pierde în timpul ciocnirii?

19. *Satelitul pe o orbită.* Să considerăm orbita unui satelit cu puțin mai mare decît ecuatorul unei planete sferice cu densitatea  $\rho$ . Arătați că perioada  $T$  a unei astfel de orbite depinde numai de densitatea planetei. Găsiți o relație pentru  $T$ . ( $F_a$  îl va conține de asemenea pe  $G$ .)

## TEME AVANSATE

**Particula încărcată într-un cîmp electric alternativ omogen**

Fie

$$E = E_x \hat{x} = E_x^0 \sin \omega t \hat{x}$$

unde  $\omega = 2\pi f$  este frecvența unghiulară iar  $E_x^0$  este amplitudinea vectorului cîmp electric. Indicele ( $^0$ ) de lingă  $E$  va fi adesea omis dacă nu apare nici o ambiguitate. Ecuația de mișcare este, din relația (3.20),

$$\frac{d^2 x}{dt^2} = \frac{q}{M} E_x = \frac{q}{M} E_x^0 \sin \omega t. \quad (3.45)$$

La rezolvarea ecuațiilor diferențiale vom folosi adesea metoda încercărilor succesive,

<sup>1</sup> În acest paragraf vom participa la una dintre preocupările importante ale unui fizician: aflarea soluției unei ecuații diferențiale conformă cu niște condiții inițiale date. Aceasta este o artă în care intuiția joacă un rol foarte important. Adesea există procedee matematice bine precizate; dar tot adesea fizicianul se întreabă: "Ce s-ar putea întimpla?" sau "La ce altceva v-ați aștepta?" În sfîrșit, verificarea constă în introducerea soluției presupuse în ecuația originală și constatarea dacă soluția este bună sau nu. Dacă soluția este greșită, încercați din nou. Presupunerile inteligente economisesc timpul, dar chiar presupunerile greșite pot lămuri problema.

Relația (3.45) ne spune că accelerația unei particule încărcate este o funcție sinu-

## 20. Bătaia proiectilelor de mortiere.

Mai jos sînt prezentate bătaia și viteza la gura țevii pentru proiectilele de mortiere trase la  $45^\circ$  față de orizontală. A fost de asemenea inclus timpul de zbor. Comparați aceste date privind bătaia și timpul de zbor cu teoria în cazul ideal. Puteți vedea vreo regularitate? (Datele sînt de la Departamentul Armatei Statelor Unite, Tabelele de tragere FT4.2-F-1, Decembrie 1954.) Utilizați  $g = 9,76$  m/s<sup>2</sup>.

Viteza proiectilului (m/s)	Bătaia (m)	Timpul (s)
102	972	14,4
111	1159	15,7
122	1349	17,0
131	1539	18,2

ghidîndu-ne după instinctul fizic. Vom încerca o soluție de forma <sup>1</sup>:

$$x(t) = x_1 \sin \omega t + v_0 t + x_0. \quad (3.46)$$

Derivînd relația (3.46) obținem:

$$\frac{d^2 x}{dt^2} = -\omega^2 x_1 \sin \omega t.$$

Derivatele sinusului și ale cosinusului sînt date de:

$$\frac{d}{d\theta} \sin \theta = \cos \theta \quad \frac{d^2}{d\theta^2} \sin \theta = -\sin \theta$$

$$\frac{d}{d\theta} \cos \theta = -\sin \theta \quad \frac{d^2}{d\theta^2} \cos \theta = -\cos \theta$$

soidală de timp dacă forța aplicată este sinusoidală. Deoarece accelerația este oscilantă, deplasarea trebuie să fie cel puțin în parte oscilantă. Acesta este motivul pentru care includem în (3.46) termenii  $\sin \omega t$  sau  $\cos \omega t$ . Îl alegem pe  $\sin \omega t$  fiindcă două derivări succesive ale funcției sinus ne dau tot o funcție sinus. Termenul  $x_0$  trebuie inclus ca deplasare inițială. Cum trebuie să ne gîndim și la viteza inițială includem termenul  $v_0 t$  care ne poate da orice viteză inițială, inclusiv zero. Efectul termenului  $v_0 t$  va rămîne și la momente ulterioare de timp ca o viteză constantă suprapusă celei oscilatorii. Forma  $v_0 t$  este singura posibilă, o putere mai mare în  $t$  n-ar fi consistentă cu ecuația (3.45).



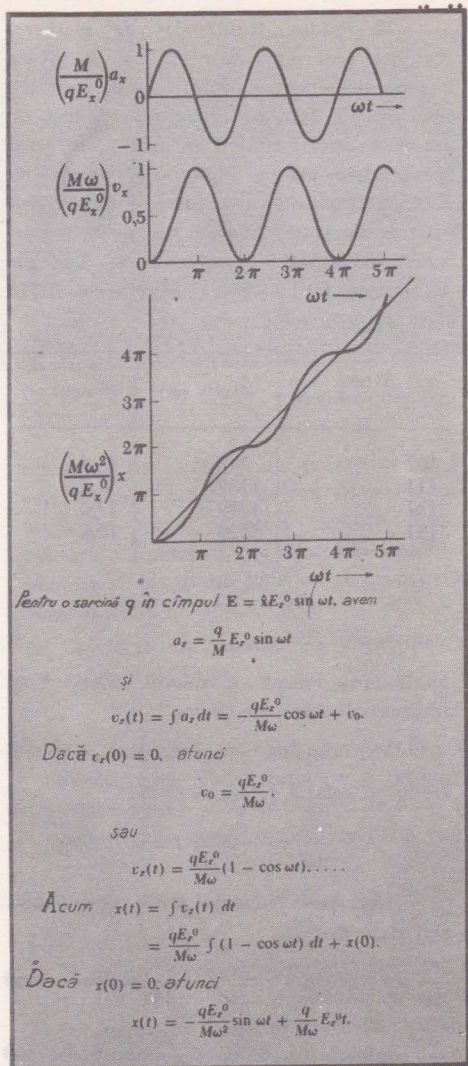


FIG. 3.28. Accelerația, viteza și deplasarea reprezentate în funcție de  $\omega t$ .

Relația (3.46) reprezintă o soluție a ecuației de mișcare [ecuația (3.45)] cu condiția ca:

$$-\omega^2 x_1 \sin \omega t = \frac{q}{M} E_x^0 \sin \omega t. \quad (3.47)$$

Adică:

$$x_1 = -\frac{q E_x^0}{M \omega^2}. \quad (3.48)$$

Substituindu-l pe (3.48) în (3.46) avem următorul rezultat:

$$x(t) = -\frac{q E_x^0}{M \omega^2} \sin \omega t + v_0 t + x_0.$$

Viteza este:

$$v_x(t) = \frac{dx}{dt} = -\frac{q E_x^0}{M \omega} \cos \omega t + v_0$$

astfel la  $t = 0$

$$v_x(0) = -\frac{q E_x^0}{M \omega} + v_0.$$

Să nu confundăm  $v_x(0)$ , care este viteza la  $t = 0$ , cu  $v_0$ , care este o constantă astfel aleasă încît să-i dăm lui  $v_x(0)$  o anumită valoare. Dacă alegem viteza inițială zero va trebui să avem:

$$v_0 = \frac{q E_x^0}{M \omega}.$$

Substituind această mărime în expresia lui  $x(t)$  de mai sus, obținem:

$$x(t) = -\frac{q E_x^0}{M \omega^2} \sin \omega t + \frac{q E_x^0}{M \omega} t + x_0.$$

Acest rezultat este întrucitva neașteptat: cu condiția la limită  $v_x = 0$ , la  $t = 0$ , mișcarea constă dintr-o oscilație suprapusă peste o deplasare continuă de viteză constantă  $qE_x^0/M\omega$ . Se întimplă acest lucru, deoarece în cazul special al acestei probleme particula nu-și inversează niciodată sensul vitezei. Particula face în mod continuu pași mărunți în același sens. De notat că în această problemă  $v_0$  nu este egal cu  $v_x(t=0)$  dar  $x_0$  este egal cu  $x(t=0)$ .

Accelerația, viteza și distanța ca funcții de timp sînt arătate în figura 3.28.

## NOTĂ MATEMATICĂ

Ecuații diferențiale. Am văzut că în coordonate carteziene accelerația este:

$$\frac{d^2x}{dt^2} \hat{x} + \frac{d^2y}{dt^2} \hat{y} + \frac{d^2z}{dt^2} \hat{z}.$$

În alte coordonate vor apărea derivate de ordinul doi și foarte posibil derivate de



ordinul întâi în raport cu timpul. Într-o singură dimensiune, legea a doua a lui Newton se reduce la:

$$M \frac{d^2x}{dt^2} = F_x. \quad (3.49)$$

Cînd scriem această ecuație scopul nostru este să-l aflăm pe  $x$  în funcție de timp; adică să rezolvăm ecuația în raport cu  $x$ . Soluția acestei ecuații, numită *ecuație diferențială*, va fi  $x(t)$ . Cum găsim o asemenea soluție? Matematicienii au procedee standard pentru acest lucru dar fizicienii foarte adesea ghicesc cite o soluție și verifică dacă soluția imaginată verifică ecuația (3.49). Există un număr de tipuri comune de ecuații diferențiale ce apar atît de frecvent în fizică încît este util să ținem minte soluțiile. Acum vom discuta două dintre aceste ecuații iar altele la finele celorlalte capitole.

Cazul cel mai simplu este pentru  $F = 0$ . Răspunsul îl știm deja din legea întâi a lui Newton, dar să-l mai vedem odată din punctul de vedere al soluției ecuației:

$$\frac{d^2x}{dt^2} = 0 = \frac{dv_x}{dt}. \quad (3.50)$$

Știm că derivata unei constante este 0, și astfel:

$$v_x = \text{const} = v_0$$

trebuie să fie o soluție. Aceasta înseamnă că:

$$\frac{dx}{dt} = v_0. \quad (3.51)$$

Încercăm o soluție de forma:

$$x = v_0 t + x_0. \quad (3.52)$$

Cînd derivăm o dată obținem ecuația (3.51) cînd derivăm de două ori obținem ecuația (3.50). Spunem astfel că ecuația a fost rezolvată și se poate arăta că aceasta este singura soluție.

Cine sînt  $v_0$  și  $x_0$ ? Ele sînt niște constante, desigur, dar de unde provin? Ele provin din problema particulară aflată în considerație. Să presupunem, de exemplu, că avem o particulă în repaus la  $x = 0$  și nici o forță nu acționează asupra ei. Atunci  $v_0 = 0$ ,  $x_0 = 0$  și soluția noastră

este  $x = 0$ . Cu alte cuvinte, particula rămîne la  $x = 0$  pentru totdeauna sau cel puțin atîta timp cît nu începe să acționeze asupra ei nici o forță. Să presupunem, totuși, că avem o particulă liberă care la  $t = 0$  este în  $x = +50$  și se deplasează în sensul negativ al axei  $x$  cu viteza 25. Atunci  $x_0 = +50$ ,  $v_0 = -25$ , astfel încît:

$$x = -25t + 50$$

și îl cunoaștem pe  $x$  pentru toate valorile  $t > 0$ . Dacă știm că nici pentru  $t < 0$  n-au acționat forțe, atunci acest rezultat ni-l dă, de asemenea, pe  $x$  pentru toate valorile lui  $t$  negative. Deseori, aceste două constante  $x_0$  și  $v_0$  sînt numite *constante de integrare* și trebuie determinate din condițiile problemei care sînt și ele tot deseori numite *condiții inițiale*. Ecuațiile diferențiale de ordinul doi au întotdeauna două constante arbitrare; ecuațiile diferențiale de ordinul întâi au numai una.

Următorul caz simplu este  $F_x = \text{const} = F_0$ . Trecem de la  $x$  la  $y$  pentru a-i da studentului posibilitatea să coreleze soluțiile cu exemplul de la începutul capitolului:

$$\frac{d^2y}{dt^2} = \frac{F_0}{M} = a \quad (3.53)$$

unde  $a$  este accelerația constantă. Să încercăm o soluție:

$$y = \frac{1}{2} at^2 + v_0 t + y_0. \quad (3.54)$$

Derivînd de două ori ajungem la ecuația (3.53) și astfel avem o soluție;  $v_0$  și  $y_0$  sînt iarăși constante arbitrare ce trebuie determinate din problema în considerație. Din cunoștințele anterioare de fizică puteți recunoaște ecuația (3.54) ca fiind cea a unei particule sub acțiunea gravitației. Dacă direcția pozitivă a axei  $y$  este în sus atunci  $a = -g$  unde  $g$  este accelerația gravitației  $9,8 \text{ m/s}^2$ . Iată mai jos cîteva exemple:

1. Pentru un corp lăsat să cadă în jos din repaus de la 100 m

$$v_0 = 0; \quad y_0 = 100$$

și astfel

$$y = \left( -\frac{1}{2} 9,8 t^2 + 100 \right) (\text{m}). \quad (3.55)$$

2. Pentru un corp aruncat drept în sus din origine cu  $v_0 = 9,8$  m/s

$$y_0 = 0; \quad v_0 = 9,8$$

$$y = \left( -\frac{1}{2} 9,8 t^2 + 9,8 t \right) (\text{m}). \quad (3.56)$$

Din aceste exemple putem calcula valorile lui  $y$  pentru orice  $t$ . De exemplu, din ecuația (3.56), care este maximul înălțimii atinse de corp?

Vom pune

$$\frac{dy}{dt} = 0 = -9,8 t + 9,8$$

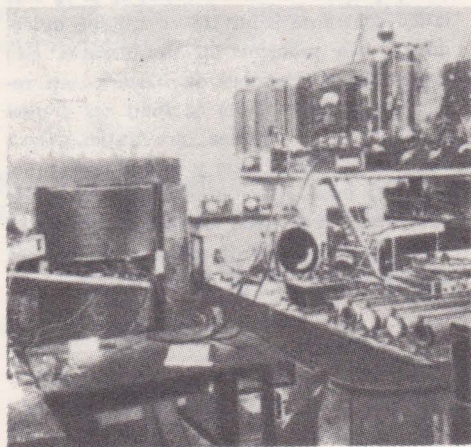
pentru

$$t = 1 \text{ s}; \quad y = -\frac{1}{2} 9,8 \times 1^2 + 9,8 \times 1 = 4,9 \text{ m}.$$

## NOTĂ ISTORICĂ

**Invenția ciclotronului.** Multe dintre acceleratoarele de particule de mare energie de astăzi sînt urmașele primului ciclotron de protoni de 1 MeV construit la LeConte Hall din Berkeley de către E.O. Lawrence și M. S. Livingston. Ciclotronul a fost imaginat de către Lawrence; ideea a fost publicată pentru prima dată de Lawrence și Edlefsen într-o discuție rezumată

Unul dintre primele ciclotroane.



De notat că  $dy/dt = 0$  înseamnă  $v_y = 0$ , care reprezintă chiar situația în care corpul atinge înălțimea maximă.

Din punct de vedere matematic condițiile inițiale pot fi interpretate ca valorile lui  $y$  și  $dy/dt$  într-un punct oarecare, și care, în cazul de mai sus, este dat de  $t = 0$ . Ecuațiile diferențiale de ordinul doi dau curbura lui  $y$  în funcție de  $t$ , dar nu dau panta și valoarea. Astfel, pentru a obține curba în mod unic este necesar să specificăm atât panta cît și valoarea într-un punct. Studentul ar putea compara graficele ecuațiilor (3.55) și (3.56).

în *Science* 72: 376, 377 (1930). În 1932 primele rezultate au fost publicate într-un frumos articol în *Physical Review*, principala revistă de fizică a Societății Americane de Fizică. Deși revista cere tuturor articolelor să fie însoțite de rezumate informative, puține dintre ele sînt atât de clare și de informative ca cel reprodus aici din articolul clasic al lui Lawrence și Livingston. Sînt, de asemenea, reproduse două desene din articolul original. Profesorul Livingston este acum la Institutul de Tehnologie din Massachusetts; profesorul Lawrence a murit în 1958.

Magnetul original de 11 Țoli (27,5 cm) a fost aproape imediat depășit de noile acceleratoare; dar el a fost reconstruit și mai este și acum folosit la o serie întreagă de proiecte de cercetare de la LeConte Hall. Primele experiențe reușite de rezonanță ciclotronică a purtătorilor de sarcină în cristale au fost făcute cu acest magnet.

Pentru o prezentare interesantă a începuturilor ciclotronului vezi: E. O. Lawrence, „Evoluția ciclotronului” („The Evolution of the Cyclotron”), *Les Prix Nobel en 1951*, pp. 127–140, Imprimerie Royale, Stockholm, 1952. Alăturat este prezentată fotografia unui ciclotron mai vechi iar la pagina 117 o reproducere din articolul din *Phys. Rev.*



## LECTURI SUPLIMENTARE

*Fizica PSSC* (PSSC, „Physics”) capitolele 19–21, 28 (§ 1, 4, 6), 30 (§6–8), D. C. Heath & Co., Boston, 1965.

*Cursul de fizică HPP* (HPP, „Project Physics Course”), capitolele 2–4,9 (§2–7), 14 (§3, 4, 8, 13), Holt, Rinehart și Winston, Inc., New York, 1970.

A. French, *Mecanica Newtoniană* („Newtonian Mechanics”), W. W. Norton & Co., Inc., New York, 1971. O carte completă pentru nivelul acesta, o parte din seria de la MIT.

Ernst Mach, *Știința Mecanicii: o prezentare critică și istorică a dezvoltării sale* („The Science of Mechanics: A Critical and Historical Account of Its Development”) ed. a 6-a, cap. 2 și 3, The Open Court

Publishing Company, La Salle, Ill., 1960. O prezentare clasică a conceptelor mecanicii și a dezvoltării ei.

Herbert Butterfield, *Originile științei moderne, 1300–1800* („The Origins of Modern Science, 1300–1800”) Free Press, The Macmillan Company, New York, 1965. Capitolul 1 prezintă punctul de vedere al unui istoric în ceea ce privește importanța unei înțelegeri corecte a mișcării și a inerției.

L. Hopf, *Introducere în ecuațiile diferențiale ale fizicii*, („Introduction to the Differential Equations of Physics”), tradusă în l. engleză de W. Nef, Dover Publications, Inc., New York, 1948. O introducere concisă și atractivă în teoria ecuațiilor diferențiale necesitând doar puțină matematică și fiind convenabilă studiului individual.

1 APRILIE 1932

REVISTA DE FIZICĂ

VOLUMUL 40

### OBȚINEREA IONILOR UȘORI DE MARE VITEZĂ FĂRĂ UTILIZAREA ÎNALTEI TENSIUNI

de ERNEST O. LAWRENCE și M. STANLEY LIVINGSTON  
UNIVERSITATEA DIN CALIFORNIA

(Primită la redacție la 20 februarie 1932)

#### Rezumat

Studierea nucleului ar fi ușurată în mare măsură prin dezvoltarea unor surse de ioni de mare viteză, în particular protoni și ioni de heliu care să aibă energia cinetică mai mare de 1 000 000 electronvolți; se pare că aceste particule atât de rapide sînt cele mai potrivite pentru a produce o excitare nucleară. Metoda cea mai directă, adică accelerarea ionilor printr-o diferență de potențial, prezintă mari dificultăți experimentale din cauza cîmpurilor electrice intense.

În această lucrare, prezentăm dezvoltarea unei metode ce evită asemenea dificultăți printr-o accelerare multiplă pînă la viteze mari ale ionilor fără folosirea tensiunilor foarte înalte. Metoda este următoarea: două plăci semicirculare goale, asemănătoare duanților unui electrometru, sînt montate în vid cu diametrele



lor foarte apropiate și într-un câmp magnetic uniform și normal pe planul plăcilor. Pe electrozii plăcilor, se aplică oscilații de înaltă frecvență ce produc un câmp electric oscilant în regiunea dintre diametre. Și astfel, în timpul unei semiperioade câmpul electric accelerează ionii formați în regiunea dintre diametre, înspre interiorul unui dintre electrozi unde sînt forțați de câmpul magnetic să se miște pe traiectorii circulare pînă cînd reapar în cele din urmă în regiunea dintre electrozi. Câmpul magnetic este astfel potrivit încît timpul necesar pentru a parcurge traiectoria semicirculară din interiorul unui electrod să fie egal cu semiperioada oscilațiilor. În consecință, cînd ionul se întoarce în regiunea dintre electrozi, câmpul electric va avea sensul invers, iar ionul va primi astfel o nouă creștere de viteză la trecerea spre celălalt electrod. Deoarece razele traiectoriilor din interiorul electrozilor sînt proporționale cu vitezele ionilor, timpul necesar pentru a parcurge o jumătate de traiectorie circulară este independent de vitezele ionilor. Astfel, dacă ionilor le trebuie o semiperioadă pentru primul semicerc același lucru se va întîmpla și pentru cele care vor urma și va apărea atunci o spirală în rezonanță cu câmpul oscilant pînă cînd ionii vor atinge periferia aparatului. Energiile finale ale ionilor vor fi de atîtea ori mai mari decît cea corespunzătoare tensiunii aplicate pe electrozi de cîte ori ionii trec de la un electrod la altul. Această metodă este imaginată în primul rînd pentru accelerarea ionilor ușori și în experiențele de față s-a acordat o atenție deosebită producerii de protoni de mare viteză din cauza capacității lor, probabil unice, de investigare experimentală a nucleului atomic. Folosind un magnet cu diametrul fețelor polare de 11 toli (270 mm), s-a produs un curent de  $10^{-8}$  A de 1 220 000 proton-volți, într-un tub în care tensiunea maximă aplicată a fost de numai 4 000 volți. Două trăsături ale acestei metode experimentale au contribuit în mare măsură la succesul ei. Este vorba în primul rînd de acțiunea de focalizare a cîmpurilor magnetice și electrice care împiedică pierderi serioase de ioni pe măsură ce sînt accelerați. În consecință, intensitățile curenților de ioni de mare viteză obținuți prin această metodă sînt comparabile cu acelea ce se obțin în mod obișnuit prin metodele directe cu tensiune foarte înaltă. Mai mult, acțiunea de focalizare are ca rezultat generarea unor fascicule foarte înguste de ioni — mai mici decît un mm în secțiune — care sînt ideale pentru studiarea experimentală a proceselor de ciocnire.

Nu de mai mică importanță este cea de a doua trăsătură a acestei metode care constă în modalitatea simplă și foarte eficientă de corectare a câmpului magnetic de-a lungul traiectoriilor ionilor. Astfel, este foarte ușor într-adevăr să se folosească tubul cu un foarte mare factor de amplificare (adică raportul tensiunii echivalente finale a ionilor accelerați la tensiunea aplicată). În consecință, această metodă, în stadiul ei actual de dezvoltare, reprezintă o sursă de mare viteză convenabilă din punct de vedere experimental, cu un înalt grad de încredere și necesitînd un echipament de laborator relativ modest. Mai mult, experiențele recente indică faptul că această metodă indirectă de accelerare multiplă face posibilă producerea în laborator a protonilor cu energia cinetică mai mare de 10 000 000 eV. Ținînd cont de acest lucru în laboratorul nostru se instalează acum un magnet avînd fețele polare de 114 cm.



## INTRODUCERE

Experiențele clasice ale lui Rutherford și ale colaboratorilor lui<sup>1</sup>, precum și ale lui Pose<sup>2</sup> privind dezintegrarea artificială și ale lui Bothe și Becker<sup>3</sup> asupra excitării radiației nucleare au întărit convingerea că nucleul este susceptibil de a fi supus acelorași metode de investigare ce au avut succes în relevarea proprietăților extranucleare ale atomului. Rezultatele muncii lor atrag în mod special atenția asupra rodniciei studiilor tranzițiilor nucleare excitate artificial în laborator. Dezvoltarea pe scară largă a metodelor de excitare nucleară este astfel o problemă de mare interes; soluționarea ei va fi probabil cheia spre o nouă lume de fenomene, lumea nucleului.

Dar acest lucru este pe cât de interesant pe atât de dificil, pentru că nucleul rezistă unor astfel de atacuri experimentale cu un formidabil zid de energie de legătură foarte mare. Nivelele de energie ale nucleului sînt puternic separate și, în consecință, procesele excitării nucleare cer cantități enorme de energie — milioane de electronvolți.

Trebuie, atunci, să ne interesăm de cele mai promițătoare metode de excitare nucleară. Două metode generale se pot prezenta singure; excitarea prin absorbție de radiație (radiația gamma) și excitarea prin ciocniri intime cu particule de mare viteză.

S-ar putea spune despre prima că studii experimentale recente<sup>4,5</sup> a absorbției radiației gamma în substanță ne arată, la elementele mai grele, variații cu numărul atomic ce indică un efect nuclear apreciabil. Acest lucru sugerează că excitarea nucleară prin absorbție de radiație este probabil un proces destul de frecvent și astfel dezvoltarea unei surse artificiale de radiații gamma cu diferite lungimi de undă ar avea o valoare considerabilă pentru studiile nucleare. În laboratorul nostru, ca și în altele, se încearcă acest lucru.

Dar metoda ciocnirilor pare a fi și mai promițătoare ca o consecință a cercărilor lui Rutherford și a celor citați mai sus. Investigațiile lor de pionerat trebuie privite ca realizări experimentale într-adevăr mărețe, pentru că s-au obținut informații importante și definitive asupra unor procese nucleare foarte rare excitate cu fascicule foarte slabe de particule incidente — particulele alfa din sursele radioactive. Mai mult, și acest lucru vrem să-l scoatem aici în evidență, munca lor ne-a arătat cu pregnanță .....

<sup>1</sup> Vezi capitolul 10 din „Radiatiile surselor radioactive“ de Rutherford, Chadwick și Ellis.

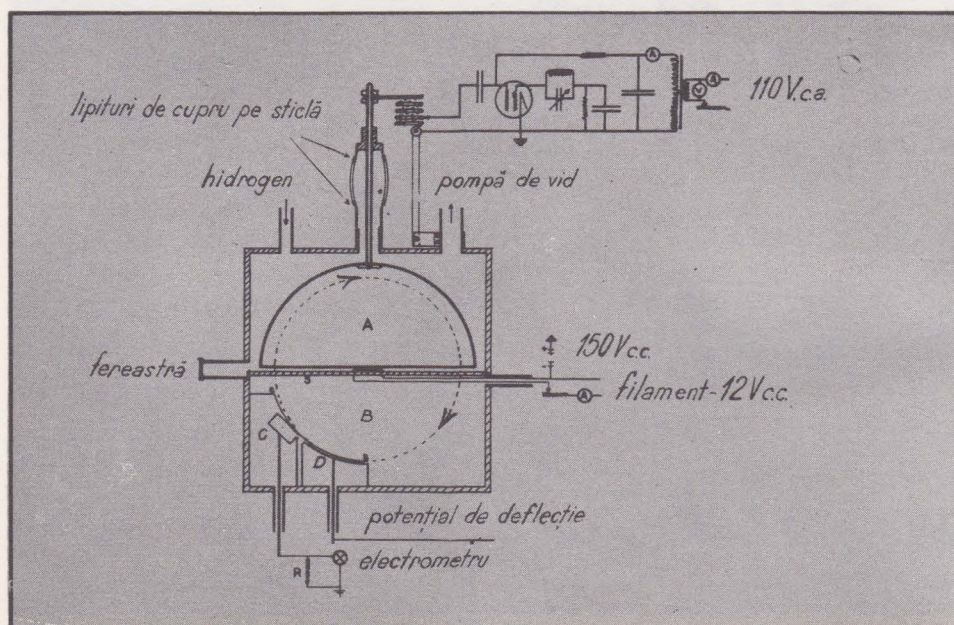
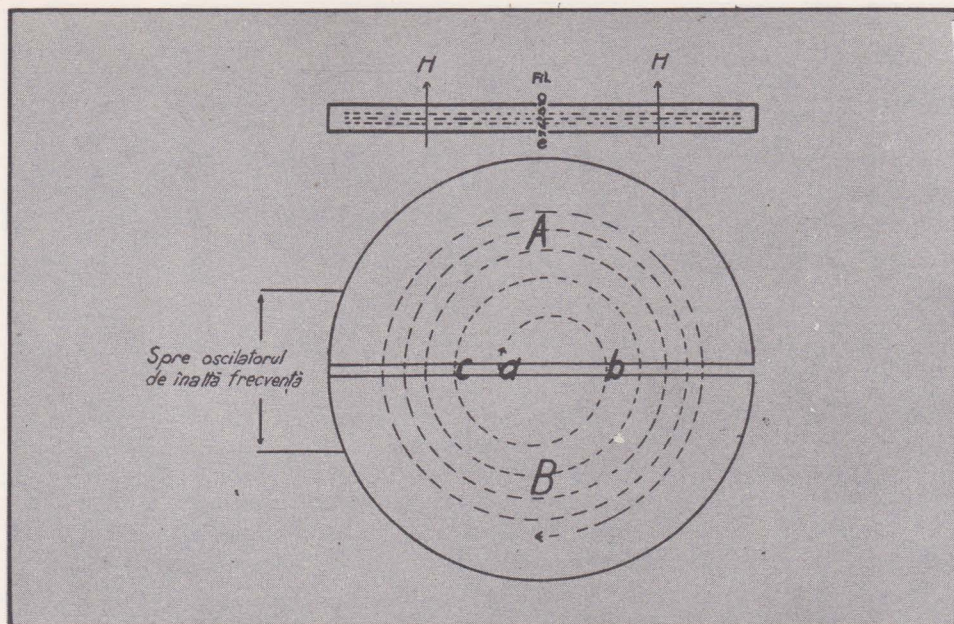
<sup>2</sup> H. Pose, Zeits. f. Physik, 64, 1 (1930)

<sup>3</sup> W. Bothe și H. Becker, Zeits. f. Physik, 66, 1289 (1930)

<sup>4</sup> G. Beck, Naturwiss., 18, 896 (1930)

<sup>5</sup> C. Y. Chao, Phys. Rev., 36, 1519 (1930)







# 4

## Sisteme de referință; transformările Galilei

### Cuprins

#### **Sisteme de referință inerțiale și accelerate**

Exemplu. Ultracentrifuga

*Pământul ca sistem de referință*

*Stelele fixe: un sistem de referință inerțial*

*Forțele într-un sistem de referință inerțial*

**Accelerația absolută și accelerația relativă**

*Forțe fictive*

Exemplu. Accelerometrul

Exemplu. Forța centrifugă și forța centripetă

Accelerația într-un sistem în rotație uniformă

Exemplu. Experimente în cabina de lift în cădere liberă

Exemplu. Pendulul Foucault

**Viteza absolută și viteza relativă**

**Transformările Galilei**

*Conservarea impulsului*

Exemplu. Ciocnirea neelastică a două corpuri de mase egale

Exemplu. Reacții chimice

Exemplu. Ciocnirea unei particule grele cu o particulă ușoară

*Probleme*

*Teme avansate:*

*Viteza și accelerația în sisteme de coordonate rotitoare*

*Mișcarea unui proton în câmpuri electrice și magnetice încrucișate*

*Notă matematică. Derivata unui produs de vectori*

*Lecturi suplimentare*

În acest capitol vom examina câteva aspecte mai subtile ale legilor a doua și a treia ale lui Newton. Problema sistemelor de referință a fost omisă în întregime în capitolul 3 dar este tratată acum în detaliu. Alte subiecte majore sînt invarianța Galilei precum și o altă demonstrație a legii conservării impulsului. Într-un anumit fel, acest capitol nu este esențial pentru parcurgerea capitolelor următoare dar este important pentru a înțelege în întregime subiectul mecanicii.

## SISTEME DE REFERINȚĂ INERȚIALE ȘI ACCELERATE

Primele două legi ale lui Newton sînt corecte numai atunci cînd sînt considerate față de sisteme de referință neaccelerate. Dacă sistemul dumneavoastră de referință este în repaus într-un carusel în rotație, în absența forțelor aplicate nu veți mai avea o accelerație zero. Puteți sta liniștit pe platforma unui carusel numai dacă vă împingeți într-o parte a ei, și astfel, în acord cu legea a treia a lui Newton, obligați acea parte să exercite o forță  $M\omega^2 r$  asupra corpului dumneavoastră înspre axa de rotație, unde  $M$  este masa,  $\omega$  viteza unghiulară iar  $r$  distanța de la axa de rotație. Sau, să presupunem că sistemul dumneavoastră de referință este în repaus într-un avion puternic accelerat la decolare. Sînteți, „presat, de către accelerație, de spătarul scaunului dumneavoastră” și sînteți ținut în repaus în raport cu avionul de către forța exercitată asupra dumneavoastră de către spătarul scaunului.

Pentru a rămîne în repaus sau în mișcare uniformă relativ la un sistem de referință neaccelerat, nu va fi nevoie de nici o forță. Dar dacă doriți să fiți în repaus față de un sistem de referință accelerat atunci asupra dumneavoastră va trebui să se exercite o forță ca aceea exercitată din partea caruselului sau a spătarului de la scaun. Aceste forțe ce apar automat în sistemele accelerate sînt foarte importante în fizică. În mod special este important să înțelegem forțele care acționează în sisteme de referință aflate în mișcare circulară. Ar fi o idee bună, să revedeți acum acest subiect studiat în liceu. [Un excelent film PSSC (PSSC MLA 0307), „Sisteme de referință” clarifică splendid o parte din materialul acestui capitol. Vezi Lista filmelor capitolului 4 la sfîrșitul acestei cărți].

## EXEMPLU

**Ultracentrifuga.** Efectele faptului de a *nu* fi într-un sistem de referință inerțial pot fi enorme! Aceste efecte pot fi de mare importanță practică. Să considerăm o moleculă suspendată într-un lichid în camera de probă a unei ultracentrifuge. Să presupunem că molecula se află



la 10 cm de axa de rotație și că ultracentrifuga se învârtă cu 1 000 de rotații pe secundă (60 000 rotații pe minut). Viteza unghiulară va fi atunci:

$$\omega = (2\pi)(1 \times 10^3) \approx 6 \times 10^3 \text{ rad/s}$$

iar viteza liniară:

$$v = \omega r \approx (6 \times 10^3)(10) \approx 6 \times 10^4 \text{ cm/s} = 6 \times 10^2 \text{ m/s.}$$

Mărimea accelerației asociată mișcării circulare uniforme este (vezi capitolul 2):

$$a = \omega^2 r \approx (6 \times 10^3)^2 (10) \approx 4 \times 10^8 \text{ cm/s}^2 = 4 \times 10^6 \text{ m/s}^2.$$

Accelerația gravitației  $g$  este de numai  $9,8 \text{ m/s}^2$  la suprafața pământului astfel încât raportul dintre accelerația de rotație și accelerația gravitațională este:

$$\frac{a}{g} \approx \frac{4 \times 10^6}{10} \approx 4 \times 10^5.$$

Accelerația în ultracentrifugă este astfel de 400 000 ori mai mare decât accelerația gravitației (Aceste date caracterizează ultracentrifuga prezentată în figura 4.1.) Moleculele din suspensie a căror densitate (masă/volum) este diferită de cea a lichidului înconjurător vor suporta în celula ultracentrifugii o forță puternică ce tinde să le separe de fluid. Dacă ele au aceeași densitate cu aceea a lichidului, nu va apărea nici un efect de separare. Dacă au densitatea mai mică decât cea a lichidului, efectul forței de separare este înspre interior (ax). De exemplu, un balon umplut cu heliu aflat într-un automobil ce execută un viraj tinde să se miște spre interiorul curbei.

În acord cu legea întâi a lui Newton molecula din suspensie dorește să rămână în repaus (sau să se miște cu viteză constantă pe o linie dreaptă) în raport cu laboratorul. (Laboratorul constituie o aproximație destul de bună a unui sistem de referință neaccelerat.) Moleculele nu vor să fie învârtite nebunește în ultracentrifugă cu o viteză unghiulară mare. Față de un observator în repaus, aflat în celula de probă a ultracentrifugii, molecula se comportă ca și cum asupra ei s-ar exercita forța  $M\omega^2 r$  ce tinde să o tragă dinspre axa de rotație înspre exteriorul camerei de probă din rotorul centrifugii. (Acest lucru presupune că molecula are o den-

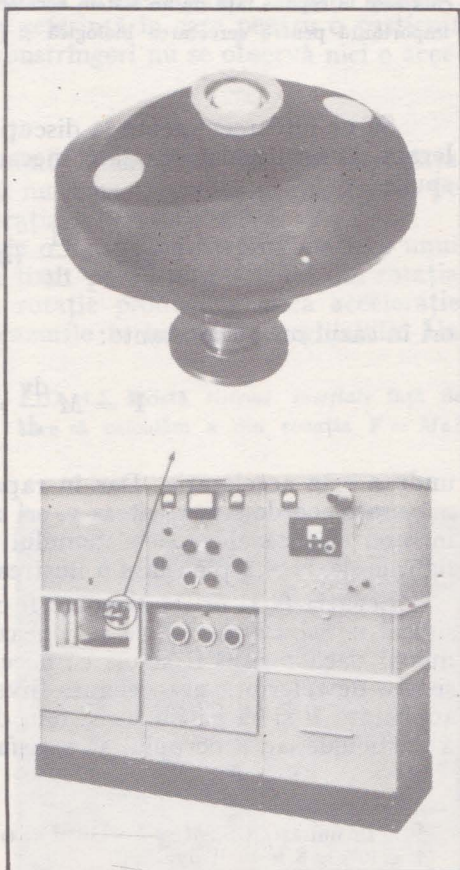


FIG. 4.1. Rotorul unei ultracentrifuge. Funcționează la 60 000 rpm și dă naștere la o accelerație centrifugă puțin mai mică decât de 400 000 ori accelerația gravitației. (Beckmann Spinco Division.)

sitate mai mare decît lichidul.) Cît de mare este forța? Să presupunem că greutatea moleculară a moleculei este de 100 000, ceea ce înseamnă că masa  $M$  a moleculei este de  $10^5$  ori mai mare decît masa protonului:

$$M \approx (10^5)(1,7 \times 10^{-27}) \approx 2 \times 10^{-22} \text{ kg.}$$

(Masa protonului este aproximativ egală cu o unitate atomică de masă, după cum se poate vedea din tabloul de valori de la pag. 437.) Forța asociată accelerației rotaționale va fi:

$$Ma = M\omega^2 r \approx (2 \times 10^{-22})(4 \times 10^6) \approx 8 \times 10^{-16} \text{ N}$$

folosind valoarea accelerației din paragraful precedent<sup>1</sup>.

Forța aparentă, ce pare că trage molecula înspre înafara camerei de probă, se numește forță *centrifugă*. Mișcarea înspre exterior va fi împiedicată de învîrtirea lichidului ce înconjoară molecula. Deoarece pentru diferite feluri de molecule, forța centrifugă va avea valori diferite, ele se vor deplasa înspre exteriorul camerei de probă cu viteze diferite. În sistemul de referință al celei ultracentrifugii această forță centrifugă este asemănătoare unei *gravitații artificiale* îndreptate înspre exterior și a cărei intensitate crește cu distanța de la axă. Diferitele specii de molecule se așază în acest cîmp gravitațional neobișnuit într-o succesiune de straturi în acord cu densitatea. Ultracentrifugarea constituie, astfel, o metodă excelentă de separare a diferitelor feluri de molecule. Metoda se aplică cel mai bine moleculelor mari care se întîmplă să fie moleculele cu gradul cel mai mare de interes biologic, și astfel chestiunea dacă o moleculă este în repaus față de un sistem accelerat sau față de unul neaccelerat se dovedește a fi importantă pentru cercetarea biologică și medicală.

Să ne întoarcem acum la discuția sistemelor de referință inerțiale și accelerate. Legea fundamentală a mecanicii clasice, legea a doua a lui Newton, spune:

$$\text{Forța} = \frac{d}{dt} (\text{impuls}); \mathbf{F} = \frac{d}{dt} (\mathbf{p}) \quad (4.1)$$

ori în cazul masei constante:

$$\mathbf{F} = M \frac{d\mathbf{v}}{dt} = M \frac{d^2\mathbf{r}}{dt^2} = M\mathbf{a} \quad (4.2)$$

unde  $\mathbf{a}$  este accelerația. Dar în raport cu ce fel de sistem de referință sînt măsurate coordonata  $\mathbf{r}$ , viteza  $\mathbf{v}$ , ori accelerația  $\mathbf{a}$ ? Exemplul de mai sus indică în mod clar că alegerea sistemului de referință este foarte importantă, iar figurile de la 4.2 pînă la 4.6 ilustrează această chestiune.

Ecuția (4.1) ori (4.2) poate fi considerată ca definind într-un mod consistent *adevărată forță*  $\mathbf{F}$  ce acționează asupra unei particule sau a unui corp, numai dacă putem fi siguri că accelerația  $\mathbf{a}$  este măsurată în raport cu un sistem de referință neaccelerat. Invers, dacă se întîmplă să cunoaștem forța adevărată  $\mathbf{F}$  și să găsim un sistem de referință în care accelerația observată a particulei sau a corpului să satisfacă ecuația (4.2), atunci putem spune că

<sup>1</sup> În unități CGS,  $M \approx 2 \times 10^{-19}$  g,  $\omega \approx 6 \times 10^3$  rad/s,  $r = 10$  cm, iar  $F \approx (2 \times 10^{-19}) \cdot (4 \times 10^6) \approx 8 \times 10^{-11}$  dyn.



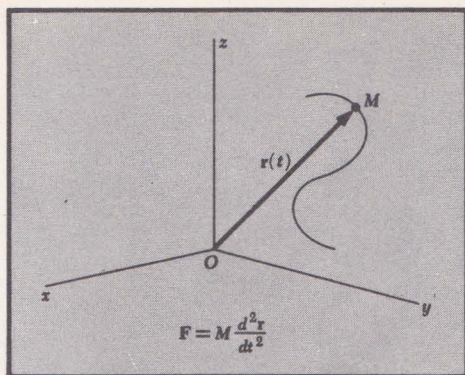


FIG. 4.2. Legea a doua a lui Newton spune: forța = masa  $\times$  accelerația. Dar accelerația relativă la care sistem?

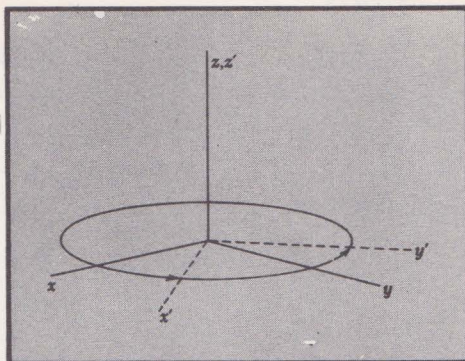


FIG. 4.3. De exemplu, sistemul  $S' (x', y', z')$  se rotește în raport cu sistemul  $S (x, y, z)$ . Accelerația lui  $M$  în fiecare din aceste două sisteme este diferită.

sistemul de referință este un sistem *inercial*; adică, este fără accelerație ori rotație. Abilitatea noastră în a spune dacă un sistem de referință particular este sau nu un sistem inercial depinde, într-un sens strict, de precizia cu care putem detecta efectele unei mici accelerații a sistemului. În sens practic, este luat ca sistem inercial un sistem de referință în care pentru o particulă presupusă a fi liberă de orice forțe sau constrângeri nu se observă nici o accelerație.

**Pământul ca sistem inercial.** Reprezintă laboratorul fixat pe suprafața Pământului un bun sistem inercial? Dacă nu, cum ar trebui să-l corectăm pe  $F = Ma$  pentru a ține seama de accelerația laboratorului?

În multe scopuri, Pământul constituie o foarte bună aproximație a unui sistem inercial. Accelerația laboratorului fixat pe Pământ rezultă din rotația Pământului în jurul axei sale. Această rotație produce o mică accelerație laboratorului, și care nu este în toate cazurile în întregime neglijabilă. Un

FIG. 4.4. Sau, de exemplu, sistemul  $S'$  are accelerația  $a_0$  în raport cu sistemul  $S$ . Accelerația lui  $M$  în fiecare din aceste sisteme este diferită.

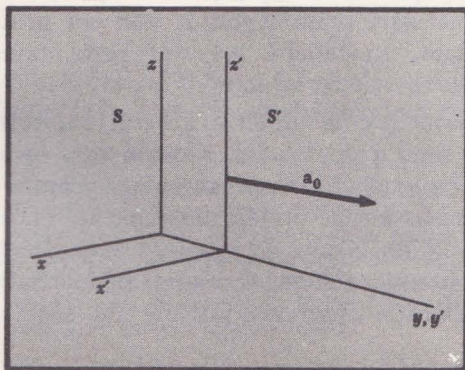
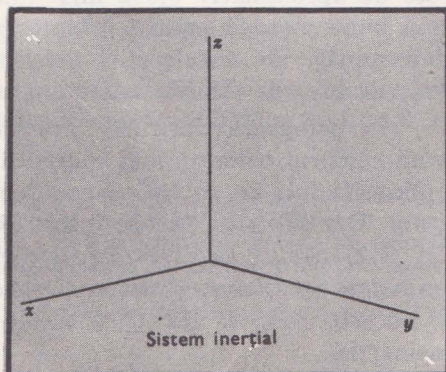


FIG. 4.5. Există sisteme *inerciale* față de care să calculăm  $a$  din ecuația  $F = Ma$ ?





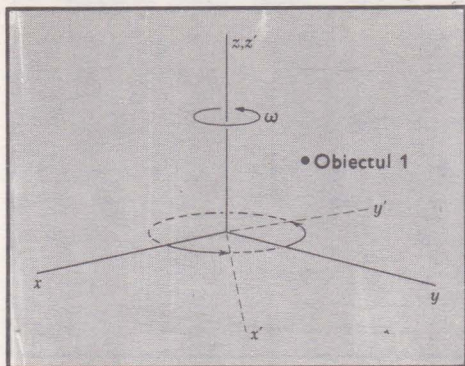


FIG. 4.6. (a) Dacă  $S(x, y, z)$  este un astfel de sistem inerțial, atunci  $S'(x', y', z')$ , care se rotește în jurul axei  $z$  a lui  $S$ , nu poate fi inerțial.

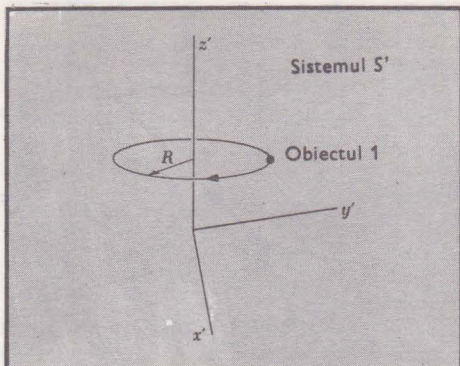


FIG. 4.6. (b) Deoarece în sistemul  $S'$  obiectul 1, deși foarte depărtat de alte obiecte, suferă o accelerație. (Pare că se rotește.)

punct în repaus pe suprafața Pământului la ecuator suferă o accelerație centripetă dată de:

$$a = \frac{v^2}{R_p} = \omega^2 R_p \quad (4.3)$$

raportată la centrul Pământului.  $\omega = 2\pi f$  este viteza unghiulară a Pământului iar  $R_p$  este raza Pământului. Din capitolul 3 (pagina 86) vedem că  $\omega \approx 0,73 \times 10^{-4} \text{ s}^{-1}$ . Cu  $R_p \approx 6,4 \times 10^6 \text{ m}$ , accelerația este:

$$a \approx (0,73 \times 10^{-4})^2 (6,4 \times 10^6) \approx 0,034 \text{ m/s}^2.$$

Forța de gravitație trebuie să suplinească accelerația masei de la ecuator. Astfel forța necesară pentru a ține corpul în echilibru împotriva forței de gravitație este mai mică decât întreaga forță de gravitație cu  $3,4 \text{ m} \times 10^{-5} \text{ N}$  unde  $m$  este masa; cu alte cuvinte accelerația gravitației măsurată la ecuator este mai mică cu  $0,034 \text{ m/s}^2$  decât cea măsurată la Polul Nord, unde  $a$  din relația (4.3) este zero. Ce mai rămîne din variația totală a gravitației pe suprafața Pământului se datorește formei elipsoidale a Pământului. Variația totală dintre accelerația gravitațională la Polul Nord (ori Sud) și cea de la ecuator este de aproximativ  $0,052 \text{ m/s}^2$  ( $5,2 \text{ cm/s}^2$ ). Pînă la apariția sateliților, cea mai bună metodă pentru măsurarea aplatizării Pământului la poli era prin determinări ale accelerației gravitaționale. În tabelul 4.1 sînt prezentate valorile lui  $g$  la diferite latitudini.

În paragraful intitulat *Teme avansate* (de la sfîrșitul acestui capitol) vom construi o formă mai complicată a legii a doua a lui Newton care este aplicabilă într-un sistem de coordonate cu axele fixate pe suprafața Pământului. Dar pentru a obține o lege corectă în forma simplă din ecuațiile (4.1) ori (4.2) trebuie să raportăm accelerația la un sistem de referință neaccelerat — sistem inerțial sau sistem Galilean. Într-un sistem accelerat (neinerțial)  $\mathbf{F}$  nu este egal cu  $m\mathbf{a}$  dacă  $\mathbf{a}$  este accelerația observată față de un sistem neinerțial.



Valorile lui  $g$  la diverse latitudini

Stația	Latitudinea	$g, \text{m/s}^2$
Polul nord	90° N	9,83245
Ghețarul Karajak, Groenlanda	70° N	9,8253
Reykjavik, Islanda	64° N	9,8227
Leningrad	60° N	9,8193
Paris	49° N	9,8094
New York	41° N	9,8027
San Francisco	38° N	9,7996
Honolulu	21° N	9,7895
Monrovia, Liberia	6° N	9,7816
Batavia, Iava	6° S	9,7818
Melbourne, Australia	38° S	9,7999

**Stelele fixe, un sistem de referință inerțial.** Printr-o convenție acceptată curent se vorbește de stelele fixe ca despre un sistem de referință neaccelerat standard. Limbajul acesta conține un element de metafizică, deoarece afirmația că stelele fixe n-ar fi accelerate depășește cunoștințele noastre actuale. Cu instrumentele noastre, este improbabil că vom putea detecta o accelerație mai mică de  $10^{-6} \text{ m/s}^2$  a unei stele sau grup de stele îndepărtate, chiar dacă vom face observații îngrijite timp de 100 ani. Pentru nevoi practice, este convenabil să raportăm direcțiile în spațiu la stele, dar de asemenea vom vedea că pentru nevoi practice putem stabili experimental un sistem de referință neaccelerat destul de bun. Chiar dacă Pământul ar fi înconjurat în mod continuu de ceață deasă, vom fi în stare să stabilim fără vreo dificultate specială un sistem de referință inerțial.

Accelerația Pământului pe orbită în jurul Soarelui este cu un ordin de mărime mai mică decât accelerația la ecuator datorită rotației Pământului. Deoarece  $1 \text{ an} \approx \pi \times 10^7 \text{ s}$ , viteza unghiulară a Pământului în jurul Soarelui este

$$\omega \approx \frac{2\pi}{\pi \times 10^7} \approx 2 \times 10^{-7} \text{ s}^{-1}.$$

Accelerația centripetă a Pământului pe orbită în jurul Soarelui este, cu  $R \approx 1,5 \times 10^{11} \text{ m}$ :

$$a = \omega^2 R \approx (4 \times 10^{-14}) \cdot (1,5 \times 10^{11}) \approx 0,006 \text{ m/s}^2. \quad (4.4)$$

Accelerația Soarelui spre centrul galaxiei noastre nu este cunoscută experimental<sup>1</sup>. Dar din studii privind deplasarea Doppler a liniilor spectrale se

<sup>1</sup> Stelele nu sînt împrăștiate la întîmplare prin spațiu ci sînt grupate în sisteme largi separate mult unele de celelalte. Fiecare sistem conține în jurul a  $10^{10}$  stele. Sistemele acestea se numesc *galaxii*; cea care conține Soarele nostru este cunoscută sub numele de Galaxia. Calea Lactee este o parte a galaxiei noastre. Nici galaxiile însele nu sînt distribuite în întregime la întîmplare deoarece există o tendință marcantă de a forma aglomerări. Galaxia noastră aparține unei aglomerări de 19 membri numită *Grupul Local*, și care formează un sistem fizic legat prin atracție gravitațională.

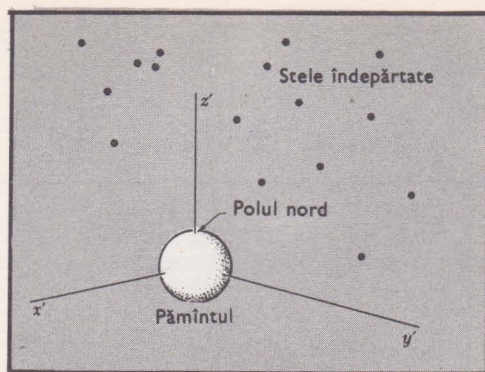


FIG. 4.6. (c) De exemplu, într-un sistem  $S' (x', y', z')$  legat de Pământ, stelele depărtate, ca și obiectul 1, se rotesc. Un sistem legat de Pământ nu este inerțial deoarece Pământul se rotește în jurul axei sale precum și în jurul Soarelui.

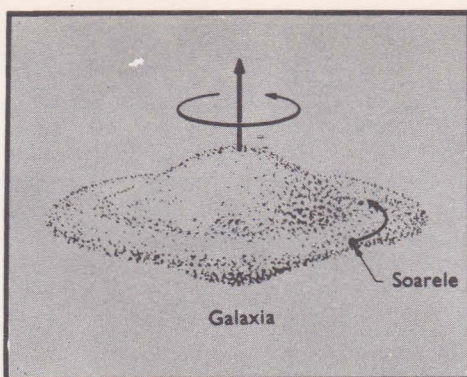


FIG. 4.6. (d) Este un sistem legat de Soare inerțial? Chiar și soarele se rotește în jurul galaxiei, dar această accelerație pare a fi suficient de mică pentru a o neglija.

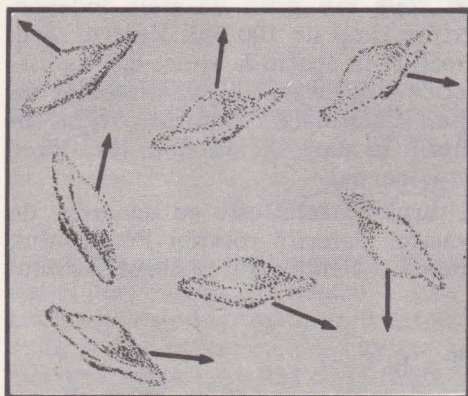


FIG. 4.6. (e) Se pare că putem de asemenea neglija accelerația galaxiei noastre relativă la altele.

crede că viteza Pământului relativă la centrul galaxiei este de  $3 \times 10^5$  m/s. Dacă Soarele se mișcă pe o orbită circulară în jurul centrului galaxiei, care este la o distanță de aproximativ  $3 \times 10^{20}$  m de Soare, accelerația Soarelui în jurul centrului galactic va fi:

$$a = \omega^2 R = \frac{v^2}{R} \approx \frac{9 \times 10^{10}}{3 \times 10^{20}} \approx 3 \times 10^{-10} \text{ m/s}^2.$$

Aceasta este foarte mică. Nu cunoaștem din observații dacă Soarele nu are o accelerație mai mare decât aceasta și nici nu cunoaștem dacă centrul însuși al galaxiei nu este sensibil accelerat. Aceste accelerații sînt ilustrate în figurile 4.6, a pînă la e.

Ceea ce știm din practică este că setul de afirmații ce constituie simbul mecanicii clasice funcționează excelent de bine. Aceste afirmații sînt:

1 spațiul este euclidian;



- 2 spațiul este izotrop iar proprietățile fizice sînt aceleași în toate direcțiile din spațiu. Astfel, masa  $M$  din  $F = Ma$  nu depinde de direcția lui  $a$ ; pentru un observator în repaus pe pămînt, legile newtoniene ale mișcării sînt verificate într-un sistem inerțial determinat prin luarea în considerație numai a accelerației datorate rotației Pămîntului în jurul axei sale și mișcării Pămîntului pe orbită în jurul Soarelui;
- 3 legea newtoniană a gravitației universale este verificată. În capitolul 3 s-a prezentat o mică discuție a acestei legi (paginile 84—86) iar o discuție mai detaliată este prezentată în capitolul 9.

Aceste afirmații sînt greu de verificat cu mare precizie, în mod individual. Cele mai precise verificări, și anume acelea care se referă la mișcările planetelor în cadrul sistemului solar, implică de regulă întregul pachet al celor patru afirmații de mai sus. Două verificări extrem de precise ale pachetului clasic sînt discutate în nota istorică de la sfîrșitul capitolului 5.

**Forțele într-un sistem de referință inerțial.** Galilei a spus că *un corp care nu este supus nici unei forțe are o viteză constantă*<sup>1</sup>. Am văzut că această afirmație este adevărată numai într-un sistem de referință inerțial — ea chiar definește sistemul de referință inerțial.

Afirmația pare a fi ambiguă, deoarece cum am putea ști vreodată că asupra unui corp nu acționează nici o forță? Forțele pot acționa asupra unui corp nu numai prin contactul direct al unui corp cu altul dar chiar și atunci cînd un corp este izolat. Forțele electrice sau gravitaționale pot fi importante chiar și fără prezența în apropiere a altor corpuri. Nu putem fi siguri că nu acționează forțe, doar pentru motivul că nu există alte corpuri în contact sau în apropierea unui corp dat. Dar dacă nu putem decide apriori că un anumit corp de referință nu este supus vreunei forțe, vom avea dificultăți în formularea legilor mișcării ce vor lega forțele de accelerații. Avem nevoie de un sistem de referință neaccelerat față de care să putem măsura accelerațiile; maniera lui Galilei de determinare a unui astfel de sistem presupune că am avea o cale independentă pentru a cunoaște că nici o forță nu acționează asupra lui. Dar noi nu putem ști aceasta, deoarece criteriul nostru privind lipsa forței este lipsa accelerației, ceea ce implică un anumit sistem de referință față de care să măsurăm această accelerație, și tot așa mai departe argumentația se încheie într-un cerc vicios

Situația nu este lipsită de orice speranță, deoarece știm că forțele dintre două corpuri trebuie să scadă rapid pe măsură ce distanța dintre corpuri crește, ca în figura 4.7. Dacă forțele n-ar scădea rapid, n-am putea izola vreodată interacțiunile dintre două corpuri de cele cu toate celelalte corpuri din univers. Toate forțele dintre particulele cunoscute de noi scad cel puțin la fel de repede ca și în legea invers proporționalității cu pătratul distanței. Noi și oricare alt corp de pe Pămînt sîntem atrași în primul rînd spre centrul pămîntului și nu în primul rînd spre nu știu ce zonă îndepărtată a univer-

<sup>1</sup> Această propoziție este numită de obicei *Prima lege newtoniană a mișcării*.



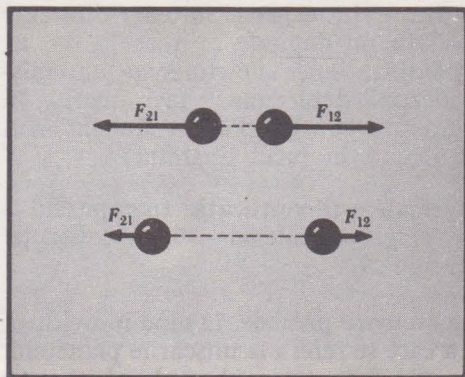


FIG. 4.7. Experimental se știe că forța pe care un obiect o exercită asupra altuia descrește întotdeauna rapid pe măsura ce obiectele sînt separate de o distanță mai mare.

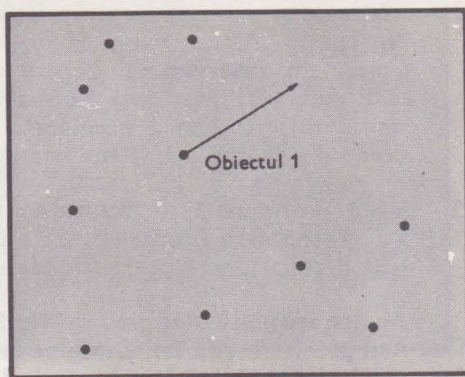


FIG. 4.8. Astfel dacă obiectul 1 este suficient de departe de toate celelalte obiecte, el nu va fi supus la nici o forță.

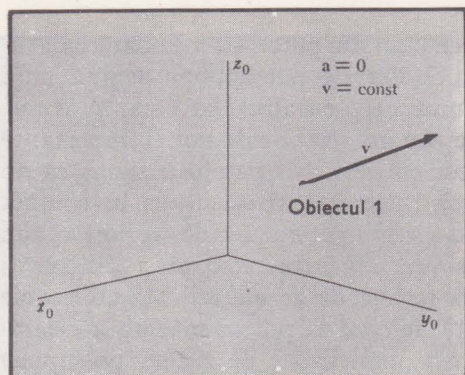


FIG. 4.9. Un sistem inerțial este acela în care accelerația obiectului 1 (din fig. 4.8) este zero.

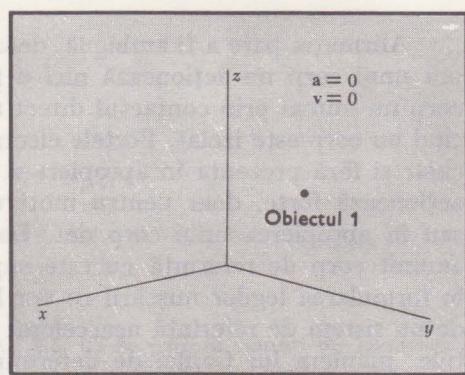


FIG. 4.10. În particular, există sisteme inerțiale în care obiectul 1 este, și rămîne, în repaus.

sului. Dacă n-am fi suportați de dușumea am fi accelerați spre centrul Pămîntului cu  $9,8 \text{ m/s}^2$ . Sîntem mai puțin atrași de Soare; după relația (4.4) am fi accelerați spre el cu  $0,006 \text{ m/s}^2$ . Pentru o rezonabilă descriere a accelerației, se consideră că asupra unui corp foarte îndepărtat de alte corpuri nu se exercită practic nici o forță și deci nici o accelerație (vezi fig. de la 4.8 la 4.10). O stea tipică este la cel puțin  $10^{16} \text{ m}$  depărtare de vecina cea mai apropiată<sup>1</sup> și se consideră a avea o accelerație foarte mică. Sîntem astfel conduși la concluzia că stelele fixe pot defini, într-o bună aproximație un sistem de coordonate neaccelerat convenabil.

<sup>1</sup> Excluzînd stelele duble care au distanțe de separare tipice de ordinul a  $\cdot 10^{13} \text{ m}$ .



O frumoasă discuție privind stabilirea unui sistem de referință neaccelerat este dată de P.W. Bridgman în *Am. J. Phys.*, 29: 32 (1961). Prezentăm mai jos câteva extrase:

Un sistem de trei axe rigide ortogonale constituie un sistem Galilean, dacă trei particule masive, asupra cărora nu acționează nici o forță, proiectate de-a lungul celor trei axe cu viteze arbitrare, continuă să se miște de-a lungul axelor cu viteze uniforme. Laboratoarele noastre terestre nu constituie un astfel de sistem dar putem construi un astfel de sistem în laboratoarele noastre măsurând cum deviază cele trei mase arbitrare de la cerința.... și incorporând aceste deviații ca niște corecții negative introduse în specificațiile noastre la sistemul Galilean. Nu se simte nevoia unor referiri la stele, dar comportarea corpurilor poate fi descrisă relevant în termenii unor astfel de fapte observabile imediat; rotația planului unui pendul Foucault în raport cu Pământul sau devierea de la perpendiculară a unui corp în cădere liberă. Chiar dacă, în încercarea de a plasa satelitul pe orbită, operatorul unei rachete consideră că este convenabil să facă o parte din socotelile sale în termenii observațiilor asupra stelei polare, este clar că instalațiile sale pot fi descrise în cele din urmă în termeni terestri... Într-un sistem Galilean, un corp în rotație, după ce a fost pus în rotație iar forțele au fost înlăturate, își menține planul de rotație în raport cu sistemul și, în consecință, menține direcția axei sale de rotație.

## ACCELERAȚIA ABSOLUTĂ ȘI ACCELERAȚIA RELATIVĂ

Se poate găsi un sistem de referință inerțial în care  $F$  să fie egal cu  $Ma$  cu o mare acuratețe. Acest fapt este puternic sprijinit de experiență. Tragem concluzia că într-un sistem de referință inerțial, forțele ce au fost postulate pentru a explica mișcarea galaxiilor, stelelor, atomilor, electronilor etc. au proprietatea comună că acționând asupra unui corp scad realmente pe măsură ce corpul este dus tot mai departe de vecinii săi. Vom vedea că dacă ne alegem un sistem de referință neinerțial, ni se *pare* că există forțe ce nu au proprietatea de a fi asociate cu apropierea altor corpuri.

Existența unui sistem de referință neinerțial sugerează o întrebare dificilă și nelămurită: ce efect are toată materia cealaltă din univers asupra unei experiențe făcute într-un laborator terestru? Să presupunem, de exemplu, că întregii materii din univers, în afara celei din vecinătatea Pământului nostru, i s-ar imprima o accelerație mare  $a$ . O particulă de pe Pământ, care inițial nu a fost supusă nici unei forțe, avea accelerația zero în raport cu stelele fixe. Când stelele fixe sînt accelerate, va mai avea această particulă — care inițial nu era supusă nici unei forțe dar era liberă să se miște — accelerație zero în raport cu vecinii săi neaccelerați, sau va suferi o modificare în mișcarea sa relativă la mediul imediat înconjurător? Există vreo diferență între accelerarea particulei cu  $+a$  ori a stelelor fixe cu  $-a$ ? Dacă semnificativă este numai accelerația relativă, răspunsul la întrebare este *nu*; dacă accelerația absolută are un anumit sens atunci răspunsul este *da*. Această întrebare fundamentală este nelămurită, dar nici nu poate fi supusă ușor investigației experimentale (vezi fig. 4.11,  $a$  pînă la  $c$ ).

Newton a formulat această întrebare precum și răspunsul la ea într-un mod pitoresc. Să considerăm o găleată cu apă. Dacă rotim găleata și apa din ea relativ la stele atunci suprafața apei va căpăta o formă parabolică; toată lumea va fi de acord cu acest lucru. Dar să presupunem acum că, în loc să rotim găleata, vom roti într-un fel oarecare stelele în jurul găleții astfel încît



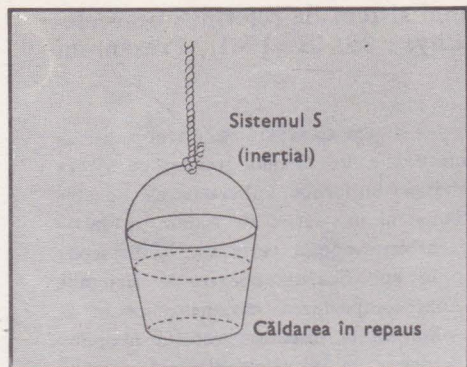


FIG. 4.11. (a) Un exemplu de forțe fictive ce apar într-un sistem neinertial. Când găleata este în repaus față de  $S$ , suprafața apei este plană.  $S$  este considerat neaccelerat față de stelele depărtate.

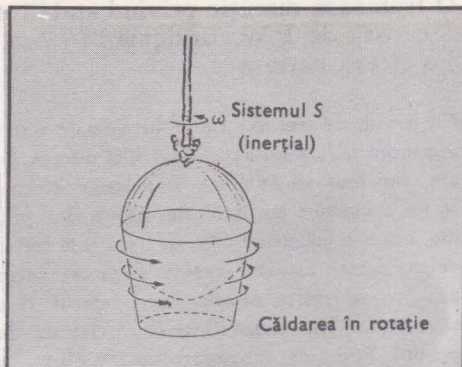


FIG. 4.11. (b) Când găleata se rotește față de  $S$ , suprafața apei ia o formă paraboloidală.

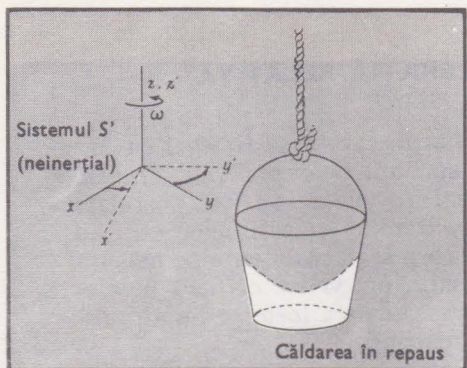


FIG. 4.11. (c) Față de sistemul în rotație  $S'$ , găleata este în repaus. Dar suprafața apei este totuși paraboloidală! O forță „fictivă” acționează asupra apei din sistemul neinertial  $S'$ .

mișcarea relativă să fie aceeași. Credința lui Newton era că suprafața apei va fi rămas plană dacă am fi rotit stelele. Acest punct de vedere dă o anumită semnificație rotației absolute și accelerației absolute. Ceea ce cunoaștem empiric este că toate fenomenele privind rotația găleții cu apă pot fi complet

descrise și corelate cu rezultatele măsurărilor locale în laborator, fără nici un fel de referire la stele.

Punctul de vedere opus, și anume că *numai accelerația relativă la stelele fixe are semnificație*, constituie o ipoteză numită de obicei *principiul lui Mach*. În acord cu acest punct de vedere, apa din găleată va lua o formă paraboloidală. Deși nu există, nici confirmare experimentală, nici obiecții, față de acest punct de vedere, unii fizicieni, printre care și Einstein, consideră acest principiu atractiv apriori, în timp ce alții nu. Aceasta este însă o problemă pentru cosmologia speculativă.

Dacă s-ar accepta credința că mișcarea medie a restului universului afectează comportarea oricărei particule izolate, relativ la acest fapt ar putea apărea un număr de întrebări la care n-am putea găsi totuși nici un răspuns. Există și alte relații între starea unei singure particule și starea restului universului? Se va modifica sarcina electronului, sau masa lui, sau energia de interacție dintre nucleoni, dacă numărul de particule din univers sau densitatea lor vor fi într-un anumit fel modificate? Până acum răspunsul la această întrebare adâncă, relația dintre universul îndepărtat și proprietățile particulelor individuale, nu a fost încă dat.



**Forțe fictive.** Dăm aici câteva exemple de forțe ce par a exista datorită sistemului de referință accelerat. Vom începe întâi cu legea a doua a lui Newton, limitînd la început problema noastră la un sistem de referință inerțial deoarece știm că legea a doua este valabilă într-un astfel de sistem. Vom include apoi accelerația unui sistem neinerțial și o vom lega de o forță ce „ar părea că există” atunci cînd raportăm problema la al doilea sistem. Legea a doua a lui Newton spune:

$$\mathbf{F} = M\mathbf{a}_I \quad (4.5)$$

unde în membrul stîng se află forța aplicată iar  $\mathbf{a}_I$  este accelerația văzută față de sistemul inerțial. Considerăm că masa  $M$  este constantă. Am introdus indicele  $I$  pentru a scoate în evidență cuvîntul *inerțial*. Știm că într-un sistem neinerțial, cum este Pămîntul în rotație, ecuația (4.5) nu mai este valabilă în această formă. Aceasta din cauză că am omis accelerația  $\mathbf{a}_0$  ce trebuia inclusă, și anume, accelerația inerțială pe care o are particula din cauza mișcării accelerate a sistemului.

Dacă  $\mathbf{a}$  este accelerația corpului măsurată față de sistemul neinerțial, avem  $\mathbf{a} + \mathbf{a}_0 = \mathbf{a}_I^1$ , sau:

$$\mathbf{F} = M(\mathbf{a} + \mathbf{a}_0). \quad (4.6)$$

*Dacă facem experiențe într-un sistem neinerțial trebuie să fim întotdeauna siguri că am inclus pe  $\mathbf{a}_0$  în ecuația forței.* Lucrînd într-un sistem neinerțial, adesea este convenabil să judecăm în termenii unei mărimi  $F_0$  astfel încît relația (4.6) să se transforme în:

$$\mathbf{F} + \mathbf{F}_0 = M\mathbf{a} \quad (4.7)$$

unde

$$\mathbf{F}_0 \equiv -M\mathbf{a}_0 \quad (4.8)$$

este numită *forță fictivă* sau *pseudoforță*. Forța fictivă este acea mărime ce trebuie adunată la o forță reală pentru a face suma egală cu  $M\mathbf{a}$ , unde  $\mathbf{a}$  este accelerația față de sistemul neinerțial. Dacă sistemul are o accelerație de translație  $\mathbf{a}_0$ , această forță fictivă este tocmai  $-M\mathbf{a}_0$ . Vom discuta mai jos cazul unei sistem în rotație în care forța fictivă depinde de poziția față de sistem. Tot ce este fictiv în fizică tinde să semene confuzie; puteți însă întotdeauna rezolva o problemă întorcîndu-vă la ecuația (4.6).

## EXEMPLU

**Accelerometru.** Să presupunem că forța aplicată unui corp de masă  $M$  printr-un arc întins în direcția  $x$  este  $F_x = -Cx$ , unde  $C$  este o constantă. Să considerăm un sistem neinerțial cu accelerația  $\mathbf{a}_0 = a_0\hat{x}$  în direcția  $x$ . Dacă, în sistemul neinerțial, corpul de masă  $M$  este în repaus, atunci accelerația  $\mathbf{a}$  în acest sistem este zero și  $\mathbf{F} = M(\mathbf{a} + \mathbf{a}_0)$  se reduce la:

$$F_x = Ma_0 = -Cx$$

<sup>1</sup> În prima temă avansată vom discuta cazul general al mișcării într-un sistem în rotație unde  $\mathbf{a}_I - \mathbf{a}$  depinde de viteza și poziția față de sistemul accelerat.

astfel încît:

$$x = - \frac{Ma_0}{C} \quad (4.9)$$

Sau folosind forța fictivă:

$$F + F_{0x} = Ma = 0$$

$$\bar{F}_x = -F_{0x}$$

$$-Cx = Ma_0$$

care este identică cu relația (4.9). Deplasarea  $x$  este proporțională cu, și opusă în direcție accelerației  $a_0$  a sistemului neinertial. Sistemul neinertial poate fi un avion sau un automobil. Vedem că relația (4.9) descrie funcționarea unui *accelerometru* în care corpul de masă  $M$  este fixat de un arc și obligat să se miște în direcția accelerației. Deplasarea  $x$  a corpului măsoară accelerația  $a_0$  a sistemului de referință neinertial.

## EXEMPLU

Forța centrifugă și accelerația centripetă într-un sistem în rotație uniformă. Deși, vom discuta mai în detaliu sistemele în rotație, în temele avansate de la sfîrșitul acestui capitol, merită să discutăm acum un exemplu simplu și comun. Să considerăm un punct material de masă  $M$  în repaus într-un sistem neinertial, astfel încît față de acest sistem  $a = 0$ . Sistemul neinertial se rotește uniform în jurul unei axe fixe, față de un sistem inertial. S-a văzut în capitolul 2 că accelerația punctului este:

$$a_0 = -\omega^2 r \quad (4.10)$$

în raport cu sistemul inertial, unde  $r$  este îndreptat de la axă spre particulă și perpendicular pe axă.

Ecuatia (4.10) exprimă faimoasa *accelerație centripetă*. Cu ajutorul unui arc întins corpul poate fi obligat să rămînă în repaus. Cum am precizat că în sistemul neinertial  $a = 0$  cu relațiile (4.7) și (4.8) obținem:

$$F = -F_0 = Ma_0 = -M\omega^2 r. \quad (4.11)$$

Forța fictivă  $F_0$  din acest exemplu se numește *forță centrifugă*; ea este  $F_0 = M\omega^2 r$ ; și este orientată dinspre axă spre în afară. Forța centrifugă este, în acest exemplu, echilibrată de forța elastică  $F$  a arcului pentru a produce accelerație nulă (masa în repaus) în sistemul neinertial în rotație.

Dacă  $M = 100g$ ,  $r = 10$  cm iar sistemul se rotește cu 100 de rotații pe secundă, care este valoarea forței centrifuge? Avem  $F_0 = M\omega^2 r = (10^2)(2\pi \times 100)^2(10) \approx 4 \times 10^8$  dyn, sau  $(0,1)(2\pi \times 100)^2(0,1) \approx 4 \times 10^3$  N.

## EXEMPLU

Experiențe într-un lift în cădere liberă. Fie accelerația unui sistem neinertial, un ascensor în cădere liberă,

$$a_0 = -g \hat{y}$$



unde  $\hat{y}$  este îndreptat în sus de la suprafața pământului iar  $g$  este accelerația gravitației. Această accelerație corespunde unei căderi libere sub acțiunea gravitației. Din (4.8) forța fictivă asupra corpului din sistemul neinertial este:

$$F_0 = -Ma_0 = M\hat{g}y.$$

Asupra unui corp ce nu este fixat de ascensor acționează suma dintre forța gravitațională  $F = -M\hat{g}y$  și forța fictivă  $F_0 = M\hat{g}y$  astfel încît forța aparentă totală în sistemul neinertial al liftului în cădere liberă este zero:

$$F + F_0 = 0$$

Corpul nu este deci accelerat față de sistemul neinertial. Aceasta este o formă de „imponderabilitate”. Corpul apare suspendat în spațiu dacă n-a avut o viteză inițială relativă la lift.

## EXEMPLU

**Pendulul Foucault.** Pendulul Foucault ne dovedește că Pământul este un sistem neinertial în rotație (vezi fig. 4.12). Experiența, cu public, a fost făcută pentru prima oară de către Foucault în 1851 sub marea cupolă a Panteonului din Paris, folosind un corp cu masa de 28 kg suspendat de un fir lung de aproape 70 m. Modul de fixare al capătului de sus al firului dădea pendulului posibilitatea să oscileze cu egală libertate în orice direcție. Perioada unui pendul de această lungime este de aproximativ 17 s (vezi cap. 7).

La nivelul solului, direct sub punctul de suspensie și în jurul lui s-a construit un cerc metalic cu raza de 3 m. În acest cerc s-a pus nisip astfel încît, la baza pendulului, un vîrf metalic îndreptat în jos zgîria nisipul la fiecare balans. Pe măsură ce se desfășurau balansuri succesive, apărea că planul mișcării pendulului (văzut de sus) se rotește în direcția orară. Într-o oră pendulul și-a modificat planul de oscilație cu peste  $11^\circ$ . Un cerc complet a fost făcut în 32 h. Într-un balans, planul se deplasa cu 3 mm, măsurați pe cercul cu nisip.

De ce se rotește planul pendulului? Dacă experiența Foucault ar fi fost făcută la polul nord al Pământului, am fi văzut imediat că planul de oscilație al pendulului ar fi rămas fix față de un sistem inertial, în timp ce Pământul s-ar roti sub pendul o dată la fiecare 24 h. Rotația Pământului se face în sens antiorar dacă este văzută de deasupra polului nord (să zicem că din steaua polară), și astfel un observator urcat pe o scară la polul nord are impresia că planul pendulului se rotește în sens orar în raport cu el.

Situația începe să se schimbe (și este mai greu de analizat) pe măsură ce părăsim polul nord, iar timpul pentru un cerc complet se lungeste. Să considerăm vitezele relative ale punctelor din extremitatea nordică și sudică de pe cercul de nisip de rază  $r$ , ca în figura 4.13. Punctul sudic este mai îndepărtat de axa de rotație a Pământului și se va mișca în spațiu mai repede decît punctul nordic. Dacă  $\omega$  este viteza unghiulară a Pământului iar  $R$  este raza Pământului atunci centrul cercului de nisip se mișcă cu o viteză  $\omega R \cos \varphi$ , unde  $\varphi$  este latitudinea Parisului ( $48^\circ 51' N$ ) măsurată de la ecuatorul Pământului. Punctul cel mai nordic de pe cerc se mișcă cu viteza:

$$v_N = \omega R \cos \Phi - \omega r \sin \Phi$$

după cum vedem din figură, iar punctul cel mai sudic se mișcă cu viteza:

$$v_S = \omega R \cos \Phi + \omega r \sin \Phi.$$

Diferența dintre oricare din cele două viteze și viteza centrului cercului este:

$$\Delta v = \omega r \sin \Phi.$$



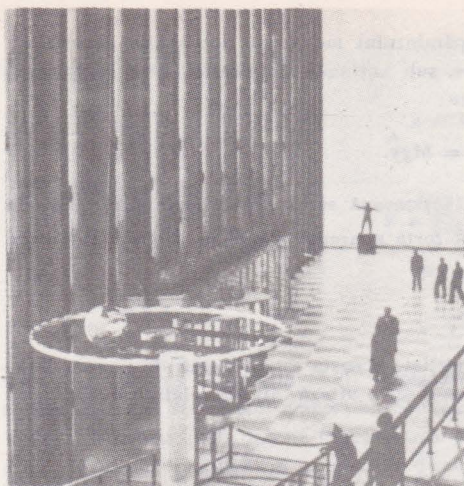


FIG. 4.12. Un pendul Foucault instalat la cartierul general al Națiunilor Unite de la New York. Sfera, din stînga fotografiei, este placată cu aur și cîntărește 91 kg. Ea este suspendată de tavanul aflat la 25 m deasupra pardoselei holului central. Un fir de oțel inoxidabil o susține în așa fel încît să poată oscila liber în orice plan. Sfera oscilează direct deasupra unui inel metalic cu un diametru de 2 m. Sfera oscilează continuu ca un pendul deplasîndu-și ușor planul în direcție orară, oferind astfel o dovadă vizuală a rotației Pămîntului. Un ciclu complet durează aproximativ 36 h 45 min. Pe bilă se află înscris un mesaj din partea Reginei Iuliana a Olandei: „Este un privilegiu de a trăi astăzi și mîine” (*United Nations photograph*).

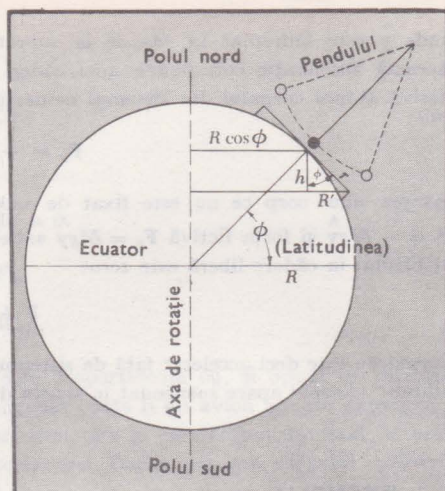


FIG. 4.13. Pendulul Foucault, mult exagerat în dimensiune în raport cu Pămîntul, este arătat la un unghi aproximativ egal cu latitudinea Parisului. Cercul de nisip de sub pendul are raza  $r$ . Distanța de la axa Pămîntului la centrul de balans al pendulului este  $R \cos \Phi$ . Din cauza rotației Pămîntului partea sudică a cercului de nisip se mișcă mai repede decît partea nordică (relativ la un sistem inerțial).

Dacă este pornit pendulul în planul nord – sud printr-un impuls dat din poziția de repaus în centrul cercului atunci componenta est – vest a vitezei în spațiu va fi aceeași cu cea a centrului cercului. Circumferința cercului este  $2\pi r$ , astfel încît, dacă  $\Delta v$  este constant de-a lungul cercului, timpul  $T_0$  necesar unei parcurgeri complete a cercului este:

$$T_0 = \frac{2\pi r}{\omega r \sin \Phi} = \frac{24 \text{ h}}{\sin \Phi}$$

La ecuator  $\sin \Phi = 0$  și timpul devine infinit.

Ce se întîmplă cînd planul pendulului ajunge să se suprapună peste planul est – vest ce trece prin centrul cercului? De ce ar trebui  $\Delta v$  să rămînă și acum același ca în planul nord-sud? Este greu de văzut acest lucru, fără a face referiri la globul pămîntesc. Să luăm o bucată de carton și s-o facem să atingă globul în Paris (luăm un glob școlar); s-o facem să fie normală în acest punct și să fie orientată în planul est – vest. Direcția normală la suprafața Pămîntului este de-a lungul firului pendulului. Cu o mîină vom ține fix cartonul în timp ce cu cealaltă mîină rotim încet globul. Notăți că o parte a liniei de contact a cartonului cu globul pare că se mișcă înspre sud în timp ce cealaltă pare că se mișcă spre nord. Simpla contemplație sau o analiză mai detaliată ne dă pentru  $\Delta v$  aceeași valoare ca cea de mai sus: planul pendulului se rotește în fapt relativ la inelul de pe podeaua Panteonului cu viteză unghiulară constantă  $\omega \sin \Phi$ , unde  $\omega$  este viteza unghiulară a Pămîntului iar  $\Phi$  este latitudinea. În multe cărți de mecanică de nivel superior se găsește o tratare matematică a ecuației de mișcare a pendulului Foucault.



## VITEZA ABSOLUTĂ ȘI VITEZA RELATIVĂ

Are viteza absolută vreo semnificație fizică? În acord cu toate experimentele făcute pînă acum răspunsul este *nu*. Sîntem astfel conduși la o ipoteză fundamentală, ipoteza *invarianței Galilei* (sau *galileană*):

Legile fundamentale ale fizicii sînt identice în orice sistem de referință ce se mișcă cu viteză uniformă (neaccelerat) unul în raport cu celălalt.

În concordanță cu această ipoteză, un observator închis într-o cameră fără ferestre nu poate observa prin nici o experiență dacă este în repaus sau în mișcare uniformă față de stelele fixe. Numai uitîndu-se pe fereastră, astfel încît să compare mișcarea sa cu cea a stelelor, ar putea zice un observator că se află în mișcare uniformă în raport cu ele. Chiar și atunci n-ar putea să decidă dacă se deplasează el ori se deplasează stelele. Principiul de invarianță Galilei a fost unul dintre primele introduse în fizică. El a fost fundamental pentru imaginea lui Newton despre univers; a supraviețuit numeroaselor experiențe și este una dintre pietrele de bază ale teoriei restrînsă a relativității. Ipoteza aceasta este într-atît de simplă încît ar fi fost luată în considerație chiar și în absența unei evidențe puternice. După cum vom vedea în capitolul 11 ipoteza invarianței Galilei este în întregime consistentă cu teoria restrînsă a relativității.

Ce folos putem trage din această ipoteză? Ipoteza că viteza absolută nu are nici un sens în fizică restrînge în parte forma și conținutul tuturor legilor fizicii, atît cele cunoscute cît și cele nedescoperite încă. Dacă ipoteza este adevărată, legile fizicii trebuie să fie aceleași față de doi observatori care se deplasează cu viteze diferite dar fără accelerație relativă. Să presupunem că amîndoi observă același fenomen particular, cum ar fi ciocnirea a două particule. Din cauza vitezelor diferite ale celor doi observatori, evenimentul urmărit va fi descris în mod diferit de către fiecare dintre ei. Utilizînd legile fizicii putem prezice ce observații va face unul dintre observatori, cum vor interacționa particulele, și, în final, cum îi vor apărea celui de-al doilea observator.

Legile fizicii celui de-al doilea observator pot fi astfel deduse, ori obținute din cele ale celui dintîi, prin două șiruri de argumente diferite. Pe de o parte ele sînt prin ipoteză aceleași cu cele ale primului. Pe de altă parte, putem prezice legile celui de-al doilea observator din ceea ce am prezis deja cu privire la observațiile sale referitoare la fenomenele descrise de legile primului observator. Cele două metode dau aceleași rezultate pentru legile concrete ale fizicii. Înainte de a continua, să dăm cîteva rezultate empirice privind maniera în care doi observatori, unul deplasîndu-se cu viteză constantă în raport cu celălalt, descriu același eveniment fizic.

## TRANSFORMAREA GALILEI

Discutînd acum felul în care doi observatori măsoară o anumită lungime și un anumit interval de timp, putem stabili modul în care vor fi comparate măsurătorile făcute de ei altor mărimi fizice. Fie  $S$  un anumit sistem de coordonate cartezian și inerțial și fie  $S'$  alt sistem de coordonate cartezian și inerțial în mișcare cu viteza  $V$  în raport cu primul, după cum se arată în figura 4.14. Axele  $x'$ ,  $y'$ ,  $z'$  ale lui  $S'$  sînt paralele cu axele  $x$ ,  $y$ ,  $z$  ale lui  $S$ . Alegem pe  $V$  în direcția  $x$ . Vrem să comparăm măsurătorile de timp și de distanță ale unui observator legat de sistemul  $S'$  cu cele ale unui observator aflat în repaus



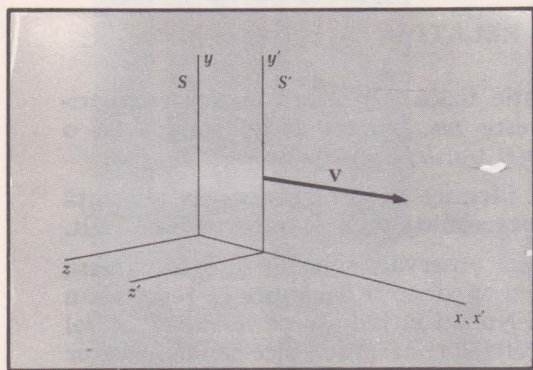


FIG. 4.14. Să presupunem că  $S$  este un sistem inerțial și că  $S'$  se mișcă cu viteză constantă  $V$  relativ la  $S$ . Atunci  $S'$  trebuie să fie de asemenea inerțial.

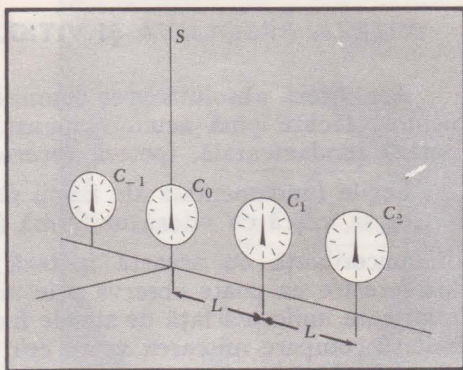


FIG. 4.15. Să plasăm ceasurile sincronizate  $C_0, C_1$  etc. la intervale de lungime  $L$  de-a lungul axei  $x$ , în repaus față de  $S$ .

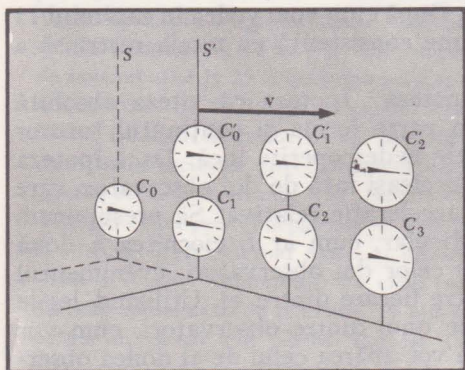


FIG. 4.16. Dacă plasăm ceasurile similare  $C'_0, C'_1$  etc., în repaus față de  $S'$ , atunci un observator din  $S$  va vedea aceste ceasuri ca fiind sincronizate atât între ele cât și cu  $C_0, C_1$  etc., în acord cu transformările Galilei.

față de sistemul  $S$ . În cele din urmă rezultatul acestei comparații poate fi decis numai de experiență.

Dacă cei doi observatori își construiesc orologi identice ei pot face următoarea experiență: presupunem întâi că observatorul din  $S$  își distribuie orologiile de-a lungul axei  $x$  și le face să arate aceeași oră, ca în figura 4.15<sup>1</sup>. După cum vom vedea în capitolul 11, această operație este mult mai complicată decât pare; presupunem, însă, aici că viteza luminii este infinită. Putem compara acum indicațiile ceasurilor din  $S'$  cu ceasurile 1, 2, 3, ..., din  $S$ , pe măsură ce  $S'$  trece pe lângă ele (vezi fig. 4.16). Dacă ar fi să facem această experiență cu un orologiu real macroscopic, ar trebui să ne restrângem, din motive practice, la viteze  $V$  de ordinul  $10^4$  m/s, viteză tipică de satelit al Pământului. În aceste condiții  $V/c \ll 1$  și experiența confirmă faptul că dacă

<sup>1</sup> Acest procedeu poate fi îmbunătățit, corectând timpul necesar ca imaginea obiectelor mai îndepărtate să ajungă la noi, astfel încât un ceas aflat la distanța  $L$  m va apărea că este în întârziere față de un ceas din apropiere cu  $L/c$  s, unde  $c = 3 \times 10^8$  m/s este viteza luminii.



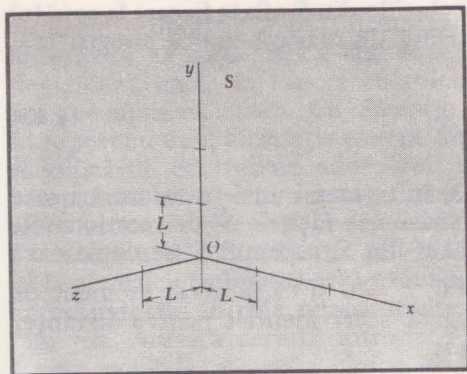


FIG. 4.17. (a) Să marcăm distanțe egale  $L$  de-a lungul axelor  $(x, y, z)$  ale lui  $S$ .

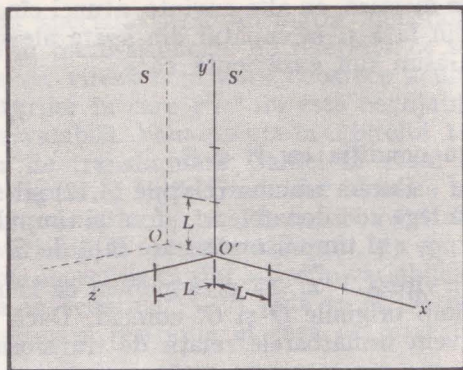
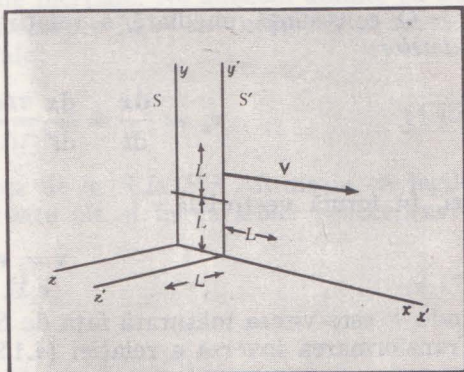


FIG. 4.17. (b) Și de-a lungul axelor  $(x', y', z')$  ale lui  $S'$ .

FIG. 4.17. (c) Atunci față de un observator aflat în  $S$ , lungimile din  $S'$  apar nemodificate chiar și când  $S$  se mișcă conform unei transformări Galilei.



orologiul din  $S'$  a fost făcut să coincidă cu ceasul 1 el va coincide cu 2, 3, 4, ... În limita erorilor de măsură<sup>1</sup> putem spune că:

$$t' = t \quad (4.12)$$

cu alte cuvinte, timpul citit în  $S'$  este egal cu timpul citit în  $S$ . Aici  $t$  se referă la timpul unui eveniment în  $S$  iar  $t'$  la timpul unui eveniment în  $S'$ .

Acest rezultat nu este evident prin sine însuși, nici nu este în întregime exact pentru orice viteză  $V$ , după cum vom vedea în capitolul 11. Putem, de asemenea, măsura dimensiunea relativă a unui metru de măsură aflat în repaus și în mișcare (vezi fig. 4.17 a la c). Vrem să știm mărimea aparentă a unui metru de măsură aflat în repaus în  $S'$  față de un observator din  $S$ . Un mod simplu de a afla acest lucru este de a folosi din nou orologiile și de a înregistra simultan pozițiile celor două capete ale metrului de măsură aflat

<sup>1</sup> Teoria relativității prezice că pentru viteza  $V = 10^4$  m/s  $t'$  și  $t$  trebuie să difere cu numai o parte în  $2 \times 10^9$  sau cu mai puțin de 1 s în 50 de ani. Deși se pot construi acum ceasuri cu o asemenea precizie, până la lansarea sateliților n-a existat nici o posibilitate de a observa un ceasornic în mișcare cu viteza de  $10^4$  m/s un timp suficient de lung pentru a permite o măsurătoare. Egalitatea  $t = t'$  pentru  $V \ll c = 3 \times 10^8$  m/s este o simplă extrapolare din experiență și nu se bazează pe date măsurate cu mare precizie.

în mișcare, cu alte cuvinte, atunci cînd orologiile din  $S$  aflate fiecare la capătul din față și la capătul din spate ale metrului de măsură indică aceeași oră. Găsim din experiență că:

$$L' = L \quad (4.13)$$

cu condiția ca  $V \ll c^1$ .

Putem rezuma relațiile (4.12) și (4.13) în termenii unei transformări care să lege coordonatele  $x', y', z'$  și timpul  $t'$  măsurate față de  $S'$  de coordonatele  $x, y, z$  și timpul  $t$  măsurate față de  $S$ . Văzut din  $S$ , sistemul  $S'$  se deplasează cu viteza  $V \hat{x}$ . Să presupunem că la  $t = 0, t' = 0$  și că la acest moment de timp originile  $O$  și  $O'$  coincid. Dacă alegem scări identice pentru distanțe, avem următoarele relații de transformare:

$$t = t'; \quad x = x' + Vt'; \quad y = y'; \quad z = z' \quad (4.14)$$

Această transformare se numește *transformare Galilei* și este ilustrată în figura 4.18.

O consecință imediată a relațiilor (4.14) o constituie *legea adunării vitezelor*:

$$v_x = \frac{dx}{dt} = \frac{dx}{dt'} = \frac{dx'}{dt'} + V = v'_x + V$$

ori, în formă vectorială:

$$\mathbf{v} = \mathbf{v}' + \mathbf{V} \quad (4.15)$$

unde  $\mathbf{v}'$  este viteza măsurată față de  $S'$  iar  $\mathbf{v}$  este viteza măsurată față de  $S$ . Transformarea inversă a relației (4.15) este simplă  $\mathbf{v}' = \mathbf{v} - \mathbf{V}$ .

Dacă definiția unei transformări Galilei între  $S$  și  $S'$ , relația (4.14), este combinată cu postulatul fundamental care afirmă că legile fizicii sînt identice dacă ar fi determinate de fizicieni din  $S$  sau din  $S'$ , putem formula următoarea propoziție:

Legile fundamentale ale fizicii sînt neschimbate ca formă, în două sisteme de referință legate printr-o transformare Galilei.

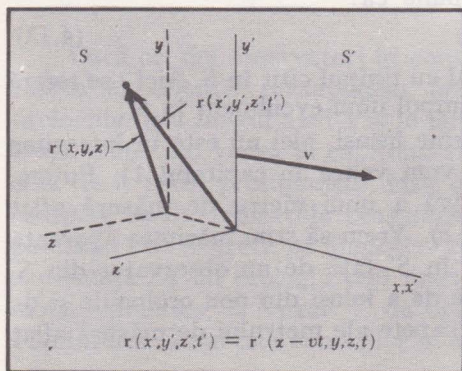


FIG. 4.18. Putem rezuma transformările Galilei de la  $S$  la  $S'$ :  $x' = x - Vt$ ;  $y' = y$ ;  $z' = z$ ;  $t' = t$ .

<sup>1</sup> O astfel de experiență n-a fost făcută cu mare precizie, iar credința în egalitatea  $L = L'$  pentru  $V \ll c$  se bazează în primul rînd pe experiența noastră calitativă, pe simplitatea ipotezei și pe faptul că această supoziție nu conduce la nici un fel de paradoxuri sau inconsistențe.



Această propoziție este întrucâtva mai specială decât afirmația generală anterioară că legile fizicii sînt identice în toate sistemele de referință ce se deplasează unele în raport cu celelalte cu viteză constantă deoarece acum am presupus că  $t' = t$ . Cu excepția cazurilor în care  $v^2/c^2$  nu este neglijabil în raport cu unu, afirmația este pe deplin valabilă. Vom discuta în capitolul 11 modificările ce trebuie aduse relațiilor de transformare Galilei în cazul  $v$  comparabil cu  $c$  pentru a ne asigura de faptul că legile fizicii sînt identice în orice sistem de referință ce se mișcă cu viteză uniformă unul în raport cu altul.

Prezentele considerații privind invarianța la transformările (4.14) spun că legile fizicii trebuie să aibă exact același aspect fie că sînt scrise în variabilele accentuate fie în cele neaccentuate, ca în ecuațiile (4.17) pînă la (4.19) de mai jos. Această cerință introduce o serioasă restricție în ceea ce privește forma posibilă a legilor fizice.

Din relația  $\mathbf{v} = \mathbf{v}' + \mathbf{V}$ , unde  $\mathbf{V}$  este viteza relativă dintre cele două sisteme de referință, rezultă

$$\Delta \mathbf{v} = \Delta \mathbf{v}'.$$

O variație de viteză observată din  $S$  este egală cu o variație de viteză observată din  $S'$ ; atît  $S$  cît și  $S'$  fiind sisteme inerțiale. Ne aducem aminte că s-a presupus că  $\mathbf{V}$  nu se modifică în timp. Deoarece  $\Delta t = \Delta t'$  urmează că accelerațiile observate din  $S$  și din  $S'$  sînt egale:

$$\mathbf{a} \equiv \frac{\Delta \mathbf{v}}{\Delta t} = \frac{\Delta \mathbf{v}'}{\Delta t'} \equiv \mathbf{a}'. \quad (4.16)$$

Cum se modifică forța  $\mathbf{F}$  în trecerea de la  $S$  la  $S'$ ? Afirmația că legile fizicii sînt aceleași în variabile accentuate cît și în variabile neaccentuate conduce la:

$$\mathbf{F}' = M \mathbf{a}' \quad (4.17)$$

dacă:

$$\mathbf{F} = M \mathbf{a} \quad (4.18)$$

cu condiția ca masa  $M$  să fie independentă de viteză. Dar am arătat în (4.16) că  $\mathbf{a} = \mathbf{a}'$ , de unde:

$$\mathbf{F} = M \mathbf{a}' = \mathbf{F}' \quad (4.19)$$

și astfel forțele sînt egale:  $\mathbf{F} = \mathbf{F}'$ . Tragem concluzia că dacă folosim relația  $\mathbf{F} = M \mathbf{a}$  pentru a defini forța, observatori aflați în sisteme de referință inerțiale vor cădea de acord asupra mărimii și direcției forței  $\mathbf{F}$  independent de vitezele relative ale sistemelor de referință.

**Conservarea impulsului.** În capitolul 3 (pagina 102) am enunțat legea conservării impulsului. O vom demonstra acum presupunînd valabile invarianța Galilei precum și conservarea energiei și a masei. Această demonstrație are avantajul de a nu folosi faptul că forțele de acțiune și reacțiune sînt egale, fapt ce ar putea ridica semne de întrebare din cauza vitezei finite de propagare a forței. Anumite probleme ca, de exemplu, ciocnirile atomice se fac deseori cu participarea radiației și în acest stadiu nu sîntem în măsură să includem și impulsul radiației.

Vom considera două particule libere 1 și 2, care au inițial vitezele  $\mathbf{v}_1$ ,  $\mathbf{v}_2$ . Pozițiile inițiale (și finale) sînt considerate a fi la distanțe foarte mari,



astfel încît la momentele inițial și final particulele nu interacționează. Din cunoștințele dumneavoastră de fizică (ori din capitolul 5) știți că energia cinetică inițială a particulelor este:

$$\frac{1}{2} M_1 v_1^2 + \frac{1}{2} M_2 v_2^2.$$

Să lăsăm particulele să se ciocnească; nu este necesar ca ciocnirea să fie elastică. Impulsul se conservă chiar dacă ciocnirea nu este elastică. Energia cinetică după ciocnire este:

$$\frac{1}{2} M_1 w_1^2 + \frac{1}{2} M_2 w_2^2$$

unde  $w_1$  și  $w_2$  sînt vitezele după ciocnire <sup>1</sup>, mult după ciocnire, în așa fel încît particulele să nu mai interacționeze. Legea conservării energiei ne spune că:

$$\frac{1}{2} M_1 v_1^2 + \frac{1}{2} M_2 v_2^2 = \frac{1}{2} M_1 w_1^2 + \frac{1}{2} M_2 w_2^2 + \Delta\mathcal{E} \quad (4.20)$$

unde  $\Delta\mathcal{E}$  (care poate fi ori pozitiv ori negativ) este modificarea energiei interne de excitare a particulelor în urma ciocnirii. Va trebui să excludem dintre considerațiile prezente acele ciocniri în care se emite sunet sau lumină deoarece nu sîntem încă pregătiți să includem în calculele noastre și impulsurile lor.

Excitația internă poate fi o rotație sau o vibrație internă; ar putea fi excitarea unui electron legat dintr-o stare cu energie mai joasă într-o stare cu energie mai înaltă. Într-o ciocnire elastică  $\Delta\mathcal{E} = 0$ , dar nu este nevoie să ne restrîngem demonstrația la ciocnirile elastice <sup>2</sup>. Am presupus aici că masele  $M_1$  și  $M_2$  nu se modifică după ciocnire.

Să analizăm acum aceeași ciocnire în sistemul de referință accentuat, în mișcare cu viteza uniformă  $V$  în raport cu sistemul de referință inițial neaccentuat. În sistemul de referință accentuat vitezele inițiale sînt  $v'_1$  și  $v'_2$  iar vitezele finale  $w'_1$  și  $w'_2$ . Avem:

$$\begin{aligned} v'_1 &= v_1 - V & v'_2 &= v_2 - V \\ w'_1 &= w_1 - V & w'_2 &= w_2 - V. \end{aligned} \quad (4.21)$$

Legea conservării energiei în sistemul de referință accentuat ne dă:

$$\frac{1}{2} M_1 (v'_1)^2 + \frac{1}{2} M_2 (v'_2)^2 = \frac{1}{2} M_1 (w'_1)^2 + \frac{1}{2} M_2 (w'_2)^2 + \Delta\mathcal{E}. \quad (4.22)$$

<sup>1</sup> De notat că am folosit  $w$  în loc de  $v'$  (care fusese folosit în capitolul 3) pentru viteza după ciocnire. Am rezervat aici simbolurile accentuate pentru mărimile raportate la sistemul de referință  $S'$ .

<sup>2</sup> Într-o ciocnire neelastică nu este violat principiul conservării energiei. Ceea ce se petrece constă în faptul că energia cinetică pierdută sau cîștigată de mișcarea particulelor reapare sub formă de mișcare de rotație, de vibrație sau alt tip de excitație internă a corpurilor. O astfel de mișcare internă poate fi adesea denumită mișcare termică, sau căldură (volumul 5).



Am presupus că energia de excitație  $\Delta\epsilon$  nu se modifică atunci când schimbăm sistemele de referință. Acest fapt este în concordanță cu experiența.

Dacă legea conservării energiei trebuie să fie invariantă la o transformare Galilei, atunci, atât în sistemele accentuate cât și în cele neaccentuate energia cinetică inițială trebuie să fie egală cu energia cinetică finală plus  $\Delta\epsilon$ , energia internă de excitație. Adică, trebuie să fie satisfăcute atât (4.20) cât și (4.22). Se poate de asemenea exprima conservarea energiei în sistemul accentuat substituind relația de transformare (4.21) în (4.22) și ținând cont că  $(v_1')^2 = v_1^2 - 2\mathbf{v}_1 \cdot \mathbf{V} + V^2$  etc., relația (4.22) devine:

$$\begin{aligned} & \frac{1}{2} M_1(v_1^2 - 2\mathbf{v}_1 \cdot \mathbf{V} + V^2) + \frac{1}{2} M_2(v_2^2 - 2\mathbf{v}_2 \cdot \mathbf{V} + V^2) = \\ & \qquad \qquad \qquad (4.23) \\ & = \frac{1}{2} M_1(w_1^2 - 2\mathbf{w}_1 \cdot \mathbf{V} + V^2) + \frac{1}{2} M_2(w_2^2 - 2\mathbf{w}_2 \cdot \mathbf{V} + V^2) + \Delta\epsilon. \end{aligned}$$

De notat că termenii în  $V^2$  se anulează în ambii membri. Această expresie este identică cu legea conservării energiei din sistemul neaccentuat [relația (4.20)] cu condiția ca în (4.23) să se reducă produsele scalare:

$$(M_1\mathbf{v}_1 + M_2\mathbf{v}_2) \cdot \mathbf{V} = (M_1\mathbf{w}_1 + M_2\mathbf{w}_2) \cdot \mathbf{V}. \quad (4.24)$$

Relația (4.24) trebuie să fie adevărată pentru orice valoare a lui  $\mathbf{V}$ . Atunci soluția generală a ecuației (4.24) este:

$$\boxed{M_1\mathbf{v}_1 + M_2\mathbf{v}_2 = M_1\mathbf{w}_1 + M_2\mathbf{w}_2}$$

Iată tocmai *legea conservării impulsului*.

Să repetăm ce am făcut pînă acum: am presupus că într-o ciocnire se conservă energia și că se conservă și masa și am mai presupus că aceste legi de conservare sînt valabile în orice sisteme de referință inerțiale. Cu alte cuvinte, am presupus invarianța Galilei. Am găsit astfel că aceste legi sînt valabile în diferite sisteme inerțiale numai dacă în ciocnire se conservă impulsul. N-am folosit legea conservării masei în întreaga ei generalitate. Dacă ciocnirea se face și cu un schimb de masă astfel încît după ciocnire  $M_1$  să devină  $\bar{M}_1$  iar  $M_2$  să devină  $\bar{M}_2$  dar cu  $M_1 + M_2 = \bar{M}_1 + \bar{M}_2$  putem arăta conservarea impulsului folosind aceiași pași ca mai sus. Această demonstrație este făcută în cel de-al doilea exemplu care urmează.

## EXEMPLU

**Ciocnirea neelastică a două corpuri de mase egale.** Pentru a exemplifica ideile de mai sus să analizăm, ciocnirea neelastică a două corpuri de mase egale, din două sisteme de referință diferite, primul dintre ele fiind cel în care o particulă este inițial în repaus iar cel de-al doilea sistem fiind cel în care cele două corpuri se apropie inițial unul de celălalt cu viteze egale și opuse. După ciocnire cele două corpuri se lipesc unul de celălalt.

Am rezolvat (vezi capitolul 3, pagina 103) problema în primul sistem și am aflat că viteza celor două corpuri după ciocnire este  $v_1/2$ , unde  $v_1$  este viteza corpului în mișcare înainte de ciocnire. Pierderea de energie cinetică este:

$$\Delta\mathcal{E} = \frac{1}{2} m_1 v_1^2 - \frac{1}{2} \cdot 2m_1 \left(\frac{v_1}{2}\right)^2 = \frac{1}{4} m_1 v_1^2.$$

În cel de-al doilea sistem impulsul total este zero; *acest sistem* este denumit adesea *sistemul centrului de masă*. Viteza de mișcare a sistemului centrului de masă este  $v_1/2$ , încît  $v'_1 = v_1 - v_1/2 = v_1/2$  iar  $v'_2 = -v_1/2$ . După ciocnire  $w'_1 = w'_2 = 0$  iar pierderea în energie cinetică este:

$$\Delta\mathcal{E} = \frac{1}{2} m_1 \left(\frac{v_1}{2}\right)^2 + \frac{1}{2} m_1 \left(\frac{v_1}{2}\right)^2 - 0 = \frac{1}{4} m_1 v_1^2.$$

Dacă sînteți preocupați de egalitatea lui  $\Delta\mathcal{E}$  în cele două sisteme de referință puteți rezolva și alte exemple.

### EXEMPLU

**Reacții chimice.** Vom arăta că impulsul se conservă și în reacțiile chimice în care atomii reactanților sînt rearanjați sau schimbați cu conservarea masei totale. Vom presupune că nu există forțe externe (vezi fig. 4.19).

Fie reacția reprezentată prin:



unde BC înseamnă o moleculă formată din atomii B și C. În cursul reacției atomul C se atașază de atomul A pentru a forma AC. Într-un sistem inerțial legea conservării energiei se poate scrie astfel:

$$\frac{1}{2} M_A v_A^2 + \frac{1}{2} (M_B + M_C) v_{BC}^2 = \frac{1}{2} M_B w_B^2 + \frac{1}{2} (M_A + M_C) w_{AC}^2 + \Delta\mathcal{E}. \quad (4.25)$$

Aici  $\Delta\mathcal{E}$  reprezintă modificările în energia de legătură a moleculelor ce iau parte la reacție. În alt sistem inerțial în mișcare față de primul cu viteza  $\mathbf{V}$ , se poate scrie legea conservării energiei, înlocuind pe  $v_A$  cu  $v_A - \mathbf{V}$  etc.:

$$\begin{aligned} & \frac{1}{2} M_A (v_A - \mathbf{V})^2 + \frac{1}{2} (M_B + M_C) (v_{BC} - \mathbf{V})^2 = \\ & = \frac{1}{2} M_B (w_B - \mathbf{V})^2 + \frac{1}{2} (M_A + M_C) (w_{AC} - \mathbf{V})^2 + \Delta\mathcal{E}. \end{aligned} \quad (4.26)$$

Dezvoltînd parantezele vedem că relațiile (4.25) și (4.26) sînt consistente dacă:

$$M_A v_A + (M_B + M_C) v_{BC} = M_B w_B + (M_A + M_C) w_{AC}$$

care este exact formularea legii conservării impulsului.



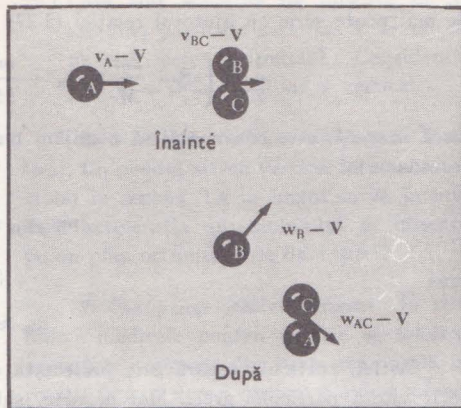
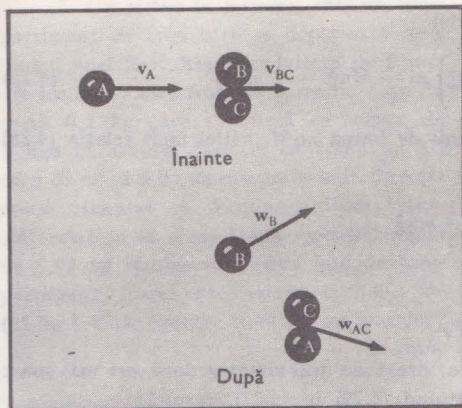


FIG. 4.19. O ciocnire între atomul A și molecula BC avind ca rezultat atomul B și molecula AC. Ciocnirea este văzută în două sisteme de referință.

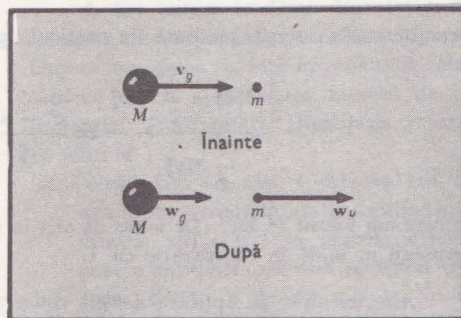


FIG. 4.20. Ciocnirea unei particule grele cu o particulă ușoară. (Notați că vectorii reprezintă viteze nu impulsuri.)

### EXEMPLU

Ciocnirea unei particule grele cu o particulă ușoară. O particulă grea de masă  $M$  se ciocnește elastic cu o particulă ușoară de masă  $m$  (vezi fig. 4.20). Particula ușoară se găsește inițial în repaus. Viteza inițială a particulei grele este  $\mathbf{v}_g = v_g \hat{\mathbf{x}}$ ; viteza finală este  $\mathbf{w}_g$ . Dacă ciocnirea este astfel încât particula ușoară pleacă înainte pe direcția  $(+\hat{\mathbf{x}})$ , care va fi viteza sa  $\mathbf{w}_u$ ? Ce fracțiune din energia particulei grele se pierde în ciocnire?

Din conservarea impulsului rezultă că nu trebuie să existe nici o componentă  $\hat{\mathbf{y}}$  a vitezei finale a particulei grele în cazul acesta particular, astfel încît:

$$Mv_g \hat{\mathbf{x}} = Mw_g \hat{\mathbf{x}} + mw_u \hat{\mathbf{x}}$$

sau

$$Mv_g = Mw_g + mw_u. \quad (4.27)$$

Din conservarea energiei avem ( $\Delta E = 0$  pentru o ciocnire elastică):

$$\frac{1}{2} Mv_g^2 = \frac{1}{2} Mw_g^2 + \frac{1}{2} mw_u^2.$$

Se mai poate scrie cu ajutorul relației (4.27) astfel

$$\frac{1}{2} M \left( w_y^2 + \frac{2m}{M} w_g w_u + \frac{m^2}{M^2} w_u^2 \right) = \frac{1}{2} M w_y^2 - \frac{1}{2} m w_u^2. \quad (4.28)$$

Dacă  $m \ll M$ , este convenabil să neglijăm termenii de forma  $m/M$ , astfel încît relația (4.28) se reduce la:

$$m w_g w_u \approx \frac{1}{2} m w_u^2$$

sau:

$$w_u \approx 2 w_g. \quad (4.29)$$

Astfel, particula ușoară este proiectată cu o viteză de aproximativ două ori mai mare decît viteza particulei grele. Mai departe, substituind (4.29) în (4.27), rezultă:

$$M v_g \approx M w_g + 2 m w_g$$

sau

$$\frac{\Delta v_g}{v_g} = \frac{v_g - w_g}{v_g} \approx \frac{2m}{M + 2m} \approx \frac{2m}{M}. \quad (4.30)$$

Fracțiunea de energie pierdută de particula grea este:

$$\frac{\frac{1}{2} M v_y^2 - \frac{1}{2} M w_y^2}{\frac{1}{2} M v_y^2} = \frac{v_y^2 - w_y^2}{v_y^2} = 1 - \left( \frac{M}{M + 2m} \right)^2 \approx \frac{4m}{M}. \quad (4.31)$$

în care am folosit (4.30)<sup>1</sup>. De notat că atît în relația (4.30) cit și în relația (4.31) am neglijat termenii în  $m/M$  în comparație cu 1.

Alte exemple de aplicare a legii conservării impulsului sînt tratate în capitolul 6.

## PROBLEME

1. Corpul pe o masă în rotație. Un corp trebuie să rămînă în repaus relativ la o masă orizontală (aspră) ce se rotește cu 20 rotații pe minut (rpm). Corpul se

află la 1,50 m de axa de rotație care este verticală. Cît de mare ar trebui să fie coeficientul de frecare? Prezentați într-o schemă forțele de frecare și centrifuge.

<sup>1</sup> Alt mod de a scrie acest lucru se obține folosind pe  $\Delta$  ca operator

$$\frac{\Delta \left( \frac{1}{2} M v_y^2 \right)}{\frac{1}{2} M v_y^2} = \frac{M v_g \Delta v_g}{\frac{1}{2} M v_g} = \frac{2 \Delta v_g}{v_g} \approx \frac{4m}{M}.$$



2. *Un sistem în mișcare.* Într-un compartiment de tren care se deplasează de-a lungul unei linii drepte cu viteza de 5 m/s are loc o ciocnire frontală între un corp de masă 0,1 kg care se mișcă cu viteza de 1 m/s în aceeași direcție cu trenul și alt corp de masă 0,05 kg mișcându-se în direcția opusă trenului cu 5 m/s. Ambele viteze sînt relative la tren. După ciocnire corpul de 0,05 kg rămîne în repaus față de compartiment; care este viteza corpului de 0,1 kg? Cîtă energie cinetică s-a pierdut?

R: - 1,5 m/s.

Descrieți acum ciocnirea din punctul de vedere al unui observator în repaus față de terasament. Se conservă impulsul? Cîtă energie cinetică s-a pierdut în acest sistem?

3. *Accelerația în mișcarea circulară.* Un obiect se mișcă cu viteza constantă  $v$  de 0,5 m/s pe o traiectorie circulară. Vectorul vitezei  $v$  își modifică direcția cu  $30^\circ$  în 2 s

- (a) Găsiți mărimea variației vitezei  $\Delta v$ .  
(b) Găsiți mărimea accelerației medii în acest interval.

R: 0,1295 m/s<sup>2</sup>

- (c) Care este accelerația centripetă a mișcării circulare și uniforme?

R: 0,1316 m/s<sup>2</sup>.

4. *Forța efectivă datorită rotației.* Un obiect fixat pe suprafața unei planete identice în masă și rază cu Pămîntul suferă o accelerație gravitațională nulă la ecuatorul planetei. Cît este lungimea zilei pe acea planetă?

R: 1,4 h.

5. *Mișcarea într-un sistem de referință neinerțial.* Fie un sistem inerțial  $S$  pe suprafața pămîntului și un sistem neinerțial  $S'$  în repaus față de un lift în cădere liberă.

- (a) Care este ecuația de mișcare în  $S'$  a unui corp ce cade liber față de  $S$ ?  
(b) Față de corpul din (a) care sînt forțele fictive și aplicate în  $S$  și  $S'$ ?

- (c) Care sînt ecuațiile de mișcare în  $S'$  ale unei particule care în  $S$  se mișcă pe un cerc orizontal? Considerați  $y = y' = 0$  la  $t = 0$  iar  $y$  vertical.

6. *Pendulul într-un automobil accelerat.* Un pendul atîrnă vertical într-un automobil în repaus. La ce unghi se va inclina dacă accelerația automobilului în mișcare pe un plan orizontal este de 1 m/s<sup>2</sup>?

7. *Centrifuge pentru oameni.* În studiile medicale pentru aviație se folosesc centrifuge compuse din brațe orizontale în rotație față de un ax vertical și avînd subiectul experienței la unul din capete. Dacă distanța subiectului față de centrul de rotație este de 7 m, cît de repede trebuie invirtită centrifuga pentru a-l supune pe subiect la 5  $g$ ? ( $g$  = accelerația gravitației.)

8. *Un sistem accelerat.* Un sistem de referință are o accelerație verticală de 3 m/s<sup>2</sup>. La  $t = 0$  originea sa este în repaus și coincide cu cea a unui sistem inerțial de pe suprafața Pămîntului. (Neglijăți rotația Pămîntului.)

- (a) Considerînd că axa  $y$  este în sus și axa  $x$  este orizontală aflați, neglijînd gravitația,  $x(t)$  și  $y(t)$  în ambele sisteme pentru un obiect care este proiectat orizontal cu viteza de 10 m/s la  $t = 0$ .  
(b) Rezolvați-l pe (a) luînd în considerare gravitația.

9. *Cinematica ciocnirilor; centrul de masă.* Două particule de mase  $M_1 = 0,1$  kg și  $M_2 = 0,04$  kg au vitezele inițiale  $\mathbf{v}_1 = (2,8\hat{x} - 3,0\hat{y}) \times 10^{-2}$  m/s iar  $\mathbf{v}_2 = (7,5 \times 10^{-2}\hat{y})$  m/s. Ele se ciocnesc și după ciocnire vitezele sînt  $\mathbf{v}_1' = (1,2\hat{x} - 2,0\hat{y}) \times 10^{-2}$  m/s și  $\mathbf{v}_2' = (4,0\hat{x} + 5,0\hat{y}) \times 10^{-2}$  m/s.

- (a) Aflați impulsul total.  
(b) Aflați viteza unui sistem de referință în care impulsul total (înainte de ciocnire) să fie zero. Acesta este numit *sistemul centrului de masă*.  
(c) Arătați că după ciocnire impulsul este zero în acest sistem  
(d) Ce fracțiune din energia cinetică inițială nu mai apare ca energie cinetică după ciocnire? Este ciocnirea elastică?

10. Ciocnirea a două corpuri de mase diferite. În cazul ciocnirii a două particule, sistemul de referință în care una este inițial în repaus iar cealaltă se deplasează cu viteza  $v$  se numește *sistemul laboratorului*. Să presupunem că masa în repaus este  $m$  iar cea care se deplasează este  $2m$ .

- Care este viteza sistemului centrului de masă (vezi problema 9) în raport cu sistemul laboratorului?
- Cîtă energie cinetică se pierde în ambele sisteme dacă ciocnirea este complet neelastică, adică particulele se lipesc împreună?
- Dacă ciocnirea este elastică, vitezele particulelor în sistemul centrului de masă își modifică direcția dar nu și mărimea. Aflați o expresie care să lege unghiul de deviere (numit de obicei unghi de împrăștiere) de masa  $m$  atît în sistemul laboratorului cît și în sistemul centrului de masă.

Notăți că în sistemul centrului de masă, unghiul celei de a doua particule este întotdeauna egal cu unghiul primei particule minus  $180^\circ$ . Într-o ciocnire cu mase egale,  $\theta_{lab} = \theta_{c.m.}/2$ . Schemele (diagramele) vectoriale sînt instructive.

11. Accelerarea și deflecția magnetică a electronilor. (Această problemă precum și

problemele de la 12 la 14 sînt o revedere a materialului din capitolul 3.) Să presupunem că sînt emiși electroni, practic în repaus, în punctul  $O$  de pe un plan metalic (vezi fig. 4.21) și că sînt accelerați, de către un cîmp electric, spre un plan paralel aflat la  $2,5 \times 10^{-3}$  m distanță de primul. Un mic orificiu aflat în punctul  $P$  permite fasciculului de electroni să iasă într-o regiune fără cîmp electric (totul într-un vid înalt, de bună seamă). Se produce cîmpul electric prin aplicarea tensiunilor de  $-300$  V și  $0$  V celor două plăci metalice, ca în figură. Vrem să curbăm fasciculul cu  $90^\circ$  pe o traiectorie circulară de rază  $5 \times 10^{-3}$  m, cu un cîmp magnetic  $B$  aflat în zona circulară din figură. Calculați inducția cîmpului magnetic necesar; precizați și direcția sa.

12. Timpul de tranzit al ionilor. Un puls de ioni de cesiu o dată ionizați  $Cs^+$  este accelerat din repaus de către un cîmp electric de  $30$  kV/m care acționează pe o distanță de  $3,3 \times 10^{-3}$  m, iar după aceea mai parcurg  $1$  mm în  $87 \times 10^{-9}$  s într-un spațiu vidat și fără cîmp.

- Obțineți din aceste date valoarea masei atomice a  $Cs^+$ .

$$R: 2,4 \times 10^{-25} \text{ kg}$$

FIG. 4.21

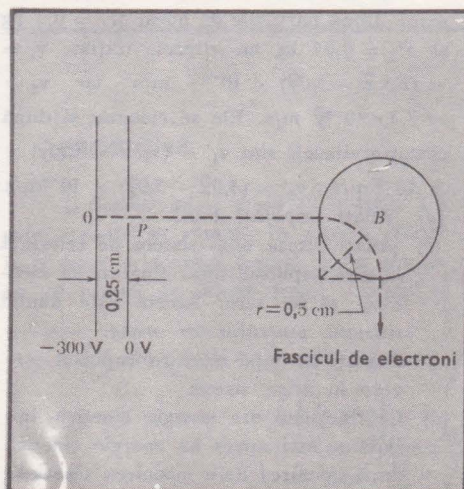
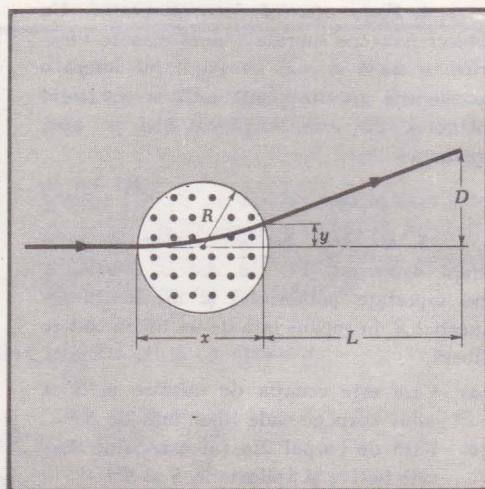


FIG. 4.22





Comparați această valoare cu cea pe care o găsiți în tabele, dicționare de fizică sau manualele de chimie.

(b) Ce timp le-ar lua protonilor să traverseze spațiul de 1 mm?

$$R: 7,2 \times 10^{-9} \text{ s.}$$

**13. Deflecția magnetică a unui fascicul de electroni.** Deflecția unui fascicul de electroni într-un tub catodic se poate face atât cu mijloace magnetice cât și electrostatice. Un fascicul de electroni de energie  $W$  intră într-o regiune cu câmp magnetic transversal și uniform de inducție  $B$ . (Neglijați efectele de margine. Vezi fig. 4.22.)

(a) Dacă  $x$  este distanța din punctul în care electronul intră în regiunea câmpului magnetic și pînă în punctul în care electronul părăsește regiunea, arătați că:

$$y = r \left[ 1 - \sqrt{1 - \left( \frac{x}{r} \right)^2} \right]$$

unde  $r$  este raza de curbură a electronului în câmpul magnetic transversal. Raza de curbură este raza cercului ce

va coincide cu porțiunea curbă a traiectoriei.

(b) Dacă  $R$  este raza polilor magnetici, atunci  $x \approx 2R$  cînd  $r \gg R$ . Folosiți dezvoltarea binomială pentru a arăta că  $y \approx 2R^2/r$ .

**14. Accelerarea într-un ciclotron.** Să presupunem că într-un ciclotron  $\mathbf{B} = B\hat{z}$  și  $E_x = E \cos \omega_c t$ ;  $E_y = -E \sin \omega_c t$ ;  $E_z = 0$  cu  $E$  constant. (Într-un ciclotron real câmpul electric nu este uniform în spațiu.) Vedem că vectorul intensitate a câmpului electric se rotește cu frecvența circulară  $\omega_c$ . Arătați că deplasarea unei particule este descrisă de:

$$x(t) = \frac{qE}{M\omega_c^2} (\omega_c t \sin \omega_c t - \cos \omega_c t + 1);$$

$$y(t) = \frac{qE}{M\omega_c^2} (\omega_c t \cos \omega_c t - \sin \omega_c t)$$

unde la  $t = 0$  particula este în repaus în origine. Schițați primele cîteva cicluri ale deplasării.

## TEME AVANSATE

**Viteza și accelerația într-un sistem de coordonate în rotație.** Vom considera acum un sistem de referință neinerțial care se rotește cu viteză unghiulară constantă  $\omega$  în jurul axei  $z$  a unui sistem inerțial. Restrîngem discuția la cazul unei mișcări de rotație în jurul axei comune  $z$ . (Formulele pentru cazul general pot fi găsite în manuale de mecanică teoretică și sînt date la sfîrșitul acestui paragraf.) Importanța problemei constă în faptul că Pămîntul este un sistem de referință în rotație. În cursul analizei, pe lîngă accelerația centripetă vom considera și accelerația Coriolis, care este importantă pentru mișcarea la scară globală a mărilor și a curenților de aer.

Coordonatele  $(x_R, y_R, z_R)$  ale unui punct  $P$  față de sistemul în rotație se leagă simplu de coordonatele  $(x_I, y_I, z_I)$  ale ace-

luiași punct față de sistemul inerțial. Studiînd geometria figurilor 4.23 și 4.24 vedem că:

$$x_I = x_R \cos \omega t - y_R \sin \omega t$$

$$y_I = x_R \sin \omega t + y_R \cos \omega t \quad (4.32)$$

$$z_I = z_R.$$

Relațiile dintre componentele vitezei în cele două sisteme de coordonate se pot obține derivînd relațiile (4.32) în raport cu timpul. (Pentru simplitate vom folosi punctul pus deasupra unei mărimi pentru a desemna derivata în raport cu timpul, așa cum s-a spus la pagina 95 din capitolul 3. Astfel  $\dot{x} \equiv dx/dt \equiv v_x$  și  $\ddot{x} \equiv d^2x/dt^2 \equiv \dot{v}_x \equiv dv_x/dt$ .) Avem:

$$\dot{x}_I = \dot{x}_R \cos \omega t - \omega x_R \sin \omega t - \dot{y}_R \sin \omega t - \omega y_R \cos \omega t$$

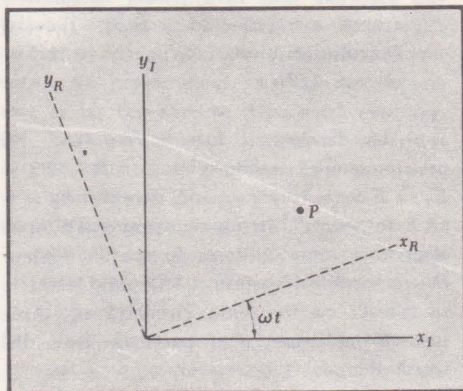


FIG. 4.23. Punctul  $P$  aflat în planul  $xy$  al unui sistem inerțial  $(x_I, y_I)$  și în sistemul în rotație  $(x_R, y_R)$ . Axele coincid la  $t = 0$ , iar rotația se face cu viteza unghiulară  $\omega$  în jurul axei  $z$ .

$$\begin{aligned}\dot{x}_I &= \dot{x}_R \sin \omega t + \omega x_R \cos \omega t + \dot{y}_R \cos \omega t - \\ &\quad - \omega y_R \sin \omega t \\ \dot{y}_I &= \dot{y}_R.\end{aligned}\quad (4.33)$$

Pentru simplitate l-am considerat pe  $\omega$  constant. De notat că pentru o particulă în repaus față de sistemul în rotație ( $\dot{x}_R = \dot{y}_R = \dot{z}_R = 0$ ) relațiile (4.33) se reduc la:

$$\begin{aligned}\dot{x}_I &= -\omega x_R \sin \omega t - \omega y_R \cos \omega t \\ \dot{y}_I &= \omega x_R \cos \omega t - \omega y_R \sin \omega t.\end{aligned}$$

Similar, pentru o particulă în rotație în sistemul inerțial ( $\dot{x}_I = \dot{y}_I = \dot{z}_I = 0$ ) vom avea (după câteva calcule):

$$\dot{x}_R - \omega y_R = 0; \quad \dot{y}_R + \omega x_R = 0; \quad \dot{z}_R = 0$$

din relațiile (4.33).

Componentele accelerației se pot afla derivând relațiile (4.33) în raport cu timpul:

$$\begin{aligned}\ddot{x}_I &= \ddot{x}_R \cos \omega t - 2\omega \dot{x}_R \sin \omega t - \omega^2 x_R \cos \omega t - \\ &\quad - \ddot{y}_R \sin \omega t - 2\omega \dot{y}_R \cos \omega t + \omega^2 y_R \sin \omega t; \\ \ddot{y}_I &= \ddot{x}_R \sin \omega t + 2\omega \dot{x}_R \cos \omega t - \omega^2 x_R \sin \omega t + \\ &\quad + \ddot{y}_R \cos \omega t - 2\omega \dot{y}_R \sin \omega t - \omega^2 y_R \cos \omega t; \\ \ddot{z}_I &= \ddot{z}_R.\end{aligned}\quad (4.34)$$

Observăm că pentru o particulă în repaus față de sistemul în mișcare relația (4.34) se reduce cu ajutorul relației (4.32) la:

$$\begin{aligned}\ddot{x}_I &= -\omega^2(x_R \cos \omega t - y_R \sin \omega t) = \\ &= -\omega^2 x_I\end{aligned}\quad (4.35)$$

$$\begin{aligned}\ddot{y}_I &= -\omega^2(x_R \sin \omega t + y_R \cos \omega t) = \\ &= -\omega^2 y_I.\end{aligned}\quad (4.36)$$

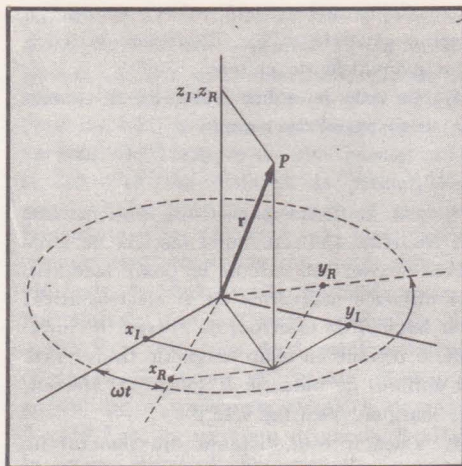


FIG. 4.24. Punctul  $P$  poate fi descris în coordonatele  $x_I, y_I, z_I$  ale sistemului inerțial sau în coordonatele  $x_R, y_R, z_R$  ale sistemului în rotație. Rotația este în jurul axei  $z$ .

Relațiile (4.35) și (4.36) pot fi scrise în formă vectorială astfel:

$$\mathbf{a}_I = -\omega^2 \mathbf{r}_I \quad (4.37)$$

unde  $\mathbf{a}_I \equiv \ddot{\mathbf{r}}_I$  este accelerația particulei față de sistemul inerțial și  $\mathbf{r}_I = x_I \hat{x}_I + y_I \hat{y}_I$ , ca în relația (4.10). Relația (4.37) reprezintă expresia uzuală a accelerației centripete.

Primii termeni din ecuațiile (4.34) reprezintă tocmai accelerația în sistemul de coordonate în rotație ( $\ddot{x}_R$  și  $\ddot{y}_R$ ) proiectată pe axele de coordonate ale sistemului inerțial. Cei de ai doilea termen depind, totuși, de viteza din sistemul în rotație ( $\dot{x}_R$  și  $\dot{y}_R$ ) și vor fi nuli dacă  $x_R = \dot{y}_R = 0$ . Putem să-i înțelegem mai bine, considerind o particulă proiectată radial spre înafară fără forțe reale acționind asupra ei. Traectoria ei reală va fi o linie dreaptă radială, ca în figura 4.25, *a*, dar în sistemul în rotație traectoria sa va arăta ca în figura 4.25, *b*. Această accelerație este numită *accelerație Coriolis*, și forța fictivă pe care o generează se numește *forță Coriolis* (vezi fig. 4.25). Cei de ai treilea termen din ecuațiile (4.34) sînt tocmai termenii care exprimă accelerația centripetă iar forța fictivă care derivă din ei este *forța centrifugă*. Atîta timp cît



$v$  este mic în comparație cu  $\omega r$ , forța Coriolis este mică în comparație cu forța centrifugă.

Pentru a ilustra aceste forțe fictive și a reconcilia considerațiile din cele două sisteme de referință, inerțial și în rotație, să considerăm un avion supersonic zburind spre est de-a lungul ecuatorului cu o viteză de 880 m/s față de pământ. Această situație este ilustrată în figura 4.26. Considerăm că traiectoria avionului urmărește suprafața Pământului; și cum altitudinea este mică în raport cu dimensiunile Pământului, vom considera ca rază a traiectoriei chiar raza Pământului.

Să privim întâi situația din punctul de vedere al sistemului inerțial. Față de acest sistem, avionul se mișcă pe un cerc de rază  $r$  cu viteza  $\omega r + V$ . Această viteză rezultă compunind mișcarea suprafeței Pământului la ecuator cu viteza avionului relativă la sol. Există, desigur, o forță centripetă care determină accelerația centripetă corespunzătoare acestei traiectorii cir-

culare, iar această forță centripetă se obține compunând forța de gravitație cu forța ascensională aerodinamică. Putem atunci scrie:

$$-\frac{GMm}{r^2} + f = -\frac{m(\omega r + V)^2}{r} = -m\omega^2 r - 2m\omega V - \frac{mV^2}{r}$$

unde  $f$  reprezintă forța ascensională,  $m$  este masa avionului, iar semnul minus desemnează o forță sau o accelerație îndreptate spre centru. Rezolvând ecuația în raport cu  $f$ , obținem:

$$f = \frac{GMm}{r^2} - m\omega^2 r - 2m\omega V - \frac{mV^2}{r}$$

sau

$$f = mg - 2m\omega V - \frac{mV^2}{r}$$

În cea de-a doua expresie, am recunoscut pur și simplu că  $GMm/r^2 - m\omega^2 r$  este forța locală efectivă de „gravitație”  $mg$  la ecuator, după cum s-a arătat la pagina 126.

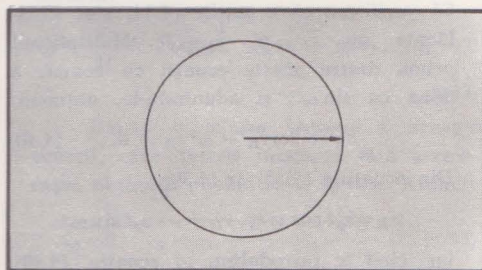


FIG. 4.25. (a) Traiectoria unei particule proiectată radial din centru văzută în sistemul de referință inerțial.

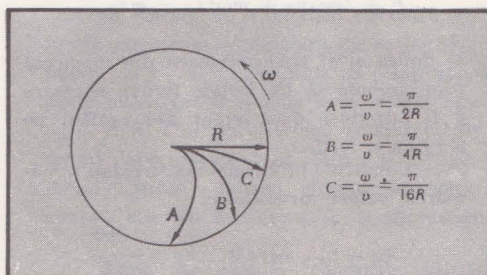
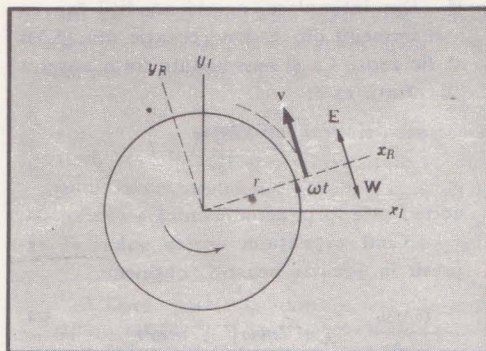


FIG. 4.25. (b) Traiectoria particulei proiectată radial din centru văzută în sistemul de referință în rotație.

FIG. 4.26. Sistemul inerțial și sistemul în rotație pentru Pământ, văzute din spațiul cosmic deasupra Polului nord.  $x_R$  și  $y_R$  se află în planul ecuatorial. Vectorul  $v$  reprezintă viteza avionului supersonic relativă la sol. Zborul se face spre est la înălțime constantă indicată prin curba punctată. Este arătată și direcția locală est-vest.



Tragem concluzia că datorită efectelor combinate ale vitezei avionului în raport cu solul precum și a mișcării de rotație a Pământului, forța aerodinamică ascensională este mai mică decît  $mg$  cu ultimii doi termeni cu semn minus. Dacă folosim valoarea lui  $V$  dată mai sus, cu  $\omega = 7,3 \times 10^{-5}$  rad/s și  $r = 6,4 \times 10^6$  m găsim  $2\omega V = 0,1285$  m/s<sup>2</sup> și  $V^2/r = 0,1210$  m/s<sup>2</sup>. Acestea trebuie scăzute din  $g = 9,78$  m/s<sup>2</sup>, accelerația căderii libere la ecuator. Forța ascensională necesară este redusă cu aproape 2,6%.

Să privim acum aceeași situație din punctul de vedere al sistemului în rotație. Vom utiliza prima ecuație din (4.34) și vom alege originea timpului  $t = 0$  în momentul cînd axele în rotație coincid cu axele inerțiale. Prima ecuație devine atunci:

$$\ddot{x}_I = \ddot{x}_R - 2\omega \dot{y}_R - \omega^2 x_R.$$

Desigur,  $m\ddot{x}_I$  este egal cu forța adevărată  $F$ , și urmînd forma relației (4.7) putem scrie ecuația noastră în felul următor:

$$F + 2m\omega \dot{y}_R + m\omega^2 x_R = m\ddot{x}_R.$$

Al doilea și al treilea termen din membrul sting trebuie să fie forțele fictive necesare a fi introduse dacă vrem să-l egalăm pe  $m\ddot{x}_R$  cu o forță.

Condițiile problemei noastre dau următoarele valori variabilelor:

$$x_R = r; \quad \dot{x}_R = 0; \quad \ddot{x}_R = -\frac{V^2}{r}$$

$$y_R = 0; \quad \dot{y}_R = V; \quad \ddot{y}_R = 0$$

deoarece în sistemul în rotație avionul se deplasează pe o traiectorie curbă cu viteza  $V$ . [Din întîmplare, aceste condiții fac ca toți termenii din a doua ecuație din (4.34) să fie zero.] Ca și mai înainte forța noastră adevărată este:

$$F = -\frac{GMm}{r^2} + f$$

unde  $f$  este forța aerodinamică ascensională.

Cînd substituim aceste valori și expresii în ecuația noastră, obținem:

$$-\frac{GMm}{r^2} + f + 2m\omega V + m\omega^2 r = -m\frac{V^2}{r}.$$

Rezolvînd din nou în raport cu  $f$  și scriînd, ca mai înainte,  $GMm/r^2 - m\omega^2 r = mg$  obținem:

$$f = mg - 2m\omega V - m\frac{V^2}{r}.$$

Acest rezultat este identic cu cel obținut din punctul de vedere al sistemului inerțial. Termenul  $2m\omega V$  este tocmai forța Coriolis; ultimul termen  $mV^2/r$  este forța centrifugă datorită vitezei avionului pe traiectoria sa curbă. Forța centrifugă datorită rotației Pământului a fost înglobată în forța locală atribuită gravitației. Ne vom opri aici cu acest exemplu simplu.

Ca un exemplu mai deosebit (menționat deja la pagina 150) cunoaștem că într-un sistem inerțial un corp proiectat din centrul de rotație se va deplasa în linie dreaptă spre exterior:

$$x_I = v_0 t; \quad y_I = 0; \quad z_I = 0.$$

În sistemul în rotație avem:

$$v_0 t = x_R \cos \omega t - y_R \sin \omega t \quad (4.38)$$

$$0 = x_R \sin \omega t + y_R \cos \omega t. \quad (4.39)$$

Să verificăm că ecuațiile (4.34) sînt satisfăcute cu  $\ddot{x}_I = 0$ ,  $\ddot{y}_I = 0$ . Multiplicînd prima dintre aceste ecuații cu  $\cos \omega t$ , a doua cu  $\sin \omega t$ , și adunîndu-le, obținem:

$$\ddot{x}_R - 2\omega \dot{y}_R - \omega^2 x_R = 0. \quad (4.40)$$

Din ecuațiile (4.38) și (4.39),

$$x_R = v_0 t \cos \omega t; \quad y_R = -v_0 t \sin \omega t$$

iar cînd le introducem în ecuația (4.40), vedem că este satisfăcută.

Cînd considerăm mișcarea în trei dimensiuni și luăm o direcție arbitrară pentru vectorul viteză unghiulară  $\omega$ , a sistemului de coordonate obținem:

$$\mathbf{a}_I = \mathbf{a}_R + 2\omega \times \mathbf{v}_R + \omega \times (\omega \times \mathbf{r}) = \mathbf{F}/M$$

și astfel:

$$M\mathbf{a}_R = \mathbf{F} - 2M\omega \times \mathbf{v}_R - M\omega \times (\omega \times \mathbf{r})$$

unde  $\mathbf{F}$  este forța adevărată. Atunci:

$$-2M\omega \times \mathbf{v}_R \text{ este forța Coriolis} \quad (4.41)$$

$$-M\omega \times (\omega \times \mathbf{r}) \text{ este forța centrifugă.} \quad (4.42)$$

**Mișcarea unui proton în cimpuri electrice și magnetice încrucișate.** Acest exemplu important poate fi rezolvat destul de ușor, iar interpretarea este mai simplă dacă facem o transformare de coordonate pentru un sistem în mișcare. Fie  $\mathbf{B} = B\hat{z}$



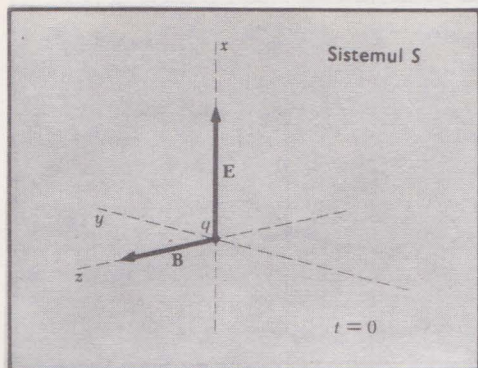


FIG. 4.27. (a) Să considerăm o sarcină pozitivă  $q$  în repaus în origine și în cimpurile  $\mathbf{E}$  și  $\mathbf{B}$  încrucișate.

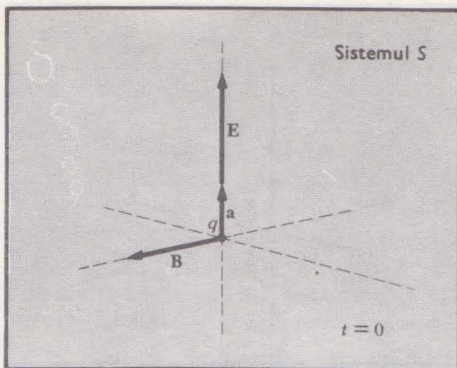


FIG. 4.27. (b) Accelerația inițială  $a$  lui  $q$  este  $a = q\mathbf{E}/M$ .

și  $\mathbf{E} = E\hat{\mathbf{x}}$ , ca în figura 4.27, a. Din definițiile forței Lorentz [dată prin relația (3.19)] și a frecvenței giromagnetice  $\omega_c$  [dată prin relația (3.27)], avem următoarele ecuații de mișcare pentru o particulă încărcată:

$$\dot{v}_x = \frac{e}{M}E + \omega_c v_y; \quad \dot{v}_y = -\omega_c v_x; \quad \dot{v}_z = 0 \quad (4.43)$$

Există o soluție specială a acestor ecuații, care descrie mișcarea fără accelerație, obținută punind  $\dot{v}_x = \dot{v}_y = 0$ . Atunci:

$$v_x = 0; \quad v_y = -\frac{eE}{M\omega_c} = -\frac{E}{B}. \quad (4.44)$$

Asupra unei particule încărcate care se deplasează cu această viteză nu acționează nici o forță netă deoarece forțele electrice și magnetice se anulează una pe cealaltă. Cîmpurile încrucișate sînt folosite în acest mod ca selector de viteze în cercetarea atomică și nucleară.

Dacă privim acum problema mișcării într-un sistem de coordonate  $S'$ , care se deplasează cu viteza dată de relația (4.44), vedem că în acest nou sistem de coordonate particula se mișcă uniform pe un cerc. Transformările componentelor vitezei sînt

$$v_x = v'_x; \quad v_y = -\frac{E}{B} + v'_y. \quad (4.45)$$

Substituind în ecuația (4.43) obținem (cu  $\omega_c = eB/M$ ):

$$\dot{v}'_x = \omega_c v'_y; \quad \dot{v}'_y = -\omega_c v'_x. \quad (4.46)$$

Acestea sînt aceleași cu relațiile (3.24) care descriu o mișcare circulară uniformă.

Astfel, comportarea unei particule poate fi descrisă simplu ca o mișcare circulară uniformă cu viteza unghiulară  $\omega_c = Be/M$  în planul  $x'y'$  al sistemului  $S'$  suprapusă peste mișcarea de translație cu viteza  $v_y = -E/B$  a acestui sistem relativ la sistemul laboratorului. În sistemul  $S'$  particula „simte” numai cîmpul magnetic; cîmpul electric este zero în acest sistem.

Dacă ne alegem condițiile inițiale astfel încît particula încărcată să fie momentan în repaus față de sistemul laboratorului la  $t = 0$ , mișcarea care urmează se face pe o cicloidă. Ca și cum particula ar fi un punct de pe periferia unei roți în mișcare cu viteza uniformă  $E/B$  de-a lungul axei  $y^1$ . Vom demonstra acum acest fapt, ilustrat în figurile 4.27, a la d.

În  $S'$ , condițiile inițiale pentru o viteză corespunzătoare vitezei nule în sistemul laboratorului sînt  $v'_x = 0$  și  $v'_y = E/B$ .

<sup>1</sup> Dacă particula are viteză inițială atunci mișcarea ei va fi aceea a unui punct aflat înăuntrul sau înafara periferiei roții

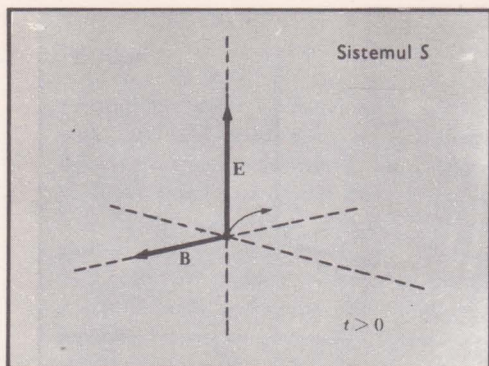


FIG. 4.27. (c) Îndată ce  $q$  câștigă viteză în direcția lui  $\mathbf{E}$ , asupra lui acționează forța  $\mathbf{F} = q\mathbf{v} \times \mathbf{B}$ . Orbita se curbează în direcția  $-y$

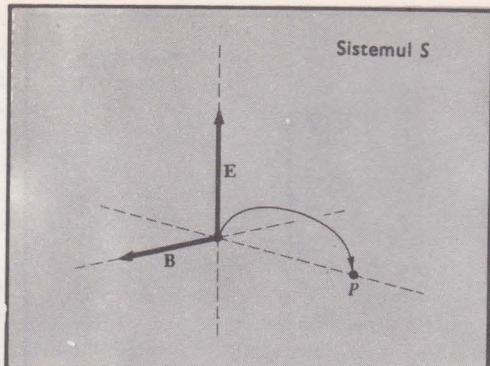


FIG. 4.27. (d)  $q$  ajunge în cele din urmă în repaus în  $P$ , un punct de pe axa  $y$ . Pe urmă începe un nou ciclu de mișcare.

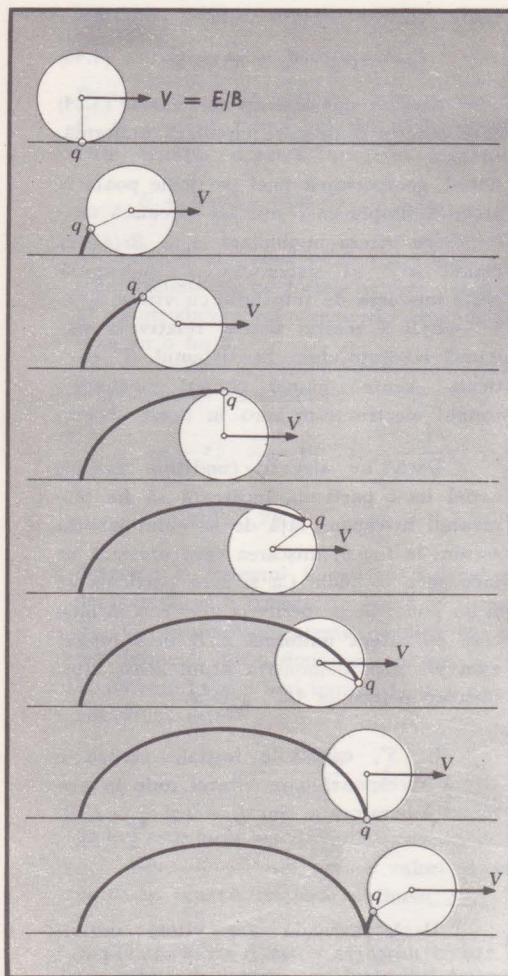
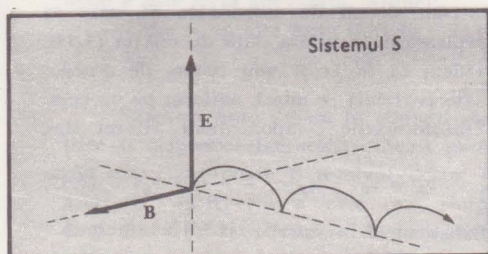


FIG. 4.28. (a) Orbita reprezintă o cicloidă comună (dacă particula pornește din repaus), iar  $q$  are viteza medie spre dreapta  $V = E/B$ . Notați că direcția vitezei medii  $E/B$  este direcția lui  $\mathbf{E} \times \mathbf{B}$ . În a doua temă avansată,  $\mathbf{E} \times \mathbf{B} = E\hat{x} \times B\hat{z} = -EB\hat{y}$ , care reprezintă rezultatul relațiilor (4.44) și (4.45).

FIG. 4.28. (b) Cicloida comună se obține din mișcarea lui  $q$  pe circumferința unui cerc în rostogolire de-a lungul unei drepte.





Soluțiile ecuațiilor (4.46) satisfacind acestor condiții inițiale sînt:

$$v'_x = \frac{E}{B} \sin \omega_c t; \quad v'_y = \frac{E}{B} \cos \omega_c t. \quad (4.47)$$

Acestea reprezintă o mișcare circulară uniformă, în sens orar dacă este privită din partea pozitivă a axei  $z'$ , cu viteza unghiulară  $\omega_c$  și raza:

$$r = \frac{E}{\omega_c B}. \quad (4.48)$$

Cînd trecem în sistemul laboratorului, ecuațiile (4.47), împreună cu relația (4.45), ne dau

$$v_x = \frac{dx}{dt} = \frac{E}{B} \sin \omega_c t; \quad (4.49)$$

$$v_y = \frac{dy}{dt} = \frac{E}{B} (-1 + \cos \omega_c t).$$

Integrarea ecuațiilor (4.49) cu condițiile inițiale  $x = y = 0$  la  $t = 0$  și folosirea relației (4.48) ne dă:

$$x = r(1 - \cos \omega_c t);$$

$$y = r(-\omega_c t + \sin \omega_c t).$$

Acestea sînt tocmai ecuațiile mișcării unui punct de pe marginea unui disc de rază  $r$  rostogolindu-se în direcția negativă a axei  $y$  (vezi fig. 4.28,  $a$  și  $b$ ). În unități CGS viteza sistemului în mișcare este  $-cE/B$  și, desigur,  $\omega_c = eB/Mc$ . Ecuația (4.48) devine:

$$r = \frac{cE}{\omega_c B} = \frac{c^2 ME}{eB^2}.$$

Descrierea mișcării este aceeași.

## NOTĂ MATEMATICĂ

Derivata unui produs de vectori. În capitolul 2 am considerat și derivata vectorilor: să ne reamintim în particular că dacă:

$$\mathbf{r} = x\hat{\mathbf{x}} + y\hat{\mathbf{y}} + z\hat{\mathbf{z}}$$

atunci:

$$\dot{\mathbf{r}} = \dot{x}\hat{\mathbf{x}} + \dot{y}\hat{\mathbf{y}} + \dot{z}\hat{\mathbf{z}}$$

cu condiția ca vectorii de bază să fie constanți în direcție.

Să obținem acum relația:

$$\frac{d}{dt} (\mathbf{A} \times \mathbf{B}) = \dot{\mathbf{A}} \times \mathbf{B} + \mathbf{A} \times \dot{\mathbf{B}}.$$

Fie  $\mathbf{P}(t)$  pentru  $\mathbf{A}(t) \times \mathbf{B}(t)$  și să considerăm expresia:

$$\mathbf{P}(t + \Delta t) - \mathbf{P}(t) = \mathbf{A}(t + \Delta t) \times \mathbf{B}(t + \Delta t) - \mathbf{A}(t) \times \mathbf{B}(t) \approx \left[ \mathbf{A}(t) + \frac{d\mathbf{A}}{dt} \Delta t \right] \times [\mathbf{B}(t) +$$

$$+ \frac{d\mathbf{B}}{dt} \Delta t] - \mathbf{A}(t) \times \mathbf{B}(t) = \Delta t \left[ \frac{d\mathbf{A}}{dt} \times \mathbf{B} + \mathbf{A} \times \frac{d\mathbf{B}}{dt} \right] + (\Delta t)^2 \left[ \frac{d\mathbf{A}}{dt} \times \frac{d\mathbf{B}}{dt} \right].$$

Atunci avem:

$$\dot{\mathbf{P}} = \lim_{\Delta t \rightarrow 0} \frac{\mathbf{P}(t + \Delta t) - \mathbf{P}(t)}{\Delta t} = \dot{\mathbf{A}} \times \mathbf{B} + \mathbf{A} \times \dot{\mathbf{B}}.$$

De notat că ordinea termenilor produsului vectorial în rezultat este importantă. Cu un argument similar avem:

$$\frac{d}{dt} (\mathbf{A} \cdot \mathbf{B}) = \dot{\mathbf{A}} \cdot \mathbf{B} + \mathbf{A} \cdot \dot{\mathbf{B}}.$$

## LECTURI SUPLIMENTARE

*Fizica PSSC* (PSSC „Physics”) capitolele 20 (§ 9–11), 22, D. C. Heath & Co., Boston, 1965.

Ernst Mach, *Știința mecanicii* („The Science of Mechanics”), capitolul 2, § 6, The Open Court Publishing Co., La Salle, Ill., 1960

*Enciclopedia Collier* („Collier's Encyclopedia”), 1964. La rubrica Foucault, este prezentată o discuție elementară excelentă asupra pendulului Foucault.

Mary Hesse, *Bibliografie pentru fundamentele filozofice ale mecanicii clasice*, (Resource Letter on Philosophical Foundations of Classical Mechanics), *Am. J. Phys.*, 32: 905 (1964). Acest articol reprezintă o listă de lucrări aproape completă.



# 5

## Conservarea energiei

### Cuprins

**Legile de conservare în lumea fizică**

**Definirea conceptelor**

**Exemplu. Mișcarea liberă a unui corp aruncat vertical în sus**

**Conservarea energiei**

**Lucrul mecanic**

**Energia cinetică**

Exemplu. Căderea liberă

**Energia potențială**

Exemplu. Forța elastică: transformarea energiei cinetice în energie potențială și reciproc.

Exemplu. Transformarea energiei într-o cascadă.

Exemplu. Transformarea energiei în săritura cu prăjina

**Forțe conservative**

**Energia potențială și conservarea energiei în câmpurile gravitațional și electric**

Exemplu. Viteza (cosmică) de evadare din câmpul gravitațional al Pământului și din Sistemul Solar

Exemplu. Potențialul gravitațional în apropierea suprafeței Pământului.

Exemplu. Mișcarea unui proiectil

Exemple:

Cîmpul electrostatic

Potențialul

Diferența de potențial

Energia unei particule încărcate dedusă din diferența de potențial

Accelerarea protonului într-un cîmp electric uniform

Exemplu. Electronvoltul

**Puterea**

**Probleme**

**Note istorice:**

Descoperirea lui Ceres

Descoperirea lui Neptun

**Lecturi suplimentare**

## LEGILE DE CONSERVARE ÎN LUMEA FIZICĂ

În lumea fizică există un număr de *legi de conservare*, unele exacte iar altele aproximative. O lege de conservare este de obicei consecința existenței unei anumite simetrii în univers. Există legi de conservare care se referă la energie, impuls, moment cinetic, sarcină, număr de barioni (protoni, neutroni și particule elementare mai grele), stranietate, precum și la diverse alte mărimi fizice. În capitolele 3 și 4 am discutat conservarea impulsului. În acest capitol discutăm conservarea energiei. În capitolul 6 vom generaliza discuția și vom considera momentul cinetic. Întreaga analiză va fi formulată aici pentru regimul nerelativist, ceea ce înseamnă că ne vom limita la transformări galileene, la viteze mult mai mici decât viteza luminii și la independența dintre masă și energie. În capitolul 12, după ce vom introduce transformările Lorentz și teoria relativității restrânse, vom da formulările adecvate ale legilor de conservare a energiei și impulsului pentru cazul regimului relativist.

Dacă într-o problemă toate forțele ar fi cunoscute, și dacă am fi destul de inteligenți și am dispune de calculatoare de viteză și capacitate suficiente pentru a calcula traiectoriile tuturor particulelor din ecuațiile de mișcare, atunci legile de conservare nu ne-ar da nici o informație suplimentară. Dar, întrucât în general nu avem la dispoziție toată această informație, și nici nu posedăm abilitatea și mijloacele de calcul necesare, legile de conservare sînt instrumente foarte puternice. De ce sînt legile de conservare instrumente puternice?

1. Legile de conservare sînt independente de detaliile traiectoriei și, adesea, de particularitățile forței respective. Aceste legi sînt deci un mod de a exprima consecințe foarte generale și semnificative ale ecuațiilor de mișcare. O lege de conservare ne poate uneori asigura că un anumit fapt fizic este imposibil. Nu mai irosim astfel timpul, analizînd un pretins dispozitiv cu mișcare perpetuă dacă el constă pur și simplu dintr-un sistem închis de componente mecanice și electrice, sau o schemă de lansare a unui satelit, care folosește în acest scop mișcarea unor greutatea interne.
2. Legile de conservare pot fi utilizate chiar cînd forța este necunoscută, aceasta se aplică în special în fizica particulelor elementare.
3. Legile de conservare se află într-o corelație esențială cu proprietățile de invarianță. În explorarea unor fenomene noi și încă neînțelese, legile de conservare reprezintă adeseori faptele fizice cele mai remarcabile pe care le cunoaștem. Ele pot sugera concepte de invarianță specifice. În capitolul 4 am văzut că legea conservării impulsului ar putea fi interpretată ca o consecință directă a principiului de invarianță galileeană.



4. Chiar în cazul în care forța este cunoscută exact, o lege de conservare poate oferi un ajutor însemnat în rezolvarea problemei mișcării unei particule. Mulți fizicieni adoptă o schemă precisă în rezolvarea unei probleme necunoscute: întâi utilizează legile de conservare relevante, una câte una; numai după aceea, dacă a mai rămas ceva de determinat în problemă, ei recurg la munca de rutină folosind ecuații diferențiale, metode variaționale și perturbative, calculatoare, intuiție și celelalte instrumente de care dispun. În capitolele 7–9 vom utiliza legile de conservare a energiei și impulsului în acest mod.

## DEFINIREA CONCEPTELOR

Legea conservării energiei mecanice implică conceptele de *energie cinetică*, *energie potențială* și *lucru mecanic*. Aceste concepte, care pot fi înțelese dintr-un exemplu simplu, apar foarte natural din legea a doua a lui Newton și vor fi tratate în detaliu în cele ce urmează. Pentru început, vom discuta forțele și mișcările doar într-o singură dimensiune, ceea ce simplifică notațiile. Expunerea va fi reluată în cazul a trei dimensiuni, reluarea fiind utilă studentului.

Pentru a prezenta conceptele de lucru mecanic și energie cinetică, vom considera o particulă de masă  $M$  deplasându-se în spațiul intergalactic și inițial liberă de orice interacțiuni externe. Observăm particula dintr-un sistem de referință inerțial. O forță  $F$  este aplicată particulei la timpul  $t = 0$ . Forța este menținută apoi constantă în mărime și direcție; direcția este luată de-a lungul axei  $y$ . Particula va fi accelerată sub acțiunea forței aplicate. Mișcarea la timpul  $t > 0$  este descrisă de legea a doua a lui Newton:

$$F = M \frac{d^2 y}{dt^2} = M \ddot{y}^1. \quad (5.1)$$

Astfel viteza după un timp  $t$  este:

$$\int_{v_0}^v dv = \int_0^t \ddot{y} dt = \int_0^t \frac{F}{M} dt$$

sau:

$$v - v_0 = \frac{F}{M} t, \quad (5.2)$$

unde  $v_0$  este viteza inițială presupusă a fi paralelă cu direcția  $y$ .

Observăm că ecuația (5.2) poate fi scrisă ca:

$$Ft = Mv(t) - Mv_0.$$

Membrul drept este variația impulsului particulei în timpul  $t$  iar membrul stâng se numește *impulsul forței* în același timp. În cazul în care  $F$  este foarte

<sup>1</sup> Folosim aici  $y$  în loc de  $x$  sau de  $z$  doar pentru comoditate în aplicarea rezultatelor la cimpul gravitațional constant, pentru care în capitolul 3 am folosit coordonata  $y$ .

mare, dar timpul în care acționează este foarte scurt, poate fi convenabil să definim:

$$\text{Impulsul forței} = \int_0^t F \, dt = \Delta(Mv). \quad (5.3)$$

Ecuția (5.3) ne spune că variația impulsului particulei este egală cu impulsul forței<sup>1</sup>.

Dacă poziția inițială este  $y_0$ , integrând ecuația (5.2) în raport cu timpul găsim:

$$y(t) - y_0 = \int_0^t v(t) \, dt = \int_0^t \left( v_0 + \frac{F}{M} t \right) dt = v_0 t + \frac{1}{2} \frac{F}{M} t^2. \quad (5.4)$$

Putem rezolva ecuația (5.2) exprimând timpul  $t$ :

$$t = \frac{M}{F} (v - v_0). \quad (5.5)$$

Introducem acum ecuația (5.5) în ecuația (5.4) pentru a obține:

$$y - y_0 = \frac{M}{F} (vv_0 - v_0^2) + \frac{1}{2} \frac{M}{F} (v^2 - 2vv_0 + v_0^2) = \frac{1}{2} \frac{M}{F} (v^2 - v_0^2)$$

astfel încît:

$$\frac{1}{2} Mv^2 - \frac{1}{2} Mv_0^2 = F(y - y_0). \quad (5.6)$$

Dacă definim mărimea  $\frac{1}{2} Mv^2$  ca fiind *energia cinetică* a particulei, adică energia pe care aceasta o posedă în virtutea mișcării sale, atunci membrul stîng al ecuației (5.6) reprezintă variația energiei cinetice. Variația este produsă de forța  $F$ , acționînd pe o distanță  $(y - y_0)$ . Se va dovedi util să numim produsul  $F(y - y_0)$  *lucrul mecanic efectuat asupra particulei de către forța aplicată*. Cu aceste definiții ecuația (5.6) afirmă că lucrul mecanic efectuat de o forță aplicată unei particule este egal cu variația energiei cinetice a particulei. Evident, toate acestea sînt doar definiții, dar definițiile sînt utile și ele rezultă natural din legea a doua a lui Newton.

Dacă  $M = 0,02 \text{ kg}$  și  $v = 1 \text{ m/s}$ , energia cinetică este:

$$E_c = \frac{1}{2} Mv^2 = \frac{1}{2} (0,02)(1) = 10^{-2} \text{ kg} \cdot \text{m}^2/\text{s}^2 = 10^{-2} \text{ Joule}.$$

Unitatea de energie în sistemul SI de unități se numește Joule. Dacă o forță de  $10^{-3} \text{ N}$  este aplicată pe o distanță de  $10 \text{ m}$ , avem:

$$F(y - y_0) = (10^{-3}) \cdot (10) = 10^{-2} \text{ N} \cdot \text{m} = 10^{-2} \text{ J}.$$

<sup>1</sup> Multe cursuri avansate de mecanică tratează adeseori despre impulsul forței. Problema 16 din acest capitol și problema 10, din capitolul 8 folosesc acest concept.



Un Joule este lucrul mecanic efectuat de către o forță de 1 Newton acționînd pe o distanță de 1 metru. Lucrul mecanic are dimensiunea:

$$[\text{Lucru mecanic}] \sim [\text{forță}] [\text{distanță}] \sim [\text{masă}][\text{acelerație}] \times \\ \times [\text{distanță}] \sim [\text{masă}] [\text{viteză}]^2 \sim \left[ M \frac{L}{T^2} L \right] \sim [ML^2T^{-2}] \sim [\text{energie}].$$

Vorbind despre lucru mecanic, trebuie totdeauna să specificăm cine efectuează *lucrul mecanic*. În cazul de mai sus, lucrul mecanic este efectuat de forța care accelerează particula. Asemenea forțe sînt adesea părți integrante ale sistemului pe care îl investigăm; de exemplu, ele pot fi forțe gravitaționale, electrice sau magnetice. Mai tîrziu, cînd vom vorbi despre energia potențială, le vom numi pe acestea *forțe ale cîmpului* sau *forțe ale sistemului*; dar vom considera, de asemenea, forțele aplicate de un agent extern (de exemplu de către noi), și va fi important să distingem lucrul mecanic efectuat de forțele cîmpului de acela efectuat de agentul extern. De exemplu, dacă agentul aplică, în orice moment, o forță egală și opusă forței cîmpului, particula nu va fi accelerată și nu se va produce nici o schimbare în energia cinetică. Lucrul mecanic efectuat de forța cîmpului este exact compensat de lucrul mecanic consumat de agent, după cum ne așteptam, deoarece  $F_{ag} = -F$ . (Este important de remarcat că excludem efectele forțelor de frecare din discuția prezentă; folosim situații ideale pentru a ne stabili definițiile și conceptele.)

Considerăm acum un corp (particulă), nu în spațiul intergalactic, ci lăsat liber la o înălțime  $h$  deasupra suprafeței pămîntului ( $y_0 = h$ ,  $v_0 = 0$ ). Forța gravitațională  $F_G = -Mg$  trage corpul în jos. În timp ce corpul cade către suprafața pămîntului, lucrul mecanic efectuat de către greutate este egal cu cîștigul în energia cinetică a corpului (vezi fig. 5.1):

$$L(\text{al greutății}) = F_G \cdot (y - y_0)$$

sau, la suprafața pămîntului ( $y = 0$ ):

$$L(\text{al greutății}) = (-Mg)(0 - h) = Mgh = \frac{1}{2} Mv^2 - \frac{1}{2} Mv_0^2 = \frac{1}{2} Mv^2. \quad (5.7)$$

unde  $v$  este viteza corpului la atingerea suprafeței pămîntului. Ecuația (5.7) sugerează că putem spune că la înălțimea  $h$  corpul posedă *energia potențială* (capacitatea de a efectua lucru mecanic sau de a cîștiga energie cinetică) egală cu  $Mgh$  în raport cu suprafața pămîntului.

Ce se întîmplă cu energia potențială cînd o particulă în repaus pe suprafața pămîntului este ridicată la o înălțime  $h$ ? Pentru a ridica corpul trebuie să

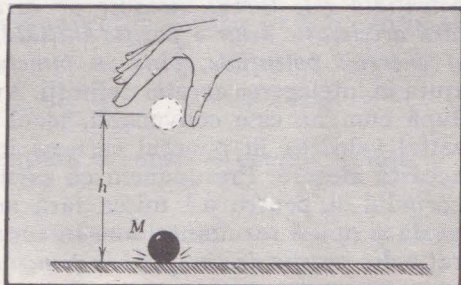


FIG. 5.1. În căderea unui corp aflat inițial în repaus la înălțimea  $h$  forța gravitațională efectuează lucrul mecanic  $Mgh$ , care este egal cu energia cinetică generată.



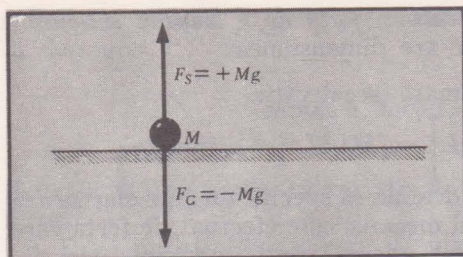


FIG. 5.2. (a) Un corp de masă  $M$  aflat în repaus pe suprafața pământului suportă două forțe egale și de sens contrar:  $F_G$ , forța gravitațională atractivă;  $F_S$ , forța exercitată asupra lui  $M$  de către suprafața pe care se sprijină.

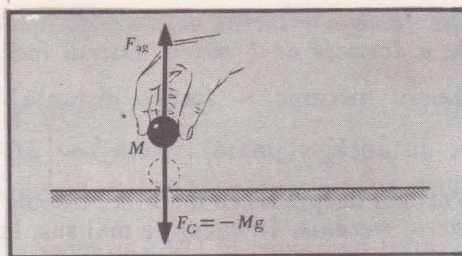


FIG. 5.2. (b). Pentru a ridica corpul de masă  $M$  cu viteză constantă este necesar să aplicăm o forță  $F_{ag} = Mg$ .

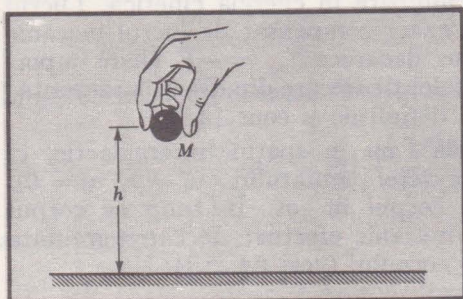


FIG. 5.2. (c). Lucrul mecanic consumat pentru a ridica corpul de masă  $M$  la înălțimea  $h$  este  $L = F_{ag} \cdot h = +Mgh$ . Energia potențială  $E_p$  a masei  $M$  a crescut deci cu o cantitate  $Mgh$ .

aplicăm o forță îndreptată în sus  $F_{ag} (= -F_C)$  asupra corpului. În acest caz,  $y_0 = 0$  și  $y = h$ . Noi efectuăm asupra corpului lucrul mecanic:

$$L(\text{efectuat de noi}) = F_{ag} \cdot (y - y_0) = (Mg)(h) = Mgh \quad (5.8)$$

dînd, în acest fel, corpului energia potențială  $Mgh$  pe care, după cum am spus mai înainte, el o are la înălțimea  $h$  (vezi fig. 5.2, a—c). De notat că numim forța pe care noi o exercităm  $F_{ag}$ ; cu alte cuvinte, noi sîntem identici cu agentul extern. Desigur, este ușor să vorbim despre „noi” și „de către noi” și de aceea acești termeni sînt folosiți în cele ce urmează; dar punctul important de amintit este că agentul extern este introdus conceptual în problemă numai în scopul evaluării energiei potențiale.

În absența forțelor de frecare, putem formula acum o definiție precisă a energiei potențiale a unui corp (particulă) într-un punct particular: *energia potențială este lucrul mecanic pe care îl consumăm pentru a deplasa corpul fără accelerație dintr-o poziție inițială, desemnată în mod arbitrar a fi un zero al energiei potențiale, pînă în punctul de interes. Cîteva comentarii ne pot ajuta în înțelegerea acestei definiții. Avem libertatea să alegem în mod arbitrar, după cum ne este convenabil, locul în care energia potențială este zero și astfel valoarea în punctul care ne interesează va fi totdeauna raportată la această alegere. Presupunem că există forțe de cîmp care acționează asupra corpului și, pentru a-l mișca fără accelerație, trebuie să exercităm o forță egală și opusă rezultatelor lor. În această situație, mișcăm corpul fără accelerație din poziția de zero pînă în punctul unde vrem să evaluăm energia potențială.*



Lucrul mecanic pe care l-am efectuat este egal cu energia potențială. Deoarece, în absența frecărilor, forța pe care o aplicăm este mereu egală și opusă forțelor câmpului prezente în problemă, lucrul mecanic pe care îl consumăm este egal cu lucrul mecanic efectuat de către aceste forțe, luat cu semnul minus. Deci, putem la fel de bine să definim energia potențială ca fiind lucrul mecanic efectuat de forțele problemei, forțele câmpului, atunci când mișcă sistemul *din punctul considerat pînă în zeroul arbitrar*. De exemplu, lucrul mecanic efectuat de forța gravitațională [ecuația (5.7)] asupra corpului în cădere este egal cu lucrul mecanic pe care îl efectuăm noi [ecuația (5.8)] împotriva greutății, pentru ridicarea particulei.

În egală măsură este valabilă și definiția energiei potențiale pozitive într-un punct ca fiind energia cinetică generată de forțe în mișcarea liberă a corpului către poziția arbitrară de zero, ca în figura 5.1. Această definiție, astfel formulată, nu se aplică în cazurile în care energia potențială este negativă relativ la zero; dar, o modificare evidentă a definiției este valabilă. Un exemplu este dat la paginile 183—184.

Încă două idei merită să fie subliniate. Întîi, energia potențială este o funcție doar de poziție, adică de coordonatele corpului sau sistemului<sup>1</sup>. În al doilea rînd, punctul de zero trebuie totdeauna să fie specificat. Numai *variația* energiei potențiale are sens; de exemplu, ea poate fi transformată în energie cinetică sau, invers, se poate crea din energia cinetică. Valoarea absolută a energiei potențiale nu are sens. Deoarece acest lucru este adevărat, alegerea localizării zeroului este arbitrară. În multe cazuri un anumit zero este deosebit de convenabil, de exemplu suprafața pămîntului, o platformă plană, dar alegerea *oricărui alt* zero va da același răspuns la orice problemă fizică.

Dimensiunea lucrului mecanic și a energiei potențiale  $[F][L] = [M][L^2]/[T^2]$  este aceeași cu cea a energiei cinetice. Dacă  $F_{ag} = 10^{-2}$  N și  $h = 1$  m, energia potențială este  $10^{-2} \times 1 = 10^{-2}$  J. Notăm energia potențială prin  $E_p$  sau  $U$ . Dacă în ecuația (5.7) notăm prin  $v$  nu viteza după căderea pe o distanță  $h$ , ci viteza după căderea pe o distanță  $(h-y)$ , atunci ecuația analogă ecuației (5.7) este:

$$\frac{1}{2} Mv^2 = Mg(h-y),$$

sau

$$\frac{1}{2} Mv^2 + Mgy = Mgh = E, \quad (5.9)$$

unde  $E$  este o constantă avînd valoarea  $Mgh$ . Această situație este ilustrată în figura 5.3. Deoarece  $E$  este o constantă, avem în ecuația (5.9) o exprimare a *legii conservării energiei*:

$$E = E_c + E_p =$$

= energia cinetică + energia potențială = const. = energia totală.

<sup>1</sup> În probleme mai complicate, studentul poate întîlni funcții utile care să reprezinte energia potențială depinzînd și de alte mărimi.

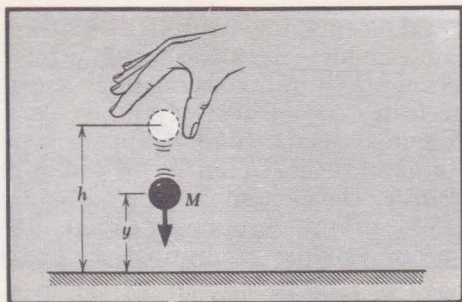


FIG. 5.3. Dacă corpul este lăsat liber, energia potențială  $E_p$  descrește, iar energia cinetică  $E_c$  crește, dar suma lor rămâne constantă. La înălțimea  $y$ :  $E_p(y) = Mgy$  și  $E_c(y) = \frac{1}{2} M[v(y)]^2 = Mg(h - y)$ .

În ecuația (5.9) termenul  $Mgy$  este energia potențială, unde am ales  $y = 0$  ca zero al energiei potențiale. Simbolul  $E$  desemnează energia totală, care este constantă în timp pentru un sistem izolat. Două ilustrații sînt date în figurile 5.4, *a* și *b* și 5.5, *a* și *b*.

Să presupunem că am ales zeroul energiei potențiale la  $y = -H$ . Atunci avem relația:

$$E' = E_c + E_p = \frac{1}{2} Mv^2 + Mg(y + H) = Mg(h + H),$$

care se reduce la ecuația (5.9) scăzînd termenul  $MgH$  din fiecare membru și exemplifică faptul că zeroul energiei potențiale nu afectează răspunsul la problemele fizice.

Uneori este convenabil să numim suma contribuțiilor energiei cinetice și potențiale,  $E = E_c + E_p$ , *funcția energie*. Contribuția  $E_c$  a energiei cinetice este egală cu  $\frac{1}{2} Mv^2$ . Energia potențială depinde de forța câmpului care acționează și are proprietatea esențială că  $U = E_p = - \int Fdy$ , expresie care definește lucrul mecanic atunci cînd forța câmpului  $F$  poate depinde de poziția  $y$ . Atunci avem:

$$F = - \frac{dU}{dy} \quad (5.10)$$

unde  $F$ , forța care acționează asupra particulei, rezultă din interacțiunile intrinseci ale problemei, cum sînt interacțiunile electrice sau gravitaționale și este ceea ce am numit *forța câmpului* sau *forța problemei*. (În exemplul de mai sus  $U = E_p = Mgy$ , astfel încît  $F = F_G = -Mg$ .)

Ecuația (5.10) ilustrează de ce le numim pe acestea forțe *ale câmpului*. Mărimea  $U$  definește un câmp al energiei potențiale; ea este o funcție scalară de  $y$ . Forțele se pot deduce din această funcție de câmp. Observăm aici că zeroul va apărea în  $U$  ca un termen constant, astfel încît atunci cînd forța este obținută din ecuația (5.10), ea este aceeași, independent de constantă.



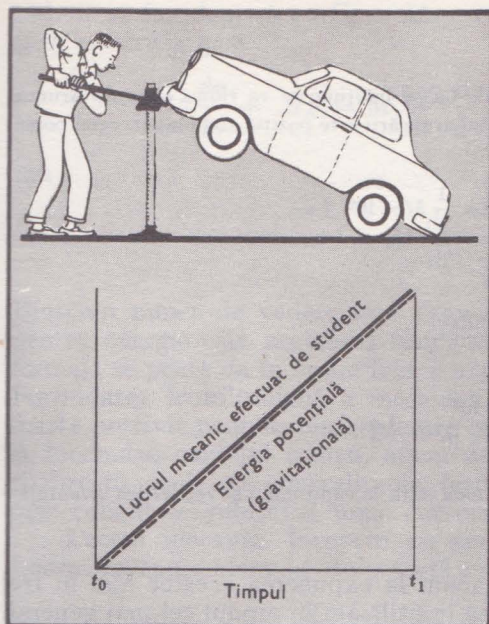


FIG. 5.4. (a) Lucrul mecanic consumat de către student cînd ridică cu ajutorul cricului o mașină, pentru a schimba o anvelopă, ca funcție de timp. [Lucrul mecanic efectuat asupra unei mașini mici de 1000 kg la ridicarea centrului său de masă cu 0,1 m va fi  $F \cdot h = Mgh = 10^3 \cdot 10 \cdot 0,1 = 10^3$  J.] Lucrul mecanic efectuat apare ca energie potențială gravitațională.

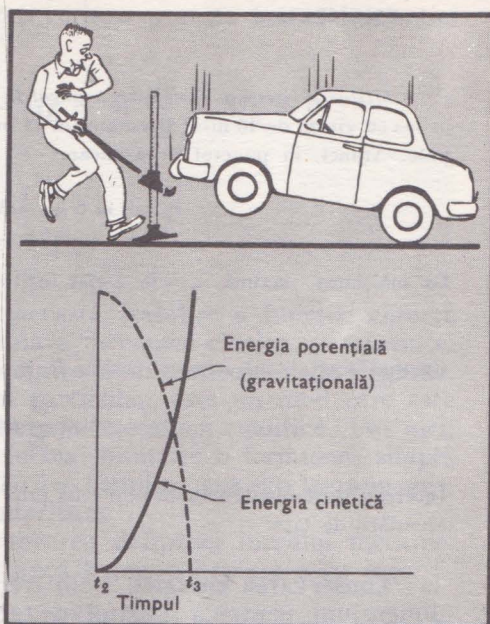


FIG. 5.4. (b). Aici cricul a alunecat și mașina cade înapoi. Energia potențială este transformată în energie cinetică. După ce mașina atinge solul, energia cinetică este transformată în căldură în amortizoare, resorturi și anvelope.

FIG. 5.5. (a) Înălțimea ca funcție de timp, pentru un corp care a plecat din repaus și se află în cădere spre pămînt.

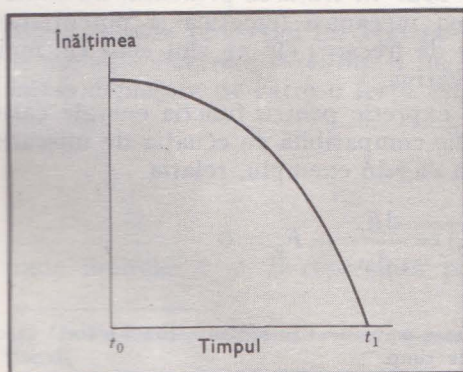
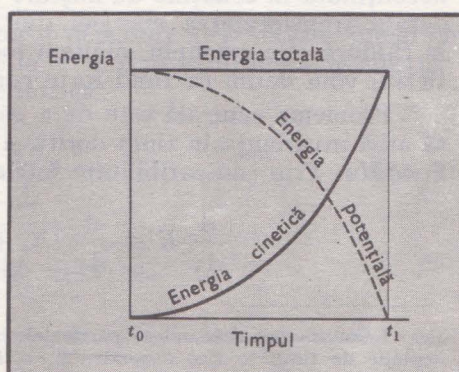


FIG. 5.5. (b) Energia potențială și energia cinetică a corpului în cădere, ca funcții de timp. Energia totală, care este constantă, este suma dintre energia cinetică și energia potențială.





## EXEMPLU

*Mișcarea liberă a unui corp aruncat în sus.* La ce înălțime se va ridica un corp aruncat în sus cu viteza de 10 m/s? Presupunem că nivelul aruncării este poziția zeroului energiei potențiale. Atunci, în punctul de aruncare:

$$E = 0 + \frac{1}{2} Mv^2 = \frac{1}{2} M \times 10^2 \text{ J}.$$

La înălțimea maximă,  $v = 0$ , astfel încît:

$$E = Mgh.$$

Egalind aceste două expresii pentru  $E$ , avem

$$h = \frac{v^2}{2g} = \frac{10^2}{2 \cdot 10} \approx 5 \text{ m}.$$

Încercați să rezolvați această problemă prin metoda dată în capitolul 3 și veți vedea avantajele abordării de față.

**Conservarea energiei.** Vom trece acum la expunerea acestor idei în trei dimensiuni, pentru a fi astfel în stare să le utilizăm în modul cel mai general. Legea de conservare a energiei afirmă că pentru un sistem de particule cu interacții nedepinzînd explicit<sup>1</sup> de timp, *energia totală a sistemului este constantă*. Acceptăm acest rezultat ca pe un fapt experimental bine stabilit.

Mai precis, legea ne spune că există o funcție scalară [cum este funcția  $\frac{1}{2} Mv^2 + Mgy$  în ecuația (5.9)], depinzînd de pozițiile și vitezele particulelor constituente, care este invariantă în raport cu schimbarea timpului, cu condiția să nu existe o schimbare explicită a forțelor de interacție în intervalul de timp considerat. De exemplu, masa  $m$  sau sarcina elementară  $e$  nu trebuie să varieze în timp. În afară de funcția energie, mai există și alte funcții care sînt constante în condițiile specificate aici. (Vom trata alte funcții în capitolul 6, la Conservarea impulsului și a momentului cinetic.) Energia este o constantă scalară a mișcării. Interpretăm expresia *interacție externă* ca incluzînd orice schimbare în legile fizicii sau în valorile constantelor fizice fundamentale (ca  $g$  sau  $e$  sau  $m$ ) în intervalul de timp relevant, ca și orice schimbare în condițiile externe, ca de exemplu cîmpurile gravitaționale, electrice sau magnetice. Amintim că legea conservării energiei nu ne dă nici o informație nouă, neconținută în ecuațiile de mișcare  $\mathbf{F} = M\mathbf{a}$ . În tratarea prezentă, nu considerăm transformarea energiei din forma mecanică (cinetică și potențială) în căldură. De exemplu, ometem forțele de frecare; ele nu sînt ceea ce, mai tîrziu, vom defini ca fiind forțe conservative.

Problema centrală este de a găsi o expresie pentru funcția energie care să aibă invarianța în timp dorită și să fie compatibilă cu ecuația de mișcare  $\mathbf{F} = M\mathbf{a}$ . Prin compatibilitate înțelegem că, de exemplu, relația

$$\frac{d}{dy} E \equiv \frac{d}{dy} (E_c + E_p) = \frac{dE_c}{dy} - F_y = 0$$

<sup>1</sup> Considerăm sistemul cu particulele înghețate permanent în spațiu; atunci o forță care depinde de timp se zice dependentă *explicit* de timp.



trebuie să fie identică cu  $F_y = Ma_y$ . Puteți verifica aceasta în cazul ecuației (5.9) pentru a găsi

$$Mv \frac{dv}{dy} + Mg = M \frac{dy}{dt} \cdot \frac{dv}{dy} + Mg = M \frac{dv}{dt} + Mg = 0$$

sau

$$M \frac{dv}{dt} = -Mg.$$

Dintr-un punct de vedere mai avansat, această stabilire a funcției corecte pentru energie este problema fundamentală a mecanicii clasice, și soluția ei formală se poate da în multe feluri, unele dintre ele fiind deosebit de elegante. Formularea hamiltoniană a mecanicii, în particular, este un mod care este foarte potrivit pentru reinterpretare în limbajul mecanicii cuantice. Dar aici, la începutul cursului nostru, avem nevoie mai mult de o formulare simplă și directă decât de generalitatea formulărilor hamiltoniene sau lagrangeene, care constituie subiectul unor cursuri ulterioare<sup>1</sup>.

**Lucrul mecanic.** Începem cu generalizarea definiției lucrului mecanic. Lucrul mecanic efectuat de o forță constantă  $\mathbf{F}$  într-o deplasare  $\Delta \mathbf{r}$  este

$$L = \mathbf{F} \cdot \Delta \mathbf{r} = F \Delta r \cos(\mathbf{F}, \Delta \mathbf{r})$$

în concordanță cu definiția care urmează ecuației (5.6) de mai sus. Să presupunem că  $\mathbf{F}$  nu este constantă, ci este o funcție de poziția  $\mathbf{r}$ . Atunci descompunem drumul în  $N$  segmente de dreaptă, astfel încât în cadrul fiecăruia forța  $\mathbf{F}(\mathbf{r})$  este în esență constantă, și scriem următoarea relație:

$$L = \mathbf{F}(\mathbf{r}_1) \cdot \Delta \mathbf{r}_1 + \mathbf{F}(\mathbf{r}_2) \cdot \Delta \mathbf{r}_2 + \dots + \mathbf{F}(\mathbf{r}_N) \cdot \Delta \mathbf{r}_N = \sum_{j=1}^N \mathbf{F}(\mathbf{r}_j) \cdot \Delta \mathbf{r}_j \quad (5.11)$$

unde simbolul  $\Sigma$  reprezintă suma indicată. Ecuația (5.11) este strict valabilă doar în limita unor deplasări infinitezimale  $d\mathbf{r}$ , deoarece, în general, o curbă nu poate fi descompusă exact într-un număr finit de segmente și  $\mathbf{F}$  poate să nu fie riguros constantă de-a lungul unui segment.

Limita:

$$\lim_{\Delta \mathbf{r}_j \rightarrow 0} \sum_j \mathbf{F}(\mathbf{r}_j) \cdot \Delta \mathbf{r}_j = \int_{\mathbf{r}_A}^{\mathbf{r}_B} \mathbf{F}(\mathbf{r}) \cdot d\mathbf{r}$$

este integrala proiecției lui  $\mathbf{F}(\mathbf{r})$  pe vectorul deplasare  $d\mathbf{r}$ . Această integrală se numește *integrala curbilinie* a lui  $\mathbf{F}$  de la  $A$  la  $B$ . Lucrul mecanic efectuat într-o deplasare de către o forță este definit ca:

$$L(A \rightarrow B) \equiv \int_A^B \mathbf{F} \cdot d\mathbf{r} \quad (5.12)$$

unde limitele  $A$  și  $B$  reprezintă pozițiile  $\mathbf{r}_A$  și  $\mathbf{r}_B$ .

<sup>1</sup> Obținerea ecuațiilor de mișcare lagrangeene necesită câteva rezultate din calculul variațional.

**Energia cinetică.** Ne întoarcem acum la particula liberă supusă unor forțe. Vrem să generalizăm ecuația (5.6), pe care o rescriem acum în forma:

$$\frac{1}{2} M v^2 - \frac{1}{2} M v_0^2 = \mathbf{F} \cdot (\mathbf{y} - \mathbf{y}_0)$$

pentru a include forțe aplicate care variază în direcție și mărime dar sînt cunoscute ca funcții de poziție în regiunea în care are loc mișcarea. Introducînd  $\mathbf{F} = M d\mathbf{v}/dt$  în ecuația (5.12), unde  $\mathbf{F}$  este suma vectorială a forțelor, găsim pentru lucrul mecanic efectuat de aceste forțe:

$$L(A \rightarrow B) = M \int_A^B \frac{d\mathbf{v}}{dt} \cdot d\mathbf{r}. \quad (5.13)$$

Dar:

$$d\mathbf{r} = \frac{d\mathbf{r}}{dt} dt = \mathbf{v} dt$$

astfel încît:

$$L(A \rightarrow B) = M \int_A^B \left( \frac{d\mathbf{v}}{dt} \cdot \mathbf{v} \right) dt, \quad (5.14)$$

unde limitele  $A$  și  $B$  reprezintă de astă dată momentele de timp  $t_A$  și  $t_B$  la care particula este în pozițiile desemnate prin  $A$  și  $B$ . Dar, putem acum rearanja integrandul:

$$\frac{d}{dt} v^2 = \frac{d}{dt} (\mathbf{v} \cdot \mathbf{v}) = 2 \frac{d\mathbf{v}}{dt} \cdot \mathbf{v}$$

astfel încît:

$$2 \int_A^B \left( \frac{d\mathbf{v}}{dt} \cdot \mathbf{v} \right) dt = \int_A^B \left( \frac{d}{dt} v^2 \right) dt = \int_A^B d(v^2) = v_B^2 - v_A^2.$$

Introducînd acest rezultat în ecuația (5.14), avem rezultatul important:

$$L(A \rightarrow B) = \int_A^B \mathbf{F} \cdot d\mathbf{r} = \frac{1}{2} M v_B^2 - \frac{1}{2} M v_A^2 \quad (5.15)$$

pentru o particulă liberă. Aceasta este o generalizare a ecuației (5.6).

Recunoaștem expresia:

$$E_c \equiv \frac{1}{2} M v^2 \quad (5.16)$$

ca fiind *energia cinetică* definită anterior în ecuația (5.6). Vedem din ecuația (5.15) că definițiile noastre pentru lucrul mecanic și energia cinetică au proprietatea că *lucrul mecanic efectuat asupra unei particule libere de către o forță arbitrară este egal cu variația energiei cinetice a particulei*

$$L(A \rightarrow B) = E_{cB} - E_{cA}. \quad (5.17)$$



## EXEMPLU

### Căderea liberă

(1) Repetăm un exemplu dat mai înainte. Dacă  $\hat{y}$  este un vector normal la suprafața pământului și îndreptat în sus, forța gravitațională este  $F_G = -Mg\hat{y}$ , unde  $g$  este accelerația gravitațională și are valoarea aproximativă  $9,8 \text{ m/s}^2$ . Să calculăm lucrul mecanic efectuat de greutate cînd un corp cu masa de  $0,1 \text{ kg}$  cade pe o distanță de  $0,1 \text{ m}$ . Putem lua:

$$r_A = 0, \quad r_B = -0,1 \hat{y}, \quad \Delta r = r_B - r_A = -0,1 \hat{y}.$$

Lucrul mecanic efectuat de către forța gravitațională este:

$$L = F_G \cdot \Delta r = (-Mg\hat{y})(-0,1\hat{y}) = (0,1)(9,8)(0,1)(\hat{y} \cdot \hat{y}) = 9,8 \cdot 10^{-2} \text{ J}.$$

Notăm că lucrul mecanic  $L$  este independent de orice deplasare orizontală  $\Delta x$ . Aici forța gravitațională a jucat rolul forței  $F$ .

(2) Dacă în (1) particula are inițial viteza de  $1 \text{ m/s}$ , care va fi energia cinetică și viteza sa la sfîrșitul căderii de  $0,1 \text{ m}$ ?

Valoarea inițială  $E_{cA}$  a energiei cinetice este  $\frac{1}{2} (0,1) \cdot 1^2 = 5 \cdot 10^{-2} \text{ J}$ ; valoarea finală  $E_{cB}$ , conform ecuației (5.17), este egală cu lucrul mecanic efectuat asupra particulei de către forța de greutate, plus energia cinetică în  $A$ :

$$E_{cB} = L + \frac{1}{2} Mv_A^2 = 9,8 \times 10^{-2} + 5 \times 10^{-2} \approx 15 \times 10^{-2};$$

$$v_B^2 = \frac{2 \times 15 \times 10^{-2}}{0,1} \approx 3$$

$$v_B \approx 1,7 \text{ m/s}.$$

Acest rezultat este în concordanță cu ceea ce am fi obținut din aplicarea legii  $F = Ma$ ; subliniem, însă, că în metoda de mai sus nu am avut nevoie să specificăm direcția vitezei inițiale de  $1 \text{ m/s}$ . Dacă viteza inițială ar fi fost în direcția  $x$ , ea ar fi rămas constantă și

$$\frac{1}{2} M(v_y^2 + v_x^2)_B - \frac{1}{2} M(v_x^2)_A = 9,8 \times 10^{-2}$$

$$v_{yB} \approx \sqrt{2}$$

$$v_B = \sqrt{v_{xB}^2 + v_{yB}^2} = \sqrt{1 + 2} = 1,7 \text{ m/s}.$$

sau, dacă  $v_y$  ar fi în direcția  $y$  negativă, putem aplica relațiile cunoscute pentru corpurile în cădere

$$h = v_0 t + \frac{1}{2} g t^2;$$

$$v - v_0 = g t;$$

$$h = v_0 \frac{v - v_0}{g} + \frac{1}{2} g \left( \frac{v - v_0}{g} \right)^2;$$

$$2gh = v^2 - v_0^2.$$

De aici putem obține din nou aceeași relație între lucru mecanic și energie

$$Mgh = \frac{1}{2} Mv_B^2 - \frac{1}{2} Mv_0^2, \text{ deoarece } v_0 = v_A.$$

Acesta este un exemplu care ilustrează faptul că rezultatele obținute din legea de conservare trebuie să fie compatibile cu ecuațiile de mișcare. Aici, folosind conservarea energiei, am obținut același rezultat ca și prin folosirea ecuației  $v^2 - v_0^2 = 2gh$ , dedusă din ecuația de mișcare  $\mathbf{F} = M\mathbf{a}$  (conform capitolului 3).

**Energia potențială.** Am menționat (pagina 163) că numai *diferențele* energiilor potențiale au sens. Definiția noastră pentru energia potențială indică faptul că diferența dintre energia potențială în punctul  $B$  și cea în punctul  $A$  este lucrul mecanic pe care *noi* trebuie să îl facem pentru a mișca corpul fără accelerație din  $A$  în  $B$ , astfel încît

$$E_p(\mathbf{r}_B) - E_p(\mathbf{r}_A) = L(A \longrightarrow B) = \int_A^B \mathbf{F}_{ag} \cdot d\mathbf{r}. \quad (5.18)$$

Diferențele pot fi pozitive sau negative: adică, dacă consumăm un lucru mecanic împotriva forțelor câmpului, energia potențială crește  $E_p(\mathbf{r}_B) > E_p(\mathbf{r}_A)$ ; dacă lucrul mecanic este cheltuit împotriva noastră de către forțele câmpului (noi facem un lucru mecanic negativ), energia potențială se micșorează. Se poate vedea că, dacă energia potențială crește mergînd de la  $A$  la  $B$ , energia cinetică a unei particule libere mișcîndu-se în această direcție va descresce (desigur, cînd  $\mathbf{F}_{ag}$  nu acționează), în timp ce, dacă energia potențială descresce, energia cinetică va crește. Dacă acum precizăm  $E_p(A) = 0$  în ecuația (5.18), atunci valoarea lui  $E_p(B)$  este unic definită, cu condiția ca forțele să fie conservative (vezi pagina 177).

## EXEMPLU

**Forța elastică. Transformarea energiei cinetice în energie potențială și reciproc.** O particulă este supusă unei *forțe elastice* în direcția  $x$ . Forța elastică este o forță direct proporțională cu deplasarea (elongația) măsurată dintr-un anumit punct fix și avînd direcția și sensul prin care tinde să reducă această deplasare (vezi fig. 5.6,  $a-c$ ). Dacă luăm punctul fix ca origine

$$\mathbf{F} = -kx\hat{x} \text{ sau } F_x = -kx, \quad (5.19)$$

unde  $k$  este o constantă pozitivă, numită *constantă elastică*. Această relație reprezintă *legea lui Hooke*. Pentru deplasări suficient de mici, o asemenea forță poate fi produsă de un resort alungit sau comprimat. Pentru deplasările elastice mari trebuie să adăugăm la ecuația (5.19) termeni conținînd puteri superioare ale lui  $x$ . Semnul forței este astfel încît particula este mereu atrasă către originea  $x = 0$ .

(1) Considerăm o particulă atașată resortului și acționăm cu o forță care duce particula dintr-un punct  $x_1$  în alt punct  $x_2$ . Care este lucrul mecanic pe care îl consumăm în această deplasare?

Aici forța aplicată particulei este o funcție de poziție. Pentru a calcula lucrul mecanic pe care îl efectuăm, folosim definiția din ecuația (5.12) și avem, folosind  $\mathbf{F}_{ag} = -\mathbf{F} = kx\hat{x}$ :



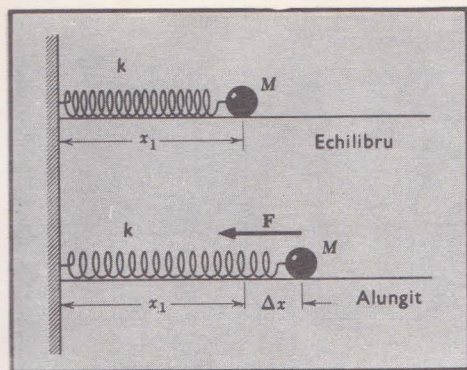


FIG. 5.6. (a) Un resort fără masă este legat de un corp de masă  $M$ . Dacă resortul este alungit cu o mică cantitate  $\Delta x$ , el exercită asupra corpului  $M$  o forță elastică  $F = -k\Delta x$  în sensul arătat. Aici  $k$  desemnează constanta elastică a resortului.

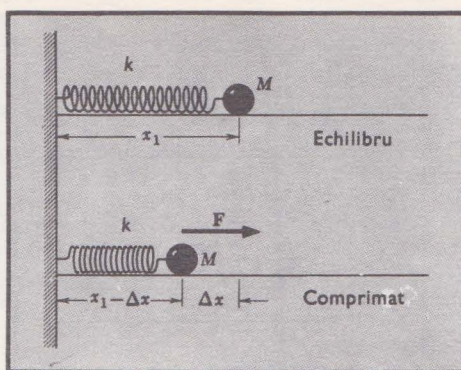


FIG. 5.6. (b) Dacă resortul este comprimat cu o cantitate  $-\Delta x$ , el exercită asupra lui  $M$  o forță elastică egală cu  $-k(-\Delta x) = k\Delta x$ , după cum se arată.

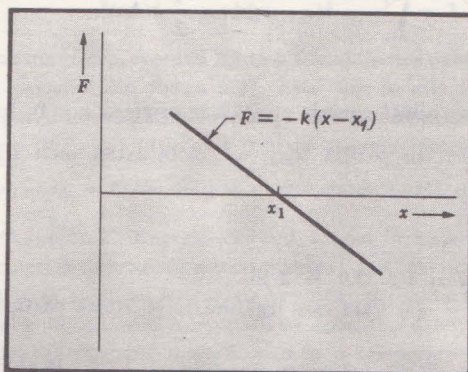


FIG. 5.6. (c) Pentru o deplasare mică din  $x_1$ , forța elastică este proporțională cu deplasarea.

$$L(x_1 - x_2) = \int_{x_1}^{x_2} F_{ag} \cdot dr = k \int_{x_1}^{x_2} x dx = \frac{1}{2} k(x_2^2 - x_1^2).$$

Dacă alegem punctul  $x_1 = 0$ , poziția de echilibru, ca zero al energiei potențiale, atunci:

$$E_p(x) = \frac{1}{2} kx^2. \quad (5.20)$$

Acesta este un rezultat celebru: energia potențială legată de o forță elastică este proporțională cu pătratul deplasării (vezi fig. 5.7 și 5.8).

(2) Dacă particula de masă  $M$  este lăsată liberă, în repaus în poziția  $x_{max}$ , care este energia sa cinetică în momentul în care ajunge în origine?

Obținem răspunsul, direct din ecuațiile (5.15) și (5.20): lucrul mecanic efectuat de **resort** cînd particula se mișcă de la  $x_{max}$  pînă în origine este:

$$L(x_{max} \rightarrow 0) = \frac{1}{2} Mv_1^2,$$

unde am folosit faptul că în poziția  $x_{max}$  viteza  $v = 0$ ; particula este presupusă a fi în repaus acolo. În origine viteza este  $v_1$ . Astfel, cantitatea:

$$\frac{1}{2} kx_{max}^2 = \frac{1}{2} Mv_1^2$$

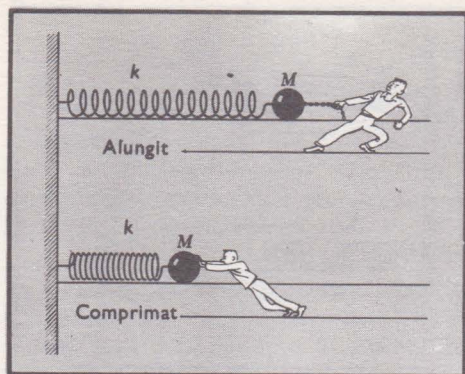


FIG. 5.7. Pentru a alungi (sau comprima) resortul trebuie să exercităm o forță egală și de sens contrar forței elastice. La deplasarea resortului cu o cantitate  $\Delta x$  din poziția de echilibru  $x_1$ , efectuăm lucrul mecanic

$$L = \int_{x_1}^{x_1 + \Delta x} k(x - x_1) dx = \frac{1}{2} k(\Delta x)^2.$$

reprezintă energia cinetică în originea  $x = 0$ . În mod alternativ, putem folosi conservarea energiei. În poziția  $x_{max}$ ,  $E_c = 0$ , astfel încît  $E_p = \frac{1}{2} k x_{max}^2 = E$ . Atunci, în punctul  $x = 0$ :

$$\frac{1}{2} M v_1^2 = E = \frac{1}{2} k x_{max}^2, \quad (5.21)$$

(vezi fig. 5.9 și 5.10).

(3) Care este legătura între viteza particulei în origine și deplasarea maximă  $x_{max}$ ?

$$v_1^2 = \frac{k}{M} x_{max}^2$$

sau

$$v_1 = \pm \sqrt{\frac{k}{M}} x_{max} \quad (5.22)$$

FIG. 5.9. Dacă sistemul resort-masă este alungit cu  $\Delta x$  și apoi lăsat liber, energia potențială  $E_p$  va descresce inițial iar energia cinetică,  $E_c$ , va crește.

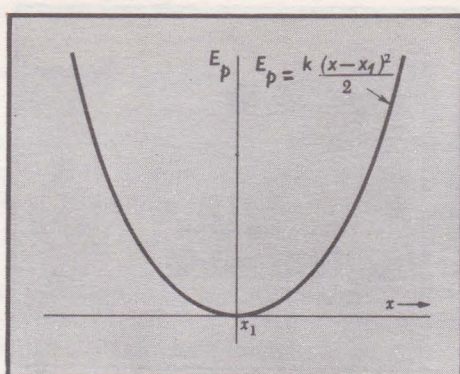
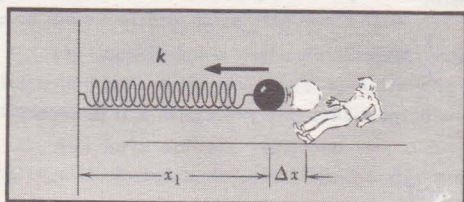
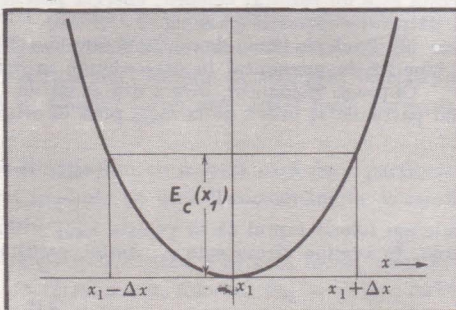


FIG. 5.8. Prin efectuarea acestui lucru mecanic, energia potențială a sistemului resort-masă crește. Un sistem resort-masă deplasat cu  $\Delta x = x - x_1$  față de poziția de echilibru are energia potențială  $E_p = \frac{1}{2} k(\Delta x)^2 =$

$$= \frac{1}{2} k(x - x_1)^2.$$

FIG. 5.10. La  $x = x_1$ ,  $E_p = 0$  și  $E_c(x_1) = \frac{1}{2} k(\Delta x)^2$  după cum este indicat.





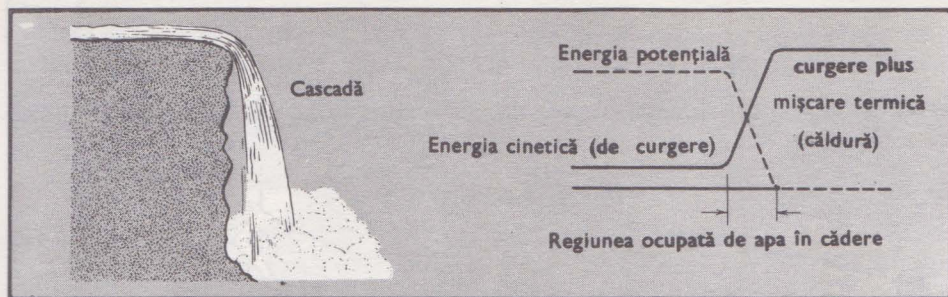


FIG. 5.11. Cascada ca ilustrare a transformării între formele de energie.

### EXEMPLU

**Transformarea energiei într-o cascadă.** Transformarea energiei dintr-o formă (potențială) în altă formă (cinetică) este ilustrată în cazul cascadei din figura 5.11. Apa care se află în partea de sus a cascadei are energie potențială gravitațională care în cădere este transformată în energie cinetică. O masă  $M$  de apă în cădere de la o înălțime  $h$  pierde energia potențială  $Mgh$  și cîștigă energia cinetică  $\frac{1}{2} M(v^2 - v_0^2) = Mgh$ . (Viteza  $v$  este determinată de această ecuație dacă viteza inițială  $v_0$  a apei este cunoscută.) Energia cinetică a apei în cădere poate fi utilizată într-o hidrocentrală ca energie cinetică rotațională a unei turbine; sau, energia cinetică a apei în cădere se poate transforma la baza cascadei în energie termică sau căldură. Energia termică este pur și simplu energia mișcării dezordonate a moleculelor apei. (La o temperatură mai înaltă, mișcarea moleculară dezordonată este mai intensă decît la o temperatură mai joasă.)

### EXEMPLU

**Transformarea energiei în săritura cu prăjină.** Un exemplu destul de amuzant de transformare a energiei între diversele ei forme — energie cinetică, energie potențială a prăjinii îndoită elastic și energie potențială datorită ridicării — este oferit de șirul de imagini din figura 5.12 și de explicațiile care le însoțesc.

## FORȚE CONSERVATIVE

O forță se numește *conservativă*, dacă lucrul mecanic  $L(A \rightarrow B)$  efectuat de forță cînd deplasează o particulă de la  $A$  la  $B$  este independent de drumul pe care este deplasată particula între  $A$  și  $B$ . Dacă  $L(A \rightarrow B)$  din relația

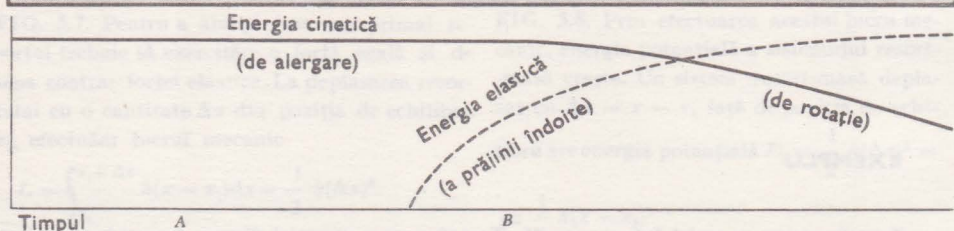
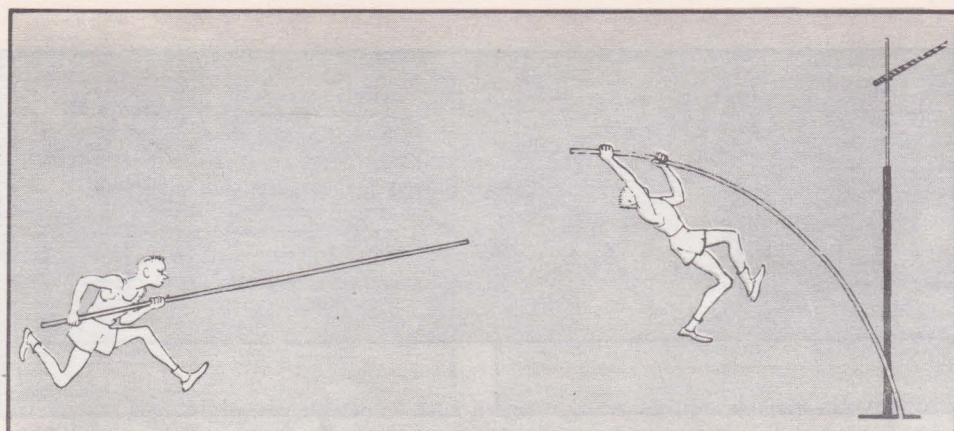
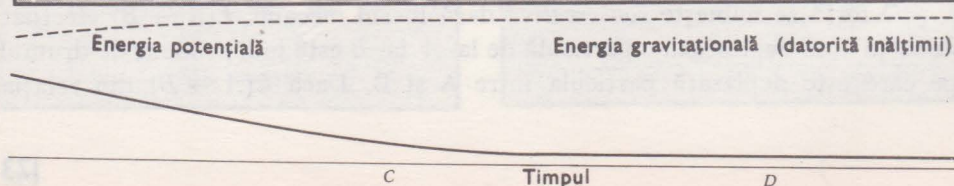
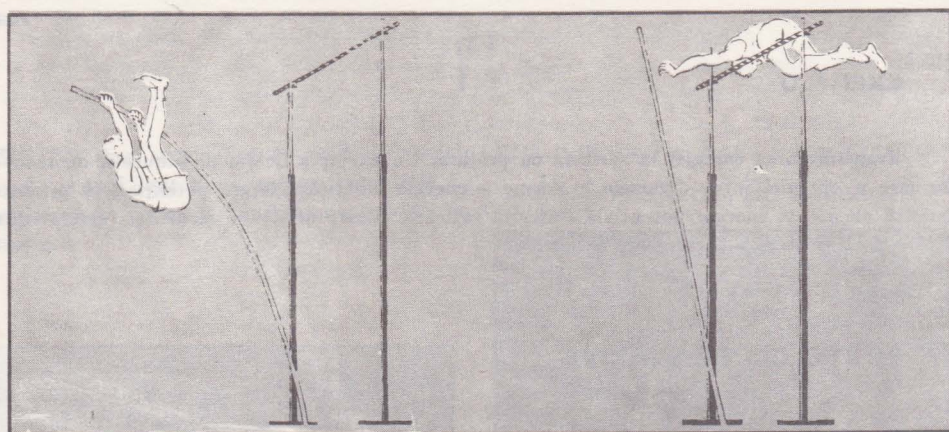


FIG. 5.12. Mișcarea săritorului cu prăjină. În *A* energia sa este în întregime cinetică, legată de viteza de alergare. În *B* săritorul pune capătul anterior al prăjinii pe sol și (în special cu noile prăjini din fibre de sticlă) înmagazinează energie potențială elastică în prăjină prin îndoirea acesteia. În *C* el se ridică în aer. El mai are încă o energie cinetică considerabilă, asociată acum cu viteza sa de rotație în jurul capătului inferior al prăjinii. Are, de asemenea, energie potențială atât de natură gravitațională cât și din restul de energie elastică a prăjinii. În *D*, când trece peste ștachetă, energia sa cinetică este mică deoarece se mișcă lent; energia potențială (gravitațională) este mare. Energia totală nu este mereu constantă în săritura cu prăjină din cauza frecărilor (externe și musculare) și din cauză că, pentru îndoirea prăjinii, sportivul efectuează lucru mecanic. Ultima componentă a lucrului mecanic implică lucru mecanic și energie „internă” a corpului care nu au fost considerate în alergare sau ridicarea omului de la sol.





(5.15) are o valoare diferită cînd se trece de la un drum la altul (ceea ce se întîmplă dacă ar fi prezentă frecarea), importanța relației (5.15) ar fi puternic diminuată. Admițînd că integrala  $\int_A^B \mathbf{F} \cdot d\mathbf{r}$  este independentă de drum, avem:

$$\int_A^B \mathbf{F} \cdot d\mathbf{r} = - \int_B^A \mathbf{F} \cdot d\mathbf{r}$$

sau

$$\int_A^B \mathbf{F} \cdot d\mathbf{r} + \int_B^A \mathbf{F} \cdot d\mathbf{r} = 0 = \oint \mathbf{F} \cdot d\mathbf{r}$$

unde  $\oint$  reprezintă integrala luată de-a lungul unui drum închis, de exemplu, pornind din  $A$ , mergînd la  $B$  și apoi revenind la  $A$  pe un alt drum.

Putem vedea ușor că o forță centrală este conservativă. O *forță centrală* exercitată de o particulă asupra alteia este o forță a cărei mărime depinde numai de distanța dintre particule și a cărei direcție este de-a lungul dreptei care unește particulele. În figura 5.13 o forță centrală este dirijată din (sau către) centrul din punctul  $O$ . Două drumuri (notate 1 și 2) leagă punctele  $A$  și  $B$  după cum este indicat. Curbele trasate cu linii întrerupte sînt arce de cerc cu centrul în  $O$ . Să considerăm cantitățile  $\mathbf{F}_1 \cdot d\mathbf{r}_1$  și  $\mathbf{F}_2 \cdot d\mathbf{r}_2$  evaluate pe segmentele care leagă aceste cercuri. (Putem considera la fel de bine produsul  $\mathbf{F} \cdot d\mathbf{r}$  ca fiind proiecția lui  $\mathbf{F}$  pe  $d\mathbf{r}$  sau a lui  $d\mathbf{r}$  pe  $\mathbf{F}$ .) Mărimile  $F_1$  și  $F_2$  sînt egale pe cele 2 segmente, deoarece acestea se află la distanțe egale de punctul  $O$ ; proiecțiile  $dr \cos \theta$  ale segmentelor de drum pe vectorii respectivi  $\mathbf{F}$  sînt egale, deoarece, după cum putem vedea, distanța dintre cercuri; măsurată de-a lungul direcției lui  $\mathbf{F}_1$ , este egală cu distanța măsurată de-a lungul lui  $\mathbf{F}_2$ . Prin urmare, pe segmentele de drum considerate, avem:

$$\mathbf{F}_1 \cdot d\mathbf{r}_1 = \mathbf{F}_2 \cdot d\mathbf{r}_2.$$

Dar un argument identic se poate utiliza în mod succesiv pentru orice segmente de drum comparabile, astfel încît

$$\int_A^B \mathbf{F} \cdot d\mathbf{r} = \int_A^B \mathbf{F} \cdot d\mathbf{r}.$$

(Drumul 1)      (Drumul 2)

Pentru cîmpul gravitațional constant, demonstrația este dată în figura 5.14.

Forțele care au proprietatea că lucrul mecanic:

$$L(A \rightarrow B) = \int_A^B \mathbf{F} \cdot d\mathbf{r} \quad (5.23)$$

este independent de drum se numesc forțe *conservative*. Pentru forțele conservative lucrul mecanic efectuat de-a lungul unui drum închis este zero. Să presupunem că forța depinde de viteza cu care este parcurs drumul. (Forța exercitată asupra unei particule încărcate într-un cîmp magnetic, de exemplu, depinde de viteză.) Poate o astfel de forță să fie conservativă? Se întîmplă că forțele fundamentale importante dependente de viteză sînt conservative, deoarece direcția lor este *perpendiculară* pe direcția mișcării particulei, astfel



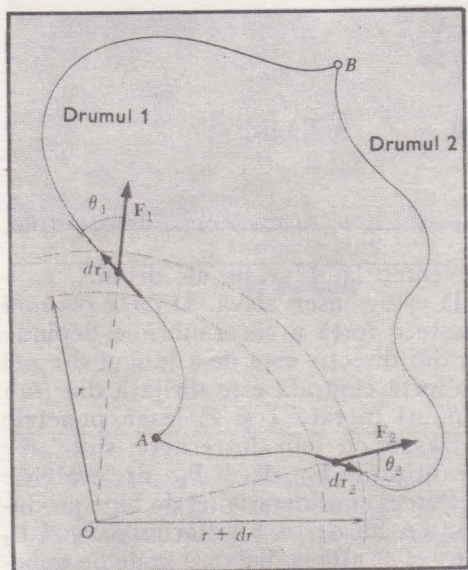


FIG. 5.13. Diagramă ilustrând evaluarea integralei  $\int_A^B \mathbf{F} \cdot d\mathbf{r}$  pentru două drumuri, în cazul în care  $\mathbf{F}$  este o forță centrală.

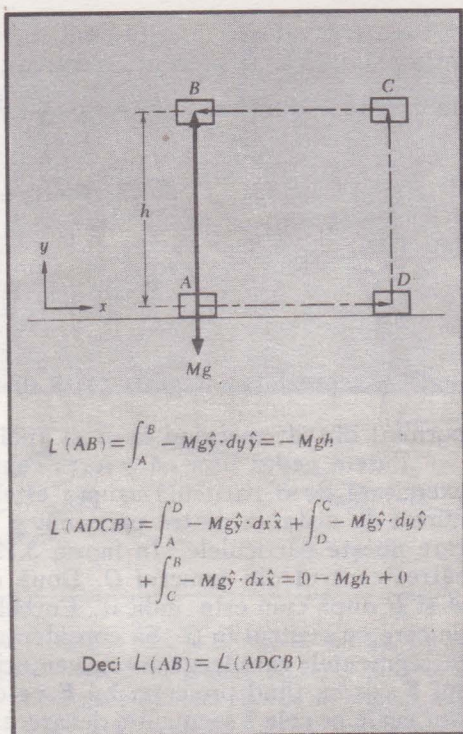


FIG. 5.14. Figură ilustrând integrala  $\int \mathbf{F} \cdot d\mathbf{r}$  pe două drumuri diferite, în cazul unui câmp gravitațional constant.

încît produsul  $\mathbf{F} \cdot d\mathbf{r} = 0$ . Putem constata acest lucru pentru forța Lorentz (capitolul 3), care este proporțională cu  $\mathbf{v} \times \mathbf{B}$ . Forțele de frecare nu sînt cu adevărat forțe fundamentale: ele sînt în schimb dependente de viteză și nu sînt forțe conservative.

Toată analiza noastră ia în considerare doar forțe între două corpuri. Aceasta este o presupunere importantă; este posibil ca unii dintre studenții acestui curs să fie solicitați în cariera lor științifică să atace problema forțelor între mai multe corpuri. O discuție a ceea ce este implicat în presupunerea forțelor între două corpuri este dată în volumul 2 (§ 1.6).

Se știe experimental că  $L(A \rightarrow B)$  este independent de drum pentru forțele gravitaționale și electrice. Acest rezultat pentru interacțiile între particulele elementare este obținut din experiențe de împrăștiere; pentru forțele gravitaționale rezultatul este dedus din precizia cu care sînt calculate mișcările Lunii și ale planetelor, după cum se discută în notele istorice de la sfîrșitul acestui capitol. Știm de asemenea că Pămîntul a efectuat aproximativ  $4 \times 10^9$  orbite complete în jurul Soarelui fără nici o schimbare importantă a distanței sale pînă la Soare, după cum se apreciază din probe geologice asupra temperaturii la suprafața Pămîntului. Mărturiile geologice relevante se extind în trecut cu aproximativ  $10^9$  ani și nu pot fi considerate în întregime decisive din cauza numeroșilor factori, incluzînd energia furnizată de Soare, care afectează temperatura, totuși observația este sugestivă. (Alte exemple sînt discutate în notele istorice.)



Sînt necesare cîteva precizări în legătură cu forțele centrale în raport cu cele necentrale. Cînd considerăm interacția dintre două particule există două posibilități: sau particulele nu au alte coordonate în afara pozițiilor lor, sau una ori amîndouă particulele admit o axă care este semnificativă din punct de vedere fizic. În primul caz este *doar* posibil să existe o forță centrală, pe cînd în cel de-al doilea specificarea că particula se mișcă de la  $A$  la  $B$  este incompletă — trebuie să precizăm, de asemenea, că axa își păstrează aceeași direcție în raport cu un anumit reper. Un magnet în formă de bară are o axă semnificativă din punct de vedere fizic; dacă deplasăm magnetul de-a lungul unui drum închis într-un cîmp magnetic uniform, lucrul mecanic efectuat asupra magnetului poate fi nul sau diferit de zero. Anume, dacă magnetul este adus în final în aceeași poziție și are *aceeași orientare* ca cea din care a plecat, nu se efectuează nici un lucru mecanic. Dacă localizarea este aceeași dar orientarea este diferită, s-a consumat un lucru mecanic nenul. (Lucrul mecanic poate avea semnul plus sau minus.)

Este ușor de văzut că frecarea nu este o forță conservativă. Ea este totdeauna opusă sensului mișcării și astfel lucrul mecanic efectuat de o forță de frecare constantă într-o mișcare de la  $A$  la  $B$ , pe o distanță  $d$ , va fi  $F_f \cdot d$ ; dacă mișcarea este de la  $B$  la  $A$ , lucrul mecanic va fi tot  $F_f \cdot d$ . Dar, dacă frecarea este o manifestare a forțelor fundamentale și acestea sînt conservative, cum se explică faptul că frecarea nu este conservativă? Aceasta este o chestiune care depinde de cît de detaliată este analiza noastră. Dacă analizăm toată mișcarea la nivelul atomic al forțelor fundamentale, vom găsi „mișcarea” conservativă; dar dacă privim o parte din mișcare ca producînd căldură, care nu este utilă în sens mecanic, vom considera că a acționat frecarea. Identitatea dintre căldură și energia cinetică dezordonată este tratată în volumul 5. În capitolul 4, în discuția privind conservarea impulsului, am considerat ciocnirea neelastică a două particule. Energia cinetică nu s-a conservat; dar suma dintre energia cinetică și energia de excitare internă pentru cele două particule a fost numită *energie totală* și s-a presupus că ea se conservă, în concordanță cu toate experiențele cunoscute.

Ne întorcem acum la discuția noastră privind energia potențială. În discuția referitoare la forțele conservative am subliniat (pagina 170) că energia potențială într-un punct poate fi definită în mod unic și, în consecință util, numai în cazul forțelor conservative. Am văzut cum se calculează energia potențială cunoscînd forțele care acționează într-o problemă: alegem un zero și apoi calculăm lucrul mecanic pe care îl efectuăm noi (sau agentul) cînd deplasăm sistemul lent, fără modificarea energiei cinetice, din zero pînă în poziția dorită. Deoarece forța  $F_{ag}$  este mereu egală și de semn contrar cu forța  $F$  a problemei, vedem că știind forțele problemei sîntem capabili să calculăm energia potențială:

$$\int_A^r F_{ag} \cdot dr = - \int_A^r F dr = E_p(r) - E_p(A) = E_p(r), \quad (5.24)$$

presupunînd  $E_p(A) = 0$ .

Dar, cunoașterea energiei potențiale ne permite să calculăm forțele? Răspunsul este afirmativ. Într-o dimensiune avem:

$$U(x) - U(A) = E_p(x) - E_p(A) = - \int_A^x F dx \quad (5.25)$$



de unde, prin derivare în raport cu  $x$ , obținem:

$$\frac{dU}{dx} = \frac{dE_p}{dx} = -F. \quad (5.26)$$

Acest rezultat poate fi verificat prin introducerea relației (5.26) în (5.25):

$$-\int_A^x F dx = \int_A^x \frac{dE_p}{dx} dx = \int_A^x dE_p = E_p(x) - E_p(A). \quad (5.27)$$

Ecuția (5.26) este o ilustrare a rezultatului general că forța este dată de viteza de variație în spațiu a energiei potențiale luată cu semn schimbat. În trei dimensiuni expresia analoagă ecuației (5.26) este <sup>1</sup>

$$\mathbf{F} = -\hat{\mathbf{x}} \frac{\partial E_p}{\partial x} - \hat{\mathbf{y}} \frac{\partial E_p}{\partial y} - \hat{\mathbf{z}} \frac{\partial E_p}{\partial z} \equiv -\text{grad } E_p \quad (5.28)$$

unde „grad” denotă operatorul gradient și este definit ca

$$\begin{aligned} \text{grad} &\equiv \hat{\mathbf{x}} \frac{\partial}{\partial x} + \hat{\mathbf{y}} \frac{\partial}{\partial y} + \hat{\mathbf{z}} \frac{\partial}{\partial z} \text{ în coordonate carteziane} \\ \text{grad} &\equiv \hat{\mathbf{r}} \frac{\partial}{\partial r} + \hat{\boldsymbol{\theta}} \frac{1}{r} \frac{\partial}{\partial \theta} \text{ în coordonate polare în plan.} \end{aligned} \quad (5.29)$$

Proprietățile generale ale operatorului gradient sînt prezentate în volumul 2. Se arată acolo că gradientul unui scalar este un vector a cărui direcție este cea corespunzînd vitezei maxime de variație spațială a scalarului și a cărui mărime este egală cu această viteză de variație. Gradientul unui scalar  $U$  este scris ca  $\text{grad } U$  sau  $\nabla U$ . Operatorul  $\nabla$  se citește „nabla” iar  $\nabla U$  se citește „nabla  $U$ ”.

Aplicarea acestor idei la cazul  $dU/dx = 0$ , al unei poziții de echilibru, precum și la stabilitatea acestui echilibru este arătată în figura 5.15, *a-c*.

Grafice simple ale energiei potențiale ca funcție de o coordonată  $x$  pot fi adesea foarte instructive. Figurile 5.16, *a-c* oferă astfel de exemple; ele folosesc faptul că energia cinetică  $E_c$  nu poate fi negativă. Care ar fi fost mișcarea dacă energia ar fi fost  $E'$  în figura 5.16, *b*? Formularea dată de noi legii conservării energiei

$$\text{energia cinetică} + \text{energia potențială} = \text{const.}$$

va fi generalizată în capitolul 12, pentru a include procese în care toată masa, sau o parte din ea, este convertită în energie. Asemenea procese intervin în cea mai mare parte a reacțiilor nucleare. Generalizarea necesară este o consecință naturală a teoriei restrînse a relativității.

<sup>1</sup> Simbolul  $\partial/\partial x$  indică derivarea parțială și implică faptul că  $y$  și  $z$  sînt considerați constanți în derivare. Aceeași semnificație se aplică și pentru  $\partial/\partial y$  și  $\partial/\partial z$ . Vezi, de exemplu, pagina 182.



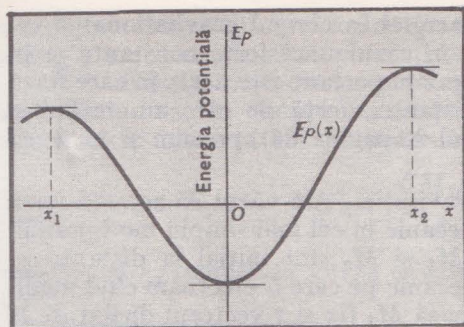


FIG. 5.15. (a). O funcție de energie potențială unidimensională  $U(x) = E_p(x)$ , reprezentată ca funcție de  $x$ . În punctele  $x = x_1$ ,  $O$  și  $x_2$  avem  $dU/dx = 0$  și astfel în aceste puncte forța  $F$  este zero. Acestea sînt, în consecință, poziții de echilibru, nu neapărat stabil.

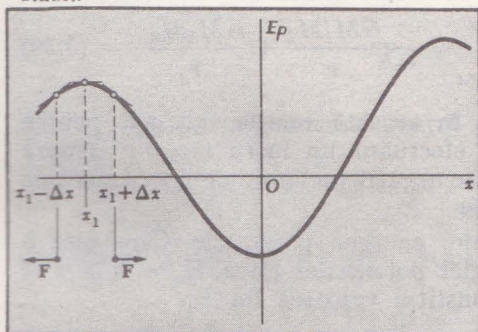


FIG. 5.15. (b) În punctul  $x_1 - \Delta x$ ,  $dU/dx > 0$  astfel încît  $F < 0$  (spre stînga). În  $x_1 + \Delta x$ ,  $dU/dx < 0$ , astfel încît  $F > 0$  (spre dreapta). Deci o mică deplasare din  $x_1$  are ca rezultat apariția unei forțe care tinde să crească această deplasare, astfel că  $x_1$  este o poziție de echilibru *instabil*.

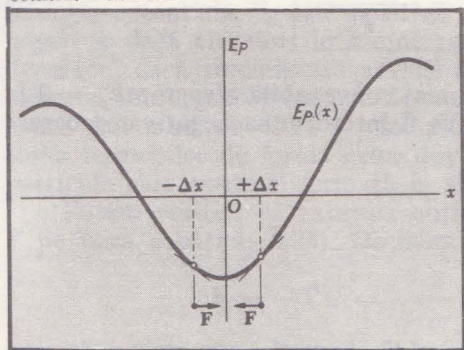


FIG. 5.15. (c) În  $x = -\Delta x$ ,  $dU/dx < 0$  și  $F$  este spre dreapta. În  $x = +\Delta x$ ,  $dU/dx > 0$  astfel încît  $F$  este spre stînga. Astfel  $x = 0$  este o poziție de echilibru *stabil*. Ce se poate spune despre  $x_2$ ?

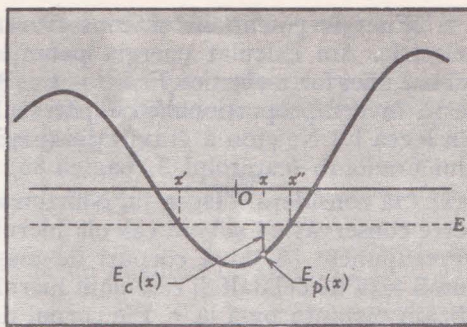


FIG. 5.16. (a). Energia totală  $E = E_c + E_p = \text{const.}$  Astfel, la o energie dată  $E$ , mișcarea poate avea loc doar între  $x'$  și  $x''$ , punctele „de întoarcere”. Între aceste puncte  $E_c = Mv^2/2 = E - E_p \geq 0$ .

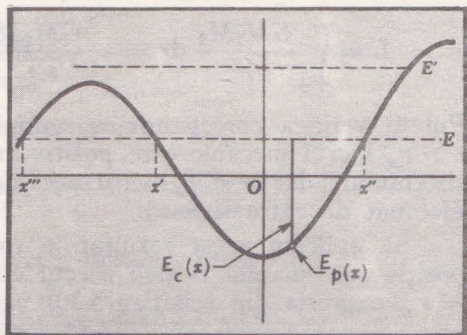


FIG. 5.16. (b) Dacă  $E$  crește, punctele de întoarcere  $x'$  și  $x''$  sînt, în general, deplasate. Acum  $E_c(x) = E - E_p(x)$  este mai mare. Acum mișcarea poate avea loc și la stînga lui  $x''$ , dacă a început din  $x'''$ .

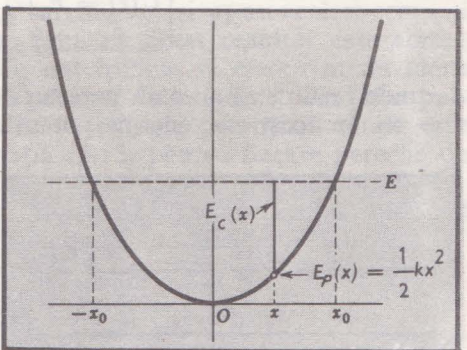


FIG. 5.16. (c) Oscilatorul armonic simplu este în echilibru stabil la  $x = 0$ . La  $x = \pm x_0$ ,  $E_c = 0$ .



**Energia potențială și conservarea energiei în câmpul gravitațional și cel electric.** Am calculat energia potențială în cazul unei forțe constante și în cel al unei forțe elastice  $F = -kx$ . Alt caz important este acela în care forța este invers proporțională cu pătratul distanței, forța pe care am întâlnit-o în legea lui Newton a gravitației (capitolul 3, pagina 84), precum și în legea lui Coulomb (capitolul 3, pagina 86).

Să considerăm legea lui Newton a gravitației. Am văzut că această forță este conservativă și vom calcula lucrul mecanic în cel mai simplu mod posibil. Presupunem că două corpuri de mase  $M_1$  și  $M_2$  sînt inițial la distanța  $r_A$  unul față de celălalt și calculăm lucrul mecanic pe care îl efectuăm cînd modificăm distanța pînă la  $r$ . Fie corpul de masă  $M_1$  fix și  $\mathbf{r}$  vectorul dirijat de la  $M_1$  la  $M_2$ , ca în figura 5.17. Dacă mișcăm  $M_2$  la o distanță  $\mathbf{r} + d\mathbf{r}$ , ca în figura 5.17, trebuie să consumăm lucrul mecanic:

$$dL = \mathbf{F}_{ag} \cdot d\mathbf{r} = \frac{GM_1M_2}{r^3} \mathbf{r} \cdot d\mathbf{r} = \frac{GM_1M_2}{r^2} dr.$$

Astfel lucrul mecanic efectuat pentru deplasarea totală va fi:

$$L = \int_{r_A}^r \frac{GM_1M_2}{r^2} dr = -\frac{GM_1M_2}{r} \Big|_{r_A}^r = -\frac{GM_1M_2}{r} + \frac{GM_1M_2}{r_A}. \quad (5.30)$$

Putem verifica corectitudinea semnelor în această relație, întrucît pentru  $r > r_A$  lucrul mecanic este pozitiv (noi efectuăm un lucru mecanic asupra sistemului); dacă  $r < r_A$  lucrul mecanic este negativ (noi obținem lucru mecanic efectuat de către sistem).

Să aplicăm acest rezultat la calculul energiei potențiale. Care este o poziție convenabilă pentru zeroul energiei potențiale? Dacă  $E_p = 0$  la  $r = r_A$ , expresia din ecuația (5.30) va constitui valoarea lui  $E_p$ :

$$E_p(r) = -\frac{GM_1M_2}{r} + \frac{GM_1M_2}{r_A}.$$

Observăm acum că  $r_A = \infty$  face ca ultimul termen să se anuleze, astfel încît:

$$U(r) = E_p(r) = -\frac{GM_1M_2}{r}. \quad (5.31)$$

de unde rezultă că aceasta pare a fi cea mai convenabilă alegere:  $E_p = 0$  la  $r = \infty$ . În acest caz, energia potențială va fi întotdeauna negativă, deoarece

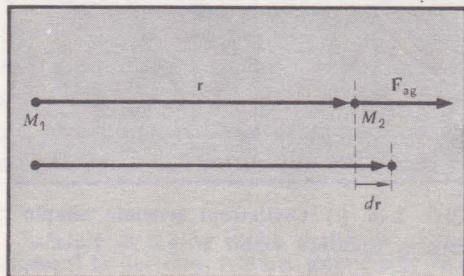


FIG. 5.17. Forța  $F_{ag}$  este egală și de semn contrar cu forța de atracție gravitațională și la o deplasare  $dr$  efectuează lucrul mecanic  $F_{ag} \cdot dr = F_{ag} \cdot dr$ .



noi obținem mereu lucru mecanic din partea sistemului dacă lăsăm masele să se apropie lent una de alta, pornind de la infinit.

Putem scrie acum conservarea energiei mecanice pentru un corp de masă  $M_1$  mișcându-se în câmpul gravitațional al unui corp de masă  $M$  ( $M \gg M_1$ , astfel încît mișcarea lui  $M$  poate fi neglijată):

$$E_p = \frac{1}{2} M_1 v_A^2 - \frac{GM_1 M}{r_A} = \frac{1}{2} M_1 v_B^2 - \frac{GM_1 M}{r_B} \quad (5.32)$$

unde  $v_A$  și  $r_A$  reprezintă viteza și distanța la un moment de timp,  $v_B$  și  $r_B$  la altul.

Ne întoarcem acum la cazul forței electrice:

$$\mathbf{F} = \frac{q_1 q_2}{4\pi\epsilon_0 r^3} \mathbf{r} = \frac{q_1 q_2}{4\pi\epsilon_0 r^2} \hat{\mathbf{r}}$$

pentru două sarcini  $q_1$  și  $q_2$ . Fie sarcina  $q_1$  fixă. Calculăm lucrul mecanic pe care îl efectuăm pentru a mișca sarcina  $q_2$  lent de la  $r_A$  la  $r$ . Forța pe care trebuie s-o exercităm este:

$$\mathbf{F}_{ag} = - \frac{q_1 q_2}{4\pi\epsilon_0 r^3} \mathbf{r}.$$

Lucrul mecanic infinitesimal pentru o deplasare  $d\mathbf{r}$  este:

$$dL = \mathbf{F}_{ag} \cdot d\mathbf{r} = - \frac{q_1 q_2}{4\pi\epsilon_0 r^3} \mathbf{r} \cdot d\mathbf{r} = - \frac{q_1 q_2}{4\pi\epsilon_0 r^2} dr$$

deoarece  $\mathbf{r}$  și  $d\mathbf{r}$  sînt paralele. Atunci, lucrul mecanic total este:

$$L = \int_{r_A}^r - \frac{q_1 q_2}{4\pi\epsilon_0 r^2} dr = - \frac{q_1 q_2}{4\pi\epsilon_0 r} \Big|_{r_A}^r = \frac{q_1 q_2}{4\pi\epsilon_0 r} - \frac{q_1 q_2}{4\pi\epsilon_0 r_A}.$$

Din nou este convenabil să punem  $E_p = 0$  la  $r = \infty$ , astfel încît:

$$U = E_p = \frac{q_1 q_2}{4\pi\epsilon_0 r}. \quad (5.33)$$

Energia potențială  $E_p$  este pozitivă dacă sarcinile  $q_1$  și  $q_2$  au același semn și negativă dacă ele sînt de semne opuse. Știm că acest rezultat este corect deoarece, dacă sarcinile au același semn, noi trebuie să efectuăm un lucru mecanic cînd le apropiem una de cealaltă pornind de la infinit. Cînd sînt prezente mai mult de două sarcini punctiforme, energia potențială totală este suma termenilor de forma celor din ecuația (5.33) pentru fiecare pereche de particule care poate fi formată în sistem.

Putem verifica că expresia obținută pentru  $U$  este corectă calculînd  $\mathbf{F}$  pe baza ecuației (5.28). Obținem pentru forța electrică:

$$\mathbf{F} = -\nabla U = - \frac{\partial}{\partial r} \left( \frac{1}{4\pi\epsilon_0} \frac{q_1 q_2}{r} \right) \hat{\mathbf{r}} = \frac{q_1 q_2}{4\pi\epsilon_0 r^2} \hat{\mathbf{r}}$$

și pentru forța gravitațională:

$$\mathbf{F} = -\nabla U = - \frac{\partial}{\partial r} \left( - \frac{GM_1 M_2}{r} \right) \hat{\mathbf{r}} = - \frac{GM_1 M_2}{r^2} \hat{\mathbf{r}}.$$

Dacă scriem:

$$r^2 = x^2 + y^2 + z^2$$

putem calcula pe  $F_x$ ,  $F_y$  și  $F_z$ :

$$F_x = - \frac{\partial}{\partial x} \left[ - \frac{GM_1 M_2}{(x^2 + y^2 + z^2)^{\frac{1}{2}}} \right] = - \frac{GM_1 M_2 x}{(x^2 + y^2 + z^2)^{\frac{3}{2}}} = - \frac{GM_1 M_2 x}{r^3}$$

sau, în mod similar, pentru câmpul electric:

$$F_x = - \frac{\partial}{\partial x} \frac{q_1 q_2}{4\pi\epsilon_0 (x^2 + y^2 + z^2)^{\frac{1}{2}}} = \frac{q_1 q_2 x}{4\pi\epsilon_0 (x^2 + y^2 + z^2)^{\frac{3}{2}}} = \frac{q_1 q_2 x}{4\pi\epsilon_0 r^3}.$$

Potențialul electrostatic  $V(\mathbf{r})$  în punctul  $\mathbf{r}$  este definit ca *energia potențială raportată la unitatea de sarcină pozitivă* în câmpul de forțe al tuturor celorlalte sarcini:

$$V(\mathbf{r}) = \frac{U(\mathbf{r})}{q} = \int_r^\infty \mathbf{E}(\mathbf{r}) \cdot d\mathbf{r}. \quad (5.34)$$

Aceasta este o mărime foarte utilă. De notat că potențialul este un scalar. Este foarte important să distingem  $V$  de energia potențială  $E_p(U)$ . Trebuie să evitați folosirea, în activitatea experimentală, a aceluiași simbol  $V$  pentru potențialul electrostatic ca și pentru energia potențială.

Dacă știm  $\mathbf{E}(\mathbf{r})$  în orice punct, putem găsi potențialul electrostatic  $V(\mathbf{r})$  în orice punct. [Aceasta presupune că ne-am hotărât unde să alegem un zero-punctu  $V(\mathbf{r})$ .] Este convenabil să lucrăm cu potențialul  $V(\mathbf{r})$ , deoarece este un scalar, în timp ce  $\mathbf{E}(\mathbf{r})$  este un vector.

Căderea de potențial sau *diferența de potențial*  $U$  între două puncte  $\mathbf{r}_2$  și  $\mathbf{r}_1$  este definită ca:

$$U = \Delta V = V(\mathbf{r}_2) - V(\mathbf{r}_1). \quad (5.35)$$

Aceasta reprezintă variația energiei potențiale electrostatice a unei sarcini pozitive egală cu unitatea când este deplasată din punctul  $\mathbf{r}_1$  în punctul  $\mathbf{r}_2$ . Astfel, pentru o sarcină  $q$  transportată între aceste puncte, variația energiei potențiale este:

$$E_p(\mathbf{r}_2) - E_p(\mathbf{r}_1) = q[V(\mathbf{r}_2) - V(\mathbf{r}_1)].$$

Unitatea pentru potențialul electrostatic sau diferența de potențial în sistemul SI este *voltul* (V). Această unitate este larg folosită în viața de toate zilele și în laborator. Un *volt* este egal cu 1 joule/1 coulomb (J/C). Câmpul electric în unități SI este măsurat în *volt/metru* (V/m); remarcați că potențialul nu se exprimă în coulombi/metru.

În sistemul gaussian CGS, unitatea pentru potențialul electrostatic este *statvoltul*. Am văzut în capitolul 3 că unitatea pentru intensitatea câmpului electric este numită *statvolt/centimetru*. Potențialul diferă de câmp în dimensiune printr-o lungime, astfel că  $V$  este măsurat în statvolți. Este, de asemenea, corect că  $V$  are dimensiunea [sarcină]/[lungime], astfel încât un nume posibil pentru unitatea de potențial este statcoulomb/cm. Un statvolt este de asemenea egal cu 1 erg/1 statcoulomb.



Legătura dintre unitățile în sistemul gaussian și SI este dată de egalitatea:

$$\frac{c}{10^6} \times \text{diferența de potențial în statvolți} = \text{diferența de potențial în volți}$$

unde  $c$  este viteza luminii în m/s. Sau, aproximativ:

$$300 \times \text{diferența de potențial în statvolți} \approx \text{diferența de potențial în volți.}$$

Dăm acum câteva exemple de probleme în care intervine energia potențială și potențialul, unele dintre ele implicând interacții prin forțe centrale de tip gravitațional și electric.

### EXEMPLU

**Viteza (cosmică) de evadare din câmpul gravitațional al Pământului și din Sistemul Solar.** Calculăm viteza inițială care trebuie imprimată unei particule de masă  $M$  pentru a putea părăsi (1) Pământul și (2) Sistemul Solar. (Neglijăm rotația Pământului.)

Figura 5.18 *a-f* ilustrează semnificația ca și utilizarea diagramelor energiei potențiale pentru acest tip de situație. Folosind formula (5.32), scriem energia totală  $E$  a unei particule de masă  $M$ , aflată la o distanță  $R_p$  egală cu raza Pământului față de centrul acestuia, sub forma:

$$E = \frac{1}{2} M v^2 - \frac{G M_p M}{R_p}$$

unde:

$$M_p = 5,98 \times 10^{24} \text{ kg}; \quad R_p = 6,4 \times 10^6 \text{ m}; \quad G = 6,67 \times 10^{-11}$$

(din capitolul 3, paginile 84–86).

Pentru ca particula să ajungă la distanță infinită de Pământ cu cea mai mică viteză posibilă (egală cu zero), energia ei totală trebuie să fie zero, deoarece atît energia cinetică, cît și poten-

FIG. 5.18. (a). Considerăm viteza de evadare necesară unui corp de masă  $M$  pentru a părăsi câmpul gravitațional al pământului, pornind de la suprafață.

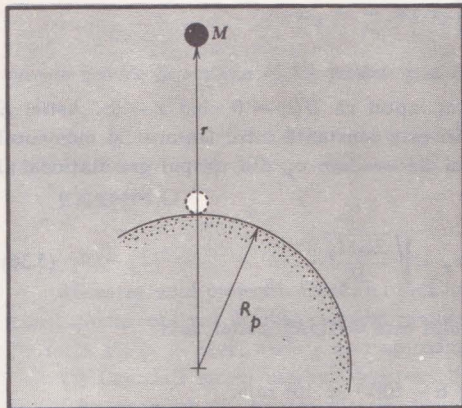
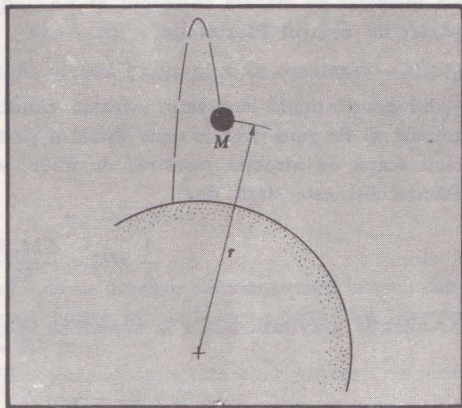


FIG. 5.18. (b) Traectoria în cazul în care energia cinetică este prea mică pentru ieșirea din câmpul gravitațional.



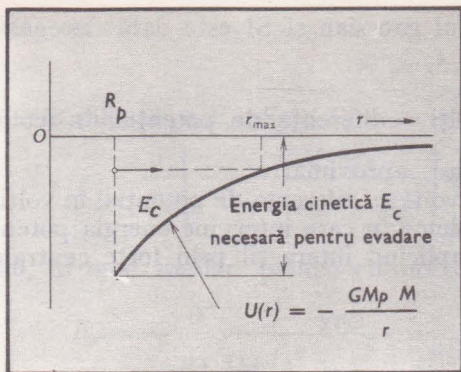


FIG. 5.18. (c) Reprezentăm energia cinetică inițială ca fiind prea mică pentru părăsirea cîmpului gravitațional. Pentru a atinge punctul de la infinit, trebuie ca  $E_c \geq |U|$ .

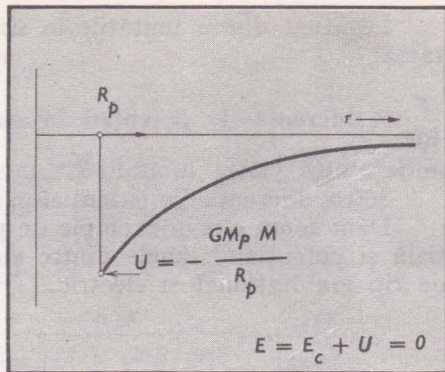


FIG. 5.18. (d) Vedem un corp de masă  $M$  lansat de la suprafața Pămîntului (raza  $R_p$ ) cu energia cinetică minimă necesară  $E_c = \frac{1}{2} M v_p^2 = GM_p M / R_p$ . Viteza de evadare din cîmpul terestru este notată cu  $v_p$ .

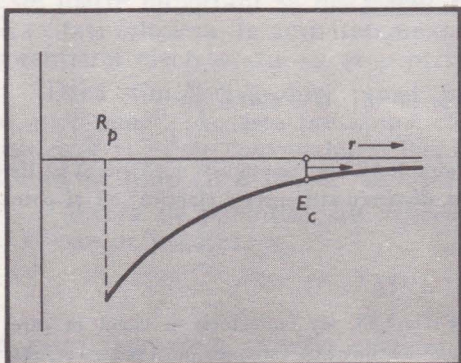


FIG. 5.18. (e) La un timp ulterior, energia potențială  $U$  a crescut și energia cinetică  $E_c$  s-a micșorat pe măsură ce corpul  $M$  s-a îndepărtat de centrul Pămîntului.

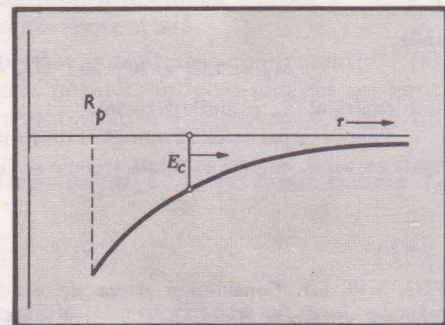


FIG. 5.18. (f) Și mai târziu,  $E_c$  și  $|U|$  au scăzut în continuare.

țialul gravitațional sint zero. Aceasta rezultă din faptul că  $U(r) \rightarrow 0$  cînd  $r \rightarrow \infty$ . Astfel  $E$  trebuie să fie zero dacă energia totală a particulei este constantă între lansare și momentul cînd scapă de atracția terestră; de unde, viteza de evadare  $v_p$  din cîmpul gravitațional al Pămîntului este dată de:

$$\frac{1}{2} M v_p^2 = \frac{GM_p M}{R_p}; v_p = \sqrt{\frac{2GM_p}{R_p}}. \quad (5.36)$$

Accelerația gravitațională  $g$  la suprafața Pămîntului este  $GM_p/R_p^2$  astfel încît:

$$v_p = \sqrt{2gR_p} \approx (2 \times 10 \times 6 \times 10^6)^{\frac{1}{2}} \approx 10^4 \text{ m/s}.$$



Pentru a scăpa de atracția exercitată exclusiv de către Soare, o particulă lansată de pe Pământ (la o distanță  $R_{ps}$  de Soare), are nevoie de o viteză inițială:

$$v_s = \sqrt{\frac{2GM_s}{R_{ps}}} = \left[ \frac{2 \times (7 \times 10^{-10}) \times (2 \times 10^{30})}{1,5 \times 10^{11}} \right]^{\frac{1}{2}} \approx 4 \times 10^4 \text{ m/s},$$

folosind raportul  $M_s/M_p = 3,3 \times 10^5$  și valoarea  $R_{ps} = 1,5 \times 10^{11}$  m. Pentru corpuri lansate pe Pământ, ieșirea din Sistemul solar este mai dificilă decît părăsirea cîmpului gravitațional terestru.

## EXEMPLU

**Energia potențială în apropierea suprafeței Pământului.** Energia potențială gravitațională a unui corp de masă  $M$  la o distanță  $r$  față de centrul Pământului este, pentru  $r > R_p$ :

$$E_p(r) = -\frac{GMM_p}{r}$$

unde  $M_p$  este masa Pământului. Dacă  $R_p$  este raza Pământului și  $y$  înălțimea de la suprafața Pământului, vrem să arătăm că:

$$E_p \approx -MgR_p + Mgy \quad (5.37)$$

pentru  $y/R_p \ll 1$ . Aici  $g = GM_p/R_p^2 \approx 9,8 \text{ m/s}^2$ . Demonstrația se face astfel. Avem

$$E_p = -GMM_p \frac{1}{(R_p + y)}$$

de mai sus, cu  $r = R_p + y$ . Împărțim numărătorul și numitorul prin  $R_p$ :

$$E_p = -\frac{GMM_p}{R_p} \frac{1}{(1 + y/R_p)}.$$

Putem acum folosi dezvoltarea din ecuația (2.49) (Dwight, 9.04) pentru a scrie ( $n = -1$ ):

$$E_p = -\frac{GMM_p}{R_p} \left[ 1 - \frac{y}{R_p} + \frac{y^2}{R_p^2} \dots \right].$$

Fie  $g = GM_p/R_p^2$ , atunci:

$$E_p = -MgR_p \left( 1 - \frac{y}{R_p} + \frac{y^2}{R_p^2} - \dots \right)$$

care se reduce la ecuația (5.37) pentru  $y \ll R_p$  și la ecuația (5.8), pînă la constanta  $-MgR_p$ .

## EXEMPLU

**Mișcarea unui proiectil.** Dăm aici încă un exemplu de mișcare bidimensională într-un cîmp gravitațional constant. Problema a fost rezolvată mai înainte, folosind legea a doua a lui Newton. Fie forța  $F_G = -Mg\hat{y}$ , unde  $g$  este aproximativ  $9,8 \text{ m/s}^2$ .

(1) Calculați lucrul mecanic efectuat de către forța de greutate cînd un corp cu masa de  $0,1 \text{ kg}$  se mișcă din origine pînă în punctul  $r = 0,50 \hat{x} + 0,50 \hat{y}$ .

$$L = \int_{0,0}^{0,5; 0,5} \mathbf{F}_G \cdot d\mathbf{r} = -Mg\hat{y} \cdot (0,50\hat{x} + 0,5\hat{y}) = -0,1 \times 9,8 \times 0,5 = -4,9 \cdot 10^{-1} \text{ J.}$$

Forța gravitațională efectuează un lucru mecanic negativ; altfel spus, lucrul mecanic este efectuat *împotriva* sa de către un agent extern.

(2) Care este variația energiei potențiale în această deplasare?

$$\mathbf{F}_{ag} = Mg\hat{y}$$

și deci:

$$\Delta E_p = -L = +4,9 \times 10^{-1} \text{ J}$$

astfel încît energia potențială crește cu  $4,9 \times 10^{-1} \text{ J}$ ; vedem că dacă  $E_p = 0$  pentru  $x = 0$  și  $y = 0$  avem:

$$E_p = Mgy.$$

(3) La ce înălțime se va ridica o particulă de masă  $M$  aruncată din origine cu viteza  $v_0$  care face un unghi  $\theta$  cu orizontala?

În cazul de față putem folosi faptul că  $v_x$  nu se modifică:

$$E = \frac{1}{2} Mv_0^2 = \frac{1}{2} M(v_x^2 + v_y^2) = \frac{1}{2} M(v_0^2 \cos^2 \theta + v_0^2 \sin^2 \theta) = \frac{1}{2} Mv_0^2 \cos^2 \theta + Mgy_{\max};$$

$$y_{\max} = \frac{v_0^2 \sin^2 \theta}{2g}$$

rezultat care poate fi obținut din ecuația (3.9).

## EXEMPLU

**Cîmpul electrostatic.** Care este mărimea cîmpului electric la o distanță de  $1\text{\AA}$  ( $1\text{\AA} = 10^{-10} \text{ m}$ ) față de proton?

Din legea lui Coulomb avem:

$$E = \frac{1}{4\pi\epsilon_0} \frac{e}{r^2} \approx \frac{(9 \cdot 10^9) \cdot (1,6 \cdot 10^{-19})}{(1 \cdot 10^{-10})^2} \approx 1,5 \cdot 10^{11} \text{ V/m.}$$

Cîmpul este dirijat radial și îndreptat de la proton către exterior.

**Potențialul.** Care este potențialul în acest punct? Din ecuațiile (5.33) și (5.34) avem:

$$V(r) = \frac{1}{q} \frac{1}{4\pi\epsilon_0} \frac{qe}{r} = \frac{e}{4\pi\epsilon_0 r} = 9 \times 10^9 \frac{1,6 \times 10^{-19}}{1 \times 10^{-10}} \approx 15 \text{ V.}$$

**Diferența de potențial.** Care este diferența de potențial între două puncte situate la o distanță de  $1\text{\AA}$  și respectiv  $0,2\text{\AA}$  față de proton?

Potențialul electric la distanța de  $1 \cdot 10^{-10} \text{ m}$  este  $15 \text{ V}$  iar la  $0,2 \cdot 10^{-10} \text{ m}$  este  $75 \text{ V}$ . Diferența de potențial va fi  $75 - 15 = 60 \text{ V}$ .



**Energia unei particule încărcate, dedusă din diferența de potențial.** Un proton aflat în repaus este lăsat liber la o distanță de 1 Å de alt proton. Care este energia cinetică când protonii au ajuns la o distanță infinită unul față de celălalt?

Din conservarea energiei știm că energia cinetică trebuie să fie egală cu energia potențială inițială, care este:

$$\frac{1}{4\pi\epsilon_0} \frac{e^2}{r} = 9 \cdot 10^9 \frac{(1,6 \cdot 10^{-19})^2}{1 \cdot 10^{-10} \text{ m}} = 23 \cdot 10^{-19} \text{ J}.$$

Dacă un proton este menținut în repaus în timp ce celălalt se mișcă, viteza finală a protonului mobil se obține (folosind conservarea energiei) din relațiile:

$$\frac{1}{2} Mv^2 = 23 \cdot 10^{-19} \text{ J};$$

$$v^2 = \frac{2 \cdot 23 \cdot 10^{-19} \text{ J}}{1,67 \cdot 10^{-27} \text{ kg}} \approx 27 \cdot 10^8 \text{ (m/s)}^2$$

sau

$$v \approx 5 \times 10^4 \text{ m/s}.$$

Dacă ambii protoni sînt liberi să se miște, fiecare proton va avea aceeași energie cinetică cînd se vor găsi la distanță mare unul față de celălalt, astfel încît:

$$\frac{1}{2} Mv_1^2 + \frac{1}{2} Mv_2^2 = Mv^2 \approx 23 \cdot 10^{-19} \text{ J}$$

și deci:

$$v \approx \frac{5 \times 10^4 \text{ m/s}}{\sqrt{2}} \approx 3,5 \cdot 10^4 \text{ m/s}.$$

**Accelerarea protonului într-un cîmp electric uniform.** Un proton aflat inițial în repaus este accelerat de un cîmp electric uniform. Protonul străbate o diferență de potențial de 100 V. Care este energia sa cinetică finală?

Energia cinetică va fi egală cu variația energiei potențiale, care este  $e\Delta V$  sau:

$$(1,6 \cdot 10^{-19} \text{ C}) \cdot (100 \text{ V}) \approx 1,6 \cdot 10^{-17} \text{ J}.$$

## EXEMPLU

**Electronvoltul.** O unitate convenabilă pentru energie în fizica atomică și nucleară este *electronvoltul* (eV), definit ca variația energiei potențiale a unei sarcini egală cu sarcina electronului  $e$ , între două puncte între care există o diferență de potențial de un volt, sau ca energia cinetică cîștigată de o sarcină egală cu  $e$  cînd străbate o diferență de potențial de un volt. Astfel:

$$1 \text{ eV} = 1,6 \cdot 10^{-19} \text{ C} \times 1 \text{ V} = 1,6 \cdot 10^{-19} \text{ J}.$$

O particulă alfa (nucleul  ${}^4\text{He}$  sau atomul de heliu dublu ionizat) accelerată din repaus de o diferență de potențial de 1000 V are o energie cinetică egală cu:

$$2e \times 1000 \text{ V} = 2000 \text{ eV}$$

unde:

$$2000 \text{ eV} = (2 \cdot 10^3)(1,6 \cdot 10^{-19}) = 3,2 \cdot 10^{-16} \text{ J}.$$

Am văzut că diferența  $E_{cB} - E_{cA}$  a energiilor cinetice ale unei particule între două puncte are proprietatea că:

$$E_{cB} - E_{cA} = \int_A^B \mathbf{F} \cdot d\mathbf{r}$$

unde  $\mathbf{F}$  este forța care acționează asupra particulei. Dar, știm din ecuația (5.25) că:

$$E_{pB} - E_{pA} = - \int_A^B \mathbf{F} \cdot d\mathbf{r}$$

astfel încît adunînd aceste două ecuații avem:

$$(E_{cB} + E_{pB}) - (E_{cA} + E_{pA}) = 0. \quad (5.38)$$

Așadar, *suma dintre energia cinetică și cea potențială este o constantă, independentă de timp*. Rescriînd ecuația (5.38) avem pentru un sistem uniparticulă funcția energie:

$$\boxed{E = \frac{1}{2} M v^2(A) + E_p(A) = \frac{1}{2} M v^2(B) + E_p(B)} \quad (5.39)$$

unde  $E$  este o constantă numită *energia* sau *energia totală* a sistemului. Ecuația (5.32) reprezintă exact această relație pentru cazul energiei potențiale gravitaționale.

Să scriem generalizarea relației (5.39) pentru un sistem de două particule în câmpul unui potențial extern:

$$E = E_c + E_p = \frac{1}{2} M_1 v_1^2 + \frac{1}{2} M_2 v_2^2 + E_{p1}(\mathbf{r}_1) + E_{p2}(\mathbf{r}_2) + E_p(\mathbf{r}_1 - \mathbf{r}_2) = \text{const.} \quad (5.40)$$

Primul termen este energia cinetică a particulei 1; al doilea termen este energia cinetică a particulei 2; al treilea și al patrulea termen reprezintă energiile potențiale ale particulelor 1 și 2 datorită potențialului extern; al cincilea termen este energia potențială datorită interacției între particulele 1 și 2. De notat că  $E_p(\mathbf{r}_1 - \mathbf{r}_2)$  este introdus numai o dată: dacă două particule interacționează, energia de interacțiune este reciprocă!

Dacă particulele 1 și 2 sînt protoni în câmpul gravitațional al Pămîntului, atunci energia  $E$  în relația (5.40) este:

$$E = \frac{1}{2} M(v_1^2 + v_2^2) + Mg(y_1 + y_2) - \frac{GM^2}{r_{12}} + \frac{e^2}{4\pi\epsilon_0 r_{12}},$$

unde  $y$  este măsurat în sus și  $r_{12} = |\mathbf{r}_1 - \mathbf{r}_2|$ . Ultimul termen este energia coulombiană a celor doi protoni; penultimul termen este energia lor gravitațională mutuală. Raportul ultimilor doi termeni este:

$$\frac{GM^2}{e^2/4\pi\epsilon_0} = \frac{10^{-10} \times 10^{-54}}{10^{16} \times 10^{-38}} = 10^{-36}$$

arătînd că, deoarece forțele depind de distanță în același mod, forța gravitațională între protoni este extrem de slabă în comparație cu forța electrostatică.

## PUTEREA

*Puterea*  $P$  este viteza cu care are loc în timp transferul de energie. Am definit lucrul mecanic efectuat asupra unei particule într-o deplasare  $\Delta\mathbf{r}$  de către o forță aplicată, ca fiind:

$$\Delta L = \mathbf{F} \cdot \Delta\mathbf{r}.$$



Viteza cu care acest lucru mecanic este efectuat de forță este:

$$\frac{\Delta L}{\Delta t} = \mathbf{F} \cdot \frac{\Delta \mathbf{r}}{\Delta t}.$$

La limită,  $\Delta t \rightarrow 0$ , avem puterea:

$$P = \frac{dL}{dt} = \mathbf{F} \cdot \frac{d\mathbf{r}}{dt} = \mathbf{F} \cdot \mathbf{v} \quad (5.41)$$

Din puterea  $P(t)$  ca funcție de timp putem scrie lucrul mecanic consumat, ca:

$$L(t_1 - t_2) = \int_{t_2}^{t_1} P(t) dt.$$

În sistemul SI unitatea de putere este 1 joule/1 secundă (J/s), unitate care se numește *watt* (1 W). În sistemul CGS unitatea de putere este *erg/secundă*. Pentru a găsi puterea în erg/s se înmulțește puterea exprimată în wați prin  $10^7$ . Pentru a obține puterea în wați din valoarea exprimată în cai-putere (CP) se înmulțește aproximativ prin 736.

## PROBLEME

1. *Energie potențială și cinetică — corp în cădere*

(a) Care este energia potențială a unui corp cu masa de 1 kg aflat la o înălțime de 1 km deasupra pământului? Raportați energia potențială la suprafața pământului.

R: 9 800 J.

(b) Care este energia cinetică a unui corp cu masa de 1 kg lăsat să cadă liber de la o înălțime de 1 km, în momentul în care atinge pământul? Se neglijează frecarea.

R: 9 800 J.

(c) Care este energia cinetică a aceluiași corp la jumătatea drumului în cădere?

(d) Care este energia potențială la jumătatea drumului în cădere? Suma lui (c) și (d) trebuie să fie egală cu (a) sau (b). De ce?

2. *Energia potențială deasupra pământului*

(a) Care este energia potențială  $E_p(R_p)$  a unui corp avînd masa de 1 kg aflat la suprafața pământului dacă se ia energia potențială zero la distanță infinită? [De notat că  $E_p(R_p)$  este negativă.]

R:  $-6,25 \cdot 10^7$  J.

(b) Care este energia potențială a unui corp cu masa de 1 kg aflat la o distanță de  $40^5$  km față de centrul pământului, luînd energia potențială zero la distanță infinită?

R:  $-3,98 \cdot 10^6$  J.

- (c) Care este lucrul mecanic necesar pentru a deplasa corpul de la suprafața pământului într-un punct situat la o distanță de  $10^5$  km față de centrul pământului?

### 3. Energia potențială electrostatică

- (a) Care este energia potențială electrostatică a unui electron și a unui proton separați printr-o distanță de  $1\text{ \AA} = 10^{-10}\text{ m}$  luând energia potențială egală cu zero la separare infinită?

$$R: -2,3 \cdot 10^{-18} \text{ J}$$

- (b) Care este energia potențială electrostatică a doi protoni aflați la aceeași distanță? (Acordați atenție specială semnului rezultatului.)

### 4. Satelit pe orbită circulară

- (a) Care este forța centrifugă exercitată asupra unui satelit mișcându-se pe o orbită circulară în jurul Pământului la o distanță  $r$  de centrul Pământului? Viteza satelitului relativă la centrul Pământului este  $v$  iar masa sa este  $M$ .
- (b) Egalați forța centrifugă din (a) cu forța gravitațională ( $M$  este în echilibru în sistemul în rotație).
- (c) Exprimați  $v$  în funcție de  $r$ ,  $G$  și  $M_P$ .
- (d) Care este raportul dintre energia cinetică și cea potențială presupunând  $E_p = 0$  la  $r = \infty$ ?

5. *Energia cinetică a Lunii.* Care este energia cinetică a Lunii, relativ la Pământ? Datele necesare sînt indicate în tabelul de constante de la paginile 435 – 436.

6. *Resortul anarmonic.* Un resort special are legea forței  $F = -Dx^3$ .

- (a) Care este energia potențială în punctul  $x$  presupunând  $E_p = 0$  la  $x = 0$ ?

$$R: \frac{1}{4} Dx^4.$$

- (b) Ce lucru mecanic se efectuează asupra resortului pentru a-l alungi lent de la 0 la  $x$ ?

### 7. Energia potențială gravitațională

- (a) Care este energia potențială în raport cu suprafața pământului a unei cochilii de 1 kg aflată pe muchia unui țărmincos înalt de 500 m?
- (b) Dacă cochilia este aruncată de pe stîncă cu o viteză de 90 m/s, care va fi viteza sa cînd izbește solul? Este afectat răspunsul de unghiul sub care se face aruncarea?

8. *Mașina lui Atwood.* O mașină Atwood a fost descrisă în capitolul 3.

- (a) Folosiți ecuația conservării energiei pentru a găsi vitezele celor două corpuri cînd  $m_2$  a coborît pe o distanță  $y$  plecînd din repaus.
- (b) Din această expresie pentru viteză găsiți accelerația. Comparați cu rezultatul din ecuația (3.40).

9. *Electron pe orbită închisă în jurul protonului.* Să presupunem că un electron se mișcă pe o orbită circulară în jurul unui proton la o distanță de  $2 \times 10^{-10}$  m. Considerăm protonul în repaus.

- (a) Exprimați viteza electronului egalînd forța centrifugă cu cea electrostatică.
- (b) Care este energia cinetică? Energia potențială? Exprimați valorile în jouli și electronvolți.

$$R: E_c = 5,8 \cdot 10^{-19} \text{ J} = 3,6 \text{ eV};$$

$$E_p = -11,5 \cdot 10^{-19} \text{ J} = -7,2 \text{ eV}.$$

- (c) Cîtă energie este necesară pentru a ioniza sistemul, adică pentru a îndepărta electronul la distanță infinită fără energie cinetică finală? (Acordați deosebită atenție diverselor semne.)

10. *Paradoxul resortului.* Ce este greșit în următorul raționament? Considerăm un corp de masă  $m$  menținut în repaus în punctul  $y = 0$ , la extremitatea unui resort nealungit care atîrnă vertical. Corpul este acum atașat resortului, care se va alungi din cauza forței gravitaționale  $mg$  care acționează asupra corpului. Cînd corpul a pierdut energia potențială gravitațională



$mg y$  și resortul a cîștigat aceeași cantitate de energie potențială, astfel încît:

$$mg y = \frac{1}{2} k y^2,$$

corpul va atinge echilibrul. Prin urmare, poziția de echilibru va fi dată de

$$y = \frac{2mg}{k}.$$

11. *Viteza de evadare de pe Lună.* Folosind  $R_L = 1,7 \cdot 10^6$  m și  $M_L = 7,3 \cdot 10^{22}$  kg, găsiți:

- (a) Accelerația gravitațională pe suprafața Lunii.  
(b) Viteza de evadare de pe Lună.

12. *Energia potențială a unei perechi de resorturi.* Două resorturi, avînd fiecare lungimea  $a$  în stare nedeformată și constantă elastică  $k$  sînt fixate în punctele  $(-a, 0)$  și  $(+a, 0)$  și unite la celelalte capete. În cele ce urmează, presupunem că ele se pot întinde ori contracta în lungime fără a se îndoi (vezi fig. 5.19).

- (a) Arătați că energia potențială a sistemului, pentru o deplasare a capetelor unite în punctul de coordonate  $(x, y)$ , este:

$$E_p = \frac{k}{2} \{ [(x+a)^2 + y^2]^{1/2} - a \}^2 + \\ + \frac{k}{2} \{ [(a-x)^2 + y^2]^{1/2} - a \}^2.$$

- (b) Energia potențială depinde de ambele coordonate  $x$  și  $y$  și putem folosi derivarea parțială pentru a evalua forțele relevante. Amintim că derivata parțială a unei funcții  $f(x, y)$  este dată de regulile obișnuite de derivare conform relațiilor

$$\frac{\partial f(x, y)}{\partial x} = \frac{d}{dx} f(x; y = \text{const}); \\ \frac{\partial f(x, y)}{\partial y} = \frac{d}{dy} f(x = \text{const}; y).$$

Găsiți componenta forței  $F_x$  și arătați că  $F_x = 0$  pentru  $x = 0$ .

- (c) Găsiți  $F_y$  pentru  $x = 0$ . Verificați semnele cu grijă pentru a fi siguri că rezultatul are sens.

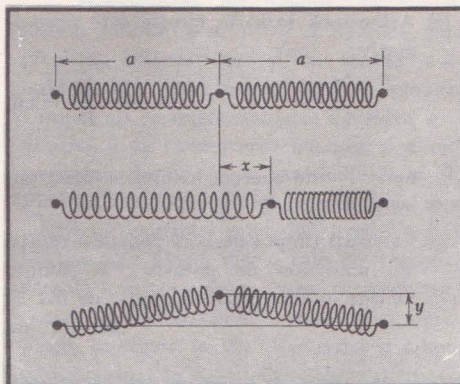


FIG. 5.19.

- (d) Trasați un grafic al energiei potențiale ca funcție de  $r$  în planul  $xy$ , și găsiți poziția de echilibru.

13. *Looping-ul.* Un corp de masă  $m$  alunecă în jos pe o pistă fără frecare și din capătul de jos se ridică pentru a parcurge un cerc vertical de rază  $R$ . Găsiți înălțimea de la care el trebuie să plece din repaus pentru a putea parcurge cercul complet fără a cădea sub acțiunea forței de greutate. *Indicație.* Care trebuie să fie forța exercitată de către pistă în punctul cel mai înalt?

14. *Spectrometru de masă cu timp de zbor.* Funcționarea unui spectrometru de masă cu timp de zbor este bazată pe faptul că viteza unghiulară a mișcării elicoidale într-un cîmp magnetic uniform este independentă de viteza inițială a ionului. În practică, instrumentul produce un puls scurt de ioni și măsoară electronic timpul de zbor pentru una sau mai multe rotații ale ionilor din puls.

- (a) Arătați că pentru ioni de sarcină  $e$ , timpul de zbor pentru efectuarea a  $N$  rotații este aproximativ:

$$t \approx 6\,500 \frac{NM}{B}$$

unde  $t$  este exprimat în microsecunde,  $M$  în unități atomice de masă și  $B$  în tesla ( $1 \text{ uam} = 1,66 \cdot 10^{-27}$  kg).

- (b) Arătați că raza de girație este aproximativ:

$$R \approx \frac{144 \sqrt{VM}}{B} \text{ cm}$$

unde  $V$  este energia ionului în electron-volți.

- (c) Calculați timpul de zbor pentru 6 rotații ale unui ion de potasiu  $^{39}\text{K}$  simplu ionizat într-un cimp magnetic de 0,1 T.

R: 152  $\mu\text{s}$ .

### 15. Flux de electroni în osciloscop.

Într-un tub osciloscop, electronii sint accelerați din repaus de o diferență de potențial  $U_a$  și trec printre două plăci de deflexie electrostatică. Plăcile, care au o lungime  $l$  și se află la o distanță  $d$  una față de alta, mențin între ele o diferență de potențial  $U_b$ . Ecranul tubului este situat la o distanță  $L$  față de centrul plăcilor. Folosiți relația  $e\Delta U = \frac{1}{2}mv^2$  între potențialul de accelerare și viteza  $v$ .

- (a) Deduceți o expresie pentru deflexia liniară  $D$  a petei pe ecran.  
(b) Presupunem că  $U_a = 400 \text{ V}$ ,  $U_b = 10 \text{ V}$ ,  $l = 2 \text{ cm}$ ,  $d = 0,5 \text{ cm}$ ,  $L = 15 \text{ cm}$ ; care este această deflexie? Aparatul este ca cel din figura 3.6, cu deosebirea că plăcile sint apropiate.

## NOTE ISTORICE

**Descoperirea lui Ceres.** (Această relație ilustrează precizia predicțiilor bazate pe mecanica clasică.)

Prima planetă mică descoperită a fost Ceres, observată vizual de către Piazzi în Palermo, Sicilia, în prima zi a secolului al XIX-lea la 1 ianuarie 1801. Piazzi i-a observat mișcarea timp de câteva săptămîni dar apoi s-a îmbolnăvit și i-a pierdut urma.

Mai mulți oameni de știință au calculat orbita noii planete din numărul limitat de poziții observate de Piazzi dar numai

### 16. Impulsul forței

- (a) Calculați impulsul forței pe care o minge o exercită asupra alteia într-o ciocnire frontală complet neelastică a două mingi de cite 0,5 kg, fiecare minge apropiindu-se de cealaltă cu viteza de 1 m/s.  
(b) Care este impulsul forței dacă ciocnirea este elastică?  
(c) Dacă presupunem că durata ciocnirii în (a) și (b) este  $1 \cdot 10^{-3}\text{s}$ , găsiți în fiecare caz forța medie:

$$F_m = \frac{\int_0^t F dt}{\int_0^t dt},$$

**17. Puterea.** O bandă rulantă este folosită pentru a transporta nisip dintr-un punct în altul. Nisipul, aflat inițial în repaus într-un coș, cade pe banda rulantă care se mișcă orizontal cu viteza  $v$ . Neglijînd frecarea și ceea ce se întîmplă la celălalt capăt al benzii, găsiți puterea necesară pentru a menține banda în mișcare, în funcție de  $v$  și de masa de nisip  $\dot{M} = dM/dt$  care cade pe bandă într-o secundă. Cîtă putere este transformată în energie cinetică pe secundă? (Neglijați energia gravitațională a nisipului căzut.)

$$R: Mv^2; \frac{1}{2}$$

orbita calculată de Gauss a fost suficient de precisă pentru a prezice unde va trebui să se găsească planeta în anul următor. La 1 ianuarie 1802 planeta Ceres a fost redescoperită de Olbers la o distanță unghiulară de numai 30' față de poziția prezisă. Pe măsură ce s-au acumulat mai multe observații, Gauss și alți astronomi au putut să îmbunătățească caracteristicile orbitei calculate, și, în anul 1830 poziția planetei a fost la numai 8'' față de localizarea prezisă. Incluzînd perturbațiile majore ale orbitei



lui Ceres produse de Jupiter, Enke a găsit că poate reduce eroarea la o medie de 6"/an. Calcule ulterioare, luând în considerare mai precis perturbațiile, au dat predicții care diferă de observații numai prin aproximativ 30" după 30 ani.

Relatări ale acestei descoperiri sînt date în volumul 12 din *Philosophical Magazine*, 1802; de văzut lucrările lui Piazzi (pag. 54), Von Zach (pag. 62), Tilloch (pag. 80) și Lalande (pag. 112). Este amuzant de aflat că o societate de eminenți astronomi din Europa a fost organizată la Lilienthal, la 21 septembrie 1800, cu „scopul expres de a căuta această planetă presupusă a exista între Marte și Jupiter... Planul societății a fost de a împărți întregul zodiac între cei 24 membri...”. Datorită întârzierilor poștale din timpul războiului lui Napoleon, invitația de a participa la echipa de cercetare nu i-a fost transmisă lui Piazzi decît după ce și-a făcut descoperirea. Alte relatări ale descoperirii lui Ceres se găsesc în *Astronomisches Jahrbuch* 1804/5. Calculele lui Gauss sînt în volumul 6 din *Opere* (Werke), pag. 199–211.

Se crede că tradiția astronomică începută în Palermo de abatele Piazzi a ajuns la Lampedusa [eroul romanului „Ghepardul” (The Leopard), scris de descendentul său], prin intermediul abatelui Pirrone, care a fost mentorul spiritual și asistentul astronomic al lui Lampedusa.

**Descoperirea lui Neptun.** În timpul primei jumătăți a secolului al XIX-lea, cînd precizia observațiilor și a teoriei s-au îmbunătățit, s-a constatat că planeta Uranus nu se mișcă conform cu legea gravitației și cu conservarea energiei și a momentului cinetic (vezi capitolele 6 și 9). Planeta era accelerată și încetinită în mod inegal cu cantități mici dar foarte semnificative. Nu exista nici o cale de a explica această comportare pe baza proprietăților cunoscute ale sistemului solar și a legilor fizicii. În sfîrșit, în 1846, Leverrier și Adams au descoperit în mod independent că postularea unei noi planete ipotetice, de o anumită masă și orbită exterioară ca aceea a lui Uranus, ar explica complet mișcarea anormală observată<sup>1</sup>. Ei au rezolvat ecuațiile pentru poziția acestei planete necunoscute și, după numai o jumătate de oră de căutare, noua planetă, numită Neptun, a fost găsită de către Galle, la doar 1° de poziția prezisă<sup>2</sup>. În prezent, predicțiile referitoare la pozițiile planetelor mari sînt în concordanță pînă la cîteva secunde de arc cu observațiile, chiar după o extrapolare de mulți ani. Precizia pare a depinde în întregime de completitudinea tratării diverselor efecte perturbatoare.

Este interesant de notat că planeta Pluto, care este și mai departe de Soare, a fost descoperită într-un mod similar, și că elementele 93 și 94 după uraniu (elementul 92) au fost numite neptuniu și plutoniu.

<sup>1</sup> „Am demonstrat că nu este posibil să se explice observațiile asupra acestei planete [Uranus] prin teoria atracției universale dacă planeta ar fi supusă numai acțiunii soarelui și a planetelor cunoscute. Dar toate anomaliile observate pot fi explicate pînă la cel mai mic detaliu prin influența unei noi [nedescoperite] planete dincolo de Uranus ... Prezicem [31 august 1846] următoarea poziție pentru noua planetă la 1 ianuarie 1847: longitudinea heliocentrică reală 326°32'”. U. J. Le Verrier, *Compt. Rend.* 23: 428 (1846).

<sup>2</sup> „I-am scris D-lui Galle la 18 septembrie pentru a-i solicita colaborarea; acest astronom talentat a văzut planeta în aceeași zi (23 septembrie 1846) în care a primit scrisoarea mea .. Longitudinea heliocentrică [observată] 327°24' s-a redus la 1 ianuarie 1847 ... Diferența [dintre observație și teorie] 0°52'”. U. J. Le Verrier, *Compt. Rend.* 23: 657 (1846).

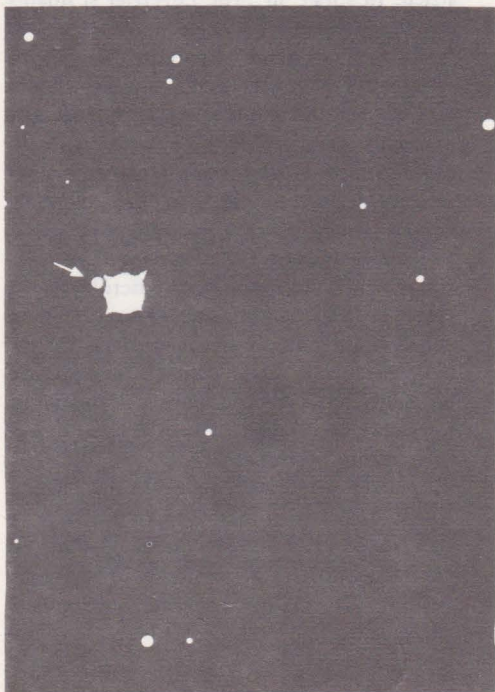
„Dl. Le Verrier a văzut noua planetă fără a avea nevoie să privească măcar o dată cerul, a văzut-o în *vrîful stiloului său*; el a determinat prin puterea exclusivă a calculului poziția și mărimea unui corp situat mult dincolo de limitele cunoscute atunci ale sistemului nostru planetar...” Arago, *Compt. Rend.* 23: 659 (1846).

Pentru o introducere în magnifica controversă asupra acestei descoperiri, vezi pag. 741–754 ale aceluiași volum din *Compt. Rend.* (Paris); vezi, de asemenea, M. Grosser, *Descoperirea lui Neptun* („The Discovery of Neptune”), (Harvard University Press, Cambridge, Mass. 1962.)

## LECTURI SUPLIMENTARE

Fizica PSSC (PSSC „Physics“), capitolele 23 și 24, D. C. Heath and Company, Boston, 1965.

Curs de fizică HPP (HPP, „Project Physics Course“), capitolul 10 (§ 1-4), Holt, Rinehart și Winston, Inc. New York, 1970.



E. P. Wigner, *Simetria și legile de conservare* („Symmetry and Conservation Laws“), *Physics Today* 17 (3): 34 (1964).

Ernst Mach, *Știința mecanicii* („The Science of Mechanics“), capitolul 3 § 2, The Open Court Publishing Company, La Salle, ill., 1960. Asupra istoriei conceptului de energie cinetică („vis viva“).

Neptun văzut în reflectorul de 3,048 m al observatorului Lick. Săgeata îl indică pe Triton, un satelit al lui Neptun (fotografie de la Observatorul Lick).



# 6

## Conservarea impulsului și a momentului cinetic

### Cuprins

#### Forțe interne și conservarea impulsului

##### Centrul de masă

Exemplu. Ciocnirea particulelor care se unesc în urma ciocnirii (perfect neelastică)

Exemplu. Componentele transversale ale impulsului

Exemplu. Ciocnirea particulelor care pot suferi excitații interne

Exemplu. Ciocnirea elastică generală a particulelor de mase diferite.

##### Sisteme cu masă variabilă

Exemplu. Frinarea unui satelit datorită prafului cosmic

Exemplu. Problema vehiculului spațial

Exemplu. Forța datorată unui lanț în cădere

#### Conservarea momentului cinetic

*Momentele forțelor interne au rezultanta egală cu zero*

*Momentul forței gravitaționale*

*Momentul cinetic în raport cu centrul de masă*

Exemplu. Împrăștierea protonului pe un nucleu greu

Exemplu. Accelerația unghiulară care însoțește contracția

Exemplu. Forma galaxiei

#### Probleme

#### Lecturi suplimentare

În capitolul 4 am considerat sisteme pentru care a fost valabilă invarianța galileeană și am arătat că legea conservării impulsului unui sistem de particule în interacție este o consecință necesară a invarianței galileene și a conservării energiei, cu condiția să nu acționeze nici o forță externă. Conservarea impulsului, o lege verificată cu precizie de experiență, este o parte esențială a „ansamblului de cunoștințe clasice” discutat mai înainte. În acest capitol prezentăm implicațiile conservării impulsului asupra mișcării unui ansamblu de particule. Definim centrul de masă al sistemului de particule și învățăm să privim mișcarea sistemului dintr-un sistem de referință în care centrul de masă este în repaus. Procesele de împrăștiere între perechi de particule constituie cazuri particulare importante. Introducem, de asemenea, conceptul important de moment cinetic, conservarea momentului cinetic și conceptul de moment al forței. Acestea sînt importante în mod deosebit în tratarea corpului rigid, în capitolul 8, și a forțelor centrale, în capitolul 9.

## FORȚE INTERNE ȘI CONSERVAREA IMPULSULUI

În tratarea comportării dinamice a unui sistem de particule constatăm că este util să facem distincție între forțele de interacție dintre particulele sistemului și alte forțe datorate unor factori externi, cum ar fi un câmp gravitațional sau electric, în care se poate afla sistemul de particule. Vom numi forțele dintre particule *forțe interne* ale sistemului.

Forțele interne nu pot afecta impulsul total al ansamblului de particule, unde prin *impuls total* înțelegem suma vectorială:

$$\mathbf{p} = \sum_{i=1}^N m_i \mathbf{v}_i. \quad (6.1)$$

(Demonstrația a fost dată în capitolul 3 și ea va fi reamintită studentului în analiza care urmează.) Considerînd aceste forțe interparticulă ca fiind newtoniene, știm că pentru interacțiunea reciprocă a oricăror două particule forțele satisfac relația:

$$\mathbf{F}_{ij} = -\mathbf{F}_{ji}.$$

unde  $\mathbf{F}_{ij}$  reprezintă forța exercitată asupra particulei  $i$  de către particula  $j$  și reciproc. Atunci, conform legii a doua a lui Newton, conchidem că în orice interval de timp variația impulsului particulei  $i$  produsă de forța  $\mathbf{F}_{ij}$  este egală și de sens contrar cu cea produsă asupra particulei  $j$  de forța  $\mathbf{F}_{ji}$ , și astfel variația impulsului datorită interacției mutuale a acestei perechi de particule este zero. Acest raționament este valabil pentru oricare pereche de particule



din sistem, cu condiția ca interacțiunea oricărei perechi să nu fie afectată de prezența altor particule. Astfel tragem concluzia că forțele interne nu pot afecta impulsul total al unui sistem, deoarece suma vectorială a tuturor forțelor interparticulă va fi zero.

În acest paragraf ne-am referit la impulsul total al sistemului. În cele ce urmează vom extinde raționamentul pentru a arăta că forțele interne nu pot să producă nici o variație a momentului cinetic al unui sistem de particule. Recunoașterea acestor două principii de *conservare* în legătură cu forțele interne simplifică considerabil înțelegerea și analiza multor probleme de mișcare colectivă.

## CENTRUL DE MASĂ

Poziția  $\mathbf{R}_{c.m.}$  a centrului de masă al unui sistem de  $N$  particule, în raport cu o origine fixă  $O$  este definită ca:

$$\mathbf{R}_{c.m.} = \frac{\sum_{n=1}^N \mathbf{r}_n M_n}{\sum_{n=1}^N M_n} \quad (6.2)$$

Ea este o poziție medie, ponderată în funcție de masele particulelor. Pentru un sistem de două particule

$$\mathbf{R}_{c.m.} = \frac{\mathbf{r}_1 M_1 + \mathbf{r}_2 M_2}{M_1 + M_2} \quad (6.3)$$

după cum este indicat în figurile 6.1 și 6.2.

FIG. 6.1. Două corpuri de mase  $M_1$  și  $M_2$  în pozițiile  $x_1$  și  $x_2$  pe axa  $x$ , au centrul de masă situat la  $X = (M_1 x_1 + M_2 x_2) / (M_1 + M_2)$ .

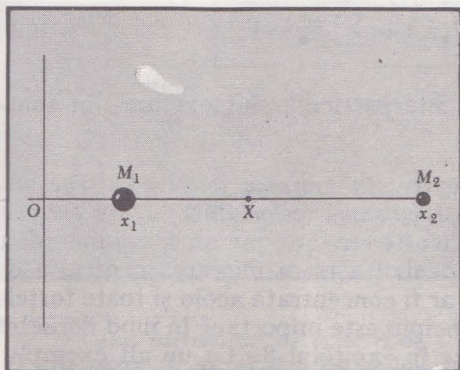
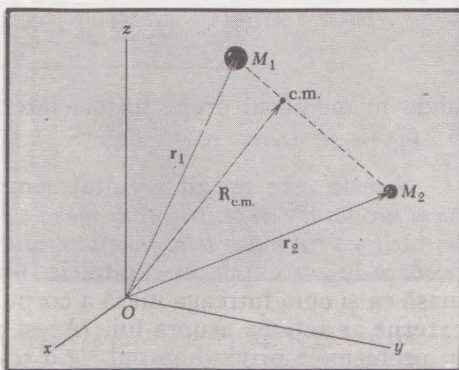


FIG. 6.2. Pentru două corpuri de mase  $M_1$  și  $M_2$  în pozițiile arbitrare  $\mathbf{r}_1$  și  $\mathbf{r}_2$ ,  $\mathbf{R}_{c.m.} = (M_1 \mathbf{r}_1 + M_2 \mathbf{r}_2) / (M_1 + M_2)$ .



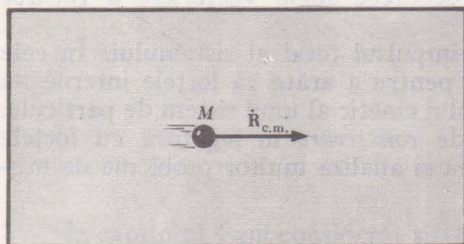


FIG. 6.3. (a). În absența forțelor externe, viteza centrului de masă este constantă. Aici un nucleu radioactiv cu viteza  $\dot{\mathbf{R}}_{c.m.}$  este pe punctul de a se dezintegra.

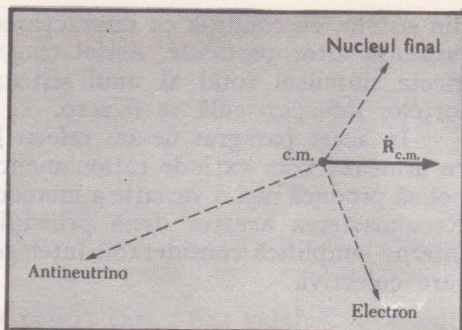


FIG. 6.3. (b) Nucleul se dezintegrează în trei particule care pornesc în direcții diferite. Totuși, viteza centrului de masă al acestor trei particule rămâne neschimbată.

Derivăm ecuația (6.2) în raport cu timpul pentru a obține viteza centrului de masă:

$$\dot{\mathbf{R}}_{c.m.} = \frac{\sum_n \dot{\mathbf{r}}_n M_n}{\sum_n M_n} = \frac{\sum_n \mathbf{v}_n M_n}{\sum_n M_n}, \quad (6.4)$$

dar  $\sum_n \mathbf{v}_n M_n$  este tocmai impulsul total al sistemului. În absența forțelor externe, impulsul total este constant, astfel încît:

$$\dot{\mathbf{R}}_{c.m.} = \text{const.} \quad (6.5)$$

Aceasta este o proprietate remarcabilă a centrului de masă: *viteza centrului de masă este constantă în absența forțelor externe*. Aceasta este adevărat, de exemplu, în cazul unui nucleu radioactiv care se dezintegrează în zbor (vezi fig. 6.3 a și b) sau pentru un proiectil care explodează în fragmente într-o regiune în care nu acționează forțe.

Este ușor de arătat, din ecuația (6.4), că accelerația centrului de masă este determinată de forța externă totală care acționează asupra sistemului de particule. Dacă  $\mathbf{F}_n$  este forța exercitată asupra particulei  $n$ , atunci, derivind ecuația (6.4) în raport cu timpul, avem:

$$\left( \sum_n M_n \right) \ddot{\mathbf{R}}_{c.m.} = \sum_n (M_n \dot{\mathbf{v}}_n) = \sum_n \mathbf{F}_n = \mathbf{F}_{ext} \quad (6.6)$$

unde în membrul drept forțele interne interparticulă sînt excluse din suma  $\sum_n \mathbf{F}_n$  peste toate particulele.

Acesta este un alt rezultat semnificativ: *în prezența forțelor externe vectorul accelerației al centrului de masă este egal cu suma vectorială a forțelor externe, împărțită prin masa totală a sistemului*. Cu alte cuvinte, putem folosi metodele pe care le-am expus în capitolele 3—5 pentru a trata mișcarea centrului de masă ca și cum întreaga masă a corpului ar fi concentrată acolo și toate forțele externe ar acționa asupra lui. (Acest principiu este important în mod deosebit în problemele privind corpul rigid tratate în capitolul 8.) Ca un alt exemplu,



centrul de masă al Pământului și Lunii se mișcă pe o orbită aproximativ circulară în jurul Soarelui. Vom trece acum la ilustrarea utilității centrului de masă tratând câteva probleme importante de ciocnire. (Am rezolvat deja câteva probleme în capitolele 3 și 4).

## EXEMPLU

Ciocnirea particulelor care se unesc în urma ciocnirii<sup>1</sup> (perfect neelastică). Considerăm ciocnirea a două particule de mase  $M_1$  și  $M_2$  care se unesc și se mișcă solidar după ciocnire. Fie  $M_2$  în repaus pe axa  $x$  înaintea ciocnirii și fie viteza  $\mathbf{v}_1 = v_1 \hat{\mathbf{x}}$  care descrie mișcarea lui  $M_1$  înaintea ciocnirii.

(1) Descrieți mișcarea lui  $M = M_1 + M_2$  după ciocnire. Figura 6.4 *a* și *b* ilustrează situația. Indiferent dacă ciocnirea este elastică sau neelastică impulsul total rămâne neschimbat. Ciocnirea considerată aici este neelastică. Componenta  $x$  a impulsului inițial este  $M_1 v_1$ ; componenta  $x$  finală este  $(M_1 + M_2)v$ . Celelalte componente sînt zero. Din conservarea impulsului avem:

$$M_1 v_1 = (M_1 + M_2)v \quad (6.7)$$

astfel încît viteza finală  $v$  este dată de:

$$v = \frac{M_1}{M_1 + M_2} v_1 \quad (6.8)$$

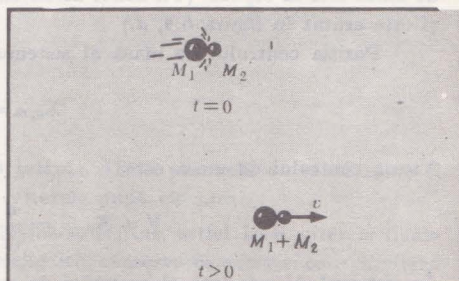
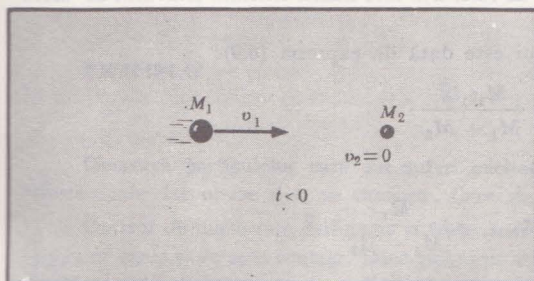
și, deoarece particulele se mișcă împreună, vectorul:

$$\mathbf{X}_{c.m.} = v t \hat{\mathbf{x}}, \quad t > 0$$

descrie mișcarea sistemului după ciocnire. În conformitate cu ecuația (6.5) aceeași relație

FIG. 6.4. (a). Chiar într-o ciocnire neelastică, impulsul trebuie să se conserve. Considerăm o ciocnire în care particulele se unesc în urma ciocnirii. Înainte de ciocnire  $p_x = M_1 v_1$ .

FIG. 6.4. (b) După ciocnire  $p_x = M_1 v_1 = (M_1 + M_2)v$ , astfel încît  $v = M_1 v_1 / (M_1 + M_2) < v_1$ .



<sup>1</sup> Cazul particulelor de mase egale a fost tratat în capitolul 4 (pag. 143). Veți constata că este instructiv să calculați  $\Delta \epsilon$  în ambele sisteme de referință pentru cazul general de aici.

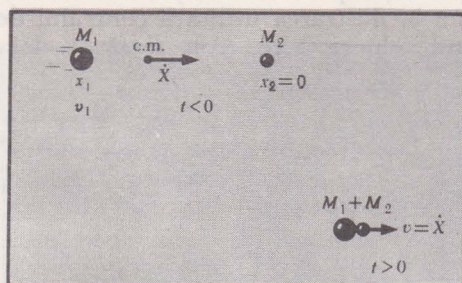


FIG. 6.4. (c)  $\dot{X} = (M_1 \dot{x}_1 + M_2 \dot{x}_2)/(M_1 + M_2)$ , astfel încât  $\dot{X} = M_1 v_1/(M_1 + M_2)$ .  $\dot{X}$  nu variază în timpul ciocnirii.

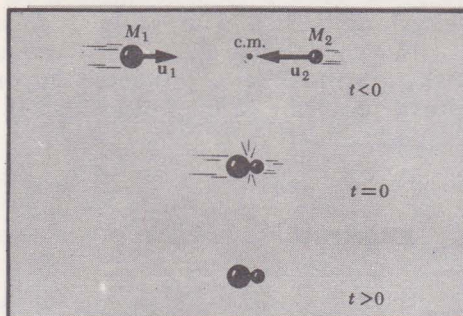


FIG. 6.4. (d) În sistemul de referință al centrului de masă, vitezele lui  $M_1$  și  $M_2$  înainte de ciocnire sînt  $u_1$ , respectiv  $u_2$ . După ciocnire,  $(M_1 + M_2)$  este în repaus.

trebuie să descrie mișcarea centrului de masă în orice moment, înainte și după ciocnire; folosind egalitatea (6.7) avem:

$$\mathbf{X}_{c.m.} = v t \hat{\mathbf{x}} = \frac{M_1}{M_1 + M_2} v_1 t \hat{\mathbf{x}} \quad (6.9)$$

relație ilustrată în figura 6.4.c.

(2) Care este raportul dintre energia cinetică după ciocnire și energia cinetică inițială? Energia cinetică  $E_{cf}$  după ciocnire este:

$$E_{cf} = \frac{1}{2} (M_1 + M_2) \frac{M_1^2}{(M_1 + M_2)^2} v_1^2 = \frac{M_1^2 v_1^2}{2(M_1 + M_2)}. \quad (6.10)$$

Energia cinetică inițială  $E_{ci}$  este egală cu  $\frac{1}{2} M_1 v_1^2$ , astfel încît:

$$\frac{E_{cf}}{E_{ci}} = \frac{M_1}{M_1 + M_2}. \quad (6.11)$$

Restul de energie apare în excitațiile interne și căldură, în sistemul compus după ciocnire. Cînd un meteorit de masă  $M_1$  izbește pămîntul de masă  $M_2$  și rămîne în contact cu el, practic toată energia cinetică a meteoritului apare sub formă de căldură în pămînt, deoarece  $M_1 \ll M_1 + M_2$ .

(3) Descrieți mișcarea înainte și după ciocnire în sistemul de referință în care centrul de masă este în repaus. (Un astfel de sistem de referință este numit *sistemul centrului de masă* și este arătat în figura 6.4. d.)

Poziția centrului de masă al sistemului este dată de expresia (6.9):

$$\mathbf{X}_{c.m.} = \frac{M_1 v_1 t \hat{\mathbf{x}}}{M_1 + M_2}.$$

Viteza centrului de masă este:

$$\mathbf{V} = \dot{\mathbf{X}}_{c.m.} = \frac{d}{dt} \mathbf{X}_{c.m.} = \frac{M_1}{M_1 + M_2} v_1 \hat{\mathbf{x}}.$$

În sistemul de referință al centrului de masă viteza inițială  $u_1$  a particulei 1 este:

$$u_1 = v_1 \hat{\mathbf{x}} - \mathbf{V} = \left(1 - \frac{M_1}{M_1 + M_2}\right) v_1 \hat{\mathbf{x}} = \frac{M_2}{M_1 + M_2} v_1 \hat{\mathbf{x}}.$$



În sistemul de referință al centrului de masă viteza inițială  $u_2$  a particulei 2 este:

$$u_2 = -V = -\frac{M_1}{M_1 + M_2} v_1 \hat{x}.$$

De notat că:

$$M_1 u_1 + M_2 u_2 = \left( \frac{M_1 M_2}{M_1 + M_2} v_1 - \frac{M_2 M_1}{M_1 + M_2} v_1 \right) \hat{x} = 0.$$

Se poate vedea avantajul sistemului de referință al centrului de masă; impulsurile particulelor sînt totdeauna egale și de sens contrar.

În timpul ciocnirii, particulele se unesc; noua particulă obținută are masa  $M_1 + M_2$  și trebuie să fie în repaus în sistemul centrului de masă. În raport cu sistemul laboratorului, noua particulă are deci viteza  $V$  a centrului de masă, care este exact viteza din ecuația (6.8) obținută pe baza argumentului anterior.

## EXEMPLU

**Componentele transversale ale impulsului.** Două particule de mase egale se mișcă inițial pe traiectorii paralele cu axa  $x$  și se ciocnesc. După ciocnire, se observă că una dintre particule are o valoare particulară  $v_y(1)$  a componentei  $y$  a vitezei. Care este componenta  $y$  a vitezei celeilalte particule după ciocnire? (Amintim că fiecare componentă  $x$ ,  $y$ , sau  $z$  a impulsului total se conservă separat.)

Înainte de ciocnire, particulele se mișcău de-a lungul axei  $x$ , astfel încît componenta  $y$  a impulsului total este zero. Din conservarea impulsului, componenta  $y$  a impulsului total trebuie să fie zero și după ciocnire, astfel încît:

$$M[v_y(1) + v_y(2)] = 0$$

de unde:

$$v_y(2) = -v_y(1).$$

Nu putem calcula  $v_y(1)$  fără a specifica traiectoriile inițiale și detaliile forțelor în timpul procesului de ciocnire.

## EXEMPLU

**Ciocnirea particulelor care pot suferi excitații interne.** Două particule de mase egale și viteze egale dar opuse  $\pm v_i$  se ciocnesc. Care sînt vitezele după ciocnire?

Centrul de masă este în repaus și trebuie să rămînă în repaus, astfel încît vitezele finale  $\pm v_f$  sînt egale și de sens contrar. Dacă ciocnirea este elastică, conservarea energiei cere ca viteza finală  $v_f$  să fie egală cu viteza inițială  $v_i$ . Dacă una sau ambele particule sînt excitate intern prin ciocnire, atunci din conservarea energiei rezultă  $v_f < v_i$ . Dacă una sau ambele particule sînt inițial în stări excitate ale mișcării lor interne și în timpul ciocnirii ele transferă energia de excitație în energie cinetică, atunci  $v_f$  poate fi mai mare decît  $v_i$ .

## EXEMPLU

**Ciocnirea elastică generală a particulelor de mase diferite.** Aceasta este o problemă celebră. O particulă de masă  $M_1$  se ciocnește elastic cu o particulă de masă  $M_2$  care inițial este în repaus în sistemul de referință al laboratorului. Traectoria lui  $M_1$  este deviată cu un unghi  $\theta_1$  prin ciocnire. Valoarea maximă posibilă a unghiului de împrăștiere  $\theta_1$  este determinată de legile conservării energiei și impulsului, independent de detaliile interacției dintre particule. Problema noastră este de a găsi  $(\theta_1)_{max}$ . Vom vedea că, la o anumită etapă a calculului, este convenabil să privim ciocnirea din sistemul de referință în care centrul de masă este în repaus.

Notăm vitezele inițiale în sistemul laboratorului (fig. 6.5) prin:

$$\mathbf{v}_1 = v_1 \hat{\mathbf{x}}; \quad \mathbf{v}_2 = 0$$

și vitezele finale (după ciocnire) prin  $\mathbf{v}'_1$  și  $\mathbf{v}'_2$ . Legea conservării energiei cere ca într-o ciocnire elastică energia cinetică totală înainte de ciocnire să fie egală cu energia cinetică totală după ciocnire. Astfel:

$$\frac{1}{2} M_1 v_1^2 = \frac{1}{2} M_1 v_1'^2 + \frac{1}{2} M_2 v_2'^2 \quad (6.12)$$

unde am ținut seamă de condiția inițială  $\mathbf{v}_2 = 0$ . Legea conservării impulsului aplicată componentei  $x$  a impulsului cere ca:

$$M_1 v_1 = M_1 v_1' \cos \theta_1 + M_2 v_2' \cos \theta_2. \quad (6.13)$$

Dacă intervin numai două particule, procesul poate fi considerat a avea loc în întregime în planul  $xy$ . Legea conservării impulsului aplicată componentei  $y$  a impulsului dă:

$$0 = M_1 v_1' \sin \theta_1 - M_2 v_2' \sin \theta_2, \quad (6.14)$$

deoarece inițial componenta  $y$  a impulsului a fost zero.

Este perfect posibil, cu prețul însă al unor calcule greoaie, să rezolvăm ecuațiile (6.12) – (6.14) simultan pentru orice mărime care ne interesează. Aceste ecuații exprimă întregul conținut al legilor de conservare. Dar este considerabil mai elegant și mai instructiv să privim ciocnirea din sistemul de referință al centrului de masă. Întii găsim viteza  $\mathbf{V}$  a centrului de masă în raport cu sistemul laboratorului. Poziția centrului de masă este definită ca:

$$\mathbf{R}_{c.m.} = \frac{M_1 \mathbf{r}_1 + M_2 \mathbf{r}_2}{M_1 + M_2},$$

după cum s-a arătat mai înainte în formula (6.3). Prin derivare, obținem viteza  $\mathbf{V}$  a centrului de masă:

$$\dot{\mathbf{R}}_{c.m.} = \frac{M_1 \dot{\mathbf{r}}_1 + M_2 \dot{\mathbf{r}}_2}{M_1 + M_2}; \quad \mathbf{V} = \frac{M_1}{M_1 + M_2} \mathbf{v}_1 \quad (6.15)$$

unde am exprimat rezultatul în funcție de vitezele  $\mathbf{v}_1$  și  $\mathbf{v}_2$  înainte de ciocnire, cu  $\mathbf{v}_2 = 0$  [Observați că aceasta este pur și simplu ecuația (6.4) scrisă pentru condițiile de acum.]

Notăm cu  $\mathbf{u}_1$  și  $\mathbf{u}_2$  vitezele inițiale în sistemul de referință care se mișcă solidar cu centrul de masă și cu  $\mathbf{u}'_1$ ,  $\mathbf{u}'_2$  vitezele finale. Vectorii viteză în sistemul de referință al laboratorului sînt legați de cei din sistemul centrului de masă (fig. 6.6) prin relațiile:

$$\begin{aligned} \mathbf{v}_1 &= \mathbf{u}_1 + \mathbf{V} & \mathbf{v}_2 &= \mathbf{u}_2 + \mathbf{V} \\ \mathbf{v}'_1 &= \mathbf{u}'_1 + \mathbf{V} & \mathbf{v}'_2 &= \mathbf{u}'_2 + \mathbf{V}. \end{aligned} \quad (6.16)$$

Legile de conservare ne permit să înțelegem imediat anumite caracteristici ale ciocnirii. Conservarea impulsului în sistemul centrului de masă cere ca unghiul de împrăștiere al particulei 1 să fie egal cu cel al particulei 2; adică, traiectoriile trebuie să fie coliniare atât înainte cît și după ciocnire. În caz contrar, centrul de masă nu ar putea rămîne în repaus în sistemul de referință pe care îl utilizăm, așa cum trebuie să rămînă, în absența unor forțe externe care să



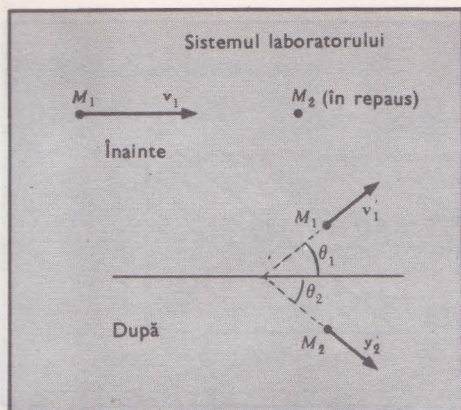


FIG. 6.5. O ciocnire între  $M_1$  și  $M_2$  nu este obligatoriu limitată la o singură dimensiune. În sistemul laboratorului,  $M_2$  este în repaus înaintea ciocnirii.

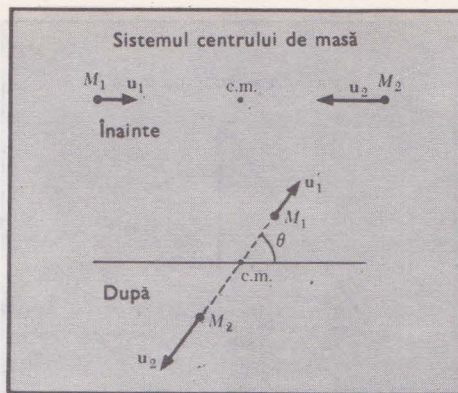


FIG. 6.6. În sistemul centrului de masă  $M_1$  și  $M_2$  trebuie să plece în direcții opuse după ciocnire. Toate unghiurile  $0 \leq \theta \leq \pi$  sînt posibile, iar pentru o ciocnire elastică  $|u'_1| = |u_1|$  și  $|u'_2| = |u_2|$ .

acționeze asupra particulelor. În plus, dacă energia cinetică se conservă, mărimea vitezelor în sistemul centrului de masă nu trebuie să varieze; astfel încît într-o ciocnire elastică  $u'_1 = u_1$  și  $u'_2 = u_2$ . Descrierea cinematică în sistemul centrului de masă se constată a fi remarcabil de simplă, fără nici o restricție asupra unghiului de împrăștiere  $\theta_{c.m.}$  impusă de legile de conservare. (Ultima afirmație nu este, în general, adevărată pentru unghiurile de împrăștiere  $\theta_1$  și  $\theta_2$  în sistemul laboratorului.)

Să revenim la sistemul laboratorului. Avem, scriind pentru comoditate  $\theta$  în loc de  $\theta_{c.m.}$ :

$$\operatorname{tg} \theta_1 = \frac{\sin \theta_1}{\cos \theta_1} = \frac{v'_1 \sin \theta_1}{v'_1 \cos \theta_1} = \frac{u'_1 \sin \theta}{u'_1 \cos \theta + V}$$

unde am folosit faptul că componenta  $y$  a vitezei finale a particulei 1 este identică în cele două sisteme de referință. Mai departe,  $u_1 = u'_1$  presupunind că ciocnirea este elastică, astfel încît:

$$\operatorname{tg} \theta_1 = \frac{\sin \theta}{\cos \theta + V/u_1}. \quad (6.17)$$

Ecuatiile (6.15) și (6.16) pot fi acum combinate pentru a da relațiile:

$$V = \frac{M_1}{M_1 + M_2} (u_1 + V); \quad V = \frac{M_1}{M_2} u_1$$

de unde ecuația (6.17) devine:

$$\operatorname{tg} \theta_1 = \frac{\sin \theta}{\cos \theta + M_1/M_2}. \quad (6.18)$$

Figura 6.7 a și b ilustrează această expunere.

Vrem să aflăm valoarea lui  $(\theta_1)_{\max}$ . Dacă  $M_1 > M_2$ , aceasta poate fi aflată grafic din ecuația (6.18) sau folosind calculul diferențial pentru a determina valoarea maximă a lui  $\operatorname{tg} \theta_1$  ca funcție de  $\theta$ . Vedem din relația (6.18) că pentru  $M_1 > M_2$  numitorul nu poate fi niciodată

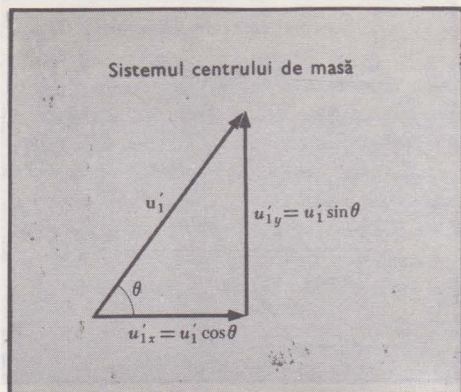


FIG. 6.7 (a) Viteza finală  $u'_1$  a lui  $M_1$  în sistemul centrului de masă este descompusă în componentele  $x$  și  $y$ , în figură.

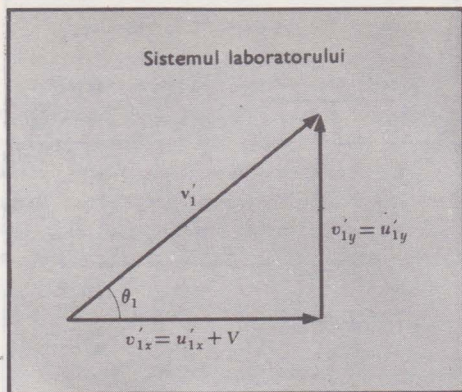


FIG. 6.7. (b) În sistemul laboratorului componentele  $x$  și  $y$  ale lui  $v'_1$  sînt cele indicate. Evident (amintiți-vă că  $u'_1 = u_1$ )

$$\operatorname{tg} \theta_1 = \frac{\sin \theta}{\cos \theta + V/u_1} = \frac{\sin \theta}{\cos \theta + M_1/M_2}$$

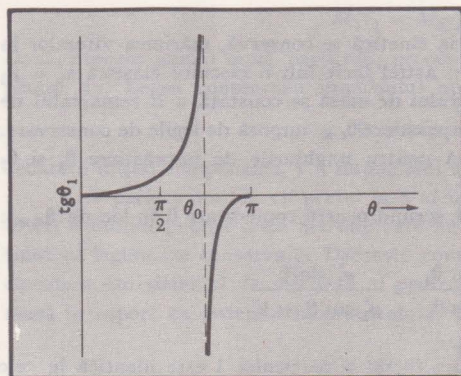


FIG. 6.8. (a). Pentru  $M_1 < M_2$ ,  $\operatorname{tg} \theta_1 = \sin \theta / (\cos \theta + M_1/M_2)$  tinde către infinit pentru  $\theta = \theta_0 = \arccos(-M_1/M_2)$ . Toate unghiurile  $0 \leq \theta_1 \leq \pi$  sînt posibile.

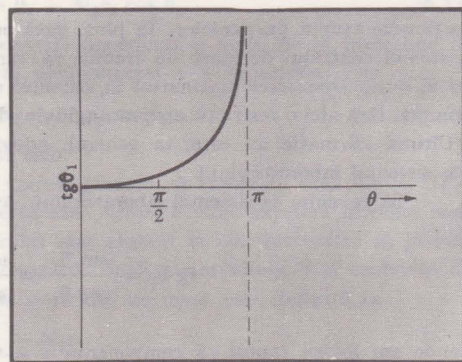


FIG. 6.8. (b) Pentru  $M_1 = M_2$ ,  $\operatorname{tg} \theta_1$  tinde către infinit pentru  $\theta = \pi$ . Astfel, toate unghiurile  $0 \leq \theta_1 \leq \pi/2$  sînt posibile ca rădăcini ale ecuației pentru  $\operatorname{tg} \theta_1$ .

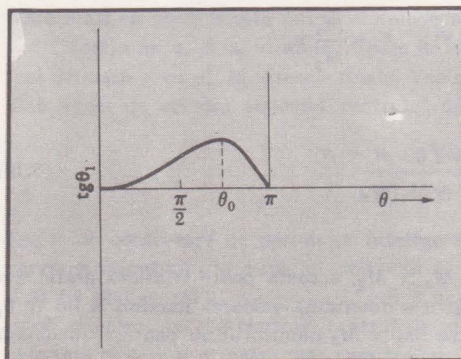


FIG. 6.8. (c) Pentru  $M_1 > M_2$ ,  $\operatorname{tg} \theta_1$  nu tinde niciodată către infinit. Astfel,  $0 \leq \theta_1 \leq \arcsin(M_2/M_1) < \pi/2$ .



zero și  $(\theta_1)_{\max}$  trebuie să fie mai mic decât  $\frac{\pi}{2}$ . Dacă  $M_1 = M_2$ , atunci  $(\theta_1)_{\max} = \frac{\pi}{2}$ . Dacă  $M_1 < M_2$ , orice valoare a lui  $\theta_1$  este permisă. Figura 6.8, a-c ilustrează grafic aceste relații.

## SISTEME CU MASĂ VARIABILĂ

În capitolul 3 am exprimat legea a doua a lui Newton sub forma:

$$\mathbf{F} = \frac{d\mathbf{p}}{dt}$$

unde  $\mathbf{p}$  este impulsul  $M\mathbf{v}$ . Pentru obiecte de masă constantă, aceasta devine relația familiară  $\mathbf{F} = M\mathbf{a}$ , dar există o clasă de probleme de mecanică în care masa unui obiect în mișcare poate să nu fie constantă și în aceste cazuri este necesar să recunoaștem dependența de timp a lui  $M$  când exprimăm  $d\mathbf{p}/dt$ . Legea a doua devine, în acest caz:

$$\mathbf{F} = \frac{dM}{dt} \mathbf{v} + M \frac{d\mathbf{v}}{dt} \quad (6.19)$$

Numeroase probleme interesante și importante sînt tratate pe baza ecuației (6.19), ca de pildă mișcarea rachetelor, frînarea mișcării sateliților de către atmosferă și mișcările unor obiecte cum ar fi lanțurile, pentru care porțiunea care se mișcă poate varia în timp. Vom analiza în continuare cîteva exemple.

### EXEMPLU

**Frînarea unui satelit datorită prafului cosmic.** Pe un satelit aflat într-un spațiu lipsit de forțe se depune praf care staționează în cosmos, cu o viteză  $dM/dt = cv$ , unde  $M$  este masa și  $v$  viteza satelitului;  $c$  este o constantă care depinde de aria secțiunii transversale străbătute. Care este decelerația?

Considerăm problema din sistemul de referință în care praful interplanetar este în repaus (vezi fig. 6.9). Impulsul sistemului total constînd din satelit și praf este constant, deoarece nici o forță externă nu este prezentă în problemă. Ecuația (6.19) ne permite atunci să scriem:

$$\mathbf{F} = \frac{d}{dt} (M\mathbf{v}) = \dot{M}\mathbf{v} + M\dot{\mathbf{v}} = 0$$

sau, deoarece mișcarea este unidimensională iar  $\dot{M} = cv$ , decelerația este:

$$\dot{v} = -\frac{cv^2}{M}$$

(Un exemplu este problema 16 de la sfîrșitul acestui capitol.)

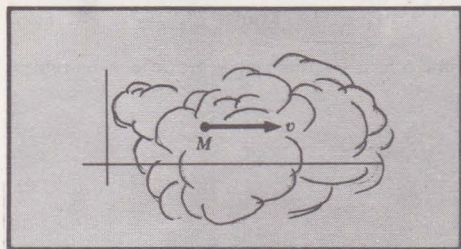


FIG. 6.9. Obiect mișcându-se printr-un nor de praf, raportat la sistemul de referință legat de nor.

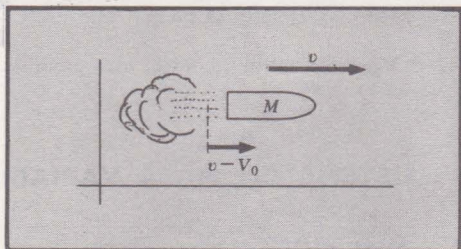


FIG. 6.10. Un vehicul se mișcă cu viteza  $v$  într-un sistem inerțial; gazul expulzat cu viteza de evacuare  $V_0$  se mișcă cu viteza  $v - V_0$ .

Este posibil să privim această problemă și altfel, considerind că o forță de rezistență datorată prafului acționează în mod constant și încetinește satelitul. Forța de rezistență va fi opusă (legea a treia a lui Newton) forței exercitate de către satelit asupra mediului de praf, în timp ce îl străbate. La orice moment, forța exercitată asupra mediului va fi egală cu viteza de variație a impulsului transmise particulelor de praf, care este  $v \frac{dM}{dt}$  sau  $cv^2$ . Forța de rezistență asupra satelitului este în consecință  $-cv^2$ , iar decelerația satelitului se va obține din legea a doua a lui Newton aplicată în mod obișnuit:

$$M\ddot{v} = f_{rez} = -cv^2; \quad \dot{v} = -\frac{cv^2}{M}.$$

## EXEMPLU

**Problema vehiculului spațial.** Un vehicul spațial proiectează în urma sa combustibil arse cu o viteză  $V_0$  în raport cu vehiculul; viteza de variație a masei vehiculului este  $\dot{M} = -\alpha$ , o constantă. Să se scrie și să se rezolve ecuația de mișcare a vehiculului spațial, neglijând gravitația.

Fie  $v$  viteza vehiculului la timpul  $t$ . Viteza combustibilului raportată la un sistem de referință inerțial (nu sistemul vehiculului) este  $-\mathbf{V}_0 + \mathbf{v}$ . Presupunem că  $\mathbf{V}_0$  și  $\mathbf{v}$  sînt opuse, astfel încît problema este unidimensională, după cum se arată în figura 6.10.

În absența oricăror forțe externe, impulsul sistemului total constind din vehicul și gazele arse este constant. Astfel  $F = dp/dt = 0$  și putem scrie:

$$\frac{dp}{dt} = M\dot{v} - v\alpha + (v - V_0)\alpha = 0, \quad (6.20)$$

relație în care termenii au următoarele interpretări fizice:

$M\dot{v}$  = viteza cu care vehiculul cîștigă impuls datorită accelerației;

$-v\alpha$  = viteza cu care vehiculul pierde impuls datorită pierderii de masă;

$(v - V_0)\alpha$  = viteza cu care crește impulsul norului de gaze arse. Ecuația (6.20) se simplifică dînd:

$$M\dot{v} = \alpha V_0. \quad (6.21)$$



Deoarece viteza cu care are loc pierderea de masă este o constantă,  $-\alpha$ , masa vehiculului la timpul  $t$  este:

$$M = M_0 - \alpha t$$

unde  $M_0$  este masa inițială la timpul  $t = 0$ . Ecuația (6.21) devine:

$$(M_0 - \alpha t)\dot{v} = \alpha V_0.$$

Pentru a obține viteza vehiculului ca funcție de timp exprimăm:

$$\dot{v} = \frac{\alpha V_0 / M_0}{1 - \alpha t / M_0}$$

și integrăm, cu presupunerea că  $v = v_0$  la  $t = 0$ , pentru a obține:

$$v = v_0 + V_0 \ln \frac{M_0}{M_0 - \alpha t}. \quad (6.22)$$

Termenul  $\alpha t$  nu devine niciodată egal cu  $M_0$ , deoarece vehiculul nu constă numai din combustibil; dar el poate fi până la 90% combustibil. Ecuația (6.22) pune în evidență avantajul propulsării combustibilului cu viteză mare. Maximum de eficiență în propulsare ar fi obținut cu fotonii, adică lumină, pentru care  $V_0 = c$ . Dar, pe de altă parte, este greu să se epuizeze în acest fel o masă mare de combustibil!

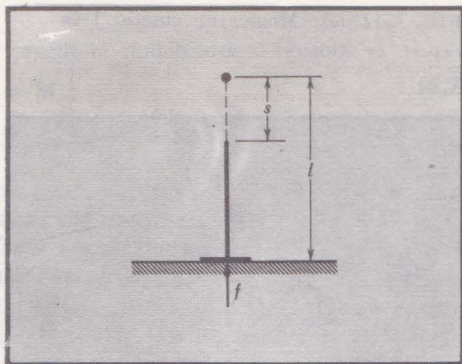
## EXEMPLU

**Forța datorată unui lanț în cădere.** O ilustrare familiară este furnizată de forța exercitată asupra unei platforme staționare de către un lanț uniform și flexibil suspendat vertical care cade pe platformă. Considerăm că un astfel de lanț este suspendat inițial de unul din capete, celălalt capăt atingând platforma. În figura 6.11 lanțul este arătat imediat după ce este lăsat liber, adică după ce a coborât pe o distanță  $s$  și o porțiune din lanț de această lungime a căzut pe platformă.

Forța totală îndreptată în sus, exercitată de către platformă asupra lanțului trebuie, pe de o parte, să suporte partea din lanț care a ajuns în repaus și, pe de altă parte, să reducă în mod continuu la zero impulsul elementelor de lanț care sosesc. Aceste două contribuții sunt exprimate prin<sup>1</sup>:

$$f = \rho g s + \rho \dot{s}^2$$

FIG. 6.11. Un lanț în cădere, de densitate liniară  $\rho$ . În intervalul de timp  $dt$  un element de masă  $\rho ds$  ajunge pe platformă, mișcându-se cu viteza  $\dot{s}$ . Astfel, viteza de variație a impulsului lanțului datorită căderii pe platformă este  $\rho(ds/dt) \cdot \dot{s}$  sau  $\rho \dot{s}^2$ . Platforma trebuie, de asemenea, să suporte greutatea  $\rho g s$  a porțiunii de lanț căzute.



<sup>1</sup>  $(\rho ds)ds/dt$  este impulsul masei  $\rho ds$  care este redus la zero în timpul  $dt$ . Deci, viteza de variație a impulsului  $= \rho(ds/dt) \cdot ds/dt = \rho \dot{s}^2$ .

unde  $\rho$  este densitatea liniară (adică masa pe unitatea de lungime) a lanțului. Dar, deoarece partea în cădere liberă a lanțului are accelerația  $g$ , avem  $s^2 = 2gs$ . În consecință:

$$f = 3\rho gs.$$

Astfel, la orice moment, platforma exercită o forță de trei ori mai mare decât greutatea porțiunii din lanț care a căzut pe ea.

(Este instructiv să priviți această problemă în alte moduri, ca de exemplu considerind accelerația centrului de masă al lanțului sub influența gravitației și a forței exercitate asupra sa de către platformă. Rezultatul de mai sus se obține ușor.)

## CONSERVAREA MOMENTULUI CINETIC

Ne ocupăm acum de importantul concept de *moment cinetic*. Momentul cinetic  $J$  al unei singure particule în raport cu un punct fix arbitrar (fix într-un sistem de referință *inercial*) luat ca origine este definit ca:

$$J \equiv \mathbf{r} \times \mathbf{p} \equiv \mathbf{r} \times M\mathbf{v} \quad (6.23)$$

unde  $\mathbf{p}$  este impulsul (vezi fig. 6.12 *a* și *b*). Unitatea pentru momentul cinetic în SI este  $\text{kg} \cdot \text{m}^2/\text{s}$  sau  $\text{J} \cdot \text{s}$  iar în CGS  $\text{g} \cdot \text{cm}^2/\text{s}$  sau  $\text{erg} \cdot \text{s}$ . Componenta lui  $J$  de-a lungul oricărei drepte (sau axe) trecând prin punctul de referință fix este numită adeseori momentul cinetic al particulei în raport cu această axă.

Dacă forța  $\mathbf{F}$  acționează asupra particulei, definim *momentul forței* în raport cu același punct fix, ca:

$$\mathbf{M} = \mathbf{r} \times \mathbf{F} \quad (6.24)$$

FIG. 6.12 (a). Momentul cinetic  $J$  în raport cu punctul  $O$  este definit în figură.

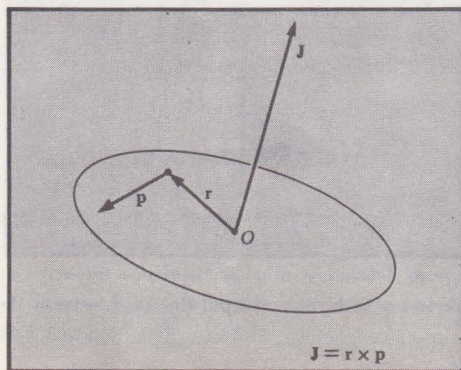
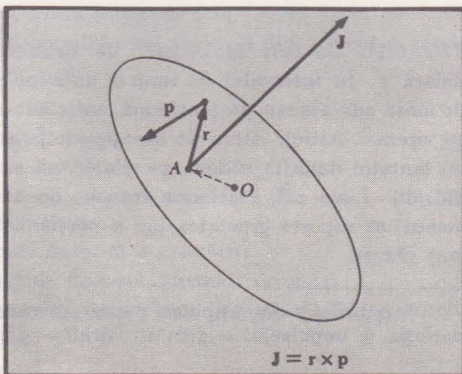


FIG. 6.12. (b) Momentul cinetic în raport cu alt punct  $A$  este diferit chiar pentru aceeași particulă, cu același impuls  $\mathbf{p}$ .





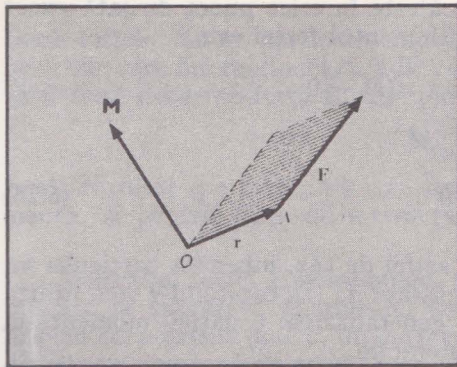


FIG. 6.13. Momentul  $M$  efectiv în punctul  $O$ , al forței  $F$  aplicate în punctul  $A$ , avînd vectorul de poziție  $r$ , este  $r \times F$ .  $M$  are direcția normală la planul definit de  $r$  și  $F$ .

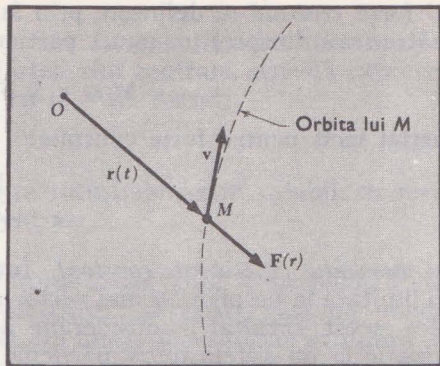


FIG. 6.14. Particula  $M$ , supusă unei forțe centrale de respingere  $F(r)$ , cu centrul în  $O$ . Deoarece momentul forței  $M = r \times F = 0$ , avem  $J = \text{const}$ .  $J$  este un vector perpendicular pe planul hîrtiei.

(Această mărime a apărut, după cum vă puteți aminti, în capitolul 2.) Unitatea pentru momentul forței în SI este  $N \times m$  iar în CGS  $\text{dyn} \times \text{cm}$ . Figura 6.13 ilustrează relația (6.24). Derivînd ecuația (6.23), avem:

$$\frac{dJ}{dt} = \frac{d}{dt}(r \times p) = \frac{dr}{dt} \times p + r \times \frac{dp}{dt}$$

Dar:

$$\frac{dr}{dt} \times p = v \times Mv = 0$$

și, folosind legea a doua a lui Newton într-un sistem de referință inerțial:

$$r \times \frac{dp}{dt} = r \times F = M.$$

Obținem astfel rezultatul important:

$$\boxed{\frac{dJ}{dt} = M} \quad (6.25)$$

Viteza de variație în timp a momentului cinetic este egală cu momentul forței.

Dacă momentul forței  $M = 0$ , atunci  $J = \text{const}$ . *Momentul cinetic este constant în absența unui moment al forței*; aceasta este o formulare a *legii conservării momentului cinetic*. De remarcă că legea conservării momentului cinetic nu se referă numai la particule care se mișcă pe orbite închise. Ea se aplică în egală măsură în cazul orbitelor deschise (ca în fig. 6.14) și al proceselor de ciocnire.

Considerăm o particulă supusă unei forțe centrale de forma:

$$F = \hat{r} f(r).$$

O forță *centrală* se definește prin faptul că este în orice punct dirijată exact către (sau dinspre) un punct particular. Momentul forței este:

$$\mathbf{M} = \mathbf{r} \times \mathbf{F} = \mathbf{r} \times \hat{\mathbf{r}}f(r) = 0$$

astfel încît pentru forțe centrale:

$$\frac{d\mathbf{J}}{dt} = 0 \quad (6.26)$$

și *momentul cinetic este constant*. Într-un astfel de caz, mișcarea particulei va fi limitată la un plan normal vectorului constant  $\mathbf{J}$ . (În capitolul 9 vom utiliza des acest rezultat.) Considerăm acum generalizarea ecuației momentului cinetic la un sistem de  $N$  particule în interacție.

**Momentele forțelor interne au rezultanta egală cu zero.** Forțele de interacțiune care pot fi prezente între particulele unui sistem dau naștere unor momente interne. Vom arăta acum că acestea au o rezultantă nulă, astfel încît numai momentele forțelor externe pot modifica momentul cinetic al unui sistem de particule.

Incluzînd toate forțele, scriem momentul total al forțelor:

$$\mathbf{M} = \sum_{i=1}^n \mathbf{r}_i \times \mathbf{F}_i \quad (6.27)$$

unde prin  $i$  sînt indiciate particulele sistemului, iar  $n$  este numărul total al particulelor care compun sistemul. Dar forța  $\mathbf{F}_i$  asupra particulei  $i$  este datorată parțial agenților externi sistemului și parțial interacțiilor ei cu alte particule; astfel:

$$\mathbf{F}_i = \mathbf{f}_i + \sum_{j=1}^n \mathbf{f}_{ij}$$

unde  $\mathbf{f}_i$  reprezintă forța externă iar  $\mathbf{f}_{ij}$  este forța exercitată asupra particulei  $i$  de către particula  $j$ . Notăția  $\Sigma'$  indică faptul că termenul  $j = i$  este exclus deoarece forța unei particule asupra ei însăși nu are sens aici. Aceasta ne permite să scriem ecuația (6.27) sub forma:

$$\mathbf{M} = \sum_i \mathbf{r}_i \times \left( \mathbf{f}_i + \sum_j \mathbf{f}_{ij} \right) = \sum_i \mathbf{r}_i \times \mathbf{f}_i + \sum_i \sum_j \mathbf{r}_i \times \mathbf{f}_{ij}$$

unde ultimul termen cu suma dublă este suma vectorială a momentelor forțelor interne ale sistemului, pe care o vom nota  $\mathbf{M}_{int}$ .

O examinare mai atentă a expresiei lui  $\mathbf{M}_{int}$  arată că aceasta poate fi descompusă într-o sumă dublă de perechi de termeni:

$$\mathbf{M}_{int} = \sum_i \left[ \sum_j' (\mathbf{r}_i \times \mathbf{f}_{ij} + \mathbf{r}_j \times \mathbf{f}_{ji}) \right] \quad (6.28)$$

unde pentru fiecare valoare a lui  $i$  sumăm peste toate valorile lui  $j$ , excluzînd  $j = i$ . (Această descompunere se recunoaște ușor tratînd un sistem constînd dintr-un număr mic de particule; vezi probl. 5.) Dar, în conformitate cu legea a treia a lui Newton,  $\mathbf{f}_{ji} = -\mathbf{f}_{ij}$  și ecuația (6.28) devine:

$$\mathbf{M}_{int} = \sum_i \left[ \sum_j' (\mathbf{r}_i - \mathbf{r}_j) \times \mathbf{f}_{ij} \right].$$



Dacă forțele dintre particule sînt dirijate de-a lungul direcției care unește perechile care interacționează, adică dacă forțele sînt centrale, această expresie va fi zero, deoarece forța  $f_{ij}$  este paralelă cu  $\mathbf{r}_i - \mathbf{r}_j$ . Astfel:

$$\mathbf{M}_{int} = 0. \quad (6.29)$$

Acest rezultat (pe care nu-l vom demonstra totuși aici) este valabil, de asemenea, și pentru forțe de interacție necentrale.

**Momentul forței gravitaționale.** O chestiune importantă în problemele de mișcare la suprafața pămîntului este următoarea: se poate găsi un punct într-un corp extins (adică, un corp compus din mase punctiforme sau dintr-o distribuție continuă de masă), astfel încît momentul tuturor forțelor gravitaționale în raport cu acest punct să fie zero? De exemplu, dacă un băț uniform este fixat la un capăt, forța gravitațională va avea un moment în raport cu acest capăt, cu excepția cazului în care bățul este vertical. Unde trebuie fixat bățul astfel încît momentul să fie nul? Evident, în acest caz simplu bățul trebuie fixat în centru, dar să tratăm problema în cazul general.

Considerăm un punct  $O$ , ca în figura 6.15:

$$\mathbf{M}_0 = \sum \mathbf{r}_i \times m_i \mathbf{g}.$$

Deoarece  $\mathbf{g}$ , accelerația gravitațională, este constantă, putem rescrie această expresie ca:

$$\mathbf{M}_0 = (\sum m_i \mathbf{r}_i) \times \mathbf{g}.$$

Dar:

$$\sum m_i \mathbf{r}_i = \mathbf{R}_{c.m.} \cdot \sum m_i.$$

Prin urmare, dacă  $O$  este centrul de masă:

$$\sum m_i \mathbf{r}_i = 0 \quad \text{și} \quad \mathbf{M}_0 = 0.$$

Acest punct este numit adeseori centru de greutate; el este identic cu centrul de masă cu condiția ca accelerația gravitațională  $\mathbf{g}$  să fie aceeași în orice punct al corpului.

Dacă punctul nu este centrul de masă, care va fi valoarea lui  $\mathbf{M}$ ? Știm că:

$$\sum \mathbf{F}_i = \sum m_i \mathbf{g} = M \mathbf{g} = \mathbf{F}_g \quad (6.30)$$

unde  $M$  este masa totală. Se poate exprima momentul în raport cu un punct  $A$  în figura 6.16 simplu, în funcție de această forță  $M \mathbf{g}$ ?

$$\begin{aligned} \mathbf{M}_A &= \sum \mathbf{r}_{Ai} \times m_i \mathbf{g} = \sum (\mathbf{R}_{AO} + \mathbf{r}_{Oi}) \times m_i \mathbf{g} = \mathbf{R}_{AO} \times \sum m_i \mathbf{g} = \\ &= \mathbf{R}_{AO} \times M \mathbf{g} = \mathbf{R}_{c.m.} \times M \mathbf{g} \end{aligned} \quad (6.31)$$

unde am folosit faptul că  $\sum m_i \mathbf{r}_{Oi} = 0$ , deoarece punctul  $O$  este centrul de masă. Vedem, așadar, că efectul total al forțelor de greutate poate fi înlocuit prin acela al unei singure forțe  $M \mathbf{g}$  acționînd în centrul de masă (vezi probl. 6).

**Momentul cinetic în raport cu centrul de masă.** Momentul cinetic total al unui sistem de particule în raport cu un punct arbitrar fix într-un sistem de referință inerțial, luat ca origine, este, din ecuația (6.23)

$$\mathbf{J} = \sum_{i=1}^N M_i \mathbf{r}_i \times \mathbf{v}_i. \quad (6.32)$$

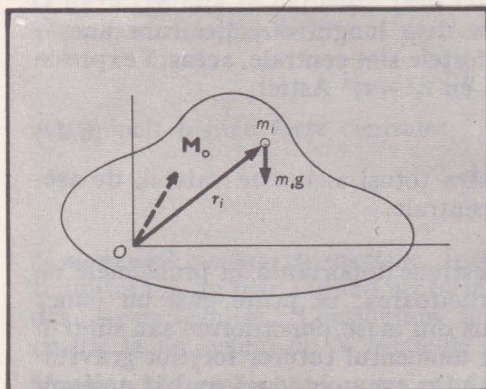


FIG. 6.15. Momentul forței gravitaționale,  $m_i g$ , în raport cu  $O$  este  $\mathbf{r}_i \times m_i g$ .

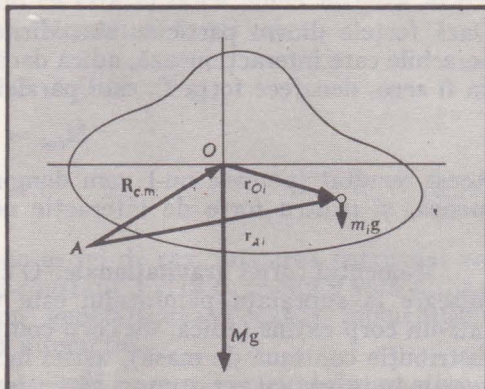


FIG. 6.16. Momentul forței gravitaționale în raport cu  $A$  poate fi exprimat ca  $\mathbf{R}_{c.m.} \times \mathbf{M}g$ , unde  $O$  este centrul de masă.

Ca și în cazul unei singure particule, valoarea lui  $\mathbf{J}$  depinde de punctul pe care îl alegem ca origine  $O$ . Notînd cu  $\mathbf{R}_{c.m.}$  vectorul de poziție al centrului de masă în raport cu originea  $O$ , scriem  $\mathbf{J}$  într-o formă convenabilă și importantă, adunînd și scăzînd cantitatea:

$$\sum_i M_i \mathbf{R}_{c.m.} \times \mathbf{v}_i$$

la expresia din ecuația (6.32). Astfel:

$$\mathbf{J} = \sum_{i=1}^N M_i (\mathbf{r}_i - \mathbf{R}_{c.m.}) \times \mathbf{v}_i + \sum_{i=1}^N M_i \mathbf{R}_{c.m.} \times \mathbf{v}_i = \mathbf{J}_{c.m.} + \mathbf{R}_{c.m.} \times \mathbf{P} \quad (6.33)$$

unde  $\mathbf{J}_{c.m.}$  este momentul cinetic în raport cu centrul de masă iar  $\mathbf{P} \equiv \sum M_i \mathbf{v}_i$  este impulsul total. Termenul  $\mathbf{R}_{c.m.} \times \mathbf{P}$  este momentul cinetic legat de mișcarea centrului de masă în jurul originii. Acest termen depinde de alegerea originii, în timp ce  $\mathbf{J}_{c.m.}$  este independent de această alegere. În fizica moleculei, a atomului sau a particulelor elementare este util să numim  $\mathbf{J}_{c.m.}$  momentul cinetic de *spin* sau simplu *spin*.

Utilizînd  $\mathbf{M}_{int} = 0$ , avem din ecuațiile (6.25) și (6.33):

$$\frac{d}{dt} \mathbf{J}_{tot} = \mathbf{M}_{ext} \quad (6.34)$$

$$\mathbf{J}_{tot} = \mathbf{J}_{c.m.} + \mathbf{R}_{c.m.} \times \mathbf{P} \quad (6.35)$$

Aici  $\mathbf{J}_{c.m.}$  este momentul cinetic în raport cu centrul de masă, în timp ce  $\mathbf{R}_{c.m.} \times \mathbf{P}$  este momentul cinetic al centrului de masă în raport cu originea arbitrară. Este, de obicei, o idee foarte bună să alegem originea în centrul de masă. Atunci ecuația (6.34) poate fi scrisă ca:

$$\frac{d}{dt} \mathbf{J}_{c.m.} = \mathbf{M}_{ext}$$



Dacă nu acționează forțe externe, atunci  $M_{ext} = 0$ , iar  $J_{c.m.}$  este constant.

Am văzut că mișcarea centrului de masă este determinată de forța externă totală care acționează asupra corpului. Vedem acum că rotația în jurul centrului de masă este determinată de momentul total al forțelor externe. (În capitolul 8, vom utiliza în mod deosebit acest rezultat.)

Semnificația geometrică a momentului cinetic al unei particule aflate pe o orbită care înconjoară originea este sugerată în figura 6.17. Vectorul arie  $\Delta S$  al triunghiului este dat de:

$$\Delta S = \frac{1}{2} \mathbf{r} \times \Delta \mathbf{r}.$$

Atunci:

$$\frac{dS}{dt} = \frac{1}{2} \mathbf{r} \times \mathbf{v} = \frac{1}{2M} \mathbf{r} \times \mathbf{p} = \frac{1}{2M} \mathbf{J}. \quad (6.36)$$

Am văzut că, în cazul forțelor centrale, pentru o alegere convenabilă a originii,  $\mathbf{J} = \text{constant}$ .

Dacă într-o problemă de mișcare a unei planete originea este luată în Soare, atunci, neglijând perturbațiile produse de alte planete, momentul cinetic al planetei este constant. În cazul forțelor centrale, vedem din ecuațiile (6.26) și (6.36) că:

1. Orbita se află conținută într-un plan;
2. Viteza cu care este măturată aria este constantă — aceasta este una dintre cele trei legi ale lui Kepler (discutate în capitolul 9).

Primul rezultat provine din faptul că  $\mathbf{r}$  și  $\Delta \mathbf{r}$  sînt într-un plan perpendicular pe  $\mathbf{J}$  iar  $\mathbf{J}$  este constant în mărime și direcție într-un câmp central.

Planetele se mișcă pe orbite eliptice în jurul Soarelui care se află într-un focar. Pentru ca momentul cinetic să se conserve, fiecare planetă trebuie să se miște mai repede în punctul de apropiere maximă decît în punctul cel mai îndepărtat de Soare. Acest rezultat decurge din faptul că în aceste puncte  $\mathbf{r}$  este perpendicular pe  $\mathbf{v}$  și momentul cinetic este  $Mvr$ . Din conservarea momentului cinetic valorile lui  $Mvr$  în aceste puncte trebuie să fie egale, astfel încît valoarea mai mică a lui  $r$  este asociată cu o valoare mai mare a lui  $v$  (vezi fig. 6.18).

Pentru o particulă care se mișcă pe o orbită circulară, viteza  $\mathbf{v}$  este perpendiculară pe  $\mathbf{r}$ , astfel încît:

$$\mathbf{J} = M\mathbf{vr} = M\omega r^2. \quad (6.37)$$

Pentru o particulă care se deplasează pe o dreaptă aflată la distanța  $b$  de origine, studentul va trebui să demonstreze singur că:

$$\mathbf{J} = \mathbf{r} \times M\mathbf{v} = Mvb\hat{\mathbf{u}}$$

unde  $\hat{\mathbf{u}}$  este un vector unitate perpendicular pe planul definit de dreapta pe care are loc mișcarea și de origine.

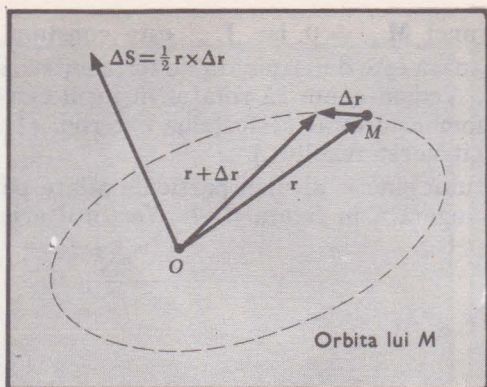


FIG. 6.17. Semnificația geometrică a momentului cinetic în funcție de aria măturată în unitatea de timp.

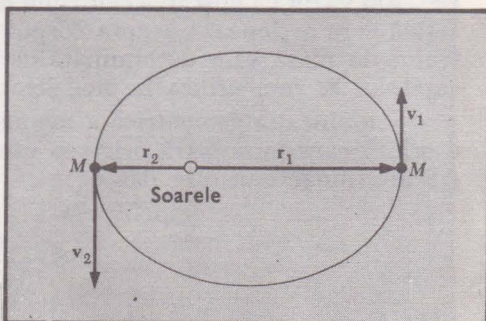
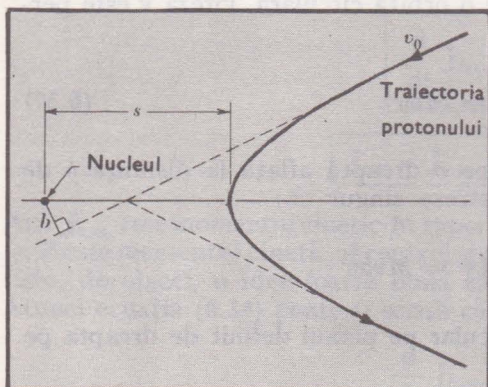


FIG. 6.18. Planeta  $M$  are moment cinetic constant în raport cu Soarele. Astfel,  $Mr_2v_2 = Mr_1v_1$ , unde  $r_1$  = cea mai mare distanță până la Soare și  $r_2$  = cea mai mică distanță până la Soare. Toate orbitele planetare au excentricități mult mai mici decât este indicat aici. Figura este exagerată, pentru claritate.

## EXEMPLU

**Împrăștierea protonului pe un nucleu greu.** Un proton se apropie de un nucleu foarte greu de sarcină  $Ze$ . La distanță infinită de nucleu protonul are energia  $\frac{1}{2} M_p v_0^2$ . Dreapta obținută prin *extrapolarea liniară* la distanțe mici a traiectoriei de la distanțe mari ar trece la o distanță minimă  $b$  de nucleu, ca în figura 6.19. Această distanță este numită *parametru de ciocnire*. Care este distanța de maximă apropiere a protonului pe orbita reală? (Masa nucleului greu se consideră infinită, astfel încât energia sa de recul poate fi neglijată, adică nucleul poate fi considerat staționar.)

Momentul cinetic inițial al protonului în raport cu nucleul este  $M_p v_0 b$ , unde  $v_0$  este viteza inițială a protonului. La distanța de apropiere maximă, notată cu  $s$ , momentul cinetic este  $M_p v_s s$ , unde  $v_s$  este viteza în acest punct. Forța este centrală, astfel încât momentul cinetic se conservă și deci:



$$M_p v_0 b = M_p v_s s, \quad v_s = \frac{v_0 b}{s}$$

FIG. 6.19. Mișcarea unui proton în câmpul coulombian al unui nucleu greu. Traectoria este o hiperbolă (vezi cap. 9). Distanța de maximă apropiere este  $s$ . Parametrul de ciocnire  $b$  este distanța dintre nucleu și extrapolarea liniară a porțiunii inițiale a traiectoriei.



Subliniem că am considerat nucleul greu în repaus.

Energia protonului se conservă de asemenea în ciocnire. Energia inițială este în întregime cinetică și este egală cu  $\frac{1}{2} M_p v_0^2$ . Energia în punctul de maximă apropiere este:

$$\frac{1}{2} M_p v_s^2 + \frac{Ze^2}{4\pi\epsilon_0 s}$$

unde primul termen este energia cinetică iar cel de-al doilea energia potențială. Astfel, legea conservării energiei ne spune că:

$$\frac{1}{2} M_p v_s^2 + \frac{Ze^2}{4\pi\epsilon_0 s} = \frac{1}{2} M_p v_0^2.$$

Eliminându-l pe  $v_s$ , obținem:

$$\frac{Ze^2}{4\pi\epsilon_0 s} = \frac{1}{2} M_p v_0^2 \left[ 1 - \left( \frac{b}{s} \right)^2 \right].$$

Această ecuație poate fi rezolvată în raport cu  $s$ . (Observăm că legile de conservare ne-au spus o mulțime de lucruri despre procesul de ciocnire.) În sistemul CGS ultimele trei expresii devin

$$\frac{1}{2} M_p v_s^2 + \frac{Ze^2}{s}; \quad \frac{1}{2} M_p v_s^2 + \frac{Ze^2}{s} = \frac{1}{2} M_p v_0^2 \quad \text{și} \quad \frac{Ze^2}{s} = \frac{1}{2} M_p v_0^2 \left[ 1 - \left( \frac{b}{s} \right)^2 \right].$$

(Metodele din capitolul 9 dau soluția completă a acestei probleme.)

**Invarianța la rotații.** Exact la fel cum am găsit că legea conservării impulsului a fost o consecință a invarianței galileene și a conservării energiei, putem deduce că legea conservării momentului cinetic este o consecință a invarianței energiei potențiale față de rotația sistemului de referință (sau a sistemului fizic însuși). Dacă există un moment nenul al forțelor externe, vom efectua, în general, un lucru mecanic împotriva acestui moment, pentru a roti sistemul. Dacă efectuăm lucru mecanic, energia potențială trebuie să varieze. Dacă energia potențială  $U$  este nemodificată în timpul rotației, nu există moment al forțelor externe. Aceasta implică faptul că momentul cinetic se conservă.

Raționamentul se poate prezenta analitic. Considerăm efectul unei rotații asupra unui sistem de particule, prin care vectorul de poziție  $\mathbf{r}$  al fiecărei particule este transformat în  $\mathbf{r}'$ . Lungimea lui  $\mathbf{r}$  rămîne, desigur, neschimbată. Afirmăm că legea conservării momentului cinetic este o consecință a relației:

$$U(\mathbf{r}'_1, \mathbf{r}'_2, \dots, \mathbf{r}'_N) = U(\mathbf{r}_1, \mathbf{r}_2, \dots, \mathbf{r}_N).$$

Această relație implică restricții asupra modului în care  $U$  depinde de vectorii  $\mathbf{r}$ . O posibilitate de a satisface relația este ca  $U$  să depindă numai de diferențele vectoriale ale vectorilor  $\mathbf{r}$ , astfel că pentru un sistem simplu de numai două particule putem scrie:

$$U(\mathbf{r}_1, \mathbf{r}_2) = U(\mathbf{r}_2 - \mathbf{r}_1).$$

Operația de rotație schimbă direcția lui  $\mathbf{r}_2 - \mathbf{r}_1$  dar nu și mărimea sa. Funcția  $U$  va fi invariantă dacă depinde doar de mărimea diferenței, adică de distanța care separă particulele și nu de direcția vectorului de separare; astfel:

$$U(\mathbf{r}_1, \mathbf{r}_2) = U(|\mathbf{r}_2 - \mathbf{r}_1|).$$

Această relație este echivalentă cu o formulare a omogenității și izotropiei spațiului.

Pentru o funcție energie potențială de această formă se verifică faptul că  $\mathbf{F}_{12} = -\mathbf{F}_{21}$ , și că aceste forțe sînt dirijate de-a lungul dreptei  $\mathbf{r}_2 - \mathbf{r}_1$ . Astfel, forța este centrală și momentul forței este nul. Aceasta asigură că momentul cinetic se va conserva. Pentru  $N$  particule, invarianța la rotații a energiei potențiale este asigurată dacă  $U$  depinde numai de mărimile distanțelor dintre particule.

Potențialul resimțit de un electron sau ion individual într-un cristal nu este invariant la rotații, deoarece cîmpul electric produs de ceilalți ioni în cristal este puternic neuniform sau neomogen. Așadar, nu ne vom aștepta să găsim, în general, o lege de conservare pentru momentul cinetic al păturilor electronice ale unui ion într-un cristal, cu toate că momentul cinetic se conservă pentru același ion considerat în spațiul liber. Neconservarea momentului cinetic electronic al ionilor în cristale a fost observată în studii asupra ionilor paramagnetici în cristale și efectul se numește *înghețarea* momentului cinetic orbital<sup>1</sup>.

Momentul cinetic  $\mathbf{J}$  al Pămîntului este constant în raport cu Soarele considerat ca origine, deoarece  $\mathbf{r} \times \mathbf{F} = 0$  pentru orice masă punctiformă de pe Pămînt, unde  $\mathbf{F}$  este forța gravitațională care acționează între Soare și masa punctiformă.

## EXEMPLU

**Accelerația unghiulară care însoțește contracția.** O particulă de masă  $M$  este legată de un fir (fig. 6.20) și constrinsă să se miște într-un plan orizontal (planul liniei întrerupte). Particula se rotește cu viteza  $v_0$  cînd lungimea firului este  $r_0$ . Ce lucru mecanic se efectuează cînd firul este scurtat pînă la lungimea  $r$ ?

Forța exercitată asupra particulei de către fir este radială, astfel încît *momentul forței este zero*, în timp ce lungimea firului este micșorată.

În consecință, momentul cinetic trebuie să rămînă constant cînd firul este scurtat:

$$Mv_0r_0 = Mvr. \quad (6.38)$$

Energia cinetică în  $r_0$  este  $\frac{1}{2} Mv_0^2$ ; în  $r$  ea a crescut la:

$$\frac{1}{2} Mv^2 = \frac{1}{2} Mv_0^2 \left( \frac{r_0}{r} \right)^2 \quad (6.39)$$

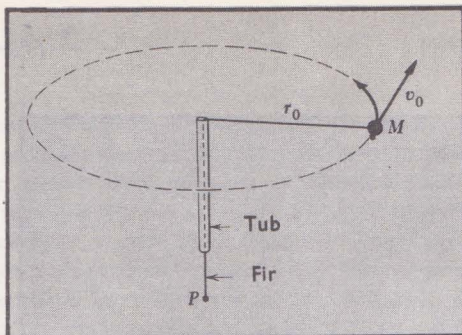
deoarece de mai sus rezultă  $v = v_0r_0/r$ . În consecință, lucrul mecanic  $L$  efectuat din exterior pentru a scurta firul de la  $r_0$  la  $r$  este:

$$L = \frac{1}{2} Mv_0^2 \left[ \left( \frac{r_0}{r} \right)^2 - 1 \right].$$

<sup>1</sup> Se folosește termenul „înghețare” deoarece neconservarea momentului cinetic face ca, de obicei, una din componentele sale, de exemplu proiecția pe axa  $z$ , să fie oscilantă în jurul valorii zero (vezi Ch. Kittel, Introducere în fizica corpului solid, Ed. tehnică, București, 1972, pagina 544). (N.T.)



FIG. 6.20. Un corp de masă  $M$  descrie o mișcare circulară de rază  $r_0$  și viteză  $v_0$ . El este legat de un fir care trece printr-un tub. Distanța  $r_0$  poate fi micșorată trăgând de fir în punctul  $P$



Acest lucru mecanic poate fi calculat direct din:

$$\int_{r_0}^{r_1} F_{cp} \cdot dr = - \int_{r_0}^{r_1} F_{cp} dr.$$

Vedem că momentul cinetic acționează asupra mișcării radiale ca o forță efectivă de respingere: noi trebuie să efectuăm un lucru mecanic *suplimentar* asupra particulei pentru a o aduce de la distanțe mari la distanțe mici *dacă* cerem ca momentul cinetic să se conserve în timpul acestui proces.

Comparați această comportare cu aceea a unei particule în rotație la capătul unui fir care se înfășoară liber pe un băț fix, neted, de diametru finit. De ce energia cinetică este de astă dată constantă în timp ce firul se înfășoară? (Vezi probl. 12 de la sfîrșitul capitoului.)

## EXEMPLU

**Forma galaxiei.** Rezultatul exemplului precedent are probabil o legătură cu forma galaxiei. Să considerăm o masă foarte mare de gaz  $M$  avînd inițial un anumit moment cinetic<sup>1</sup>, ca în figura 6.21,a. Gazul se contractă din cauza interacției sale gravitaționale. Pe măsură ce volumul ocupat de gaz devine din ce în ce mai mic, conservarea momentului său cinetic implică o creștere a vitezei unghiulare și deci energia sa cinetică crește. Dar tocmai am văzut că pentru a produce o creștere a vitezei unghiulare este necesar un lucru mecanic. De unde provine această energie cinetică? Ea poate proveni numai din energia gravitațională a gazului.

Pentru a rezolva probleme de acest tip, fizicienii folosesc adesea considerații legate de energie. O particulă de masă  $M_1$  în regiunile exterioare ale galaxiei va avea o energie potențială gravitațională datorată interacției sale cu galaxia de ordinul de mărime:

$$- \frac{GM_1M}{r}, \quad (6.40)$$

unde  $r$  este distanța pînă în centrul galaxiei iar  $M$  este masa galaxiei. Cînd  $r$  devine din ce în ce mai mic, această energie potențială gravitațională devine din ce în ce mai negativă, dar energia cinetică din ecuația (6.39) devine din ce în ce mai pozitivă; de fapt, ea devine pozitivă mai rapid decît devine negativă expresia (6.40). Tratăm această energie cinetică dependentă de rază ca și cum ar fi o contribuție la energia potențială și o numim *energie potențială centrifugă* (vezi probl. 13). Condiția de echilibru este minimul sumei celor doi termeni, după

<sup>1</sup> Nu este posibil la nivelul actual de cunoștințe să se poată spune de unde a provenit gazul și nici de ce o masă dată de gaz a trebuit să aibă un moment cinetic. O cantitate de materie fără moment cinetic se va condensa ca o sferă.

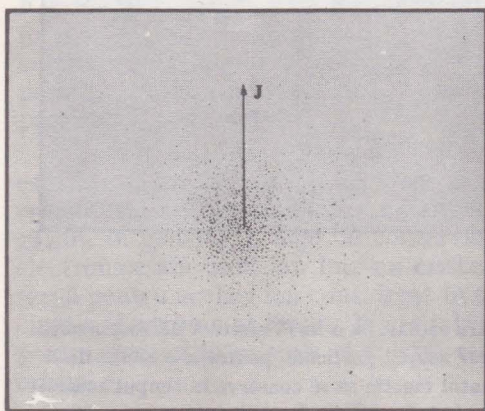


FIG. 6.21, (a). Un nor inițial, difuz, de gaz, avînd un anumit moment cinetic.

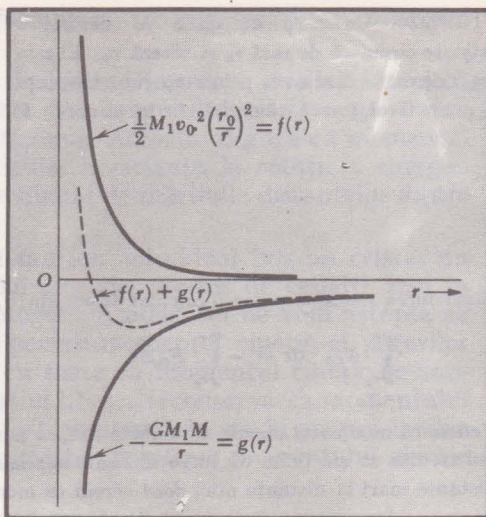


FIG. 6.21, (b). Contractiona galaxiei în plan normal vectorului  $\mathbf{J}$  este limitată, deoarece „energia potențială” centrifugă  $f(r)$  crește foarte rapid cînd  $r \rightarrow 0$ . Astfel,  $f(r) + g(r)$  are un minimum la o valoare finită a lui  $r$ , după cum se arată.

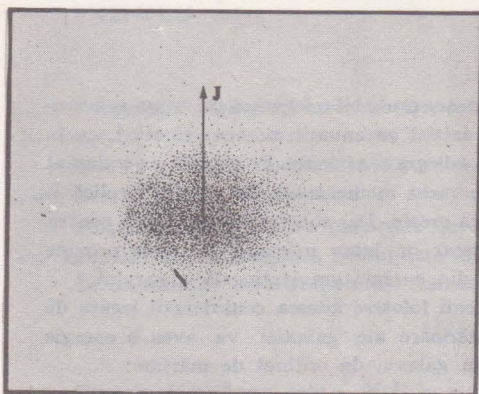


FIG. 6.21, (c). Galaxia începe să se turtească pe măsură ce se contractă și se rotește mai rapid.

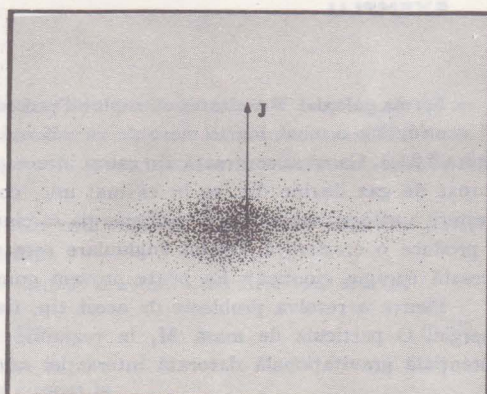


FIG. 6.21, (d). În final ea capătă o formă de „clătită”, cu un miez central mai mult sau mai puțin sferic.

cum se arată în figura 6.21,b. Din capitolul 5 ne amintim că derivata unei energii potențiale este o forță, astfel că minimum în suma acestor două energii corespunde la a egala cu zero suma a două forțe. Această condiție este:

$$\frac{d}{dr} \left[ -\frac{GM_1M}{r} + \frac{1}{2} M_1 v_0^2 \left( \frac{r_0}{r} \right)^2 \right] = 0$$

$$\frac{GM_1M}{r^2} - M_1 v_0^2 \frac{r_0^2}{r^3} = 0$$



ceea ce este echivalent cu:

$$\frac{GM_1M}{r^2} = M_1 \frac{v^2}{r} \quad (6.41)$$

cînd înlocuim  $v_0 r_0/b$  prin  $v$  din ecuația (6.38). Recunoaștem ecuația (6.41) ca fiind exact condiția ca forța centripetă datorită gravitației să egaleze produsul dintre masă și accelerația centripetă.

Dar norul de gaz se poate comprima într-o direcție paralelă cu axa momentului cinetic total fără ca valoarea momentului cinetic să se modifice. Contrakția este produsă de atracția gravitațională; cîștigul de energie în timpul contracției trebuie să fie disipat într-un mod oarecare, și aceasta se crede că are loc prin radiație. Norul poate deci să se strîngă aproape complet în direcția paralelă cu  $\mathbf{J}$ , în timp ce contracția în plan ecuatorial este limitată (vezi fig. 6.21 c și d). Acest model de evoluție galactică este suprasimplificat; deocamdată nu există un model acceptat în mod general.

Diametrul galaxiei noastre este de ordinul lui  $3 \cdot 10^4$  parseci sau  $10^{21}$  m (1 parsec =  $3,084 \cdot 10^{16}$  m). Grosimea galaxiei în vecinătatea soarelui depinde oarecum de modul în care este definită această grosime, dar marea majoritate a stelelor se îngrămădesc în jurul planului median într-o grosime de aproximativ  $10^{19}$  m (cîțiva parseci). Astfel galaxia este puternic turtită. Masa galaxiei se consideră aproximativ de  $2 \cdot 10^{11}$  ori mai mare decît masa soarelui, sau:

$$(2 \cdot 10^{11})(2 \cdot 10^{30}) = 4 \cdot 10^{41} \text{ kg.}$$

O estimare a masei se poate face din ecuația (6.41) înlocuind valorile cunoscute ale lui  $v$  și  $r$  pentru soare. Soarele este situat către marginea exterioară a galaxiei la aproximativ  $3 \cdot 10^{20}$  m de axa galaxiei. Viteza orbitală a soarelui în jurul centrului galaxiei este de aproximativ  $3 \cdot 10^5$  m/s; din ecuația (6.41) deducem ca o estimare a masei galaxiei:

$$M = \frac{v^2 r}{G} \approx \frac{(10^{11})(3 \cdot 10^{20})}{7 \cdot 10^{-11}} \approx 4 \cdot 10^{41} \text{ kg.}$$

Am neglijat efectul maselor situate la distanță mai mare decît soarele față de centrul galaxiei.

**Momentul cinetic al Sistemului Solar.** Figura 6.22 arată momentele cinetice ale cîtorva componente ale Sistemului Solar. Să facem, ca o verificare pentru noi, o estimare a uneia dintre valorile date. Considerăm planeta Neptun, a cărei orbită este foarte aproape de una circulară. Distanța medie dintre Neptun și Soare este dată în lucrările de referință ca  $5 \cdot 10^{12}$  m. Perioada de revoluție a lui Neptun în jurul Soarelui este de 165 ani  $\approx 5 \cdot 10^9$  s. Masa lui Neptun este de aproximativ  $1 \cdot 10^{26}$  kg. Momentul cinetic al lui Neptun în raport cu Soarele este deci:

$$J = Mvr = M \frac{2\pi r}{T} r = \frac{(10^{26})(6)(25 \cdot 10^{24})}{5 \cdot 10^9} \approx 30 \cdot 10^{41} \text{ kg} \cdot \text{m}^2/\text{s},$$

în concordanță aproximativă cu valoarea  $26 \cdot 10^{41} \text{ kg} \cdot \text{m}^2/\text{s}$  indicată în figura 6.22. Direcția lui  $\mathbf{J}$  este aproximativ aceeași pentru toate planetele mari.

Momentul cinetic al lui Neptun în raport cu propriul său centru de masă este mult mai mic. Momentul cinetic al unei sfere uniforme în rotație este de ordinul de mărime  $MvR$ , unde  $v$  este viteza de rotație la suprafață iar  $R$  este raza. În realitate, deoarece masa unei sfere nu este concentrată la o distanță  $R$  de axă, ci este distribuită, acest rezultat trebuie să fie redus, în cazul unei

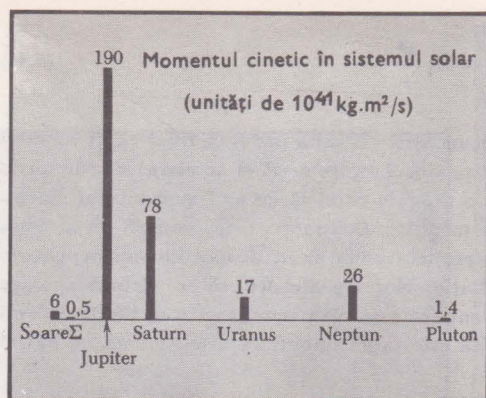


FIG. 6.22. Distribuția momentului cinetic în sistemul solar, în raport cu centrul soarelui. Simbolul  $\Sigma$  desemnează suma celor patru planete: Mercur, Venus, Pământ și Marte. Remarcați contribuția relativ mică a rotației Soarelui în jurul propriei sale axe.

distribuții uniforme, printr-un factor numeric care, în capitolul 8, se găsește a fi  $\frac{2}{5}$ . Astfel:

$$J_{c.m.} = \frac{2}{5} \cdot \frac{2\pi MR^2}{T}$$

unde  $T = 2\pi R/v$  denotă perioada de rotație a planetei în jurul axei sale. Pentru Neptun  $T = 6 \cdot 10^4$  s și  $r \approx 2,4 \cdot 10^7$  m, de unde:

$$J_{c.m.} = \frac{(0,4) (6) (10^{26}) (6 \cdot 10^{14})}{6 \cdot 10^4} \approx 2 \cdot 10^{36} \text{ kg} \cdot \text{m}^2/\text{s}$$

care este neglijabil în comparație cu momentul cinetic în raport cu Soarele.

O estimare similară a lui  $J_{c.m.}$  pentru Soare dă  $6 \cdot 10^{41} \text{ kg} \cdot \text{m}^2/\text{s}$ . Rotația Soarelui în jurul unei axe care trece prin centrul său este răspunzătoare pentru numai 2% din momentul cinetic total în Sistemul Solar. O stea mai fierbinte tipică poate avea un moment cinetic de 100 ori mai mare decât al Soarelui. Se pare deci că formarea unui sistem planetar este un mecanism efectiv pentru extragerea de moment cinetic de la o stea care se răcește. Dacă fiecare stea formează un sistem planetar, parcurgând etapele evoluției sale în mod asemănător cu Soarele, ar trebui să existe peste  $10^{10}$  stele cu planete în galaxia noastră.

## PROBLEME

### 1. Momentul cinetic al unui satelit

- (a) Care este momentul cinetic (raportat la centrul orbitei) al unui satelit de masă  $M_s$  care se mișcă pe o orbită circulară de rază  $r$ ? Rezultatul trebuie să se exprime numai în funcție de  $r$ ,  $G$ ,  $M_s$ ,  $M_p$  (masa Pământului).

$$R: J = (GM_p M_s^2 r)^{1/2}.$$

- (b) Pentru  $M_s = 100$  kg, care este valoarea numerică în unități SI a momentului cinetic în cazul unei orbite de rază egală cu dublul razei Pământului?

### 2. Efecte ale frecării asupra mișcării sateliților.

- (a) Care este efectul frecării atmosferice asupra mișcării unui satelit pe o orbită



circulară (sau aproape circulară)? De ce frecarea crește viteza satelitului?

- (b) Frecarea mărește sau micșorează momentul cinetic al satelitului măsurat în raport cu centrul Pământului? De ce?

3. *Relația dintre energie și moment cinetic pentru un satelit.* Exprimați în funcție de momentul cinetic  $J$  energia cinetică potențială și totală a unui satelit de masă  $M$  pe o orbită circulară de rază  $r$ .

$$R: E_c = \frac{J^2}{2Mr^2}; \quad E_p = -J^2/Mr^2;$$

$$E = -J^2/2Mr^2.$$

4. *Electron legat de un proton.* Un electron se mișcă în jurul unui proton pe o orbită circulară de rază  $0,5 \text{ \AA} = 0,5 \cdot 10^{-10} \text{ m}$ .

- (a) Care este momentul cinetic orbital al electronului în raport cu protonul?

$$R: 1 \cdot 10^{-34} \text{ Js.}$$

- (b) Care este energia totală (exprimată în jouli și în electronvolți)?

- (c) Care este energia de ionizare, adică energia care trebuie furnizată electronului pentru a-l separa de proton?

5. *Rezultanta momentelor forțelor interne este nulă.* Considerăm un sistem izolat format din trei particule 1, 2 și 3 (arătate în fig. 6.23), care interacționează prin forțele centrale  $F_{12} = 1 \cdot 10^{-5} \text{ N}$ ,  $F_{13} = 0,6 \cdot 10^{-5} \text{ N}$  și  $F_{23} = 0,75 \cdot 10^{-5} \text{ N}$ , unde  $F_{ij}$  reprezintă forța asupra particulei  $i$  când interacționează cu particula  $j$ . Luați două puncte diferite și arătați că, pentru fiecare, rezultanta momentelor forțelor în raport cu acel punct este nulă.

6. *Forțele care acționează asupra unei scări.* O scară de masă  $20 \text{ kg}$  și lungime  $10 \text{ m}$  se sprijină pe un perete vertical fără frecare la un unghi de  $30^\circ$  cu verticala. Scara, de construcție uniformă, este împiedicată să alunece din cauza frecării cu solul. Care este mărimea, în newtoni, a forței exercitate de scară asupra peretelui? (Indicație: utilizați faptul că momentele forțelor trebuie să aibă rezultantă nulă pentru scara în repaus.)

$$R: 57 \text{ N.}$$

## 7. Energia cinetică a centrului de masă.

În ciocnirea unei particule de masă  $m_1$  și viteză  $v_1$ , cu o particulă staționară de masă  $m_2$ , nu toată energia cinetică poate fi transformată în căldură sau energie internă. Ce fracțiune din ea poate fi transformată astfel? Arătați că această energie este exact egală cu energia cinetică în sistemul centrului de masă.

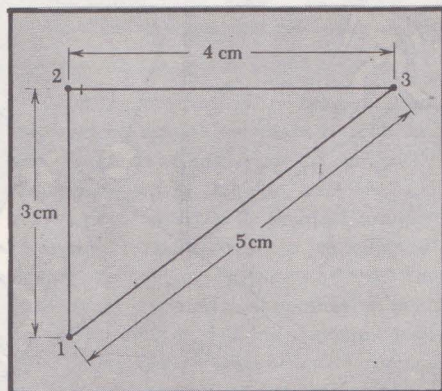
8. *Lanț în cădere.* Un lanț de masă  $M$  și lungime  $l$  este încolăcit pe marginea unei platforme. O porțiune foarte mică de la un capăt este împinsă în afara marginii și începe să cadă sub acțiunea greutății, trăgând în afara platformei o parte din ce în ce mai mare din lanț. Presupunem că viteza fiecărui element rămâne zero pînă în momentul în care este antrenat în mișcare cu viteza porțiunii în cădere. Găsiți viteza, atunci cînd de pe platformă a căzut o porțiune din lanț de lungime  $x$ .

$$R: v^2 = \frac{2}{3} gx.$$

Cînd întreaga lungime  $l$  a părăsit platforma, ce fracțiune din energia potențială inițială a fost transformată în energie cinetică de translație a lanțului?

9. *Momentul cinetic în ciocnirea a două particule.* Un neutron de energie  $1 \text{ MeV}$  trece pe lângă un proton la o asemenea distanță încît momentul cinetic al neutronului relativ la proton este aproximativ

FIG. 6.23.





$10^{-33}$  J · s. Care este distanța de apropiere maximă? (Neglijăm energia de interacție între cele două particule.)

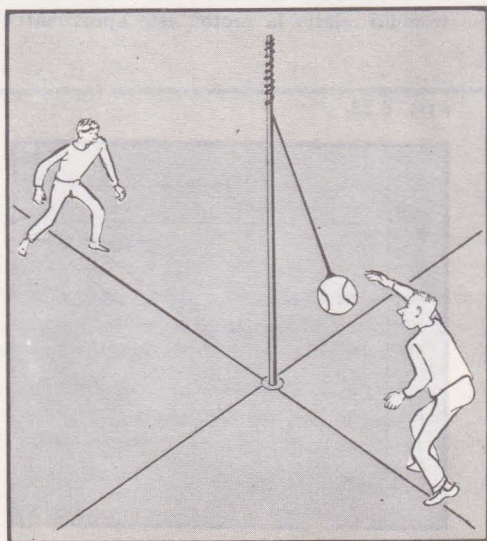
$$R: \approx 4 \cdot 10^{-14} \text{ m.}$$

**10. Coeficientul de restituire.** Coeficientul de restituire  $r$  pentru două corpuri este definit ca fiind viteza cu care corpurile se îndepărtează raportată la viteza cu care ele s-au apropiat,  $0 \leq r \leq 1$ . El poate fi folosit în probleme de ciocnire, pentru a furniza soluția care altfel ar putea fi obținută printr-o relație care implică energia.

- Arătați că dacă coeficientul de restituire între o minge și un plan orizontal, masiv și neted, este  $r$ , înălțimea la care mingea se va ridica după  $n$  salturi este  $h_0 r^{2n}$ , unde  $h_0$  este înălțimea de la care mingea a căzut.
- Arătați că pentru o ciocnire frontală a două corpuri de mase  $m_1$  și  $m_2$  cu coeficientul  $r$ , pierderea de energie cinetică este produsul dintre  $(1 - r^2)$  și energia cinetică în sistemul centrului de masă.

**11. Ciocnirea unei particule de o halteră.** Două corpuri de mase egale  $M$  sînt legate printr-o vergea rigidă de masă neglijabilă și lungime  $a$ . Centrul de masă al

FIG. 6.24.



acestui sistem de tip halteră este staționar în spațiul lipsit de forțe de gravitație și sistemul se rotește în jurul centrului de masă cu viteză unghiulară  $\omega$ . Unul dintre corpurile în rotație izbește frontal un al treilea corp staționar de masă  $M$  și cele două corpuri rămîn lipite.

- Localizați centrul de masă al sistemului compus din cele trei particule la un moment imediat anterior ciocnirii? Care este viteza centrului de masă? (*Observație:* aceasta nu este viteza punctului de pe vergea rigidă care coincide instantaneu cu centrul de masă.)
- Care este momentul cinetic al sistemului de trei particule în raport cu centrul de masă la un moment imediat anterior ciocnirii? Dar imediat după ciocnire?
- Care este viteza unghiulară a sistemului după ciocnire în raport cu centrul de masă?
- Care sînt energiile cinetice inițială și finală?

**12. Momentul cinetic al unei mingi atîrnate de o sfoară.** În jocul reprezentat în figura 6.24 se cere să se lovească mingea suficient de tare și de repede pentru a răsuci sfoara de care mingea este atîrnată într-un sens în jurul stîlpului vertical, înainte ca jucătorul advers să o poată răsuci în sens contrar. Jocul este captivant iar dinamica mișcării mingii este complicată. Să examinăm un tip simplu de mișcare în care mingea se mișcă într-un plan orizontal pe o spirală de rază descrescătoare, pe măsură ce sfoara se răsucește în jurul stîlpului după o singură lovitură care îi imprimă mingii o viteză inițială  $v_0$ . Lungimea sforii este  $l$  iar raza stîlpului este  $a \ll l$ .

- Care este centrul instantaneu de rotație?
- Există un moment al forței nului în raport cu axa ce trece prin centrul stîlpului? Se conservă momentul cinetic?
- Presupuneți că energia cinetică se conservă și calculați viteza ca funcție de timp.
- Care este viteza unghiulară după ce mingea a efectuat cinci revoluții complete?

$$R: \omega = (l - 10\pi a) v_0 / [a^2 + (l - 10\pi a)^2].$$



13. *Energia potențială centrifugă efectivă.* Este convenabil să utilizăm coordonate polare  $r, \theta$ , pentru mișcarea într-un plan perpendicular pe o axă de rotație (vezi fig. 2.21).

(a) Arătați că viteza într-un astfel de sistem de coordonate se poate scrie ca:

$$\mathbf{v} = v_r \hat{\mathbf{r}} + v_\theta \hat{\boldsymbol{\theta}}$$

unde  $v_r$  este  $dr/dt$ , viteza de variație a lungimii  $r$ , iar:

$$v_\theta = r \frac{d\theta}{dt}$$

(b) Arătați că energia cinetică a unei particule în acest sistem de coordonate este:

$$E_c = \frac{1}{2} M(\dot{r}^2 + \omega^2 r^2)$$

unde  $\omega = d\theta/dt$ .

(c) Arătați că energia totală este:

$$E = U(r) + \frac{1}{2} M \dot{r}^2 + \frac{J^2}{2Mr^2}$$

unde  $J$  este momentul cinetic al particulei în raport cu axa fixă normală la planul mișcării. [Indicație: amintiți-vă ecuația (6.37).]

(d) Deoarece forța este centrală nu există un moment al forței asupra particulei și  $J$  este o constantă a mișcării. Termenul  $J^2/2Mr^2$  este numit uneori energia potențială centrifugă. Arătați că energia potențială centrifugă legată de o forță radială îndreptată spre exterior este egală cu  $J^2/2Mr^2$ .

(e) Dacă  $U = -\frac{1}{2}kr^2$ , arătați că  $U(r)$  este legată de o forță radială îndreptată spre interior, egală cu  $-kr$ .

(f) Arătați din (d) și (e) că echilibrul acestor forțe este echivalent cu condiția  $\omega^2 = k/M$ .

#### 14. *Rachetă în câmpul Pământului.*

Într-o rachetă de masă inițială  $M_0$  se arde o cantitate ajustabilă de combustibil  $\beta$ g/s. Acest combustibil este expulzat direct în jos cu o viteză  $V_0$ .

(a) Găsiți  $\beta$  ca funcție de timp pentru ca racheta să poată rămâne staționară în

spațiu la o distanță mică deasupra solului.

(b) Presupunând că masa combustibilului utilizat într-o secundă rămâne constantă la o valoare  $\alpha$  dar este mai mare decât în (a), găsiți viteza rachetei în sus ca funcție de timp.

R: cu  $M = M_0 - \alpha t$  și  $\alpha = dM/dt$ , rezultă  $v = -gt + V_0 \ln[M_0/(M_0 - \alpha t)]$ .

(c) Comparați această viteză în cazul

$$M = \frac{3}{4} M_0 \text{ cu aceea dată în ecuația}$$

(6.22). Calculați aceste două viteze dacă  $V_0 = 1,65 \cdot 10^3$  m/s și  $\alpha = 2M_0 g V_0$ .

#### 15. *Patinatori pe gheață, rotindu-se*

*la capetele unei corzi.* Doi patinatori pe gheață, fiecare cîntărind 70 kg, se deplasează în sensuri opuse cu viteze de 6,5 m/s, fiind separați printr-o distanță de 10 m perpendiculară pe vitezele lor. Cînd sînt exact unul în dreptul celuilalt, fiecare apucă cîte un capăt al unei corzi lungă de 10 m.

(a) Care este momentul cinetic al patinatorilor în raport cu centrul corzii înainte ca ei să apuce capetele acesteia? Dar după?

(b) Fiecare patinator trage acum de capătul său de coardă pînă cînd lungimea acesteia devine 5 m. Care este viteza fiecărui patinator?

(c) Dacă coarda se rupe exact cînd patinatorii au ajuns la o distanță de 5 m, care este masa maximă care se poate suspenda vertical de coardă, fără ca aceasta să se rupă?

(d) Calculați lucrul mecanic efectuat de fiecare patinator la descreșterea distanței dintre ei și arătați că acesta este egal cu variația energiei sale cinetice.

#### 16. *Încetinirea unui vehicul spațial.*

Un vehicul spațial are masa de 200 kg și aria secțiunii transversale 2 m<sup>2</sup>. El se deplasează într-o regiune fără un cîmp gravitațional apreciabil, printr-o atmosferă rarefiată a cărei densitate este  $2 \cdot 10^{-12}$  kg/m<sup>3</sup>, cu viteza inițială  $7,6 \cdot 10^3$  m/s. (Acestea ar fi valorile aproximative pentru un satelit aflat la 500 km deasupra suprafeței Pământului.) Presupunem că condițiile

din exemplul de la pagina 205 se aplică, adică tot gazul pe care vehiculul îl întâlnește rămâne fixat pe el?

- (a) Calculați valoarea lui  $c$ . Considerați masa gazului primit într-o secundă.

$$R: c = 4 \times 10^{-12} \text{ kg/m.}$$

- (b) Folosind conservarea impulsului  $Mv = M_0 v_0$ , găsiți ecuația diferențială pentru  $v$

ca funcție de  $t$  și constantele problemei.

$$R: dv/dt = -cv^2/M_0 v_0.$$

- (c) Rezolvați ecuația în raport cu  $v$  și găsiți timpul necesar pentru ca satelitul să-și micșoreze viteza până la 0,9 din viteza sa inițială.

$$R: t \approx 24 \text{ ani}$$

## LECTURI SUPLIMENTARE

*Fizica PSSC* (PSSC „Physics“), capitolul 22, D. C. Heath and Company, Boston, 1965.

*Curs de fizică HPP* (HPP „Project Physics Course“), capitolul 9, Holt, Rinehart și Winston, Inc. New York, 1970.



# 7

## Oscilatorul armonic: proprietăți și exemple

### Cuprins

Corp fixat de un resort

Pendulul simplu

Circuitul LC

Mișcarea unui sistem scos dintr-o poziție de echilibru stabil

Valoarea medie a energiilor cinetică și potențială

Frecarea

Viteza limită

Oscilatorul armonic amortizat

Exemplu. Disiparea puterii

Factorul de calitate  $Q$

Oscilatorul armonic forțat

Principiul superpoziției

Probleme

Teme avansate:

Oscilatorul anarmonic

Oscilații armonice forțate cu amortizare

Exemplu. Exemplu numeric de problemă cu un oscilator armonic

Note matematice

Forța de rezistență

Viteza limită

Forța elastică

Forța elastică și forța de rezistență

Numerele complexe și oscilațiile armonice forțate

Lecturi suplimentare

Oscilatorul armonic constituie un exemplu de mișcare periodică de importanță excepțională, deoarece servește drept model exact sau aproximativ pentru multe probleme din fizica clasică și cuantică. Sistemele clasice care sînt descrise pe baza oscilatorului armonic includ orice sistem stabil scos puțin din starea de echilibru, ca de exemplu:

1. un corp fixat de un resort în limita micilor amplitudini de oscilație;
2. un pendul simplu în limita unghiurilor mici de oscilație;
3. un circuit electric compus dintr-o inductanță și o capacitate, pentru curenți suficient de mici, astfel încît elementele de circuit să fie liniare.

Un element de circuit electric sau mecanic se zice că este liniar dacă răspunsul este direct proporțional cu forța externă. Marea majoritate a fenomenelor din fizică (dar nu toate fenomenele interesante) sînt liniare, dacă domeniul de variație al mărimilor care intervin este luat suficient de mic, exact la fel cum cele mai multe curbe pe care le întîlniți pot fi considerate linii drepte pentru un domeniu de valori suficient de mic.

Cele mai importante proprietăți ale oscilatorului armonic sînt următoarele:

1. frecvența mișcării este independentă de amplitudinea oscilației, în domeniul de liniaritate;
2. efectele mai multor forțe externe pot fi suprapuse liniar.

În acest capitol vom trata proprietățile oscilatorului armonic. Vom considera atît mișcarea liberă, cît și cea forțată, cu și fără amortizare, deși principalele elemente ale mișcării forțate sînt date ca o temă avansată la sfîrșitul acestui capitol. De asemenea, vom trata ca o temă avansată efectele unor interacții neliniare mici, deoarece este util să vă familiarizați cu astfel de tipuri de mișcări.

## CORP FIXAT DE UN RESORT

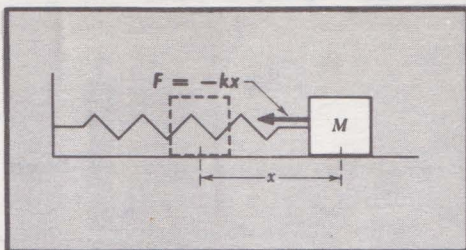
În capitolul 5 am discutat energia potențială într-un resort comprimat sau alungit în care forța este direct proporțională cu comprimarea sau alungirea:

$$F = - kx\hat{x}$$

unde  $x$  este pozitiv în cazul unei alungiri și negativ în cazul unei comprimări. Care este mișcarea unui corp de masă  $M$  sub acțiunea unei astfel de forțe?



FIG. 7.1. Resort alungit acționind asupra unui corp de masă  $M$ . În poziția figurată cu linii întrerupte resortul este nealungit.



În mod ideal ne putem imagina, ca în figura 7.1, că acest corp se mișcă pe un plan fără frecare:

$$\frac{Md^2x}{dt^2} = -kx, \quad \frac{d^2x}{dt^2} = -\frac{kx}{M}. \quad (7.1)$$

(Această ecuație este discutată în notele matematice de la sfârșitul acestui capitol. Cititorii nefamiliarizați cu soluția vor trebui să studieze aceste note înainte de a trece mai departe.)

Soluția poate fi exprimată sub forma:

$$x = A \sin(\omega_0 t + \Phi) \quad (7.2)$$

unde:

$$\omega_0 = \left(\frac{k}{M}\right)^{\frac{1}{2}}. \quad (7.3)$$

La  $t = 0$ ,  $x = x_0 = A \sin \Phi$  și  $dx/dt = v_0 = \omega_0 A \cos \Phi$ , de unde se pot determina  $A$  și  $\Phi$ . Figura 7.2 ilustrează mișcarea. Mărimea  $A$  se numește *amplitudine* iar  $\Phi$  *faza* mișcării. Frecvența și perioada sînt date de:

$$\nu = \frac{\omega_0}{2\pi} = \frac{1}{2\pi} \left(\frac{k}{M}\right)^{\frac{1}{2}}, \quad T = \frac{1}{\nu} = 2\pi \left(\frac{M}{k}\right)^{\frac{1}{2}}. \quad (7.4)$$

Acest rezultat era de așteptat: cu cît resortul este mai rigid, adică cu cît  $k$  este mai mare, cu atît frecvența este mai ridicată; cu cît masa este mai mare, cu atît frecvența este mai joasă.

Putem aborda, de asemenea, această problemă din punctul de vedere al conservării energiei [vezi ecuația (5.21)]:

$$\frac{1}{2} Mv^2 + \frac{1}{2} kx^2 = \frac{1}{2} M \left(\frac{dx}{dt}\right)^2 + \frac{1}{2} kx^2 = E. \quad (7.5)$$

Folosind faptul că  $A$  este valoarea lui  $x$  pentru  $dx/dt = 0$ , rezultă  $E = \frac{1}{2} kA^2$  și

$$\frac{dx}{dt} = \left(\frac{k}{M}\right)^{\frac{1}{2}} (A^2 - x^2)^{\frac{1}{2}}. \quad (7.6)$$

Soluția acestei ecuații este:

$$\left(\frac{k}{M}\right)^{\frac{1}{2}} t = \arcsin \frac{x}{A} + \text{const},$$

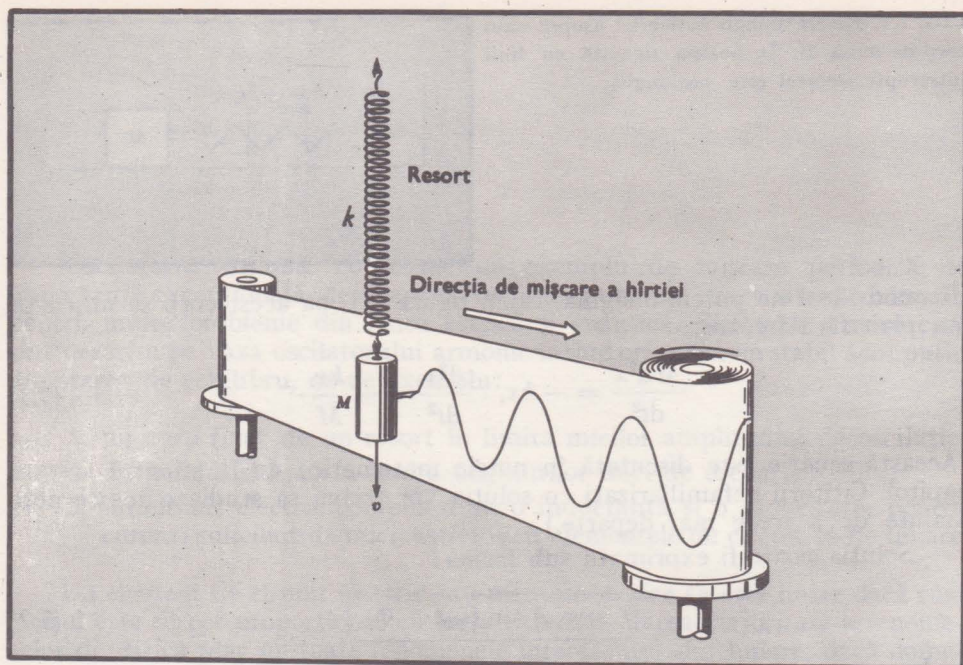


FIG. 7.2. Un oscilator armonic simplu constînd dintr-un corp de masă  $M$  și un resort fără greutate de constantă elastică  $k$ . O peniță atașată lui  $M$  va trasa o curbă sinusoidală pe o bandă de hîrtie care trece cu o viteză constantă prin  $M$ .

ceea ce coincide cu relația (7.2):

$$x = A \sin \left[ \left( \frac{k}{M} \right)^{\frac{1}{2}} t + \Phi \right],$$

dacă constanta este luată egală cu  $-\Phi$ . În mod alternativ am fi putut să derivăm ecuația (7.5) în raport cu timpul, obținînd relația:

$$M \frac{dx}{dt} \cdot \frac{d^2x}{dt^2} + kx \frac{dx}{dt} = 0$$

care se reduce la ecuația (7.1). (Problemele 2—4 de la sfîrșitul acestui capitol sînt aplicații ale acestor idei.)

## PENDULUL SIMPLU

Pendulul simplu constă dintr-un corp punctiform de masă  $M$  fixat la capătul inferior al unei tije sau al unui fir fără masă, de lungime  $L$ , articulată la capătul superior, care se mișcă într-un plan vertical, după cum se arată în figura 7.3. Știm din observație că această mișcare este asemănătoare cu cea a unui corp fixat de un resort. Ne putem pune întrebarea: care este frecvența? Cel mai direct mod de a formula problema este să aplicăm în această



situație particulară legea  $\mathbf{F} = M\mathbf{a}$ . Din figura 7.3 vedem că distanța  $s$  de-a lungul arcului, viteza și accelerația lui  $M$  sînt respectiv:

$$s = L\theta, \quad v = \frac{ds}{dt} = L \frac{d\theta}{dt} = L\dot{\theta}, \quad a = \frac{d^2s}{dt^2} = L \frac{d^2\theta}{dt^2}.$$

Există două forțe în problemă: forța gravitațională și forța exercitată de către tijă sau fir. Totuși, firul nu exercită nici o forță de-a lungul lui  $s$  și deci trebuie să considerăm numai componenta lui  $mg$  de-a lungul lui  $s$ . Din figura 7.3 vedem că aceasta este  $mg \sin \theta$ , îndreptată în sensul descreșterii lui  $\theta$ . În consecință, pentru această dimensiune legea  $\mathbf{F} = m\mathbf{a}$  se reduce la:

$$mg \sin \theta = - mL \frac{d^2\theta}{dt^2}. \quad (7.7)$$

Dar dezvoltarea în serie a lui  $\sin \theta$  este:

$$\sin \theta = \theta - \frac{\theta^3}{3!} + \frac{\theta^5}{5!} \dots \quad (7.8)$$

astfel încît pentru  $\theta$  mic putem scrie:

$$mg \sin \theta = mg \theta$$

și ecuația (7.7) devine:

$$\frac{d^2\theta}{dt^2} = - \frac{g}{L} \theta. \quad (7.9)$$

Această ecuație este identică cu ecuația (7.1), cu  $g/L$  în loc de  $k/M$  și  $\theta$  în locul lui  $x$ . Deci:

$$\boxed{\theta = \theta_0 \sin (\omega_0 t + \Phi)} \quad (7.10)$$

unde:

$$\boxed{\omega_0 = \left( \frac{g}{L} \right)^{\frac{1}{2}}} \quad (7.11)$$

și frecvența pe care ne-am propus s-o găsim este, din ecuațiile (7.4) și (7.11),

$$\nu_0 = \frac{1}{2\pi} \sqrt{g/L}.$$

Amplitudinea, sau valoarea maximă a lui  $\theta$  este  $\theta_0$ ;  $\theta_0 \sin \Phi$  este valoarea lui  $\theta$  la  $t = 0$  iar  $\omega_0 \theta_0 \cos \Phi$  este valoarea lui  $d\theta/dt$ . Cît de mare poate să fie  $\theta_0$ , astfel ca presupunerea noastră  $\sin \theta = \theta$  să fie încă valabilă? Tabelul 7.1 dă cîteva valori ale perioadei pentru diferite amplitudini. Evident, amplitudinea poate depăși  $20^\circ$ , înainte ca valoarea reală a amplitudinii să

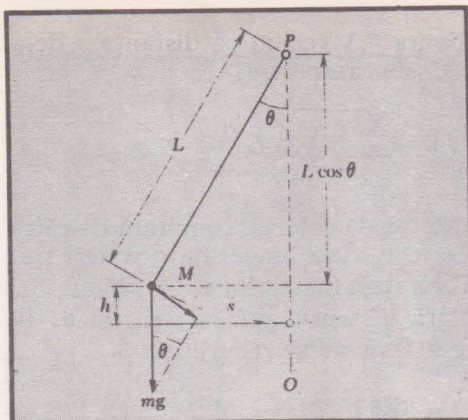


FIG. 7.3. Pendulul simplu constă dintr-o masă punctiformă  $M$  la capătul unui fir fără masă de lungime  $L$ . Pendulul se rotește în jurul unei axe care trece prin  $P$  și este perpendiculară pe planul hirtiei. Dreapta  $OP$  este verticală,  $s$  este lungimea arcului dintre  $O$  și poziția lui  $M$ .

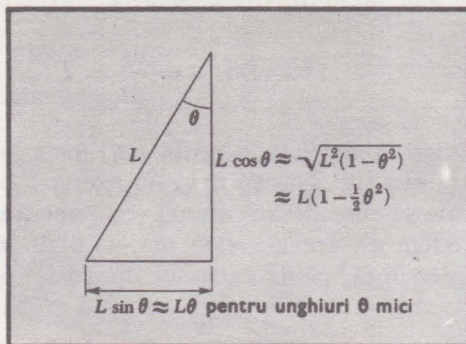


FIG. 7.4. Teorema lui Pitagora, împreună cu dezvoltarea binomială, ilustrează de ce pentru  $\theta \ll 1$  rad,  $\cos \theta \approx 1 - \frac{1}{2} \theta^2$ .

difere printr-un singur procent de rezultatul obținut în aproximația amplitudinii mici.

TABELUL 7.1

Amplitudinea, în grade	Perioada $\div 2\pi \sqrt{\frac{L}{g}}$
0	1,0000
5	1,0005
10	1,0019
15	1,0043
20	1,0077
30	1,0174
45	1,0396
60	1,0719

Să considerăm, de asemenea, metoda conservării energiei pentru rezolvarea problemei. Când firul este deviat cu un unghi  $\theta$ , corpul de masă  $M$  este ridicat pe o distanță:

$$h = L - L \cos \theta,$$

după cum se vede din analiza figurilor 7.3 și 7.4. Energia potențială a corpului de masă  $M$  în câmpul gravitațional al Pământului este:

$$E_p(h) = Mgh = MgL(1 - \cos \theta)$$

în raport cu poziția (verticală) nedeviată, luată ca zero al energiei potențiale. Energia cinetică a pendulului este:

$$E_c = \frac{1}{2} Mv^2 = \frac{1}{2} ML^2 \dot{\theta}^2,$$

unde  $v = L\dot{\theta}$  leagă viteza  $v$  de viteza  $\dot{\theta}$  de variație a unghiului de deviere.



Energia totală este:

$$E = E_c + E_p = \frac{1}{2} ML^2 \dot{\theta}^2 + MgL(1 - \cos \theta). \quad (7.12)$$

Din legea conservării energiei știm că această sumă trebuie să fie constantă. Utilizăm acest fapt, plus micimea unghiului pentru a obține o soluție pentru frecvența mișcării. Avem:

$$\cos \theta = 1 - \frac{1}{2} \theta^2 + \frac{1}{24} \theta^4 \dots$$

Astfel, pentru  $\theta \ll 1$  rad, putem să neglijăm termenii în  $\theta^4$  și puterile superioare și să aproximăm energia în ecuația (7.12) prin:

$$E = \frac{1}{2} ML^2 \dot{\theta}^2 + \frac{1}{2} MgL\theta^2. \quad (7.13)$$

Rezolvînd ecuația (7.13) pentru  $\theta$  găsim:

$$\frac{d\theta}{dt} = \left( \frac{2E - MgL\theta^2}{ML^2} \right)^{\frac{1}{2}} = \left( \frac{g}{L} \right)^{\frac{1}{2}} \left( \frac{2E}{MgL} - \theta^2 \right)^{\frac{1}{2}}. \quad (7.14)$$

Notăm punctele de întoarcere ale mișcării prin  $\theta_0$  și  $-\theta_0$ ; amplitudinea oscilației este  $\theta_0$ . În aceste puncte pendulul este instantaneu în repaus și energia sa cinetică este zero. Figura 7.5 ilustrează acest fapt. Din ecuația (7.13) cu  $\dot{\theta} = 0$  avem:

$$E = \frac{1}{2} MgL\theta_0^2, \quad \theta_0^2 = \frac{2E}{MgL}.$$

Astfel, putem scrie din nou ecuația (7.14) sub forma:

$$\frac{d\theta}{dt} = \left( \frac{g}{L} \right)^{\frac{1}{2}} (\theta_0^2 - \theta^2)^{\frac{1}{2}}$$

sau:

$$\frac{d\theta}{(\theta_0^2 - \theta^2)^{\frac{1}{2}}} = \left( \frac{g}{L} \right)^{\frac{1}{2}} dt.$$

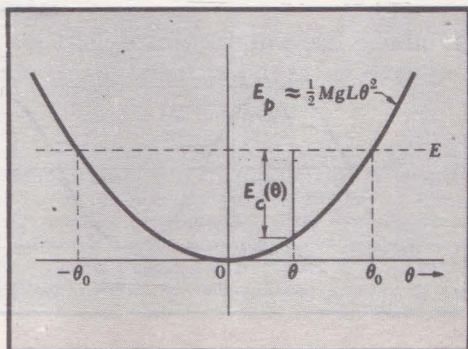
Această ecuație este identică cu (7.6) și dăm mai jos cîteva proprietăți ale soluției.

Dacă condiția inițială sau faza mișcării sînt astfel încît  $\theta$  are valoarea  $\theta_1$  la  $t = 0$ , atunci:

$$\int_{\theta_0}^{\theta} \frac{d\theta}{(\theta_0^2 - \theta^2)^{\frac{1}{2}}} = \left( \frac{g}{L} \right)^{\frac{1}{2}} \int_0^t dt.$$

FIG. 7.5. Graficul energiei potențiale, ca funcție de  $\theta$ . Pendulul oscilează între limitele  $\theta_0$  și  $-\theta_0$ . În aceste „puncte de întoarcere”,  $E_c = 0$  și  $E_p = E$ . La  $\theta = 0$ ,  $E_p = 0$  și  $E_c = E$ .

Pentru  $\theta \ll 1$  rad,  $E_p \approx \frac{1}{2} MgL\theta^2$ .



Integrala din membrul stîng este dată în Dwight 320.01 și obținem:

$$\int_{\theta_1}^{\theta} \frac{d\theta}{(\theta_0^2 - \theta^2)^{\frac{1}{2}}} = \left[ \arcsin \frac{\theta}{\theta_0} \right]_{\theta_1}^{\theta} = \arcsin \frac{\theta}{\theta_0} - \arcsin \frac{\theta_1}{\theta_0} = \left( \frac{g}{L} \right)^{\frac{1}{2}} t. \quad (7.15)$$

Știm că  $\sin \arcsin(\theta/\theta_0) = \theta/\theta_0$ , astfel încît putem rescrie ecuația (7.15) sub forma:

$$\frac{\theta}{\theta_0} = \sin \left[ \left( \frac{g}{L} \right)^{\frac{1}{2}} t + \arcsin \frac{\theta_1}{\theta_0} \right]$$

sau:

$$\theta = \theta_0 \sin(\omega_0 t + \Phi).$$

unde identificăm pulsația (frecvența unghiulară)  $\omega_0$  și faza  $\Phi$  cu:

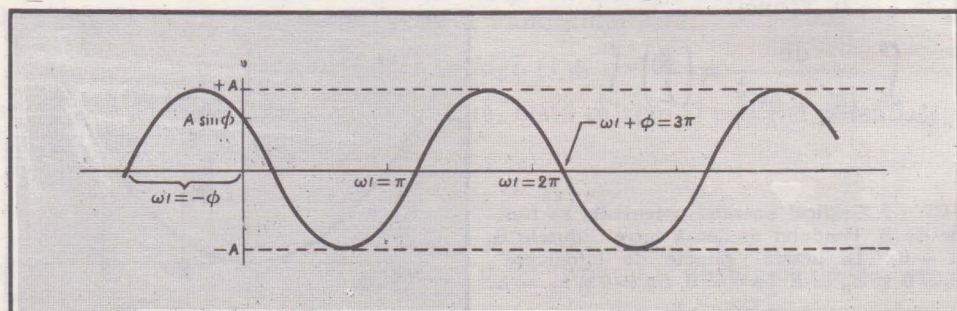
$$\omega_0 = \left( \frac{g}{L} \right)^{\frac{1}{2}}, \quad \Phi = \arcsin \frac{\theta_1}{\theta_0}.$$

Aceste relații sînt în concordanță cu rezultatele date în ecuațiile (7.10) și (7.11).

Deși mărimea  $\Phi$  din ecuațiile (7.2) sau (7.10) are dimensiune de unghi, ea nu este un unghi pe care să îl puteți vizualiza imediat. Este important să înțelegem mărimile  $A$  și  $\Phi$  în cazul unui corp fixat de un resort și  $\theta_0$  și  $\Phi$  în cazul pendulului. Figurile 7.6 și 7.7 ilustrează semnificațiile respective pentru aceste două cazuri. Toate cazurile de oscilații libere vor avea aceleași tipuri de constante, deși putem adeseori să alegem momentul pe care îl numim  $t = 0$ , astfel încît să facem ca valoarea lui  $\Phi$  să fie egală cu zero sau  $\pi/2$ .

1.  $A$  și  $\theta_0$  sînt amplitudinile maxime de oscilație; adică, mișcarea are loc de la  $+A$  la  $-A$  sau de la  $+\theta_0$  la  $-\theta_0$ .
2. În funcție de unghiul  $\omega_0 t$ ,  $\Phi$  este un unghi astfel ales încît dacă  $\omega_0 t = -\Phi$ , atunci elongația  $x$  sau unghiul  $\theta$  trebuie să fie zero și să crească de la valori negative către valori pozitive. Acesta este, desigur, alt mod de a spune că la  $t = 0$ ,  $x = A \cdot \sin \Phi$  sau  $\theta = \theta_0 \sin \Phi$ . Notăți că în figurile 7.6 și 7.7 axa orizontală măsoară nu timpul, ci produsul  $\omega_0 t$ .

FIG. 7.6. Funcția  $x = A \sin(\omega t + \Phi)$  reprezentată în funcție de  $\omega t$ , cu  $\Phi \approx 3\pi/4$ . La  $t = 0$ ,  $x = A \sin \Phi$ , valoare care este indicată, iar  $dx/dt = \omega A \cos \Phi$ , valoare negativă. (Observație: am omis pentru simplitate indicele lui  $\omega_0$ .)





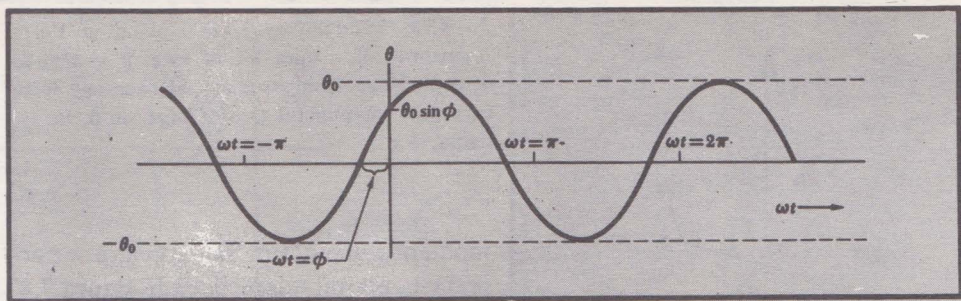


FIG. 7.7. Funcția  $\theta = \theta_0 \sin(\omega t + \Phi)$  reprezentată în funcție de  $\omega t$ .  $\Phi \approx \pi/4$ . La  $t = 0$ ,  $\theta = \theta_0 \sin \Phi$  valoare care este indicată, iar  $d\theta/dt = \omega \theta_0 \cos \Phi$ , valoare pozitivă. ( $\omega_0$  din text a fost scris simplu  $\omega$ .)

3. Condițiile inițiale determină  $A$  și  $\Phi$  sau  $\theta_0$  și  $\Phi$ , deci valorile condițiilor inițiale nu coincid direct cu nici una dintre aceste două mărimi.

Simbolul  $\omega_0$  este utilizat pentru a desemna pulsația (frecvența unghiulară) a mișcării naturale sau libere a unui sistem oscilant. Indicele zero din notație nu are nimic de a face cu  $t = 0$ . Pulsația  $^1 \omega_0$  este legată de frecvența  $\nu_0$  a oscilației libere a pendulului ca în ecuația (7.4):

$$\nu_0 = \frac{\omega_0}{2\pi} = \frac{(g/L)^{\frac{1}{2}}}{2\pi}. \quad (7.16)$$

Dacă  $L = 1$  m, avem  $\omega_0 = \left(\frac{9,8}{1}\right)^{\frac{1}{2}} \approx 3$  rad/s. Frecvența este independentă de masa  $M$  și de amplitudinea  $\theta_0$  a mișcării, cu condiția ca  $\theta_0 \ll 1$ . De notat că nu există nici o posibilitate ca masa să poată intra în membrul drept al ecuației (7.16) și să dea încă o mărime cu dimensiunea de frecvență.

În obținerea ecuațiilor (7.5) și (7.13) am folosit legea conservării energiei. Observați că fiecare din aceste relații este o ecuație diferențială de ordinul întâi și avem de efectuat numai o integrală în raport cu timpul pentru a obține rezultatul. Ecuația de mișcare [relația (7.1) sau (7.9)] este o ecuație diferențială de ordinul doi. Pentru a afla elongația sau unghiul de deviere trebuie să integrăm de două ori în raport cu timpul. Este bine să ne amintim că folosirea explicită a conservării energiei poate adesea să economisească efortul matematic, prin eliminarea unei integrări.

O a treia metodă pentru obținerea ecuației de mișcare în cazul pendulului este să folosim legea conform căreia momentul forței = viteza de variație a

<sup>1</sup> Vom numi deseori frecvența unghiulară simplu frecvență. Mulți fizicieni fac astfel și nu se produce nici o confuzie. Utilizarea simbolului  $\omega$  în loc de  $\nu$  (sau  $f$ ) va identifica de obicei o mărime ca fiind frecvență unghiulară. În ce privește valorile numerice,  $\nu$  sau  $f$  se dau de obicei în Hz sau cicli pe secundă;  $\omega$  în radiani pe secundă (rad/s) sau simplu  $s^{-1}$ , cind mărimea radian se subînțelege. Radianul este o mărime adimensională. Se obișnuiește, de asemenea, să se facă distincție între aceste mărimi exprimind frecvența  $\nu$  în vibrații/s, cicli/s, revoluții/s sau Hz, iar frecvența unghiulară  $\omega$  în rad/s. Ambele mărimi au dimensiunea (timp)<sup>-1</sup>.



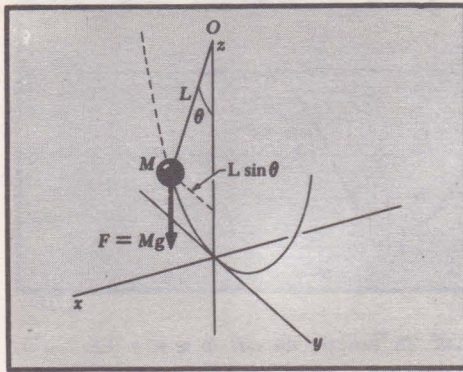


FIG. 7.8. Pendulul oscilează în planul  $yz$ . Forța gravitațională asupra lui  $M$  este  $F = Mg$ , în direcția  $-z$ . Momentul  $\mathcal{M}_x$  al acestei forțe în raport cu punctul  $O$  este  $MgL \sin \theta$ , în direcția  $+x$ .

momentului cinetic. Să luăm axa  $x$  normală la planul mișcării, ca în figura 7.8. Momentul  $\mathcal{M}_x$  al forței de greutate în raport cu  $O$ , punctul de suspensie, este:

$$\mathcal{M}_x = (\mathbf{r} \times \mathbf{F})_x = LMg \sin \theta,$$

unde am folosit relația  $F = Mg$ .

Momentul cinetic  $J_x \dot{\theta}$ , în raport cu același punct, se scrie folosind expresia impulsului  $\dot{\mathbf{p}} = M\mathbf{L}\ddot{\theta}$ , sub forma:

$$J_x = (\mathbf{r} \times \mathbf{p})_x = -ML^2\ddot{\theta},$$

unde  $\dot{\theta}$  este pozitiv pentru  $\theta$  crescător. Egalând viteza de variație a momentului cinetic cu momentul forței, obținem:

$$ML^2\ddot{\theta} = -LMg \sin \theta$$

astfel încât ecuația de mișcare a pendulului este:

$$\ddot{\theta} + \frac{g}{L} \sin \theta = 0.$$

În limita  $\theta \ll 1$  putem din nou să îl aproximăm pe  $\sin \theta$  prin  $\theta$  și obținem ecuația:

$$\ddot{\theta} + \frac{g}{L} \theta = 0,$$

care coincide și ea cu ecuația (7.9).

## CIRCUITUL LC

Unele dintre cele mai importante exemple de sisteme oscilante apar în electricitate. Caracterul familiar al termenului *curent alternativ* (*ca*), care este un curent electric oscilant, arată importanța acestui exemplu. Acei studenți care au unele cunoștințe în domeniul circuitelor electrice vor vedea ușor legătura lor cu sistemele mecanice; ceilalți pot să omită această secțiune și să revină asupra ei după ce vor fi studiat capitolul 8 din volumul 2.

Diferența de potențial dintre plăcile unui condensator de capacitate  $C$  este:

$$V_c = \frac{Q}{C}$$















Pendulul simplu	Sistemul corp-resort	Circuitul LC	Energia cinetică, $E_c$	Energia potențială, $E_p$
A $t = 0$ $\theta = \theta_0$ $\dot{\theta} = 0$	$v = 0$ $x = x_0$	$Q = Q_0$ $I = 0$	—	
B $t = \frac{\pi}{4\omega}$	$v < 0$	$I < 0$		
C $t = \frac{\pi}{2\omega}$ $\theta = 0$ $\dot{\theta} = -\dot{\theta}_{\max}$	$v = -v_{\max}$ $x = 0$	$Q = 0$ $I = -I_{\max}$		—
D $t = \frac{3\pi}{4\omega}$	$v < 0$	$I < 0$		
E $t = \frac{\pi}{\omega}$ $\theta = -\theta_0$ $\dot{\theta} = 0$	$v = 0$ $x = -x_0$	$Q = -Q_0$ $I = 0$	—	
F $t = \frac{5\pi}{4\omega}$	$v > 0$	$I > 0$		
G $t = \frac{3\pi}{2\omega}$ $\theta = 0$ $\dot{\theta} = \dot{\theta}_{\max}$	$v = v_{\max}$ $x = 0$	$Q = 0$ $I = I_{\max}$		—
H $t = \frac{7\pi}{4\omega}$	$v > 0$	$I > 0$		

FIG. 7.9. Trei oscilatori armonici diferiți, cu aceeași perioadă: un pendul simplu, un sistem masă-resort și un circuit LC. Timpul crește de la figura A la figura H; ciclul următor începe din nou cu figura A.

unde  $Q$  este sarcina pe o placă. Curentul într-un circuit în serie cu acest condensator este:

$$I = -\frac{dQ}{dt} \text{ sau } Q = -\int I dt$$

unde am folosit semnul minus pentru a indica faptul că sensul curentului este astfel încât descrește sarcina pe condensator. Tensiunea la capetele unei bobine de inductanță  $L$  este:

$$V_L = -L \frac{dI}{dt}.$$

Dacă considerăm un circuit în care există doar o capacitate și o inductanță, ca în coloana a treia din figura 7.9, și ne amintim că suma tensiunilor de-a lungul circuitului este zero, obținem:

$$-L \frac{dI}{dt} + \frac{Q}{C} = 0 = L \frac{d^2Q}{dt^2} + \frac{Q}{C}.$$

Aceasta este exact ecuația pentru elongația  $x$  a unui resort, dacă se fac identificările:

$$Q \leftrightarrow x, \quad L \leftrightarrow M, \quad \frac{1}{C} \leftrightarrow k.$$

Soluția va fi:

$$Q = Q_0 \sin(\omega_0 t + \Phi); \quad \omega_0 = \left( \frac{1}{LC} \right)^{\frac{1}{2}}, \quad (7.17)$$

și intensitatea curentului se poate obține ușor de aici. Figura 7.9 ilustrează aceste relații și le compară cu un pendul și cu un corp fixat de un resort.

Studentii familiarizați cu electricitatea vor observa că tensiunea  $RI$ , unde  $R$  este rezistența, lipsește. Termenul  $RI = R dQ/dt$ , prin corespondența stabilită de noi mai sus, va ocupa locul unei forțe proporționale cu  $dx/dt$ . Dar acesta este exact tipul de forțe de frecare pe care le discutăm în continuare în acest capitol,  $R$  corespunzând coeficientului  $b$  care va lega forța de frecare de viteză. Cazurile circuitelor  $LR$ ,  $CR$  și  $RLC$  sînt discutate în volumul 2, capitolele 4, 7 și 8.

## MIȘCAREA UNUI SISTEM SCOS DINTR-O POZIȚIE DE ECHILIBRU STABIL

Unul dintre motivele pentru care *mișcarea oscilatorie armonică simplă* (cum se numește acest tip de mișcare) este atît de importantă este că pentru deplasări mici ale oricărui sistem în echilibru stabil, mișcarea rezultantă, neglijînd forțele de frecare, este armonică simplă. Pentru a vedea aceasta, să descriem printr-o coordonată  $\alpha$  deviația din poziția de echilibru stabil;  $\alpha$  poate fi o distanță, un unghi sau un tip mai complicat de coordonată. Condiția de echilibru stabil cere ca la  $\alpha = 0$  energia potențială a sistemului să fie minimă, iar forța, dacă  $\alpha$  este o distanță, momentul forței, dacă  $\alpha$  este un unghi etc. trebuie să fie zero. Astfel:

$$F(\alpha = 0) = 0 = - \left( \frac{dU}{d\alpha} \right)_{\alpha=0} \quad (7.18)$$

unde  $U$  este energia potențială.



Presupunem că putem scrie, folosind o dezvoltare în serie Taylor:

$$U(\alpha) = U_0 + \left(\frac{dU}{d\alpha}\right)_0 \alpha + \frac{1}{2} \left(\frac{d^2U}{d\alpha^2}\right)_0 \alpha^2 + \frac{1}{6} \left(\frac{d^3U}{d\alpha^3}\right)_0 \alpha^3 + \dots \quad (7.19)$$

unde indicele 0 se referă la  $\alpha = 0$ . Folosind ecuația (7.18) în (7.19) și neglijând termenii în  $\alpha^3$  și cu puteri mai mari, deoarece  $\alpha$  este mic, obținem:

$$U(\alpha) = U_0 + \frac{1}{2} \left(\frac{d^2U}{d\alpha^2}\right)_0 \alpha^2;$$

$$F(\alpha) = -\frac{dU}{d\alpha} = -\left(\frac{d^2U}{d\alpha^2}\right)_0 \alpha. \quad (7.20)$$

Desigur  $F$  nu este în mod obligatoriu o forță obișnuită, ci poate fi momentul unei forțe sau un tip mai complicat de forță generalizată. Condiția ca echilibrul să fie stabil este ca:

$$\frac{d^2U}{d\alpha^2} > 0.$$

În ecuația (7.20) aceasta înseamnă că „forța” tinde să readucă sistemul către  $\alpha = 0$ . Ecuația de mișcare a sistemului va fi atunci:

$$M \frac{d^2\alpha}{dt^2} = -\left(\frac{d^2U}{d\alpha^2}\right)_0 \alpha \quad (7.21)$$

unde  $M$  este o mărime de tipul masei \*. Ecuația (7.21) indică faptul că  $\alpha$  va descrie o mișcare armonică simplă. În practică, desigur, frecarea este importantă, dar în absența ei, analiza de mai sus se aplică în cazul unui pod, al unei clădiri etc. — în general oricărui sistem pentru care există o funcție de energie potențială derivabilă și care are un minim.

## VALOAREA MEDIE A ENERGIILOR CINETICĂ ȘI POTENȚIALĂ

Demonstrăm acum o caracteristică importantă a unui oscilator armonic legată de media în timp a energiilor cinetică și potențială. Media temporală a unei cantități  $K$  pe un interval  $T$  este definită ca:

$$\langle K \rangle = \frac{1}{T} \int_0^T K(t) dt. \quad (7.22)$$

Deoarece mișcarea unui oscilator este periodică, media în timp de o perioadă este egală cu media pe mai multe perioade și este unică. Folosind perioada

\* Aceasta înseamnă că  $M$  măsoară inerția sistemului față de schimbarea stării sale de echilibru; de exemplu,  $M$  poate fi momentul de inerție al unui corp, inductanța unei bobine etc. (N.T.).

$T = 2\pi/\omega_0$ , scriem pentru media temporală a energiei cinetice a unui oscilator a cărui mișcare este descrisă de  $x = A \sin(\omega_0 t + \Phi)$ :

$$\langle E_c \rangle = \frac{\int_0^T \frac{1}{2} M \dot{x}^2 dt}{T} = \frac{1}{2} M \omega_0^2 A^2 \frac{\int_0^{2\pi/\omega_0} \cos^2(\omega_0 t + \Phi) dt}{2\pi/\omega_0}.$$

Deoarece integrala este extinsă pe o perioadă completă, nu contează care este valoarea fazei  $\Phi$ , și putem pune pentru simplitate  $\Phi = 0$ . Atunci, notînd  $y = \omega_0 t$ , avem:

$$\frac{\omega_0}{2\pi} \int_0^{2\pi/\omega_0} \cos^2 \omega_0 t dt = \frac{1}{2\pi} \int_0^{2\pi} \cos^2 y dy = \frac{1}{2}$$

unde am folosit faptul că:

$$\int_0^{2\pi} \sin^2 y dy = \int_0^{2\pi} \cos^2 y dy$$

și

$$\int_0^{2\pi} (\sin^2 y + \cos^2 y) dy = 2\pi.$$

Deci media în timp a energiei cinetice este

$$\langle E_c \rangle = \frac{1}{4} M \omega_0^2 A^2. \quad (7.23)$$

Energia potențială este (luînd din nou  $\Phi = 0$ , deoarece valoarea sa nu contează):

$$E_p = \frac{1}{2} k x^2 = \frac{1}{2} k A^2 \sin^2 \omega_0 t.$$

Deoarece valoarea medie pe o perioadă a pătratului sinusului este aceeași cu a pătratului cosinusului<sup>1</sup> și deoarece  $\omega_0^2 = k/M$ ,

$$\langle E_p \rangle = \frac{1}{4} k A^2 = \frac{1}{4} M \omega_0^2 A^2. \quad (7.24)$$

Astfel  $\langle E_p \rangle = \langle E_c \rangle$  și energia totală a oscilatorului armonic este:

$$E = \langle E_c \rangle + \langle E_p \rangle = \frac{1}{2} M \omega_0^2 A^2.$$

Notăți că  $E = \langle E \rangle$ , deoarece energia totală este o constantă a mișcării.

Egalitatea mediilor temporale ale energiilor cinetică și potențială este o proprietate specială a oscilatorului armonic și merită să fie reținută. Pro-

<sup>1</sup> Aceasta se vede ușor trasînd cele două curbe și observînd că ele sînt identice pînă la un decalaj de un sfert de perioadă. Acest tip de argument se poate, de asemenea, aplica în cazul valorii medii a lui  $\langle x^2 \rangle$  pe suprafața unei sfere. Dacă  $x^2 + y^2 + z^2 = R^2$ , atunci  $\langle x^2 \rangle + \langle y^2 \rangle + \langle z^2 \rangle = R^2$ . Deoarece sfera este simetrică în raport cu  $x, y, z$ , trebuie să avem  $\langle x^2 \rangle = \langle y^2 \rangle = \langle z^2 \rangle = \frac{1}{3} R^2$ . Acest rezultat poate fi confirmat prin calcul direct.



prietatea nu este adevărată pentru oscilatori anarmonici, dar este o bună aproximație pentru oscilatori slab amortizați, după cum se va arăta în cele ce urmează.

## FRECAREA

Pînă acum am neglijat efectele frecării asupra oscilatorului armonic. Am discutat frecarea în capitolul 3, considerînd numai cazul unei forțe de frecare constante. Discutăm acum cazul unei forțe proporționale cu puterea întâi a vitezei. Pentru viteze mici, aceasta este în multe cazuri o aproximație bună și astfel vom găsi că soluția obținută cu acest tip de forță de frînare este realistă. Vom considera totuși, pentru început, cîteva cazuri în care acționează numai această forță. Avem astfel:

$$M \frac{d^2x}{dt^2} = F_f = -b \frac{dx}{dt} = -b\dot{x} \quad (7.25)$$

unde  $b$  este o constantă pozitivă numită *coeficient de amortizare*. Semnul negativ descrie faptul că aceasta este o forță opusă mereu vitezei. Este uneori mai util să definim o constantă, numită *împ de relaxare*, prin relația:

$$\tau = \frac{M}{b}$$

și atunci ecuația (7.25) devine:

$$M \left( \frac{d^2x}{dt^2} + \frac{1}{\tau} \frac{dx}{dt} \right) = 0.$$

Vedem că  $\tau$  are dimensiunea unui timp, deoarece  $b$  posedă dimensiunea de forță împărțită la viteză sau mai simplu masă raportată la timp. Explicația denumirii *împ de relaxare* va deveni clară pe măsură ce vom înainta cu expunerea.

În funcție de viteza  $v = dx/dt = \dot{x}$ , această ecuație devine:

$$\dot{v} + \frac{1}{\tau} v = 0.$$

Soluția este dată la sfîrșitul acestui capitol (pagina 258). Ea este:

$$v(t) = v_0 e^{-t/\tau} \quad (7.26)$$

unde  $v_0$  este viteza la  $t = 0$ . Viteza descrește exponențial în timp; spunem că viteza este atenuată cu constanta de timp  $\tau$ . Comportarea este reprezentată în figura 7.10.

Micșorarea energiei cinetice  $E_c$  a unei particule libere supuse acestei forțe de frecare este dată, folosind ecuația (7.26), de:

$$E_c = \frac{1}{2} M v^2 = \frac{1}{2} M v_0^2 e^{-2t/\tau} = E_{c0} e^{-2t/\tau}. \quad (7.27)$$

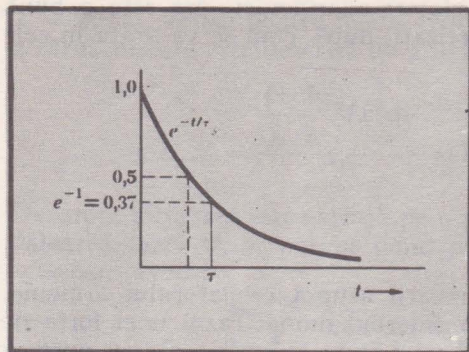


FIG. 7.10. Funcția  $e^{-t/\tau}$  este reprezentată în raport cu  $t$ . Observați că, deoarece  $e^{-0.69} = 0,5$ , funcția a scăzut la jumătate din valoarea sa inițială cind  $t = 0,69 \tau$ .

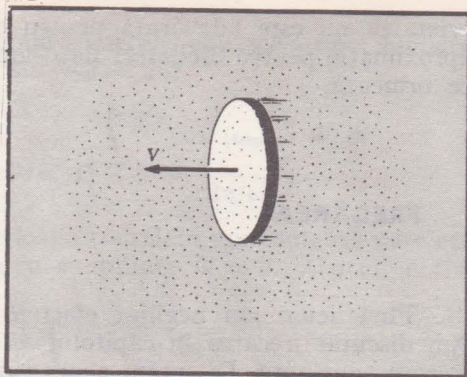


FIG. 7.11. O placă care se mișcă în direcție perpendiculară pe planul său într-un gaz la presiune foarte joasă, este supusă unei forțe de rezistență proporțională cu viteza sa  $V$ , dacă  $V$  este mult mai mică decit viteza medie a moleculelor gazului.

Prin derivarea ecuației (7.27) obținem:

$$\dot{E}_c = -\frac{2}{\tau} E_c.$$

Timpul de relaxare efectiv pentru energia cinetică este jumătate din cel pentru viteză.

Ce tip de mecanism duce la o forță de amortizare de forma  $-b\dot{x}$ ? Cazul unei sfere mișcându-se lent printr-un mediu vâcos a fost pentru prima oară rezolvat de către G. G. Stokes, iar expresia forței:

$$F_f = -6\pi\eta r v, \quad (7.28)$$

unde  $r$  este raza sferei și  $\eta$  este coeficientul de viscozitate, se numește adesea *legea lui Stokes*.

O bună ilustrare a forței de amortizare  $F_f = -b\dot{x}$  este, de asemenea, oferită de o placă netedă care se mișcă în direcția normală la planul său printr-un gaz la presiune foarte scăzută, ca în figura 7.11, cu condiția ca viteza  $V$  a plăcii să fie mult mai mică decît viteza medie  $v$  a moleculelor gazului. Presiunea trebuie să fie suficient de joasă pentru a putea neglija ciocnirile moleculelor între ele. Numărul moleculelor care lovesc placa în unitatea de timp este proporțional cu viteza relativă a moleculelor incidente față de placă. Să presupunem că moleculele se mișcă doar pe o singură direcție. Pe o față a plăcii viteza relativă este  $v + V$ , pe cealaltă  $v - V$ . Presiunea este proporțională cu numărul moleculelor care izbesc placa înmulțit cu transferul de impuls mediu către placă raportat la o moleculă. Transferul mediu de impuls este la rîndul său proporțional cu viteza relativă, astfel că presiunile  $P_1$  și  $P_2$  pe cele două fețe ale plăcii sînt:

$$P_1 \propto (v + V)^2, \quad P_2 \propto (v - V)^2.$$

Presiunea netă  $P$  este diferența presiunilor pe fețele opuse ale plăcii:

$$P = P_1 - P_2 \propto 4vV$$



astfel încît frecarea (forța netă asupra plăcii în mișcare) este direct proporțională cu viteza  $V$  a plăcii. Sensul forței de frecare se vede a fi opus sensului mișcării plăcii.

**Viteza limită.** Dacă o forță constantă, cum este greutatea, este aplicată unei particule aflate sub acțiunea unei forțe de frecare de tipul discutat mai sus, viteza va crește dacă particula pleacă din repaus sau de la o viteză mică, sau va descrește dacă ea pleacă de la o viteză foarte mare, pînă cînd accelerația devine zero. Această condiție este:

$$F_{const} = b\dot{x} \quad \text{sau} \quad \dot{x} = v = \frac{F_{const}}{b} \quad (7.29)$$

și viteza atinsă astfel se numește *viteză limită*. De exemplu, dacă o particulă de masă  $M$  cade sub acțiunea gravitației și a unei forțe de tipul dat de legea lui Stokes, viteza limită este:

$$v = \frac{Mg}{6\pi\eta r}$$

(Vezi probl. 10 și 11 de la sfîrșitul capitolului.)

Conceptul de viteză limită este aplicabil unor probleme care implică forțe de frecare proporționale cu alte puteri ale vitezei, forțe care apar adesea la viteze mai înalte. Dacă forța de frecare este dată de:

$$F_f = -c\dot{x}^n$$

unde  $c$  este o constantă și  $n$  este pozitiv, viteza limită va fi:

$$v = \left( \frac{F_{const}}{c} \right)^{1/n}$$

## OSCILATORUL ARMONIC AMORTIZAT

Ne întoarcem acum la oscilator și includem forța de amortizare  $-b\dot{x}$ . Tipul de mișcare este arătat în figura 7.12. Ecuația de mișcare este:

$$M\ddot{x} + b\dot{x} + kx = 0.$$

Aceasta este tot o ecuație liniară. Putem să o rescriem în forma:

$$\ddot{x} + \frac{1}{\tau} \dot{x} + \omega_0^2 x = 0 \quad (7.30)$$

unde:

$$\frac{1}{\tau} = \frac{b}{M}, \quad \omega_0^2 = \frac{k}{M}.$$

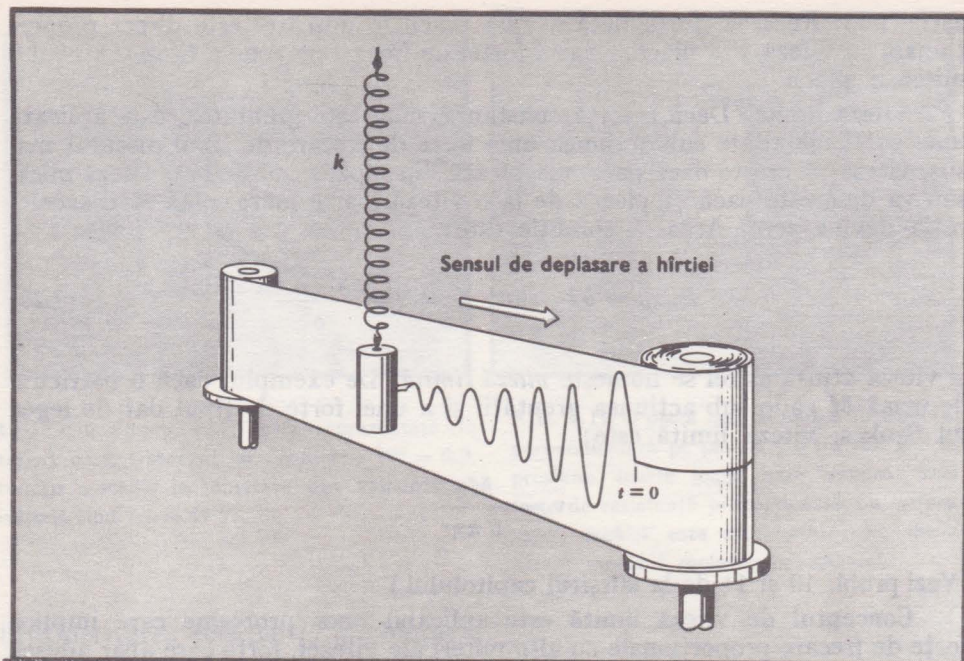


FIG. 7.12. Toți oscilatorii armonici reali sînt amortizați de forțele de frecare, ca de exemplu rezistența aerului. Un sistem masă-resort cu amortizare slabă va descrie o astfel de curbă pe o bandă de hîrtie care se deplasează cu viteză constantă, dacă sistemul masă-resort a fost pus să oscileze la  $t = 0$ .

Căutăm pentru ecuația (7.30) soluții de forma unor oscilații sinusoidale amortizate:

$$x = x_0 e^{-\beta t} \sin(\omega t + \Phi) \quad (7.31)$$

unde  $\beta$  și  $\omega$  trebuie să fie determinate iar  $x_0$  și  $\Phi$  sînt constantele care sînt fixate din condițiile inițiale<sup>1</sup>. Această soluție este sugerată combinînd ecuațiile (7.2) și (7.26). Detalii asupra soluției sînt date în notele matematice de la sfîrșitul acestui capitol, unde se arată că:

$$\beta = \frac{1}{2\tau} \quad (7.32)$$

și

$$\omega = \left[ \omega_0^2 - \left( \frac{1}{2\tau} \right)^2 \right]^{\frac{1}{2}} = \omega_0 \left[ 1 - \left( \frac{1}{2\omega_0 \tau} \right)^2 \right]^{\frac{1}{2}}. \quad (7.33)$$

<sup>1</sup> Soluția dată de relația (7.31) nu este valabilă pentru orice valori ale lui  $\omega_0$  și  $\tau$ . Se poate vedea din notele matematice că în anumite condiții soluția nu este oscilantă. Dacă  $\omega_0^2 < (1/2\tau)^2$ , soluția este  $e^{-t/2\tau}(Ae^{gt} + Be^{-gt})$  unde  $A$  și  $B$  sînt constante arbitrare iar  $g = [(1/2\tau)^2 - \omega_0^2]^{1/2}$ , în timp ce dacă  $\omega_0 = 1/2\tau$  soluția este  $Ce^{-t/2\tau} + Dte^{-t/2\tau}$  unde  $C$  și  $D$  sînt constante arbitrare. Acest ultim caz este „amortizarea critică”. Vezi ecuațiile (7.69) și (7.70).



Așadar, frecarea micșorează frecvența. Frecvența unghiulară  $\omega$  este egală cu  $\omega_0$  numai dacă timpul de relaxare este infinit (nu există amortizare).

Introducând aceste valori ale lui  $\beta$  și  $\omega$  în ecuația (7.31), obținem:

$$x = x_0 e^{-t/2\tau} \sin \left\{ \omega_0 t \left[ 1 - \left( \frac{1}{2\omega_0 \tau} \right)^2 \right]^{\frac{1}{2}} + \Phi \right\}.$$

Dacă  $\omega_0 \tau \gg 1$ , avem limita *amortizării slabe* în care  $x$  poate fi aproximat prin:

$$x \approx x_0 e^{-t/2\tau} \sin (\omega_0 t + \Phi) \quad (7.34)$$

unde  $\omega_0$  este pulsația naturală a oscilațiilor neamortizate.

### EXEMPLU

**Disiparea puterii.** Calculați viteza de disipare a energiei în cazul unui oscilator armonic amortizat, în limita amortizării slabe cu  $\omega_0 \tau \gg 1$ , astfel încât  $\omega \approx \omega_0$ .

Energia cinetică este  $E_c = \frac{1}{2} M \dot{x}^2$ . Din soluția aproximativă (ecuația (7.34)) avem (punind  $\Phi = 0$ ):

$$\frac{dx}{dt} = \frac{1}{2\tau} x_0 e^{-t/2\tau} \sin \omega_0 t + \omega_0 x_0 e^{-t/2\tau} \cos \omega_0 t. \quad (7.35)$$

De aici avem:

$$\left( \frac{dx}{dt} \right)^2 = \left( \frac{1}{2\tau} \right)^2 x_0^2 e^{-t/\tau} \sin^2 \omega_0 t + \omega_0^2 x_0^2 e^{-t/\tau} \cos^2 \omega_0 t - \left( \frac{\omega_0}{\tau} \right) x_0^2 e^{-t/\tau} \sin \omega_0 t \cos \omega_0 t. \quad (7.36)$$

Integralele care intervin cînd luăm media temporală a ecuației (7.36) sînt date în Dwight, 861.13–861.15. Dar pentru  $\omega_0 \tau \gg 1$ , este o bună aproximare să scoatem factorul  $e^{-t/\tau}$  în ecuația (7.36) în afara parantezei care desemnează media temporală. Putem proceda astfel cu o precizie rezonabilă dacă amplitudinea de oscilație  $x_0 e^{-t/2\tau}$  nu variază mult într-o perioadă a mișcării. Ne rămîn atunci mediile:

$$\langle \cos^2 \theta \rangle = \langle \sin^2 \theta \rangle = \frac{1}{2}; \quad \langle \cos \theta \cdot \sin \theta \rangle = 0.$$

Ultima medie, care este nouă pentru noi, este de importanță considerabilă:

$$\langle \cos \theta \cdot \sin \theta \rangle = \left\langle \frac{1}{2} \sin 2\theta \right\rangle = 0$$

deoarece media unui sinus sau cosinus este zero. Atunci energia cinetică mediată pe o perioadă este:

$$\begin{aligned} \langle E_c \rangle &\approx \frac{1}{2} M \left[ \left( \frac{1}{2\tau} \right)^2 \langle \sin^2 \omega_0 t \rangle + \omega_0^2 \langle \cos^2 \omega_0 t \rangle - \frac{\omega_0}{\tau} \langle \cos \omega_0 t \sin \omega_0 t \rangle \right] x_0^2 e^{-t/\tau} \approx \\ &\approx \frac{1}{4} M \left[ \left( \frac{1}{2\tau} \right)^2 + \omega_0^2 \right] x_0^2 e^{-t/\tau}, \end{aligned}$$

dar  $(1/2\tau)^2$  este presupus a fi neglijabil în comparație cu  $\omega_0^2$ , astfel încît energia cinetică medie este:

$$\langle E_c \rangle \approx \frac{1}{4} M \omega_0^2 x_0^2 e^{-t/\tau}. \quad (7.37)$$

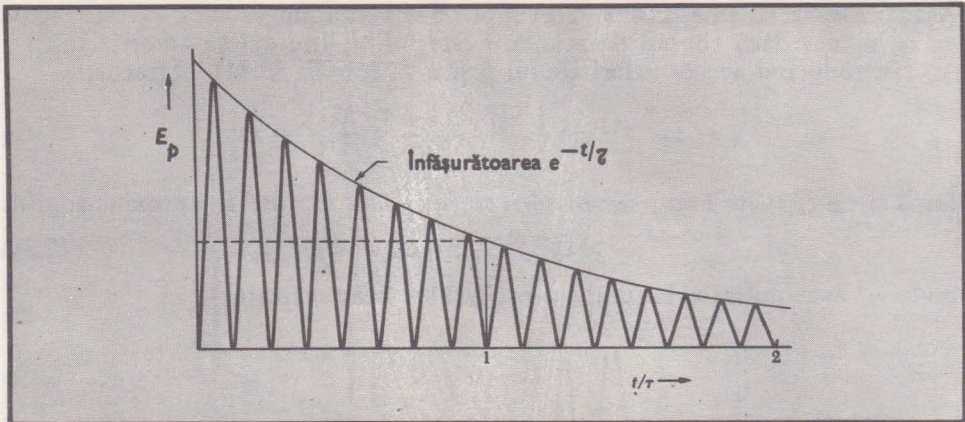


FIG. 7.13. Energia potențială a unui oscilator cu  $\gamma = 8\pi/\omega$  și  $Q = 8\pi$ , reprezentată în funcție de  $t/\tau$ . În timpul  $\tau$ , în care au loc patru oscilații, înfășurătoarea energiei potențiale scade la  $1/e$  din valoarea sa inițială.

Vedem că energia cinetică medie descrește exponențial. Energia potențială medie este (vezi fig. 7.13):

$$\langle E_p \rangle = \frac{1}{2} M \omega_0^2 x_0^2 \langle e^{-t/\tau} \sin^2 \omega_0 t \rangle \approx \frac{1}{4} M \omega_0^2 x_0^2 e^{-t/\tau}. \quad (7.38)$$

Puterea medie disipată  $P$  este dată de viteza de variație a energiei luată cu semnul minus:

$$-\langle P \rangle = \frac{d}{dt} \langle E \rangle \approx \frac{d}{dt} (\langle E_c \rangle + \langle E_p \rangle) \approx -\frac{1}{\tau} \left( \frac{1}{2} M \omega_0^2 x_0^2 e^{-t/\tau} \right)$$

sau

$$\langle P(t) \rangle = \frac{\langle E(t) \rangle}{\tau}. \quad (7.39)$$

În mod obișnuit vom omite parantezele  $\langle \rangle$  asupra lui  $P(t)$  cînd sensul este clar.

Studentul poate fi surprins de faptul că mediile exprimate în ecuațiile (7.37) și (7.38) conțin timpul  $t$ , ele fiind medii pe intervale de timp. Privim aici mișcarea unui oscilator armonic timp de mai multe perioade și ceea ce considerăm reprezintă media energiei (cinetice sau potențiale) pe o perioadă în jurul timpului  $t$ . Deoarece energia este disipată, trecînd în căldură, ne așteptăm ca energia medie (pe o perioadă) să scadă pe măsură ce sînt efectuate din ce în ce mai multe cicluri.

Ne așteptăm să găsim că disiparea de putere este egală cu viteza medie (cu semn schimbat) cu care este consumat un lucru mecanic de către forța de frecare  $F_f = -b\dot{x} = -(M/\tau) \dot{x}$  [vezi ec. (7.30)]. Folosind ecuația (7.35) și presupunînd că  $\omega_0 \tau \gg 1$ , astfel încît termenul  $e^{-t/\tau}$  să fie scos în afara semnului de mediere  $\langle \rangle$ , obținem valoarea vitezei medii de efectuare a lucrului mecanic:

$$\begin{aligned} \langle F_f v \rangle &\approx -\frac{M}{\tau} \omega_0^2 x_0^2 e^{-t/\tau} \langle \cos^2 \omega_0 t \rangle \\ &\approx -\frac{1}{2\tau} M \omega_0^2 x_0^2 e^{-t/\tau} \approx -\frac{E(t)}{\tau}, \end{aligned}$$

în concordanță cu ecuația (7.39).



**Factorul de calitate  $Q$ .** Mărima  $Q$ , sau *factorul de calitate* al unui sistem oscilant este un termen foarte des utilizat. El este răspândit mai ales în terminologia sistemelor electrice de curent alternativ, dar este aplicabil tuturor sistemelor oscilante atît timp cît amortizarea este mică. Mărima  $Q$  este definită ca produsul dintre  $2\pi$  și raportul dintre energia înmagazinată și pierderea medie de energie într-o perioadă:

$$Q = 2\pi \frac{\text{energie înmagazinată}}{\langle \text{pierderea de energie într-o perioadă} \rangle} = \frac{2\pi E}{P/\nu} = \frac{E}{P/\omega}, \quad (7.40)$$

deoarece perioada este  $1/\nu$  și  $2\pi\nu = \omega$ . Timpul corespunzător unui radian de mișcare este  $1/\omega$ . Amortizarea trebuie să fie suficient de mică, astfel încît  $E$  să nu varieze apreciabil într-o perioadă. Rețineți că mărimea  $Q$  este adimensională. Pentru oscilatorul armonic slab amortizat ( $\omega_0\tau \gg 1$ ) avem:

$$Q \approx \frac{E}{E/\omega_0\tau} \approx \omega_0\tau \quad (7.41)$$

din ecuația (7.39). Observăm că valoarea lui  $\omega_0\tau$  este într-adevăr o bună măsură pentru lipsa amortizării unui oscilator. Un  $\omega_0\tau$  mare sau un  $Q$  mare înseamnă că oscilatorul este slab amortizat. Observați din ecuația (7.38) că energia unui oscilator scade la  $e^{-1}$  din valoarea sa inițială în timpul  $\tau$ ; în acest interval de timp, oscilatorul efectuează  $\omega_0\tau/2\pi$  oscilații. Cîteva valori reprezentative ale lui  $Q$  sînt date în tabelul 7.2.

TABELUL 7.2

Cîteva valori tipice pentru  $Q$  (variații mari nu sînt excluse)

Pămîntul, pentru o undă seismică	250 – 1 400
Cavitate de cupru rezonantă în domeniul microundelor	$10^4$
Coardă de pian sau vioară	$10^3$
Atom excitat	$10^7$
Nucleu excitat ( $^{57}\text{Fe}$ )	$3 \cdot 10^{12}$

## OSCILATORUL ARMONIC FORȚAT

Cazul unui oscilator armonic acționat de o forță externă care variază sinusoidal este un caz de extremă importanță în multe domenii ale fizicii. Din cauza complexității problemei, ea este tratată în temele avansate (de la sfîrșitul acestui capitol). Cîteva rezultate merită, totuși, să fie menționate aici.

1. După cum este de așteptat, mișcarea staționară (după ce frecarea a amortizat complet orice mișcare corespunzînd perioadei naturale a oscilatorului liber,  $t \gg \tau$ ) are frecvența egală cu cea a forței externe.
2. După cum este, de asemenea, de așteptat, în special pentru oscilatorul slab amortizat, amplitudinea mișcării staționare depinde puternic de frecvența forței externe, fiind mare cînd aceasta este apropiată de frecvența naturală. Figura 7.14 reprezintă amplitudinea ca funcție

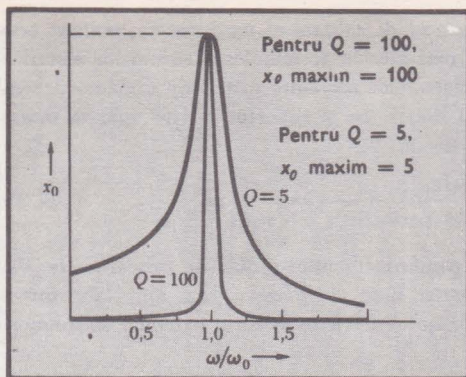


FIG. 7.14. Amplitudinea mișcării armonice forțate, ca funcție de frecvența externă. Valoarea maximă a lui  $x_0$  apare la valoarea  $\omega = \omega_0 \sqrt{1 - 1/(2Q)^2}$ , care este situată puțin sub valoarea 1, în puncte puțin diferite pentru fiecare curbă. Scala amplitudinii este pur arbitrară și pentru aceeași forță externă și același  $\omega_0$ , maximum amplitudinii pentru  $Q = 100$  va fi de 20 de ori mai mare decât acela pentru  $Q = 5$ .

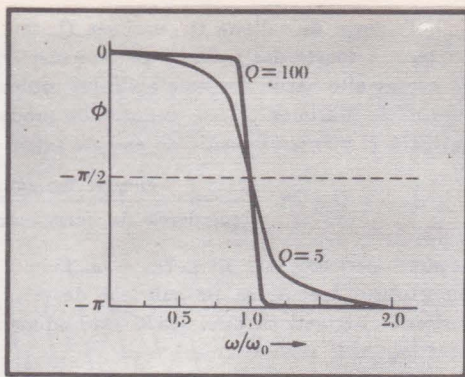


FIG. 7.15. Defazajul  $\Phi$  dintre elongație și forța externă.

de frecvența impusă în cazul unui  $Q$  mare și a unuia de mărime mijlocie. Observați că amplitudinea este maximă pentru:

$$\omega = \left( \omega_0^2 - \frac{1}{2\tau^2} \right)^{\frac{1}{2}} = \omega_0 \left( 1 - \frac{1}{2\omega_0^2\tau^2} \right)^{\frac{1}{2}} = \omega_0 \left( 1 - \frac{1}{2Q^2} \right)^{\frac{1}{2}}$$

care este foarte apropiată de  $\omega_0$  pentru un oscilator cu un  $Q$  înalt. Absorbția maximă de putere se produce la  $\omega = \omega_0$ . Tipul de curbă reprezentat în figură este numit adesea *curbă de rezonanță*<sup>1</sup>.

- Decalajul în timp, indicat prin unghiul  $\Phi$ , între elongația  $x = x_0 \sin(\omega t + \Phi)$  și forța externă care variază ca  $\sin \omega t$  este, de asemenea, o funcție puternic dependentă de frecvența impusă, fiind zero pentru frecvențe joase și  $-\pi$  pentru frecvențe înalte. [Vezi fig. 7.15 și temele avansate (pagina 252)]. Faza  $\Phi$  este definită aici ca unghiul care indică cu cât este atins înaintea maximum elongației față de cel al forței descrise de  $F_0 \sin \omega t$ . Așadar, unghiurile negative arată că elongația este în întârziere față de forță. De notat că pentru  $\omega = \omega_0$ ,  $\Phi = -\frac{\pi}{2}$ , elongația este în urma forței cu un sfert de perioadă. Pentru mai multe detalii, consultați temele avansate (pagina 253).

<sup>1</sup> În unele domenii prin curbă de rezonanță se înțelege în mod strict curba  $f(x) = 1/(1 + x^2)$  care este similară ca aspect.



## PRINCIPIUL SUPERPOZIȚIEI

O proprietate importantă a oscilatorului armonic este aceea că soluțiile sînt aditive: dacă  $x_1(t)$  descrie mișcarea sub acțiunea forței  $F_1(t)$ , iar  $x_2(t)$  descrie mișcarea sub acțiunea forței  $F_2(t)$ , atunci  $x_1(t) + x_2(t)$  descrie mișcarea sub acțiunea forței rezultante  $F_1(t) + F_2(t)$ . Adică, dacă cunoaștem mișcarea sub acțiunea forței  $F_1$  și mișcarea sub acțiunea lui  $F_2$ , vom obține legea de mișcare sub acțiunea simultană a celor două forțe, adunînd  $x_1(t)$  cu  $x_2(t)$ . Această proprietate rezultă direct din ecuația de mișcare:

$$\left(\frac{d^2}{dt^2} + \frac{1}{\tau} \frac{d}{dt} + \omega_0^2\right)(x_1 + x_2) = \left(\frac{d^2}{dt^2} + \frac{1}{\tau} \frac{d}{dt} + \omega_0^2\right)x_1 + \left(\frac{d^2}{dt^2} + \frac{1}{\tau} \frac{d}{dt} + \omega_0^2\right)x_2 = F_1 + F_2 \quad (7.42)$$

Valabilitatea principiului superpoziției pentru soluțiile ecuației de mișcare a oscilatorului armonic este o consecință a liniarității ecuației în care intervine numai puterea întâi a lui  $x$  și a derivatelor sale. Situația este complet diferită dacă sînt incluși termeni anarmonici. Un termen în  $x^2$  în ecuația de mișcare se poate arăta că amestecă și înmulțește două frecvențe impuse simultan,  $\omega_1$  și  $\omega_2$ , producînd în consecință un întreg domeniu de frecvențe armonice ( $2\omega_1, 3\omega_1, \dots, 2\omega_2, 3\omega_2, \dots$ ) și de combinații de frecvențe „de bandă alăturată” ( $\omega_1 + \omega_2; \omega_1 - \omega_2; \omega_1 - 2\omega_2$  etc.).

### PROBLEME

1. *Pendulul simplu.* Un pendul este construit dintr-un fir ușor de lungime  $L = 1$  m și un corp greu de masă  $M = 1$  kg. Care este perioada micilor oscilații ale acestui pendul?

R: 2 s.

2. *Corp fixat de un resort.* Scrieți ecuația de mișcare pentru un corp de masă  $M$  care se mișcă în direcție verticală sub acțiunea forței gravitaționale și a unui resort de constantă elastică  $k$ . Cum influențează forța gravitațională:

- (a) Perioada de oscilație?
- (b) Centrul de oscilație, adică punctul în jurul căruia au loc oscilațiile?

3. *Corp fixat de un resort.* Un corp cu masa de 1 kg este suspendat de un resort liniar cu constanta elastică  $k = 10^3$  N/m.  
(a) Care este perioada micilor oscilații?  
(b) Găsiți elongația ca funcție de timp, dacă la  $t = 0$  deplasarea față de poziția de echilibru este  $+5 \cdot 10^{-3}$  m iar viteza  $+0,15$  m/s.

4. *Corp fixat de un resort — date.* Datele din tabelele 7.3 și 7.4 au fost obținute observînd mișcarea unui corp fixat la capătul unui resort.

- (a) Reprezentați grafic pătratul perioadei de oscilație ca funcție de masă. Valorile tabelate ale masei exclud masa resortu-

lui. Determinați masa efectivă a resortului printr-o extrapolare convenabilă a graficului.

- (b) Determinați constanta elastică  $k$ .
- (c) Reprezentați grafic logaritmul natural al amplitudinii ca funcție de timp și determinați timpul de relaxare.
- (d) Determinați factorul de amortizare  $b$

TABELUL 7.3

Perioada ca funcție de masă

Masa, kg	Perioada observată, s
0,050	0,72
0,100	0,85
0,150	0,96
0,200	1,06
0,250	1,16
0,300	1,23

TABELUL 7.4

Amplitudinea oscilației ca funcție de timp pentru o masă de 0,150 kg

Timpul, s	Amplitudinea, m
0	$4,5 \cdot 10^{-2}$
30	$4,0 \cdot 10^{-2}$
80	$3,5 \cdot 10^{-2}$
125	$3,0 \cdot 10^{-2}$
180	$2,5 \cdot 10^{-2}$
235	$2,0 \cdot 10^{-2}$
340	$1,5 \cdot 10^{-2}$
455	$1,0 \cdot 10^{-2}$

5. Corp în mediu fluid. Un corp cufundat parțial (sau complet) într-un lichid este împins de jos în sus cu o forță egală cu greutatea lichidului dezlocuit (principiul lui Arhimede). Arătați că un corp de secțiune orizontală uniformă constrins să se miște vertical într-un lichid de densitate mai mare decât densitatea corpului va executa oscilații armonice simple. Care este perioada? Care este limita amplitudinii de oscilație?

#### 6. Pendulul

- (a) Un pendul de lungime 0,392 m și masă 0,5 kg este pus în mișcare astfel încât

la  $t = 0$ ,  $\theta = 0,1$  și  $\dot{\theta} = -0,02/s$ . Găsiți unghiul  $\theta$  ca funcție de timp. Utilizați ecuațiile de mișcare pentru a determina forța care se exercită asupra corpului la  $\theta = 0$ .

- (b) Pendulul Foucault a fost instalat de Foucault la Paris în 1851, pentru a demonstra efectul rotației Pământului (vezi capitolul 4, pagina 135). Calculați perioada, dacă lungimea pendulului este de 69 m. Determinați energia totală a mișcării, dacă masa este de 28 kg iar amplitudinea maximă a oscilațiilor este de  $10^\circ$ .

#### 7. Energia corpului fixat de un resort.

Un corp de masă 0,05 kg fixat la capătul unui anumit resort execută o mișcare armonică simplă descrisă de legea  $x = 0,02 \sin 10 t$ , unde  $x$  este exprimat în metri și  $t$  în secunde.

- (a) Găsiți constanta elastică  $k$ .
- (b) Determinați energia cinetică maximă.
- (c) Care este energia potențială maximă și energia totală?

8. Oscilatorul bidimensional. O particulă se poate mișca în planul  $x, y$ , sub acțiunea unei forțe de mărime  $-k(x\hat{x} + y\hat{y}) = -kr$  îndreptată către origine. Găsiți ecuațiile de mișcare pentru coordonatele  $x$  și  $y$  și rezolvați-le, presupunând că particula are masa  $M$ .

- (a) Care sint condițiile pentru ca mișcarea să fie circulară și care este perioada acestei mișcări?
- (b) Care sint condițiile pentru ca mișcarea să aibă loc de-a lungul unei drepte care face un unghi de  $45^\circ$  cu axa  $x$  și care este perioada mișcării?

#### 9. Corp pe fundul unui vas sferic.

Un corp alunecă liber pe fundul unui vas sferic de rază 1 m. Găsiți perioada micilor oscilații. Care este lungimea unui pendul echivalent?

#### 10. Viscositatea

- (a) Consultați o carte de referință care dă și explică definiția viscozității.



- (b) Care este dimensiunea coeficientului de viscozitate  $\eta$ ?
- (c) Care este valoarea viscozității apei la 20°C?
- (d) Evaluați (b) [vezi ec. (7.28)] pentru o sferă cu raza de 5 cm într-un mediu de viscozitate 2 centipoise (vezi probl. 13).
- (e) Găsiți viteza finală pentru punctul (d), unde densitatea sferei este 2700 kg/m<sup>3</sup> iar densitatea lichidului 1100 kg/m<sup>3</sup>. Folosiți forța rezultantă verticală, așa cum s-a explicat în problema 5, și timpul de relaxare.

#### 11. Mișcarea sub acțiunea unei forțe de viscozitate.

- (a) O particulă de masă  $M$  asupra căreia acționează doar forța de viscozitate a mediului de forma  $-bv$  este aruncată într-un punct cu viteza  $v_0$ . Scrieți expresia vitezei ca funcție de timp. Găsiți  $x(t)$ , amintindu-vă că  $v = dx/dt$ . Calculați distanța parcursă de corp dacă  $M = 0,01$  kg,  $b = 4 \cdot 10^{-3}$  N · s/m și  $v_0 = 1$  m/s.

## TEME AVANSATE

**Oscilatorul anarmonic.** În continuarea analizei de la paginile 228–234 considerăm un pendul care oscilează cu o astfel de amplitudine încât nu mai putem neglija termenul  $\theta^3$  din dezvoltarea lui  $\sin \theta$ , așa cum am făcut în ecuația (7.9). Care este efectul pe care îl are termenul în  $\theta^3$  asupra mișcării pendulului? Am văzut, în tabelul 7.1, efectul asupra perioadei. Vom trata acum problema din punct de vedere analitic.

Problemele anarmonice, sau neliniare, sînt de obicei greu de rezolvat exact (deși calculatoarele pot să ne furnizeze cu ușurință orice precizie dorim), dar soluțiile aproximative sînt adesea adecvate pentru a ne da o idee asupra fenomenelor care au loc. Ecuația (7.8) dă:

$$\sin \theta = \theta - \frac{1}{6} \theta^3 + \dots$$

- (b) În experiența lui Millikan unele picături de ulei aveau raza de  $2 \cdot 10^{-6}$  m. Densitatea uleiului era de 920 kg/m<sup>3</sup> iar viscozitatea aerului  $1,8 \cdot 10^{-4}$  centipoise. Găsiți timpul de relaxare și viteza limită. Neglijați corecția de plutare.

**12. Timp de relaxare.** Un oscilator are  $M = 0,01$  kg,  $k = 0,49$  N/m,  $b = 1 \cdot 10^{-3}$  N · s/cm. La  $t = 0$ ,  $x = 0,02$  m și  $\dot{x} = 0$ .

- (a) Găsiți  $x$  ca funcție de timp.
- (b) Care este timpul de relaxare pentru  $x$ ; dar pentru  $E_c$ ?
- (c) Care este valoarea lui  $Q$ ?

**13. Oscilatorul amortizat.** O bilă sferică de rază  $3 \cdot 10^{-3}$  m și masă  $5 \cdot 10^{-4}$  kg se deplasează prin apă sub acțiunea unui resort de constantă elastică  $k = 0,05$  N/m. Coeficientul de viscozitate  $\eta$  pentru apă este  $10^{-3}$  N · s/m<sup>2</sup> sau  $10^{-2}$  poises. Determinați numărul de oscilații care au loc pînă cînd amplitudinea scade la jumătate din valoarea ei inițială. (Observați că  $e^{-0,693} = 1/2$ .) Care este factorul de calitate  $Q$  al oscilatorului?

astfel încît în acest ordin ecuația de mișcare (7.7) devine:

$$\frac{d^2\theta}{dt^2} + \omega_0^2\theta - \frac{\omega_0^2}{6}\theta^3 = 0 \quad (7.43)$$

unde  $\omega_0^2$  este o notație pentru mărimea  $g/L$ . Aceasta este ecuația de mișcare pentru un oscilator anarmonic.

Vom căuta să găsim pentru ecuația (7.43) o soluție aproximativă de forma:

$$\theta = \theta_0 \sin \omega t + \varepsilon \theta_0 \sin 3\omega t \quad (7.44)$$

unde  $\varepsilon$  este o constantă adimensională pe care o presupunem mult mai mică decît 1 pentru  $\theta_0 \ll 1$ . Adică, vom vedea dacă mișcarea poate fi reprezentată aproximativ (sau exact — nu știm încă!) ca superpoziția a două mișcări diferite, una descrisă de  $\sin \omega t$  și cealaltă de  $\sin 3\omega t$ . Prezența unui



termen proporțional cu  $\sin 3\omega t$  este sugerată de identitatea trigonometrică [Dwight 403,03]:

$$\sin^3 x \equiv \frac{3}{4} \sin x - \frac{1}{4} \sin 3x. \quad (7.45)$$

Astfel, termenul  $\theta^3$  din ecuația diferențială (7.43) va genera din cubul lui  $\sin \omega t$  un termen de tipul  $\sin 3\omega t$ . Pentru a satisface ecuația diferențială sîntem obligați să adăugăm la  $\sin \omega t$  un termen de forma  $\varepsilon \sin 3\omega t$  pentru a compensa termenul  $\sin 3\omega t$  generat de  $\theta^3$ . Mai departe, noul termen  $\varepsilon \sin 3\omega t$  în soluția pe care o încercăm va genera, prin ridicare la cub, un termen în  $\varepsilon^3 \sin 9\omega t$  și așa mai departe. Nu există nici un motiv aparent conform căruia procesul să se oprească; dar, dacă  $\varepsilon \ll 1$ , este de așteptat ca seria să convergă rapid, deoarece în termenii de frecvențe înalte intervin ca factori puteri din ce în ce mai înalte ale lui  $\varepsilon$ . Observăm astfel că expresia (7.44) poate fi, în cel mai bun caz, doar o soluție aproximativă. Rămîne să determinăm acum  $\varepsilon$  și  $\omega$ ; deși frecvența  $\omega$  trebuie să se reducă la  $\omega_0$  la amplitudini mici, ea poate diferi de  $\omega_0$  la amplitudini mari. Presupunem pentru simplitate că la  $t = 0$  avem  $\theta = 0$ .

O soluție aproximativă de acest tip se numește *soluție de perturbare*, deoarece un termen din ecuația diferențială perturbă mișcarea care ar fi avut loc în absența acelui termen. După cum ați văzut, am ajuns la soluția de forma (7.44) pe baza unui raționament aproximativ. Este destul de ușor să verificăm cîteva soluții de probă și să le eliminăm pe acelea care nu satisfac ecuația.

Din ecuația (7.43) avem:

$$\ddot{\theta} = -\omega_0^2 \sin \omega t - 9\omega^2 \varepsilon \theta_0 \sin^3 \omega t$$

$$\theta^3 = \theta_0^3 (\sin^3 \omega t + 3\varepsilon \sin^2 \omega t \sin 3\omega t + \dots)$$

unde am neglijat termenii de ordinul  $\varepsilon^2$  și  $\varepsilon^3$  pe baza presupunerii noastre că putem găsi o soluție cu  $\varepsilon \ll 1$ . Folosind identitatea trigonometrică din relația (7.45), termenii din ecuația (7.43) devin atunci:

$$\ddot{\theta} = -\omega^2 \theta_0 \sin \omega t - 9\omega^2 \varepsilon \theta_0 \sin 3\omega t \quad (7.46)$$

$$\omega_0^2 \theta = -\omega^2 \theta_0 \sin \omega t + \omega_0^2 \varepsilon \theta_0 \sin 3\omega t -$$

$$-\frac{1}{6} \omega_0^2 \theta^3 = -\frac{3\omega_0^2}{24} \theta_0^3 \sin \omega t +$$

$$+\frac{\omega_0^2}{24} \theta_0^3 \sin 3\omega t - \frac{\omega_0^2}{2} \theta_0^3 \varepsilon \sin^2 \omega t \sin 3\omega t.$$

Adunăm acum ecuațiile (7.46) membru cu membru. Suma din membrul stîng este egală cu zero, conform ecuației (7.43). Pentru ca expresia (7.44) să fie o soluție aproximativă la orice moment  $t$ , este necesar ca coeficienții lui  $\sin \omega t$  și  $\sin 3\omega t$  să se anuleze separat în membrul drept al ecuației (7.46). Într-adevăr, să presupunem că acești coeficienți nu se anulează; am avea atunci o expresie de forma  $A \sin \omega t + B \sin 3\omega t = 0$ , unde  $A$  și  $B$  sînt constante. Dar o astfel de ecuație *nu poate fi satisfăcută* pentru orice valoare a lui  $t$ ; în consecință, trebuie ca  $A$  și  $B$  să aibă fiecare valoarea zero. Oprindu-ne la  $3\omega t$  în soluția (7.44) pe care am presupus-o, nu am inclus toți termenii sau toate frecvențele care pot apărea, dar i-am inclus pe cei mai importanți.

Condiția ca coeficienții lui  $\sin \omega t$  în ecuația (7.46) să aibă suma egală cu zero este ca:

$$-\omega^2 + \omega_0^2 - \frac{3}{24} \omega_0^2 \theta_0^2 = 0$$

sau

$$\omega^2 = \omega_0^2 \left( 1 - \frac{1}{8} \theta_0^2 \right);$$

$$\omega \approx \omega_0 \left( 1 - \frac{1}{16} \theta_0^2 \right), \quad (7.47)$$

unde am folosit dezvoltarea binomială a radicalului (vezi cap. 2, note matematice, pagina 73). Ecuația (7.47) exprimă dependența lui  $\omega$  de  $\theta_0$ . De aici se vede că  $\omega_0$  este limita lui  $\omega$  pentru  $\theta_0 \rightarrow 0$ , adică limita în cazul amplitudinii mici. Pentru  $\theta_0 = 0,3$  rad, modificarea relativă a frecvenței este  $\Delta\omega/\omega \approx -10^{-2}$ , unde  $\Delta\omega \equiv \omega - \omega_0$ . Observați că frecvența pendulului la amplitudini mari depinde de valoarea amplitudinii.

Soluția din ecuația (7.44) conține, de asemenea, un termen în  $\sin 3\omega t$ . Amplitudinea acestui termen raportată la amplitudinea termenului  $\sin \omega t$  este  $\varepsilon$ , care este determinat de condiția ca coeficientul



termenului  $\sin 3\omega t$  în ecuația (7.46) să se analizeze:

$$-9\omega^2 \varepsilon + \omega_0^2 \varepsilon + \frac{\omega_0^2}{24} \theta_0^2 = 0.$$

Dacă punem  $\omega^2 \approx \omega_0^2$ , această ecuație se reduce la:

$$\varepsilon \approx \frac{\theta_0^2}{192}.$$

Interpretăm parametrul  $\varepsilon$  ca o măsură pentru contribuția relativă a termenului  $\sin 3\omega t$  într-o soluție pentru  $\theta$  dominată de  $\sin \omega t$ . Pentru  $\theta_0 = 0,3$  rad, avem  $\varepsilon \approx 10^{-3}$ , adică o valoare foarte mică. Coeficientul termenului  $\sin^2 \omega t$   $\sin 3\omega t$  în ecuația (7.46) este de ordinul  $O(\varepsilon)$  sau  $O(\theta_0^2)$  în comparație cu termenii pe care i-am folosit. Am neglijat acest termen în aproximația noastră.

De ce nu includem în ecuația (7.44) un termen în  $\sin 2\omega t$ ? Încercați singuri o soluție de forma:

$$\theta = \theta_0 \sin \omega t + \tau \theta_0 \sin 2\omega t$$

și vedeți ce se întâmplă. Veți găsi  $\tau = 0$ . Pendulul generează în special armonica a treia, adică termeni în  $\sin 3\omega t$  și deloc termeni în  $\sin 2\omega t$ . Situația ar fi diferită pentru un sistem a cărui ecuație de mișcare include un termen în  $\theta^2$ . În acest caz, soluția ar avea un termen în  $\sin 2\omega t$  și se poate utiliza aceeași tehnică. Există multe astfel de probleme (de exemplu, dilatarea termică a solidelor) în care forța este mai puternică pentru o valoare pozitivă (negativă) a deplasării decât pentru o valoare egală negativă (pozitivă).

Care este frecvența pendulului la amplitudini mari? Nu există o frecvență unică a mișcării. Am văzut că termenul cel mai important (componenta cea mai mare) este de forma  $\sin \omega t$  și spunem că  $\omega$  este *frecvența fundamentală* a pendulului. În aproximația noastră  $\omega$  este dat de ecuația (7.47). Termenul în  $\sin 3\omega t$  este numit *armonica a treia* a frecvenței fundamentale. Raționamentul care urmează după formula (7.44) sugerează că în mișcarea exactă este prezent un număr infinit de armonice, dar că majoritatea acestora dau contribuții foarte mici. În expresia (7.44) amplitudinea

componentei fundamentale a mișcării este  $\theta_0$ ; amplitudinea componentei armonice a treia este  $\varepsilon \theta_0$ .

**Oscilații armonice forțate cu amortizare.** Vom considera acum în detaliu mișcarea forțată, sau întreținută, a unui oscilator armonic amortizat. Aceasta este o problemă de cea mai mare importanță. Dacă, în afara frecării, mai există o forță externă  $F(t)$  aplicată oscilatorului, ecuația de mișcare este:

$$M\ddot{x} + b\dot{x} + kx = F(t),$$

sau, într-o notație mai compactă, cu  $\tau \equiv M/b$  și  $\omega_0^2 \equiv k/M$ ,

$$\ddot{x} + \frac{1}{\tau} \dot{x} + \omega_0^2 x = \frac{F(t)}{M}. \quad (7.48)$$

Aici  $\omega_0$  este *frecvența naturală* a sistemului în absența frecării și în absența forței externe. Cind forța externă are o frecvență diferită  $\omega (\neq \omega_0)$ , vom vedea că răspunsul în regim staționar va avea frecvența impusă și nu frecvența naturală. Dar, dacă forța externă este brusc îndepărtată, sistemul va reveni la o oscilație amortizată cu o frecvență aproximativ egală cu cea naturală, cu condiția ca amortizarea să fie slabă.

Să presupunem în ecuația (7.48) că:

$$\frac{F(t)}{M} = \frac{F_0 \sin \omega t}{M} \equiv x_0 \sin \omega t; \quad x_0 \equiv \frac{F_0}{M} \quad (7.49)$$

astfel încît forța externă este sinusoidală cu frecvența  $\omega$ . Această relație definește mărimea  $x_0$ . Răspunsul sistemului în starea *staționară* (starea sistemului după ce toate efectele tranzitorii s-au stins) va avea exact frecvența forței externe. În caz contrar, faza relativă dintre forță și răspuns ar varia în timp. Aceasta este o caracteristică importantă a rezultatului — răspunsul în stare staționară a unui oscilator armonic (chiar cu amortizare) acționat de o forță externă, se produce cu *frecvența externă* și nu cu frecvența naturală  $\omega_0$ . Nici o altă frecvență în afara frecvenței forței externe nu va satisface ecuația de mișcare. Prin răspuns înțelegem fie elongația (deplasarea)  $x$ , fie viteza  $\dot{x}$ . Vom considera aici ca răspuns elongația  $x$ .



Căutăm pentru ecuația (7.48) o soluție de forma:

$$x = x_0 \sin(\omega t + \Phi) \quad (7.50)$$

în care va trebui să determinăm din ecuația de mișcare valorile amplitudinii  $x_0$  și a fazei<sup>1</sup>  $\Phi$ . În relația (7.50)  $\omega$  nu este frecvența naturală a oscilatorului, ci frecvența forței externe; unghiul  $\Phi$  reprezintă defazajul între forța externă și elongația oscilatorului. Astfel,  $\Phi$  are aici un sens total diferit de ceea ce am întâlnit la oscilatorul armonic liber, unde  $\Phi$  a fost legat de condițiile inițiale. Dacă considerăm numai starea staționară, condițiile inițiale sînt irelevante pentru oscilatorul supus forței exterioare.

Este important să definim precis ce înțelegem prin defazajul  $\Phi$  între elongație și forța externă. Atît forța externă cît și elongația sînt descrise de o oscilație armonică simplă. Între două maxime succesive ale forței sau ale elongației faza este de  $360^\circ$  sau  $2\pi$  rad. Defazajul  $\Phi$  reprezintă unghiul cu care elongația își atinge maximum înaintea forței. De exemplu, să presupunem că forța își atinge cea mai mare valoare pozitivă în momentul în care elongația este nulă și crescătoare în sens pozitiv. Deplasarea va fi atunci în urma forței cu unghiul  $\pi/2$  rad. Dar  $\Phi$  este definit ca unghiul cu care  $x$  este în avans față de  $F$ , astfel încît în acest caz  $\Phi$  este egal cu  $-\pi/2$ .

Să considerăm derivatele:

$$\frac{dx}{dt} = \omega x_0 \cos(\omega t + \Phi),$$

$$\frac{d^2x}{dt^2} = -\omega^2 x_0 \sin(\omega t + \Phi).$$

<sup>1</sup> Este necesar să lăsăm unghiul  $\Phi$  (numit faza unghiulară a lui  $x$  relativ la forța  $F$ ) să ia valori diferite de zero. Nu se poate obține nici o soluție dacă  $\Phi$  este omis. Cînd se vorbește despre o fază unghiulară este necesar să se specifice mărimile între care există defazajul. În probleme de electricitate se vorbește în mod obișnuit de faza curentului electric în raport cu tensiunea. Aici ne referim la faza elongației  $x$  în raport cu forța externă  $F$ . Cele două faze nu sînt echivalente, deoarece analogul curentului electric nu este  $x$ , ci  $dx/dt$ .

Ecuația de mișcare (7.48) se scrie atunci:

$$(\omega_0^2 - \omega^2)x_0 \sin(\omega t + \Phi) + \frac{\omega}{\tau} x_0 \cos(\omega t + \Phi) = \alpha_0 \sin \omega t \quad (7.51)$$

Putem simplifica această relație pe baza identităților trigonometrice:

$$\sin(\omega t + \Phi) = \sin \omega t \cos \Phi + \cos \omega t \sin \Phi$$

$$\cos(\omega t + \Phi) = \cos \omega t \cos \Phi - \sin \omega t \sin \Phi.$$

Astfel ecuația (7.51) devine:

$$\begin{aligned} & \left[ (\omega_0^2 - \omega^2) \cos \Phi - \frac{\omega}{\tau} \sin \Phi \right] x_0 \sin \omega t + \\ & + \left[ (\omega_0^2 - \omega^2) \sin \Phi + \frac{\omega}{\tau} \cos \Phi \right] x_0 \cos \omega t = \alpha_0 \sin \omega t \end{aligned} \quad (7.52)$$

Această ecuație poate fi satisfăcută numai dacă coeficientul lui  $\cos \omega t$  este zero. Condiția poate fi scrisă sub forma:

$$\operatorname{tg} \Phi = \frac{\sin \Phi}{\cos \Phi} = -\frac{\omega/\tau}{\omega_0^2 - \omega^2}. \quad (7.53)$$

De asemenea, coeficientul lui  $\sin \omega t$  trebuie să fie egal cu  $\alpha_0$ :

$$x_0 = \frac{\alpha_0}{(\omega_0^2 - \omega^2) \cos \Phi - (\omega/\tau) \sin \Phi}. \quad (7.54)$$

Din relația (7.53) rezultă că:

$$\begin{aligned} \cos \Phi &= \frac{\omega_0^2 - \omega^2}{[(\omega_0^2 - \omega^2)^2 + (\omega/\tau)^2]^{1/2}} \\ \sin \Phi &= \frac{-\omega/\tau}{[(\omega_0^2 - \omega^2)^2 + (\omega/\tau)^2]^{1/2}} \end{aligned} \quad (7.55)$$

de unde formula (7.54) devine:

$$x_0 = \frac{\alpha_0}{[(\omega_0^2 - \omega^2)^2 + (\omega/\tau)^2]^{1/2}}. \quad (7.56)$$

Aceasta este amplitudinea mișcării.

Relațiile (7.55) și (7.56) ne dau soluția dorită. Știm acum amplitudinea  $x_0$  și faza  $\Phi$  a răspunsului sistemului la acțiunea forței externe  $F = M\alpha_0 \sin \omega t$ :

$$x = \frac{\alpha_0}{[(\omega_0^2 - \omega^2)^2 + (\omega/\tau)^2]^{1/2}} \sin \left( \omega t + \arctg \frac{\omega/\tau}{\omega^2 - \omega_0^2} \right). \quad (7.57)$$



Amplitudinea din formula (7.57) este reprezentată ca funcție de  $\omega$  în figura. 7.14, iar defazajul  $\Phi$  în figura 7.15. Observați din grafic că faza  $\Phi$  este totdeauna negativă. Acest fapt poate fi înțeles din relația (7.53), deoarece  $\Phi = 0$  pentru  $\omega = 0$ ,  $0 > \Phi > -\pi/2$  pentru  $\omega < \omega_0$  și  $-\pi/2 > \Phi > -\pi$  pentru  $\omega > \omega_0$ .

Putem înțelege mai bine această soluție examinând cazurile limită. În analiza noastră vom presupune mereu că amortizarea este slabă, adică  $\omega_0\tau \gg 1$ .

Frecvență impusă joasă  $\omega \ll \omega_0$ . În acest caz, vedem din relațiile (7.55) că:

$$\cos \Phi \rightarrow 1; \sin \Phi \rightarrow -0$$

deci  $\Phi \rightarrow 0$ . Răspunsul la frecvențe joase se zice că este în fază cu forța externă. Din expresia (7.56) obținem:

$$x_0 \rightarrow \frac{\alpha_0}{\omega_0^2} = \frac{M\alpha_0}{k} = \frac{F_0}{k}. \quad (7.58)$$

În această limită resortul însuși (și nu masă sau frecarea) controlează răspunsul: corpul este pur și simplu deplasat lent înainte și înapoi de către forța externă care acționează împotriva forței elastice a resortului.

Răspunsul la rezonanță  $\omega = \omega_0$ . La rezonanță, răspunsul poate fi foarte mare. Utilizăm adesea în aplicații răspunsuri la rezonanță și trebuie să le tratăm cu atenție. Când  $\omega = \omega_0$  frecvența impusă este egală cu frecvența naturală a sistemului în absența frecării. Avem:

$$\cos \Phi \rightarrow \pm 0, \sin \Phi \rightarrow -1, \Phi \rightarrow -\frac{\pi}{2}.$$

La  $\omega = \omega_0$ , amplitudinea este dată de

$$x_0 = \frac{\alpha_0\tau}{\omega_0}. \quad (7.59)$$

Cu cât amortizarea este mai slabă, cu atât  $\tau$  și deci  $x_0$  sînt mai mari. Dacă menținem  $F_0$  constant, raportul dintre răspunsul la rezonanță și răspunsul la frecvență zero se obține din relațiile (7.58) și (7.59) egal cu:

$$\frac{x_0(\omega = \omega_0)}{x_0(\omega = 0)} = \frac{\alpha_0\tau/\omega_0}{\alpha_0/\omega_0^2} = \omega_0\tau = Q,$$

unde factorul  $Q$  a fost definit în formula (7.41). Acest raport poate fi foarte mare —

adeseori  $10^4$  sau mai mult! Se poate spune că amortizarea controlează răspunsul la rezonanță.

Răspunsul maxim  $x_0$  nu apare exact cînd  $\omega = \omega_0$ . Observăm că derivata expresiei (7.56) are un zero la:

$$\begin{aligned} \frac{d}{d\omega} \left[ (\omega_0^2 - \omega^2)^2 + \left( \frac{\omega}{\tau} \right)^2 \right] &= \\ = 2(\omega_0^2 - \omega^2)(-2\omega) + \frac{2\omega}{\tau^2} &= 0 \end{aligned}$$

sau

$$\omega^2 = \omega_0^2 - \frac{1}{2\tau^2}.$$

Aceasta este poziția de maxim a curbei care reprezintă pe  $x_0$  în funcție de  $\omega$ . Dacă  $\omega_0\tau \gg 1$ , maximum este foarte apropiat de  $\omega = \omega_0$ .

Poate părea ciudat că răspunsul maxim este obținut cînd defazajul unghiular este aproape de  $-\pi/2$ , adică cînd forța este defazată cu  $90^\circ$  față de elongație. Poate să apară mai logic ca rezonanța să aibă loc cînd  $\Phi = 0$  și nu  $-\pi/2$ . Explicația este următoarea: puterea absorbită de oscilator nu depinde direct de faza dintre forța externă și elongație, ci de faza dintre forță și viteză. Se poate vedea, după un moment de gîndire, că vom obține cea mai mare deviere cînd viteza este exact în fază cu forța externă. În acest mod, corpul primește un impuls exact la momentele și în pozițiile potrivite. Cînd elongația este zero, viteza este maximă. Dacă în acest punct corpul se mișcă în sensul pozitiv, dorim ca în acest moment forța să își atingă valoarea maximă pentru ca să obținem mișcarea maximă. În punctele de întoarcere, unde viteza își schimbă sensul, trebuie, pentru a avea rezonanță, ca forța să-și schimbe în acel moment sensul, în exact același mod. Rezonanța este prin urmare exprimată cel mai bine în funcție de faza dintre viteză și forța externă. Știm că viteza unui oscilator este în avans față de elongație cu exact  $90^\circ$ . Așadar, la rezonanță, cînd forța și viteza sînt în fază, trebuie ca forța să fie înaintea elongației, astfel încît  $\Phi = -\pi/2$ . După cum am subliniat mai sus, deși amplitudinea maximă are loc la o frecvență ușor mai joasă decît  $\omega_0$ , puterea maximă se obține cînd  $\omega = \omega_0$ .



**Frecvență impusă înaltă**  $\omega \gg \omega_0$ . În acest caz

$$\cos \Phi \rightarrow -1, \quad \sin \Phi \rightarrow 0, \quad \Phi \rightarrow -\pi$$

și

$$x_0 \rightarrow \frac{\alpha_0}{\omega^2} = \frac{M\alpha_0}{M\omega^2} = \frac{F_0}{M\omega^2}.$$

În această limită, răspunsul descrește ca  $1/\omega^2$ . Inerția corpului controlează răspunsul în limita frecvenței înalte și masa răspunde în esență ca un obiect liber, fiind deplasată rapid înainte și înapoi de către forță. Observați că defazajul  $\Phi$  al elongației  $x$  în raport cu forța externă  $F$  pleacă de la zero la frecvențe joase, trece prin  $-\pi/2$  la rezonanță și atinge  $-\pi$  la frecvențe înalte. *Elongația este mereu în întârziere față de forța externă.*

O cale geometrică interesantă pentru înțelegerea acestor fenomene este dată în figura 7.16. În loc să reprezentăm răspunsul  $x_0$  sau puterea ca funcție de  $\omega$ , folosim ca variabilă unghiul  $\Phi$ . Din formulele (7.55) și (7.56) rezultă că:

$$\omega x_0 = \frac{F_0}{b} \sin(-\Phi) = v_0.$$

unde  $b$  este coeficientul de amortizare ( $M/\tau$ ) din ecuația (7.30). Produsul  $\omega x_0$  este exact valoarea maximă a vitezei  $\dot{x}$ , sau amplitudinea vitezei pe care o numim  $v_0$ . În diagrama polară din figura 7.16 lungimea segmentului  $OP$  este exact această amplitudine a vitezei  $v_0$ , cu diametrul ales egal cu  $F_0/b$ , pentru a fi în concordanță cu ecuația de mai sus. Trebuie să ne amintim că  $\Phi$  este de fapt un unghi negativ, dar deoarece în figură ne interesează doar mărimea lui  $v_0$ , îl tratăm pe  $\Phi$  ca și cum ar fi un unghi pozitiv, deoarece:

$$\sin(-\Phi) = -\sin \Phi;$$

$$|\sin(-\Phi)| = |\sin \Phi|.$$

Valorile lui  $\Phi$  date în explicația figurii 7.16 sînt valorile corecte negative. Din acest grafic polar putem vedea că în timp ce  $\Phi$  variază, lungimea lui  $OP$  pleacă de la o valoare mică (fig. 7.16, c), crește la valoarea maximă a diametrului cercului, cînd  $\Phi = -\pi/2$  (fig. 7.16, e) și apoi descrește din nou cînd  $\Phi$  tinde la  $-\pi$  (fig. 7.16, f și g).

După cum se va vedea în cele ce urmează puterea este media lui  $F\dot{x}$  pe un ciclu [vezi relațiile (7.60) și (7.62)] și are o valoare maximă la  $\Phi = -\pi/2$ .

**Absorbția puterii.** Media temporală a lucrului mecanic efectuat în unitatea de timp asupra sistemului oscilant de către forța externă, se obține, utilizînd relația (7.49) și derivata temporală a ecuației (7.57), în forma:

$$P = \langle F\dot{x} \rangle = \frac{M\alpha_0^2\omega}{[(\omega_0^2 - \omega^2)^2 + (\omega/\tau)^2]^{\frac{1}{2}}} \cdot \langle \sin \omega t \cos(\omega t + \Phi) \rangle. \quad (7.60)$$

Utilizînd identitatea:

$$\cos(\omega t + \Phi) = \cos \omega t \cos \Phi - \sin \omega t \sin \Phi$$

avem

$$\begin{aligned} \langle \sin \omega t [\cos \omega t \cos \Phi - \sin \omega t \sin \Phi] \rangle &= \\ = -\sin \Phi \langle \sin^2 \omega t \rangle &= -\frac{1}{2} \sin \Phi \end{aligned} \quad (7.61)$$

unde am folosit faptul că  $\langle \sin \omega t \cos \omega t \rangle = 0$ . Observăm că aici faza are o deosebită importanță (vezi fig. 7.17, a și b). Înlocuind pe  $\sin \Phi$  din relația (7.55) putem scrie formula (7.60) sub forma:

$$\begin{aligned} P &= \frac{1}{2} M\alpha_0^2 \frac{\omega^2/\tau}{(\omega_0^2 - \omega^2)^2 + (\omega/\tau)^2} = \\ &= \frac{1}{2} M\alpha_0^2 \tau \left[ \left( \frac{\omega_0^2 - \omega^2}{\omega/\tau} \right)^2 + 1 \right]^{-1}. \end{aligned} \quad (7.62)$$

Acesta este un rezultat important, ilustrat în figura 7.17.

Absorbția de putere la rezonanță ( $\omega = \omega_0$ ) este:

$$P_{\text{rez}} = \frac{1}{2} M\alpha_0^2 \tau.$$

Absorbția puterii (relația (7.62)) se reduce la jumătate din valoarea la rezonanță cînd  $\omega$  este modificat cu  $\pm (\Delta\omega)_{\frac{1}{2}}$ , astfel încît:

$$\begin{aligned} \frac{\omega}{\tau} &= \omega_0^2 - \omega^2 \equiv (\omega_0 + \omega)(\omega_0 - \omega) \approx \\ &\approx 2\omega_0(\Delta\omega)_{\frac{1}{2}}. \end{aligned} \quad (7.63)$$

Așadar, lărgimea totală  $2(\Delta\omega)_{\frac{1}{2}}$  a rezonanței, la putere egală cu jumătate din valoarea maximă, este egală cu  $1/\tau$ . Utilizînd expresia



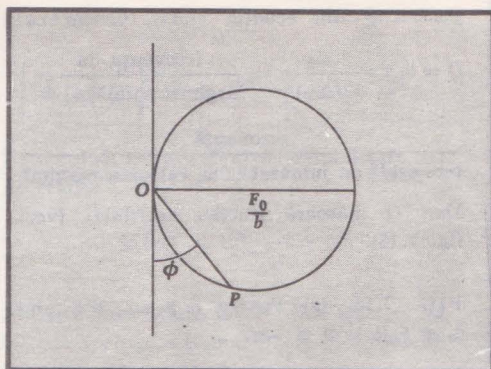


FIG. 7.16. (a). „Graficul polar” dă o reprezentare grafică simplă a oscilațiilor armonice forțate. Se construiește un cerc de diametru  $F_0/b$  și un segment de dreaptă  $OP$  care face unghiul  $\Phi$  cu ordonata.

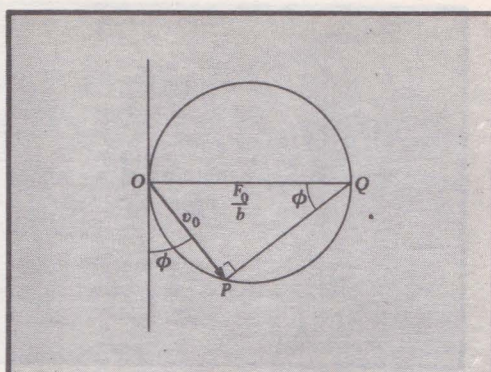


FIG. 7.16. (b) Pentru orice  $\Phi$ , triunghiul  $OPQ$  este dreptunghic. Astfel, segmentul  $OP = -(F_0/b) \sin \Phi$ . Din relațiile (7.55) – (7.57) vedem că acest segment are valoarea  $OP = \omega x_0 = v_0$ , egală cu amplitudinea vitezei.

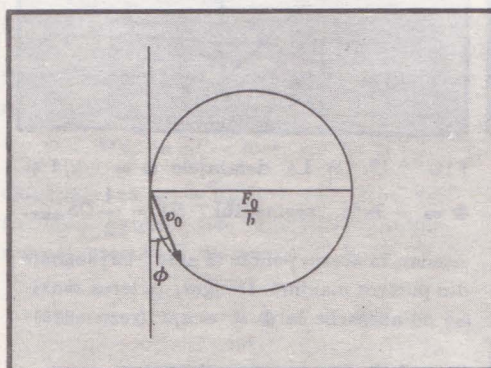


FIG. 7.16. (c) Pentru  $\omega \ll \omega_0$  rezultă  $\Phi \approx 0$  și  $v_0 \ll F_0/b$ . În această limită, răspunsul este foarte mic.

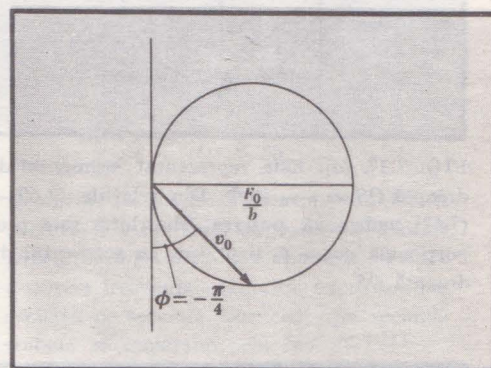


FIG. 7.16. (d) Pe măsură ce  $\omega$  crește, crește și  $|\Phi|$  și  $v_0$ . La  $\Phi = -\pi/4$ ,  $v_0 = F_0/\sqrt{2b}$ .

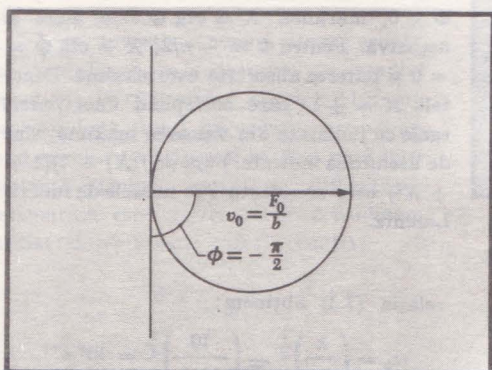


FIG. 7.16. (e) La  $\Phi = -\pi/2$ , avem  $\omega = \omega_0$  și  $v_0 = F_0/b$ . Amplitudinea vitezei este maximă la rezonanță.

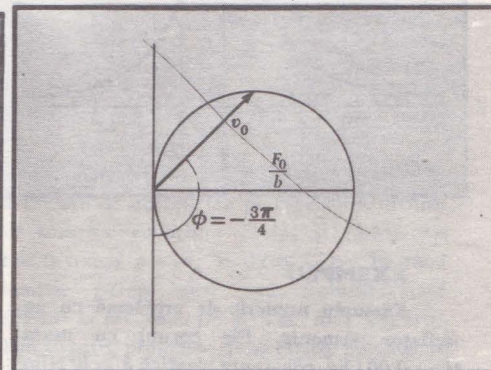
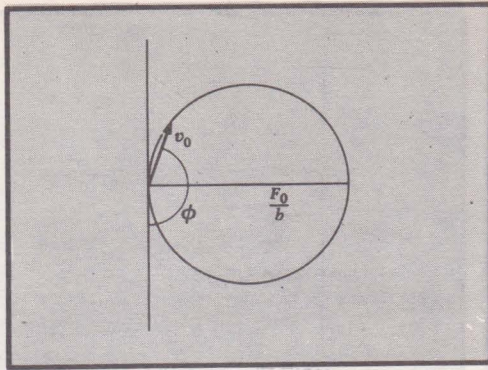


FIG. 7.16. (f) Pentru  $\omega > \omega_0$ ,  $v_0$  descrește din nou. La  $\Phi = -3\pi/4$ ,  $v_0$  are iarăși valoarea  $F_0/\sqrt{2b}$ .





pentru  $Q$  din ecuația (7.41), vedem că:

$$Q = \omega_0 \tau = \frac{\omega_0}{2(\Delta\omega)^{\frac{1}{2}}} = \frac{\text{frecvența la}}{\text{lărgimea totală la pu-}} \\ \text{rezonanță}$$

tere egală cu jumătate din valoarea maximă

Deci  $Q$  măsoară finețea acordului (vezi fig. 7.18).

FIG. 7.16. (g) Pentru  $\omega \gg \omega_0$ , din nou  $v_0 \ll F_0/b$  și  $\Phi \approx -\pi$ .

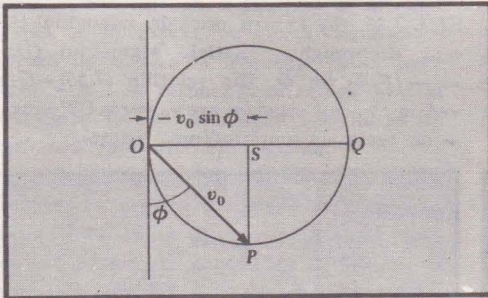


FIG. 7.17. (a). Este reprezentat segmentul de dreaptă  $OS = -v_0 \sin \Phi$ . Din relațiile (7.60) – (7.62) vedem că puterea absorbită este proporțională cu  $-v_0 \sin \Phi$ , sau cu segmentul de dreaptă  $OS$ .

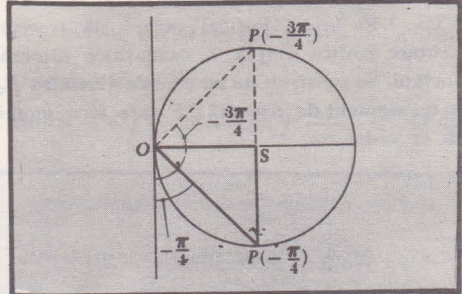


FIG. 7.17. (b) La defazajele  $\Phi = -\pi/4$  și  $\Phi = -3\pi/4$  segmentul  $OS = \frac{1}{2} OS_{max}$ .

Așadar, în aceste puncte se absoarbe jumătate din puterea maximă. Desigur, puterea maximă se absoarbe la  $\Phi = -\pi/2$  (rezonanță)

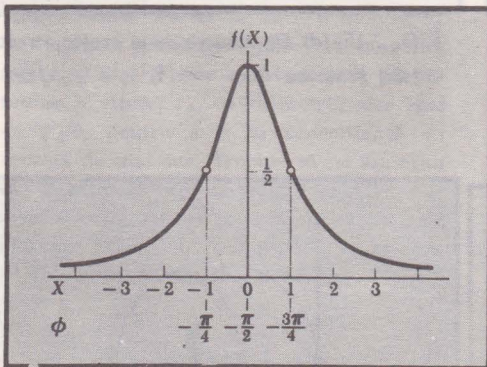


FIG. 7.18. Puterea absorbită este proporțională cu  $f(X) = 1/(1+X^2)$ , unde

$$X = \frac{-(\omega_0^2 - \omega^2)}{\omega/\tau} = \text{ctg } \Phi,$$

după cum rezultă din relația (7.62). Pentru  $\Phi \approx 0$ , mărimea  $X = \text{ctg } \Phi$  este mare și negativă. Pentru  $\Phi = -\pi/2$ ,  $X = \text{ctg } \Phi = 0$  și puterea absorbită este maximă. Punctele  $X = \pm 1$ , care corespund unei puteri egale cu jumătate din valoarea maximă, sînt de asemenea indicate. Funcția  $f(X) = 1/(1+X^2)$  este cunoscută sub numele de funcție Lorentz.

### EXEMPLU

**Exemplu numeric de problemă cu un oscilator armonic.** Fie corpul cu masa  $M = 0,001 \text{ kg}$ , constanta elastică  $k = 10 \text{ N/m}$  și timpul de relaxare  $\tau = \frac{1}{2} \text{ s}$ . Atunci, din

relația (7.3) obținem:

$$\omega_0 = \left( \frac{k}{M} \right)^{\frac{1}{2}} = \left( \frac{10}{10^{-3}} \right)^{\frac{1}{2}} = 10^2 \text{ s}^{-1},$$

iar din ecuația (7.33) frecvența oscilațiilor



libere este:

$$\left[ \omega_0^2 - \left( \frac{1}{2\tau} \right)^2 \right]^{\frac{1}{2}} = [10^4 - 1]^{\frac{1}{2}} \approx 10^2 \text{ s}^{-1}.$$

Factorul de calitate  $Q$  al sistemului este dat de relația (7.41):

$$Q \approx \omega_0 \tau = 10^2 \cdot \frac{1}{2} = 50.$$

Amplitudinea scade la  $e^{-1}$  din valoarea sa inițială (pentru sistemul liber) în intervalul de timp:

$$2\tau = 1 \text{ s},$$

care se obține din relația (7.32).

$$\begin{aligned} \text{Constanta de amortizare } b = M/\tau &= \frac{10^{-3}}{\frac{1}{2}} = \\ &= 2 \cdot 10^{-3} \text{ kg/s.} \end{aligned}$$

Să considerăm acum sistemul sub acțiunea forței:

$$F = M\alpha_0 \sin \omega t = 10^{-4} \cdot \sin 90t \text{ N.}$$

Observăm că  $\alpha_0 = F_0/M = 10^{-1} \text{ N/m}$  iar frecvența externă este  $\omega = 90 \text{ s}^{-1}$ . Amplitudinea este dată de relația (7.56):

$$x_0 \approx \frac{10^{-1}}{[4 \cdot 10^6 + 4 \cdot 10^4]^{\frac{1}{2}}} \approx 5 \cdot 10^{-5} \text{ m,}$$

## NOTE MATEMATICE

Vom investiga acum cîteva ecuații mai complicate care intervin în studiul mecanicii. În capitolul 3 (pagina 115) am rezolvat două tipuri de ecuații care corespund cazului *fără forțe* și cazului unei *forțe constante*. Ținînd seama de dificultățile matematice, este convenabil să considerăm imediat după aceste cazuri ecuația:

$$\frac{d^2 x}{dt^2} = bt,$$

unde  $b$  este o constantă iar  $t$  reprezintă timpul. Dacă derivăm de două ori termenul  $t^3$ , obținem  $t$ , astfel încît soluția

iar faza se obține din ecuația (7.53):

$$\text{tg } \Phi \approx - \frac{180}{1,9 \cdot 10^3} \approx -0,1$$

sau  $\Phi \approx -0,1 \text{ rad} \approx -6^\circ$ . Astfel la fiecare oscilație elongația maximă este atinsă cu o întârziere de  $0,1 \text{ rad}/90 \text{ rad/s} \approx 10^{-3} \text{ s}$  față de maximul forței.

Putem compara amplitudinea de mai sus cu cea la limita  $\omega \rightarrow 0$  și cu amplitudinea la rezonanță. Din relația (7.58) obținem  $x_0(\omega = 0) = \alpha_0/\omega_0^2 = 10^{-1}/10^4 = 10^{-5} \text{ m}$ . La rezonanță, din relațiile (7.59) și (7.41), avem:

$$\begin{aligned} x_0(\omega = \omega_0) &= Qx_0(\omega = 0) = 50 \cdot 10^{-5} = \\ &= 5 \cdot 10^{-4} \text{ m.} \end{aligned}$$

Lărgimea totală a curbei de rezonanță între punctele de putere egală cu  $1/2$  din valoarea maximă se obține din relația (7.63) și cea imediat următoare:

$$2(\Delta\omega)_{\frac{1}{2}} = \frac{\omega_0}{Q} = \frac{100}{50} = 2 \text{ s}^{-1}.$$

Observați că în acest exemplu am folosit pretutindeni termenul de *frecvență* în loc de *frecvență unghiulară* sau *pulsatie*. Pentru a obține frecvența obișnuită exprimată în oscilații pe secundă sau cicli pe secundă trebuie să împărțim prin  $2\pi$ .

acestei ecuații va fi:

$$x = \frac{1}{6} bt^3 + c_0 t + d_0,$$

unde observăm că  $c_0$  și  $d_0$  sînt constante arbitrare de același tip pe care l-am întîlnit în soluțiile ecuațiilor (3.52) și (3.54). La  $t = 0$  avem  $x = d_0$  și  $dx/dt = c_0$ . În mod similar putem găsi ușor soluția dacă  $d^2 x/dt^2 = bt^2$  sau  $ft^3$  și așa mai departe. Din păcate, probleme de acest tip sînt foarte puține ca număr, astfel încît trebuie să considerăm alte cazuri pe care le vom întîlni mai des în fizică.

**Forța de rezistență.** O problemă destul de obișnuită în mecanică este cazul unei forțe de rezistență direct proporțională cu viteza. (O ecuație de același tip apare și în cazul dezintegrării substanțelor radioactive.) În acest caz, legea a doua a lui Newton dă:

$$m \frac{d^2x}{dt^2} = -bv = -b \frac{dx}{dt}. \quad (7.64)$$

Semnul minus indică faptul că forța tinde să reducă viteza. Putem simplifica ecuația dacă ne amintim că accelerația  $d^2x/dt^2$  este exact egală cu  $dv/dt$ , astfel încât ecuația (7.64) devine:

$$m \frac{dv}{dt} = -bv$$

sau

$$\frac{dv}{v} = -\frac{b}{m} dt.$$

Avem acum o ecuație pe care o putem integra prin metode standard:

$$\int \frac{dv}{v} = \ln v = -\int \frac{b}{m} dt = -\frac{bt}{m} + \text{const.}$$

$$v = Ae^{-bt/m}. \quad (7.65)$$

Aici  $e$  este baza logaritmulor naturali și are valoarea 2,718.... Proprietățile logaritmulor naturali sunt similare cu cele ale logaritmulor în baza 10. Valorile logaritmulor naturali pot fi găsite în tabelele matematice. Un număr care merită să fie reținut este

$$e^{-0,693} = \frac{1}{2} = 0,5.$$

Ce este constanta  $A$  din expresia (7.65)? La  $t = 0$ ,  $e^0 = 1$  astfel încât  $v = A$ . Așadar, aceasta este o constantă arbitrară pe care o putem folosi pentru a satisface condițiile inițiale. Mai înainte, totuși, am avut două constante arbitrare, iar aici avem numai una singură. Dar ecuația pe care am rezolvat-o este o ecuație de ordinul întâi și de aceea avem numai o constantă. Putem să mergem înapoi la  $v = dx/dt$  și să scriem:

$$dx/dt = v_0 e^{-bt/m} \quad (7.66)$$

unde am notat prin  $v_0$  viteza la  $t = 0$ . Să căutăm o soluție de forma:

$$x = B + Ce^{-bt/m}.$$

Am introdus în soluție exponențială, deoarece ne amintim că prin derivarea lui  $e^{-t}$  obținem din nou  $e^{-t}$ . Introducând această expresie în ecuația (7.66), obținem:

$$-b/m Ce^{-bt/m} = v_0 e^{-bt/m}.$$

Astfel, găsim constanta  $C = -mv_0/b$ . Ce se poate spune despre constanta  $B$ ? Bănuim că ea va fi  $x_0$ , poziția inițială. Totuși, când punem în soluție  $t = 0$ , găsim că:

$$x = B + C = B - \frac{mv_0}{b}.$$

Deci, dacă la  $t = 0$ ,  $x = x_0$ , rezultă  $B = x_0 + mv_0/b$ . Soluția noastră finală este așadar:

$$x = x_0 + \frac{v_0 m}{b} (1 - e^{-bt/m}).$$

Ca un exemplu, să presupunem că o forță de  $-5 \cdot 10^{-3} \cdot v$  N acționează asupra unei particule de masă 0,025 kg, care pleacă din punctul  $x = -0,1$  m cu viteza 0,4 m/s în sensul pozitiv al axei  $x$ . Aplicând relațiile de mai sus, găsim:

$$x = -0,1 + 0,4 \cdot \frac{0,025}{5 \cdot 10^{-3}} \left(1 - e^{-\frac{5 \cdot 10^{-3}}{0,025} t}\right) =$$

$$= -0,1 + 2(1 - e^{-\frac{t}{5}}),$$

$$t = 0, x = -0,1 \text{ m}$$

$$\frac{dx}{dt} = -0,2 \left(-\frac{1}{5}\right) e^{-t/5} = 0,4 \text{ m/s},$$

la  $t = 0$ .

Observați că atunci când  $t \rightarrow \infty$ ,  $x \rightarrow 1,9$  și  $v \rightarrow 0$ .

**Viteza limită.** Vom considera acum un tip mai complicat de ecuație, ca de exemplu:

$$m \frac{dv}{dt} = F - bv, \quad (7.67)$$

unde  $F$  este o constantă.

Se observă că viteza în regim staționar este:

$$\frac{dv}{dt} = 0, F = bv, v = \frac{F}{b}.$$

Această viteză se numește adesea viteză limită. Ca soluție încercăm forma:

$$v = \frac{F}{b} (1 - e^{-bt/m})$$



$$\begin{aligned}\frac{dv}{dt} &= \frac{F}{m} e^{-bt/m} = \frac{F}{m} \left(1 - \frac{b}{F} v\right) = \\ &= \frac{F}{m} - \frac{b}{m} v,\end{aligned}$$

care verifică ecuația (7.67). Din această soluție vedem că la  $t = 0$ ,  $v = 0$ . Rezultă că, dacă condiția inițială este alta, trebuie să ne aranjăm astfel încât să o satisfacem. Observăm că pentru  $t \rightarrow \infty$  avem  $v \rightarrow F/b$ .

Să presupunem că la  $t = 0$ ,  $v = v_0$ . Încercăm expresia:

$$v = \frac{F}{b} (1 - e^{-bt/m}) + v_0 e^{-bt/m}. \quad (7.68)$$

Prin derivare putem arăta că această soluție verifică ecuația inițială.

Este interesant că soluția generală (7.68) reprezintă soluția din relația (7.67) pe care am încercat-o inițial, la care am adăugat soluția dată de ecuația (7.66), deoarece  $m dv/dt = -bv$ . Altfel spus, să considerăm soluția ecuației  $m dv/dt + bv = F$ . Dacă putem găsi o soluție a acestei ecuații, putem adăuga la ea orice soluție a ecuației  $m dv/dt + bv = 0$  și vom avea tot o soluție.

**Forța elastică.** Vom rezolva acum ecuația de mișcare pentru o forță de tip *elastic*, care este îndreptată în permanență către origine (sau către un punct care este ales pentru comoditate ca origine) și care crește direct proporțional cu distanța până la punct sau origine. În limbaj matematic, forța este dată de  $F = -kx$ ; dacă  $x$  este pozitiv, forța  $F$  este negativă; dacă  $x$  este negativ, forța este pozitivă. Mărimea  $k$  este o constantă pozitivă, numită adesea *constantă elastică*. Ecuația noastră este:

$$m \frac{d^2x}{dt^2} = -kx, \quad \frac{d^2x}{dt^2} = -\frac{kx}{m}.$$

Ca o soluție de probă să luăm  $x = \cos \omega t$ . Prin derivare obținem:

$$\begin{aligned}\frac{dx}{dt} &= -\omega \sin \omega t, \quad \frac{d^2x}{dt^2} = -\omega^2 \cos \omega t = \\ &= -\omega^2 x.\end{aligned}$$

Din compararea acestei relații cu ecuația

originală, constatăm că dacă  $\omega^2 = \frac{k}{m}$ ,

soluția aleasă de noi este valabilă. Este, de asemenea, evident că  $x = \sin \omega t$  este o soluție. Unde sînt însă constantele necesare pentru condițiile inițiale? Să încercăm expresia:

$$x = A' \sin \omega t + B' \cos \omega t.$$

Și aceasta este o soluție și observăm că la  $t = 0$ ,  $x = B'$ . Deci  $B'$  coincide cu  $x_0$  pe care l-am utilizat înainte. Dacă derivăm și punem  $t = 0$ , obținem  $dx/dt = \omega A'$ . Acesta este tocmai  $v_0$  definit mai sus. Observați că  $A'$  nu coincide cu viteza inițială. Un alt mod de a scrie această soluție este:

$$x = A \sin (\omega t + \Phi).$$

La  $t = 0$ , avem  $x = A \sin \Phi$  și  $dx/dt = A\omega \cos \Phi$ . Astfel, cele două constante  $A$  și  $\Phi$  au înlocuit cele două constante  $A'$  și  $B'$ . Al doilea tip de soluție este adesea mai convenabil de folosit în aplicații, deși veți găsi că este util să rezolvați unele probleme cu primul tip. Cîteva exemple pot fi instructive. Presupunem că avem  $k/m = 25$  astfel că  $\omega = 5 \text{ s}^{-1}$ .

1. La  $t = 0$ , particula pleacă din origine cu o viteză de 0,1 m/s în sensul lui  $x$  negativ. Presupunind că  $x = A \sin (5t + \Phi)$ , rezultă că la  $t = 0$ ,  $x = A \sin \Phi$  și această valoare trebuie să se anuleze. Deci  $\Phi$  este 0 sau  $\pi$ ;  $dx/dt = 5 A \cos \Phi = -0,1$ . Vedem de aici că  $\Phi$  trebuie să fie egal cu  $\pi$  iar  $A$  este egal cu 0,02. Deci soluția noastră este:

$$x = 0,02 \sin (5t + \pi) = -0,02 \sin 5t.$$

2. La  $t = 0$ , particula se află în punctul  $x = +0,05$ , și este în repaus. Deci  $+0,05 = A \sin \Phi$  și  $dx/dt = \omega A \cos \Phi = 0$ . Rezultă  $A = 0,05$  și  $\Phi = \pi/2$ , și soluția este

$$x = 0,05 \sin \left( 5t + \frac{\pi}{2} \right) = 0,05 \cos 5t.$$

3. La  $t = 0$ ,  $x = -0,05$  iar viteza este  $-0,25$ . De astă dată  $-0,05 = A \sin \Phi$  și  $-0,25 = A\omega \cos \Phi = 0,05 A \cos \Phi$ . Prin împărțire, obținem  $\tan \Phi = +1$ . Deci  $\Phi = \pi/4$  sau  $5\pi/4$ . Dar  $\cos \pi/4 =$

$= -1/\sqrt{2}$ , în timp ce  $\cos \pi/4 = +1/\sqrt{2}$ . Rezultă deci că  $\Phi = 5\pi/4$ . Înlocuind în prima ecuație, obținem  $A = \sqrt{2} \cdot 0,05$ . Alternativ, am putea alege  $A = -0,05 \cdot \sqrt{2}$  și  $\Phi = \pi/4$ :

$$x = 0,05 \cdot \sqrt{2} \sin\left(5t + \frac{5\pi}{4}\right) \text{ sau} \\ -0,05 \cdot \sqrt{2} \cdot \sin\left(5t + \frac{\pi}{4}\right).$$

**Forță elastică și forță de rezistență.** O ecuație mai dificilă apare în cazul unui oscilator armonic amortizat. Forța este în acest caz rezistența  $-bv$  plus forța  $-kx$ :

$$\frac{m d^2 x}{dt^2} = -bv - kx \text{ unde } v = \frac{dx}{dt}$$

$$\frac{m d^2 x}{dt^2} + b \frac{dx}{dt} + kx = 0.$$

Încercăm o soluție de forma

$$x = Ae^{-\beta t} \sin(\omega t + \Phi):$$

$$\frac{b dx}{dt} = -\beta b A e^{-\beta t} \sin(\omega t + \Phi) + \\ + b \omega A e^{-\beta t} \cos(\omega t + \Phi)$$

$$\frac{m d^2 x}{dt^2} = -2m\omega\beta A e^{-\beta t} \cos(\omega t + \Phi) + \\ + \beta^2 m A e^{-\beta t} \sin(\omega t + \Phi) - \\ - m\omega^2 A e^{-\beta t} \sin(\omega t + \Phi).$$

Atunci:

$$\frac{m d^2 x}{dt^2} + b \frac{dx}{dt} + kx = A e^{-\beta t} \sin(\omega t + \\ + \Phi) [k - \beta b - m\omega^2 + \beta^2 m] + \\ + A e^{-\beta t} \cos(\omega t + \Phi) [b\omega - 2m\omega\beta] = 0.$$

Singura posibilitate ca această ecuație să poată fi satisfăcută pentru toate valorile lui  $t$  este ca fiecare coeficient din paranteze să fie egal cu zero:

$$b\omega - 2m\omega\beta = 0$$

$$\beta = \frac{b}{2m}$$

$$k - \beta b - m\omega^2 + \beta^2 m = k - \frac{b^2}{2m} - m\omega^2 + \\ + \frac{b^2}{4m} = 0$$

$$\omega^2 = \frac{k}{m} - \frac{b^2}{4m^2} = \frac{k}{m} - \beta^2.$$

Observați că  $A$  și  $\Phi$  sînt constante arbitrare și nu sînt precizate din ecuația diferențială. În acest mod pot fi determinate însă frecvența  $\omega$  și constanta de amortizare  $\beta$ . Dacă  $\omega_0 = k/m$ ,  $\omega < \omega_0$ ; dar dacă  $\beta$  este mic, adică viteza de micșorare a amplitudinii  $Ae^{-\beta t}$  este mică, atunci  $\omega \approx \omega_0$ .

Formă acestei soluții este indicată în figura 7.19, în care  $\omega/\beta = 5$ . Trebuie să remarcăm că dacă  $b$  este mare  $\omega$  poate fi zero sau  $k = b^2/4m$ . Care este soluția în acest caz?

Se poate vedea prin verificare directă că  $Ae^{-bt/2m} \sin \Phi = A'e^{-bt/2m}$  este o soluție. Dar  $Bte^{-bt/2m}$  este de asemenea o soluție. Deci soluția este:

$$x = A'e^{-bt/2m} + Bte^{-bt/2m} \quad (7.69)$$

unde  $A'$  și  $B$  sînt constante arbitrare necesare pentru a satisface condițiile inițiale. Această soluție este numită adesea *soluția amortizată critică*. În acest caz,  $x$  descrește către zero mai rapid decît în cazurile:

$$k < \frac{b^2}{4m} \text{ sau } k > \frac{b^2}{4m}.$$

Dacă  $k < b^2/4m$ , soluția se numește *supra-amortizată* și are forma:

$$x = e^{-bt/2m} \left[ A \exp\left(\sqrt{\frac{b^2}{4m^2} - \frac{k}{m}} t\right) + \right. \\ \left. + B \exp\left(-\sqrt{\frac{b^2}{4m^2} - \frac{k}{m}} t\right) \right] \quad (7.70)$$

unde  $A$  și  $B$  sînt constante necesare pentru satisfacerea condițiilor inițiale.

**Numere complexe și oscilații armonice forțate.** Studenții care sînt familiari cu numerele complexe își pot reaminti teorema lui De Moivre, care afirmă că

$$e^{i\alpha} = \cos \alpha + i \sin \alpha$$

unde  $i = \sqrt{-1}$ . O expresie de tipul  $e^{i\alpha}$  se numește o *mărimă complexă*;  $\cos \alpha$  se numește *partea reală* iar  $\sin \alpha$  *partea imaginară*. Numerele complexe pot fi vizualizate reprezentînd partea reală pe abscisă și partea imaginară pe ordonată. Figura 7.20 ilustrează această reprezentare. Lungimea segmentului  $OA$  se numește *modulul* cantității



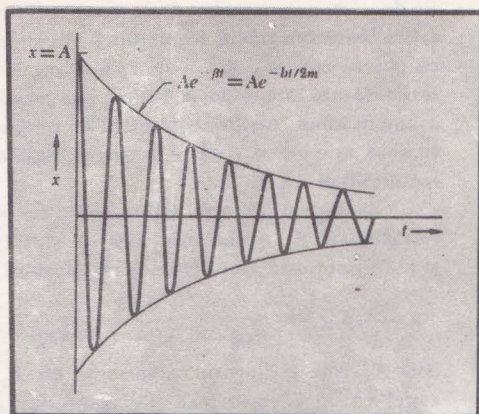


FIG. 7.19. Oscilatorul armonic amortizat.

sau a numărului complex. Pătratul său se obține înmulțind numărul prin conjugatul său complex; conjugatul complex este obținut schimbând semnul lui  $i$  peste tot unde acesta apare. Mărimea este evident o cantitate reală și în acest caz este:

$$e^{i\alpha} \cdot e^{-i\alpha} = e^0 = 1.$$

Observăm că  $OA$  are lungimea egală cu unitatea deoarece  $\cos \alpha = OB/OA = OB$ .

Adunarea, scăderea și înmulțirea numerelor complexe urmează regulile obișnuite. De exemplu:

$$(a - ib) + (c + id) = a + c + i(b + d)$$

$$(a - ib) - (c + id) = a - c + i(b - d)$$

$$(a - ib) \cdot (c + id) = ac - bd + i(ad + bc),$$

deoarece  $i^2 = -1$ .

Pentru împărțire vrem de obicei să scriem raportul astfel încât numitorul să fie un număr real și astfel părțile reală și imaginară ale raportului vor fi ușor de recunoscut:

$$\begin{aligned} \frac{a + ib}{c + id} &= \frac{(a + ib) \cdot (c - id)}{(c + id) \cdot (c - id)} = \\ &= \frac{ac + bd + i(bc - ad)}{c^2 + d^2} \end{aligned}$$

În sfârșit să remarcăm că orice număr complex poate fi scris în forma  $\rho e^{i\Phi}$ . Pentru

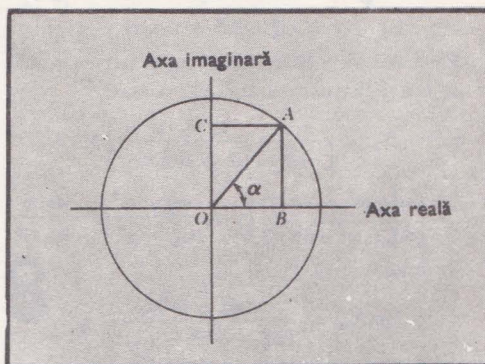


FIG. 7.20. Un număr complex poate fi reprezentat figurind partea reală  $OB$  de-a lungul unei axe și partea imaginară  $OC$  de-a lungul unei axe perpendiculare. În acest caz,  $OA$  reprezintă  $e^{i\alpha}$ ,  $OB = \cos \alpha$ ,  $OC = \sin \alpha$ .  $OA$  este modulul numărului complex.

a găsi  $\rho$  și  $\Phi$  în funcție de partea reală și cea imaginară, scriem:

$$\rho e^{i\Phi} = \rho \cos \Phi + i \rho \sin \Phi = a + ib$$

$$\begin{aligned} \rho e^{i\Phi} \cdot \rho e^{-i\Phi} &= \rho^2 = (a + ib) \cdot (a - ib) = \\ &= a^2 + b^2 \end{aligned} \quad (7.71)$$

$$\text{tg } \Phi = b/a, \quad \Phi = \text{arctg } b/a.$$

Vom da acum, folosind numerele complexe, o soluție foarte concisă a problemei oscilațiilor armonice forțate.

Din relațiile (7.48) și (7.49) ecuația de mișcare se scrie, punind pentru comoditate  $\cos \omega t$  în loc de  $\sin \omega t$ :

$$\ddot{x} + \frac{1}{\tau} \dot{x} + \omega_0^2 x = \alpha_0 \cos \omega t. \quad (7.72)$$

Înlocuim acum termenul care reprezintă forța prin:

$$\alpha_0 e^{i\omega t} \equiv \alpha_0 (\cos \omega t + i \sin \omega t).$$

La sfârșitul calculelor vom considera răspunsul fizic ca fiind partea reală a lui  $x$ , dacă forța externă este  $\alpha_0 \cos \omega t$  (cu  $\alpha_0$  real).

Căutăm o soluție a ecuației (7.72):

$$x = X_0 e^{i\omega t} \quad (7.73)$$

unde  $X_0$  poate fi un număr complex. Prin înlocuirea expresiei (7.73) în ecuația (7.72) avem:

$$(-\omega^2 - \frac{i\omega}{\tau} + \omega_0^2) X_0 e^{i\omega t} = \alpha_0 e^{i\omega t}$$

de unde:

$$X_0 = \frac{\alpha_0}{\omega_0^2 - \omega^2 + i(\omega/\tau)} \quad (7.74)$$

Este util să considerăm separat partea reală și cea imaginară a lui  $X_0$ . Avem:

$$X_0 = \left[ \frac{\alpha_0}{\omega_0^2 - \omega^2 + i(\omega/\tau)} \right] \times \left[ \frac{\omega_0^2 - \omega^2 - i(\omega/\tau)}{\omega_0^2 - \omega^2 - i(\omega/\tau)} \right] = \alpha_0 \frac{\omega_0^2 - \omega^2 - i(\omega/\tau)}{(\omega_0^2 - \omega^2)^2 + (\omega/\tau)^2}$$

de unde:

$$\operatorname{Re}(X_0) = \frac{(\omega_0^2 - \omega^2)\alpha_0}{(\omega_0^2 - \omega^2)^2 + (\omega/\tau)^2};$$

$$\operatorname{Im}(X_0) = \frac{-(\omega/\tau)\alpha_0}{(\omega_0^2 - \omega^2)^2 + (\omega/\tau)^2}.$$

În cazul  $|\omega_0^2 - \omega^2| \gg \omega/\tau$ , avem:

$$\operatorname{Re}(X_0) \approx \frac{\alpha_0}{\omega_0^2 - \omega^2}; \quad \operatorname{Im}(X_0) \approx 0.$$

Această condiție descrie situația *departe de rezonanță* și, în acest caz, partea reală a lui  $X_0$  este mult mai importantă decît partea imaginară.

În limita  $|\omega_0^2 - \omega^2| \ll \omega/\tau$  spunem că sîntem *aproape de rezonanță*, iar pentru  $\omega = \omega_0$  sîntem *la rezonanță* sau în centrul rezonanței. Pentru  $\omega_0 = \omega$ ,

$$\operatorname{Re}(X_0) = 0$$

$$\operatorname{Im}(X_0) = \alpha_0 \frac{\tau}{\omega}.$$

Cu cît  $\tau$  este mai mare, cu atît amortizarea este mai slabă iar partea imaginară a răspunsului la rezonanță este mai mare.

Dacă ne amintim că departe de rezonanță defazajul  $\Phi$  este aproape fie de 0

fie de  $-\pi$ , putem vedea de ce amplitudinea are o parte imaginară foarte mică; în timp ce pentru  $\omega = \omega_0$ ,  $\Phi = -\pi/2$  și elongația este defazată față de forță, partea imaginară a amplitudinii, care este corelată cu amplitudinea vitezei, va fi mare și partea reală a amplitudinii va fi nulă.

Să scriem  $X_0$  sub forma  $\rho e^{i\Phi}$ , ca în relațiile (7.71). Atunci din relațiile (7.71) și (7.74), obținem amplitudinea răspunsului:

$$\rho = (X_0 X_0^*)^{1/2} = \frac{\alpha_0}{[(\omega_0^2 - \omega^2)^2 + (\omega/\tau)^2]^{1/2}}.$$

Aici  $X_0^*$  este conjugatul complex al lui  $X_0$ , astfel că  $X_0 X_0^*$  este real. Defazajul lui  $x$  față de  $F$  este:

$$\operatorname{tg} \Phi = -\frac{\omega/\tau}{\omega_0^2 - \omega^2}.$$

Absorbția medie de putere este dată de

$$\langle P \rangle = \langle F \dot{x} \rangle = \langle \operatorname{Re}(F) \operatorname{Re}(\dot{x}) \rangle = \langle [M\alpha_0 \cos \omega t] [-\rho \omega \sin(\omega t + \Phi)] \rangle. \quad (7.75)$$

Dacă partea reală a lui  $F$  reprezintă forța fizică reală, răspunsul fizic se obține luînd partea reală a lui  $x$ . Există și alte forme valabile pentru media temporală — ceea ce se dovedește a fi important este să luăm partea lui  $x$  care este în fază cu  $F$ . Folosind echivalentul ecuației (7.61) și relația  $\rho \sin \Phi = \operatorname{Im}(X_0)$ , avem din egalitatea (7.75):

$$\begin{aligned} \langle P \rangle &= -M\alpha_0 \rho \omega \langle \cos^2 \omega t \rangle \sin \Phi = \\ &= -\frac{1}{2} M\alpha_0 \omega \operatorname{Im}(X_0) = \\ &= \frac{1}{2} M\alpha_0^2 \frac{\omega^2/\tau}{(\omega_0^2 - \omega^2)^2 + (\omega/\tau)^2}. \end{aligned}$$

Acest rezultat este identic cu rezultatul anterior din ecuația (7.62).

## LECTURI SUPLIMENTARE

*Fizica PSSC* (PSSC, Physics), capitolele 20 (§ 8) și 24 (§ 1), D. C. Heath and Company, Bostón, 1965.

Y. Rocard, *Dinamica generală a vibrațiilor* („General Dynamics of Vibrations”), Frederik Ungar Publishing Co, New York, 1960. O carte simplă și clară, utilă pentru un domeniu larg de aplicații.

B. L. Walsh, *Amplificare parametrică* („Parametric Amplification”), International

*Science and Technology*, nr. 17, p. 75, Mai, 1963. O analiză elementară a amplificatorilor parametrici și a proprietății lor de zgomot scăzut.

Un exemplu de tratare a oscilațiilor armonice libere, forțate și amortizate, într-un text familiar de nivel intermediar, este oferit de John L. Synge și Byron A. Griffith, *Principiile mecanicii* („Principles of Mechanics”), § 6.3, Mc Graw-Hill Book Company, New York, 1959.



## MOMENTUL CINETIC ȘI ENERGIA CINETICĂ

# 8

## Introducere în dinamica corpurilor rigide

### Cuprins

Ecuatia de mișcare

Momentul cinetic și energia cinetică

Momente de inerție

*Teorema axelor paralele*

*Teorema axelor perpendiculare*

*Cîteva cazuri particulare*

**Rotația în jurul unei axe fixe: dependența de timp a mișcării**

Exemplu. Accelerația unghiulară a unui cilindru plin supus momentului unei forțe

*Rostogolirea fără alunecare*

*Momentul forțelor în raport cu centrul de masă*

Exemplu. Cilindru pe un plan accelerat, cu asperități

*Pendulul compus*

**Rotația în jurul unei axe fixe: comportarea vectorului moment cinetic**

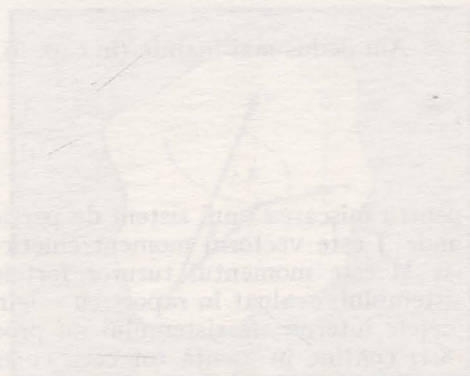
**Momente de inerție: axe principale și ecuațiile lui Euler**

*Cîteva aplicații simple ale ecuațiilor lui Euler*

*Probleme*

*Lecturi suplimentare*

## ECUAȚIA DE MIȘCARE



Dinamica corpurilor rigide este un subiect fascinant și complicat, probabil punctul suprem și cel mai dificil al mecanicii clasice. Prototipul problemelor în acest domeniu îl constituie problema giroscopului sau a titirezului, a cărui comportare subtilă și incitantă a solicitat întotdeauna gândirea. Expunerea completă a descrierii mișcării corpului rigid ajunge la unele aspecte surprinzătoare de simplitate și frumusețe, dar acestea pot să nu apară evidente la nivelul introductiv al tratării, cerut aici. O mare parte a teoriei giroscopului a fost acoperită într-un tratat în patru volume, *Teoria giroscopului* (Theorie des Kreisels), de F. Klein și A. Sommerfeld.

Prin termenul *corp rigid* înțelegem un ansamblu de particule cu distanțe fixe între particule; vom exclude considerarea vibrațiilor sau a deformărilor care însoțesc mișcarea. Mișcarea care ne va preocupa, în principal, va consta din rotația în jurul unei axe care poate să fie fixă sau variabilă în timp. Analiza pe care o vom prezenta are aplicații mergând de la spinul electronului și rotația atomilor și a moleculelor pînă la dispozitive în rotație, giroscopae planete și ghidajul inerțial.

O anumită împărțire a domeniului este inerentă, anume, după cum axa de rotație își menține direcția fixă în spațiul inerțial sau își schimbă direcția odată cu scurgerea timpului. Tratarea mișcării cu axă fixă este evident mai simplă decît cazul mai general, și multe sisteme importante sînt de acest tip. În consecință, o tratare redusă a dinamicii corpului rigid la acest nivel este uneori limitată la cazul axei cu direcție fixă. Vom începe, totuși, studiul nostru cu cazul general; vor rezulta de aici diverse cazuri particulare importante, în care vor fi puse în evidență în mod clar condițiile sau proprietățile specifice ale corpului și ale mișcării sale.

## ECUAȚIA DE MIȘCARE

Am dedus mai înainte (în cap. 6), din legea a doua a lui Newton, relația:

$$\frac{d\mathbf{J}}{dt} = \mathbf{M} \quad (8.1)$$

pentru mișcarea unui sistem de particule într-un sistem de referință inerțial, unde  $\mathbf{J}$  este vectorul moment cinetic în raport cu un punct ales ca origine, iar  $\mathbf{M}$  este momentul tuturor forțelor externe efective asupra particulelor sistemului, evaluat în raport cu originea. După cum am văzut în capitolul 6, forțele interne ale sistemului nu produc nici un moment rezultat. Ecuația (8.1) conține în esență tot ceea ce trebuie să știm despre mișcare. Ea este



*ecuația de mișcare.* Problema este să o aplicăm corect la obiectele și situațiile de interes. În acest scop trebuie să știm să exprimăm momentul cinetic  $\mathbf{J}$  pentru un corp rigid. Va trebui de asemenea să știm să exprimăm energia cinetică asociată cu mișcarea rigidului, ceea ce vom face în cele ce urmează.

## MOMENTUL CINETIC ȘI ENERGIA CINETICĂ

Considerăm un corp rigid care se mișcă astfel încât un punct al său rămîne în mod constant într-o poziție fixă în spațiu. Atunci, la orice moment, mișcarea trebuie să fie o rotație în jurul unei axe care trece prin acest punct. Alegem punctul fix,  $O$  în figura 8.1, ca origine a sistemului nostru de referință și descriem mișcarea printr-un vector viteză unghiulară  $\boldsymbol{\omega}$ , de-a lungul axei instantanee de rotație. În conformitate cu regula generală, vectorul  $\boldsymbol{\omega}$  va avea sensul în care ar înainta de-a lungul axei unui șurub drept, rotit împreună cu corpul, iar lungimea  $\omega$  va fi numeric egală cu mărimea sa în rad/s, exprimată într-o anumită unitate aleasă pentru lungime.

Vectorul viteză instantanee  $\mathbf{v}$  pentru un punct  $P$  al corpului avînd vectorul de poziție  $\mathbf{r}$ , va fi:

$$\mathbf{v} = \boldsymbol{\omega} \times \mathbf{r}, \quad (8.2)$$

după cum putem vedea ușor din figura 8.1 și explicația care o însoțește. Dacă  $P$  este poziția unei particule de masă  $m$ , una dintre particulele constituente ale corpului, ea va contribui cu momentul cinetic  $\mathbf{r} \times m\mathbf{v} = \mathbf{r} \times m(\boldsymbol{\omega} \times \mathbf{r})$ , la momentul cinetic total al corpului.

Putem exprima acum momentul cinetic total ca suma vectorială a contribuțiilor tuturor particulelor sau elementelor de masă din care este compus corpul:

$$\mathbf{J} = \sum \mathbf{r}_i \times m_i(\boldsymbol{\omega} \times \mathbf{r}_i) \quad (8.3)$$

unde  $\mathbf{r}_i$  este vectorul de poziție al elementului de masă  $m_i$ , și sumăm peste toate elementele existente.

Energia cinetică totală a corpului în rotație la momentul considerat este obținută sumînd contribuțiile  $\frac{1}{2}mv^2$  ale tuturor elementelor de masă.

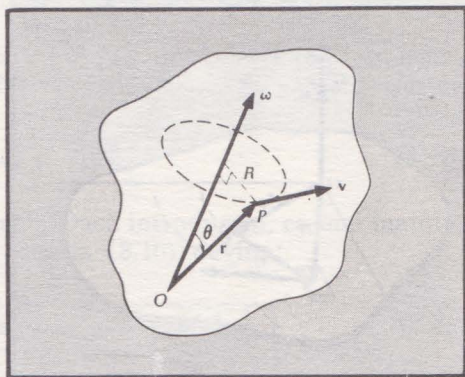


FIG. 8.1. La momentul considerat, rotația corpului face ca  $P$  să descrie un cerc de rază  $R = r \sin \theta$ , într-un plan perpendicular pe  $\boldsymbol{\omega}$ . Mărimea lui  $v$  este  $v = \omega R = \omega r \sin \theta$  și direcția este normală la planul definit de  $\boldsymbol{\omega}$  și  $\mathbf{r}$ . Astfel,  $\mathbf{v} = \boldsymbol{\omega} \times \mathbf{r}$ .

Ne amintim că  $v^2 = \mathbf{v} \cdot \mathbf{v}$ , astfel încât:

$$E_c = \sum \frac{1}{2} m_i (\boldsymbol{\omega} \times \mathbf{r}_i) \cdot (\boldsymbol{\omega} \times \mathbf{r}_i) = \frac{1}{2} \sum m_i |\boldsymbol{\omega} \times \mathbf{r}_i|^2. \quad (8.4)$$

Formulările generale date mai sus pentru ecuația de mișcare, momentul cinetic și energia cinetică vor fi aplicate acum la câteva cazuri particulare importante de rotații ale corpului rigid.

## MOMENTE DE INERȚIE

Considerăm placa subțire, ilustrată în figura 8.2, sau o distribuție plană de masă, situată în planul  $xy$  și rotindu-se în jurul axei  $z$  cu viteza unghiulară  $\omega$ . Vectorul  $\boldsymbol{\omega}$  este luat constant în direcția axei  $z$ . Elementul de masă  $m_i$  se mișcă cu viteza  $\mathbf{v}_i = \boldsymbol{\omega} \times \mathbf{r}_i$ , și în acest caz viteza sa este pur și simplu  $v_i = \omega r_i$ , deoarece  $\boldsymbol{\omega}$  și  $\mathbf{r}_i$  sînt perpendiculari. Energia cinetică a plăcii este atunci:

$$E_c = \frac{1}{2} \sum m_i v_i^2 = \frac{1}{2} (\sum m_i r_i^2) \omega^2 = \frac{1}{2} I_z \omega^2 \quad (8.5)$$

unde am definit mărimea  $I_z$ , numită *momentul de inerție* al plăcii în raport cu axa  $z$ , prin relația:

$$I_z = \sum m_i r_i^2. \quad (8.6)$$

**Teorema axelor paralele.** O clarificare remarcabilă se obține introducînd în imagine centrul de masă, ca în figura 8.2. Înlocuim:

$$\mathbf{r}_i = \mathbf{r}_c + \mathbf{r}'_i$$

și obținem pentru  $I_z$ :

$$\begin{aligned} I_z &= \sum m_i r_i^2 \\ &= \sum m_i \mathbf{r}_i \cdot \mathbf{r}_i \end{aligned}$$

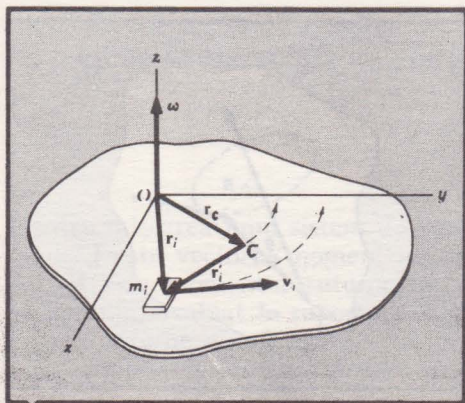


FIG. 8.2. Placa se rotește în planul său propriu (planul  $xy$ ), în jurul lui  $O$ . Fiecare punct descrie câte un cerc în jurul lui  $O$ , cu viteza  $v_i = \omega r_i$ .  $C$  este centrul de masă.



$$\begin{aligned}
&= \sum m_i (\mathbf{r}_c + \mathbf{r}'_i) \cdot (\mathbf{r}_c + \mathbf{r}'_i) \\
&= \sum m_i (r_c^2 + 2\mathbf{r}_c \cdot \mathbf{r}'_i + r_i'^2).
\end{aligned}$$

Dar, deoarece  $\sum m_i = M$  este masa totală a plăcii, avem

$$I_z = Mr_c^2 + 2\mathbf{r}_c \cdot \sum m_i \mathbf{r}'_i + \sum m_i r_i'^2.$$

Observăm acum că termenul din mijloc va fi egal cu zero, deoarece  $\mathbf{r}'_i$  este vectorul de poziție al lui  $m_i$  în raport cu centrul de masă și suma  $\sum m_i \mathbf{r}'_i = 0$ . În plus, ultimul termen este pur și simplu momentul de inerție în raport cu o axă normală care trece prin centrul de masă situat în  $C$ .

Obținem așadar:

$$I_z = I_{cz} + Mr_c^2. \quad (8.7)$$

Acest rezultat, egalitatea (8.7), este *teorema axelor paralele*, dedusă aici pentru sistemul particular al unei distribuții plane de masă, cu o axă normală. Ea se poate demonstra ușor ca o teoremă generală pentru orice distribuție. Exprimată în cuvinte, teorema spune că:

Momentul de inerție în raport cu orice axă este egal cu momentul de inerție în raport cu o axă paralelă ce trece prin centrul de masă, plus masa corpului înmulțită cu pătratul distanței dintre cele două axe. Astfel:

$$I = I_c + Ml^2 \quad (8.8)$$

unde  $l$  este distanța dintre axe.

După cum vom vedea, acesta este un rezultat extrem de util.

Pe baza relației (8.7), expresia (8.5) devine:

$$E_c = \frac{1}{2} I_{cz} \omega^2 + \frac{1}{2} Mr_c^2 \omega^2 \quad (8.9)$$

expresie care poate fi imediat interpretată, spunînd că energia cinetică totală a plăcii în rotație este compusă din energia datorită rotației în jurul centrului său de masă (primul termen), plus energia legată de mișcarea de translație a centrului de masă în raport cu axa de rotație (al doilea termen). Acesta este, de asemenea, un rezultat general, deși l-am demonstrat aici numai pentru cazul unei plăci care se rotește în planul său.

Momentul cinetic al plăcii în rotație se obține din relația (8.3), aplicată în acest caz particular în care  $\boldsymbol{\omega}$  și  $\mathbf{r}_i$  sînt perpendiculari. Se găsește ușor că rezultatul este:

$$\mathbf{J} = \sum m_i r_i^2 \boldsymbol{\omega} = I_z \boldsymbol{\omega}, \quad (8.10)$$

unde intervine din nou momentul de inerție. Dacă introducem, ca mai înainte, centrul de masă, scriînd  $\mathbf{r}_i = \mathbf{r}_c + \mathbf{r}'_i$ , ecuația (8.10) devine:

$$\mathbf{J} = \sum m_i r_i'^2 \boldsymbol{\omega} + Mr_c^2 \boldsymbol{\omega} = I_{cz} \boldsymbol{\omega} + Mr_c^2 \boldsymbol{\omega}. \quad (8.11)$$

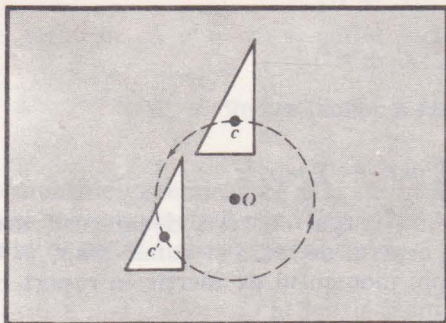


FIG. 8.3. (a). Centrul de masă al unei plăci triunghiulare este traslatat pe un cerc în jurul lui  $O$ , dar nu există rotație. Este prezent doar al doilea termen din relațiile (8.9) și (8.11).

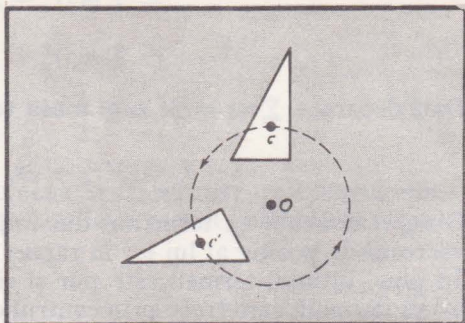


FIG. 8.3. (b). Contribuție ambii termeni din ecuațiile (8.9) și (8.11).

Avem din nou o teoremă, demonstrată în acest caz particular, care poate fi însă demonstrată în general:

Momentul cinetic în raport cu orice punct este egal cu momentul cinetic în raport cu centrul de masă plus momentul cinetic datorat translației centrului de masă în raport cu punctul.

Figura 8.3 ilustrează diferența dintre cei doi termeni prezenți în aceste teoreme.

Aceste teoreme, pe care le-am stabilit pentru o placă sau o distribuție plană de masă, se vor aplica de asemenea unui sistem pe care îl construim suprapunind plăci subțiri identice, pentru a forma un corp rigid cilindric sau prismatic, constrâns să se rotească în jurul unei axe fixe perpendiculară pe planul plăcilor cu condiția să interpretăm  $r_i$  ca distanță de la axa de rotație. Vom da câteva exemple care ilustrează aceste probleme.

**Teorema axelor perpendiculare.** Înainte de a trece la tratarea exemplurilor, vom demonstra o altă teoremă utilă despre momentele de inerție ale obiectelor subțiri de tip placă. Ne putem referi la figura 8.2 care ilustrează o placă în rotație și elementele sale de masă  $m_i$ . Contribuția lui  $m_i$  la momentul de inerție  $I_z$  în raport cu axa  $z$ , este  $m_i r_i^2$ , adică masa particulei înmulțită cu pătratul distanței pînă la axa de rotație. Dacă am considera rotații în jurul axei  $x$ , elementul de masă  $m_i$  ar contribui cu  $m_i y_i^2$  la momentul de inerție în raport cu axa  $x$ ; similar, el ar da  $m_i x_i^2$  în raport cu axa  $y$ . Așadar:

$$I_x = \sum m_i y_i^2$$

$$I_y = \sum m_i x_i^2.$$

Prin adunare obținem:

$$I_x + I_y = \sum m_i (x_i^2 + y_i^2) = \sum m_i r_i^2 = I_z.$$

Acest rezultat demonstrează *teorema axelor perpendiculare*, valabilă pentru corpuri rigide plane, subțiri, teoremă care afirmă că:

Momentul de inerție al unei foi plane rigide în raport cu o axă normală la planul ei este egal cu suma momentelor de inerție în raport cu două axe perpendiculare arbitrare care se află în plan și intersectează axa normală.



## Cîteva cazuri particulare

*Inel subțire sau jantă.* Un inel de masă  $M$ , rază  $R$  și de grosime radială neglijabilă va avea în mod evident toate elementele de masă situate la aceeași distanță  $R$  față de o axă normală trecînd prin centrul său. Momentul de inerție în raport cu această axă este atunci  $I = MR^2$ . Evident, același rezultat se aplică în cazul unui cilindru circular cu pereți subțiri care se rotește în jurul axei sale geometrice. În raport cu o axă paralelă situată la peretele cilindrului, momentul de inerție este  $I = 2MR^2$ , după cum se poate deduce imediat din teorema axelor paralele.

Teorema axelor perpendiculare aplicată în cazul unui inel plan, subțire, ne spune că momentul de inerție în raport cu o axă aflată în planul inelului și trecînd prin centrul său va fi  $\frac{1}{2} MR^2$ .

*Bară subțire uniformă.* Reprezentăm în figura 8.4 o bară de lungime  $L$  și masă  $M$ , a cărei lățime și grosime sînt foarte mici în comparație cu  $L$ , astfel încît bara poate fi tratată ca o masă liniară de densitate uniformă. Considerăm o axă de rotație perpendiculară pe bară la un capăt al său. Un element de lungime  $\Delta x$  va avea masa  $\Delta M = (\Delta x/L)M$ , și va contribui cu  $\Delta I = (\Delta x/L)Mx^2$  la momentul de inerție, dacă el se află la distanța  $x$  față de axă. Considerînd acum  $\Delta x$  ca fiind un element infinitezimal  $dx$ , putem aduna contribuțiile tuturor elementelor, prin integrare. Obținem astfel expresia:

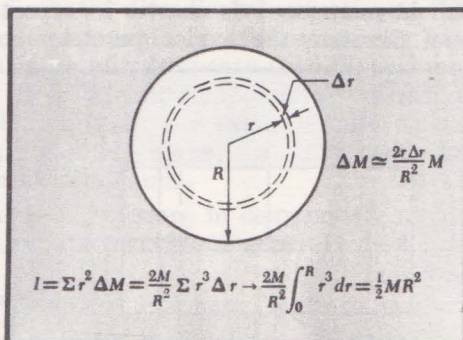
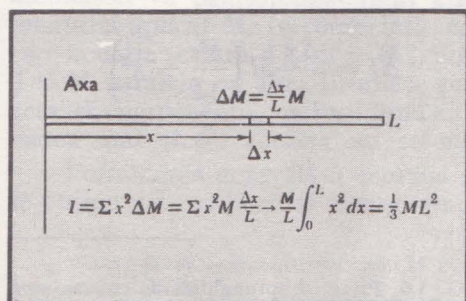
$$I = \frac{M}{L} \int_0^L x^2 dx = \frac{1}{3} ML^2$$

pentru momentul de inerție al unei bare uniforme în raport cu o axă de rotație perpendiculară care trece printr-unul din capetele sale.

Aplicînd teorema axelor paralele obținem momentul de inerție în raport cu o axă perpendiculară pe bară, trecînd prin centrul său. Astfel:

$$I_c = I - M \left( \frac{L}{2} \right)^2 = \frac{1}{12} ML^2. \quad (8.12)$$

FIG. 8.4. Bară subțire, cu axa la un capăt. FIG. 8.5. Disc cu axa trecînd prin centru și fiind perpendiculară pe planul discului



*Disc circular.* După cum este ilustrat în figura 8.5, un element inelar de grosime  $\Delta r$  situat la distanța  $r$  față de centru va avea masa:

$$\Delta M = \frac{\pi(r + \Delta r)^2 - \pi r^2}{\pi R^2} M \approx \frac{2r \Delta r}{R^2} M,$$

unde am neglijat în aproximația finală termenul mic proporțional cu  $(\Delta r)^2$ . Contribuția acestui element inelar la momentul de inerție în raport cu o axă normală care trece prin centrul discului, va fi:

$$\Delta I = r^2 \Delta M \approx \frac{2M}{R^2} r^3 \Delta r.$$

Prin evaluarea integralei care sumează toate contribuțiile elementelor inelare, obținem:

$$I = \frac{2M}{R^2} \int_0^R r^3 dr = \frac{1}{2} MR^2. \quad (8.13)$$

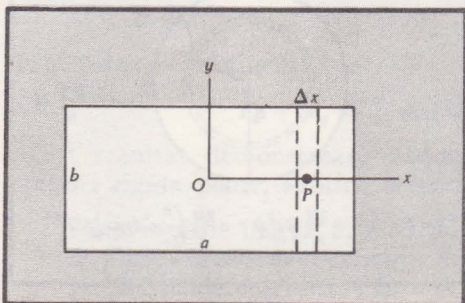
Deoarece un cilindru plin de densitate uniformă poate fi privit ca o suprapunere de discuri, este evident că momentul de inerție al unui cilindru circular plin în raport cu axa sa este  $I = \frac{1}{2} MR^2$ .

Revenind la discul subțire, obținem prin teorema axelor perpendiculare că momentul de inerție în raport cu o axă diametrală din planul său este:

$$I = \frac{1}{4} MR^2. \quad (8.14)$$

*Placă dreptunghiulară.* Reprezentăm în figura 8.6 o placă de lungime  $a$  și lățime  $b$  și vrem să calculăm momentul de inerție în raport cu axa  $z$  normală la placă în centrul său de masă. Ne putem imagina că placa este compusă din fișii înguste, dintre care una este ilustrată, având lățimea  $\Delta x$  și distanța  $x$  față de centru; pentru a obține momentul de inerție total în raport cu  $O$ , sumăm contribuțiile acestor fișii, tratând-o pe fiecare ca pe o bară subțire.

Fișia ilustrată va avea o masă  $(\Delta x/a)M$  și un moment de inerție egal cu  $\frac{1}{12} (\Delta x/a) Mb^2$  în raport cu o axă normală prin centrul său propriu  $P$ , după cum am arătat mai sus în cazul 2, relația (8.12). Contribuția acestei fișii la momentul de inerție în raport cu axa normală prin  $O$  este obținută apoi din teorema axelor paralele, ecuația (8.8), sub forma:



$$\Delta I = \frac{\Delta x}{a} M \left( \frac{b^2}{12} + x^2 \right).$$

FIG. 8.6. Placă dreptunghiulară cu axa normală prin centru.



Sumăm acum toate aceste contribuții prin integrare și obținem:

$$I = \frac{M}{a} \int_{-a/2}^{a/2} \left( \frac{b^2}{12} + x^2 \right) dx = \frac{M}{12} (a^2 + b^2). \quad (8.15)$$

Deoarece acest calcul se referă la rotația în jurul axei  $z$ , putem numi acest rezultat  $I_z$ . Se vede ușor [folosind din nou ecuația (8.12)] că valorile lui  $I_x$  și  $I_y$  sînt:

$$I_x = \frac{M}{12} b^2 \quad \text{și} \quad I_y = \frac{M}{12} a^2.$$

Teorema axelor perpendiculare  $I_z = I_x + I_y$  este evident satisfăcută.

Aceste cazuri ilustrează modul de a calcula momente de inerție. Alte cazuri apar în probleme; printre acestea se află cazul unei sfere pline omogene, cu axa trecînd prin centru. Rezultatul este:

$$I = \frac{2}{5} MR^2. \quad (8.16)$$

Multe obiecte pot fi tratate prin superpoziție, adică prin adunarea sau scăderea momentelor de inerție ale unor forme simple. De exemplu, valoarea pentru un cilindru cu pereți groși, gol în interior se obține luînd diferența între momentele de inerție a doi cilindri plini de raze corespunzătoare.

## ROTAȚII ÎN JURUL UNEI AXE FIXE: DEPENDENȚA DE TIMP A MIȘCĂRII

Putem aplica acum ecuația de mișcare (8.1)  $d\mathbf{J}/dt = \mathbf{M}$  la probleme tratînd rotația corpurilor rigide în jurul unor axe fixe, cu scopul de a afla dependența de timp a rotației care are loc ca răspuns la acțiunea unui moment aplicat.

Întrucît direcția axei de rotație este constrînsă să rămînă fixă în spațiu, și de asemenea fixă în raport cu corpul, proprietățile inerțiale ale corpului vor fi constante în raport cu axa. În deducerea mișcării vom avea nevoie să ne ocupăm de componenta momentului cinetic de-a lungul acestei axe. De asemenea, va trebui considerată numai componenta corespunzătoare a momentului aplicat  $\mathbf{M}$ . În consecință, ecuația de mișcare poate fi tratată simplu ca o ecuație scalară  $dJ_a/dt = \mathcal{M}_a^*$ , unde  $J_a$  și  $\mathcal{M}_a$  sînt componentele vectorilor  $\mathbf{J}$  și  $\mathbf{M}$  paralele cu axa. În multe probleme importante există oricum numai această componentă, vectorii fiind ei înșiși paraleli cu axa, dar, după cum vom vedea mai tîrziu aceasta nu se întîmplă totdeauna.

Formularea generală a ecuației scalare de mișcare în componente axiale se obține ușor proiectînd pur și simplu ecuația vectorială generală de-a lun-

\* Am notat componentele lui  $\mathbf{M}$  cu  $\mathcal{M}$  pentru a le distinge de  $M$  cu care am notat masa. (N.T.)

gul direcției axei. Această direcție este desemnată prin vectorul unitate  $\omega/\omega$ . Așadar, componenta paralelă cu axa a momentului cinetic este dată de:

$$J_a = \mathbf{J} \frac{\omega}{\omega} = \frac{1}{\omega} \left[ \sum_i \mathbf{r}_i \times m_i (\omega \times \mathbf{r}_i) \right] \cdot \omega$$

unde am folosit relația (8.3).

Ultima expresie poate fi simplificată după cum urmează:

$$\frac{1}{\omega} \sum_i [m_i \mathbf{r}_i \times (\omega \times \mathbf{r}_i)] \cdot \omega = \frac{1}{\omega} \sum_i m_i |\omega \times \mathbf{r}_i|^2 = \frac{1}{\omega} \sum_i m_i (\omega r_i \sin \theta_i)^2,$$

unde la primul pas am folosit ecuația (2.56) și faptul că:

$$r_i^2 \omega^2 - (\mathbf{r}_i \cdot \omega)^2 = r_i^2 \omega^2 - r_i^2 \omega^2 \cos^2 \theta_i.$$

Astfel:

$$J_a = \sum_i m_i R_i^2 \omega$$

unde, ca în figura 8.1,  $R_i = r_i \sin \theta_i$  este distanța particulei  $i$  față de axa de rotație.

Ca și în cazul ecuației (8.5) introducem momentul de inerție al corpului, în raport cu axa de rotație:

$$I_a = \sum_i m_i R_i^2.$$

Expresia pentru  $J_a$  s-a redus astfel la:

$$J_a = I_a \omega. \quad (8.17)$$

Asemănător, componenta paralelă cu axa a momentului forței se obține din:

$$\mathfrak{M}_a = \mathbf{M} \cdot \frac{\omega}{\omega}.$$

Astfel, ecuația de mișcare în componente axiale devine:

$$\boxed{I_a \frac{d\omega}{dt} = \mathfrak{M}_a.} \quad (8.18)$$

În situațiile în care nu există ambiguități indicii sînt omiși.

Pe baza unor astfel de considerații, este evident că energia cinetică la rotație în jurul unei axe fixe este:

$$\boxed{E_{ca} = \frac{1}{2} I_a \omega^2.} \quad (8.19)$$

Relațiile (8.17) și (8.19) corespund, respectiv ecuațiilor (8.10) și (8.5) pentru o placă rotindu-se în jurul axei fixe  $z$ , dar ele se aplică unui corp de orice formă care se rotește în jurul unei axe fixe arbitrare.



## EXEMPLU

**Accelerația unghiulară a unui cilindru plin supus acțiunii momentului unei forțe.** Un exemplu simplu, tipic, este oferit de un cilindru plin, care se poate roti în jurul unei axe fixe care coincide cu axa sa geometrică sub acțiunea momentului unei forțe. Reprezentăm un astfel de caz în figura 8.7, unde axa de rotație este orizontală și momentul este produs de un corp atârnat de un fir înfășurat în jurul cilindrului.

Momentul de inerție al cilindrului este, din relația (8.13),  $I = \frac{1}{2} MR^2$ . Momentul cinetic, la un moment în care viteza unghiulară este  $\omega$ , va fi  $J = I\omega = \frac{1}{2} MR^2\omega$ . Momentul este batorat tensiunii din fir  $T$  și este deci  $\mathcal{M} = TR = (mg - ma)R$ , unde  $a$  este accelerația în mișcarea de coborire a masei  $m$ . Atunci, din ecuația (8.18), ecuația de mișcare se scrie sub forma:

$$\frac{MR^2}{2} \cdot \frac{d\omega}{dt} = m(g - a)R. \quad (8.20)$$

Geometria sistemului impune ca:

$$R\omega = v, \quad R \frac{d\omega}{dt} = a,$$

și aceste relații, împreună cu (8.20), dau pentru accelerația unghiulară a cilindrului:

$$a = \frac{d\omega}{dt} = \frac{m}{M/2 + m} \cdot \frac{g}{R},$$

**Rostogolire fără alunecare.** Considerăm acum, ca în figura 8.8, rostogolirea în jos de-a lungul unui plan înclinat a unui obiect cu suprafața exterioară circulară și o distribuție de masă simetrică în jurul centrului său. (Obiectul ar putea fi un cilindru plin, un cilindru gol, o sferă etc.). Vom găsi accelerația de translație a mișcării pe planul înclinat în trei moduri diferite, ilustrând în acest fel compatibilitatea diferitelor puncte de vedere în tratarea problemei.

FIG. 8.7. Cilindrul se rotește liber în jurul unei axe orizontale trecând prin  $O$ . El este supus momentului  $TR$  produs de tensiunea din firul de care este legat corpul de masă  $m$ .

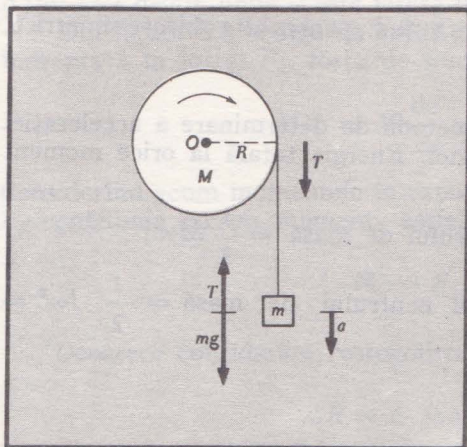
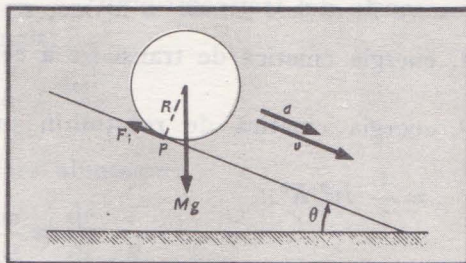


FIG. 8.8. Caracterul mișcării unui corp care se rostogolește este o rotație în jurul punctului instantaneu de contact  $P$ .



*Rotație în jurul unui punct de contact instantaneu.* În orice moment, mișcarea constă din rotația în jurul lui  $P$ , punctul de contact cu planul înclinat. Direcția axei de rotație este constantă, deși poziția sa coboară pe plan. Accelerația mișcării obiectului care se rostogolește se calculează observând că, *instantaneu*, mișcarea este pur și simplu o rotație în jurul unui punct de pe suprafața obiectului. Vom cere așadar ca momentul forței în raport cu  $P$  să fie egal cu viteza de variație a momentului cinetic în raport cu  $P$  (vezi fig. 8.8).

Dacă  $I$  reprezintă momentul de inerție al obiectului în raport cu o axă trecând prin centru, paralelă cu axa de rotație prin  $P$ , atunci putem evalua momentul de inerție necesar, în raport cu  $P$ , folosind teorema axelor paralele [ecuația (8.7)]:

$$I_p = I + MR^2.$$

Viteza unghiulară a rotației instantanee în jurul lui  $P$  este  $\omega = v/r$ , unde  $v$  este viteza instantanee de translație a centrului. Astfel momentul cinetic în raport cu  $P$  la orice moment este:

$$J_p = (I + MR^2) \frac{v}{R}. \quad (8.21)$$

Momentul în raport cu  $P$  este produs de forța gravitațională efectivă în centrul de masă. Astfel:

$$\mathcal{M}_p = MgR \sin \theta. \quad (8.22)$$

Cu relațiile (8.21) și (8.22) ecuația de mișcare  $\mathcal{M} = dJ/dt$  se scrie sub forma:

$$MgR \sin \theta = (I + MR^2) \frac{a}{R},$$

unde am înlocuit  $dv/dt$  prin accelerația  $a$ .

Accelerația de translație pentru rostogolirea în jos pe planul înclinat este atunci:

$$a = \frac{1}{1 + I/MR^2} g \sin \theta. \quad (8.23)$$

Pentru un cilindru plin  $I = \frac{1}{2} MR^2$ , astfel încît  $a = \frac{2}{3} g \sin \theta$ . Pentru o sferă

plină  $I = \frac{2}{5} MR^2$ ; astfel  $a = \frac{5}{7} g \sin \theta$  ș.a.m.d., pentru alte obiecte simetrice.

Alte cazuri sînt date în problema 6.

*Conservarea energiei.* Ca o a doua metodă de determinare a accelerației de translație, folosim conservarea energiei. Energia totală la orice moment va consta din trei contribuții:

1. energia cinetică de translație a centrului de masă  $= \frac{1}{2} Mv^2$ ;
2. energia cinetică de rotație în jurul centrului de masă  $= \frac{1}{2} I\omega^2 =$   
 $= \frac{1}{2} Iv^2/R^2$ ;



3. energia potențială datorită poziției centrului de masă  $= Mgh$ ,

unde  $h$  este înălțimea în raport cu un nivel ales în care energiei potențiale i s-a atribuit valoarea zero.

Cu o foarte bună aproximație, energia totală se conservă. Frecarea în punctul de contact produce rostogolirea în loc de alunecare, dar această forță de frecare nu consumă lucru mecanic și nu interzice conservarea energiei totale

$$E = \frac{1}{2} \left( M + \frac{I}{R^2} \right) v^2 + Mgh.$$

Deoarece  $E$  este constantă, derivata sa temporală este egală cu zero:

$$\frac{dE}{dt} = \left( M + \frac{I}{R^2} \right) v \frac{dv}{dt} + Mg \frac{dh}{dt} = 0.$$

Dar  $dh/dt = -v \sin \theta$  și  $dv/dt = a$ , astfel încât această relație devine:

$$\left( M + \frac{I}{R^2} \right) va - Mg v \sin \theta = 0.$$

Împărțim prin factorul comun  $v$  și rezolvăm ecuația în funcție de  $a$  pentru a obține:

$$a = \frac{1}{1 + I/MR^2} g \sin \theta$$

în concordanță cu rezultatul (8.23).

*Accelerația centrului de masă și accelerația unghiulară în raport cu centrul de masă.* În cea de a treia metodă considerăm accelerația centrului de masă și accelerația unghiulară în raport cu centrul de masă:

$$Ma_c = \Sigma F$$

$$I \frac{d\omega}{dt} = \Sigma \mathcal{M}_c$$

unde  $a_c$  este accelerația centrului de masă iar  $\Sigma F$  include toate forțele externe. A doua ecuație presupune că direcția axei de rotație este fixă astfel încât  $dJ/dt = I d\omega/dt$ , unde  $\omega$  este viteza unghiulară în raport cu centrul de masă.

Din figura 8.8 vedem că există două forțe paralele cu planul:  $Mg \sin \theta$  îndreptată în jos și  $F_f$ , forța de frecare, îndreptată în sus. Astfel:

$$Ma_c = M \frac{dv}{dt} = Mg \sin \theta - F_f.$$

Considerînd acum momentele în raport cu centrul de masă, vedem că numai  $F_f$  contribuie cu un moment, astfel încît:

$$\mathcal{M}_c = F_f R = I \frac{d\omega}{dt}.$$

Deoarece considerăm rostogolirea fără alunecare:

$$\omega R = v \text{ sau } \frac{d\omega}{dt} = \frac{dv}{dt} \cdot \frac{1}{R}$$

și astfel, din combinarea ultimelor trei relații rezultă că

$$M \frac{dv}{dt} = Mg \sin \theta - \frac{I}{R^2} \frac{dv}{dt}$$

și

$$\frac{dv}{dt} = a_c = \frac{Mg \sin \theta}{M + I/R^2} = \frac{1}{1 + I/MR^2} g \sin \theta,$$

care coincide din nou cu ecuația (8.23) deoarece accelerația  $a_c$  este egală cu accelerația  $a$  găsită în acea relație.

Această analiză arată clar care este forța care micșorează accelerația. Ea poate fi utilizată, de asemenea, împreună cu definiția coeficientului de frecare pentru a determina care este, pentru un coeficient de frecare și un  $I$  dat, unghiul necesar pentru a face corpul să alunece și să se rostogolească în loc de a se rostogoli fără alunecare (vezi probl. 19 de la sfârșitul capitolului).

**Momentele forțelor în raport cu centrul de masă.** În analiza generală de pînă acum nu am precizat în raport cu ce punct trebuie să calculăm momentul cinetic și momentele forțelor. În exemplul anterior, referitor la obiectul care se rostogolește, am tratat într-adevăr problema din cîteva puncte de vedere alternative, folosind două centre de rotație diferite. Dar este necesară o anumită prudență în alegerea centrului de rotație în raport cu care se evaluează momentele forțelor și se calculează mișcarea. Bineînțeles că trebuie să folosim un punct fix într-un sistem inerțial. În capitolul 6 am dedus, de asemenea, relațiile:

$$\Sigma \mathbf{F}_{ext} = M \mathbf{a}_{c.m.}$$

$$\Sigma \mathbf{r}_i \times \mathbf{F}_{ext} = \frac{d\mathbf{J}_{c.m.}}{dt} = \Sigma \mathbf{M}$$

unde momentele sînt luate în raport cu centrul de masă. Aceste două puncte, punctul fix și centrul de masă, pot fi folosite *întotdeauna*. Altele, în special punctele accelerate, se pot folosi numai cu o deosebită grijă și uneori trebuie introdusă o „forță fictivă”. Exemplul următor ca și problema 18, ilustrează acest fapt.

## EXEMPLU

**Cilindru pe un plan accelerat, cu asperități.** Figura 8.9 reprezintă un cilindru aflat în repaus pe un plan orizontal cu asperități care este tras de sub el cu accelerația  $a$  perpendiculară pe axa cilindrului. Care este mișcarea cilindrului, presupunînd că el nu alunecă?

Singura forță orizontală aplicată asupra cilindrului este frecarea în punctul  $P$ . Să luăm așadar momentele în raport cu  $P$ . Forța gravitațională și reacțiunea suprafeței trec prin punctul  $P$ , ca și forța de frecare, astfel încît momentul în raport cu  $P$  este egal cu zero. Avem așadar:

$$\frac{dJ_P}{dt} = 0, \quad I_P \omega = \text{const} = (MR^2 + I_c) \omega.$$



Recunoaștem acest rezultat ca fiind în mod evident fals; cu siguranță mișcarea nu se face cu  $\omega$  constant. Să luăm atunci punctul  $O$ , centrul de masă, pentru a evalua momentele forțelor și momentul cinetic:

$$M \frac{dv_c}{dt} = F_f$$

$$F_f R = I_c \frac{d\omega}{dt} = \frac{1}{2} M R^2 \cdot \frac{d\omega}{dt}.$$

Deoarece are loc o rostogolare fără alunecare, accelerația punctului de contact este:

$$\frac{dv_c}{dt} + R \frac{d\omega}{dt} = a$$

astfel încît, folosind

$$M \frac{dv_c}{dt} = \frac{1}{2} M R \frac{d\omega}{dt}$$

obținem:

$$\frac{3}{2} R \frac{d\omega}{dt} = a$$

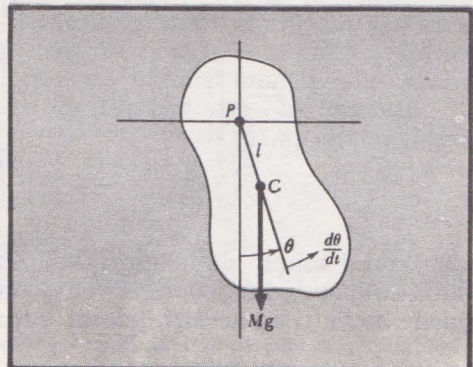
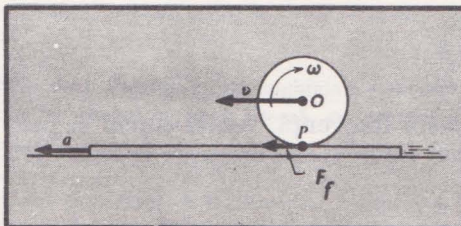
și în definitiv:

$$\frac{dv_c}{dt} = \frac{a}{3} \text{ și } F_f = M \frac{a}{3}.$$

**Pendulul compus.** Pendulul simplu, pe care l-am tratat în capitolul 7, constă dintr-un punct material suspendat de un fir fără masă, oscilînd într-un plan. Pendulul compus este un corp rigid, avînd o distribuție de masă, liber să se rotească și să oscileze în jurul unei axe orizontale fixe, plasată rigid în raport cu corpul și care nu trece prin centrul său de masă. Un astfel de obiect este arătat în figura 8.10, la un moment al mișcării în care un plan de referință, definit de axa care trece prin  $P$  și centrul de masă  $C$ , face un unghi  $\theta$  cu verticala și oscilează cu  $d\theta/dt$  pozitiv.

FIG. 8.10. Pendulul compus:  $C$  este centrul de masă; axa de rotație este orizontală și trece prin  $P$ .

FIG. 8.9. Cilindru care este accelerat cînd suprafeței cu asperități pe care el se află i se imprimă o accelerație.



Deoarece mișcarea este constrinsă a fi o rotație oscilatorie în jurul axei fixe, putem studia dependența de timp a lui  $\theta$  considerând componenta momentului cinetic paralelă cu axa și componentele corespunzătoare ale tuturor momentelor aplicate corpului.

Din teorema axelor paralele [relația (8.8)] este evident că momentul de inerție raportat la axă de rotație este:

$$I = I_c + Ml^2,$$

unde  $l$  este distanța  $PC$ . Momentul cinetic în raport cu axa la momentul ales este atunci:

$$J = I\omega = (I_c + Ml^2) \frac{d\theta}{dt}. \quad (8.24)$$

Momentul în raport cu  $P$  este produs de către forța de gravitație  $Mg$ , aplicată în centrul de masă (după cum s-a arătat în cap. 6, pagina 211). Acest moment în raport cu axa este:

$$\mathfrak{M} = -Mgl \sin \theta, \quad (8.25)$$

unde a fost pus semnul minus deoarece momentul acționează în sensul negativ al unghiului  $\theta$ . Ținând seama de relațiile (8.24) și (8.25) ecuația de mișcare  $dJ/dt = \mathfrak{M}$  este atunci:

$$(I_c + Ml^2)\ddot{\theta} + Mgl \sin \theta = 0.$$

Limităm acum analiza noastră la micile oscilații și luăm aproximația obișnuită pentru unghiuri mici,  $\sin \theta \approx \theta$ ; rearanjăm de asemenea termenii și factorii pentru a obține:

$$\ddot{\theta} + \frac{g}{l} \left( \frac{1}{1 + I_c/Ml^2} \right) \theta = 0.$$

Această ecuație este desigur ecuația diferențială pentru mișcarea armonică simplă; și, dacă factorul din paranteză ar fi egal cu unitatea am avea ecuația pentru pendulul simplu de lungime  $l$ . Acest factor cuprinde efectul distribuției de masă a corpului rigid, dând o frecvență:

$$\omega = \sqrt{\frac{g}{l} \left( \frac{1}{1 + I_c/Ml^2} \right)} \quad (8.26)$$

Pot fi discutate multe aplicații interesante și practice ale acestor rezultate; câteva sînt prezentate în problemele de la sfîrșitul capitolului. Vom ilustra aici numai un exemplu, un caz foarte simplu. Considerăm un cerc sau o jantă circulară subțire de masă  $M$  și rază  $r$ , suspendată de un punct fix ca de pildă un mic cui în perete. Care va fi frecvența micilor sale oscilații și care este lungimea unui pendul simplu care are aceeași frecvență?

Parametrul  $l$  este aici egal cu  $r$ , iar valoarea lui  $I_c$  este  $Mr^2$ . În consecință, relația (8.26) dă:

$$\omega = \sqrt{\frac{g}{2r}}.$$

Un pendul simplu de lungime  $2r$  are această frecvență. Astfel cercul și pendulul simplu de lungime egală cu diametrul cercului se vor mișca în fază dacă micile oscilații au același defazaj inițial.



## ROTAȚIA ÎN JURUL UNEI AXE FIXE: COMPORTAREA VECTORULUI MOMENT CINETIC

În paragraful precedent ne-am concentrat atenția asupra *dependenței de timp a rotației* în jurul unei axe a cărei direcție a fost fixă în spațiu și fixă în raport cu corpul rigid. În acest scop a fost nevoie să tratăm doar componenta lui  $\mathbf{J}$  de-a lungul axei, ca și componenta corespunzătoare a momentului aplicat,  $M$ . Ecuația de mișcare a fost pur și simplu relația scalară  $dJ_a/dt = \mathcal{M}_a$ , între aceste componente. Trebuie acum să admitem că vectorul moment cinetic  $\mathbf{J}$  nu este în general paralel cu axa de rotație, în afară de cazul în care aceasta este legată într-un mod particular de proprietățile de simetrie ale corpului rigid. Când  $\mathbf{J}$  nu coincide cu axa, derivata sa temporală  $d\mathbf{J}/dt$  poate să implice modificarea direcției lui  $\mathbf{J}$ , ca și variația mărimii sale. Deoarece rotația în jurul unei axe fixe implică o mișcare circulară a tuturor caracteristicilor corpului, anticipăm faptul că direcția variabilă a lui  $\mathbf{J}$  va fi de natura unei rotații a vectorului  $\mathbf{J}$  în jurul axei fixe.

Cea mai simplă ilustrare a acestei probleme generale este oferită de un corp rigid constând din două corpuri cu mase punctiforme egale unite printr-o tijă fără masă, în rotație în jurul unei axe fixe care trece prin centrul de masă și face un unghi  $\theta$  cu tija. Descriem acest sistem în figura 8.11 la un moment de timp când tija coincide cu planul  $xy$ . Tija are lungime  $2a$ , iar viteza sa unghiulară, reprezentată prin  $\omega$  este fixă de-a lungul axei  $x^1$ . Din definiția generală [relația (8.3)] momentul cinetic este:

$$\mathbf{J} = \mathbf{r}_1 \times m(\omega \times \mathbf{r}_1) + \mathbf{r}_2 \times m(\omega \times \mathbf{r}_2).$$

Notăm particula din primul cadran prin 1, astfel încît:

$$\mathbf{r}_1 = a \cos \theta \hat{\mathbf{x}} + a \sin \theta \hat{\mathbf{y}}$$

$$\mathbf{r}_2 = -a \cos \theta \hat{\mathbf{x}} - a \sin \theta \hat{\mathbf{y}} \quad (8.27)$$

$$\omega = \omega \hat{\mathbf{x}}.$$

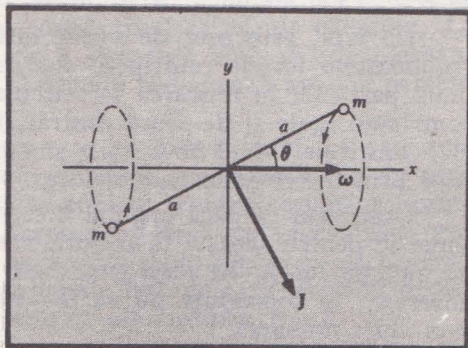


FIG. 8.11. Vectorii viteză unghiulară și moment cinetic, pentru o bară ușoară cu corpuri la capete.

<sup>1</sup> Observați că în acest caz vectorul  $\omega$  este de-a lungul axei  $x$ , pe cînd la pagina 266 el a fost de-a lungul axei  $z$ .

Expresia pentru  $J$  devine atunci:

$$J = 2 m \omega a^2 \sin \theta (\hat{x} \sin \theta - \hat{y} \cos \theta). \quad (8.28)$$

Acest vector este perpendicular pe tijă, cu sensul arătat în figură. El se rotește în jurul axei  $x$ , păstrând în permanență aceeași relație cu tija și cu axa de rotație.

Întrucît  $J$  se rotește în acest fel, derivata temporală  $dJ/dt$  nu este zero. De fapt, în acest caz putem scrie:

$$\boxed{\frac{dJ}{dt} = \omega \times J} \quad (8.29)$$

din același motiv pentru care am scris în ecuația (8.2)

$$v = \frac{dr}{dt} = \omega \times r$$

în legătură cu figura 8.1. Din relațiile (8.27) și (8.28) produsul vectorial din ecuația (8.29) dă:

$$\frac{dJ}{dt} = -2 m \omega^2 a^2 \sin \theta \cos \theta \hat{z}$$

unde sensul lui  $\hat{z}$  este astfel încît iese din planul figurii.

Dar, dacă  $dJ/dt$  este diferit de zero, ecuația generală de mișcare (8.1) implică faptul că trebuie să existe un moment al forței, care să dea naștere variației vectorului moment cinetic.

Deci:

$$M = \frac{dJ}{dt} = -2 m \omega^2 a^2 \sin \theta \cos \theta \hat{z}. \quad (8.30)$$

Acest vector moment (care nu este arătat în fig. 8.11) se rotește de asemenea, odată cu tija, așa cum face și  $J$ . Momentul de rotație trebuie să fie produs de suportii (ne indicați în figură) care susțin tija și o constring să se rotească cu un unghi  $\theta$  în jurul axei  $x$ .

De fapt, este ușor de văzut rațiunea existenței acestui moment, dacă recunoaștem forțele centripete  $m \omega^2 a \sin \theta$  necesare pentru a menține cele două particule în mișcarea lor circulară în jurul axei  $x$ . Aceste două forțe centripete egale și de semn contrar, înmulțite cu distanța  $2 a \cos \theta$  dintre ele, constituie cuplul  $M$ . Forțele sînt transmise particulelor din partea suporturilor prin intermediul tijei rigide.

Observăm că dacă unghiul  $\theta$  este  $90^\circ$ , atunci  $\omega$  este de-a lungul axei de simetrie pentru această distribuție simplă de masă, și direcția lui  $J$  coincide cu direcția lui  $\omega$ . În acest caz, dacă  $\omega$  va fi constant,  $J$  va fi de asemenea constant; în consecință nu va fi necesar nici un moment de rotație pentru a produce mișcarea.

O înțelegere calitativă clară a acestor noțiuni este adesea însoțită construind un model real al unui sistem ca cel de mai sus și efectuînd rotații cu el.



## MOMENTE DE INERȚIE: AXE PRINCIPALE ȘI ECUAȚIILE LUI EULER<sup>1</sup>

De la această ilustrare simplă a unei situații în care direcția lui  $\mathbf{J}$  variază, ne întoarcem la definiția generală (8.3) a momentului cinetic al unui corp rigid:

$$\mathbf{J} = \sum_i \mathbf{r}_i \times m_i (\boldsymbol{\omega} \times \mathbf{r}_i)$$

și dezvoltăm expresia lui  $\mathbf{J}$  folosind expresiile generale ale lui  $\mathbf{r}_i$  și  $\boldsymbol{\omega}$

$$\mathbf{r}_i = x_i \hat{\mathbf{x}} + y_i \hat{\mathbf{y}} + z_i \hat{\mathbf{z}}$$

$$\boldsymbol{\omega} = \omega_x \hat{\mathbf{x}} + \omega_y \hat{\mathbf{y}} + \omega_z \hat{\mathbf{z}},$$

unde axele  $x, y, z$  sînt considerate fixe în raport cu corpul rigid.

Această operație dă pentru componentele  $x, y$  și  $z$  ale lui  $\mathbf{J}$  rezultatele:

$$J_x = \sum_i m_i (y_i^2 + z_i^2) \omega_x - \sum_i m_i x_i y_i \omega_y - \sum_i m_i x_i z_i \omega_z$$

$$J_y = - \sum_i m_i y_i x_i \omega_x + \sum_i m_i (z_i^2 + x_i^2) \omega_y - \sum_i m_i y_i z_i \omega_z \quad (8.31)$$

$$J_z = - \sum_i m_i z_i x_i \omega_x - \sum_i m_i z_i y_i \omega_y + \sum_i m_i (x_i^2 + y_i^2) \omega_z.$$

Pentru eleganță și simplitate rescriem (8.31) sub forma:

$$J_x = I_{xx} \omega_x + I_{xy} \omega_y + I_{xz} \omega_z$$

$$J_y = I_{yx} \omega_x + I_{yy} \omega_y + I_{yz} \omega_z \quad (8.32)$$

$$J_z = I_{zx} \omega_x + I_{zy} \omega_y + I_{zz} \omega_z$$

unde mărimile  $I_{xx}$  etc., sînt definite comparînd termenii corespunzători din (8.31) și (8.32).

Examinarea coeficienților  $I$  arată că termenii diagonali sînt pur și simplu momentele de inerție în raport cu axele respective; astfel, de exemplu,  $I_{zz}$  este momentul de inerție în raport cu axa  $z$ , deoarece  $x_i^2 + y_i^2$  este pătratul distanței de la particula  $i$  pînă la axa  $z$ . Termenii nediagonali apar în perechi simetrice, de exemplu  $I_{yx} = I_{xy}$ .

Subliniem faptul remarcabil care nu este imediat evident, că este totdeauna posibil să stabilim un sistem de coordonate fix în raport cu un corp rigid, astfel încît termenii nediagonali să se anuleze. Pentru corpuri cu forme de simetrie evidente (cilindri și prisme dreptunghiulare) acest lucru este ușor de văzut, dar el este adevărat pentru orice corp rigid și pentru orice punct al corpului ales ca origine. Axele de coordonate față de care termenii nediagonali se anulează se numesc *axele principale* ale corpului rigid.

<sup>1</sup> Într-un curs introductiv, materialul expus începînd de aici și pînă la relația (8.42) poate fi omis.



Am putea să exprimăm componentele momentului cinetic și energia cinetică în raport cu axele principale, pentru a realiza astfel această simplitate dorită; dar trebuie să recunoaștem că axele principale sînt fixe în raport cu corpul și din acest motiv ele nu constituie în general un sistem de referință inerțial. De fapt, ele se rotesc împreună cu corpul sau cel puțin ele mențin în raport cu acesta o asemenea relație încît proprietățile inerțiale ale corpului sînt constante cînd se referă la aceste axe.

Să presupunem că determinăm un sistem de axe principale care se rotește împreună cu corpul și că exprimăm vectorul viteză unghiulară sub forma:

$$\omega = \omega_x \hat{x} + \omega_y \hat{y} + \omega_z \hat{z},$$

unde vectorii de coordonate de mărime egală cu unitatea sînt de-a lungul axelor principale, iar valorile componentelor lui  $\omega$  sînt raportate la aceste axe. În funcție de componentele pe aceste axe, vectorul moment cinetic va fi scris, simplu ca:

$$\mathbf{J} = I_{xx} \omega_x \hat{x} + I_{yy} \omega_y \hat{y} + I_{zz} \omega_z \hat{z},$$

deoarece toți termenii nediagonali referitori la aceste axe sînt nuli. Nu mai este necesar de acum înainte să purtăm indicii dubli asupra coeficienților de inerție, întrucît rămîn numai momentele de inerție în raport cu cele trei axe principale. Scriem așadar  $I_{xx} = I_x$  ș.a.m.d.; expresia lui  $\mathbf{J}$  devine atunci:

$$\mathbf{J} = I_x \omega_x \hat{x} + I_y \omega_y \hat{y} + I_z \omega_z \hat{z}. \quad (8.33)$$

Trebuie acum să exprimăm derivata temporală a lui  $\mathbf{J}$  pentru a folosi ecuația de mișcare  $d\mathbf{J}/dt = \mathbf{M}$ . Momentele de inerție sînt constante, dar componentele vitezei unghiulare  $\omega_x$ ,  $\omega_y$  și  $\omega_z$  pot să varieze, iar vectorii unitate  $\hat{x}$ ,  $\hat{y}$  și  $\hat{z}$  se modifică în timp deoarece ei se rotesc împreună cu corpul. În consecință, luînd derivata temporală a relației (8.33), obținem:

$$\frac{d\mathbf{J}}{dt} = I_x \frac{d\omega_x}{dt} \hat{x} + I_y \frac{d\omega_y}{dt} \hat{y} + I_z \frac{d\omega_z}{dt} \hat{z} + I_x \omega_x \frac{d\hat{x}}{dt} + I_y \omega_y \frac{d\hat{y}}{dt} + I_z \omega_z \frac{d\hat{z}}{dt}.$$

Dar vectorii unitate variază numai din cauză că se rotesc cu viteza unghiulară  $\omega$ , astfel încît vitezele lor de variație sînt [conform cu relațiile (8.29) sau (8.2)]:

$$\frac{d\hat{x}}{dt} = \omega \times \hat{x}, \quad \frac{d\hat{y}}{dt} = \omega \times \hat{y}, \quad \frac{d\hat{z}}{dt} = \omega \times \hat{z}.$$

Aceste relații ne permit să scriem ecuația anterioară lor sub forma:

$$\frac{d\mathbf{J}}{dt} = \frac{d'\mathbf{J}}{dt} + \omega \times \mathbf{J} \quad (8.34)$$

unde  $d'\mathbf{J}/dt$  înseamnă contribuția la variația lui  $\mathbf{J}$  provenind din variația valorilor componentelor vitezei unghiulare, iar  $\omega \times \mathbf{J}$  este contribuția datorată rotației axelor principale la care este raportat  $\mathbf{J}$ . În cazul particular în care  $\mathbf{J}$  este constant în raport cu axele principale, derivata sa temporală în raport cu un sistem inerțial conține numai ultimul termen,  $\omega \times \mathbf{J}$  (ca în problema de la pag. 279, care este tratată din nou mai jos).



Dacă raportăm și vectorul moment  $\mathbf{M}$  la axele principale, astfel încît componentele sale sînt momentele forțelor în raport cu aceste axe, putem scrie ecuația de mișcare sub forma:

$$\frac{d'\mathbf{J}}{dt} + \boldsymbol{\omega} \times \mathbf{J} = \mathbf{M}, \quad (8.35)$$

sau, pe componentele de-a lungul axelor principale:

$$\begin{aligned} I_x \frac{d\omega_x}{dt} - (I_y - I_z)\omega_y\omega_z &= \mathfrak{M}_x \\ I_y \frac{d\omega_y}{dt} - (I_z - I_x)\omega_z\omega_x &= \mathfrak{M}_y \\ I_z \frac{d\omega_z}{dt} - (I_x - I_y)\omega_x\omega_y &= \mathfrak{M}_z \end{aligned} \quad (8.36)$$

unde am omis indicele prim. Acest set de trei ecuații reprezintă *ecuațiile lui Euler pentru mișcarea unui corp rigid*.

Energia cinetică, exprimată în general prin expresia (8.4) ia forma particulară:

$$E_c = \frac{1}{2} (I_x\omega_x^2 + I_y\omega_y^2 + I_z\omega_z^2),$$

atunci cînd este formulată cu momentele de inerție și componentele vitezei unghiulare referitoare la axele principale.

### Cîteva aplicații simple ale ecuațiilor lui Euler

*Rotator rigid cu două particule, axă fixă.* Ne întoarcem la sistemul celor două mase punctiforme unite printr-o tijă fără masă, rotindu-se în jurul unei axe fixe, care trece prin centrul de masă, dar la un unghi arbitrar, după cum este ilustrat în figura 8.11. Problema a fost tratată la paginile 279, 280, dar o vom considera acum folosind axele principale indicate în figura 8.12. Alegem axa  $y$  astfel încît să coincidă cu tijă și avînd originea în centrul de masă. Axa  $x$  este perpendiculară pe tijă în planul determinat de tijă și  $\boldsymbol{\omega}$ . Axa  $z$  (nu este figurată) este perpendiculară și iese din planul figurii la momentul de timp considerat. Cu această alegere a axelor (observați diferența dintre fig. 8.11 și 8.12) avem:

$$\begin{aligned} I_x &= 2ma^2, & I_y &= 0, & I_z &= 2ma^2 \\ \omega_x &= \omega \sin \theta, & \omega_y &= \omega \cos \theta, & \omega_z &= 0. \end{aligned}$$

Din ecuația (8.33) rezultă atunci  $\mathbf{J} = 2ma^2 \boldsymbol{\omega} \sin \theta \hat{\mathbf{x}}$ . Momentul cinetic este așadar perpendicular pe tijă, așa cum am găsit în relația (8.28) și se rotește împreună cu tijă de-a lungul axei  $x$ . Momentul forței necesar pentru a constrînge sistemul să se rotească în jurul acestei axe se determină din ecuațiile lui Euler (8.36), și, întrucît  $\omega$  este considerat constant, rezultatul este

$$\mathfrak{M}_x = -2ma^2 \omega^2 \sin \theta \cos \theta$$

în concordanță cu relația (8.30). Momentul are doar o componentă, de-a lungul axei  $x$  și se rotește împreună cu tijă.

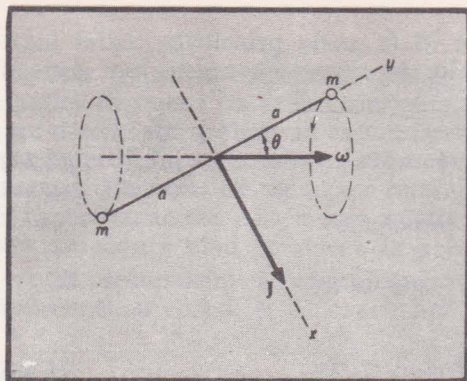


FIG. 8.12. Rotatorul rigid cu două particule. Axele principale. Comparați cu figura 8.11.

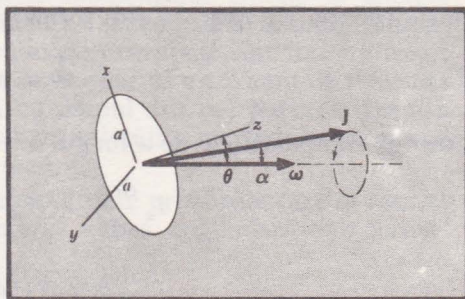


FIG. 8.13. Disc circular care se rotește în jurul unei axe, trecând prin centru, înclinată față de normală.

*Disc circular, axă fixă înclinată fără de normală.* Considerăm un disc, arătat în figura 8.13, de masă  $m$  și rază  $a$ , constrâns să se rotească în jurul unei axe fixe care face un unghi  $\theta$  cu axa normală. Alegem axele principale după cum este indicat, cu axa  $z$  normală și axa  $x$  în planul determinat de  $\omega$  și  $\hat{z}$ . Aplicând relațiile (8.13) și (8.14) avem:

$$I_x = I_y = \frac{ma^2}{4}; \quad I_z = \frac{ma^2}{2}$$

$$\omega_x = -\omega \sin \theta; \quad \omega_y = 0; \quad \omega_z = \omega \cos \theta.$$

Momentul cinetic este deci:

$$\mathbf{J} = -\frac{1}{4} ma^2 \omega \sin \theta \hat{x} + \frac{1}{2} ma^2 \omega \cos \theta \hat{z}.$$

Unghiul  $\alpha$  dintre  $\omega$  și  $\mathbf{J}$  poate fi găsit din produsul scalar al acestor vectori:

$$\cos \alpha = \frac{\omega \cdot \mathbf{J}}{\omega J} = \frac{1 + \cos^2 \theta}{1 + 3 \cos^2 \theta}.$$

Pe măsură ce mișcarea progresează,  $\mathbf{J}$  se rotește în jurul lui  $\omega$  generînd un con, așa cum este figurat.

Momentul forței necesar pentru a menține discul în rotație în jurul acestei direcții înclinată a lui  $\omega$  se scrie, din relația (8.35), sub forma:

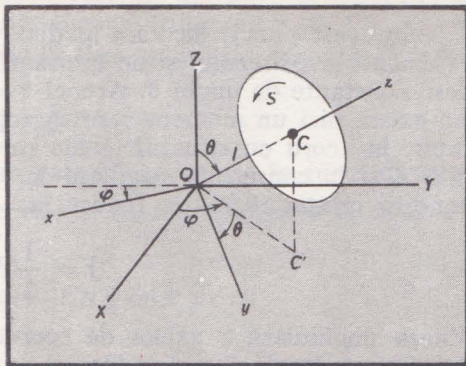
$$\mathbf{M} = \omega \times \mathbf{J} = \frac{1}{4} ma^2 \omega^2 \sin \theta \cos \theta \hat{y}.$$

Exemplele din problemele 13 și 14 aparțin clasei de sisteme în rotație care nu sînt „echilibrate dinamic”. Faptul că  $\mathbf{J}$  nu coincide cu direcția lui  $\omega$  înseamnă că este necesar un moment pentru a menține corpul în rotație. Echilibrarea dinamică a osiilor, roților etc. este operația de ajustare a distribuției de masă astfel încît axa de rotație dorită să fie o axă principală, făcînd astfel ca  $\mathbf{J}$  să fie de-a lungul lui  $\omega$  și eliminînd momente de rotație nedorite.

*Titirezul sau giroscopul — tratare aproximativă.* Prezentăm în figura 8.14 o formă simplă de titirez constînd dintr-un disc circular de masă  $M$  și rază  $a$ .



FIG. 8.14. Titirezul. Axele și unghiurile folosite în descrierea mișcării. Este arătată de asemenea viteza unghiulară de rotație  $S$ .



cu un ax fără masă. Vîrfurile axului se află în  $O$  și centrul de masă al discului  $C$  se află la distanța  $l$  de vîrf. Figurăm un sistem inerțial  $XYZ$  și un sistem în rotație de axe principale  $xyz$ . Axele principale se mișcă împreună cu axul titirezului, dar nu se rotesc odată cu discul în jurul axului său în mișcare. Axa  $OZ$  este luată de-a lungul axului titirezului,  $Ox$  este totdeauna în planul orizontal  $XY$  iar axa  $Oy$  este înclinată cu un unghi  $\theta$  dedesubtul acestui plan,  $\theta$  fiind același cu unghiul dintre axele  $Oz$  și  $OZ$ . Proiecția centrului de masă pe planul  $XY$  este  $C'$ , iar  $OC'$  este figurat la un unghi  $\varphi$  față de axa  $X$  în plan orizontal. Acest unghi coincide cu cel dintre  $Ox$  și sensul negativ al axei  $OY$ . Astfel orientarea axului este specificată prin unghiul polar  $\theta$  și unghiul azimutal  $\varphi$ , iar mișcarea axului este descrisă de variația acestor unghiuri. Axele principale urmează o astfel de mișcare.

Discul se rotește în jurul axului său cu viteza  $S$  rad/s în sistemul  $xyz$ , dar viteza unghiulară totală a titirezului implică în general și variații ale lui  $\varphi$  și  $\theta$ , astfel încît vectorul viteza unghiulară totală va fi suma:

$$\omega = -\dot{\theta} \hat{x} + \dot{\varphi} \hat{Z} + S \hat{z}. \quad (8.37)$$

Pentru a exprima  $\omega$  în întregime în funcție de componentele pe axele principale observăm că:

$$\hat{Z} = -\sin \theta \hat{y} + \cos \theta \hat{z}$$

astfel încît (8.37) devine:

$$\omega = -\dot{\theta} \hat{x} - \dot{\varphi} \sin \theta \hat{y} + (\dot{\varphi} \cos \theta + S) \hat{z}.$$

Momentele de inerție în raport cu axele principale sînt [folosind din nou relațiile (8.13) și (8.14)]:

$$I_z = \frac{1}{2} Ma^2, \quad I_x = \frac{1}{4} Ma^2 + Ml^2 = I_y$$

unde pentru exprimarea componentelor  $I_x$  și  $I_y$  am apelat la teorema axelor paralele. Folosind relația (8.33) scriem acum vectorul moment cinetic în raport cu  $O$ :

$$J = \left( \frac{1}{4} Ma^2 + Ml^2 \right) (-\dot{\theta} \hat{x} - \dot{\varphi} \sin \theta \hat{y}) + \frac{1}{2} Ma^2 (\dot{\varphi} \cos \theta + S) \hat{z}. \quad (8.38)$$

În acest punct, încetăm analiza cazului general al mișcării complexe și fascinante a titirezului și ne limităm atenția la cazul particular al unei precesii constante de unghi  $\theta$ . Atunci  $\dot{\theta} = 0$  iar  $\dot{\phi}$  și  $S$  vor fi constante deoarece nu există nici un moment care să acționeze în raport cu  $OZ$  sau cu  $Oz$ . Mai mult, în acord cu situațiile reale care ne sînt familiare facem aproximația  $S \gg \dot{\phi}$  și în consecință neglijăm în expresia lui  $\mathbf{J}$  termenii în  $\phi$ . În aceste condiții relația (8.38) se reduce la:

$$\mathbf{J} = \frac{1}{2} Ma^2 S \hat{\mathbf{z}}.$$

Viteza unghiulară a axelor de coordonate care *nu* se rotesc cu viteza  $S \hat{\mathbf{z}}$  are forma simplă (cu  $\theta = 0$ ):

$$\boldsymbol{\omega}' = \dot{\phi} \hat{\mathbf{z}}.$$

Derivata temporală a lui  $\mathbf{J}$ , obținută din ecuația (8.34) este pur și simplu  $\boldsymbol{\omega}' \times \mathbf{J}$  din cauza faptului că  $\dot{\phi}$  și  $S$  sînt constante. Așadar, din ultimele două relații avem:

$$\begin{aligned} \frac{d\mathbf{J}}{dt} &= \boldsymbol{\omega}' \times \mathbf{J} = \dot{\phi} \hat{\mathbf{z}} \times \frac{1}{2} Ma^2 S \hat{\mathbf{z}} = \frac{1}{2} Ma^2 \dot{\phi} S (\hat{\mathbf{z}} \times \hat{\mathbf{z}}) = \\ &= -\frac{1}{2} Ma^2 \cdot S \dot{\phi} \sin \theta \hat{\mathbf{x}}. \end{aligned} \quad (8.39)$$

Momentul forței care acționează asupra titirezului, în raport cu  $O$ , este datorat forței gravitaționale, aplicată în  $C$  îndreptată în jos, singura forță care mai rămîne fiind forța de reacțiune în  $O$ . Rezultatul este:

$$\mathbf{M} = -Mgl \sin \theta \hat{\mathbf{x}}. \quad (8.40)$$

Egalînd relațiile (8.39) și (8.40) în conformitate cu ecuația fundamentală de mișcare (8.1) obținem, pentru viteza de precesie expresia:

$$\dot{\phi} = \frac{Mgl}{\frac{1}{2} Ma^2 S}. \quad (8.41)$$

Remarcăm că viteza de precesie este independentă de înclinarea  $\theta$ .

Factorul  $\frac{1}{2} Ma^2$ , valoarea lui  $I_z$  pentru disc, apare la numitorul expresiei (8.41). În cazul particular al precesiei staționare și în aproximația  $S \gg \dot{\phi}$ , putem să generalizăm corect relația (8.41) la forma:

$$\dot{\phi} = \frac{Mgl}{I_z S} \quad (8.42)$$

pentru a include forme mai generale de titirez sau giroscop.

Acest<sup>1</sup> rezultat aproximativ, care exprimă viteza precesiei constante, cînd viteza unghiulară de rotație  $S$  este mai mare în comparație cu viteza

<sup>1</sup> Acei cititori care au omis discuția ecuațiilor lui Euler, la pagina 281 pot folosi tratarea simplă a giroscopului care începe aici.



unghiulară de precesie  $\dot{\phi}$ , poate fi obținut direct din aplicarea ecuației fundamentale de mișcare (8.1). Procedăm după cum urmează.

Cînd  $S$  este mare, momentul cinetic al titirezului este aproape în întregime dat de expresia:

$$\mathbf{J} = I_z S \hat{\mathbf{z}}.$$

Viteza de variație a lui  $\mathbf{J}$  este datorată rotației constante în jurul direcției verticale  $\hat{\mathbf{z}}$  cu viteza unghiulară de precesie  $\dot{\phi}$ . Astfel (referiți-vă la fig. 8.14) avem:

$$\frac{d\mathbf{J}}{dt} = \dot{\phi} \hat{\mathbf{z}} \times I_z S \hat{\mathbf{z}} = -I_z S \dot{\phi} \sin \theta \hat{\mathbf{x}}.$$

Momentul este dat de relația (8.40), iar egalarea acesteia cu expresia obținută acum pentru  $d\mathbf{J}/dt$  dă iarăși rezultatul (8.42):

$$\dot{\phi} = \frac{Mgl}{I_z S}.$$

Trebuie să subliniem că această tratare a problemei giroscopului implică numai un caz simplu dar important. Aspecte mai generale ale mișcării pot fi demonstrate în experiențe cu giroscopul și ele sînt toate tratabile prin ecuațiile lui Euler (8.36). Acest domeniu de studiu este esențial în tehnologia navigației inertiiale și a stabilizării giroscopice. Cu modificări, el are de asemenea aplicații la molecule, nuclee atomice și particule elementare care sînt supuse la acțiunea unor momente în cîmpuri magnetice, datorită momentelor lor magnetice intrinseci.

## PROBLEME

1. *Teorema axelor paralele.* Plecînd de la faptul că momentul de inerție al unui disc subțire în raport cu o axă diametrală este  $\frac{1}{4}ma^2$ , utilizați teorema axelor paralele pentru a demonstra că pentru un cilindru circular plin de masă  $M$ , rază  $a$  și lungime  $L$ , momentul de inerție în raport cu o axă transversală care trece prin centrul de masă este  $Ma^2/4 + ML^2/12$ .

2. *Aditivitatea momentelor de inerție.* Folosind principiul că momentele de inerție sînt simplu aditive, calculați momentul de inerție în raport cu axa centrală, a obiectu-

lui cilindric din figura 8.15, dacă masa sa este  $M$ , raza  $a$ , raza fiecăruia din cele 4 goluri cilindrice  $a/3$ , iar axa fiecărui gol este la distanța  $a/2$  de axa centrală.

$$R: \frac{59}{90} Ma^2.$$

3. *Momentul de inerție al sferei pline...* Arătați că momentul de inerție al unei sfere pline în raport cu un diametru este  $\frac{2}{5}Mr^2$ . Rezultatul se poate obține simplu considerînd că sfera este o suprapunere de discuri circulare de grosime infinitesimală așezate într-o suprafață înfășurătoare sferică.

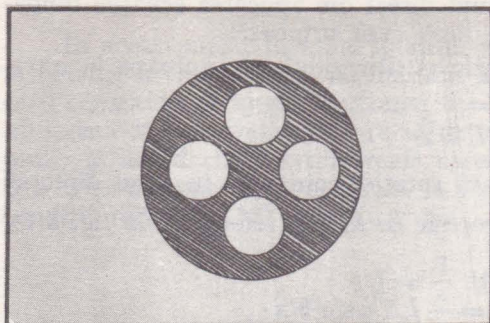


FIG. 8.15.

#### 4. Momente de inerție ale triunghiului.

Trei corpuri de mase punctiforme egale care se află în virfurile unui triunghi echilateral (vezi fig. 8.16) sunt unite printr-o foaie triunghiulară rigidă de masă neglijabilă.

(a) Găsiți momentul de inerție  $I_z$ , în raport cu axa normală care trece prin centrul C.

(b) Evaluați  $I_y$  pentru axa  $y$  indicată.

(c) Evaluați  $I_x$ , făcând apel la teorema axelor perpendiculare.

5. Placă pătrată; egalitatea momentelor. Demonstrați că momentul de inerție al unei plăci pătrate rigide în raport cu o axă diagonală din planul său, este egal cu momentul de inerție în raport cu o axă care este situată în plan, trece prin centru și este paralelă cu laturile pătratului. (Teorema axelor perpendiculare, împreună cu simetria, vă permit să faceți demonstrația fără nici un calcul.)

#### 6. Corpuri rigide care se rostogolesc

Un cilindru plin, o pătură cilindrică cu pereții groși, o sferă plină și o pătură sferică cu pereții groși se rostogolesc în jos pe un plan inclinat care face unghiul  $\theta$  cu orizontala. Toate obiectele au aceeași rază  $R$ . Găsiți accelerația fiecărui corp.

#### 7. Rostogolirea unei sfere goale.

O sferă goală cu raza interioară  $R_1$  și raza exterioară  $R_2$ , se rostogolește în jos fără să alunece pe un plan inclinat la un unghi  $\theta$  cu orizontala.

(a) Găsiți accelerațiile unghiulară și liniară.

$$R: \alpha = \frac{a}{R_2};$$

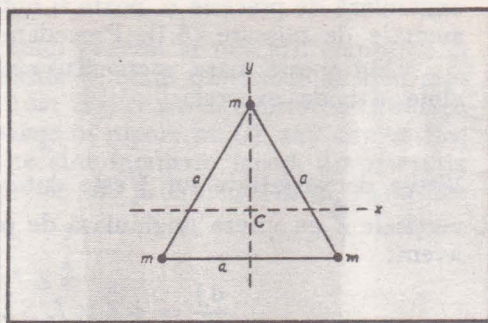


FIG. 8.16.

$$a = \frac{g \sin \theta}{1 + \frac{2}{5}(1 - R_1^2/R_2^2)/(1 - R_1^2/R_2^2)}$$

(b) La capătul inferior, planul se continuă cu o zonă de tranziție curbă care devine în final un plan orizontal. Cu ce viteză se va mișca obiectul pe planul orizontal final, dacă a plecat din repaus pe planul inclinat având centrul la înălțimea  $h$  deasupra planului orizontal final? (Folosii conservarea energiei.)

$$R: v^2 = \frac{2g(h - R_2)}{1 + \frac{2}{5}(1 - R_1^2/R_2^2)/(1 - R_1^2/R_2^2)}$$

8. Momentul forței de frecare. Un volant greu de forma unui cilindru plin de rază 0,5 m, grosime 0,20 m și masă 1200 kg se rotește liber pe suporturi cu o viteză inițială de 150 rot/s. El trebuie adus în repaus printr-o frână de fricțiune în care un sabot de frână este apăsător pe periferia volantului cu o forță echivalentă cu greutatea a 40 kg. Coeficientul de frecare între suprafețele în contact este 0,4 și este presupus a fi independent de viteza relativă a suprafețelor.

(a) Cu ce unghi se va roti volantul până când ajunge în repaus, dacă frina este aplicată în mod constant?

$$R: 8,5 \cdot 10^5 \text{ rad sau aproximativ } 135\,000 \text{ revoluții.}$$

(b) Cât timp durează mișcarea până la oprire?

$$R: 1\,800 \text{ s.}$$

9. Pendulul compus; lungimea echivalentă. Demonstrați că o bară uniformă de



lungime  $L$ , articulată la un capăt ca un pendul compus, are aceeași frecvență a micilor oscilații ca și un pendul simplu a cărui lungime este  $2L/3$ .

10. *Centru de percuție.* Considerăm o bară rigidă de lungime  $L$ , suspendată la un capăt printr-un pivot aflat în punctul  $P$ . O forță  $F$  care acționează pentru o perioadă scurtă (adică o forță impulsivă) trebuie aplicată pentru a pune bara în mișcare de pendulare, după cum este arătat în figura 8.17. Articulația din  $P$  este foarte fragilă și este necesar să aplicăm forța  $F$  la o asemenea distanță  $x$  încît în  $P$  să nu apară nici o forță de reacțiune. Găsiți valoarea lui  $x$  care satisface această cerință. Această poziție se numește *centru de percuție* pentru punctul de suspensie  $P$ . (Indicație: efectul lui  $F$  va consta în accelerarea centrului de masă și producerea unei accelerații unghiulare în jurul lui  $P$  prin momentul său în raport cu  $P$ . Compatibilitatea acestor accelerații, în presupunerea că nu există forță de reacțiune în  $P$ , va specifica valoarea lui  $x$  în funcție de  $L$ .)

R:  $x = 2L/3$ .

11. *Corp rigid neechilibrat.* O jantă subțire sau un cerc de masă  $M$  și rază  $R$  este prevăzută cu un număr de spițe fără masă, astfel încît se rotește liber în plan vertical în jurul unui ax orizontal care trece prin centrul său. O particulă de masă  $m$  este legată de jantă, făcînd ca sistemul să stea în repaus cu masa  $m$  la extremitatea sa inferioară. Găsiți frecvența micilor oscilații. Găsiți de asemenea viteza unghiulară maximă atinsă, dacă sistemul este lăsat liber din repaus cu masa  $m$  aflată în punctul cel mai de sus.

12. *Pendulul reversibil.* Demonstrați că pentru un pendul compus există două distanțe  $l_1$  și  $l_2$  ale articulației față de centrul de masă, care vor produce aceeași frecvență a micilor oscilații și că aceste distanțe sînt corelate prin relația:

$$l_1 l_2 = \frac{I_c}{M}.$$

În plus, arătați că dacă am localizat o astfel de pereche de puncte conjugate și

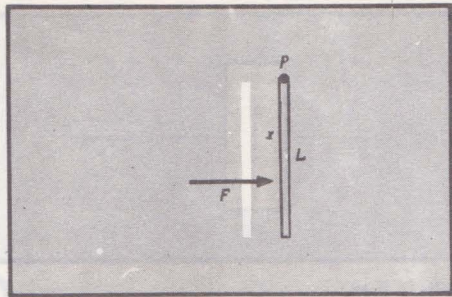


FIG. 8.17;

le-am măsurat frecvența comună  $\omega$ , putem obține valoarea lui  $g$  din

$$g = \omega^2(l_1 + l_2).$$

(Aceasta este o tehnică numită metoda *pendulului reversibil* pentru măsurarea lui  $g$ . Punctele de articulație se află pe o dreaptă care trece prin centrul de masă de o parte și de alta a acestuia; astfel  $l_1 + l_2$  este pur și simplu distanța dintre punctele de articulație. În acest fel poziția centrului de masă nu este necesară.)

13. *Moment de rotație.* O placă dreptunghiulară de masă  $M$ , cu laturile  $a$  și  $b$  se rotește cu viteza unghiulară  $\omega$  în jurul unei axe fixe de-a lungul unei diagonale. Evaluați vectorul moment de rotație pe care suportii trebuie să îl aplice plăcii, pentru a o menține în această rotație particulară. Trasați o diagonală corectă arătînd vectorul moment cinetic. Exprimați-l ca vector.

Răspuns parțial: mărimea momentului forței =  $\frac{1}{12} Mab \omega^2(a^2 - b^2)/(a^2 + b^2)$ .

14. *Lipsa echilibrării dinamice.* O bară subțire, uniformă, de masă  $M$  și lungime  $L$ , se rotește în jurul unei axe transversale care trece prin centrul său. Se presupune că axa este perpendiculară pe bară, dar din cauza unei imperfecțiuni ea deviază de la această direcție printr-un mic unghi  $\delta$ . Găsiți vectorul moment aplicat, dacă rotația are loc cu viteza unghiulară  $\omega$ . Exprimați vectorul moment cinetic și reprezentați-l într-o diagramă.



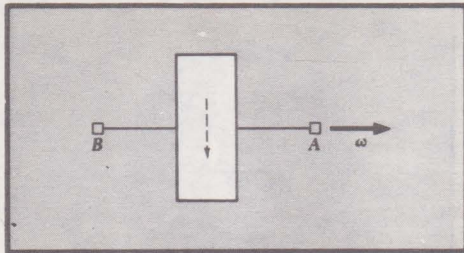


FIG. 8.18;

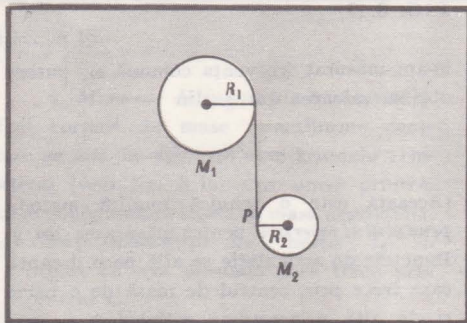


FIG. 8.19.

15. *Giroscopul.* Un giroscop particular constă dintr-un cilindru plin de rază  $a = 0,04$  m. El se sprijină pe un ax fără masă a cărui extremitate pivotează liber într-un punct situat la  $0,05$  m față de centrul de masă al cilindrului. Giroscopul se află, în mișcare de precesie staționară la un anumit unghi de înclinare față de verticală, iar precesia face să se execute o mișcare circulară completă la fiecare 3 secunde. Evaluați viteza unghiulară a rotației giroscopului în jurul axei sale proprii.

R: 293 rad/s.

16. *Accelerația unghiulară.* Un cilindru plin cu masa de 2 kg și raza de 0,04 m este constrins să se rotească în jurul axei sale, care este orizontală. În jurul cilindrului este înfășurat un fir de al cărui capăt liber este atașat un corp cu masa de 0,15 kg (vezi fig. 8.7). Găsiți accelerația liniară a corpului, accelerația unghiulară a cilindrului, tensiunea în fir și forța verticală care menține cilindrul.

17. *Rotația giroscopului.* Figura 8.18 reprezintă o roată de giroscop văzută dintr-o parte, cu osia montată în articulațiile A și B. Ea se rotește cu viteza unghiulară indicată, partea dinspre cititor a roții

mișcându-se în jos. În punctele A și B se dezvoltă forțe de reacțiune îndreptate în sus.

- Vrem să reorientăm roata pentru a-l plasa pe A direct peste B, fără a deplasa centrul de masă al sistemului. Descrieți forțele suplimentare, în afara reacțiunilor suportului, care trebuie aplicate în A și B.
- Dacă, în loc de a-l plasa pe A peste B, vrem să-l aducem pe A către noi, și pe B în spatele lui A, descrieți forțele pe care trebuie să le aplicăm în A și B.

18. *Momente în raport cu centrul de masă.* Un cilindru de masă  $M_1$ , rază  $R_1$ , cu axă orizontală, este constrins să se rotească în jurul axei sale. Un fir înfășurat în jurul acestui cilindru este înfășurat de asemenea și în jurul unui cilindru de masă  $M_2$  și rază  $R_2$ , care este liber să se desfășoare și să cadă, axa sa rămânând orizontală ca în figura 8.19. În aproximația firului vertical, găsiți:

- Accelerația centrului de masă al lui  $M_2$ .

$$R: a = (M_1 + M_2)g / \left( \frac{3}{2} M_1 + M_2 \right).$$

- Accelerația unghiulară a lui  $M_2$ .
- Accelerația unghiulară a lui  $M_1$ .
- Tensiunea în fir.

Dacă se iau momentele forțelor în raport cu punctul P din figură, care este „forța fictivă” în centrul de masă al celui de-al doilea cilindru?

19. *Coefficientul de frecare minim.* Arătați că pentru ca un corp simetric să se rostogolească în jos fără să alunece pe un plan înclinat, este necesar ca:

$$\mu \geq \frac{\tan \theta}{MR^2/I_c + 1}$$

unde simbolurile au semnificația obișnuită.

## LECTURI SUPLIMENTARE

Expuneri interesante, clare și cuprinzătoare ale mișcării corpurilor rigide, și în particular a giroscopului, se găsesc în unele dintre tratatele mai vechi, ca de exemplu: Arthur Gordon Webster, *Dinamica particulelor și a corpurilor rigide, elastice și fluide* („The Dynamics of Particles and of Rigid, Elastic and Fluid Bodies”), B. G. Teubner, Leipzig, 1904 (Strechert-Hafner, Inc., New York, 1920).

O expunere mai nouă de nivel mediu se află în cartea lui John L. Synge și Byron A. Griffith, *Principiile mecanicii* („Principles of Mechanics”), capitolul 14, Mc Graw-Hill Book Company, New York, 1959.



# 9

## Forțe invers proporționale cu pătratul distanței

### Cuprins

**Energia potențială și forța dintre o masă punctiformă și o pătură sferică**

**Energia potențială și forța dintre o masă punctiformă și o sferă plină**

**Energia proprie gravitațională și electrostatică**

Exemplu. Energia gravitațională a unei galaxii

Exemplu. Energia gravitațională a unei sfere uniforme

Exemplu. Raza electronului

**Forțe invers proporționale cu pătratul distanței și echilibrul static**

**Orbite: ecuația și excentricitatea**

**Orbita circulară**

**Legile lui Kepler**

**Problema celor două corpuri: masa redusă**

Exemplu. Vibrația unei molecule biatomice

**Probleme**

**Teme avansate. Artificiu pentru integrarea ecuației în  $1/r$**

**Lecturi suplimentare**

Mărimea forței gravitaționale și a forței electrostatice dintre două particule punctiforme aflate în repaus este dată de:

$$F = \frac{C}{r^2}$$

unde  $C$  este o constantă. Astfel de forțe se numesc *forțe centrale invers proporționale cu pătratul distanței*. Noțiunea de *forță centrală* exprimă faptul că forța este dirijată de-a lungul dreptei care unește cele două particule. Dacă una dintre particule se găsește în origine și cea de a doua în poziția dată de vectorul de poziție  $\mathbf{r}$ , forța asupra celei de a doua particule este dată de:

$$\mathbf{F} = \frac{C}{r^2} \cdot \hat{\mathbf{r}} \quad (9.1)$$

unde pentru forța gravitațională dintre masele punctiforme  $M_1, M_2$  avem:

$$C = -GM_1M_2$$

$$G = 6,67 \cdot 10^{-11} \text{ m}^3/\text{kg} \cdot \text{s}^2 \quad (9.2)$$

iar pentru forța electrostatică dintre sarcinile punctiforme  $q_1, q_2$ ,

$$C = 9 \cdot 10^9 q_1 q_2 \quad (9.3)$$

sarcina, lungimile și forțele exprimate în unități SI (vezi cap. 3, paginile 86—92), sau:

$$C = q_1 q_2 \quad (9.3, a)$$

cu condiția ca sarcina să fie exprimată în unități gaussiene CGS. Forța gravitațională este întotdeauna atractivă. Forța electrostatică (coulombiană) este atractivă dacă sarcinile  $q_1, q_2$  au semne opuse și repulsivă dacă  $q_1, q_2$  au același semn.

Se știe din experiență, cu foarte mare precizie, că exponentul lui  $r$  în relația (9.1) este egal cu 2,000 ...; pentru forțe electrostatice acest fapt este stabilit mergând pînă la distanțe mici de ordinul  $10^{-15}$  m. O mare diversitate de rezultate experimentale ar fi sensibile într-un grad înalt față de mici abateri de la legea exactă de proporționalitate inversă cu pătratul distanței. Experiențele fundamentale sînt discutate în volumul 2, capitolul 1, cu accent special asupra forțelor electrostatice. Pentru forțele gravitaționale apelăm, pentru suportul experimental, în special la acordul excelent dintre predicție și observație în cazul mișcării planetelor din sistemul solar.

Legea forței invers proporționale cu pătratul distanței se exprimă, de asemenea, prin faptul că energia potențială este invers proporțională cu puterea



întîi a distanței. După cum am văzut în capitolul 5, forța  $F$  este egală cu  $-\partial U/\partial r$ . Din relația (9.1) avem atunci:

$$F = -\frac{\partial U}{\partial r} = \frac{C}{r^2}$$

și

$$E_p(r) = U(r) = \frac{C}{r} + \text{const.}$$

Dacă alegem  $U(r)$  astfel încît să fie egal cu zero cînd particulele sînt la distanță infinită una față de alta, constanta de integrare este zero și avem:

$$U(r) = \frac{C}{r},$$

unde  $C$  este dat de relațiile (9.2), (9.3) sau (9.3,a) pentru forțele gravitaționale și electrostatice în sistemele SI sau CGS. Astfel avem:

$$U(r) = -\frac{GM_1M_2}{r} \quad \text{sau} \quad U(r) = \frac{kq_1q_2}{r}, \quad (9.4)$$

sau alternativ

$$U = \frac{q_1q_2}{r}. \quad (9.4, a)$$

Legea forței dintre doi protoni sau doi neutroni sau dintre un proton și un neutron diferă foarte mult atît de legea gravitațională cît și de cea coulombiană. Această forță se manifestă ca o atracție foarte puternică atunci cînd particulele sînt foarte aproape una de alta, la mai puțin de  $2 \cdot 10^{-13}$  cm și devine neglijabilă cînd ele se află la distanță mare. Asemenea forțe sînt tratate în cărți de fizică nucleară. Forța electrică între doi electroni este cu mare precizie coulombiană pînă la cele mai mici distanțe cunoscute. În plus față de sarcina lor electrică, electronii au momente magnetice dipolare care dau naștere unei forțe necentrale invers proporționale cu cubul distanței (vezi vol. 2, cap. 10).

Care sînt caracteristicile particulare ale unei forțe invers proporționale cu pătratul distanței? Ce aspecte cruciale ale universului se reflectă într-o asemenea forță? Vom trata acum aceste probleme importante. Vom considera adesea energia potențială în loc de forță. În rezolvarea problemelor, studentul va constata aproape întotdeauna că este mai ușor să se folosească energia potențială și nu forța. El poate obține componentele forței derivînd potențialul și poate folosi adesea energia potențială într-o ecuație energetică. Energia potențială este un scalar; forța este un vector.

## ENERGIA POTENȚIALĂ ȘI FORȚA DINTRE O MASĂ PUNCTIFORMĂ ȘI O PĂTURĂ SFERICĂ

O consecință importantă a legii forței invers proporționale cu pătratul distanței este că forța exercitată asupra unei mase punctiforme de probă,  $M_1$ , la distanța  $r$  față de centrul unei pături sferice uniforme, subțiri, de rază  $R$ ,

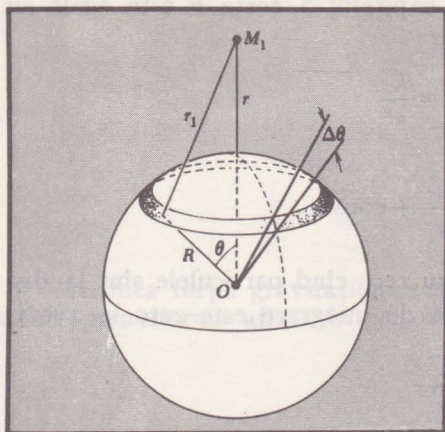


FIG. 9.1. Imagine în perspectivă a unei pături sferice și a unei mase punctiforme  $M_1$ , arătînd cum se împarte pătura sferică în inele. Pătura are densitatea de masă  $\sigma$  pe unitatea de arie.

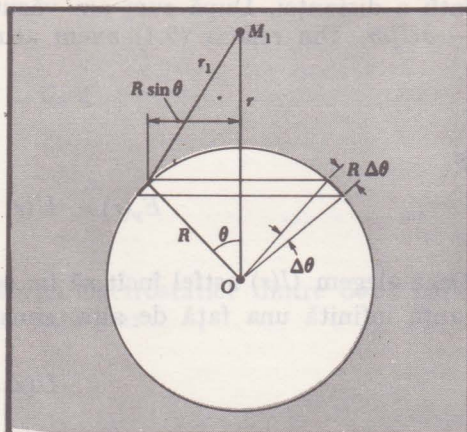


FIG. 9.2. Imagine în secțiune a aceleiași sfere arătînd inelul de arie totală  $2\pi R^2 \sin \theta \Delta \theta$ .

este exact aceeași în toate punctele  $r > R$  din afara păturii, ca și cum întreaga sa masă ar fi concentrată în centru. A doua consecință este că pentru puncte  $r < R$  din interiorul păturii, forța asupra masei punctiforme este zero. Aceste consecințe sînt atît de importante încît le vom da deducerea completă. Aplicăm o metodă particulară de rezolvare care ține seama de simetria geometrică a problemei.

Vom considera întîi din pătura sferică un inel de lărgime unghiulară  $\Delta \theta$  sau grosime  $R \Delta \theta$ , ca în figura 9.1. Fie  $\sigma$  masa unității de arie a păturii. Facem această alegere întrucît tot inelul este echidistant față de masa de probă  $M_1$ , distanța fiind  $r_1$ . Raza inelului este  $R \sin \theta$ , iar circumferința sa este  $2\pi R \sin \theta$ . Aria inelului este așadar dată de (vezi fig. 9.2):

$$(2\pi R \sin \theta) (R \Delta \theta) = 2\pi R^2 \sin \theta \Delta \theta.$$

Masa inelului se obține făcînd produsul dintre arie și masa  $\sigma$  pe unitatea de arie:

$$M_{\text{inel}} = (2\pi R^2 \sin \theta \cdot \Delta \theta) \sigma. \quad (9.5)$$

Combinînd relațiile (9.5) și (9.4), energia potențială  $U_{\text{inel}}$  a masei de probă în cîmpul gravitațional al inelului se obține sub forma:

$$U_{\text{inel}} = - \frac{GM_1 (2\pi R^2 \sin \theta \Delta \theta) \sigma}{r_1}. \quad (9.6)$$

Aici  $r_1$  este distanța de la masa de probă pînă la inel. Din teorema cosinusului [relația (2.8)] aplicată triunghiului format de  $R$ ,  $r$  și  $r_1$  avem:

$$r_1^2 = r^2 + R^2 - 2rR \cos \theta, \quad (9.7)$$

unde  $R$  și  $r$  sînt constante. În aceste condiții, cînd evaluăm variația  $\Delta r_1$  a lui  $r_1$ , în funcție de variația lui  $\theta$ ,  $\Delta \theta$ , obținem:

$$2r_1 \Delta r_1 = -2rR \Delta (\cos \theta) = 2rR \sin \theta \Delta \theta.$$



Această relație utilă ne permite să rescriem expresia (9.6) sub forma:

$$U_{inel} = - \frac{GM_1(2\pi R \Delta r_1) \sigma}{r}. \quad (9.8)$$

Observați că numitorul este acum  $r$ , distanța dintre masa de probă și centrul sferei.

Energia potențială totală  $U_{pătură}$  a masei de probă în câmpul gravitațional al păturii sferice este dată de suma contribuțiilor  $U_{inel}$  ale tuturor inelelor care alcătuiesc pătura. Când facem această operație trebuie să sumăm numai peste  $\Delta r_1$ . În cazul în care masa se află în afara păturii se vede că domeniul valorilor lui  $r_1$  se întinde de la  $r - R$  la  $r + R$ , astfel încît avem (vezi fig. 9.3):

$$\Sigma \Delta r_1 = (r + R) - (r - R) = 2R. \quad (9.9)$$

Din fericire problema s-a redus la o astfel de sumă simplă. Folosind ecuația (9.9) în efectuarea sumei peste expresiile (9.8) avem:

$$U_{pătură} = \Sigma U_{inel} = - \frac{GM_1 2\pi R \sigma}{r} \Sigma \Delta r_1 = - \frac{GM_1 4\pi R^2 \sigma}{r}. \quad (9.10)$$

Dar  $4\pi R^2$  este aria păturii sferice, iar  $4\pi R^2 \sigma$  este masa păturii  $M_{pătură}$ . Putem, prin urmare, să rescriem expresia (9.10) sub forma:

$$U_{pătură} = - \frac{GM_1 M_{pătură}}{r} \quad (r > R) \quad (9.11)$$

unde  $r$  este distanța dintre masa de probă și centrul păturii sferice. Am arătat că *pătura sferică acționează în punctele din afară ca și cum toată masa sa  $M_{pătură}$  ar fi concentrată în centrul păturii.*

Dacă masa de probă se află în orice punct din interiorul păturii, demonstrația este identică cu excepția faptului că domeniul de sumare pentru  $\Delta r_1$  în  $\Sigma U_{inel}$  este de la  $R - r$  la  $R + r$  (vezi fig. 9.4), astfel încît de astă dată avem:

$$\Sigma \Delta r_1 = (R + r) - (R - r) = 2r. \quad (9.12)$$

FIG. 9.3. Limitele de sumare pentru  $r > R$ , masa de probă  $M_1$  în afara păturii sferice.

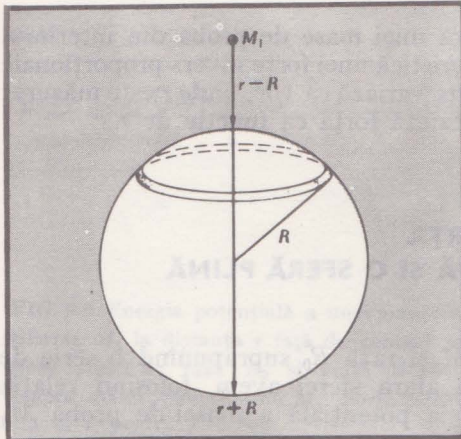
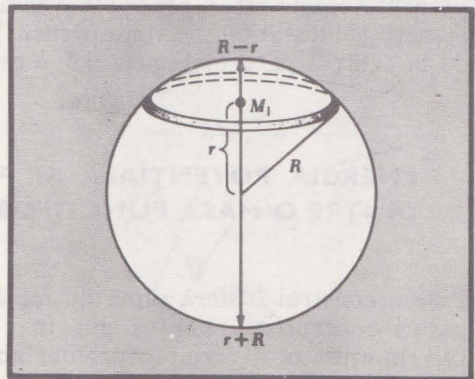


FIG. 9.4. Limitele de sumare pentru  $r < R$ , masa de probă  $M_1$  în interiorul păturii sferice.



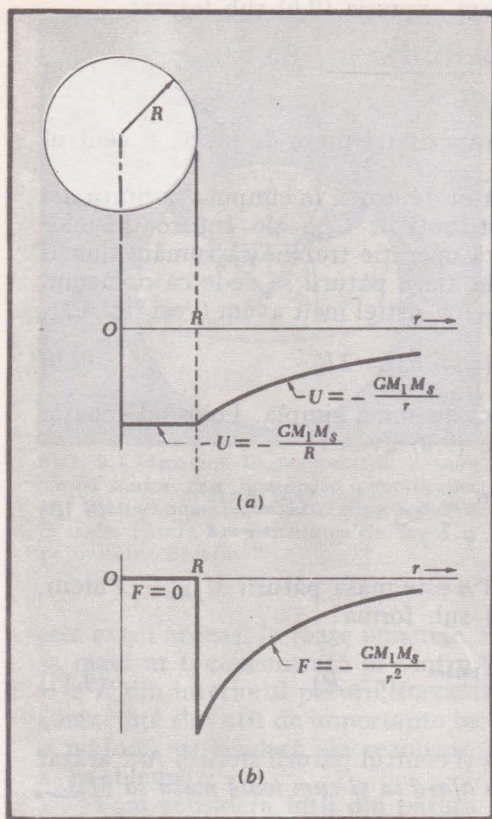


FIG. 9.5. (a). Energia potențială a masei punctiforme  $M_1$  la distanța  $r$  de centrul păturii de rază  $R$  și masă  $M$ . (b) Forța exercitată asupra masei punctiforme  $M_1$  (semnul minus indicînd atracția). Forța este zero pentru  $r < R$ .

Folosind egalitatea (9.12) în efectuarea sumei peste contribuțiile (9.8) obținem

$$\begin{aligned}
 U_{\text{pătură}} &= \sum U_{\text{inel}} = \\
 &= -\frac{GM_1 2\pi R\sigma}{r} \sum \Delta r_1 = \\
 &= -GM_1 4\pi R\sigma = -\frac{GM_1 4\pi R^2\sigma}{R} = \\
 &= -\frac{GM_1 M_{\text{pătură}}}{R} \quad (r < R). \quad (9.13)
 \end{aligned}$$

Potențialul din ecuația (9.13) este constant în toate punctele interioare păturii și este egal cu expresia (9.11) evaluată pentru  $r = R$ . Figura 9.5, a îl reprezintă pe  $U$ , atît în interiorul cît și în exteriorul păturii.

Am văzut mai înainte ecuațiile (5.28) și (5.29) că mărimea forței  $F$  care acționează asupra masei de probă  $M_1$  este egală cu  $-\partial U/\partial r$ , deoarece forța este pe direcția radială. Din ecuațiile (9.11) și (9.13) avem, pentru forța produsă de pătură, expresia:

$$F = -\frac{\partial U}{\partial r} = \begin{cases} -\frac{GM_1 M_{\text{pătură}}}{r^2} & (r > R), \\ 0 & (r < R). \end{cases} \quad (9.14)$$

Așadar nu se exercită nici o forță asupra unei mase de probă din interiorul păturii. Aceasta este o proprietate caracteristică unei forțe invers proporționale cu pătratul distanței. În afara păturii, forța variază ca  $1/r^2$ , unde  $r$  este măsurat de la centrul păturii. Figura 9.5, b reprezintă forța ca funcție de  $r$ .

## ENERGIA POTENȚIALĂ ȘI FORȚA DINTRE O MASĂ PUNCTIFORMĂ ȘI O SFERĂ PLINĂ

Putem construi o sferă plină de masă  $M$  și rază  $R_0$  suprapunînd o serie de pături concentrice. Pentru puncte  $r$  în afara sferei avem, folosind relația (9.11), următorul rezultat privind energia potențială a masei de probă  $M_1$



în câmpul gravitațional al sferei pline:

$$U_{sferic} = \sum U_{pătură} = - \frac{GM_1}{r} \sum M_{pătură} = - \frac{GM_1 M}{r}.$$

Amintim că  $r$  este distanța de la masa de probă pînă la centrul sferei.

Mărima forței asupra lui  $M_1$  este, pentru  $r > R_0$ :

$$F = - \frac{\partial U}{\partial r} = - \frac{GM_1 M}{r^2}. \quad (9.15)$$

Acesta este un rezultat fundamental al analizei noastre. El s-ar fi putut obține de asemenea printr-o integrare directă a componentelor forței produse de toate păturile ca în problema 13, dar în modul în care am rezolvat problema, matematica este mai concisă. Printr-o generalizare imediată a relației (9.15), vedem că forța dintre două sfere uniforme de mase  $M_1$ ,  $M_2$  este egală cu forța dintre două mase punctiforme  $M_1$ ,  $M_2$  care ar fi situate în centrele lor respective. Deoarece am putut înlocui o sferă printr-o masă punctiformă, putem să înlocuim apoi cea de a doua sferă tot printr-o masă punctiformă. Acest rezultat fericit simplifică multe calcule.

Dacă o masă punctiformă se află în interiorul unei sfere pline, forța va fi dirijată către centrul sferei și va avea mărimea:

$$- \frac{GM_1 M_{int}}{r^2}.$$

Dacă masa are densitatea uniformă  $\rho$  atunci avem:

$$M_{int} = \frac{4\pi}{3} r^3 \rho; \text{ unde } M = \frac{4\pi}{3} R_0^3 \rho$$

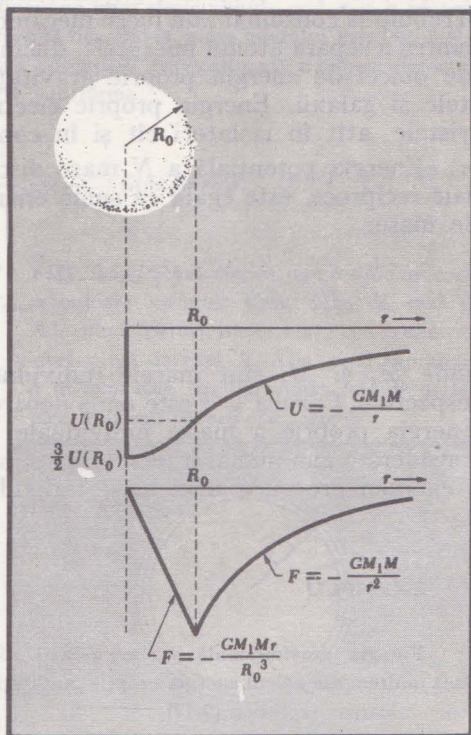
astfel încît:

$$F = - \frac{GM_1 \cdot \frac{4}{3} \pi r^3 \rho}{r^2} = - \frac{4}{3} \pi GM_1 \rho r$$

sau

$$F = - \frac{GM_1 M r}{R_0^3}. \quad (9.16)$$

FIG. 9.6. Energia potențială a unei mase punctiforme  $M_1$  la distanța  $r$  față de centrul unei sfere pline de rază  $R_0$  și masă  $M$ . Forța asupra masei punctiforme  $M_1$ . Forța este liniară în  $r$  pentru  $r < R_0$ .



Energia potențială pentru  $r < R_0$  se obține adăugînd la  $(-GM_1M)/R_0$  energia necesară pentru a deplasa masa  $M_1$  din  $R_0$  în  $r$ . Folosind pentru expresia forței relația (9.16), obținem pentru această energie:

$$\int_{R_0}^r \frac{GM_1M}{R_0^3} dr = -\frac{GM_1M}{2R_0^3} (R_0^2 - r^2).$$

Adunînd la această energie termenul  $(-GM_1M)/R_0$ , obținem energia potențială pentru  $r < R_0$  sub forma:

$$U(r) = -\frac{GM_1M}{R_0} - \frac{GM_1M}{2R_0^3} (R_0^2 - r^2) = -\frac{GM_1M}{R_0} \left( \frac{3}{2} - \frac{1}{2} \frac{r^2}{R_0^2} \right).$$

Pentru  $r = 0$  avem:

$$U(0) = -\frac{3}{2} \frac{GM_1M}{R_0}.$$

Atît  $U(r)$  cît și  $F(r)$  sînt reprezentați în figura 9.6 pentru  $0 \leq r \leq R_0$  și pentru  $R_0 \leq r$ .

## ENERGIA PROPRIE GRAVITAȚIONALĂ ȘI ELECTROSTATICĂ

Energia proprie a unui corp este definită ca fiind lucrul mecanic consumat pentru formarea corpului din elemente infinitezimale care se află inițial la distanță infinită unul față de altul. Să considerăm energia proprie gravitațională; ea va avea semnul negativ, întrucît forța gravitațională este atractivă. (Trebuie să consumăm un lucru mecanic pozitiv împotriva forței gravitaționale pentru a separa atomii unei stele, ducînd fiecare atom la infinit.) Avem nevoie de obicei de energia proprie gravitațională pentru probleme referitoare la stele și galaxii. Energia proprie electrostatică este adesea calculată pentru cristale, atît în izolatori cît și în conductori, ca și pentru nuclee.

Energia potențială a  $N$  mase discrete, datorată atracției lor gravitaționale reciproce, este egală cu suma energiilor potențiale ale tuturor perechilor de mase:

$$U_p = -G \sum_{\substack{\text{Toate perechile} \\ i \neq j}} \frac{M_i M_j}{r_{ij}}, \quad (9.17)$$

unde  $M_i$  și  $M_j$  sînt masele individuale, iar  $r_{ij}$  este distanța dintre masele respective. Cazul  $i = j$  este omis deoarece acesta nu constituie nici o pereche. Energia proprie a masei individuale  $m_i$  este de asemenea omisă deoarece considerăm aici numai interacțiunile reciproce ale maselor. O metodă de evaluare a energiei proprii a unei mase individuale este descrisă în cele ce urmează.

### EXEMPLU

Energia gravitațională a unei galaxii. Să estimăm energia gravitațională a galaxiei. Dacă omitem din calcul energia proprie gravitațională a stelelor individuale, trebuie să estimăm doar valoarea expresiei (9.17).



Aproximăm grosier compoziția galaxiei prin  $N$  stele, fiecare de masă  $M$ , fiecare pereche de stele fiind caracterizată de o distanță reciprocă de ordinul  $R$ . Atunci ecuația (9.17) se reduce la

$$U \approx \frac{1}{2} G(N-1) N \frac{M^2}{R}.$$

[În suma peste toate perechile luăm fiecare dintre cele  $N$  stele la rînd și sumăm peste cele  $N-1$  stele care pot constitui o pereche cu ea. Procedînd astfel, socotim fiecare pereche de două ori (vezi fig. 9.7 pentru  $N=3$ ).] Dacă  $N \approx 1,6 \cdot 10^{11}$ ,  $R \approx 10^{21}$  m și  $M \approx 2 \cdot 10^{30}$  kg (ca în cazul Soarelui) atunci:

$$U \approx -\frac{1}{2} \frac{(7 \cdot 10^{11})(1,6 \cdot 10^{11})^2 (2 \cdot 10^{30})^2}{10^{21}} \approx -4 \cdot 10^{51} \text{ J}.$$

## EXEMPLU

**Energia gravitațională a unei sfere uniforme.** Nu este dificil să evaluăm energia proprie  $U_p$  a unei sfere uniforme de masă  $M$  și rază  $R$ . Transformăm sumele multiple implicit din relația (9.17) în integrale și efectuăm integrările. Să încercăm însă mai înainte de aceasta să ghicim răspunsul. Care ne așteptăm să fie acesta? Răspunsul trebuie să conțină  $G$ ,  $M$  și  $R$  în combinația de dimensiune corectă. De ce nu ar fi

$$U_p \approx -\frac{GM^2}{R}?$$

Această estimare este într-adevăr corectă, cu excepția unui factor numeric de ordinul unității.

Pentru a calcula exact acest factor, construim sfera plină într-un mod particular. Considerăm întâi (vezi fig. 9.8) energia interacțiilor dintre un miez sferic plin de rază  $r$  și o pătură sferică înconjurătoare de grosime  $dr$ . Dacă  $\rho$  reprezintă densitatea, masa miezului este  $(4\pi/3)r^3\rho$  și masa păturii este  $(4\pi r^2)(dr)\rho$ . Atunci energia potențială gravitațională a păturii datorită prezenței miezului se scrie, pe baza relației (9.11), sub forma:

$$-\frac{G\left(\frac{4\pi}{3}r^3\rho\right)(4\pi r^2dr\rho)}{r} = -\frac{1}{3}G(4\pi\rho)^2r^4dr. \quad (9.18)$$

FIG. 9.7. Energia potențială gravitațională a trei atomi de mase  $M_1$ ,  $M_2$ ,  $M_3$  este:

$$U = -G\left(\frac{M_1M_2}{r_{12}} + \frac{M_1M_3}{r_{13}} + \frac{M_2M_3}{r_{23}}\right).$$

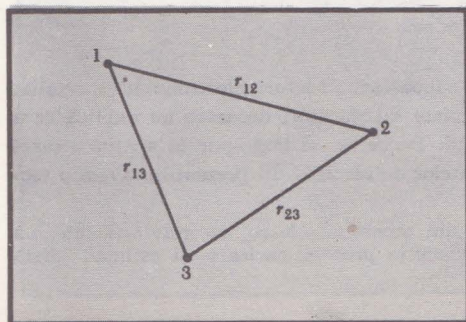
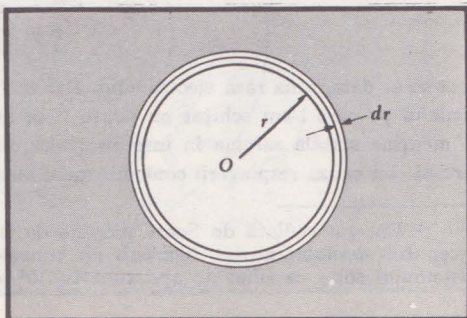


FIG. 9.8. Pătură sferică de grosime  $dr$ , care înconjoară un miez sferic plin, de rază  $r$ . Adăugînd pături succesive, construim o sferă plină de rază  $R$ . Aria unei suprafețe a inelului este  $4\pi r^2$ , grosimea este  $dr$ , astfel încît volumul păturii este  $4\pi r^2dr$ .



Energia proprie a sferei pline este dată de integrala expresiei (9.18) de la  $r = 0$  la  $r = R$ . Integrarea corespunde la adăugarea de pături succesive miezului, pînă cînd miezul are raza  $R$ . Inițial miezul are raza egală cu zero. Simetria sferei ne-a permis să reducem sumările multiple la o singură integrală. Integrînd expresia (9.18) obținem rezultatul:

$$U_p = -\frac{1}{3} G (4\pi\rho)^2 \frac{1}{5} R^5 = -\frac{3}{5} G \left( \frac{4\pi}{3} \rho R^3 \right)^2 \frac{1}{R} = -\frac{3}{5} \frac{GM^2}{R} \quad (9.19)$$

deoarece masa este dată de:

$$M = \frac{4\pi}{3} \rho R^3.$$

Energia proprie gravitațională a Soarelui este, din ecuația (9.19) cu  $M_s \approx 2 \cdot 10^{30}$  kg și  $R_s \approx 7 \cdot 10^8$  m:

$$U_p \approx -\frac{(3)(7 \cdot 10^{-11})(2 \cdot 10^{30})^2}{(5)(7 \cdot 10^8)} \approx -2 \cdot 10^{41} \text{ J.}$$

Aceasta este o cantitate enormă de energie, dacă ne amintim că viteza de eliberare a energiei de către Soare este de  $4 \cdot 10^{26}$  J/s, astfel încît Soarelui îi trebuie  $\frac{1}{2} \cdot 10^{15}$  s sau  $2 \cdot 10^7$  ani pentru a radia această energie imensă<sup>1</sup>. Soarele își poate continua evoluția ca o stea pitică albă, densă, cu o rază de aproximativ 0,1 din raza sa actuală. Este clar că într-o asemenea contracție va fi eliberată o mare cantitate de energie gravitațională. Aceste considerații sînt foarte importante în studii de astrofizică și pot interveni și în teoria stelelor nove. Energia proprie electrostatică a unei distribuții sferice uniforme de sarcină totală  $q$  și rază  $R$  se obține înlocuind în ecuația (9.19) pe  $-GM^2$  prin  $kq^2$ .

## EXEMPLU

**Raza electronului.** Pentru a estima energia proprie electrostatică a unui electron trebuie să cunoaștem raza  $R$ . Întrucît nu avem o teorie fundamentală a electronului, tot ce putem face este să procedăm în sens invers și să estimăm raza cunoscînd energia.

Există o relație celebră descoperită de Einstein care spune că o masă  $M$  este întotdeauna asociată cu o energie  $E$  în conformitate cu egalitatea:

$$E = Mc^2 \quad (9.20)$$

unde  $c$  este viteza luminii. (Deducem această relație în capitolul 12.) Dacă energia electronului ar fi în întregime energia electrostatică a unei distribuții uniforme de sarcină, atunci am avea:

$$U_p = \frac{3e^2}{5R} = mc^2$$

ceea ce ar determina raza electronului. Dar noi nu cunoaștem structura electronului în detaliu. Modelul pe care l-am schițat nu poate fi în întregime satisfăcător, deoarece nu explică cum se menține stabilă sarcina în interiorul electronului. De ce nu se împrășteie în spațiu această sarcină din cauza respingerii coulombiene a elementelor de sarcină? În prezent nu avem o teo-

<sup>1</sup> Energia radiată de Soare provine de fapt din procese nucleare, nu gravitaționale. La începutul secolului nostru fizicienii nu cunoșteau aceste procese nucleare și estimau vîrsta sistemului solar ca fiind de aproximativ  $10^6$  ani.



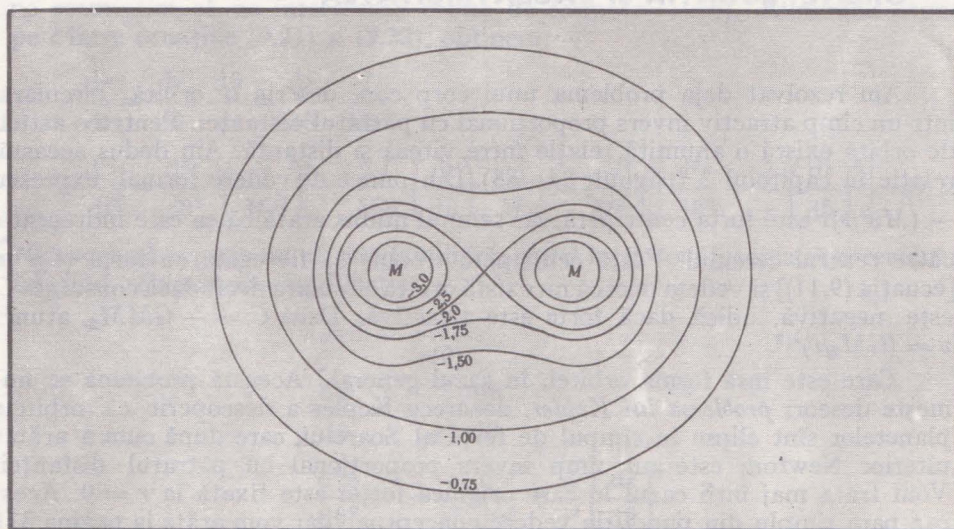
rie care să explice de ce există electronul. Să ometem atunci factorul  $\frac{3}{5}$ . Ar fi pretențios să păstrăm acest factor deoarece el sugerează o subtilitate a cunoștințelor despre electron pe care nu o posedăm. Definim (prin convenție universală) o lungime  $r_0$  prin relația:

$$\frac{e^2}{r_0} \equiv mc^2, \quad r_0 \equiv \frac{e^2}{mc^2} = 2,82 \cdot 10^{-15} \text{ m.}$$

Această lungime se numește *raza clasică a electronului*. Ea are o legătură cu electronul, dar nu știm exact care este aceasta! Cu toate acestea, ea este numită o lungime fundamentală și apare în expresii ca secțiunea de împrăștiere pentru raze  $X$  sau raze  $\gamma$ . De fapt, știm că forța electrică între doi electroni este cu precizie egală cu  $e^2/r^2$  până la distanțe mici, cel puțin până la  $r = 10^{-17}$  m.

**Forțe invers proporționale cu pătratul distanței și echilibrul static.** În volumul 2, capitolul 2, arătăm că nu poate să existe echilibru *static* stabil între un grup de mase (sau sarcini) care interacționează numai prin forțe invers proporționale cu pătratul distanței. Prin echilibru static înțelegem că toate particulele se află în repaus. Acest rezultat este făcut plauzibil de figurile 9.9 și 9.10. Ele indică liniile de valoare egală a potențialului, liniile echipotențiale, în cazul a două sau patru mase egale (marcate prin litera  $M$ ), aflate în poziții fixe. Locul în care două echipotențiale se intersectează este o poziție de echilibru. Când ne deplasăm din poziția de echilibru, forța este în direcția potențialului mai scăzut, adică a potențialului mai negativ. Observați că în cazul a două corpuri un corp de probă, deplasat în sus, va simți o forță îndreptată înapoi către punctul de echilibru, dar atunci când îl deplasăm lateral forța va fi îndreptată în sens opus revenirii la echilibru. Pentru ca echilibrul să fie stabil, forța trebuie să fie îndreptată către punctul de echilibru, indiferent de direcția deplasării. (Vezi cap. 5 din acest volum, pagina 179). Forța este invers proporțională cu distanța între echipotențiale și astfel ne-am putea aștepta ca pe măsură ce trecem de la două la patru,

FIG. 9.9. Conturul suprafețelor echipotențiale între două corpuri de mase egale.





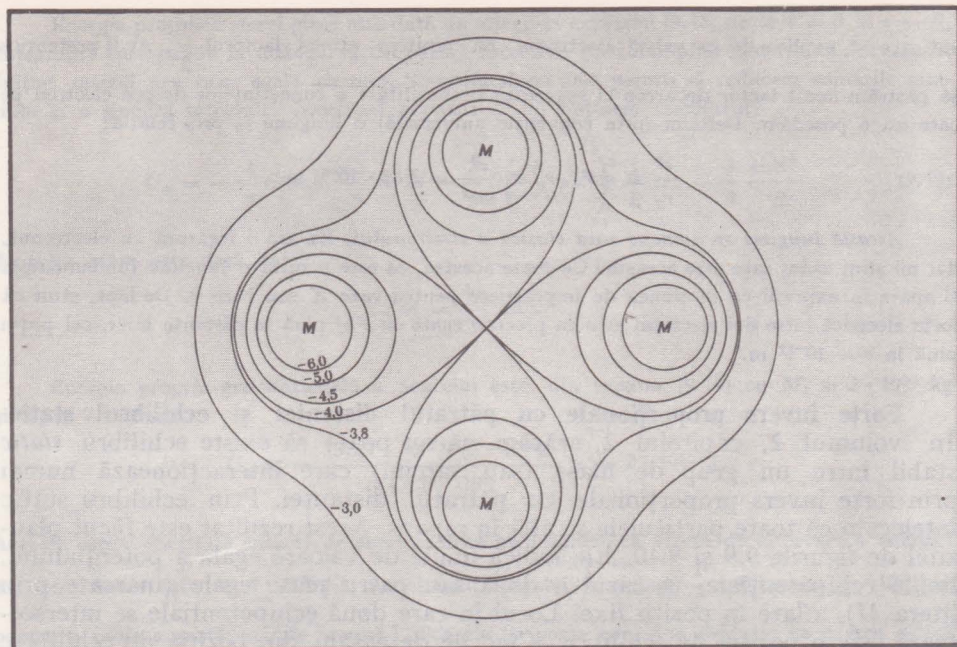


FIG. 9.10. Conturul suprafețelor echipotențiale pentru o distribuție plană de patru corpuri de mase egale. Numerele sînt complet arbitrare.

la opt, la un număr foarte mare de particule pe o sferă, forța să tindă către zero și chiar să fie îndreptată înapoi către centru. Dar după cum știm, sau cel puțin putem deduce din ecuația (9.14), forța tinde către zero și avem în acest caz o stare de echilibru indiferent.

## ORBITE: ECUAȚIA ȘI EXCENTRICITATEA

Am rezolvat deja problema unui corp care descrie o orbită circulară într-un câmp atractiv invers proporțional cu pătratul distanței. Pentru o astfel de orbită există o anumită relație între viteză și distanță. Am dedus această relație în capitolul 3 (paginile 84—88). Din punct de vedere formal, expresia  $-(Mv^2/r)\hat{r}$  este forța centripetă, iar semnul minus arată că ea este îndreptată către centrul cercului. Forța centripetă trebuie să fie egală cu forța  $(C/r^2)\hat{r}$  [ecuația (9.11)] și vedem deci că nu există orbită circulară decât dacă constanta  $C$  este negativă, adică dacă forța este atractivă. Dacă  $C = -GMM_2$ , atunci  $v = (GM_2/r)^{1/2}$ .

Care este însă forma orbitei, în cazul general? Această problemă se numește deseori *problema lui Kepler*, deoarece Kepler a descoperit că orbitele planetelor sînt elipse în câmpul de forțe al Soarelui, care după cum a arătat ulterior Newton, este un câmp invers proporțional cu pătratul distanței. Vom trata mai întâi cazul în care originea forței este fixată la  $r = 0$ . Acest caz pare simplu din punct de vedere conceptual, dar vom arăta la pagina 311



că problema reală a două corpuri poate fi redusă la această situație. Ecuația de mișcare va fi așadar:

$$Ma = \frac{C}{r^2} \hat{r}.$$

Nu presupunem aici o mișcare circulară și lăsăm nespecificată natura forțelor invers proporționale cu pătratul distanței. Faptul important este însă acela că, dacă  $C$  este negativ, atunci forța este atractivă, iar dacă  $C$  este pozitiv, forța este repulsivă.

Ce coordonate sînt mai avantajoase? În primul rînd, de cîte coordonate avem nevoie? De trei? Nu, ci numai de două, întrucît mișcarea are loc într-un plan, planul este cel determinat de vectorul vitezei și de vectorul de poziție  $\mathbf{r}$  ale mobilului deoarece componentele vitezei și ale forței, perpendiculare pe acest plan, sînt nule. Așadar această componentă a vitezei va rămîne totdeauna egală cu zero. Este ușor de apreciat că coordonatele polare  $r$  și  $\theta$  din figura 9.11 sînt mai convenabile decît coordonatele carteziene  $x$  și  $y$ . Cum se va scrie accelerația în funcție de aceste coordonate și de versorii  $\hat{r}$  și  $\hat{\theta}$ ? Din formula (2.30), rezultă:

$$\mathbf{a} = (r - r\ddot{\theta})\hat{r} + \frac{1}{r} \frac{d}{dt} (r^2\dot{\theta}) \hat{\theta}.$$

Așadar, ecuațiile de mișcare sînt:

$$M(\ddot{r} - r\dot{\theta}^2) = \frac{C}{r^2}; \quad \frac{d}{dt} (Mr^2\dot{\theta}) = 0.$$

A doua lege se integrează imediat și dă

$$Mr^2\dot{\theta} = J, \quad (9.21)$$

unde  $J$  este momentul cinetic definit în capitolul 6. Înlocuind  $\dot{\theta}$  din prima relație prin  $J/Mr^2$  obținem:

$$\ddot{r} - rJ^2/M^2r^4 = \ddot{r} - J^2/M^2r^3 = C/Mr^2. \quad (9.22)$$

Din păcate, această ecuație diferențială nu poate fi rezolvată direct, dar să ne reamintim că ne interesează orbite de forma  $r = r(\theta)$ . Eliminînd atunci pe  $t$  între ecuațiile (9.21) și (9.22), obținem:

$$\begin{aligned} \frac{dr}{dt} &= \frac{dr}{d\theta} \cdot \frac{d\theta}{dt} = \frac{dr}{d\theta} \cdot \frac{J}{Mr^2} \\ \frac{d^2r}{dt^2} &= \frac{d^2r}{d\theta^2} \cdot \left( \frac{J}{Mr^2} \right)^2 - \frac{2J}{Mr^3} \left( \frac{dr}{d\theta} \right)^2 \cdot \frac{J}{Mr^2} = \frac{J^2}{M^2r^4} \left[ \frac{d^2r}{d\theta^2} - \frac{2}{r} \left( \frac{dr}{d\theta} \right)^2 \right] \end{aligned} \quad (9.23)$$

Nici această ecuație nu ne este familiară, astfel încît vom încerca să o rezolvăm folosind schimbarea de funcție:

$$\begin{aligned} w(\theta) &= \frac{1}{r(\theta)} \\ \frac{dw}{d\theta} &= -\frac{1}{r^2} \frac{dr}{d\theta} \\ \frac{d^2w}{d\theta^2} &= -\frac{1}{r^2} \frac{d^2r}{d\theta^2} + \frac{2}{r^3} \left( \frac{dr}{d\theta} \right)^2. \end{aligned}$$

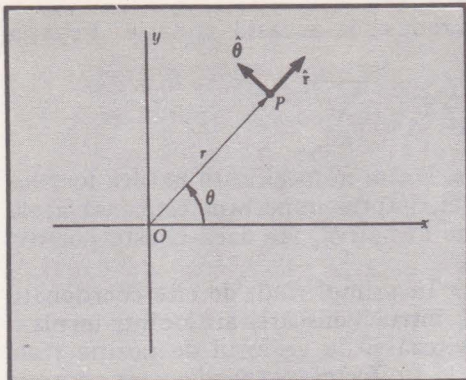


FIG. 9.11. Coordonatele polare, avantajoase pentru descrierea mișcării unui corp de masă  $M$ , aflat în punctul  $P$  sub acțiunea unei forțe centrale exercitate de către centrul de forță fix  $O$ ;  $\hat{r}$  și  $\hat{\theta}$  sînt versorii corespunzători.

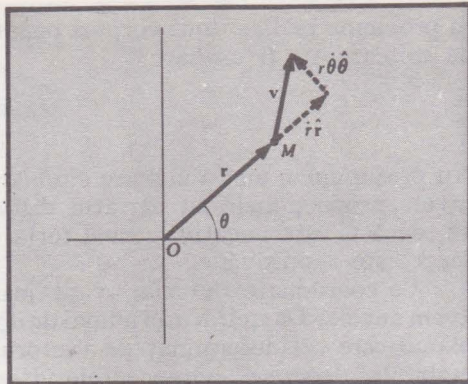


FIG. 9.12. Descompunerea vitezei  $v$  a particulei în componentele radială și unghiulară. Energia cinetică este  $E_c \approx \frac{1}{2} M v^2 =$

$$= \frac{1}{2} M (\dot{r}^2 + r^2 \dot{\theta}^2). \text{ Energia totală este } E = \\ = E_c + U = \frac{1}{2} M \dot{r}^2 + \frac{1}{2} M r^2 \dot{\theta}^2 + U.$$

Înlocuind acest rezultat în ecuația (9.23), sîntem conduși la:

$$\frac{d^2 r}{dt^2} = - \frac{J^2}{M^2 r^2} \frac{d^2 w}{d\theta^2}$$

care, folosind ecuația (9.22) și înlocuind pe  $\frac{1}{r}$  cu  $w$ , trece în:

$$- \frac{J^2}{M^2} \frac{d^2 w}{d\theta^2} - \frac{J^2}{M^2} w = \frac{C}{M} \text{ sau } \frac{d^2 w}{d\theta^2} + w = - \frac{CM}{J^2}.$$

Am întîlnit această ecuație în capitolul 7, ecuația (7.1); soluția ei este:

$$w = A \cos(\theta + \Phi) - \frac{CM}{J^2}.$$

(Folosirea cosinusului în loc de sinus este mai obișnuită în acest caz.)

Întrucît orientarea orbitei în planul  $(r, \theta)$  este neesențială, luăm  $\Phi = 0$  și obținem:

$$\frac{1}{r} = - \frac{CM}{J^2} + A \cos \theta. \quad (9.24)$$

E convenabil să folosim ecuația energiei pentru determinarea constantei  $A$ , deoarece energia totală,  $E$ , este ușor interpretabilă în funcție de tipul orbitei. Energia totală este (vezi fig. 9.12):

$$E = \frac{1}{2} M v^2 + \frac{C}{r} = \frac{1}{2} M (\dot{r}^2 + r^2 \dot{\theta}^2) + \frac{C}{r} = \frac{1}{2} M \left( \frac{J^2}{M^2 r^4} \right) \left[ \left( \frac{dr}{d\theta} \right)^2 + r^2 \right] + \frac{C}{r} \quad (9.25)$$



unde pentru a obține ultima expresie am folosit ecuațiile (9.21) și (9.23). Menționăm că energia potențială  $\frac{C}{r}$  este pozitivă pentru o forță repulsivă ( $C$  pozitiv) și negativă pentru o forță atractivă ( $C$  negativ). Dacă folosim acum expresia (9.24) și derivatele ei pentru a înlocui pe  $r$  și pe  $\frac{dr}{d\theta}$  în formula (9.25), obținem o ecuație în care intervine doar  $A^2$  și câteva constante. Rezolvând în raport cu  $A$ , rezultă:

$$A = \left( \frac{2ME}{J^2} + \frac{C^2 M^2}{J^4} \right)^{\frac{1}{2}} = \frac{CM}{J^2} \left( 1 + \frac{2EJ^2}{C^2 M} \right)^{\frac{1}{2}}$$

astfel încît forma finală a orbitei este:

$$\frac{1}{r} = -\frac{CM}{J^2} \left[ 1 - \left( 1 + \frac{2EJ^2}{C^2 M} \right)^{\frac{1}{2}} \cos \theta \right] \quad (9.26)$$

Dacă forța este atractivă,  $C$  va fi negativ, ca în cazul gravitațional, unde  $C = -GMM_2$ . Atunci, ecuația (9.26) devine:

$$\frac{1}{r} = \frac{GM^2 M_2}{J^2} \left[ 1 - \left( 1 + \frac{2EJ^2}{G^2 M^3 M_2^2} \right)^{\frac{1}{2}} \cos \theta \right].$$

Ecuația (9.26) este tocmai forma polară a ecuației unei conice (elipsă, cerc, parabolă sau hiperbolă). Vă puteți reaminti dintr-un manual de geometrie analitică sau din capitolul 2, pagina 75 că ecuația unei conice (curba care se obține prin secționarea unei suprafețe conice printr-un plan) poate fi scrisă sub forma

$$\frac{1}{r} = \frac{1}{se} (1 - e \cos \theta). \quad (9.27)$$

Constanta  $e$  se numește *excentricitate*. Constanta  $s$  determină scala figurii. Cele patru tipuri de conice descrise de ecuația (9.27), sînt:

hiperbola	$e > 1$
parabola	$e = 1$
elipsa	$0 < e < 1$
cercul	$e = 0$ .

Nu este greu să se determine caracteristicile principale ale orbitei din valorile lui  $e$  (vezi de asemenea fig. 9.13). Dacă  $e = 0$ , atunci  $r$  este constant. Dacă  $0 < e < 1$ , mărimea razei vectoare,  $r$ , rămîne finită, variînd de la valoarea  $se/(1-e)$  la valoarea  $se/(1+e)$ . Dacă însă  $e > 1$ , atunci vor exista două valori ale lui  $\cos \theta$  pentru care  $1 - e \cos \theta$  se anulează, iar  $r$  devine infinită; obținem în acest caz o hiperbolă. Pentru parabolă ( $e = 1$ ),  $r$  tinde la infinit doar pentru  $\theta$  tinzînd la 0, iar acest lucru se întîmplă atît la valori negative cît și la valori pozitive ale unghiului  $\theta$ . Din ecuațiile (9.26) și (9.27), rezultă:

$$e = \left( 1 + \frac{2EJ^2}{C^2 M} \right)^{\frac{1}{2}}. \quad (9.28)$$

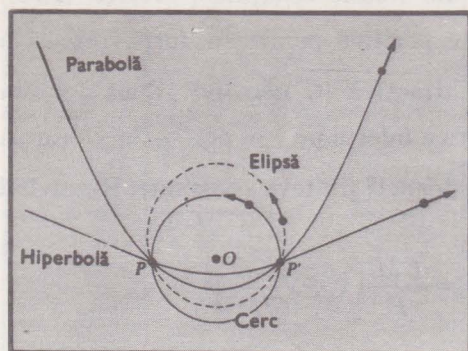


FIG. 9.13. Orbitale unor particule care au aceeași masă  $M$  și același moment cinetic  $J$ , dar energii  $E$  diferite, în raport cu centrul de forță fix  $O$ . Toate orbitale se intersectează în  $P$  și  $P'$ .

Orbita	Excentricitatea
Cerc	$e = 0$
Elipsă	$e = \frac{1}{3} \left. \vphantom{\begin{matrix} e = 0 \\ e = \frac{1}{3} \end{matrix}} \right\} E < 0$
Parabolă	$e = 1, E = 0$
Hiperbolă	$e = 3, E > 0$

Din considerațiile asupra energiei și din formula (9.25), observăm că, pentru o forță repulsivă,  $C > 0$ ,  $E$  trebuie să fie pozitivă,  $e$  va fi totdeauna mai mare ca 1, iar orbita va fi o hiperbolă. Pe de altă parte, pentru o forță atractivă  $C < 0$  (în cazul gravitațional  $C = -GMM_2$ , unde pentru sistemul solar  $M_2$  este masa Soarelui),  $E$  va fi pozitivă dacă energia cinetică este mai mare decât energia potențială, iar energia cinetică rămâne încă pozitivă la  $r = \infty$ ;  $E$  va fi negativă dacă are loc situația contrară, caz în care particula nu se va putea îndepărta niciodată la infinit. Este interesant că tipul eliptic sau hiperbolic al orbitei în cazul forței atractive este determinat numai de semnul lui  $E$  și nu de valorile lui  $J$ . Desigur că, pe măsură ce  $J$  crește, la o valoare dată a lui  $r$ , vor crește și energia cinetică și energia totală  $E$ : dar, indiferent cât de mare este  $J$ , vor exista totdeauna orbite cu  $E < 0$ .

O metodă aproximativă, dar eficientă pentru a vă convinge că ecuația (9.27) poate descrie o curbă care să aibă alura unei elipse, constă în calcularea lui  $r$  pentru un domeniu de valori ale lui  $\theta$ . Rezultatele pot fi trecute într-un grafic în coordonate polare, pe o hîrtie milimetrică specială. O astfel de hîrtie este liniată cu linii de unghi constant și de rază constantă. În tabelul 9.1

TABELUL 9.1

$\theta$	$\cos \theta$	$2\left(1 - \frac{1}{2} \cos \theta\right)$	
0°	1,00	1,00	1,00
20°	0,94	1,06	0,94
40°	0,77	1,23	0,81
60°	0,50	1,50	0,67
80°	0,17	1,83	0,55
90°	0,00	2,00	0,50
100°	-1,17	2,17	0,46
120°	-0,50	2,50	0,40
140°	-0,77	2,77	0,36
160°	-0,94	2,94	0,34
180°	-1,00	3,00	0,33

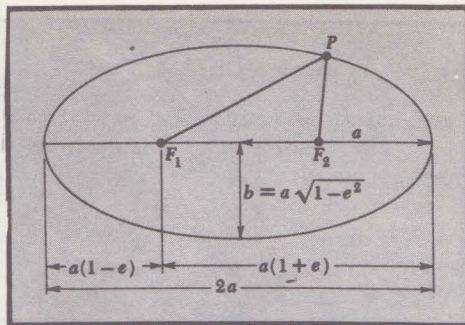
sînt trecute calculele aproximative obținute din ecuația (9.27) pentru  $s = 1$  și  $e = \frac{1}{2}$ ; dacă veți trece aceste valori ale lui  $r$  în funcție de  $\theta$  pe graficul



FIG. 9.14. Proprietățile elipsei. Pentru orice punct  $P$  de pe elipsă, suma distanțelor  $F_1P + F_2P = \text{const} = 2a$ . Ecuația elipsei este:

$$r = \frac{a(1 - e^2)}{1 - e \cos \theta} \quad 0 < e < 1.$$

Semiaxa mică este  $b = a\sqrt{1 - e^2}$ . Aria elipsei este egală cu  $\pi ab$ .



în coordonate polare, vă veți convinge că, curba arată ca o elipsă. Faceți calcule asemănătoare pentru  $s = 1$ ,  $e = 2$ ; curba obținută este o hiperbolă.

Trebuie amintită o expresie folositoare a excentricității elipsei, care se poate scrie observând că valorile extreme ale lui  $r$  se obțin la  $\theta = \pi$  și  $\theta = 0$ ; se obține:

$$e = \frac{r_{\max} - r_{\min}}{r_{\max} + r_{\min}}. \quad (9.29)$$

Alte câteva relații sînt date în figura 9.14.

**Orbita circulară.** Am pus în evidență mai sus condițiile în care se obține o orbită circulară. Să demonstrăm că ele implică relația  $e = 0$ . Să considerăm orbita circulară a unei planete de masă  $M$  în jurul unei stele de masă  $M_2$ . Egalînd forța centripetă cu cea gravitațională, obținem:

$$\frac{Mv^2}{r} = \frac{GMM_2}{r^2}.$$

Momentul cinetic este:

$$J = Mvr = M \sqrt{\frac{GM_2}{r}} r = (GM^2M_2r)^{\frac{1}{2}}$$

Energia totală este:

$$E = \frac{1}{2} Mv^2 - \frac{GMM_2}{r} = -\frac{1}{2} \frac{GMM_2}{r}$$

și astfel

$$e = \sqrt{1 + \left( -\frac{GMM_2}{r} \cdot \frac{M^2GM_2r}{G^2M^2M_2^2M} \right)} = 0.$$

Am observat că unii studenți sînt înclinați să creadă că toate orbitele închise sînt circulare. Pentru a „simți” mai bine orbitele eliptice priviți figura 9.15. În această figură vedem o familie de traiectorii ale unei particule atrase de originea  $O$  (marcată cu o cruce) cu o forță proporțională cu inversul pătratului distanței. Familia de curbe a fost astfel aleasă, încît toate traiectoriile să treacă printr-un punct  $P$  în care viteza să fie perpendiculară pe direcția  $OP$ . Diversele orbite sînt caracterizate de diverse valori ale vitezei în  $P$ .

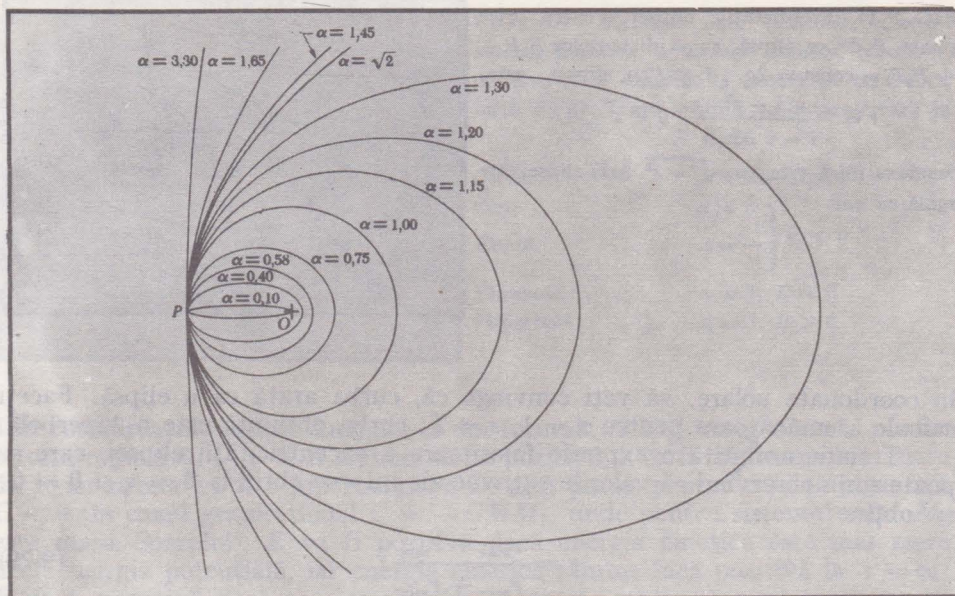


FIG. 9.15. Traiectoriile care trec toate prin punctul  $P$  și care sînt perpendiculare pe dreapta  $OP$  ( $O$  este centrul de forță fix). Dacă  $v_0$  este viteza pe orbita circulară, parametrul  $\alpha$  se definește prin relația  $v_P(\alpha) = \alpha v_0$ . Se arată în relația (9.31) că  $E(\alpha) = (2 - \alpha^2)E_0$ .

Viteza generală  $v_p$  este scrisă convențional ca:

$$\frac{v_p}{v_0} \equiv \alpha$$

unde  $v_0$  este viteza pe orbita circulară centrată în  $O$ , care trece prin  $P$ . Pentru  $\alpha = 1$ , orbita este circulară; pentru  $\alpha < \sqrt{2}$ , orbita este o elipsă, pentru  $\alpha = \sqrt{2}$ , orbita este o parabolă, iar pentru  $\alpha > \sqrt{2}$ , orbita este o hiperbolă. [Aceste rezultate se obțin ușor din formula (9.31).]

Calculînd energia, se vede că tranziția între traiectoriile închise și deschise apare la  $\alpha = \sqrt{2}$ . În punctul  $P$  energia totală poate fi scrisă sub forma:

$$E = \frac{1}{2} M v_p^2 - \frac{GMM_2}{r_0} = \frac{1}{2} M \alpha^2 v_0^2 - \frac{GMM_2}{r_0} = \frac{1}{2} (\alpha^2 - 1) M v_0^2 + \frac{1}{2} M v_0^2 - \frac{GMM_2}{r_0} = E_0 + \frac{1}{2} (\alpha^2 - 1) M v_0^2, \quad (9.30)$$

unde  $E_0$  și  $v_0$  se referă la energia și viteza pe orbita circulară, iar  $r_0$  este distanța  $OP$ . Pe orbita circulară, forța centripetă este egală cu forța gravitațională:

$$\frac{M v_0^2}{r_0} = \frac{GMM_2}{r_0^2}.$$

Folosind acest rezultat, putem scrie energia pe orbita circulară sub forma:

$$E_0 = \frac{1}{2} M v_0^2 - \frac{GMM_2}{r_0} = \frac{1}{2} M v_0^2 - M v_0^2 = -\frac{1}{2} M v_0^2.$$



iar expresia (9.30) poate fi scrisă după cum urmează:

$$E = E_0 - (\alpha^2 - 1) E_0 = (2 - \alpha^2) E_0 = (\alpha^2 - 2) |E_0|. \quad (9.31)$$

Dacă  $\alpha^2 > 2$ , atunci energia totală este pozitivă și orbita este deschisă. Dacă  $\alpha^2 < 2$ , energia totală este negativă, iar orbita este închisă: particula nu se poate îndepărta la distanță infinită. Dacă  $\alpha^2 = 2$ , orbita este parabolică.

**Legile lui Kepler.** Descoperirea de către Kepler a faptului că orbitele planetelor sînt elipse în jurul Soarelui, a fost una dintre cele mai mari descoperiri experimentale din istoria științei. Împreună cu formularea legilor empirice ale mișcării planetelor, ea a constituit prima bază experimentală a legilor newtoniene ale mecanicii și a teoriei atracției gravitaționale. În esență, Kepler și-a enunțat cele trei legi astfel:

1. Toate planetele se mișcă pe orbite eliptice, care au Soarele într-unul din focare.
2. Raza vectoare mătură arii egale în intervale de timp egale.
3. Pătratele perioadelor de revoluție ale planetelor în jurul Soarelui sînt proporționale cu cuburile semiaxelor mari ale traiectoriilor eliptice respective. (Această aserțiune este mai generală decît formularea originală a lui Kepler.)

De-a lungul întregii noastre discuții am neglijat efectele celorlalte planete asupra celei luate în considerare.

Am arătat mai sus că orbitele închise sînt eliptice. Legea a doua a lui Kepler a fost demonstrată în capitolul 6, ecuația (6.36), ca o simplă consecință a conservării momentului cinetic.

Vom deduce acum legea a treia a lui Kepler. Dacă  $dS$  este aria măturată de raza vectoare în timpul  $dt$ , atunci:

$$\frac{dS}{dt} = \frac{J}{2M} = \text{const.} \quad (9.32)$$

unde  $J$  este momentul cinetic, iar  $M$  este masa. Integrînd ecuația (9.32) pe perioada  $T$  a mișcării, obținem:

$$S = \frac{JT}{2M} \quad \text{sau} \quad T = \frac{2SM}{J} = \frac{2\pi abM}{J}. \quad (9.33)$$

$S = \pi ab$  este aria elipsei de semiaxă mare  $a$  și semiaxă mică  $b$ . Relația  $2a = r_{\max} + r_{\min}$  este o proprietate evidentă a elipsei. Folosind ecuația (9.27) avem:

$$2a = \frac{se}{1+e} + \frac{se}{1-e} = \frac{2se}{1-e^2},$$

sau, împreună cu ecuațiile (9.26) și (9.27):

$$2a = \frac{2}{1-e^2} \cdot \frac{J^2}{GM^2M_2}. \quad (9.34)$$

Ridicînd la pătrat expresia (9.33) și folosind pentru  $J^2$  expresia (9.34), obținem:

$$T^2 = \frac{(2\pi abM)^2}{aGMM_2M(1-e^2)} = \frac{4\pi^2 ab^3M}{GMM_2(1-e^2)}. \quad (9.35)$$

Ținând seama de proprietatea excentricității  $e$  (vezi fig. 9.14)

$$b^2 = a^2(1 - e^2)$$

formula (9.35) se reduce la:

$$T^2 = \frac{4\pi^2 a^3}{GM_2} \quad (9.36)$$

Puteți verifica egalitatea (9.36) pentru o orbită circulară.

Tabelul 9.2 dă o serie de date referitoare la orbitele planetelor mari. Înclinarea trecută în tabel este unghiul dintre planul orbitei planetei și planul orbitei Pământului (ecliptica). Remarcați că orbita Pământului este aproape circulară.

TABELUL 9.2

Planeta	Semiaxa mare, UA	Perioada s	Excentricitatea	Înclinarea	Masa, în raport cu masa Soarelui
Mercur	0,387	$7,60 \times 10^6$	0,2056	7°00'	$1,671 \times 10^{-7}$
Venus	0,723	$1,94 \times 10^7$	0,0068	3°24'	$2,448 \times 10^{-6}$
Pământ	1,000	$3,16 \times 10^7$	0,0167	...	$3,003 \times 10^{-6}$
Marte	1,523	$5,94 \times 10^7$	0,0934	1°51'	$3,227 \times 10^{-7}$
Jupiter	5,202	$3,74 \times 10^8$	0,0481*	1°18'	$9,548 \times 10^{-4}$
Saturn	9,554	$9,30 \times 10^8$	0,0530*	2°29'	$2,858 \times 10^{-4}$
Uranus	19,218	$2,66 \times 10^9$	0,0482*	0°46'	$4,361 \times 10^{-5}$
Neptun	30,109	$5,20 \times 10^9$	0,0054*	1°46'	$5,192 \times 10^{-5}$
Pluton	39,60	$7,82 \times 10^9$	0,251*	17° 8'	$5,519 \times 10^{-7}$

\* Excentricitatea variază în timp datorită perturbațiilor produse de celelalte planete. Acestea sînt valorile din 1972.

O *unitate astronomică* (UA) de lungime se definește ca semisuma dintre distanța cea mai mare și cea mai mică a Pământului față de Soare.

$$1 \text{ UA} = 1,495 \cdot 10^{11} \text{ m.}$$

Această unitate nu trebuie confundată cu parsecul. Un *parsec* este distanța de la care unitatea astronomică este văzută sub unghiul de o secundă.

$$1 \text{ parsec} = 3,084 \cdot 10^{16} \text{ m.}$$

Distanța pînă la cea mai apropiată stea este de 1,31 parseci. Să verificăm acum legea a treia a lui Kepler pentru orbita lui Uranus și a Pământului. Cubul raportului semiaxelor mari este:

$$\left( \frac{19,22}{1} \right)^3 \approx 71,0 \times 10^2.$$

Pătratul raportului perioadelor este:

$$(84,2)^2 = 70,9 \times 10^2,$$

ceea ce reprezintă o concordanță foarte bună. (Pentru efectuarea calculelor s-a folosit riglă de calcul; studentul poate reface calculul pentru orbitele lui Mercur și a Pământului.) În figura 9.16 s-a folosit o hîrtie milimetrică cu scară logaritmică pentru a trece perioadele și semiaxele mari ale planetelor. Pe o



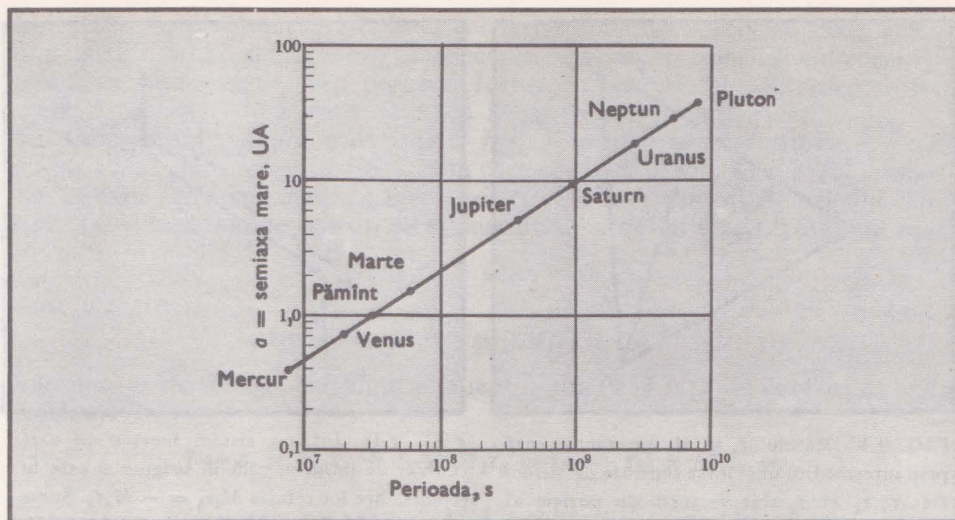


FIG. 9.16. Studiind panta acestei drepte se vede ușor că perioada  $T$  este proporțională cu  $a^{3/2}$ .

scală logaritmica o lege de tip putere va apărea ca o linie dreaptă. Panta acestei drepte reprezintă exponentul puterii respective. (Dovediți acest lucru.)

Newton însuși a verificat legea a treia a lui Kepler, folosind perioadele de revoluție observate ale celor patru sateliți mari ai lui Jupiter și a găsit un acord foarte bun cu teoria.

**Problema celor două corpuri: masa redusă.** Am rezolvat pînă acum problema unui corp care se mișcă în câmpul generat de un corp de masă infinită aflat în repaus și am menționat că soluția problemei poate fi folosită și atunci cînd cele două corpuri au mase comparabile, adică nici una dintre mase nu este infinită. Vom arăta cum se face acest lucru, cu ajutorul unui nou concept, acela de *masă redusă*.

Presupunem că nu există forțe externe, adică singurele forțe care acționează sînt forțele de interacțiune reciprocă. Atunci, așa cum s-a arătat în capitolul 6, viteza centrului de masă este constantă și, printr-o transformare galileeană corespunzătoare, o putem lua egală cu zero. (Dacă ar exista forțe externe, atunci centrul de masă ar fi accelerat și ar trebui să raportăm soluția noastră la acest punct aflat în mișcare accelerată.) Figura 9.17 arată vectorii folosiți:

$$\mathbf{R}_{c.m.} = \frac{M_1 \mathbf{r}_1 + M_2 \mathbf{r}_2}{M_1 + M_2}.$$

Menționăm aici că forțele care acționează asupra lui  $M_1$  și  $M_2$  sînt îndreptate către centrul de masă, care se află în mod necesar pe dreapta ce unește cele două corpuri. Întrucît analiza noastră este valabilă pentru orice forță centrală, vom scrie în general forța care acționează asupra lui  $M_1$  și  $M_2$  sub forma  $F(r_{12}) \hat{\mathbf{r}}$ , unde  $r_{12}$  este distanța dintre  $M_1$  și  $M_2$ :

$$M_1 \frac{d^2 \mathbf{r}_1}{dt^2} = F(r_{12}) \hat{\mathbf{r}}; \quad M_2 \frac{d^2 \mathbf{r}_2}{dt^2} = -F(r_{12}) \hat{\mathbf{r}}.$$

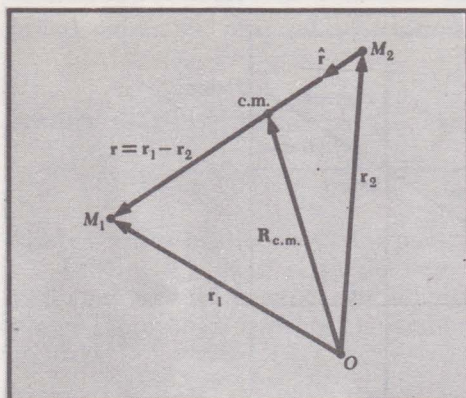


FIG. 9.17. Masele  $M_1$  și  $M_2$  interacționează prin intermediul unei forțe centrale de direcție  $\hat{r}$ ;  $r$ ;  $r_1$  și  $r_2$  sint vectorii de poziție ai corpurilor de mase  $M_1$  și  $M_2$ , raportate la un sistem de coordonate inerțial cu originea în  $O$ . În absența forțelor externe,  $R_{c.m.} = \text{const}$  (vezi pagina 198).

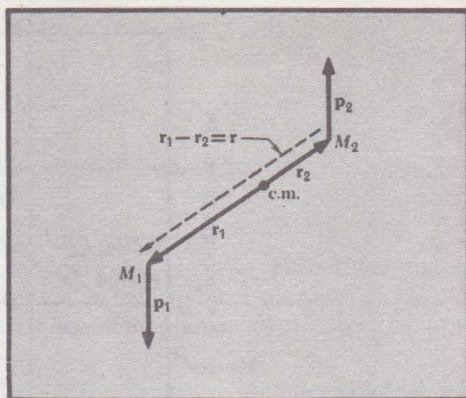


FIG. 9.18. Într-un sistem inerțial în care centrul de masă se află în origine și este în repaus, are loc relația  $M_1 r_1 = - M_2 r_2$ . Suma dintre momentele cinetice ale lui  $M_1$  și  $M_2$  în raport cu centrul de masă este momentul cinetic total  $J$ , care rămâne constant în timpul mișcării. Remarcați diferența dintre semnificația lui  $r_1$  și  $r_2$  în raport cu figura 9.17.

În loc să adunăm aceste două ecuații, ceea ce ar conduce la conservarea impulsului total, le vom scădea, după ce le împărțim prin masele respective:

$$\frac{d^2 r_1}{dt^2} - \frac{d^2 r_2}{dt^2} = \frac{d^2 (r_1 - r_2)}{dt^2} = \left( \frac{1}{M_1} + \frac{1}{M_2} \right) F(r_{12}) \hat{r}.$$

Observăm din figura 9.17 că  $r_1 - r_2 = r$  este vectorul de poziție al lui  $M_1$  în raport cu  $M_2$ , și că  $\hat{r}$  este versorul lui  $r$ . Introducînd acum *masa redusă*  $\mu$  prin relația:

$$\frac{1}{\mu} = \frac{1}{M_1} + \frac{1}{M_2}$$

$$\mu = \frac{M_1 M_2}{M_1 + M_2} \quad (9.37)$$

obținem ecuația  $\mu \frac{d^2 r}{dt^2} = F(r_{12}) \hat{r}$ . În cazul forței gravitaționale, ecuația corespunzătoare:

$$\mu \frac{d^2 r}{dt^2} = - \frac{G M_1 M_2}{r^2} \hat{r}, \quad (9.38)$$

a fost deja rezolvată.

Folosim ecuațiile (9.37) și (9.38) în felul următor: reamintim că  $r$  este vectorul de la  $M_2$  la  $M_1$ . Cu ajutorul ecuației (9.38) putem rezolva mișcarea lui  $M_1$  în raport cu  $M_2$  exact ca și cum  $M_2$  ar fi originea fixă a sistemului inerțial, însă cu deosebirea că folosim masa  $\mu$  în locul lui  $M_1$ . Am redus astfel problema celor două corpuri  $M_1, M_2$  la problema unui singur corp de masă  $\mu$ .

Menționăm însă că forța din ecuația (9.38) nu este  $-\frac{G \mu M_2}{r^2}$  ! Pentru a afla



traieectoria în problema celor două corpuri trebuie să rezolvăm doar această problemă a unui singur corp. Reducerea problemei celor două corpuri la problema unui singur corp poate fi făcută în același fel pentru orice forță centrală; masa redusă va apărea de fiecare dată.

Cum definim acum constantele  $J$  și  $E$  pentru această mișcare a unui singur corp? Vom folosi figura 9.18 în care originea se află în centrul de masă, dar în care atragem atenția că vectorii  $\mathbf{r}_1$  și  $\mathbf{r}_2$  sînt diferiți de cei din figura 9.17. Ca și mai înainte,  $\mathbf{r} = \mathbf{r}_1 - \mathbf{r}_2$  dădin însăși definiția centrului de masă,

$$M_1\mathbf{r}_1 + M_2\mathbf{r}_2 = 0$$

și ca urmare:

$$M_1\mathbf{r}_1 = -M_2\mathbf{r}_2 \quad \text{și} \quad M_1\dot{\mathbf{r}}_1 = -M_2\dot{\mathbf{r}}_2.$$

Folosind ultima relație calculăm momentul cinetic  $J$  față de centrul de masă (origine):

$$\begin{aligned} J &= \mathbf{r}_1 \times M_1\dot{\mathbf{r}}_1 + \mathbf{r}_2 \times M_2\dot{\mathbf{r}}_2 = (\mathbf{r}_1 - \mathbf{r}_2) \times M_1\dot{\mathbf{r}}_1 = \\ &= (\mathbf{r}_1 - \mathbf{r}_2) \times \frac{M_1M_2}{M_1 + M_2} (\dot{\mathbf{r}}_1 - \dot{\mathbf{r}}_2) = \mathbf{r} \times \mu\dot{\mathbf{r}}, \end{aligned}$$

unde am folosit relațiile:

$$\begin{aligned} M_1\dot{\mathbf{r}}_1 &= \frac{M_1(M_1 + M_2)\dot{\mathbf{r}}_1}{M_1 + M_2} = \frac{M_1}{M_1 + M_2} (-M_2\dot{\mathbf{r}}_2 + M_2\dot{\mathbf{r}}_1) = \\ &= \frac{M_1M_2}{M_1 + M_2} (\dot{\mathbf{r}}_1 - \dot{\mathbf{r}}_2). \end{aligned} \quad (9.39)$$

Constanta moment cinetic  $J$  este așadar calculată presupunînd că masa redusă se mișcă în jurul masei  $M_2$  considerată fixă.

Pentru calculul energiei  $E$  vom considera din nou centrul de masă fix și vom folosi ecuația (9.39):

$$\begin{aligned} E &= \frac{1}{2} M_1\dot{\mathbf{r}}_1 \cdot \dot{\mathbf{r}}_1 + \frac{1}{2} M_2\dot{\mathbf{r}}_2 \cdot \dot{\mathbf{r}}_2 - \frac{GM_1M_2}{r} = \frac{1}{2} \left( M_1 + M_2 \frac{M_1^2}{M_2^2} \right) \dot{\mathbf{r}}_1 \cdot \dot{\mathbf{r}}_1 - \\ &- \frac{GM_1M_2}{r} = \frac{1}{2} M_1 \left( \frac{M_1 + M_2}{M_2} \right) \left[ \frac{M_2^2(\dot{\mathbf{r}}_1 - \dot{\mathbf{r}}_2) \cdot (\dot{\mathbf{r}}_1 - \dot{\mathbf{r}}_2)}{(M_1 + M_2)^2} \right] - \frac{GM_1M_2}{r} = \\ &= \frac{1}{2} \mu (\dot{\mathbf{r}}_1 - \dot{\mathbf{r}}_2) \cdot (\dot{\mathbf{r}}_1 - \dot{\mathbf{r}}_2) - \frac{GM_1M_2}{r} = \frac{1}{2} \mu \dot{\mathbf{r}}^2 - \frac{GM_1M_2}{r} \end{aligned} \quad (9.40)$$

așadar, putem considera din nou că masa redusă se mișcă în jurul masei  $M_2$ , considerată fixă (vezi probl. 11).

Masa redusă este mai mică decît oricare dintre masele  $M_1$ ,  $M_2$ . Pentru  $M_1 = M_2 = M$ , rezultă:

$$\frac{1}{\mu} = \frac{2}{M}, \quad \mu = \frac{1}{2} M.$$

Dacă  $M_1 \ll M_2$ , obținem din ecuația (9.37):

$$\mu = \frac{M_1M_2}{M_1 + M_2} = M_1 \frac{1}{(M_1/M_2) + 1} \approx M_1 \left( 1 - \frac{M_1}{M_2} \right).$$

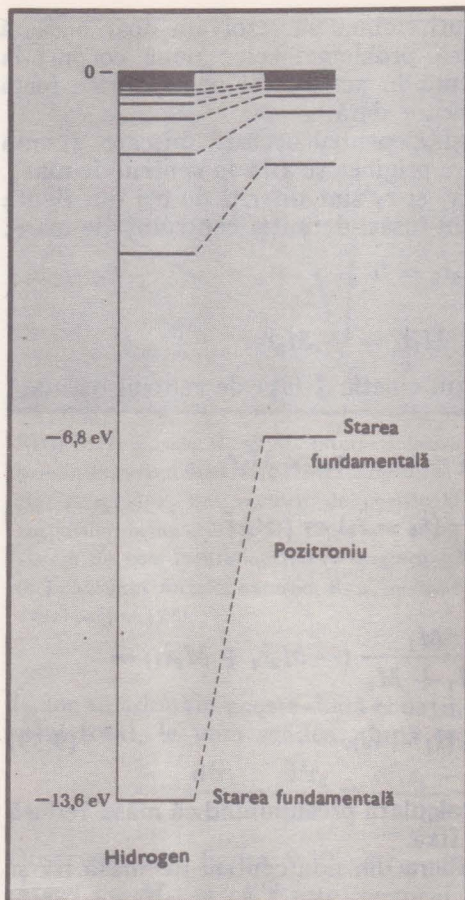
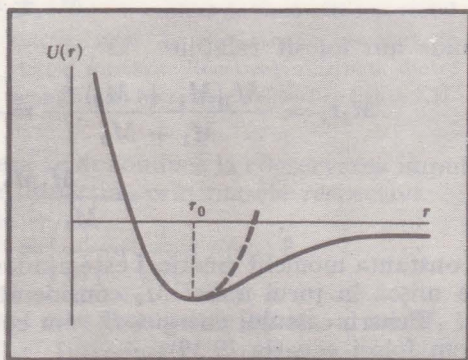


FIG. 9.19. Nivelele energetice ale atomului de hidrogen atomic și de pozitroniu. Masa redusă a hidrogenului este  $\mu = m_e / \left( 1 + \frac{1}{1836} \right) \approx m_e$ .

Masa redusă a pozitroniului este  $\mu = \frac{1}{2} m_e$ .

Acest fapt duce la apariția unui factor 2 în nivelele energetice.

FIG. 9.20. Graficul energiei potențiale ca funcție de distanța dintre cei doi atomi ai unei molecule. Poziția de echilibru se află la  $r_0$ . Curba punctată reprezintă parabola corespunzătoare energiei potențiale pătratice date de relația (9.42).



Am dezvoltat aici fracția în serie, reținând doar termenii de ordinul întâi în  $M_1/M_2$ . Dacă  $M_1$  este  $m$  (masa electronului), iar  $M_2$  este  $M_p$  (masa protonului), atunci masa redusă este:

$$\mu \approx m \left( 1 - \frac{1}{1836} \right).$$

Valoarea masei reduse este mai apropiată de valoarea masei celei mai mici. Diferența dintre  $\mu$  și  $m$  se pune ușor în evidență în spectrul hidrogenului atomic:

Pozitroniul este un atom hidrogenoid alcătuit dintr-un electron și un pozitron în locul protonului. Pozitronul este o particulă care are masa egală cu cea a electronului dar sarcină pozitivă  $e$ . Pornind de la faptul că masa redusă a pozitroniului este aproximativ jumătate din masa redusă a hidrogenului atomic, ecuația (9.41) sugerează (ceea ce se va dovedi corect) că ar trebui să existe o similaritate între spectrele de linii ale hidrogenului atomic și ale pozitroniului. Interacția coulombiană dintre un electron și un pozitron are exact aceeași formă ca și cea dintre un electron și un proton. În figura 9.19 sînt prezentate nivelele energetice ale hidrogenului atomic și pozitroniului.



## EXEMPLU

**Vibrația unei molecule biatomice.** Doi atomi legați într-o moleculă stabilă au o energie potențială care variază pătratic cu diferența  $r - r_0$  a distanței față de poziția de echilibru  $r_0$ :

$$U(r) = \frac{1}{2} k(r - r_0)^2. \quad (9.42)$$

dacă  $(r - r_0)/r_0 \ll 1$  (vezi fig. 9.20). Forța este îndreptată de-a lungul dreptei care unește cei doi atomi și (dacă molecula nu are mișcare de rotație) ea este dată de formula:

$$F = - \frac{dU}{d(r - r_0)} = -k(r - r_0). \quad (9.43)$$

Această forță descrie un oscilator armonic de constantă elastică  $k$ . Masele atomilor sînt  $M_1$  și  $M_2$ . Care este frecvența vibrației?

Într-o vibrație liberă ambii atomi se mișcă, iar centrul de masă este în repaus. Ecuația de mișcare este dată evident de ecuația (9.38) unde în locul forței gravitaționale apare expresia (9.43):

$$\mu \frac{d^2 \mathbf{r}}{dt^2} = -k(r - r_0) \hat{\mathbf{r}}. \quad (9.44)$$

Dacă molecula nu are mișcare de rotație, direcția lui  $\hat{\mathbf{r}}$  este fixă și atunci:

$$\frac{d^2 \mathbf{r}}{dt^2} = \frac{d^2 r}{dt^2} \hat{\mathbf{r}}.$$

(Derivata lui  $\mathbf{r}$  nu are această formă simplă în cazul în care  $\hat{\mathbf{r}}$  variază.) Putem rescrie atunci ecuația (9.44) ca o ecuație scalară:

$$\mu \frac{d^2 r}{dt^2} = -k(r - r_0),$$

care este tocmai ecuația de mișcare a oscilatorului armonic de pulsație:

$$\omega_0 = \left( \frac{k}{\mu} \right)^{\frac{1}{2}}. \quad (9.45)$$

Din măsurători spectroscopice se știe că frecvențele fundamentale de vibrație ale moleculelor de acid fluorhidric (HF) și acid clorhidric (HCl) sînt:

$$\omega_0(\text{HF}) = 7,55 \cdot 10^{14} \text{ rad/s}^*$$

$$\omega_0(\text{HCl}) = 5,47 \cdot 10^{14} \text{ rad/s}.$$

Să comparăm aceste date cu constantele elastice  $k_{\text{HF}}$  și  $k_{\text{HCl}}$ . Masele reduse sînt, în unități atomice de masă:

$$\frac{1}{\mu_{\text{HF}}} \approx \frac{1}{1} + \frac{1}{19} = \frac{20}{19}; \quad \mu_{\text{HF}} \approx 0,950$$

$$\frac{1}{\mu_{\text{HCl}}} \approx \frac{1}{1} + \frac{1}{35} = \frac{36}{35}; \quad \mu_{\text{HCl}} \approx 0,973.$$

(Am folosit aici masa atomică a celui mai abundent izotop al clorului,  $^{35}\text{Cl}$ ). Observați că masele reduse sînt foarte apropiate, deoarece hidrogenul, care este cel mai ușor, preia cea mai mare parte a oscilației.

Din ecuația (9.45) rezultă:

$$\frac{k_{\text{HF}}}{k_{\text{HCl}}} = \frac{(\mu\omega_0^2)_{\text{HF}}}{(\mu\omega_0^2)_{\text{HCl}}} \approx \frac{54,0 \times 10^{28}}{29,0 \times 10^{28}} \approx 1,86$$

și constanta elastică:

$$k_{\text{HF}} \approx (54 \times 10^{28}) (1,66 \times 10^{-27}) \approx 9,0 \times 10^2 \text{ N/m.}$$

Am introdus aici factorul care transformă unitatea atomică de masă în kilograme. Este rezonabilă această valoare a constantei elastice  $k$ ? Să presupunem că molecula (al cărui diametru este de aproximativ  $1\text{\AA} = 1 \cdot 10^{-10} \text{ m}$ ) este alungită cu  $0,5\text{\AA}$ . Lucrul mecanic necesar va fi aproximativ egal cu cel necesar pentru disocierea moleculei în atomi de hidrogen (H) și fluor (F). Din ecuația (9.42) lucrul mecanic necesar pentru îndepărtarea atomilor cu  $0,5\text{\AA}$  este de același ordin de mărime cu:

$$\frac{1}{2} k(r - r_0)^2 \approx \frac{1}{2} (9 \cdot 10^2) (0,5 \cdot 10^{-10})^2 \approx 1 \cdot 10^{-18} \text{ J} \approx 6 \text{ eV.}$$

Aceasta este o valoare rezonabilă pentru energia de disociere a unei molecule. În estimarea de mai sus am folosit forma pătratică a energiei potențiale [ecuația (9.42)] în afara regiunii în care ea este valabilă. Dependența reală a energiei potențiale intermoleculare de distanță, este ilustrată în figura 9.20.

## PROBLEME

1. *Atracția gravitațională exercitată de o masă distribuită pe o linie infinită.* Arătați că forța gravitațională care acționează asupra unui corp de masă  $M_1$  situat la distanța  $R$  de o distribuție liniară infinită de densitate liniară constantă  $\rho$  este  $\frac{2G\rho M_1}{R}$ . (Fiți atenți la direcția forței datorate unui element de linie.)

2. *Atracția gravitațională exercitată de o masă distribuită pe un segment finit.* Un corp de masă  $m$  se află la distanța  $x$  pe

mediatoarea unui segment omogen de lungime  $2L$  și de masă  $M$ ; originea sistemului de coordonate se află la mijlocul segmentului.

(a) Găsiți expresia energiei potențiale a corpului de masă  $m$  dacă la  $x = \infty$ ,  $U = 0$ .

$$R: -\frac{GMm}{L} \log \frac{L + \sqrt{x^2 + L^2}}{x}.$$

(b) Găsiți expresia forței gravitaționale exercitate de către segment asupra



corpului de masă  $m$ . În ce direcție acționează această forță?

- (c) Arătați că rezultatul de la punctul (a) se reduce la  $U \approx -GMm/x$  pentru  $x \gg L$ .

Considerăm o sîrmă subțire de lungime 2 m și densitate liniară 0,2 kg/m.

- (d) Care este valoarea forței gravitaționale exercitată de către sîrmă asupra unei mase punctiforme  $m = 5 \cdot 10^{-4}$  kg aflată pe direcția sîrmei, la distanța de 3 m de centrul ei?

$$R: 1,7 \cdot 10^{-15} \text{ N.}$$

- (e) Care este energia potențială a unei mase punctiforme aflată în cimpul de forțe al sîrmei, în poziția indicată la punctul (d)?

$$R: -4,6 \cdot 10^{-15} \text{ J.}$$

**3. Energia gravitațională a unui sistem de stele.** Aflați energia potențială gravitațională a unei configurații de opt stele, care au, fiecare dintre ele, masa Soarelui și sînt situate în virfurile unui cub cu muchia de un parsec. (Neglijați energia proprie a fiecărei stele.)

$$R: 2 \cdot 10^{35} \text{ J.}$$

**4. Tunelul care străbate Pămîntul.** Să considerăm un tunel care trece prin centrul Pămîntului. Arătați că, dacă se neglijează rotația Pămîntului și frecarea, mișcarea unei particule prin acest tunel va fi oscilatorie armonică. Aflați perioada. Faceți o legătură între această perioadă și perioada unui satelit care se rotește aproape de suprafața Pămîntului. (Notă: rotația Pămîntului nu schimbă caracterul oscilatoriu armonic al mișcării, dar perioada este ușor modificată. Puteți arăta acest lucru? În ce sens se modifică perioada?)

**5. Mișcarea în galaxie.** Considerăm o distribuție sferică uniformă a stelelor în galaxia de masă totală  $M$  și de rază  $R_0$ . O stea de masă  $M_s$  aflată la distanța  $r < R_0$

față de centru, se va mișca sub acțiunea unei forțe centrale a cărei mărime depinde de masa inclusă în sfera de rază  $r$ .

- (a) Care este forța la distanța  $r$ ?

$$R: F = GM_s M r / R_0^3$$

- (b) Care este viteza stelei dacă ea se mișcă în jurul centrului pe o orbită circulară?

$$R: v = (GM r^2 / R_0^3)^{1/2}$$

**6. Traiectoria meteoritului.** Un meteorit are viteza de  $7,0 \cdot 10^4$  m/s la periheliu, cînd distanța lui față de Soare este  $5,0 \cdot 10^{10}$  m. Găsiți distanța și viteza la afeliu, precum și excentricitatea orbitei, folosind formulele (9.21), (9.25) și (9.28).

$$R: \text{distanța} = 5,5 \cdot 10^{11} \text{ m; viteza} = 6,3 \cdot 10^3 \text{ m/s; } e = 0,83.$$

**7. Satelit terestru.** Închipuiți-vă că Luna nu ar avea masă, astfel încît ea nu ar influența orbita unui satelit. Ce viteză (perpendiculară pe raza vectoare) ar trebui să aibă un satelit aflat la 320 km deasupra Pămîntului astfel încît la capătul opus al traiectoriei sale eliptice, să se afle la aceeași distanță cu Luna (aflată la 384 000 km față de Pămînt)?

**8. Viteza de evadare.** Neglijînd frecarea, aflați viteza care trebuie imprimată unui satelit la suprafața pămîntului pentru a ajunge (cu viteză nulă) în punctul dintre Pămînt și Lună în care forța gravitațională datorată acestor aștri se anulează? Dacă el depășește acest punct, cu ce viteză va ajunge pe Lună?

$$R: v(\text{de evadare}) = 1,1 \cdot 10^4 \text{ m/s.}$$

**9. Variația masei Soarelui.** Ce s-ar întimpla cu orbita Pămîntului, presupusă circulară, dacă masa Soarelui s-ar reduce brusc la jumătate?

**10. Orbita heliului.** Presupunem că pe nivelul energetic  $-13,6$  eV al hidrogenului,

electronul se află pe o orbită circulară.

(a) Calculați momentul cinetic

$$R: 1,1 \cdot 10^{-34} \text{ J} \cdot \text{s}$$

(b) Care ar fi raza și energia unui electron aflat pe o orbită circulară în jurul unui nucleu de heliu (sarcina  $+2e$ ) și avînd același moment cinetic?

11. *Mișcarea orbitală a stelelor duble.* Steaua descoperită de J. S. Plaskett este una dintre cele mai masive stele cunoscute pînă în prezent. Ea este o stea dublă<sup>1</sup>, adică este formată din două stele care interacționează gravitațional. Din studii spectroscopice se știe că:

(a) Perioada de revoluție a sistemului în jurul centrului de masă este de 14,4 zile ( $1,2 \cdot 10^6 \text{ s}$ ).

(b) Viteza fiecărei componente este de aproximativ 220 km/s. Întrucît ambele stele au aproape aceeași viteză (dar cu sensuri opuse), putem trage concluzia că ele sînt situate la aproape aceeași distanță de centrul de masă și deci că masele lor sînt aproape egale.

(c) Orbita este aproape circulară.

Calculați din aceste date masa redusă și distanța dintre cele două stele.

$$R: \mu \approx 0,6 \cdot 10^{32} \text{ kg};$$

$$\text{distanța} \approx 0,8 \cdot 10^{11} \text{ m}.$$

12. *Forma mării pe un Pămînt uniform.* Un Pămînt perfect sferic este acoperit cu apă. Se presupune că atunci cînd Pămîntul se învîrtește în jurul axei sale cu viteza unghiulară  $\omega$ , suprafața mării este sferoidală (ca o sferă turtită). Găsiți o expresie aproximativă pentru diferența de adîncime a

mării la pol și la ecuator, presupunînd că suprafața mării este o suprafață echipotențială. (De ce este plauzibilă această presupunere?) Neglijăți atracția gravitațională a mării asupra ei însăși. *Indicație:* avem nevoie de o expresie a energiei potențiale în care să intervină efectul rotației Pămîntului. Potențialul centrifugal a fost menționat în figura 6.21, b și în capitolul 6, problema 13:

$$U_{\text{centrif.}} = -\frac{1}{2} \omega^2 r^2.$$

Întrucît  $F = -\frac{\partial U}{\partial r}$  vedem că:

$$F_{\text{centrif.}} = \omega^2 r$$

care este tocmai forța centrifugă obișnuită (exercitată asupra unei mase egale cu unu). Reamintim că veți folosi formula pentru raze  $r$  foarte puțin mai mari decît raza Pămîntului,  $R_p$ .

Vom pune potențialul gravitațional la pol (Nord sau Sud), unde  $U_{\text{centrif.}} = 0$ , (deoarece  $r$  din expresia potențialului centrifugal este distanța pînă la axa de rotație), egal cu suma dintre potențialul gravitațional și  $U_{\text{centrif.}}$  la ecuator. La pol suprafața liberă a mării se va afla la o distanță  $R_p + D_{\text{pol}}$  de centrul Pămîntului, în timp ce la ecuator ea va fi la distanța  $R_p + D_{\text{ec.}}$  ( $D_{\text{pol}}$  și  $D_{\text{ec.}}$  sînt ambele mult mai mici decît  $R_p$ ).

$$R: (D_{\text{ec.}} - D_{\text{pol}})/R_p \approx \omega^2 R_p / 2g \approx \frac{1}{580}.$$

Aceasta se apropie de valoarea reală  $\frac{1}{298}$ .

13. *Calculul direct al forței.* Folosiți un calcul direct pentru a arăta că formula (9.14) este adevărată, mai precis, considerați elementul diferențial de forță și integrați. (*Indicație:* folosiți simetria problemei pentru a arăta că forța trebuie să fie pe direcția care unește pe  $M_1$  cu centrul suprafeței sferice, astfel încît în integrală apare doar componenta corespunzătoare a forței.)

14. *Satelit în jurul Lunii.* Găsiți perioada unui satelit care se mișcă în jurul Lunii, luînd valorile date în tabelul de la paginiile 435, 436.

<sup>1</sup> O analiză serioasă a problemei stelelor duble poate fi găsită în cartea lui O. Struve, B. Lynds și H. Pillans, *Astronomie elementară* (Elementary Astronomy) cap. 29, Oxford Univ. Press, New York 1959. Cel puțin jumătate din cele 50 de stele cele mai apropiate de Soare sînt stele duble sau multiple.



## TEME AVANSATE

**Artificiu pentru integrarea ecuației în  $1/r$ .**

Integrarea directă a ecuației diferențiale pentru  $r$  poate fi evitată dacă se folosește o altă constantă a mișcării:

$$\varepsilon = \frac{-1}{MC} \mathbf{J} \times \mathbf{p} + \frac{\mathbf{r}}{r} \quad (9.46)$$

unde  $\mathbf{p} = M\mathbf{v}$  = impulsul, iar  $C$  este constanta din legea forței  $F = C/r^2$ . Cititorul poate verifica că  $\varepsilon$  este o mărime adimensională. Pentru a arăta că  $\varepsilon$  este o constantă, va trebui să arătăm că:

$$\frac{d\varepsilon}{dt} = 0.$$

Efectuăm derivarea:

$$\begin{aligned} \frac{d\varepsilon}{dt} = & -\frac{1}{MC} \left[ \left( \frac{d\mathbf{J}}{dt} \times \mathbf{p} \right) + \mathbf{J} \times \frac{d\mathbf{p}}{dt} \right] + \\ & + \frac{\mathbf{v}}{r} - \frac{1}{r^2} \mathbf{r} \frac{dr}{dt}. \end{aligned}$$

Dar:

$$\frac{d\mathbf{J}}{dt} = 0; \quad \frac{d\mathbf{p}}{dt} = \frac{C}{r^3} \mathbf{r}; \quad \mathbf{J} = M\mathbf{r} \times \mathbf{v}$$

și:

$$\mathbf{r} \cdot \mathbf{v} = r \cdot \left( \frac{dr}{dt} \frac{\mathbf{r}}{r} + r \frac{d\hat{\theta}}{dt} \hat{\theta} \right) = r \frac{dr}{dt}$$

Așadar folosind formula (2.55) a dublului produs vectorial obținem:

$$\begin{aligned} \frac{d\varepsilon}{dt} = & -\frac{1}{MC} \mathbf{J} \times \frac{C\mathbf{r}}{r^3} + \frac{\mathbf{v}}{r} - \frac{1}{r^3} (\mathbf{v} \cdot \mathbf{r}) \mathbf{r} = \\ = & -\frac{(\mathbf{r} \times \mathbf{v}) \times \mathbf{r}}{r^3} + \frac{\mathbf{v}}{r} - \frac{(\mathbf{v} \cdot \mathbf{r}) \mathbf{r}}{r^3} = \\ = & -\frac{r^2 \mathbf{v}}{r^3} + \frac{(\mathbf{r} \cdot \mathbf{v}) \mathbf{r}}{r^3} + \frac{\mathbf{v}}{r} - \frac{(\mathbf{r} \cdot \mathbf{v}) \mathbf{r}}{r^3} = 0. \end{aligned}$$

Din definiția (9.46) a lui  $\varepsilon$ , rezultă:

$$\varepsilon \cdot \mathbf{r} = \varepsilon r \cos \theta = -\frac{1}{MC} (\mathbf{J} \times \mathbf{p} \cdot \mathbf{r}) + r$$

sau:

$$r(1 - \varepsilon \cos \theta) = -\frac{\mathbf{J} \cdot \mathbf{J}}{MC} = -\frac{J^2}{MC}$$

unde am folosit faptul că:

$$\mathbf{J} \times \mathbf{p} \cdot \mathbf{r} = \mathbf{J} \cdot \mathbf{p} \times \mathbf{r} = -\mathbf{J} \cdot \mathbf{r} \times \mathbf{p} = -\mathbf{J} \cdot \mathbf{J}$$

sau:

$$\frac{1}{r} = -\frac{MC}{J^2} (1 - \varepsilon \cos \theta),$$

care este tocmai ecuația (9.24).

Vedem că vectorul  $\varepsilon$  are mărimea egală cu excentricitatea și direcția  $\theta = 0$ , a semiaxe mari a elipsei (sau a axei hiperbolei); desigur  $\varepsilon$  poate fi calculat, ca și mai înainte, din ecuația energiei.

## LECTURI SUPLIMENTARE

*Fizica PSSC* (PSSC Physics), cap. 21  
D. C. Heath and Company, Boston, 1965.

*Curs de Fizică HPP* (HPP „Project Physics Course”), capitolele 5–8, Holt,

Rinehart and Winston, New York, 1970.  
Dă o bună prezentare elementară a aspectelor istorice și a mișcării planetelor.

P. van de Kamp. *Elemente de mecanică cerească*. („Elements of Astromechanics“).

W. H. Freeman and Company, San Francisco, 1964. Ediție broșată; subiecte elementare, alese, de mecanică cerească.

O. Struve, B. Lynds și H. Pillans, *Astronomie elementară* („Elementary Astronomy“), Oxford Univ. Press, New York, 1959. Evidențiază ideile principale ale fizicii în legătură cu Universul; excelentă.

T. S. Kuhn, *Revoluția lui Copernic* („The Copernican Revolution“), Vintage Books (ediție broșată) Random House, Inc., New York, 1962.

Asociația Americană a profesorilor de fizică (American Association of Physics Teachers), retipăriri alese, *Cinematica și dinamica orbitelor sateliților* („Kinematics and Dynamics of Satellite Orbits“), American Institute of Physics, New York, 1963.

Arthur Koestler, *Cumpăna apelor*; o biografie a lui *Johannes Kepler* („The Watershed: A Biography of Johannes Kepler“), Anchor Books, Doubleday and Company, Inc., Garden City, N. Y., 1960. O prezentare fascinantă a efortului intelectual și spiritual al lui Kepler de a găsi o descriere corectă a orbitelor planetelor.



S-au folosit multe metode pentru determinarea vitezei luminii. În cele ce urmează vom prezenta unele dintre acestea.

În anul 1676, olandezul astronom Robbert Roemer a observat că viteza luminii este finită. El a făcut această observație pe baza măsurărilor timpului de trecere al luminii de la Soare la Pământ.

**10**  
**Viteza luminii**

**Cuprins**

**c — o constantă naturală fundamentală**

**Măsurători ale lui c**

*Timpul în care lumina străbate orbita Pământului*

*Aberația luminii*

*Roți dințate și oglinzi rotitoare*

*Cavitatarea rezonantă*

*Celula Kerr*

**Viteza luminii în sisteme inerțiale aflate în mișcare relativă**

*Experiențele lui Michelson și Morley*

*Invarianța lui c*

**Efectul Doppler**

*Exemplu. Deplasarea doppleriană spre roșu*

**Viteza limită**

**Concluzii**

**Probleme**

**Lecturi suplimentare.**

1. R. Roemer, *Observations on the Motion of Jupiter's Satellites*, 1686.

## c — O CONSTANTĂ NATURALĂ FUNDAMENTALĂ

Viteza luminii<sup>1</sup> în vid  $c$ , este una dintre constantele fundamentale ale fizicii. Iată câteva caracteristici ale sale:

1. Ea este viteza tuturor undelor electromagnetice în vid, independent de frecvență.
2. Nici un semnal nu poate fi transmis printr-un mijloc oarecare, în vid sau în orice alt mediu, cu o viteză mai mare decât viteza luminii,  $c$ .
3. Viteza luminii în vid nu depinde de sistemul de referință din care este observată. Dacă viteza unui semnal luminos este egală într-un sistem galileean cu  $c = 2,99793 \cdot 10^8$  m/s, ea va avea exact aceeași valoare și într-un sistem galileean care se mișcă cu viteza  $V$  în raport cu primul (valoarea ei nu va fi  $c + V$  sau  $c - V$ ).
4. Viteza luminii apare în ecuațiile lui Maxwell din teoria electromagnetismului și în expresia forței Lorentz. Faptul este evident atunci când expresiile sînt scrise în sistemul de unități Gauss.
5. Constanta adimensională (numită și constanta reciprocă sau constanta structurii fine)

$$\frac{\hbar c}{e^2} \approx 137,04$$

conține și ea viteza luminii.  $2\pi\hbar$  este constanta lui Planck, iar  $e$  este sarcina protonului. Această constantă joacă un rol important în fizica atomică și va fi discutată în volumul 4. Nu există nici o teorie care să prezică valoarea constantei structurii fine.

Acest capitol este dedicat în mod special experiențelor și rezultatelor experimentale. Vom discuta măsurarea vitezei luminii și dovada experimentală a invarianței vitezei luminii în raport cu viteza de deplasare a oricărui sistem de referință inertial. Vom include în volumul 3 problemele privind natura electromagnetică a luminii, precum și propagarea luminii în medii refractive și dispersive, ca solidele și lichide. (Un mediu refractiv este un mediu în care indicele de refracție, definit ca raportul dintre viteza luminii în vid și cea în mediu, nu este egal cu unu. Un mediu dispersive este un mediu în care indicele de refracție depinde de frecvență.)

<sup>1</sup> Menționăm că prin viteza luminii înțelegem totdeauna (cu excepția mențiunii contrare și explicate) viteza luminii în vid ( $c$ ). Viteza luminii în orice alt mediu este mai mică decât  $c$  și poate fi chiar mai mică decât viteza de deplasare a unei particule încărcate în același mediu (efectul Cerenkov).



## MĂSURĂTORI ALE LUI $c$

S-au folosit multe metode pentru determinarea vitezei luminii<sup>1</sup>. În cele ce urmează vom enumera și vom schița câteva dintre aceste metode.

**Timpul în care lumina străbate orbita Pământului.** Cu câteva secole înainte de a fi fost experimental dovedit, se credea că viteza luminii trebuie să fie finită. Prima dovadă experimentală a faptului că viteza luminii este finită a fost făcută de către Roemer în 1676. El a observat că mișcarea lui Io, cel mai apropiat satelit al lui Jupiter, nu se desfășoară conform unui calendar perfect regulat. Există o ușoară variație a perioadelor eclipselor lui Io, datorate lui Jupiter. Când la un anumit moment al anului (vezi fig. 10.1) el a prezis momentul unei eclipse ce urma să aibă loc șase luni mai târziu (vezi fig. 10.2), el a găsit o eroare de 22 minute. Roemer a postulat că această

FIG. 10.1. Eclipsa satelitului lui Jupiter,  $I$ , are loc atunci când  $I$ , observat de pe Pământ, dispăre în spatele lui  $J$ . Timpul real de observație pe Pământ este decalat cu  $L/c$  din cauza vitezei finite de propagare a luminii. Perioada lui  $I$  este de aproape 42 h.

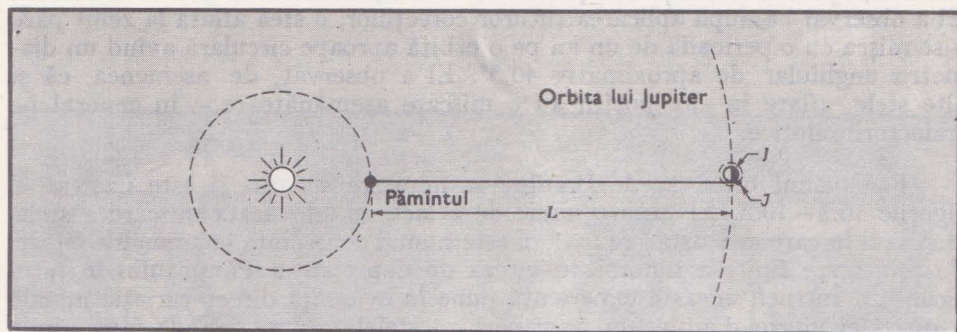
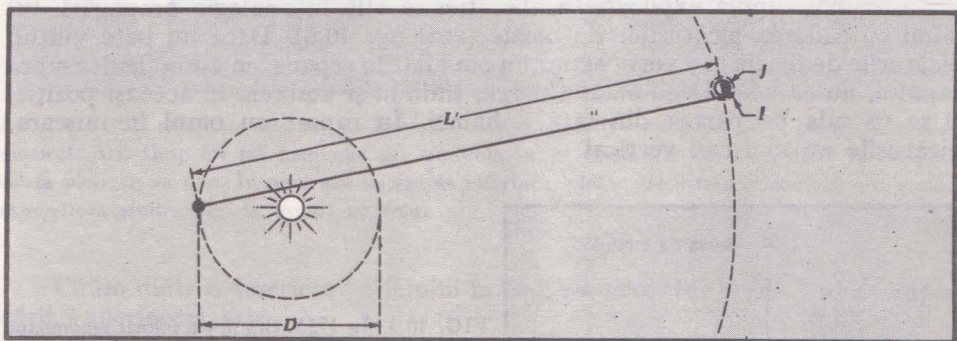


FIG. 10.2. Șase luni mai târziu, Pământul a parcurs o jumătate a orbitei sale, dar Jupiter s-a deplasat doar cu  $15^\circ$ . Eclipsa este observată acum cu o întârziere egală cu  $L'/c$  unde  $L' \approx L + D$ .



<sup>1</sup> O excelentă trecere în revistă (în limba engleză) a măsurărilor vitezei luminii este dată de către E. Bergstrand în „Handbuch der Physik”, S. Flügge (ed.), vol. 24, pag. 1–43 (Springer-Verlag OHG, Berlin, 1956). Valorile citate ale lui  $c$  sînt cele date de Bergstrand. Vezi, de asemenea, J. F. Mulligan și D. F. Mc Donald, Am. J. Phys. 25: 180 (1957).



diferență provine din timpul în care lumina străbate orbita Pământului. Cea mai bună evaluare pe care a obținut-o el asupra diametrului orbitei terestre era  $2,83 \cdot 10^{11}$  m și astfel a calculat viteza luminii:

$$c = \frac{2,83 \cdot 10^{11}}{22 \cdot 60} = 2,14 \cdot 10^8 \text{ m/s.}$$

Ținând seama de epocă, concordanța cu valoarea reală de  $3,0 \cdot 10^8$  m/s este satisfăcătoare. Mișcarea de rotație a lui Jupiter în jurul Soarelui este mai lentă (12 ani) decât cea a Pământului (1 an); astfel ceea ce apare în mod esențial în calcule este diametrul orbitei terestre, și nu diametrul orbitei lui Jupiter. Metoda lui Roemer nu este foarte precisă, dar ea a arătat astronomilor că, pentru a găsi adevărata mișcare a planetelor sau Lunii din analiza observațiilor asupra mișcării planetelor, este necesar să se țină seama de timpul de propagare a semnalului luminos.

**Aberația luminii.** În 1725 James Bradley a început o serie interesantă de observații precise ale mișcării aparente a stelei  $\gamma$  Draconis în decursul unui an. El a observat că după aplicarea tuturor corecțiilor, o stea aflată la zenit pare a se mișca cu o perioadă de un an pe o orbită aproape circulară având un diametru unghiular de aproximativ  $40,5''$ . El a observat, de asemenea, că și alte stele, aflate în alte poziții au o mișcare asemănătoare — în general pe traiectorii eliptice.

Fenomenul observat de Bradley se numește *aberație* și este ilustrat în figurile 10.3—10.5. El nu are nimic de a face cu adevărata mișcare a stelei (în cazul în care ar exista vreuna), ci este numai consecința compunerii vitezei de propagare finite a luminii cu viteza de deplasare a Pământului în jurul Soarelui. Întrucât această experiență pune în evidență direct variația anuală a direcției vitezei Pământului în raport cu stelele, ea a fost de fapt prima experiență care a arătat că Soarele este un sistem inerțial mai bun decât Pământul — adică, e mai bine să se considere că Pământul se mișcă în jurul Soarelui decât invers.

Cea mai simplă explicație a aberației se află în analogia propagării luminii cu căderea picăturilor de ploaie (vezi fig. 10.6). Dacă nu bate vântul, picăturile de ploaie cad vertical, iar un om aflat în repaus, cu umbrela deasupra capului, nu se udă. Dacă omul aleargă, ținându-și umbrela în aceeași poziție, el se va uda pe partea din față a hainei. În raport cu omul în mișcare, picăturile nu mai cad vertical.

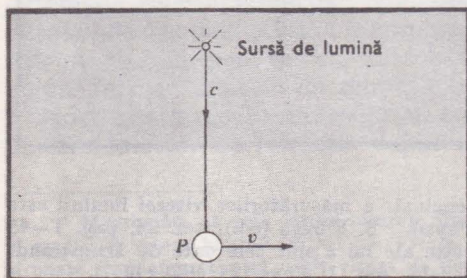


FIG. 10.3. În 1725, Bradley a folosit fenomenul de aberație pentru a determina viteza luminii  $c$ . Presupunem că lumina care vine de la o sursă îndepărtată luminează obiectul  $P$ , care are viteza  $v$ , perpendiculară pe direcția luminii incidente.



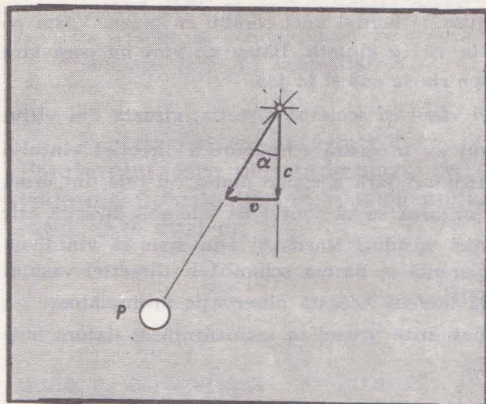


FIG. 10.4. Pentru un observator de pe Pământ lumina are componenta orizontală  $v$  și componenta verticală  $c$ . Astfel, raza de lumină incidentă este înclinată sub unghiul  $\alpha$ , unde  $\text{tg } \alpha = v/c$ .

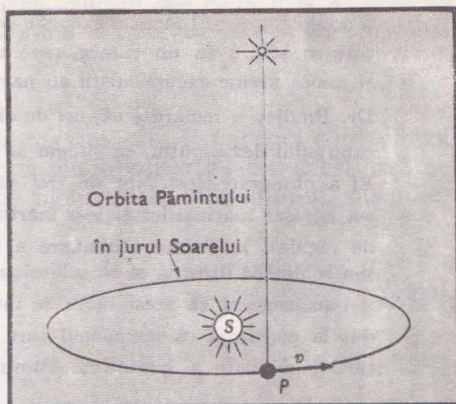


FIG. 10.5. Cunoscând viteza Pământului ( $v_p = 30 \text{ km/s}$ ), Bradley a folosit lumina care vine de la o stea îndepărtată aflată la zenit, pentru a determina pe  $c$  din măsurarea lui  $\alpha$ ;  $\text{tg } \alpha = v_p/c$ .

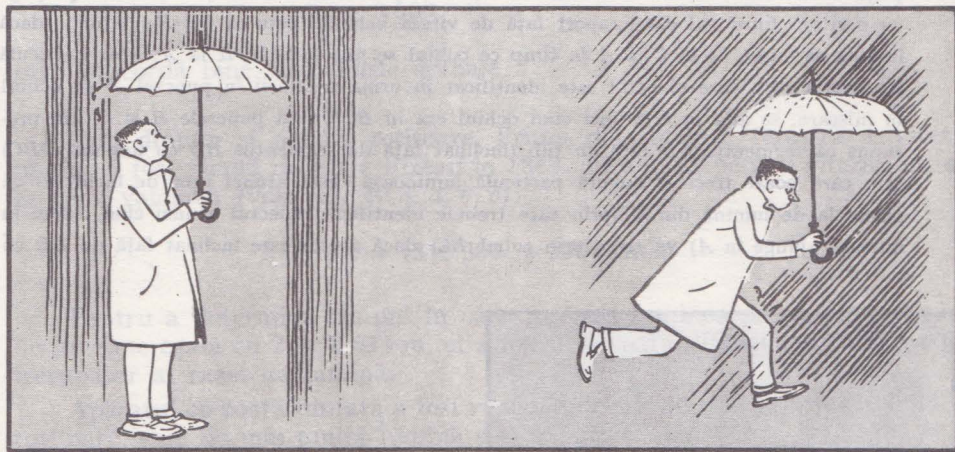


FIG. 10.6. Un exemplu familiar de aberație. Acest student este prins de o ploaie care cade vertical. Atit timp cit stă nemișcat sub umbrela sa, el rămîne uscat. Dar, dacă va fugi, din cauza ploii, se va uda. În noul său sistem de referință, ploaia are viteza orizontală  $-v$ , unde  $v$  este viteza studentului în raport cu solul.

Cităm dintr-o descriere <sup>1</sup> a felului în care i-a venit lui Bradley ideea explicării experienței sale:

În cele din urmă, cind pierduse nădejdea că va fi în stare să explice fenomenele pe care le observase, o explicație satisfăcătoare îi apărîu dintr-o dată, tocmai cind renunțase

<sup>1</sup> T. Thomson, Istoria Societății Regale, (History of the Royal Society), p. 346, London, 1812.



a o mai căuta.<sup>1</sup> El făcea o excursie pe Tamisa, la bordul unei corăbii cu pinze. Vasul pe care se afla avea un catarg, care avea în vîrf o giruetă. Bătea un vînt nu prea tare și multă vreme excursioniștii au navigat pe rîu în sus și în jos.

Dr. Bradley a remarcat că, ori de cîte ori vasul își schimbă direcția, girueta din virful catargului devia puțin, ca și cum ar fi avut loc o ușoară schimbare a direcției vîntului. El a observat acest fapt de trei sau patru ori fără a spune nimic; în cele din urmă s-a adresat marinarilor și le-a mărturisit mirarea sa că vîntul își schimbă direcția atît de regulat, la fiecare schimbare a direcției vasului. Marinarii i-au spus că vîntul nu și-a schimbat direcția și că schimbarea aparentă se datora schimbării direcției vasului și l-au asigurat că acest lucru se întîmplă mereu. Această observație întîmplătoare l-a dus la concluzia că fenomenul care l-a pus atîta vreme în incurcătură se datora mișcării combinate a luminii și Pămîntului.

## Iată explicarea aberației dată de însuși Bradley<sup>2</sup>

Am considerat problema în felul următor. Am presupus că  $CA$  (vezi fig. 10.7) este o rază de lumină, care cade perpendicular pe segmentul  $BD$ ; atunci, dacă ochiul se află în repaus în  $A$ , obiectul trebuie să apară în direcția  $A$ , indiferent dacă lumina se propagă instantaneu sau nu. Dacă însă ochiul se mișcă de la  $B$  la  $A$  și lumina se propagă cu o viteză finită, al cărei raport față de viteza ochiului este ca  $CA/BA$ , atunci dacă lumina se mișcă de la  $C$  la  $A$  în timp ce ochiul se mișcă de la  $B$  la  $A$ , acea particulă luminoasă prin care obiectul este identificat în urma întîlnirii în punctul  $A$  cu ochiul în mișcare, se afla în  $C$  atunci cînd ochiul era în  $B$ . Unind punctele  $B$  și  $C$ , am presupus că segmentul  $CB$  este un tub (înclinat față de segmentul  $BD$  cu unghiul  $DBC$ ) prin care poate trece o singură particulă luminoasă; este atunci ușor de închipuit că particula de lumină din  $C$  (prin care trebuie identificat obiectul atunci cînd ochiul în mișcare ajunge în  $A$ ) va trece prin tubul  $BC$  dacă acesta este înclinat față de  $BD$  cu

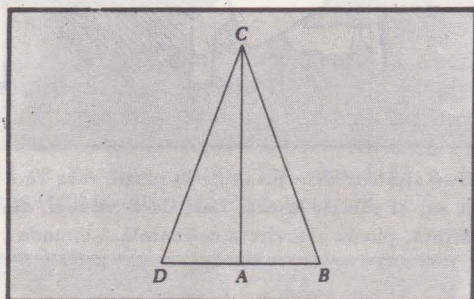


FIG. 10.7. Diagrama vitezelor folosită de către Bradley.

<sup>1</sup> Multe invenții și descoperiri au fost făcute atunci cînd, după un eșec inițial, omul de știință părăsise problema. Un distins matematician discută acest aspect într-o fascinantă și importantă cîrtică: J. Hadamard, „Un eseu asupra psihologiei invenției în matematică” (An Essay on the Psychology of Invention in the Mathematical Field), Princeton University Press, Princeton N.J., 1945, retipărită la Dover Publications, Inc., New York, 1954.

<sup>2</sup> J. Bradley, Phil. Trans. Roy. Soc., London, 35: 637 (1728).



unghiul  $DBC$  și dacă însoțește ochiul în timpul mișcării sale de la  $B$  la  $A$ ; și că nu va ajunge la ochiul plasat în spatele unui astfel de tub, dacă acesta are orice altă înclinare față de segmentul  $BD$ .

Pentru o stea aflată la zenit, aberația maximă are loc atunci când viteza Pământului este perpendiculară pe direcția de observație. În acest caz se vede din figurile 10.4 și 10.5 că unghiul de înclinare al telescopului, sau aberația, este egal cu

$$\operatorname{tg} \alpha = \frac{v_p}{c} \quad (10.1)$$

unde  $v_p$  este viteza Pământului.

Viteza orbitală a Pământului în jurul Soarelui este de  $3,0 \cdot 10^4$  m/s; viteza de rotație a Pământului în jurul axei sale, care este de circa 100 ori mai mică, poate fi neglijată. Unghiul din formula (10.1) va fi jumătate din valoarea diametrului unghiular de  $40,5''$ , observat de către Bradley. Luînd  $\alpha = 20''$  și calculînd pe  $c$  din expresia (10.1) obținem pentru  $c$  valoarea (cu  $\operatorname{tg} \alpha \approx \alpha$ ):

$$c = \frac{v_p}{\alpha} = \frac{3 \cdot 10^4}{\frac{20}{3600} \cdot 1/57,3} = 3,1 \cdot 10^8 \text{ m/s},$$

care concordă bine cu valorile actuale.

**Roți dințate și oglinzi rotitoare.** Prima determinare terestră a vitezei luminii a fost făcută de către Fizeau în 1849. El a găsit pentru viteza luminii în aer<sup>1</sup> valoarea (vezi fig. 10.8,  $a$ ,  $b$ ,  $c$ ):

$$c = (315\,300 \pm 500) \text{ km/s}.$$

Pentru a determina timpul în care un puls luminos parcurge un drum de lungime egală cu  $2 \times 8\,633$  m, el a folosit o roată dințată rotitoare ca întrerupător al razei de lumină.

Aparatul cu roată dințată a fost repede înlocuit cu o instalație cu oglindă rotitoare, care dă mai multă lumină și o focalizare mai bună. Montajul folosit în 1850 de către Foucault este prezentat în figurile 10.9,  $a$ ,  $b$ ,  $c$ . Cea mai bună valoare a vitezei luminii obținută de el cu acest aparat (1862) a fost

$$c = (298\,000 \pm 500) \text{ km/s}.$$

Un montaj îmbunătățit cu oglindă rotitoare a fost folosit de către Michelson (1927) pe o distanță de aproximativ 35,5 km între muntele Wilson și muntele San Antonio în California. Montajul său are sursa luminoasă într-unul dintre focarele lentilei și dă un fascicul paralel pe distanță mare. El a găsit valoarea

$$c = (299\,796 \pm 4) \text{ km/s}.$$

<sup>1</sup> Viteza luminii în vid este cu circa 91 km/s mai mare decît în aer.



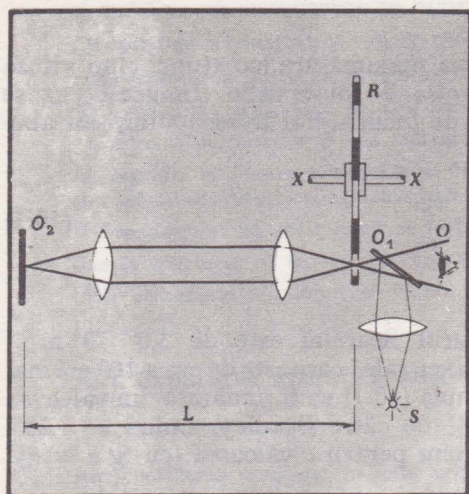


FIG. 10.8, (a). Aparatul cu roată dințată al lui Fizeau, 1849. Lumina care vine de la o sursă punctiformă  $S$ , este reflectată de o oglindă semiargintată  $O_1$  și străbate roata dințată  $R$  care se rotește în jurul axei  $X-X$ . Apoi lumina ajunge la oglinda  $O_2$  și se reîntoarce la observatorul  $O$  prin  $R$  și  $O_1$ . O oglindă semiargintată reflectă jumătate din lumina incidentă și transmite cealaltă jumătate.

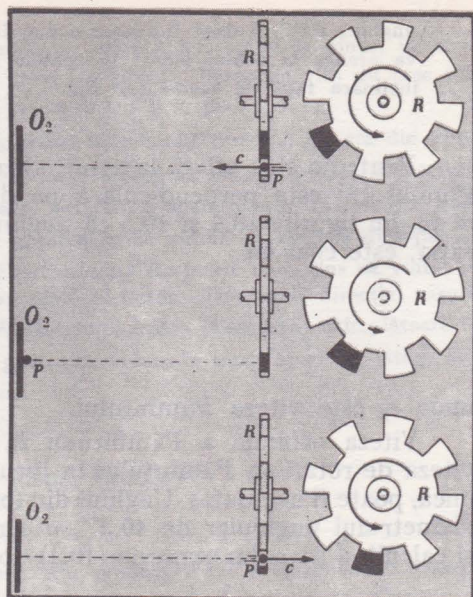


FIG. 10.8, (b). Pentru ca pulsul luminos  $P$ , avînd viteza  $c$ , să fie transmis observatorului, el trebuie să ajungă la oglinda  $O_2$  și să se reîntoarcă la roata dințată  $R$  (distanță totală  $2L$ ) în timpul în care un dinte ocupă locul în care se aflase cel anterior. Fizeau a determinat viteza  $c$  din lungimea  $L$  și din viteza unghiulară a roții  $R$ .

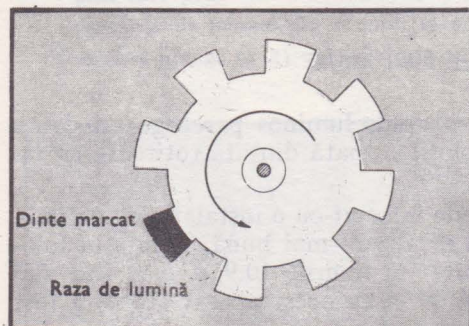


FIG. 10.8, (c). Vederea razei luminoase și a roții dințate  $R$  de către observatorul  $O$ . Rotirea lui  $R$  fragmentează raza de lumină care vine de la  $S$  și  $O_1$  în pulsuri scurte. (Lumina poate trece de la  $O_1$  la  $O_2$  doar dacă nu este obturată de un dinte.)

Acest rezultat depășește cu mult în precizie, toate celelalte rezultate anterioare. (Detalii suplimentare sînt date în probl. 3.)

**Cavitatea rezonantă.** Frecvențele la care o cavitate rezonantă de dimensiuni date (o cutie de metal) conține un anumit număr de semilungimi de undă electromagnetică, pot fi determinate cu mare precizie. Viteza luminii se calculează atunci cu ajutorul relației teoretice:

$$c = \lambda \nu \quad (10.2)$$

care leagă lungimea de undă  $\lambda$  de frecvența  $\nu$ . De obicei în cavitate se face vid.



Este necesară o corecție a dimensiunilor interioare ale cavității datorată micii penetrații<sup>1</sup> a câmpului electromagnetic în interiorul metalului.

Folosind frecvențele de  $5,96 \cdot 10^9$ ,  $9 \cdot 10^9$  și  $9,5 \cdot 10^9$  Hz, Essen (1950) a obținut valoarea:

$$c = (299\,792,5 \pm 1) \text{ km/s.}$$

**Celula Kerr.** Atunci când lumina polarizată trece printr-o celulă Kerr (un lichid în care prezența câmpului electric poate influența transmisia luminii polarizate), intensitatea luminii emergente, polarizate în direcția inițială, poate fi modulată modificând intensitatea câmpului electric dintre plăci. Dacă se folosește aceeași frecvență pentru a modula sensibilitatea unei fotocelule care detectează lumina, atunci aparatul prezentat în figura 10.10 poate folosi la măsurarea vitezei luminii. Răspunsul detectorului  $D$  va fi maxim, dacă un flux luminos de intensitate maximă ajunge la  $D$  atunci când acesta are sensibilitatea maximă. Presupunând că maximele intensității și sensibilității se ating în același timp, răspunsul maxim va apărea doar dacă timpul

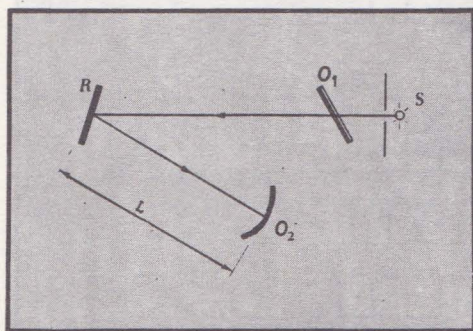


FIG. 10.9, (a). Aparatul cu oglindă rotitoare al lui Foucault, (1850), constă din sursa  $S$ , oglinda semiargintată  $O_1$ , oglinda rotitoare  $R$  (axa de rotație este perpendiculară pe pagină) și oglinda sferică  $O_2$ . Este desenat drumul razei de la  $S$  la  $O_2$ .

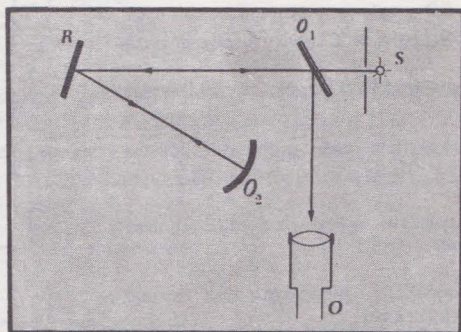
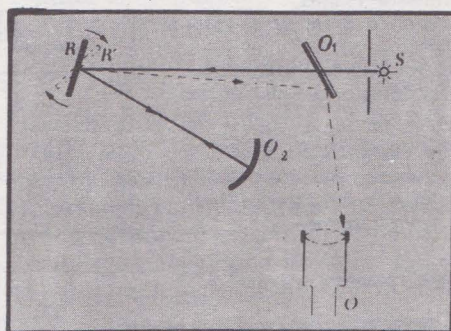


FIG. 10.9, (b). Când oglinda  $R$  stă pe loc, raza luminoasă care vine de la  $O_1$  la  $R$  și apoi la  $O_2$  este reflectată înapoi pe același drum și detectată de către observatorul  $O$ .

FIG. 10.9, (c). Când oglinda  $R$  se rotește, lumina care vine de la sursa  $S$  la  $O_2$  (prin  $R$ ) se întoarce când oglinda rotitoare se află într-o nouă poziție  $R'$ . Observatorul  $O$  vede o imagine deplasată pe oglinda  $O_1$ . Foucault a determinat viteza luminii  $c$  din lungimea  $L$ , din deplasarea imaginii și din viteza unghiulară a oglinzii.



<sup>1</sup> Regiunea de penetrație se numește *adâncime de pătrundere*. Ea este de ordinul unui micron (prescurtat  $\mu$ ;  $1\mu = 10^{-6}\text{m}$ ), în grosimea cuprului la temperatura camerei și la frecvența de  $10^{10}$  Hz. Mai trebuie făcute însă și alte corecții.



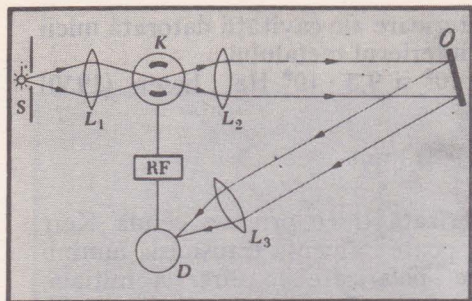


FIG. 10.10. O metodă modernă de determinare a lui  $c$ . Lumina provenită de la sursa  $S$  și modulată în amplitudine în celula Kerr  $K$ , se îndreaptă prin lentilele  $L_1$  și  $L_2$  spre oglinda  $O$  și apoi spre fotodetectorul  $D$ . Sensibilitatea fotodetectorului și celula Kerr sînt sincronizate cu ajutorul unei surse modulate de frecvență radio RF.

FIG. 10.11. Măsurătorile lui  $c$  efectuate de către Bergstrand se bazează pe metoda „detectiei sensibile la fază” și este asemănătoare cu experiența descrisă în text.

Intensitatea luminii care vine de la sursă în celula Kerr este staționară... dar lumina care iese din celula Kerr este modulată. Timpul în care lumina parcurge distanța  $KD$  poate fi modificat prin mișcarea oglinzii  $O$ , oglinda  $O$  poate fi plasată astfel încît lumina să ajungă în  $D$  după cum va fi ilustrat.<sup>a</sup>

Dacă îndepărtăm puțin oglinda  $O$ , lumina  $b$  ajunge mai tîrziu...

dacă îndepărtăm oglinda mai mult, lumina  $c$  ajunge mai tîrziu...

dacă îndepărtăm oglinda mai mult, lumina  $d$  ajunge mai tîrziu...

dacă îndepărtăm oglinda mai mult, lumina  $e$  ajunge mai tîrziu.

Presupunem acum că sensibilitatea detectorului este modulată ca în figură...

Detectorul răspunde doar dacă este sensibil și dacă primește lumină.

Atunci în cazul  $a$  avem acest răspuns al detectorului.

Pentru cazul  $b$  lumina incidentă și sensibilitatea detectorului sînt în fază.

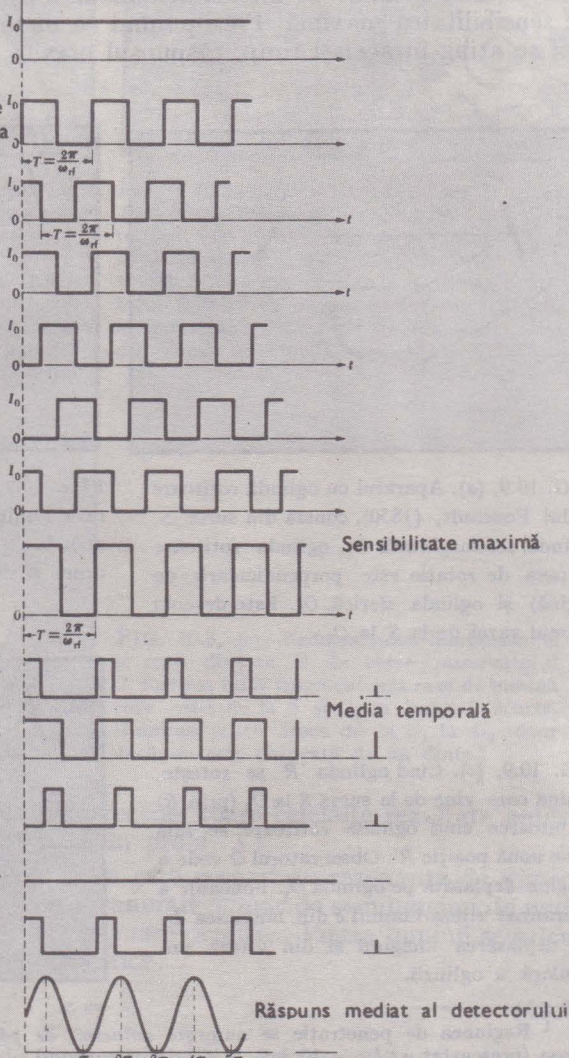
Acesta este răspunsul în cazul  $c$ .

În cazul  $d$  lumina incidentă și sensibilitatea detectorului sînt defazate cu  $180^\circ$ , astfel încît nu avem răspuns.

Acesta este răspunsul în cazul  $e$ .

Pe măsură ce variem în mod continuu poziția oglinzii  $O$ , obținem acest răspuns mediat al detectorului.

Distanța dintre două maxime succesive ale acestei curbe corespunde unei variații a drumului luminii cu  $2\Delta L$ , datorită deplasării oglinzii  $O$ .





necesar luminii să parcurgă distanța de la celula Kerr  $K$  la oglinda  $O$  și înapoi la  $D$ , este un număr întreg  $N$  de perioade ale radiofrecvenței  $\nu$ . Acest timp va fi  $N/\nu$  și astfel obținem:

$$c = \frac{L\nu}{N},$$

unde  $L$  este distanța de la  $K$  la  $D$ . În experiența reală  $L$  este ordinul a 10 km. Unele detalii referitoare la această metodă sînt date în figura 10.11.

Folosind metoda de mai sus, Bergstrand a găsit pentru  $c$  valoarea:

$$c = (299\,793,1 \pm 0,3) \text{ km/s.}$$

Remarcați că eroarea este foarte mică. Același dispozitiv este folosit (împreună cu o valoare etalon pentru  $c$ ) pentru a determina lungimile geodezice pe distanțe pînă la 40 km; în astfel de aplicații, aparatul este cunoscut sub numele de *geodimetru*.

În ultima sută de ani, au fost făcute sute de măsurători ale lui  $c$ , cu aceste metode sau cu circa douăsprezece alte metode. Valoarea admisă în prezent este:

$$c = (2,977\,925 \pm 0,000\,001) \cdot 10^8 \text{ m/s.} \quad (10.3)$$

Acest rezultat este o coroborare a celor mai fiabile măsurători recente făcute prin diferite metode, în care au fost folosite unde electromagnetice cu frecvențe de la  $10^8$  Hz (unde radio) pînă la  $10^{22}$  Hz (raze  $\gamma$ ). Precizia obținută la frecvențe înalte nu este atît de mare ca cea obținută la frecvențe radio sau optice, dar nu există nici un motiv să credem că  $c$  variază cu frecvența radiației.

## VITEZA LUMINII ÎN SISTEME INERTIALE AFLATE ÎN MIȘCARE RELATIVĂ

O aplicație directă a transformării galileene la problema observatorului în mișcare conduce la concluzia că în sistemul de referință al observatorului viteza luminii diferă de  $c$ . Într-adevăr, bunul simț ne spune că viteza luminii în raport cu observatorul în mișcare,  $c_0$ , este:

$$c_0 = c \pm V \quad (10.4)$$

unde  $V$  este viteza observatorului presupus în mișcare înspre (+) și dinspre (−) sursă. Acest mod de adunare a vitezelor pare perfect rezonabil și el este prezentat în figurile 10.12, *a* și *b*. Aceeași relație trebuie să fie valabilă și atunci cînd sursa și observatorul sînt în repaus, iar mediul se mișcă cu viteza  $V$ . Relația (10.4) este verificată aparent în nenumărate experiențe de zi cu zi, cel puțin în măsura în care nu este implicată propagarea luminii. Ea este valabilă, de exemplu, pentru viteza sunetului, dacă prin  $c$  înțelegem viteza sunetului. Dar ea *nu este adevărată*, nici măcar aproximativ, pentru undele luminoase în vid. Experiența arată (după cum se vede în figurile 10.12, *c* și *d*) că:

$$c_0 = c \quad (10.5)$$



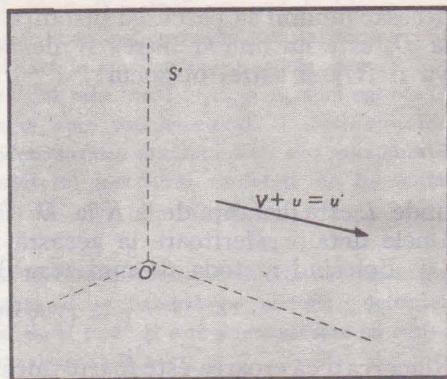
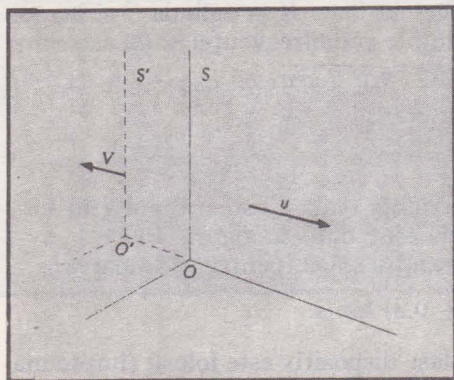
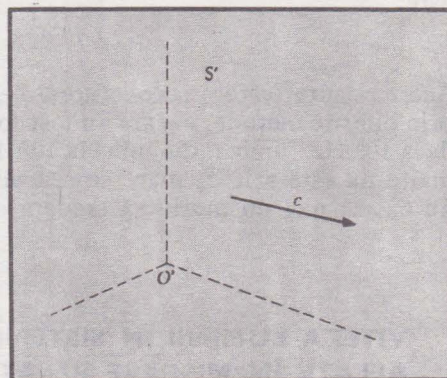
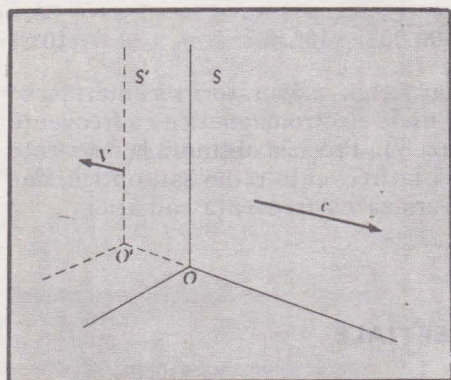


FIG. 10.12. Compuarea vitezelor prezisă de transformarea galileiană (a, b) și cea observată de fapt în cazul luminii (c, d).

(a) Dacă  $u$  este o viteză terestră uzuală, observată în sistemul inercial  $S$ ,

(b) transformarea galileiană ne spune că în sistemul inercial  $S'$  vom observa viteza  $u' = V + u$ .



(c) Totuși, experiențele arată că dacă un obiect are în sistemul  $S$  viteza  $c$ ,

(d) el are tot viteza  $c$  și în sistemul  $S'$ .

pentru orice sistem de referință, independent de viteza lui și de viteza relativă în raport cu un eventual mediu de propagare. Acest fapt dovedit stă la baza formulării relativiste a legilor fizice.

Vom examina acum baza experimentală a relației (10.5). Există multe tipuri de experiențe care servesc la fundamentarea teoriei restrînse a relativității; cele care conduc la relația (10.5) reprezintă un punct de plecare convenabil. Vom considera o serie de experiențe care arată că viteza luminii este independentă de viteza orbitală a Pământului ( $3 \cdot 10^4$  m/s).

Să presupunem mai întâi, așa cum au făcut fizicienii din secolul trecut, că lumina se propagă ca o oscilație printr-un mediu la fel cum și sunetul se propagă ca o oscilație a atomilor dintr-un lichid, solid sau gaz. Mediul transparent prin care lumina se propagă în spațiu a fost numit *eter*.

Ce este eterul? Astăzi eterul este doar un alt cuvânt pentru spațiul vid (vacuum). Dar Maxwell și mulți alții nu și-au putut imagina cîmpul ca o entitate care să se propage în spațiu și al cărei suport să fie ea însăși. Maxwell argumenta astfel:

Dar în toate aceste teorii apare în mod natural întrebarea: dacă ceva este transmis de la o particulă la alta, aflată la o anumită distanță, ce devine acel ceva după ce a



părăsit prima particulă și pină ajunge la a doua? Dacă acest ceva este energia potențială a celor două particule, ca în teoria lui Neumann, cum ne putem oare închipui existența acestei energii într-un punct al spațiului, care nu coincide nici cu prima particulă nici cu cealaltă? În adevăr, ori de câte ori se transmite energie de la un corp la altul, trebuie să existe un mediu sau o substanță în care se află energia după ce a părăsit primul corp și înainte de a-l fi atins pe celălalt, pentru că, după cum remarcă Torricelli, „energia este o chintesență de o natură atât de subtilă încît ea nu poate fi conținută în nici un vas cu excepția substanței intrinseci a lucrurilor materiale”. Așadar, toate aceste teorii sugerează conceperea unui mediu în care să aibă loc propagarea, și dacă, prin ipoteză, admitem existența unui astfel de mediu, cred că el trebuie să ocupe un loc primordial în cercetările noastre, iar noi trebuie să construim un model care să cuprindă toate detaliile modurilor sale de manifestare și acesta a fost scopul meu în acest tratat.

O experiență directă simplă pentru găsirea unei eventuale dependențe a vitezei luminii de mișcarea Pământului, este aceea de a măsura cu precizie timpul în care un puls luminos parcurge o singură dată o distanță măsurată. Acest lucru va fi făcut separat în cele două sensuri ale direcției nord-sud și apoi ale direcției est-vest și apoi repetate peste șase luni, cînd viteza Pământului în jurul Soarelui are un sens opus. Datorită dezvoltării laserilor, dispunem de ceasuri suficiente de precizie pentru a efectua astfel de experiențe directe; factorul tehnologic limitativ este în prezent timpul de stabilire a pulsului. Un timp de  $10^{-9}$  s introduce o eroare efectivă de  $10^{-9} c = 0,3$  m în lungimea drumului. Într-o astfel de experiență, ceasurile trebuie să fie sincronizate în același loc și apoi separate lent către pozițiile lor finale.

S-au făcut multe experiențe pentru verificarea relației (10.4), adică pentru observarea *curgerii eterului* (vezi fig. 10.13). Nici una nu a putut pune în evidență o mișcare a Pământului prin eter; foarte importante și conceptual simple au fost experiențele lui Michelson și Morley<sup>1</sup>.

**Experiențele lui Michelson și Morley.** Două trenuri de unde luminoase provenite din aceeași sursă monocromatică pot interfera constructiv sau distructiv într-un punct, în funcție de faza relativă a undelor în acel punct. Faza relativă poate fi modificată, impunînd condiția ca unul dintre trenurile de unde să parcurgă un drum mai lung decît celălalt. Michelson și Morley au construit un interferometru perfecționat, prezentat schematic în figurile 10.14 și 10.15, *a*. O rază de lumină provenită de la o sursă *s* este împărțită în două cu ajutorul unei oglinzi semi-argintate aflate în *a*. Vom continua descrierea experienței cu cuvintele și notațiile celor care au efectuat-o prima oară<sup>2</sup>.

Fie *sa* (vezi fig. 10.15, *a-h*) o rază de lumină care este parțial reflectată și parțial transmisă, fasciculele respective *ab* și *ac* fiind reflectate de oglinzile *b* și *c* de-a lungul direc-

<sup>1</sup> Influența acestei experiențe asupra lui Einstein este discutată într-un articol interesant de către Holton, Am. J. Phys., 37: 968 (1969).

<sup>2</sup> A. A. Michelson și E. W. Morley, Am. J. Sci., 34: 333 (1887). Aceasta a fost una dintre cele mai remarcabile experiențe ale secolului XIX. Principial simplă, experiența a produs o revoluție științifică plină de consecințe. Remarcați că raportul dintre viteza orbitală a Pământului și viteza luminii este de cca  $10^{-4}$ . În fragmentul reprodus am înlocuit *V* cu *c* și *v* cu *V*; remarcile suplimentare sînt puse între paranteze.



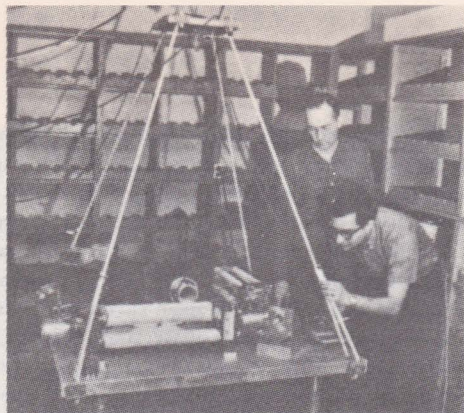


FIG. 10.13. Un aparat de precizie pentru experiențe optice relativiste, care folosește laseri cu gaz. Locul în care este amplasat aparatul este o veche pivniță de vinuri în Round Hill, Mass. Experimentatorii sînt Charles H. Townes și Ali Javan.

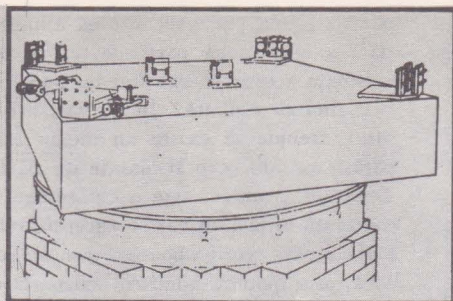


FIG. 10.14. Vedere în perspectivă a aparatului descris de către Michelson și Morley în articolul lor din 1887.

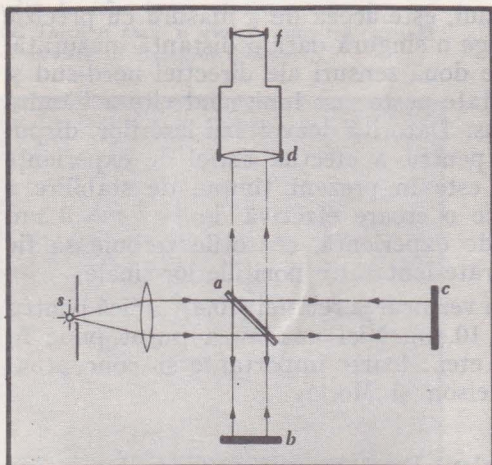


FIG. 10.15. (a). Interferometrul lui Michelson și Morley constă din sursa de lumină  $s$ , oglinda semiargintată  $a$ , oglinzile  $b$  și  $c$  și telescopul detector  $d$ ; focarul telescopului se află în  $f$ .

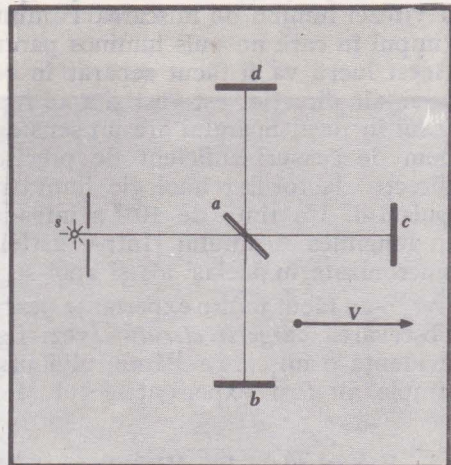


FIG. 10.15. (b) Dacă interferometrul nu se mișcă în raport cu eterul, în  $d$  va apărea o figură de interferență datorată diferenței de drum dintre fasciculele  $aba$  și  $aca$ . Dacă aparatul (și Pămîntul) au viteza  $V$  în raport cu eterul ipotetic, ne așteptăm ca figura de interferență din  $d$  să se schimbe, deoarece timpii necesari parcurgerii distanțelor  $aba$ ,  $aca$ , s-au modificat cu cantități diferite.

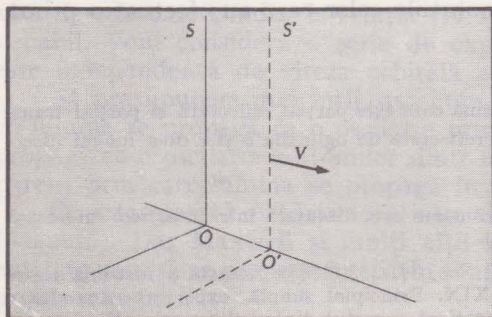


FIG. 10.15. (c) Pentru a vedea acest lucru, considerăm un sistem de referință galileian  $S'$  care se mișcă odată cu Pămîntul și interferometrul.  $S$  este sistemul de referință galileian aflat în repaus față de eter.

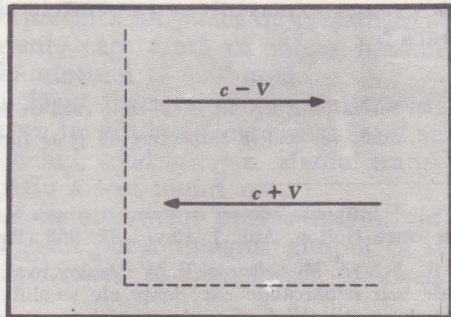


FIG. 10.15. (d) Conform transformării galileiene, lumina care se mișcă către dreapta are, în sistemul  $S'$ , viteza  $c - V$ ; lumina care se mișcă către stînga are, în sistemul  $S'$ , viteza  $c + V$ .



ților  $ba$  și  $ca$ . Fasciculul  $ba$  este parțial transmis de-a lungul lui  $ad$ , iar  $ca$  este parțial reflectat în același sens. Dacă drumurile  $ab$  și  $ac$  sint egale, cele două raze interferă de-a lungul lui  $ad$ . Să presupunem acum, că eterul fiind în repaus, întregul aparat se mișcă în direcția  $sc$  cu viteza orbitală a Pământului; direcțiile razelor și distanțele parcurse de ele se vor modifica astfel: — raza  $sa$  va fi reflectată de-a lungul lui  $ab'$  [ca în fig. 10.15,  $f$ ]; ea se va întoarce de-a lungul lui  $b'a'$ , (unghiul  $2\alpha$  fiind dublul unghiului de aberație), și va intra în focarul telescopului a cărui direcție este nemodificată. Raza transmisă are direcția  $ac'$ , se întoarce în direcția  $c'a'$  [ca în fig. 10.15,  $e$ ] și este reflectată în  $a'$  făcînd unghiul  $c'a'd'$  [neindicat în figură] egal cu  $90^\circ - \alpha$ , și coincidînd așadar cu prima rază. Trebuie remarcat că razele  $b'a'$  și  $c'a'$  nu se mai întîlnesc exact în același punct  $a'$ , deși drumurile lor diferă abia în ordinul doi; acest fapt nu împiedică așupra raționamentului. Să calculăm acum diferența dintre drumurile  $ab'a'$  și  $ac'a'$ .

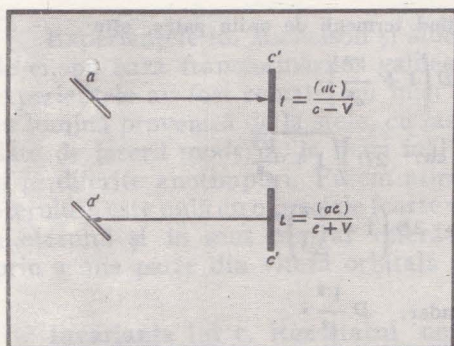


FIG. 10.15. (e). Așadar timpul necesar parcurgerii distanței de la  $a$  la  $c'$  și înapoi la  $a'$  este:

$$\Delta t(ac'a') = \frac{(ac')}{c - V} + \frac{(ac')}{c + V}$$

unde  $(ac')$  este distanța dintre  $a$  și  $c'$ .

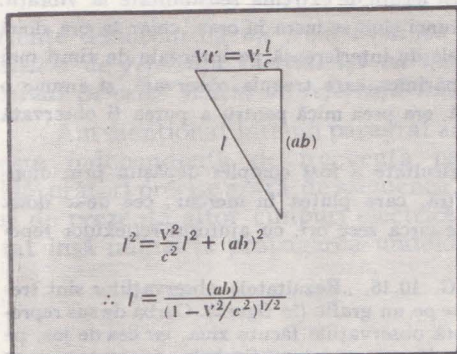


FIG. 10.15. (g)  $\Delta t(ab'a') = 2t' = 2ab/\sqrt{c^2 - V^2}$  Pînă la termeni de ordinul  $V^2/c^2$ , acest timp

este egal cu  $\frac{2ab}{c} \sqrt{1 + \frac{V^2}{c^2}}$ .

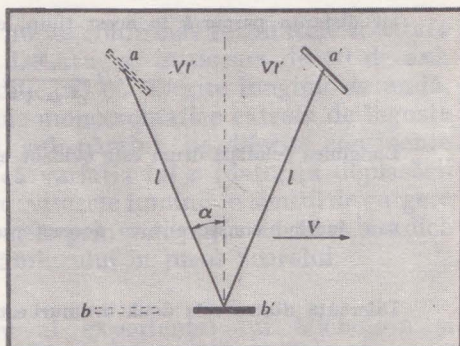


FIG. 10.15. (f). Care este timpul  $\Delta t(ab'a') = 2t'$  necesar parcurgerii distanței de la  $a$  la  $b'$  și înapoi la  $a'$ ? În sistemul de referință galileian  $S$  aflat în repaus în raport cu eterul, interferometrul are viteza  $V$  îndreptată spre dreapta; viteza luminii este  $c$ .

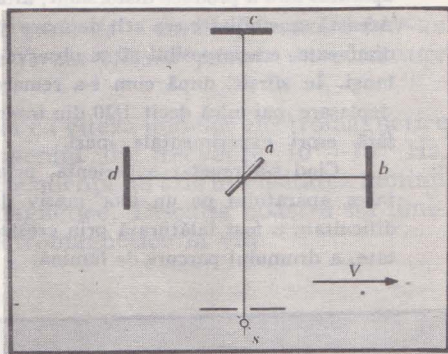


FIG. 10.15. (h). Astfel, chiar dacă  $(ab) = (ac)$ , transformarea galileiană prezice o deplasare a figurii de interferență, dacă interferometrul își schimbă viteza în raport cu eterul. Nu a fost observată însă nici o modificare. În figură, aparatul este rotit cu  $90^\circ$  în vederea repetării experienței în cazul în care mișcarea Pământului este paralelă cu  $(ab)$ , în loc de  $(ac)$ .



Fie  $c$  = viteza luminii

$V$  = viteza orbitală a Pământului

$D$  = distanța  $ab$  sau  $ac$

$T$  = timpul în care lumina parcurge distanța  $ac'$

$T'$  = timpul în care lumina parcurge distanța  $c'a'$ .

Atunci:

$$T = \frac{D}{c - V}; \quad T' = \frac{D}{c + V}.$$

Timpul total este:

$$T + T' = 2D \frac{c}{c^2 - V^2},$$

iar distanța parcursă în acest timp, neglijând termenii de ordin patru, este:

$$2D \frac{c^2}{c^2 - V^2} \approx 2D \left( 1 + \frac{V^2}{c^2} \right).$$

Lungimea celuilalt drum este evident egală cu:  $2D \sqrt{1 + \frac{V^2}{c^2}}$

sau, lucrând consecvent cu aceeași precizie:  $2D \left( 1 + \frac{V^2}{2c^2} \right).$

Diferența dintre cele două drumuri este așadar:  $D \frac{V^2}{c^2}.$

Dacă acum se rotește întregul aparat cu  $90^\circ$ , diferența va fi în sens opus, deci deplasarea franjelor va fi  $2D (V^2/c^2)$ . Ținând seama numai de viteza orbitală a Pământului, această deplasare va fi egală cu  $2D \cdot 10^{-8}$ . Dacă  $D = 2 \cdot 10^6$  lungimi de undă de lumină galbenă, așa cum s-a întâmplat în prima experiență, deplasarea eventuală ar trebui să fie egală cu 0,04 din interfranjă.

În primele experiențe, una dintre dificultățile principale a fost aceea de a roti aparatul fără a produce distorsiuni; alta, a fost legată de extrema sensibilitate la vibrații. Această sensibilitate era atât de mare încât atunci când se lucra în oraș, chiar la ora două dimineața, era imposibil să se observe franjele de interferență pe intervale de timp mai lungi. În sfârșit, după cum s-a remarcat, mărimea care trebuia observată, și anume o deplasare mai mică decît  $1/20$  din interfranjă, era prea mică pentru a putea fi observată fără erori experimentale mari.

Cînd s-a repetat experiența, prima dificultate a fost complet depășită prin montarea aparatului pe un bloc masiv de piatră, care plutea în mercur; cea de-a doua dificultate a fost înlăturată prin creșterea de circa zece ori, cu ajutorul reflexiilor repetate, a drumului parcurs de lumină.

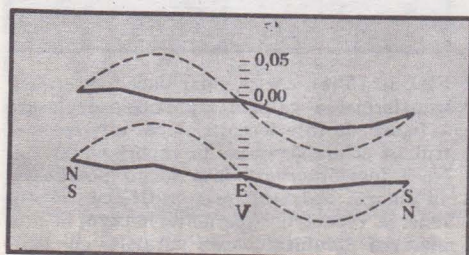


FIG. 10.16. „Rezultatele observațiilor sînt trecute pe un grafic (în figură). Curba de sus reprezintă observațiile făcute ziua, iar cea de jos, pe cele făcute noaptea. Curbele punctate reprezintă o optime din deplasările teoretice. Din figură rezultă în mod clar că, dacă există o deplasare datorată mișcării relative a Pământului față de eter, aceasta nu depășește 0,01 din interfranjă”. [A. A. Michelson and E. W. Morley, Am. J. Sci., 34: 333 (1887).] Pe ordonată s-a notat deplasarea franjelor; pe abscisă s-a trecut orientarea interferometrului în raport cu axa est-vest.



.....Ținând seama ca și mai sus numai de mișcarea orbitală a Pământului ar rezulta o deplasare egală cu:

$$2D \frac{V^2}{c^2} = 2D \cdot 10^{-8}.$$

Distanța  $D$  era de aproximativ 11 m, sau  $2 \cdot 10^7$  lungimi de undă ale luminii galbene; deplasarea ar fi trebuit deci să fie cam 0,4 din interfranță [dacă Pământul s-ar fi deplasat față de eter]. Deplasarea reală a fost în mod sigur de douăzeci de ori mai mică decât aceasta și probabil mai mică decât a patruzecea parte [vezi fig. 10.16]. Dar întrucât deplasarea este proporțională cu pătratul vitezei, viteza relativă a Pământului față de eter este probabil mai mică decât o șesime a vitezei orbitale și cu siguranță mai mică decât o pătrime.

Experiențele lui Michelson și Morley nu au confirmat rezultatele scontate de ei, pe baza transformărilor galileene. De atunci, în decurs de 80 de ani, experiențele au fost reluate (cu mici modificări) cu diferite lungimi de undă, cu lumină provenită de la stele, cu fascicule monocromatice extrem de înguste date de laserii moderni, la mari înălțimi, sub pământ, pe diferite continente și în diferite anotimpuri. Putem afirma că variația lui  $c$  (datorită deplasării eterului), este nulă cu o precizie foarte mare: vitezele luminii în sensul de curgere a eterului și în sens contrar diferă între ele prin mai puțin de 10 m/s, adică prin a mia parte din viteza orbitală a Pământului în jurul Soarelui.

**Invarianța lui  $c$ .** Rezultatul negativ al experienței lui Michelson și Morley sugerează că efectele eterului nu pot fi puse în evidență. De asemenea, el sugerează că viteza luminii este independentă de mișcarea sursei și a observatorului. Dovada experimentală a ultimei afirmații este foarte bună, dar ea poate fi încă îmbunătățită. Cercetările lui Sadeh citate în capitolul 11 arată că viteza razelor  $\gamma$  este constantă cu o eroare de  $\pm 10\%$ , independent de viteza sursei, pentru viteze ale sursei de ordinul  $\frac{1}{2} c$ . Din toate aceste expe-

riențe deducem că *un front luminos sferic emis de o sursă punctuală într-un sistem de referință inerțial își va menține forma sferică pentru un observator situat în orice sistem de referință inerțial.*

Am menționat într-un paragraf anterior că viteza undelor electromagnetice este independentă de frecvență pe domeniul de frecvențe  $10^8$ — $10^{22}$  Hz. Măsurători precise arată, de asemenea, independența lui  $c$  de intensitatea luminii și de prezența altor câmpuri electrice și magnetice. Discuția noastră s-a limitat însă numai la propagarea undelor electromagnetice în vid.

## EFFECTUL DOPPLER

Efectul Doppler sau deplasarea Doppler, dă legătura dintre frecvența măsurată a unei și vitezele relative ale sursei, mediului și observatorului. În ceea ce privește sunetul, efectul este cunoscut oricărei persoane care a auzit un automobil apropiindu-se și apoi depărtându-se, sau acelor persoane „mai



în vîrstă“ care stînd pe o platformă de cale ferată, au ascultat şuieratul unui tren care trecea prin faţă. Cînd sursa se apropie, numărul de unde emise într-o secundă va ajunge la observator în mai puţin de o secundă, deoarece atunci cînd este emisă ultima undă sursa se află mai aproape decît atunci cînd este emisă prima undă. Ca urmare, frecvenţa creşte. Reciproc, atunci cînd sursa se îndepărtează, frecvenţa scade. Un argument similar se aplică şi în cazul sursei fixe şi observatorului mobil. Pentru sunet se obţine relaţia:

$$v_o = v_s \frac{1 + v_o/V}{1 - v_s/V} \quad (10.6)$$

unde  $V$  este viteza sunetului în mediul respectiv, de exemplu, aer, aflat în repaus,  $v_s$  este viteza sursei, considerată pozitivă atunci cînd este îndreptată către observator,  $v_o$  este viteza observatorului, considerată pozitivă atunci cînd este îndreptată către sursă,  $v_s$  este frecvenţa sursei măsurată de către un observator în repaus faţă de sursă, iar  $v_o$  este frecvenţa măsurată de către observator.

Remarcaţi că dacă  $v_s \ll V$  (luăm  $v_o = 0$ ), atunci:

$$v_o = v_s \left( 1 + \frac{v_s}{V} \right) \quad (10.7)$$

şi

$$\frac{v_o - v_s}{v_s} = \frac{\Delta v}{v} = \frac{v_s}{V}. \quad (10.8)$$

În cazul luminii, au loc efecte asemănătoare, deşi apar şi diferenţe esenţiale. În analiza şi explicarea efectului Doppler pentru sunet, trebuie să luăm în considerare mediul în care se propagă undele sonore, precum şi mişcarea sursei şi observatorului în raport cu mediul. În cazul luminii, efectul Doppler nu trebuie înţeles în acelaşi fel, deoarece experienţa lui Michelson şi Morley interzice luarea în considerare a unui mediu (adică a eterului). Efectul Doppler furnizează cîteva verificări interesante ale teoriei restrînse a relativităţii şi de asemenea cîteva rezultate importante pentru astronomie, în special. Vom trata în mod corect efectul Doppler pentru lumină în capitolul 11.

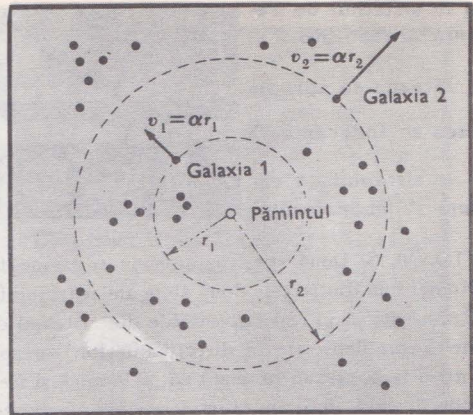
## EXEMPLU

**Deplasarea doppleriană spre roşu.** Analiza spectrografică a luminii primite de la galaxiile îndepărtate indică deplasarea spre capătul roşu (de joasă frecvenţă) al spectrului, a anumitor linii spectrale importante, identificate în studiile de spectroscopie. Această deplasare poate fi interpretată ca o deplasare doppleriană cauzată de viteza de îndepărtare a sursei. Se mai ştie că vitezele calculate din aceste deplasări Doppler sînt direct proporţionale cu distanţele de la Pămînt la surse, determinate prin alte metode.

Acest fapt observat este ieşit din comun şi foarte incitant. Cea mai simplă explicare nerelativistă a relaţiei dintre distanţă şi viteză este cunoscută sub numele de teoria „big-bang“, conform căreia Universul s-a format în urma unei explozii produse cu aproximativ  $10^{10}$  ani în urmă. Regiunile cele mai îndepărtate ale Universului sînt umplute cu acele produse ale exploziei iniţiale care au viteza cea mai mare. Deci cu cît este mai mare viteza radială a mate-



FIG. 10.17. Efectul Doppler, observat în lumina care vine de la stelele îndepărtate, arată că galaxiile se îndepărtează de noi cu o viteză proporțională cu distanța pînă la Pămînt. Galaxiile 1 și 2 aflate la distanțele  $r_1$  și  $r_2$  față de Pămînt (distanțe măsurate prin alte metode) au vitezele de îndepărtare  $v_1$  și  $v_2$  (măsurate cu ajutorul defectului Doppler).



riei (față de noi), cu atît ea este mai îndepărtată și cu atît mai mare este deplasarea spre roșu. Există și explicații mai sofisticate ale deplasării spre roșu. Nici una dintre ele nu este demonstrată (vezi fig. 10.17).

O pereche de linii de absorbție din spectrul potasiului care pot fi ușor recunoscute (liniile K și H) apar cu mare intensitate în spectrele multor stele. În laboratoarele de pe Pămînt aceste linii apar în jurul lungimii de undă de  $3\,950\text{ \AA}$ <sup>1</sup>. Presupunem că un observator aflat în sistemul de referință al unei stele, ar măsura aceeași lungime de undă. În lumina care vine de la o nebuloasă din constelația Boötes, observăm aceste linii la o lungime de undă de  $4\,470\text{ \AA}$ , adică ele sînt deplasate spre roșu cu  $4\,470 - 3\,950 = 520\text{ \AA}$ . Aceasta dă o deplasare relativă de:

$$\frac{\Delta\lambda}{\lambda} = \frac{520}{3\,950} = 0,13.$$

Observăm că, folosind formula (10.8) cu  $V$  egal cu  $c$  (ceea ce va fi justificat în cap. 11), și diferențiind <sup>2</sup>  $v = c/\lambda$  cu  $c$  constant, obținem:

$$\frac{\Delta v}{v} = -\frac{\Delta\lambda}{\lambda} \text{ sau } \frac{\Delta\lambda}{\lambda} \approx \frac{v_s}{c}. \quad (10.9)$$

Deducem din relațiile (10.8) și (10.9) că nebuloasa se îndepărtează de noi cu o viteză relativă  $|v| \approx 0,13c$ , ceea ce reprezintă o viteză foarte mare. Pentru viteze și mai mari trebuie să folosim pentru deplasarea Doppler o relație sau alta, modificată corespunzător modelelor relativiste adoptate pentru Univers<sup>3</sup>. De asemenea, expresiile aproximative din relațiile (10.8) și (10.9) valabile pentru sunet sau pentru lumină la viteze de deplasare mici în comparație cu viteza sunetului sau a luminii, trebuie înlocuite cu expresiile corecte pentru lumină.

Observații asemănătoare asupra unui număr mare de galaxii, coroborate cu estimări independente ale distanțelor lor, duc la următorul rezultat uimitor: viteza relativă a unei galaxii aflate la distanța  $r$  de noi poate fi scrisă sub forma:

$$v = ar \quad (10.10)$$

<sup>1</sup> 1 angstrom  $\equiv 10^{-10}\text{m} \equiv 1\text{ \AA}$ .

<sup>2</sup> Rețineți următorul artificiu de calcul. Presupunem că  $y = Ax^n$  cu  $A$ ,  $n$  constante și vrem să calculăm expresia  $dy/y$  în funcție de  $dx/x$ . Logarithmăm în ambii membri și obținem  $\ln y = \ln A + n \ln x$ . Diferențiind în ambii membri, rezultă  $dy/y = n dx/x$ . Am folosit aici relația  $d \ln x / dx = 1/x$ .

<sup>3</sup> Vezi G.C.McVitties, Physics Today, p. 70 (Iulie 1964).



Spectrul în sistemul de referință al laboratorului

Steaua se apropie

Steaua se îndepărtează

Spectrul în sistemul de referință al laboratorului

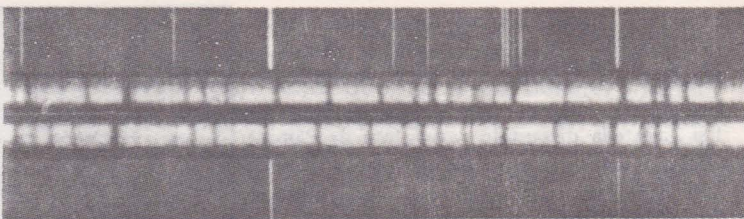


FIG. 10.18. Două spectrograme (luate la momente diferite) ale stelei duble  $\alpha$  Geminorum. Numai una dintre cele două stele ale sistemului emite suficientă lumină pentru a fi observată. Remarcați că în raport cu liniile din sistemul de referință al laboratorului, liniile spectrale ale stelei sînt deplasate în direcții diferite, corespunzătoare celor două faze de mișcare a stelei. Într-o fază, steaua se mișcă către Pămînt și frecvența luminii crește, iar în cealaltă, steaua se îndepărtează de Pămînt și frecvența descreește. (Fotografie efectuată la Observatorul Lick.)

unde constanta  $\alpha$  a fost determinată în mod empiric:  $\alpha = 1,6 \cdot 10^{-18} \text{ s}^{-1}$ . (Estimarea distanțelor galactice este un subiect complex pentru care trebuie consultat un manual de astronomie.) Inversul lui  $\alpha$  are dimensiuni de timp:

$$\frac{1}{\alpha} \approx 6 \cdot 10^{17} \text{ s} \approx 2 \cdot 10^{10} \text{ ani.} \quad (10.11)$$

Acesta este intervalul de timp, scurs de la „big-bang”-ul original, timp în care steaua a parcurs distanța la care ea se află în prezent. Înmulțind pe  $1/\alpha$  cu  $c$ , obținem o lungime:

$$\frac{c}{\alpha} \approx (3 \cdot 10^8)(6 \cdot 10^{17}) \approx 2 \cdot 10^{26} \text{ m.} \quad (10.12)$$

Timpul din expresia (10.11) desemnează aproximativ *vîrsta Universului*; lungimea din formula (10.12) desemnează *raza Universului*. Semnificația reală a acestor mărimi nu este încă cunoscută, deși s-au propus mai multe modele cosmologice pentru a explica aceste relații.

## VITEZA LIMITĂ

Am văzut că undele electromagnetice se propagă în vid cu viteza  $c$ . Poate fi depășită viteza limită  $c$ ?

Să considerăm mișcarea particulelor încărcate într-un accelerator. Pot fi accelerate particule la viteze mai mari decît  $c$ ? N-am întîlnit pînă acum nicăieri un principiu care să interzică în mod explicit posibilitatea accelerării particulelor încărcate la viteze oricît de mari (vezi fig. 10.19).

Următoarea experiență<sup>1</sup> ilustrează afirmația că o particulă nu poate fi accelerată la viteze mai mari decît  $c$ . Pulsurile de electroni sînt accelerate într-un accelerator Van de Graaff de cîmpuri electrostatice din ce în ce mai mari, după care electronii se deplasează cu viteză constantă printr-o regiune fără cîmp. Timpul de zbor de-a lungul unei distanțe  $AB$  date este măsurat direct (și o dată cu el și viteza), iar energia cinetică (care se transformă în căldură

<sup>1</sup> Experiența a fost făcută de către W. Bertozzi în legătură cu filmul PSSC „Viteza limită” (The Ultimate Speed). Descrierea noastră provine direct din capitolul A-3 al Suplimentului de Teme Avansate PSSC. Vezi și Am. J. Phys. 32: 551 (1964).



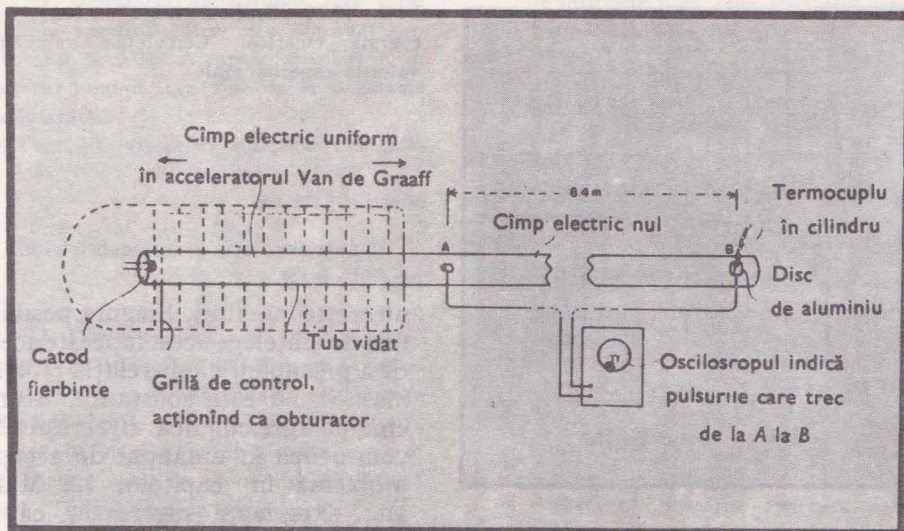


FIG. 10.19. Schema generală a experienței de determinare a vitezei limită. Electronii sînt accelerați în partea stîngă, într-un câmp uniform, și, cu ajutorul unui osciloscop, li se măsoară timpul de zbor între A și B.

prin ciocnirea cu o țintă situată la extremitatea traiectoriei) se măsoară cu ajutorul unui termocuplu calibrat.

Potențialul de accelerare  $V$  este binecunoscut în această experiență. Energia cinetică a unui electron este:

$$E_c = eEL = eV$$

unde  $L$  este distanța pe care are loc accelerarea, iar  $V = EL$  este diferența de potențial între capetele drumului de accelerare. Dacă  $V = 10^6$  V, atunci, după accelerare, un electron va avea energia de  $1 \cdot 10^6$  eV (1 MeV) sau de:

$$(1,6 \cdot 10^{-19}) (10^6) = 1,6 \cdot 10^{-13} \text{ J.}$$

Dacă prin fascicul trec  $N$  electroni pe secundă, puterea cedată țintei de aluminiu va fi de  $1,60 \cdot 10^{-13} N$  W. Aceasta concordă perfect cu determinările directe, date de termocuplu, ale puterii absorbite de țintă. Rezultatul confirmă faptul că electronii cedează sursei energia cinetică acumulată de ei în timpul accelerării. Pe baza mecanicii nerelativiste ne așteptăm ca:

$$E_c = \frac{1}{2} mv^2, \quad (10.13)$$

astfel încît graficul lui  $v^2$  ca funcție de  $E_c$  să fie o linie dreaptă. Cu toate acestea, pentru energii mai mari ca  $10^5$  eV, relația liniară dintre  $v^2$  și  $E_c$  nu mai este verificată experimental. La energii mari, viteza observată se apropie de valoarea limită  $3 \cdot 10^8$  m/s. Așadar, atunci cînd se compară viteza măsurată cu viteza calculată din relația (10.13) se găsește o valoare mai mică decît cea prezisă teoretic. În adevăr, graficul lui  $v^2$  ca funcție de  $E_c$  se curbează așa cum este ilustrat în figura 10.20, apropiindu-se asimptotic de valoarea  $9 \cdot 10^{16}$  m<sup>2</sup>/s<sup>2</sup>. Rezultatele experimentale pot fi rezumate astfel: deși electronii absorb energia respectivă din câmpul de accelerare, viteza lor



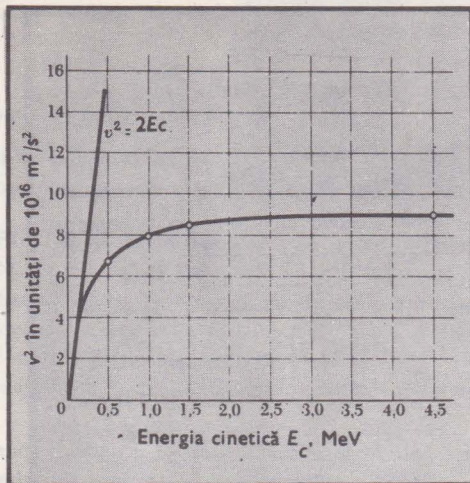


FIG. 10.20. Graficul lui  $v^2$  în funcție de energia cinetică. Cerculețele reprezintă valorile experimentale.

aceasta, că  $c$  este limita superioară a vitezelor particulelor. Astăzi credem cu tărie că  $c$  este viteza maximă atât a particulelor cât și a undelor electromagnetice:  $c$  este viteza limită.

### Concluzii

Sîntem pregătiți acum să studiem în capitolul 11 relativitatea restrînsă cunoscînd din experiență că:

1. Viteza  $c$  este invariantă în raport cu sistemele de referință inerțiale, adică cu acele sisteme care se mișcă cu viteză constantă unele în raport cu altele.
2.  $c$  este viteza maximă cu care poate fi transmisă energia.
3. Viteza absolută a unui sistem de referință nu are sens. Numai vitezele relative pot fi determinate experimental.
4. Transformările galileene nu pot furniza explicații satisfăcătoare ale fenomenelor în care apar viteze foarte mari.
5. Formula newtoniană a energiei cinetice,  $\frac{1}{2}mv^2$ , nu mai este valabilă atunci cînd  $v$  tinde spre  $c$ .

Am trecut în revistă doar o mică parte a experiențelor care fundamentează teoria restrînsă a relativității, care astăzi este o teorie solid întemeiată. Fizicienii se bazează pe această teorie la fel de mult ca pe orice altă parte a fizicii clasice. Ne vom strădui, în cele ce urmează, să o formulăm precis și să înțelegem cîteva dintre consecințele ei importante.

### PROBLEME

1. *Deplasarea Doppler.* Un cosmonaut vrea să măsoare viteza cu care se apropie de Lună. Pentru aceasta, el trimite un semnal radio cu frecvența de  $\nu = 5\,000$  MHz și îi compară frecvența cu aceea a ecoului său,

observînd o diferență de 86 kHz. Calculați viteza rachetei în raport cu Luna (Expresia nerelativistă pentru deplasarea Doppler este în multe cazuri suficient de precisă.)

R:  $2,6 \cdot 10^3$  m/s.



## 2. Deplasarea doppleriană spre roșu.

O linie spectrală care este observată în laborator la 5000 Å, apare la 5200 Å în spectrul luminii care vine de la o galaxie îndepărtată.

(a) Care este viteza de îndepărtare a galaxiei?

R:  $1,2 \cdot 10^7$  m/s.

b) Cât de departe se află galaxia?

R:  $8 \cdot 10^{24}$  m.

3. Viteza luminii. În celebra experiență a lui Michelson de măsurare a vitezei luminii, o prismă octogonală reflectătoare aflată în rotație în jurul axei sale, reflectă o rază de lumină primită de la o sursă îndepărtată către un observator aflat lângă sursă. Timpul necesar luminii pentru a parcurge acest drum era o optime din perioada de rotație a prisme. Distanța dintre sursă și oglindă era  $L = (35,410 \pm 0,003)$  km, iar frecvența de rotație a prisme  $\nu = 529$  Hz, cu o precizie de  $3 \cdot 10^{-5}$  Hz.

(a) Calculați viteza luminii din aceste date. (Trebuie făcută și o corecție de ordinul a  $10^{-5}$  din cauza efectelor atmosferice.)

(b) Unghiul dintre două fețe adiacente ale prisme octogonale era  $135^\circ \pm 0,1''$ . Estimați precizia globală a rezultatului măsurării lui  $c$ .

4. Eclipsele lui Io. Satelitul lui Jupiter, Io, se mișcă pe o orbită de rază  $4,21 \cdot 10^8$  m, avînd o perioadă medie de 42,5 h. Roemer a observat că perioada varia, în mod regulat în decursul unui an, cu o perioadă de variație de aproximativ un an. Deviația maximă a perioadei de la valoarea medie era de 15 s și apărea la intervale de timp ce se succedau la aproximativ șase luni. Neglijăți mișcarea orbitală a lui Jupiter.

(a) Estimați distanța pe care Pământul o parcurge în timpul unei rotații complete a lui Io în jurul lui Jupiter.

R:  $4,5 \cdot 10^9$  m.

(b) Cînd apare perioada lui Io ca fiind maximă?

(c) Folosiți rezultatele de mai sus și datele furnizate pentru determinarea vitezei luminii.

(d) Estimați întârzierea acumulată în cursul celor șase luni ce urmează momentului

de întârziere nulă, cînd Pământul este în poziția cea mai apropiată de Jupiter.

5. Paralaxa stelelor și aberația. Paralaxa stelelor a fost prevăzută de Aristarh din Samos (aprox. 200 î.e.n.) și a fost observată de Bessel abia în 1838. O încercare lipsită de succes a fost făcută de Bradley, care a descoperit, în schimb, aberația stelelor. În decursul unui an, poziția aparentă a stelei se deplasează, datorită aberației, între două poziții extreme situate la circa  $40''$  de arc.

a) Care ar fi, în parseci, distanța pînă la o stea cu paralaxa de  $20''$ ? Cea mai apropiată stea cunoscută este  $\alpha$  Centauri aflată la distanță de 1,3 parseci.

R: 0,05 parseci.

(b) Arătați că mișcarea aparentă anuală datorată aberației a unei stele situate lângă ecliptică are loc pe coarda unui arc de  $40''$ . Ecliptica este planul orbitei terestre.

6. Rotația galaxiilor. În 1916, înainte de a fi fost cunoscute marile distanțe la care se află nebuloasele (galaxiile), s-a descoperit că spirala M 101 se rotește ca un corp rigid cu o perioadă de 85 000 ani. Diametrul unghiular observat este de  $22'$ . Calculați distanța maximă la care se poate afla nebuloasa dacă perioada dată mai sus este exactă și presupunînd că extremitățile nebuloasei nu se pot mișca cu viteze mai mari decît  $c$ . (Măsurători recente efectuate asupra stelelor din M 101 o situează la o distanță de  $8,5 \cdot 10^{22}$  m. Este clar că perioada de rotație găsită în 1916 a fost subestimată.)

7. Stele variabile. Telescopul de 5 m diametru de la Mount Palomar poate distinge stele individuale din galaxii aflate la distanțe pînă la  $3 \cdot 10^{23}$  m. O metodă de măsurare a distanțelor de acest ordin de mărime implică observarea perioadelor de luminozitate ale unor stele variabile de tipul Cefeidelor. O stea de tipul Cefeidelor este o stea instabilă din punct de vedere gravitațional, în care au loc pulsații periodice în decursul cărora raza stelei poate varia cu 5–10%. Perioada unei Cefeide este legată de luminozitatea sa medie. Temperatura unei stele variază



cu aceeași perioadă ca și raza, astfel încât se observă variații periodice ale strălucirii. S-au găsit și perioade de câteva ore. În galaxia noastră o Cefeidă de  $2 \cdot 10^4$  ori mai luminoasă decât Soarele, are o perioadă de 50 zile.

- (a) Estimați din relația distanță-viteză [ecuația (10.10)], viteza radială a unei galaxii aflate la distanța de  $3 \cdot 10^{23}$  m.  
 b) Care ne așteptăm să fie perioada acestei Cefeide într-o galaxie aflată la distanța de mai sus?

R: 50,08 zile.

8. *Nove*. Se vede uneori explozia unei stele, însoțită de aruncarea cu mare viteză a straturilor sale exterioare. O astfel de stea se numește *novă*. S-a observat cu ochiul liber că după explozie o novă recentă este înconjurată de un înveliș. Diametrul unghiular al învelișului crește cu  $0,3''/\text{an}$ . Spectrul noiei este un spectru stelar normal peste care se suprapun linii de emisie largite, ale căror semilărgimi (măsurate în lungimi de undă) rămân mereu egale cu  $10 \text{ \AA}$  (în jurul lungimii de undă de  $5000 \text{ \AA}$ ), deși intensitatea liniilor scade. Lărgimea este interpretată ca o măsură a deplasării Doppler între părțile învelișului care se apropie de noi și cele care se îndepărtează de noi. Estimați distanța până la novă dacă învelișul este optic transparent (astfel încât primim tot atîta lumină de la emisfera îndepărtată cît și de la cea apropiată).

R:  $1,3 \cdot 10^{19}$  m.

9. *Viteza galaxiilor*. Vitezele radiale măsurate ale galaxiilor în raport cu Pămîntul nu sînt izotrop distribuite pe sfera cerească. Anizotropia rezultă din mișcarea orbitală a Soarelui în jurul centrului galaxiei noastre și din mișcarea galaxiei noastre în raport cu un reper extragalactic considerat în repaus. Să examinăm toate galaxiile aflate la o anumită distanță, să spunem  $3,26 \cdot 10^7$  ani lumină.

- (a) Care este viteza radială medie a acestor galaxii?

R: viteza medie a galaxiilor calculată din relația viteză-distanță este de  $494 \text{ km/s}$ .

- (b) Unde va fi localizată în medie, în spectrele acestor galaxii, linia  $H_\alpha$  a hidro-

genului? (În laborator,  $\lambda_{H\alpha} = 6,563 \cdot 10^{-7} \text{ m}$ )

R: linia  $H_\alpha$  se va afla în medie la  $6,574 \cdot 10^{-7} \text{ m}$ .

Pentru mulțimea galaxiilor considerate, găsim că într-un anumit sens vitezele sînt cu  $300 \text{ km/s}$  mai mari decît media, iar în sens opus ele sînt mult mai mici.

- (c) Care este viteza Soarelui în acest sistem de referință?

R:  $300 \text{ km/s}$ .

- (d) Este aceasta viteza orbitală a Soarelui în jurul centrului galaxiei noastre?

R: nu, pentru că ea include orice mișcare a galaxiei noastre, ca întreg, în acest sistem de referință.

- (e) Presupunind că aceasta este viteza orbitală, estimați masa galaxiei noastre, considerînd că toată masa se află în centru și că orbita Soarelui este un cerc cu raza de  $3500$  ani lumină. Comparați cu masa de  $8 \cdot 10^{41} \text{ kg}$  a galaxiei, dată mai sus, și explicați diferența.

R:  $4,5 \cdot 10^{40} \text{ kg}$ . Reprezintă mai puțin decît rezultatul citat în mod uzual, deoarece cea mai mare parte a masei galaxiei nu se află în centru — de fapt, o mare parte din masă se află în afara orbitei Soarelui și nu influențează mișcarea acestuia, neputînd fi detectată în acest mod.

10. *Rotația stelelor*. Observarea detaliilor suprafeței solare a condus la concluzia că Soarele se rotește încet în jurul axei sale, cu o perioadă de 25 de zile. Unele stele se pot roti totuși mult mai repede. Cum poate fi determinat acest lucru ținînd seama că stelele sînt prea îndepărtate pentru a fi observate, altfel decît ca simple puncte luminoase?

## LECTURI SUPLIMENTARE

*Curs de Fizică HPP* (HPP „Project Physics Course”), capitolele 16 (§ 6), și 20 (§ 1). Holt, Rinehart and Winston, New York, 1970.

A. A. Michelson, *Studii de Optică* („Studies in Optics”), The University of Chicago Press, Chicago, 1927; reîmpărire în ediție broșată, 1962.



# 11

## Relativitatea restrînsă: transformarea Lorentz

### Cuprins

**Ipoteze fundamentale**

**Transformarea Lorentz**

*Contractia lungimii*

*Măsurarea unei lungimi perpendiculare pe viteza relativă*

*Dilatarea timpului pentru ceasurile în mișcare*

*Exemplu. Timpul de viață al mezonilor  $\pi^+$*

**Transformarea vitezelor**

*Exemplu. Compunerea vitezelor*

*Exemplu. Aberrația luminii*

*Exemplu. Efectul Doppler longitudinal*

**Ceasuri accelerate**

**Probleme**

**Lecturi suplimentare**

## IPOTEZE FUNDAMENTALE

Rezultatul negativ al încercării lui Michelson și Morley de a pune în evidență deplasarea Pământului prin eter, precum și celelalte rezultate discutate în capitolul 10 pot fi înțelese numai printr-o schimbare radicală a modului nostru de gândire; noul principiu necesar este simplu și clar:

Viteza luminii este independentă de mișcarea sursei luminoase sau a observatorului.

Așadar, viteza luminii este aceeași în toate sistemele de referință aflate în mișcare uniformă în raport cu sursa. Acestui nou principiu trebuie să-i adăugăm ipoteza noastră mai veche:

Spațiul este izotrop și omogen. Legile fundamentale ale fizicii au aceeași formă pentru doi observatori aflați în mișcare rectilinie uniformă unul față de celălalt.

Toate marile consecințe ale teoriei restrinse a relativității decurg din aceste ipoteze.

Nu numai undele electromagnetice, sau fotonii, au viteza independentă de mișcarea sursei. Fizicienii cred, pe baza unor observații experimentale lipsite de dubiu, că există și alte particule, în particular neutrinii și antineutrinii, care au viteza egală cu  $c$ . Vom discuta, totuși, fotonii, deoarece este mai ușor să se facă experiențe cu ei.

Să considerăm pentru început o undă luminoasă emisă de o sursă punctuală. Frontul de undă (suprafața de fază constantă) va fi o sferă dacă este privit dintr-un sistem de referință aflat în repaus. Dar, în conformitate cu noul nostru principiu, frontul de undă trebuie să fie sferic și când este privit dintr-un sistem de referință care se mișcă uniform față de sursă; altfel, am putea spune din forma frontului de undă că sursa se află în mișcare. Presupunerea fundamentală că viteza luminii este independentă de mișcarea sursei ne răpește posibilitatea de a deduce, din forma frontului de undă, dacă sursa se află sau nu în mișcare uniformă.

## TRANSFORMAREA LORENTZ

În capitolul 4 am introdus transformarea galileiană pentru a vedea cum apar fenomenele în două sisteme de referință diferite. Vom folosi în continuare aceleași idei, în legătură cu două sisteme de referință  $S$  și  $S'$ , care se mișcă unul față de altul cu viteza  $V$ . Vrem să găsim o transformare a coordonatelor și eventual a timpului, similară transformărilor galileiene (4.14), care leagă coordonatele și timpul într-un sistem de referință cu coordonatele și timpul



din alt sistem, astfel încît să fie compatibilă cu ipotezele teoriei relativității. Presupunînd că în originea sistemului  $S$  se află o sursă de lumină, ecuația frontului de undă sferic, emis la momentul  $t = 0$ , este:

$$x^2 + y^2 + z^2 = c^2 t^2. \quad (11.1)$$

În sistemul de referință  $S'$ , în care coordonatele sînt  $x'$ ,  $y'$ ,  $z'$  și  $t'$ , ecuația frontului de undă sferic trebuie să fie:

$$x'^2 + y'^2 + z'^2 = c^2 t'^2. \quad (11.2)$$

Viteza luminii,  $c$ , este aceeași în ambele ecuații (11.1) și (11.2).

Putem încerca să vedem dacă transformarea galileiană conduce la rezultate care să fie în acord cu relațiile (11.1) și (11.2).

$$x' = x - Vt; \quad y' = y; \quad z' = z; \quad t' = t. \quad (11.3)$$

Înlocuind transformarea (11.3) în formula (11.2) obținem imediat rezultatul:

$$x^2 - 2xVt + V^2 t^2 + y^2 + z^2 = c^2 t^2$$

care nu coincide cu relația (11.1). Așadar, transformarea galileiană nu mai este valabilă și trebuie să găsim o altă transformare. Ea s-ar putea reduce la transformarea galileiană atunci cînd viteza  $V$  devine foarte mică în raport cu viteza luminii.

Vom încerca transformarea:

$$x' = \alpha x + \varepsilon t; \quad y' = y; \quad z' = z; \quad t' = \delta x + \eta t.$$

Știm că pentru  $x' = 0$ ,  $dx/dt = V$ ; iar pentru  $x = 0$ ,  $\frac{dx'}{dt'} = -V$ , ceea ce conduce la relațiile:

$$V = -\frac{\varepsilon}{\alpha}; \quad -V = \frac{\varepsilon}{\eta}$$

sau

$$\alpha = \eta.$$

Înlocuind în formula (11.2), obținem:

$$\alpha^2 x^2 + 2\alpha \varepsilon x t + \varepsilon^2 t^2 + y^2 + z^2 = c^2 (\delta^2 x^2 + 2\delta \alpha x t + \alpha^2 t^2).$$

Această egalitate trebuie comparată cu egalitatea (11.1); observăm că se obține compatibilitate numai dacă;

$$2\alpha \varepsilon = 2c^2 \delta \alpha$$

$$\alpha^2 - c^2 \delta^2 = 1$$

și

$$c^2 \alpha^2 - \varepsilon^2 = c^2.$$

Eliminînd pe  $\varepsilon$  și folosind relația  $\varepsilon = -V\alpha$ , rezultă în definitiv:

$$\alpha = \frac{1}{(1 - V^2/c^2)^{\frac{1}{2}}}; \quad \varepsilon = -\frac{V}{(1 - V^2/c^2)^{\frac{1}{2}}}$$

$$\delta = \frac{-V/c^2}{(1 - V^2/c^2)^{\frac{1}{2}}}; \quad \eta = \frac{1}{(1 - V^2/c^2)^{\frac{1}{2}}}.$$

din alt sistem, astfel încât să fie compatibilă cu ipotezele teoriei relativității. Presupunând că în originea sistemului  $S$  se află o sursă de lumină, ecuația frontului de undă sferic, emis la momentul  $t = 0$ , este:

$$x^2 + y^2 + z^2 = c^2 t^2. \quad (11.1)$$

În sistemul de referință  $S'$ , în care coordonatele sînt  $x'$ ,  $y'$ ,  $z'$  și  $t'$ , ecuația frontului de undă sferic trebuie să fie:

$$x'^2 + y'^2 + z'^2 = c^2 t'^2. \quad (11.2)$$

Viteza luminii,  $c$ , este aceeași în ambele ecuații (11.1) și (11.2).

Putem încerca să vedem dacă transformarea galileiană conduce la rezultate care să fie în acord cu relațiile (11.1) și (11.2).

$$x' = x - Vt; \quad y' = y; \quad z' = z; \quad t' = t. \quad (11.3)$$

Înlocuind transformarea (11.3) în formula (11.2) obținem imediat rezultatul:

$$x^2 - 2xVt + V^2 t^2 + y^2 + z^2 = c^2 t^2$$

care nu coincide cu relația (11.1). Așadar, transformarea galileiană nu mai este valabilă și trebuie să găsim o altă transformare. Ea s-ar putea reduce la transformarea galileiană atunci cînd viteza  $V$  devine foarte mică în raport cu viteza luminii.

Vom încerca transformarea:

$$x' = \alpha x + \varepsilon t; \quad y' = y; \quad z' = z; \quad t' = \delta x + \eta t.$$

Știm că pentru  $x' = 0$ ,  $dx/dt = V$ ; iar pentru  $x = 0$ ,  $\frac{dx'}{dt'} = -V$ , ceea ce conduce la relațiile:

$$V = -\frac{\varepsilon}{\alpha}; \quad -V = \frac{\varepsilon}{\eta}$$

sau

$$\alpha = \eta.$$

Înlocuind în formula (11.2), obținem:

$$\alpha^2 x^2 + 2\alpha \varepsilon x t + \varepsilon^2 t^2 + y^2 + z^2 = c^2 (\delta^2 x^2 + 2\delta \alpha x t + \alpha^2 t^2).$$

Această egalitate trebuie comparată cu egalitatea (11.1); observăm că se obține compatibilitate numai dacă;

$$2\alpha \varepsilon = 2c^2 \delta \alpha$$

$$\alpha^2 - c^2 \delta^2 = 1$$

și

$$c^2 \alpha^2 - \varepsilon^2 = c^2.$$

Eliminînd pe  $\varepsilon$  și folosind relația  $\varepsilon = -V\alpha$ , rezultă în definitiv:

$$\alpha = \frac{1}{(1 - V^2/c^2)^{\frac{1}{2}}}; \quad \varepsilon = -\frac{V}{(1 - V^2/c^2)^{\frac{1}{2}}}$$

$$\delta = \frac{-V/c^2}{(1 - V^2/c^2)^{\frac{1}{2}}}; \quad \eta = \frac{1}{(1 - V^2/c^2)^{\frac{1}{2}}}.$$



Transformarea căutată este așadar:

$$\left. \begin{aligned} x' &= \frac{x - Vt}{(1 - V^2/c^2)^{\frac{1}{2}}}; & y' &= y; & z' &= z \\ t' &= \frac{t - (V/c^2)x}{(1 - V^2/c^2)^{\frac{1}{2}}} \end{aligned} \right\} \quad (11.4)$$

Aceasta este *transformarea Lorentz*<sup>1</sup>. Ea este liniară în  $x$  și  $t$ ; se reduce la transformarea galileiană pentru  $V/c \rightarrow 0$ ; aplicată în formula (11.2), ea duce la:

$$x^2 + y^2 + z^2 = c^2 t^2,$$

așa cum cere teoria. Adică, expresia:

$$x'^2 + y'^2 + z'^2 = c^2 t'^2$$

este *invariantă* la o transformare Lorentz. Forma ecuației care descrie frontul de undă este aceeași în toate sistemele de referință care se mișcă uniform unele în raport cu altele. Ecuațiile (11.4) reprezintă soluția unică a tuturor cerințelor noastre. Ele sînt o bună metodă rapidă de rememorare a multor rezultate importante din relativitate. Vom discuta, în cele ce urmează, cîteva dintre aceste rezultate, cu ajutorul transformării Lorentz.

Este deseori convenabil să se folosească în relativitate notația clasică:

$$\left[ \beta \equiv \frac{V}{c} \right] \quad (11.5)$$

Adică,  $\beta$  este viteza măsurată în sistemul natural de unități, în care  $c = 1$ . Este, de asemenea, comod să se introducă mărimea  $\gamma$

$$\left[ \gamma \equiv \frac{1}{(1 - \beta^2)^{\frac{1}{2}}} \equiv \frac{1}{(1 - V^2/c^2)^{\frac{1}{2}}} \right] \quad (11.6)$$

Remarcați că  $\gamma \geq 1$ . Cu aceste notații, transformarea Lorentz (11.4) devine:

$$x' = \gamma(x - \beta ct); \quad y' = y; \quad z' = z; \quad t' = \gamma\left(t - \frac{\beta x}{c}\right) \quad (11.7)$$

iar cititorul poate demonstra (probl. 2) că transformarea inversă este:

$$x = \gamma(x' + \beta ct'); \quad y = y'; \quad z = z'; \quad t = \gamma\left(t' + \frac{\beta x'}{c}\right) \quad (11.8)$$

<sup>1</sup> Această transformare are o istorie lungă. Ea a fost folosită inițial de către J. Larmor, pentru a explica rezultatul negativ al experienței lui Michelson și Morley în cartea sa „Eter și Materie” (Aether and Matter) pag. 174–176, Cambridge University Press, New York, 1900. Larmor pretindea doar o precizie de ordinul  $V^2/c^2$ ; de fapt rezultatele sale sînt exacte.

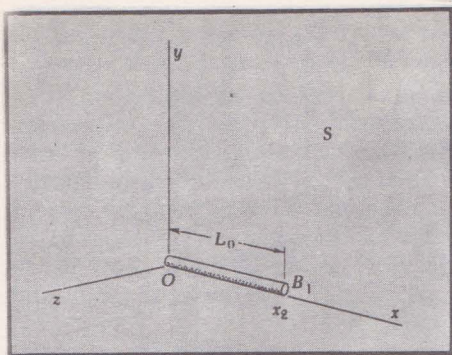


FIG. 11.1. (a). Considerăm o bară rigidă  $B_1$ , care are lungimea  $L_0$  în sistemul propriu  $S$ .

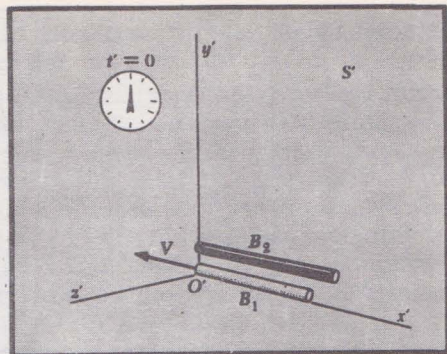


FIG. 11.1. (b) Transformarea Lorentz ne spune că  $B_1$ , care are viteza  $V$  în  $S'$ , va avea lungimea măsurată  $L' = L_0 \sqrt{1 - V^2/c^2}$  în  $S'$ . Remarcați în figură că  $x_1 = x'_1 = 0$ .

**Contractia lungimii.** Să considerăm o bară (vezi fig. 11.1, a) aflată în repaus de-a lungul axei  $x$  din sistemul de referință  $S$ . Întrucât bara este în repaus față de sistemul  $S$ , coordonatele extremităților sale  $x_1$  și  $x_2$  sînt independente de timp. Lungimea

$$L_0 = x_2 - x_1$$

se numește *lungimea de repaus* sau *lungimea proprie* a barei. Considerăm, de asemenea, o bară (vezi fig. 11.2, a) aflată în repaus de-a lungul axei  $x'$  din sistemul  $S'$ . Din aceleași motive,

$$L_0 = x'_2 - x'_1$$

reprezintă *lungimea de repaus* sau *lungimea proprie* a barei în sistemul  $S'$ .

Vrem să determinăm acum lungimile barelor observate dintr-un sistem de referință în mișcare. Să privim mai întâi prima bară din sistemul  $S'$  care se mișcă cu viteza  $V$  față de bara aflată în repaus în sistemul  $S$  (priviți fig. 11.1, b și remarcați că bara  $B_2$  din fig. 11.2, a se află în repaus față de  $S'$ ). Vom determina lungimea barei văzute din  $S'$ , determinînd la un moment dat  $t'$ , pozițiile  $x'_1$  și  $x'_2$  ale extremităților barei. Punctul important este acela că  $t'$  este același pentru  $x'_1$  și  $x'_2$ . Altfel spus, distanța dintre abscisele  $x'_1$  și  $x'_2$  din  $S'$ , care coincid *simultan* (în  $S'$ ) cu extremitățile barei, reprezintă o definiție naturală a lungimii  $L$  în sistemul în mișcare  $S'$ .

Din transformarea Lorentz (11.8) rezultă:

$$x_1 = \gamma (x'_1 + Vt'_1)$$

$$x_2 = \gamma (x'_2 + Vt'_2)$$

$$x_2 - x_1 = L_0 = \gamma (x'_2 - x'_1) + \gamma V(t'_2 - t'_1).$$

Punînd acum  $t'_2 = t'_1$ , după cum am văzut că este necesar pentru a efectua măsurătoarea în  $S'$ , obținem:

$$L_0 = \gamma (x'_2 - x'_1) = \gamma L$$

sau, folosind definiția lui  $\gamma = (1 - \beta^2)^{-\frac{1}{2}}$ ,



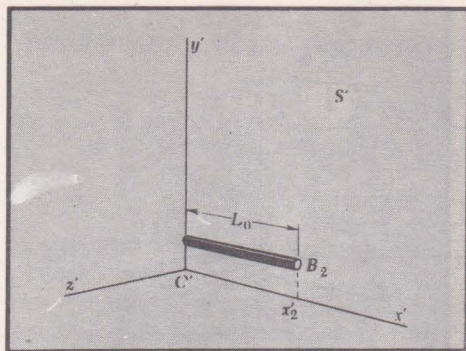


FIG. 11.2. (a). Considerăm o bară rigidă asemănătoare  $B_2$ , care are lungime  $L_0$  în sistemul propriu  $S'$ .

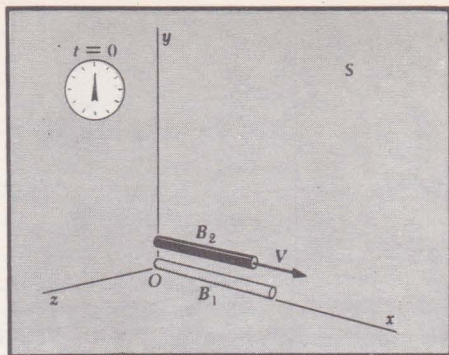


FIG. 11.2 (b). Transformarea Lorentz ne spune, de asemenea, că  $B_2$ , care are viteza  $V$  în  $S$ , va avea lungimea măsurată  $L = L_0 \sqrt{1 - V^2/c^2}$  în  $S$ . Remarcați în figură că  $x'_1 = x'_2 = 0$ .

$$L = \frac{L_0}{\gamma} = L_0 (1 - \beta^2)^{\frac{1}{2}} \quad (11.9)$$

Cu alte cuvinte, măsurătoarea efectuată în sistemul în mișcare, dă o lungime mai scurtă decât măsurătoarea efectuată în sistemul în repaus.

Privim acum bara din figura 11.2, a aflată în repaus în sistemul  $S'$  din sistemul de referință  $S$  care se mișcă cu viteza  $-V\hat{x}'$  în raport cu bara aflată în repaus în sistemul  $S'$ . (Priviți fig. 11.2, b și remarcați că bara  $B_1$  din fig. 11.1, a este în repaus în sistemul  $S$ ). Procedul este același, numai că acum timpul  $t$  este același la determinarea extremităților  $x_1$  și  $x_2$ . Din transformarea Lorentz (11.7) rezultă:

$$x'_1 = \gamma(x_1 - Vt_1)$$

$$x'_2 = \gamma(x_2 - Vt_2)$$

$$x'_2 - x'_1 = L_0 = \gamma(x_2 - x_1) - \gamma V(t_2 - t_1)$$

și punând  $t_2 = t_1$ , obținem:

$$L_0 = \gamma(x_2 - x_1) = \gamma L$$

$$L = L_0 (1 - \beta^2)^{\frac{1}{2}}.$$

Măsurarea barei în mișcare dă din nou o lungime mai mică decât măsurarea barei în repaus.

Aceasta este celebra contracție Lorentz-Fitzgerald a barei care se mișcă paralel cu lungimea ei, în raport cu observatorul. Ne-am putea întreba îngrijorați dacă lungimea nu „s-a contractat într-adevăr”. Desigur, bara nu s-a modificat din punct de vedere fizic, dar măsurarea într-un sistem aflat în mișcare a condus la un rezultat diferit. Pentru o discuție a aspectului fotografiilor unor obiecte aflate în mișcare foarte rapidă, vezi excelentul articol al

lui Weisskopf<sup>1</sup>. Se arată, de exemplu, prin calcularea traiectoriei, că fotografia unei sfere în mișcare va fi o sferă și nu un elipsoid.

În discuția de mai sus, am accentuat asupra faptului că observatorul măsoară lungimea prin înregistrarea *simultană* a pozițiilor extremităților barei în propriul său sistem de referință. Este ceea ce s-a cerut observatorului din sistemul  $S'$  atunci când a găsit că lungimea barei, aflate în repaus în sistemul  $S$ , este egală cu  $L_0/\gamma$  [Ecuția (11.9)]. Este esențial să ne dăm seama de faptul că înregistrarea simultană, la momentul  $t'$ , a extremităților în sistemul  $S'$  nu se transformă în evenimente simultane la extremitățile  $x_1$  și  $x_2$  din sistemul  $S$ ; dimpotrivă, transformările Lorentz prezic un decalaj de timp:

$$t_2 - t_1 = \frac{\beta(x_2 - x_1)}{c}$$

în sistemul  $S$ , pentru ca înregistrările celor două extremități să fie simultane în sistemul  $S'$ . Vedem acum că pentru o bară aflată pe axa  $y$  nu se pune problema simultaneității, dar pentru o bară aflată pe axa  $x$ , chestiunea simultaneității este foarte importantă<sup>2</sup>.

Acest fapt este ilustrat și de alt exemplu. Putem sincroniza cu ușurință o serie de ceasuri în sistemul  $S$ , în care bara se află în repaus. Presupunem că, la  $t = 0$ , ceasurile emit din cele două extremități  $x_1 = 0$  și  $x_2 = L_0$  câte un puls luminos în direcția  $y$ . Aceste pulsuri sînt recepționate în sistemul  $S'$  de două contoare așezate pe axa  $x'$ . Care este distanța dintre cele două contoare? Din ecuația (11.7) rezultă pentru pozițiile celor două contoare:

$$x'_1 = 0 \cdot \gamma - c \cdot 0 \cdot \beta\gamma = 0$$

$$x'_2 = L_0\gamma - c \cdot 0 \cdot \beta\gamma = L_0\gamma$$

astfel că distanța dintre ele este:

$$x'_2 - x'_1 = L_0\gamma = \frac{L_0}{(1 - \beta^2)^{\frac{1}{2}}} \quad (11.10)$$

Acest rezultat nu coincide cu expresia (11.9). Aici am făcut însă o *altă experiență* și de aceea am obținut un alt rezultat. Prima noastră experiență era bazată pe definiția naturală a lungimii în sistemul  $S'$  și folosea cerința de simultaneitate în acest sistem. În acea experiență se comparau  $\Delta x'$  cu  $\Delta x$  pentru  $\Delta t' = 0$ , în timp ce în a doua experiență se compară  $\Delta x'$  cu  $\Delta x$  pentru  $\Delta t = 0$ .

Aflăm așadar indirect din rezultatul (11.10) al experienței a doua, că două evenimente simultane în sistemul  $S$  nu sînt, în general, simultane și în sistemul  $S'$ . Din relațiile (11.7) se vede că două evenimente *simultane* ( $\Delta t = 0$ )

<sup>1</sup> V. F. Weisskopf, Physics Today, 13:24–27 (Sept. 1960).

<sup>2</sup> Cititorul este trimis la cartea lui Taylor și Wheeler, Introducere în fizica spațiului și timpului, (Space-Time Physics — An Introduction), pag. 64–66, W. H. Freeman and Company, San Francisco, 1965.



în sistemul  $S$ , și distanțate cu  $\Delta x$ , vor fi separate în sistemul  $S'$ , atât în timp, cât și în spațiu:

$$\Delta x' = \gamma \Delta x; \quad c\Delta t' = -\beta \gamma \Delta x.$$

**Măsurarea unei lungimi perpendiculare pe viteza relativă.** Spre deosebire de măsurarea distanței pe direcția vitezei relative, vedem din transformarea Lorentz (11.7) că:

$$y' = y \quad \text{și} \quad z' = z.$$

Aceste relații sînt echivalente cu afirmația că rezultatul măsurării, de exemplu, a lungimii metru etalon este independent de viteză *dacă* metru etalon se mișcă perpendicular pe lungimea sa.

Cum putem verifica experimental această afirmație? Luăm un metru etalon și îl deplasăm cu viteză uniformă pe lîngă un alt metru etalon aflat în repaus. Nu e greu de observat coincidența originilor celor două etaloane. Atunci, sau reperele „1 m” ale fiecărui etalon vor coincide sau, dacă mișcarea modifică lungimea, putem face astfel încît reperul „1 m” al etalonului mai scurt să lase o urmă pe etalonul mai lung (vezi fig. 11.3, *a-c*). Aceasta pune la dispoziție un mod fizic bine definit de înregistrare a lungimii.

Fie  $S$  sistemul de referință propriu al unui metru etalon și  $S'$  sistemul de referință propriu al celui alt. Presupunem că mișcarea modifică lungimea aparentă. Atunci, pentru ca legile fizicii să rămînă nemodificate pentru un observator din sistemul  $S$  și pentru un observator din sistemul  $S'$ , este necesar ca etalonul care pare mai scurt observatorului din  $S$  să pară mai lung pentru observatorul din  $S'$ . Dar această inversare a rolurilor este incompatibilă cu modul nostru fizic de înregistrare a faptului că un etalon este mai scurt decît celălalt. Așadar, lungimile trebuie să apară egale atunci cînd sînt observate din sistemele  $S$  și  $S'$  (vezi fig. 11.3, *d* și *e*), ceea ce confirmă faptul că  $y = y'$  și  $z = z'$ .

Rezultatele legate de măsurarea lungimilor paralele cu, și perpendiculare pe viteza relativă, implică faptul că măsurările unghiurilor în care intervine coordonata  $x$ , vor conduce la rezultate diferite în cele două sisteme. În adevăr, cititorul poate deduce relațiile între funcțiile trigonometrice ale unghiurilor în cele două sisteme. (Vezi probl. 5 de la sfîrșitul capitolului.) Reamintim că punctul important este determinarea sistemului în care măsurările extremităților lungimilor sînt simultane.

**Dilatarea timpului pentru ceasurile în mișcare.** În sensul obișnuit, *dilatare* înseamnă *mărire peste dimensiunea normală*; în legătură cu ceasurile, cuvîntul semnifică lungirea unui interval de timp. Considerăm acum un ceas aflat în repaus în sistemul de referință  $S$ .

Rezultatul măsurării unui interval de timp în sistemul în care ceasul se află *în repaus* se notează cu:

$$\tau = t_2 - t_1$$

și se numește *timp propriu*. Folosind transformarea Lorentz (11.7) rezultă

$$t'_2 = \gamma \left( t_2 - \frac{\beta x_2}{c} \right); \quad t'_1 = \gamma \left( t_1 - \frac{\beta x_1}{c} \right)$$



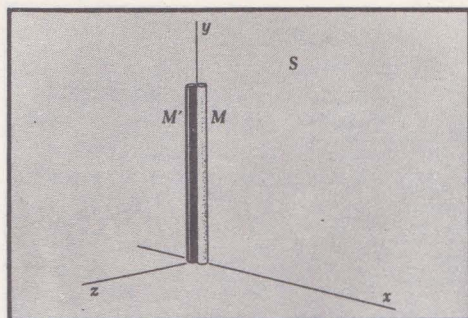


FIG. 11.3. (a). Presupunem că avem două bare identice  $M$  și  $M'$ , în repaus în sistemul  $S$ .

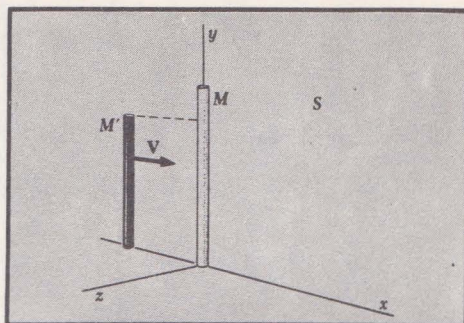


FIG. 11.3. (b). Presupunem că bara  $M'$  pare mai scurtă unui observator din  $S$ , atunci când ea se mișcă în raport cu  $S$ .

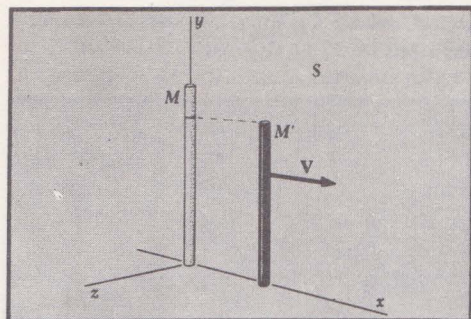


FIG. 11.3. (c). Ne putem aranja atunci ca extremitatea lui  $M'$  să lase o urmă (zgîrietură) pe bara  $M$  atunci când trece pe lângă ea.

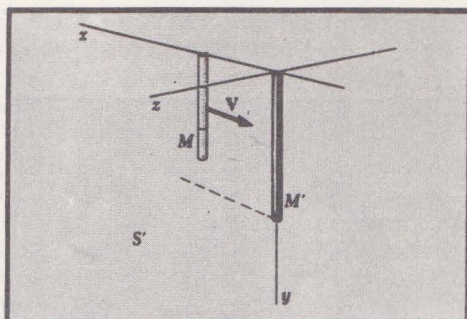
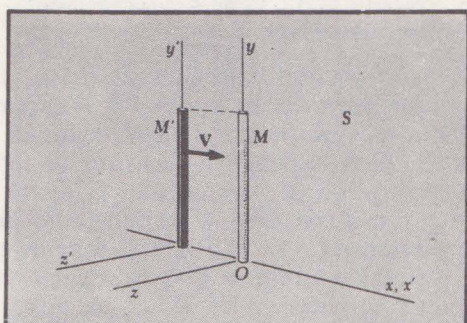


FIG. 11.3. (d). Zgîrietura este rezultatul fizic al unei experiențe și ea trebuie să fie observată și în alt sistem de referință; de exemplu în sistemul propriu al barei  $M'$ , ea va fi răsturnată. Dar acum  $M$  trebuie să pară mai scurtă decât  $M'$  deoarece  $M$  se mișcă, iar  $M'$  este în repaus.

FIG. 11.3. (e). Apare așadar o contradicție, care se rezolvă doar dacă  $M$  și  $M'$  au aceeași lungime, chiar dacă una dintre ele este în mișcare. În concluzie,  $y' = y$ . Printr-un argument asemănător, rezultă  $z' = z$ .



sau

$$t'_2 - t'_1 = \gamma(t_2 - t_1) = \gamma\tau = \frac{\tau}{(1 - \beta^2)^{1/2}}, \quad (11.11)$$

unde am luat  $x_2 - x_1 = 0$ , întrucît ceasul stă în același punct din sistemul  $S$ .



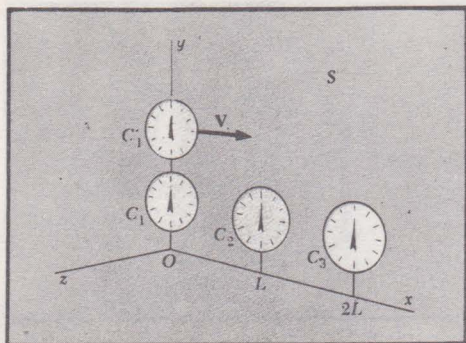


FIG. 11.4. (a). Ceasurile  $C_1, C_2, C_3$ , aflate în repaus în sistemul  $S$ , sînt distanțate la intervale egale  $L$  de-a lungul axei  $x$  și sînt sincronizate. Ceasul  $C_1$  are viteza  $V$  în raport cu  $S$ . Presupunem  $t' = 0$  atunci cînd  $t = 0$ , ca în figură.

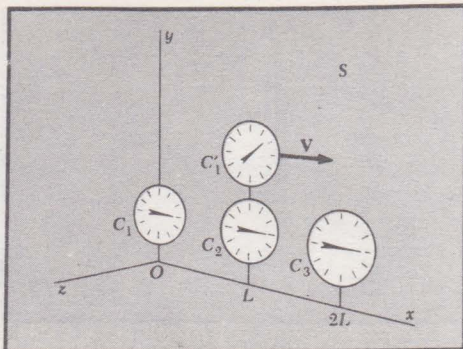


FIG. 11.4. (b). Transformarea Lorentz conduce la  $t' = (t - xV/c^2)\gamma = t\sqrt{1 - V^2/c^2}$ , intrucît  $x = L = Vt$ . Pentru observatorul din  $S$ , ceasul  $C_1$ , aflat în mișcare, rămîne în urmă.

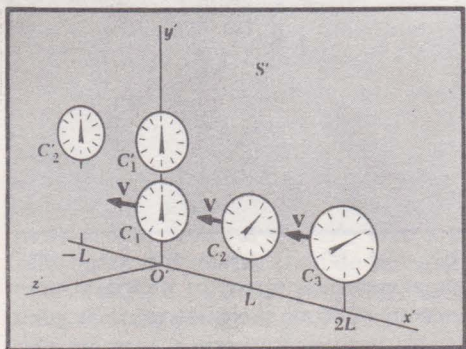


FIG. 11.5. (a). În  $S'$ , ceasurile  $C_1, C_2$  etc. sînt în repaus, distanțate la intervale egale  $L$  și sincronizate. Pentru observatorul din  $S'$ , ceasurile  $C_1, C_2, C_3$  nu sînt sincronizate! Ce vor arăta ele?

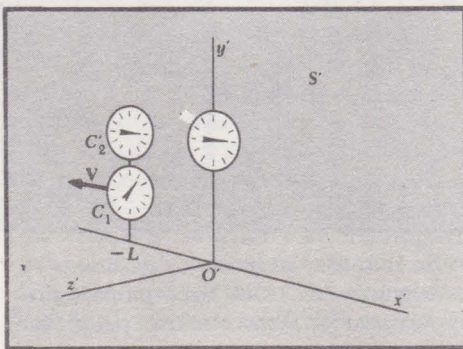


FIG. 11.5. (b). Pentru observatorul din  $S'$  ceasul  $C_1$ , aflat în mișcare, rămîne în urmă. Unde sînt ceasurile  $C_2, C_3$ , și ce indică ele în acest moment?

Acesta este intervalul de timp măsurat de un ceas aflat în repaus în sistemul  $S'$  și care se mișcă cu viteza  $V$  în raport cu sistemul  $S$  al primului ceas. Intervalul de timp măsurat în  $S'$  este mai lung decît cel măsurat în  $S$ . Dacă efectuăm însă experiența ilustrată în figurile 11.4, a și b, găsim că intervalul de timp din  $S'$ , măsurat în  $S$ , apare mai lung decît ar indica ceasul din  $S'$ .

Concluzia care se impune este următoarea: să considerăm două sisteme de referință  $S$  și  $S'$  aflate în mișcare rectilinie uniformă unul față de celălalt. În fiecare sistem se află în repaus cîte un observator împreună cu ceasurile sale sincronizate. Dacă într-un anumit punct din  $S$  au loc două evenimente separate de intervalul de timp  $\Delta t$ , măsurat de observatorul din  $S$ , atunci intervalul de timp măsurat de observatorul din  $S'$  va fi mai lung:  $\Delta t' = \gamma \Delta t$ . Dimpotrivă, pentru două evenimente care au loc în același punct din  $S'$  și sînt separate de intervalul  $\Delta t'$ , observatorul din  $S$  va măsura un interval de timp mai lung:  $\Delta t = \gamma \Delta t'$  (vezi fig. 11.5, a și b).

Acest efect se numește *dilatarea timpului*. Ceasurile în mișcare par a rămîne în urma celor aflate în repaus. Faptul nu este ușor de înțeles în mod



intuitiv și poate trece un timp destul de lung pînă cînd dilatarea timpului vă va apărea într-o lumină satisfăcătoare. La baza paradoxului aparent stă invarianța lui  $c$  și o problemă simplă, ne arată cum ne este impusă dilatarea timpului de această constanță a vitezei luminii. Să construim un ceas standard în sistemul de referință  $S$  (vezi fig. 11.6). Ceasul poate fi folosit la măsurarea timpului  $\tau$ , necesar unui puls de lumină să parcurgă distanța  $2L$  de la o sursă în repaus la o oglindă în repaus și înapoi. Drumul razei de lumină se află de-a lungul axei  $y$ . Atunci:

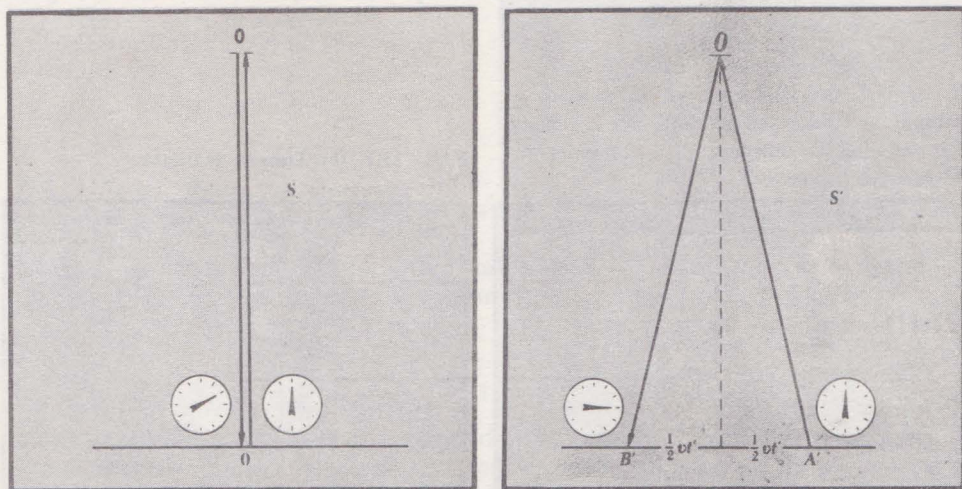
$$\tau = \frac{2L}{c}. \quad (11.12)$$

Acest timp poate fi citit pe un cadran sau poate fi imprimat pe o bucată de hîrtie. Observatorii din orice sistem pot privi rezultatul tipărit care dă timpul de zbor al pulsului și ei vor fi cu toții de acord că un ceas aflat în repaus în sistemul  $S$ , a înregistrat timpul  $\tau$ . Ce vor înregistra propriile lor ceasuri (care nu se află în  $S$ )?

Un observator aflat în sistemul  $S'$  (care se mișcă uniform în raport cu sistemul  $S$ , în direcția  $x$ ) (vezi fig. 11.6) poate înregistra și el timpul cît durează experiența de reflexie a luminii efectuată în  $S$ . Observatorul din  $S'$  va măsura acest timp cu ajutorul unui set de ceasuri sincronizate aflate în repaus față de  $S'$ . Pornim două ceasuri aflate în repaus față de  $S'$ , în același moment, (sincronizate) cu ajutorul unor pulsuri date de o sursă situată la jumătatea distanței dintre ele; fiecare ceas pleacă de la zero în momentul în care pulsul îl atinge. Procedul poate fi extins la alte ceasuri. Putem, de asemenea, sincroniza oricîte ceasuri dintr-un sistem, sincronizîndu-le atunci cînd sînt apropiate și apoi separîndu-le încet pînă cînd ele ajung în pozițiile dorite.

Citind indicația dată de un ceas din  $S'$ , putem fi siguri că toate celelalte ceasuri vor da aceeași indicație. În particular, putem citi indicația acelui ceas din  $S'$ , care este cel mai apropiat spațial de unicul ceas din  $S$ , folosit în experiența de reflexie. Unul dintre ceasurile din  $S'$  va fi cel mai apropiat și va furniza ora, atunci cînd pulsurile pleacă în  $S$ ; un alt ceas din  $S'$  va fi cel mai apropiat și va furniza ora, atunci cînd pulsurile se vor întoarce și vor fi înregistrate de ceasul din  $S$ .

FIG. 11.6. Traectoria luminii în sistemele  $S$  și  $S'$ . Punctul  $A'$  coincide cu  $O$  în momentul emisie. În  $S'$  lumina se deplasează de la  $A'$  la oglinda  $O$  și apoi la  $B'$ .





Drumul parcurs de lumină în  $S$  este  $2L$ . Dar drumul văzut din  $S'$  este mai lung deoarece aparatul din  $S$  s-a mișcat față de  $S'$  cu  $V \cdot \frac{1}{2} t'$  în direcția  $x$ , în timpul propagării luminii de la sursă înspre oglindă, și cu  $V \cdot \frac{1}{2} t'$ , în timpul propagării luminii de la oglindă către sursă (vezi fig. 11.6). Aici  $t'$  este timpul observat în  $S'$ . Distanța parcursă de puls în  $S'$  este:

$$2 \left[ L^2 + \left( \frac{1}{2} V t' \right)^2 \right]^{\frac{1}{2}}$$

și întrucât lumina are totdeauna viteza  $c$ , această distanță trebuie să fie egală cu  $ct'$ . Atunci:

$$(ct')^2 = 4L^2 + (Vt')^2$$

sau

$$t' = \frac{2L}{(c^2 - V^2)^{\frac{1}{2}}} = \frac{2L}{c} \cdot \frac{1}{(1 - \beta^2)^{\frac{1}{2}}},$$

sau încă, referindu-ne la formula (11.12),

$$t' = \frac{\tau}{(1 - \beta^2)^{\frac{1}{2}}}, \quad (11.13)$$

adică, reobținem dependența din relația (11.11). Așadar, ceasul din  $S$  va apărea observatorilor din  $S'$  ca rămânând în urmă, deoarece ceasul din  $S$  a înregistrat un interval de timp  $\tau$ , mai mic decât  $t'$ .

Vedem deci că dilatarea timpului nu implică nici un proces din interiorul atomului; efectul apare ca urmare a procesului de măsurare. Ceasul aflat în repaus în sistemul  $S$  furnizează timpul propriu atunci când este citit de un observator aflat în repaus în sistemul  $S$ . Dar, atunci când din  $S'$  măsurăm un interval de timp egal cu  $\tau$  în  $S$ , observăm un interval de timp  $t'$  mai mare din cauza drumului mai lung parcurs de lumină. Orice ceas se va comporta în același fel. În particular, dacă  $\tau$  este timpul de viață al mezonilor sau peri-

FIG. 11.7. (a). Alt exemplu de dilatare a timpului. O particulă instabilă este în repaus în sistemul  $S$ . Începem să o observăm la momentul  $t = 0$ .

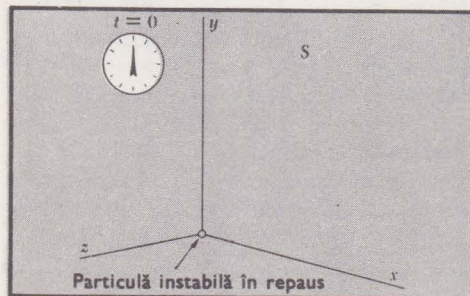
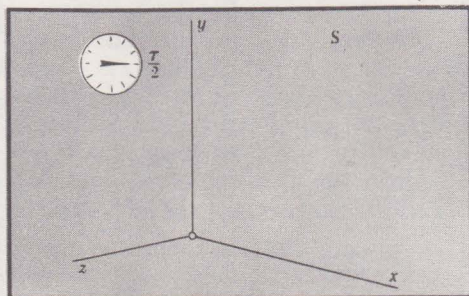


FIG. 11.7. (b). Timpul se dilată.



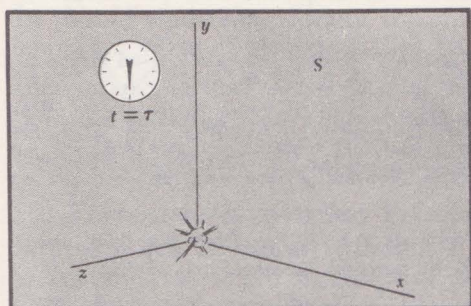


FIG. 11.7. (c). Particula se dezintegrează după timpul  $t = \tau$ .

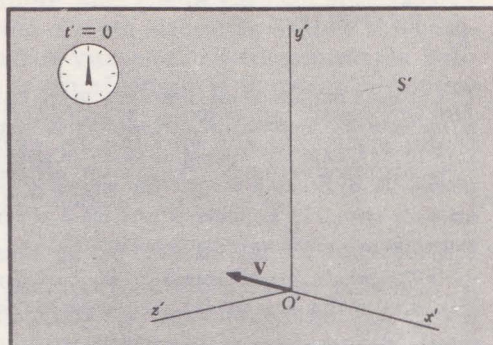


FIG. 11.7. (d). Același fenomen observat din  $S'$ . Acum particula are viteza  $V$ . Începem să o observăm la momentul  $t' = 0 = t$ .

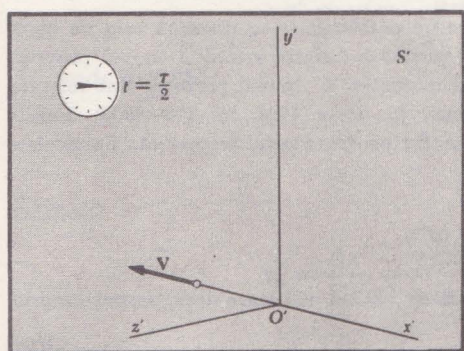


FIG. 11.7. (e). Timpul se dilată.

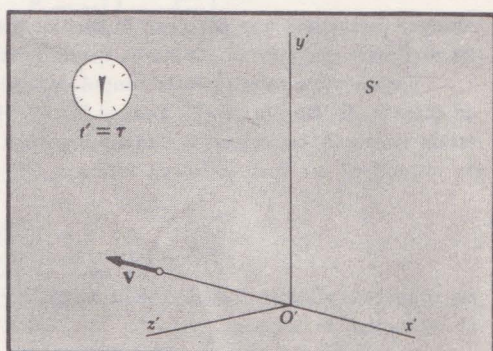


FIG. 11.7. (f). Dar la  $t' = \tau$  particula nu s-a dezintegrat încă!

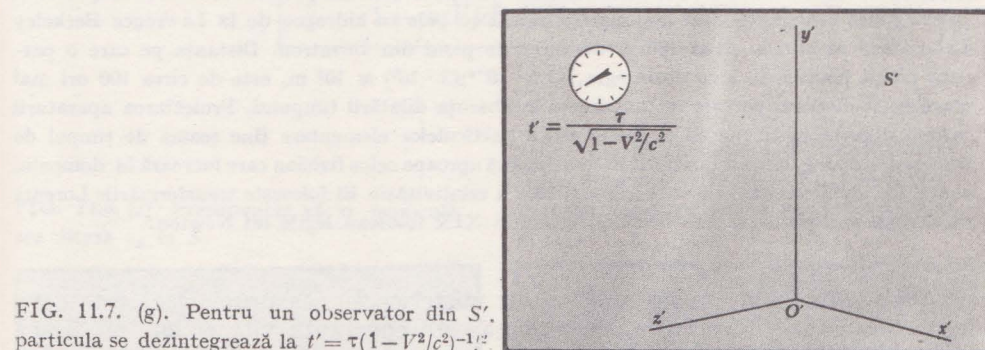


FIG. 11.7. (g). Pentru un observator din  $S'$ , particula se dezintegrează la  $t' = \tau(1 - V^2/c^2)^{-1/2}$ .

oada de înjumătățire a unui material radioactiv, măsurate în sistemul  $S$ , în care particulele sînt în repaus, atunci:

$$t' = \frac{\tau}{(1 - \beta^2)^{1/2}} \quad (11.14)$$

este timpul de viață (respectiv perioada de înjumătățire) observat în sistemul  $S'$ , în care particulele se mișcă cu viteza  $\beta$ . Acest fapt este ilustrat în figurile 11.7, a-g legate de următorul exemplu.



## EXEMPLU

**Timpul de viață al mezonilor  $\pi^+$ .** Se știe că un mezon  $\pi^+$  se dezintegrează într-un mezon  $\mu^+$  și un neutrîn. Mezonul  $\pi^+$ , considerat în sistemul propriu, are un timp de viață de circa  $2,5 \cdot 10^{-8}$  s<sup>1</sup>. Care este timpul de viață, în sistemul laboratorului, al unui fascicul de mezonii  $\pi^+$  produși la o viteză  $\beta \approx 0,9$ ? Un mezon  $\pi^+$  este o particulă instabilă, pozitiv încărcată, cu masa de circa  $273 m$ , unde  $m$  este masa electronului. Mezonul  $\mu^+$  are masa de circa  $207 m$ ; neutrînul are masă de repaus nulă.

Timpul de viață propriu al mezonului  $\pi^+$  este de  $2,5 \cdot 10^{-8}$  s. Dacă  $\beta \approx 0,90$ , atunci  $\beta^2 \approx 0,81$  și din ecuația (11.14), timpul de viață în sistemul laboratorului va fi:

$$t' = \frac{2,5 \cdot 10^{-8}}{(1 - 0,81)^{\frac{1}{2}}} \approx 5,7 \cdot 10^{-8} \text{ s.}$$

Așadar, particulele vor parcurge în medie, înainte de dezintegrare, o distanță cam de două ori mai mare decât ar da estimarea nerelativistă a produsului dintre viteză și timpul propriu.

Experiențele referitoare la timpul de viață al mezonilor  $\pi^+$  (pionii pozitivi) sînt relatate de către R. P. Durbin, H. H. Loar și W. W. Havens, Jr., Phys. Rev., 88: 179 (1952). Rezultatele concordă cu dilatarea timpului prezisă teoretic pentru viteza respectivă. Fasciculele de mezonii  $\pi^+$  au fost emise cu viteza:

$$\beta = 1 - (5 \cdot 10^{-5}),$$

iar timpul de viață în fascicul este  $2,5 \cdot 10^{-6}$  s, adică de 100 ori mai mare decît timpul propriu al mezonilor în repaus.

Considerăm un fascicul de mezonii  $\pi^+$  care se deplasează cu o viteză apropiată de  $c$ . Dacă efectul relativist al dilatării timpului n-ar exista, ei ar parcurge înainte de dezintegrare o distanță medie de circa  $(2,5 \cdot 10^{-8} \text{ s})(3 \cdot 10^8 \text{ m/s}) \approx 7 \text{ m}$ . Din cauza dilatării timpului, ei parcurg însă o distanță mult mai mare. Camera cu bule cu hidrogen de la Lawrence Berkeley Laboratory se află la circa 100 m de sursa de pioni din Bevatron. Distanța pe care o parcurg pionii înainte de a se dezintegra,  $(2,5 \cdot 10^{-6})(3 \cdot 10^8) \approx 10^3 \text{ m}$ , este de circa 100 ori mai mare decît distanța pe care ar parcurge-o în absența dilatării timpului. Proiectarea aparaturii pentru experiențe la energii înalte în fizica particulelor elementare ține seama de timpul de dezintegrare lung datorat relativității. S-a spus că aproape orice fizician care lucrează în domeniul energiilor înalte verifică zilnic teoria restrînsă a relativității. El folosește transformările Lorentz cu aceeași încredere cu care fizicienii secolului XIX foloseau legile lui Newton.

Repetăm că nu se întîmplă nimic misterios cu ceasurile. Dacă este ceva misterios în teoria relativității, aceasta este constanța vitezei luminii. Dacă se admite acest fapt, tot restul decurge direct și destul de simplu. Totuși, fiecare situație nouă trebuie analizată cu atenție. Domeniul este plin de aparente paradoxuri. Poate cel mai vestit dintre ele este paradoxul gemenilor <sup>2</sup>.

Cele două efecte, contracția lungimii și dilatarea timpului, sînt cele mai cunoscute efecte prezise de teoria restrînsă a relativității și verificate de expe-

<sup>1</sup>  $N_0$  fiind numărul de particule radioactive la momentul  $t = 0$ , numărul de particule după timpul  $t$  va fi  $N_0 e^{-\lambda t}$ . Timpul mediu de viață este  $1/\lambda$ ;  $\lambda$  este constanta de dezintegrare.

<sup>2</sup> Recent, s-a ridicat din nou această problemă. Vezi M. Sachs, Physics Today, 24: 23 (septembrie 1971) și un grup de scrisori în Physics Today, 25:9 (ianuarie 1972).

riență. Cu toate acestea, mai există multe alte efecte care au fost perfect verificate experimental și dintre care vom discuta câteva, în cele ce urmează. În primul rînd, vom discuta transformarea vitezelor. În transformarea galileiană am văzut că vitezele în direcția  $x$  se adună simplu și am putea presupune că ele se compun la fel și atunci cînd vitezele se apropie de viteza luminii. Am văzut însă în capitolul 10, că viteza luminii este cea mai mare viteză posibilă, prin urmare va trebui să ne modificăm concepția asupra compunerii vitezelor moștenită din transformarea galileiană.

**Transformarea vitezelor.** Presupunem că  $S'$  este un sistem de referință care se mișcă cu viteza uniformă  $V\hat{x}$  în raport cu sistemul de referință  $S$ . O particulă se mișcă în sistemul  $S$  cu viteza  $v$  de componente  $v_x, v_y, v_z$ . Care sînt componentele  $v'_x, v'_y, v'_z$  ale vitezei particulei în sistemul  $S'$  (vezi fig. 11.8,  $a$  și  $b$ )?

Din ecuația (11.7) avem:

$$x' = \gamma(x - \beta ct); \quad t' = \gamma\left(t - \frac{\beta x}{c}\right)$$

de unde rezultă:

$$dx' = \gamma dx - \gamma\beta c dt; \quad dt' = \gamma dt - \frac{\gamma\beta dx}{c}.$$

Atunci:

$$v'_x = \frac{dx'}{dt'} = \frac{\gamma dx - \gamma\beta c dt}{\gamma dt - \gamma\beta dx/c} = \frac{v_x - \beta c}{1 - v_x\beta/c}$$

sau:

$$v'_x = \frac{v_x - V}{1 - v_x V/c^2} = \frac{v_x - V}{1 - \beta v_x/c} \quad (11.15)$$

FIG. 11.8. (a). Presupunem că o particulă are viteza  $v_x$  în  $S$ .

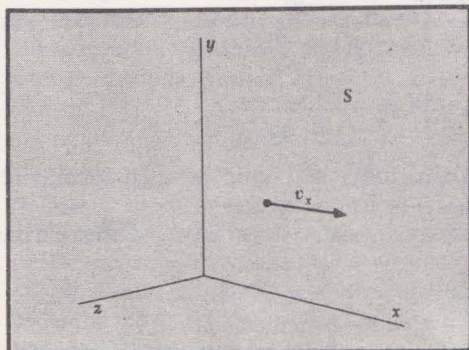
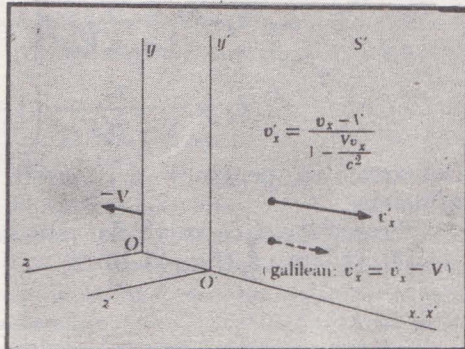


FIG. 11.8. (b). Atunci în  $S'$  transformarea Lorentz prezice  $v'_x = (v_x - V)/(1 - v_x V/c^2)$ . Transformarea galileiană ar prezice  $v'_x = v_x - V$ .





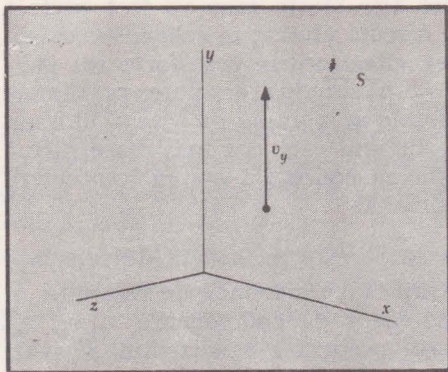


FIG. 11.9. (a). O particulă are viteza  $v_y$  în direcția  $y$  din sistemul  $S$ .

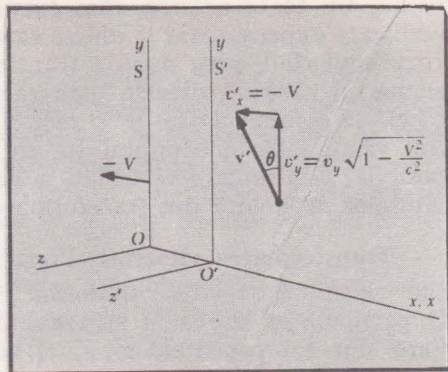


FIG. 11.9. (b). Atunci, conform transformării Lorentz, ea va avea în  $S'$  componentele desenate în figură și  $|\tan \theta| = \frac{V}{v_y \sqrt{1 - V^2/c^2}}$ .

Acest rezultat poate fi comparat cu rezultatul transformării galileiene,  $v'_x = v_x - V$ , din capitolul 4. În mod similar, întrucît  $y = y'$  și  $z = z'$  (vezi fig. 11.9, a și b).

$$v'_y = \frac{dy'}{dt'} = \frac{dy}{\gamma dt - \gamma\beta dx/c} = \frac{v_y}{1 - v_x V/c^2 \left(1 - \frac{V^2}{c^2}\right)^{\frac{1}{2}}} = \frac{v_y}{\gamma(1 - \beta v_x/c)} \quad (11.16)$$

și

$$v'_z = \frac{v_z}{1 - v_x V/c^2 \left(1 - \frac{V^2}{c^2}\right)^{\frac{1}{2}}} = \frac{v_z}{\gamma(1 - \beta v_x/c)} \quad (11.17)$$

Transformările inverse rezultă din ecuația (11.8) sau din rezolvarea ecuațiilor (11.15) — (11.17) în raport cu componentele  $v_x$ ,  $v_y$ ,  $v_z$ .

$$v_x = \frac{v'_x + V}{1 + v'_x V/c^2} = \frac{v'_x + V}{1 + \beta v'_x/c},$$

$$v_y = \frac{v'_y}{1 + v'_x V/c^2} \left(1 - \frac{V^2}{c^2}\right)^{\frac{1}{2}} = \frac{v'_y}{\gamma(1 + \beta v'_x/c)},$$

$$v_z = \frac{v'_z}{1 + v'_x V/c^2} \left(1 - \frac{V^2}{c^2}\right)^{\frac{1}{2}} = \frac{v'_z}{\gamma(1 + \beta v'_x/c)}.$$

Remarcați că, pentru  $V \ll c$ , aceste transformări se reduc la transformările galileiene.

Presupunem că particula este un foton și că  $v_x = c$  în  $S$ . Din relația (11.15) vedem că (fig. 11.10):

$$v'_x = \frac{c - V}{1 - cV/c^2} = c.$$

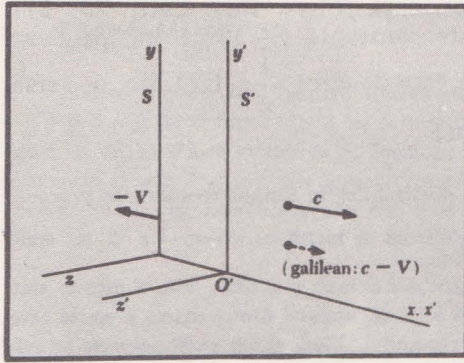


FIG. 11.10. După cum știm, dacă  $v_x = c$ , atunci, conform transformării Lorentz, și  $v'_x = c$ . Aceasta a fost de fapt una dintre ipotezele fundamentale ale teoriei.

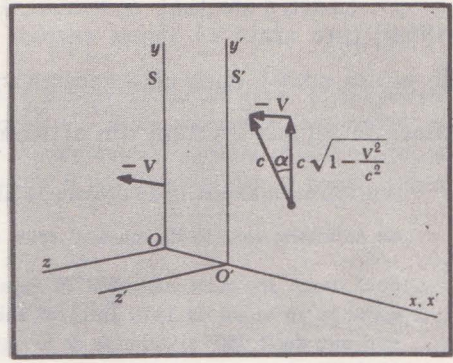


FIG. 11.11. În particular, dacă  $v_y = c$ , rezultanta are mărimea  $c$  în  $S'$ . Astfel:

$$|\tan \alpha| = \frac{V}{c\sqrt{1 - V^2/c^2}}.$$

Aceasta este teoria relativistă a aberației.

Viteza fotonului în sistemul  $S'$  este tot  $c$ . Transformarea Lorentz a fost construită astfel încît să conducă la acest rezultat, iar faptul că obținem valoarea  $c$  în ambele sisteme, reprezintă o verificare convingătoare.

Dacă  $v_y = c$  și  $v_x = 0$ , atunci (vezi fig. 11.11):

$$v'_x = -V \text{ și } v'_y = c \left(1 - \frac{V^2}{c^2}\right)^{\frac{1}{2}}$$

astfel încît:

$$\frac{v'_x}{v'_y} = -\frac{V}{c(1 - V^2/c^2)^{\frac{1}{2}}}$$

și

$$\sqrt{v'^2_x + v'^2_y} = c.$$

## EXEMPLU

**Compunerea vitezelor.** Presupunem că în sistemul  $S'$  două particule se deplasează în sensuri opuse cu vitezele  $v'_x = \pm 0,9 c$ . Care este viteza unei particule în raport cu cealaltă? Pentru a rezolva această problemă, fie  $S$  sistemul propriu al particulei cu viteza  $-0,9 c$ . Atunci, viteza lui  $S'$  în raport cu  $S$  este  $V = 0,9 c$ , iar particula care în  $S'$  are viteza  $v'_x = 0,9 c$ , va avea în  $S$  viteza [vezi ec. (11.18)]:

$$v_x = \frac{v'_x + V}{1 + v'_x V/c^2} \approx \frac{1,8c}{1 + (0,9)^2} = \frac{1,80}{1,81} c = 0,994 c.$$

Remarcați că viteza relativă a celor două particule este mai mică decît  $c$ .

Dacă un foton se deplasează în  $S'$  cu viteza  $c$ , iar  $S'$  se deplasează cu viteza  $c$  față de  $S$ , fotonul se va deplasa în  $S$  cu viteza  $c$  și nu  $2c$ . Rezultatul este conținut în relațiile (11.18). Faptul că  $c$  apare ca o viteză limită este o consecință a structurii ecuațiilor de compunere a vitezei pe care le-am dedus din transformarea Lorentz. Menționăm că nu există *nici un sistem de referință* în care fotonul (cuanta de lumină) să fie în repaus.



D. Sadeh a efectuat o frumoasă experiență [Phys. Rev. Lett., 10: 271 (1963)] care arată că viteza razelor  $\gamma$  este constantă ( $\pm 10\%$ ) independent de viteza sursei, chiar când această viteză este de circa  $\frac{1}{2}c$  față de o sursă aflată în repaus<sup>1</sup>. Cităm din articolul său:

Am folosit în experiențele noastre anihilarea pozitronilor în timpul zborului. În procesul de anihilare, centrul de masă al celor doi pozitroni se mișcă cu viteza  $\frac{1}{2}c$  și se emit două raze. În cazul anihilării în repaus, cele două raze  $\gamma$  a căror viteză este  $c$ , sînt emise la un unghi de  $180^\circ$ . În cazul anihilării în zbor, unghiul dintre razele  $\gamma$  emise este mai mic decît  $180^\circ$  și depinde de energia pozitronului. Dacă viteza radiației  $\gamma$  se adună clasic cu viteza centrului de masă, fără a se ține seama de transformările Lorentz, atunci radiația  $\gamma$  care se deplasează avînd o componentă a mișcării în sensul mișcării pozitronului, va avea viteza mai mare decît  $c$ , iar cea care are o componentă în sens opus, va avea viteza mai mică decît  $c$ . Se observă că pentru distanțe egale între contoare și punctele de anihilare, cele două radiații  $\gamma$  ating contoarele în același timp ceea ce dovedește că, chiar pentru o sursă în mișcare, cele două radiații  $\gamma$  se deplasează cu aceeași viteză.

## EXEMPLU

**Aberația luminii.** Am văzut, în relația (10.1), că pentru o stea aflată la zenit (cînd viteza Pămîntului este perpendiculară pe direcția de observație) unghiul de înclinare al telescopului, sau aberația, este dat de:

$$\operatorname{tg} \alpha = \frac{v_p}{c}. \quad (11.19)$$

Acest rezultat a fost dedus folosind un argument nerelativist. Să considerăm acum problema din punct de vedere relativist, ca pe un exercițiu de aplicare a transformărilor Lorentz.

Presupunem că în sistemul de referință  $S$ , ilustrat în figura 11.11, o stea aflată în repaus în punctul  $O$  este observată cu ajutorul luminii emise de ea de-a lungul axei  $y$ . Care va fi traiectoria în sistemul  $S'$  a acestor raze care în sistemul  $S$  se mișcă de-a lungul axei  $y$ ? În  $S$ , componentele vitezei sînt  $v_x = 0$ ,  $v_y = c$ ,  $v_z = 0$ . Componentele vitezei în  $S'$  se obțin prin aplicarea transformărilor (11.15) – (11.17). Astfel:

$$v'_x = -V; \quad v'_y = \frac{c}{\gamma}; \quad v'_z = 0.$$

Așadar, direcția acestor raze în  $S'$  este dată de unghiul:

$$\operatorname{tg} \alpha = \frac{-v'_x}{v'_y} = \frac{\gamma V}{c} = \beta \gamma = \frac{V/c}{\sqrt{1 - V^2/c^2}} \quad (11.20)$$

sau

$$\sin \alpha = \frac{V}{c} = \beta.$$

Acesta este rezultatul corect; el coincide în limita erorilor experimentale cu rezultatul nerelativist (11.19), deoarece, pentru mișcarea Pămîntului, raportul  $V/c$  este mic, fiind de aproximativ  $10^{-4}$ .

<sup>1</sup> Pentru o prezentare mai detaliată, vezi J. G. Fox, J. Opt. Soc. Am., 57: 967 (1967).

## EXEMPLU

**Efectul Doppler longitudinal.** Considerăm două pulsuri de lumină emise la momentele  $t = 0$  și  $t = \tau$  de o sursă aflată în repaus în punctul  $x = 0$  din sistemul  $S$ . Sistemul  $S'$  se mișcă cu viteza  $V\hat{x}$  în raport cu  $S$ . Primul puls este recepționat în punctul  $x' = 0$  din  $S'$ , la momentul  $t' = 0$ . Punctul din  $S'$  care coincide cu  $x = 0$  la  $t = \tau$  este dat de transformarea Lorentz (11.7), în care luăm  $x = 0$ :

$$x' = \frac{x - Vt}{(1 - \beta^2)^{\frac{1}{2}}} = \frac{-V\tau}{(1 - \beta^2)^{\frac{1}{2}}}.$$

Timpul corespunzător în  $S'$  este:

$$t' = \frac{t - Vx/c^2}{(1 - \beta^2)^{\frac{1}{2}}} = \frac{\tau}{(1 - \beta^2)^{\frac{1}{2}}}.$$

Timpul necesar celui de-al doilea puls să parcurgă, în  $S'$ , distanța de la  $-V\tau/(1 - \beta^2)^{\frac{1}{2}}$  până la origine, este:

$$\Delta t' = \frac{\tau V/c}{(1 - \beta^2)^{\frac{1}{2}}}$$

astfel încît, în  $S'$ , intervalul total de timp dintre recepționarea în  $x' = 0$  a celor două pulsuri este:

$$t' + \Delta t' = \tau \frac{1 + V/c}{(1 - \beta^2)^{\frac{1}{2}}} = \tau \sqrt{\frac{1 + \beta}{1 - \beta}}.$$

Timpul scurs între cele două semnale poate fi interpretat la fel de bine și ca timpul scurs între două noduri succesive ale unei luminoase. Frecvența fiind inversa perioadei unde, rezultă:

$$\nu' = \nu \sqrt{\frac{1 - \beta}{1 + \beta}}. \quad (11.21)$$

Aici  $\nu'$  este frecvența observată în  $S'$ , iar  $\nu$  este frecvența de emisie în  $S$ . Dacă observatorul se îndepărtează de sursă, atunci  $\beta = V/c$  este pozitiv, iar  $\nu'$  este mai mic decît  $\nu$ . Dacă observatorul se apropie de sursă, vom lua  $\beta$  negativ și  $\nu'$  va rezulta mai mare decît  $\nu$ . În funcție de lungimile de undă și ținînd seama că  $\lambda = c/\nu$  și  $\lambda' = c/\nu'$ , rezultă:

$$\lambda' = \lambda \sqrt{\frac{1 + \beta}{1 - \beta}}. \quad (11.22)$$

Relația (11.21) descrie efectul Doppler longitudinal relativist pentru undele luminoase în vid. Deplasarea frecvenței coincide, pînă în ordinul  $\beta$ , cu rezultatul nerelativist (10.7) dedus în capitolul 10<sup>1</sup>. Termenii de ordinul  $\beta^2$  din dezvoltarea în serie a expresiei (11.21) au fost confirmați experimental de către Ives și Stilwell.

H. E. Ives și G. R. Stilwell [J. Opt. Soc. Am., 28: 215 (1938); 31: 369 (1941)] au efectuat experiențe spectroscopice cu fascicule de hidrogen atomic aflat în stări excitate. Atomii erau accelerați, ca ioni de hidrogen  $H_2^+$  și  $H_3^+$ , într-un cîmp electric intens. Hidrogenul atomic era format ca un produs de rupere a ionilor.

<sup>1</sup> Cititorul va arăta că pentru  $\beta \ll 1$ ,  $\sqrt{\frac{1 + \beta}{1 - \beta}} = 1 + \beta$ .



Viteza  $\beta$  a atomilor era de circa 0,005. Ives și Stilwell căutau o deplasare a lungimii de undă medii a unei anumite linii spectrale, emise de către atomii de hidrogen. Lungimea de undă medie este media aritmetică a lungimilor de undă „înainte” și „înapoi” pe direcția de zbor a atomilor. Folosind  $\beta_{\text{înainte}} = -\beta_{\text{înapoi}}$  în formula (11.22), se obține pentru lungimea de undă medie:

$$\frac{1}{2}(\lambda_{\text{înainte}} + \lambda_{\text{înapoi}}) = \frac{1}{2}\lambda_0 \left( \sqrt{\frac{1-\beta}{1+\beta}} + \sqrt{\frac{1+\beta}{1-\beta}} \right) = \frac{\lambda_0}{(1-\beta^2)^{\frac{1}{2}}}. \quad (11.23)$$

Aceasta reprezintă o deplasare de ordinul  $\beta^2$  a poziției medii a liniilor spectrale în raport cu lungimea  $\lambda_0$ , emisă de atomul în repaus. În articolul lor din 1941, Ives și Stilwell au anunțat observarea unei deplasări de 0,074 Å a lungimii de undă medii, față de valoarea 0,072 Å, calculată din ecuația (11.23) pentru o valoare  $\beta$  dedusă din potențialul de accelerare aplicat ionilor inițiali. Aceasta este o confirmare strălucită a teoriei efectului Doppler relativist.

*Efectul Doppler transversal* este pus în evidență în observații efectuate la un unghi drept față de direcția de deplasare a sursei de lumină, care în mod obișnuit este un atom. În aproximația nerelativistă nu există efect Doppler transversal. Efectul Doppler transversal pentru undele luminoase este prezis numai în cadrul teoriei relativității; frecvențele fiind legate de inversele intervalelor de timp din ecuația (11.11), rezultă:

$$\nu' = (1 - \beta^2)^{\frac{1}{2}} \nu,$$

unde  $\nu$  este frecvența în sistemul propriu al atomului, iar  $\nu'$  este frecvența observată într-un sistem care se mișcă cu viteza  $V(=\beta c)$  în raport cu atomul.

**Ceasuri accelerate.** Teoria restrînsă a relativității descrie și corelează măsurători independente de detaliile de structură ale corpurilor reale. Ea nu prevede efectele dinamice ale accelerării, ca de exemplu tensiunile induse de accelerări. Dacă aceste tensiuni lipsesc sau pot fi neglijate, atunci teoria ne furnizează o descriere neambiguă a efectelor accelerării asupra mersului ceasurilor. Rezultatul este același ca și în cazul în care ceasul accelerat ar avea în fiecare moment o altă viteză, iar timpul indicat de el s-ar calcula folosind în ecuația (11.11) viteza instantanee.

Dacă această previziune este corectă, apar două consecințe:

1. Dacă viteza este constantă în modul, dar direcția ei variază, atunci formula (11.11) este valabilă fără nici o modificare. Sistemul propriu al ceasului este neinerțial.
2. Dacă viteza este constantă, cu excepția unor scurte intervale de accelerare sau decelerare (intervale neglijabile în raport cu timpul total), atunci formula (11.11) va da cu precizie legătura dintre timpul propriu și timpul în sistemul laboratorului.

O particulă încărcată care se mișcă cu viteză mare într-un câmp magnetic suferă o accelerație perpendiculară pe direcția mișcării sale, dar modulul vitezei ei nu variază. Dacă particula este instabilă, timpul de viață observat va fi exact același ca și în cazul în care ea s-ar mișca cu aceeași viteză pe o

traietorie rectilinie, în absența câmpului magnetic. Această previziune a fost confirmată de experiențele cu mezoni  $\mu^-$ , care se dezintegrează cu un timp de viață de  $2,2 \cdot 10^{-8}$  s, într-un electron și doi neutrini. Timpul de viață propriu observat a fost același, atât pentru mezoni  $\mu^-$  aflați în repaus, cât și pentru cei care se mișcau liber sau pe o traiectorie în formă de spirală într-un câmp magnetic. Se crede că teoria restrînsă a relativității dă o bună descriere a mișcării circulare (accelerate) a particulelor în câmp magnetic.

## PROBLEME

1. *Invarianța Lorentz.* Verificați cu ajutorul relației (11.7) că:

$$x^2 - c^2 t^2 = x'^2 - c^2 t'^2.$$

Remarcați că, dacă notăm  $x_1 \equiv x$ ;  $x_4 \equiv ict$ , atunci  $x^2 - c^2 t^2 \equiv x_1^2 + x_4^2$ . Aici  $i = \sqrt{-1}$ .

2. *Transformarea Lorentz.* Pornind de la relația (11.7), demonstrați formulele de transformare (11.8).

3. *Schimbarea volumului.* Arătați că dacă volumul unui cub în repaus este  $L_0^3$ , atunci volumul său într-un sistem care se mișcă cu viteza uniformă  $\beta$  într-o direcție paralelă cu una dintre muchiile cubului, este:

$$L_0^3 (1 - \beta^2)^{\frac{1}{2}}.$$

4. *Simultanitatea.* Pornind de la transformarea Lorentz, arătați că două evenimente simultane ( $t_1 = t_2$ ) aflate în puncte diferite ( $x_1 \neq x_2$ ) în sistemul  $S$ , nu sînt, în general, simultane în sistemul  $S'$ .

5. *Schimbarea unghiului.* Calculați, în  $S'$ , lungimea și unghiul făcut cu axa  $x'$ , pentru o bară care în sistemul  $S$  are lungimea  $L_0$  și face unghiul  $\theta$  cu axa  $x$ . Sistemul  $S'$  se mișcă cu viteza  $V\hat{x}$  în raport cu sistemul  $S$ .

6. *Compunerea vitezelor.* Arătați că, dacă în sistemul  $S'$  au loc relațiile  $v'_y = c \sin \theta$  și  $v'_x = c \cos \theta$ , atunci în sistemul  $S$  are loc egalitatea:

$$v_x^2 + v_y^2 = c^2.$$

Sistemul  $S'$  se mișcă cu viteza  $V\hat{x}$  în raport cu sistemul  $S$ .

7. *Mezonii  $\pi^+$*

(a) Care este timpul de viață al unui puls de mezoni  $\pi^+$  care se deplasează cu viteza  $\beta = 0,73$ ? (Timpul de viață în sistemul propriu,  $\tau$ , este  $2,5 \cdot 10^{-8}$  s.)

R:  $3,6 \cdot 10^{-8}$  s.

(b) Ce distanță se parcurge cu viteza  $\beta = 0,73$  în timpul de viață?

R: 8 m.

(c) Ce distanță s-ar parcurge în absența efectelor relativiste?

R: 5,5 m.

(d) Răspundeți la întrebările (a)–(c) pentru  $\beta = 0,99$ .

8. *Mezonii  $\mu$ .* Timpul de viață la mezonilor  $\mu$  este de circa  $2 \cdot 10^{-8}$  s. Să



presupunem că o jerbă mare de mezonii  $\mu$  produsă în atmosferă la o anumită înălțime se deplasează în jos cu viteza  $v = 0,99 c$ . Numărul de ciocniri în atmosferă este mic.

- (a) Dacă doar 1% din mezonii aflați în jerbă inițială ating suprafața Pământului, estimați înălțimea la care se produce jerbă. [În sistemul propriu al mezonilor  $\mu$ , numărul de particule care nu s-au dezintegrat până la momentul  $t$  este dat de  $N(t) = N(0)e^{-t/\tau}$ .]

R:  $2 \cdot 10^4$  m.

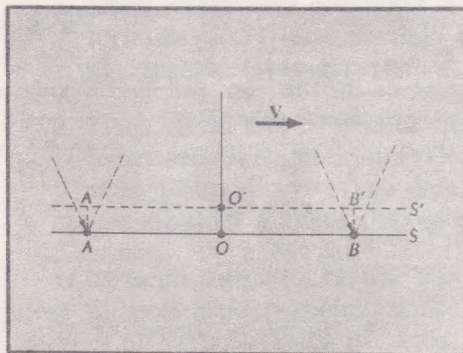
- (b) Calculați această distanță așa cum apare ea în sistemul propriu al mezonilor.

9. *Două evenimente.* Să considerăm sistemele de referință inerțiale  $S$  și  $S'$ .  $S'$  se mișcă cu viteza  $V\hat{x}$  în raport cu  $S$ . În punctul  $x'_1$  are loc un eveniment la momentul  $t'_1$ . În  $x'_2$  are loc un alt eveniment la momentul  $t'_2$ . Originile celor două sisteme coincid la  $t = t' = 0$ . Găsiți timpii și distanțele corespunzătoare în  $S$ .

10. *Mezonii  $\pi^+$ .* Un puls de  $10^4$  mezonii  $\pi^+$  se deplasează pe o traiectorie circulară cu raza de 20 m, cu o viteză de  $0,99 c$ . Timpul de viață propriu al mezonilor  $\pi^+$  este de  $2,5 \cdot 10^{-8}$  s.

- (a) Câți mezonii se vor reîntoarce în punctul de plecare?
- (b) Câți mezonii ar fi rămas nedezintegrați, dacă ei ar fi stat în repaus același interval de timp?

FIG. 11.12.



11. *Viteza de îndepărtare a galaxiei.* Am arătat în capitolul 10 că datele referitoare la deplasarea spre roșu a luminii provenite de la galaxiile îndepărtate, dau, pentru domeniul nerelativist, o viteză de îndepărtare proporțională cu distanța:

$$V = \alpha r, \quad \alpha \approx 1,6 \cdot 10^{-18} \text{ s}^{-1}.$$

Calculați viteza de îndepărtare a unei galaxii aflate la distanța de  $3 \cdot 10^9$  ani-lumină. Este această viteză relativistă?

R:  $4,5 \cdot 10^7$  m/s.

12. *Viteze galactice.* Observăm o galaxie care se îndepărtează într-o anumită direcție cu viteza  $V = 0,3 c$  și o alta, care se îndepărtează în sens opus, cu aceeași viteză. Cu ce viteză s-ar observa dintr-o galaxie îndepărtarea celeilalte?

13. *Simultaneitate.* Considerăm două surse aflate în repaus în punctele  $A$  și  $B$ , egal distanțate de observatorul  $O$  din sistemul  $S$ . Presupunem că în momentul (determinat de observator în  $S$ ) în care cele două surse emit câte un puls luminos, un alt observator  $O'$ , împreună cu sistemul său  $S'$ , aflat în mișcare cu viteza  $V\hat{x}$  în raport cu  $S$ , coincid respectiv cu  $O$  și cu sistemul  $S$  (vezi fig. 11.12).

- (a) Presupunem  $V/c = \frac{1}{3}$ . Desenați poziția celor două sisteme și a punctelor  $A, A', B, B'$  cînd semnalul din  $B$  ajunge la observatorul  $O'$ . A ajuns acest semnal și la observatorul  $O$ ? De ce?
- (b) Desenați pozițiile lui  $S$  și  $S'$  în momentul în care ambele semnale ajung în  $O$ .
- (c) Desenați pozițiile lui  $S$  și  $S'$  în momentul în care semnalul din  $A$  ajunge în  $O'$ .
- (d) Presupunem că cele două evenimente sînt înregistrate în punctele  $A', B'$ , printr-un procedeu fizic, de exemplu pe plăci fotografice. Arătați că, în condițiile acestei probleme, distanțele  $A'O'$  și  $B'O'$  sînt egale.
- (e) Arătați că cele două evenimente nu apar simultane atunci cînd sînt observate din  $O'$ . Constanța vitezei luminii în toate situațiile este admisă implicit în

definirea simultaneității. Pentru a face clară această dependență, să considerăm următoarele. Presupunem că cele două evenimente din  $A$  și  $B$  sînt emisiile de pulsuri sonore, simultan observate de un observator  $O$ , aflat în repaus față de mediul în care se propagă sunetul. Presupunem că  $O'$  este un observator care se mișcă cu o viteză  $V$  egală cu o treime din viteza sunetului.

- (f) Folosiți transformarea galileiană pentru a arăta că viteza pulsurilor sonore emise din  $A$  și  $B$  către  $O'$  nu este egală cu cea observată de  $O'$ .
- (g) Arătați că, chiar dacă cele două semnale ajung în  $O'$  la momente diferite, faptul că pulsurile s-au deplasat cu viteze diferite, compensează aceasta și că cele două evenimente sînt considerate a fi simultane, chiar și pentru observatorul  $O'$ .

14. *Efectul Doppler relativist*. Se accelerează protoni la o diferență de potențial de 20 kV, după care sînt lăsați să se deplaseze cu viteză constantă printr-o regiune în care are loc neutralizarea lor în atomi de hidrogen, însoțită de o emisie de lumină corespunzătoare. Emisia  $H\beta$  ( $\lambda = 4861,33 \text{ \AA}$  pentru un atom în repaus) se observă cu

un spectrometru. Axa optică a spectrometrului este paralelă cu direcția de mișcare a ionilor. Spectrul este deplasat ca urmare a efectului Doppler, din cauza mișcării ionilor pe direcția emisiei. Aparatul mai conține o oglindă așezată astfel încît să permită suprapunerea în același loc a spectrului luminii emise în sens opus.

Reamintim că  $1 \text{ \AA} = 10^{-10} \text{ m}$ .

- (a) Care este viteza protonilor după accelerare?

R:  $2 \cdot 10^6 \text{ m/s}$ .

- (b) Calculați deplasările Doppler în primul ordin al raportului  $v/c$ , corespunzătoare sensurilor înainte și înapoi și indicați apariția părții relevante a spectrului pe un grafic.

- (c) Considerați acum efectul Doppler în ordinul al doilea al raportului  $v/c$ , care apare în urma unor considerații relativiste. Arătați că deplasarea în

ordinul al doilea este  $\frac{1}{2} \lambda(v^2/c^2)$  și eva-

luați numeric această deplasare pentru problema în speță. Remarcați că apare aceeași deplasare atît pentru mișcarea cu viteza  $+v$ , cît și pentru cea cu viteza  $-v$ .

R: 0,10  $\text{\AA}$ .

## LECTURI SUPLIMENTARE

În ultimii ani s-au publicat multe cărți despre relativitate, cîteva dintre ele în ediții broșate. Titlurile care urmează reprezintă o selecție.

J. A. Wheeler și E. F. Taylor, *Introducere în fizica spațiului și timpului* („Space — Time Physics — An Introduction”), W.H. Freeman and Company, San Francisco, 1965. Foarte recomandată. Nu este un manual; excelentă pentru studiul individual.

A. P. French, *Relativitatea restrînsă* („Special Relativity”), W. W. Norton and Company, Inc., New York, 1968. Face parte din seria de fizică generală editată la Massachusetts Institute of Technology.

C. Kacser, *Introducere în teoria restrînsă a relativității* („Introduction to the Special Theory of Relativity”). Broșură Co-Op, Prentice-Hall, Inc., Englewood Cliffs, N. J. 1967.



R. S. Shankland, *Convorbiri cu Albert Einstein* („Conversations with Albert Einstein“), Am. J. Phys. 31: 47 (1963).

*Teoria restrinsă a relativității* („Special Relativity Theory“), retipăriri alese, publicate pentru A.A.P.T. (Asociația americană a profesorilor de fizică), American Institute of Physics, 335 East 45 th St., New York, 1962. Conține o foarte bună analiză a celebrului paradox al gemenilor; vezi în special articolele lui Darwin, Crawford și McMillan.

M. Born, *Teoria relativității a lui Einstein* („Einstein's Theory of Relativity“), E. P. Dutton & Co., Inc., New York, 1924; retipărire, Dover Publications, Inc., New York, 1962. O prezentare amănunțită, completă și clară a teoriei restrinse a relativității.

H. A. Lorentz, A. Einstein, H. Minkowski și H. Weyl, *Principiul relativității*:

*o culegere de articole originale* („The Principle of Relativity: A Collection of Original Memoirs“), traducere de W. Perrett și G. B. Jeffery, Methuen & Co., Ltd., London, 1923; retipărire, Dover Publications, Inc., New York, 1958.

W. Pauli, *Teoria relativității* („Theory of Relativity“), traducere de G. Field, Pergamon Press, New York, 1958. Traducerea unei excelente monografii în limba germană (Relativitätstheorie, publicată de B. G. Teubner, Leipzig, 1921). Conținutul părții întâi nu este greu.

E. Whittaker, *Istoria teoriilor eterului și electricității* („History of the Theories of Aether and Electricity“), 2 volume, Harper & Row, Publishers, Incorporated, New York, retipărire, în ediție broșată, 1960.

# 12

## Dinamica relativistă: impulsul și energia

### Cuprins

Conservarea impulsului și definiția impulsului relativist

Energia relativistă

Transformarea impulsului și energiei

Exemplu. Ciocnirea neelastică

*Echivalența dintre masă și energie*

Exemplu. Transformarea masă-energie

Exemplu. Producerea energiei în stele

*Particule cu masă de repaus nulă*

Transformarea vitezei de variație a impulsului

Constanța sarcinii

Probleme

*Teme avansate. Emisia fără recul a razelor  $\gamma$*

*Notă istorică. Relația dintre masă și energie*

*Lecturi suplimentare*



Schimbarea fundamentală a conceptelor noastre de spațiu și timp, așa cum apar ele în transformările Lorentz, influențează puternic întreaga fizică. Trebuie să cercetăm din nou legile fizicii dezvoltate și confirmate la viteze mici ( $v \ll c$ ), pentru a vedea dacă ele sînt compatibile cu teoria relativității. Nu trebuie să ne surprindă faptul că legile se schimbă dacă sînt transpuse în domenii noi. Legile se schimbă astfel încît la viteze mici regăsim formele newtoniene, care, după cum ne-o confirmă experiența, sînt exacte în limita vitezelor mici.

Ca și în capitolul 4, acceptăm ca legi fizice posibile numai acele legi care au aceeași formă în toate sistemele de referință inerțiale. Numai că pentru a afla cum se transformă o lege fizică în trecerea de la un sistem de referință la altul, folosim acum transformările Lorentz în locul transformărilor galileiene. Transformarea Lorentz se reduce la transformarea galileiană atunci cînd  $v/c \ll 1$ . În loc să insistăm asupra invarianței legilor fizice la transformările galileiene, vom insista asupra invarianței lor la transformările Lorentz.

Doi observatori, aflați în sistemele de referință  $S$  și  $S'$  deduc legi fizice. Fiecare le exprimă în funcție de lungimi, durate, viteze, sau accelerații, așa cum le măsoară în propriul său sistem. Legile trebuie să aibă aceeași formă atît în variabilele din sistemul  $S$ , cît și în cele din sistemul  $S'$ . Așadar, atunci cînd folosim transformarea Lorentz pentru a trece de la  $x, y, z, t$  din  $S$  la  $x', y', z', t'$  din  $S'$ , orice lege fizică dedusă în  $S$  este transpusă, fără schimbarea formei, în variabilele din  $S'$ . Sensul acestei invarianțe va deveni clar după ce vom analiza cîteva probleme particulare.

## CONSERVAREA IMPULSULUI ȘI DEFINIȚIA IMPULSULUI RELATIVIST

Dorim să găsim o definiție a impulsului  $p$  care, pentru  $v/c \ll 1$ , să se reducă la  $Mv$ , unde  $M$  este masa de repaus <sup>1</sup> și care să asigure conservarea impulsului în ciocniri, independent de viteza particulelor în raport cu sistemul de referință. Vom găsi definiția potrivită, considerînd o ciocnire particulară. Vom arăta întîi printr-un exemplu, că impulsul newtonian (nerelativist)  $Mv$  nu se conservă în ciocnirile care au loc la viteze *relativiste* <sup>2</sup>. Putem vedea deja că legea a

<sup>1</sup> Masa de repaus se definește ca masa inertă în limita nerelativistă  $v/c \ll 1$ , în particular pentru  $v = 0$ .

<sup>2</sup> Problema: cît de mare trebuie să fie  $v$  pentru a fi relativist, depinde de precizia rezultatelor experimentale. Vom vedea că dacă  $(v/c)^2$  poate fi neglijat în raport cu 1, putem considera viteza nerelativistă.

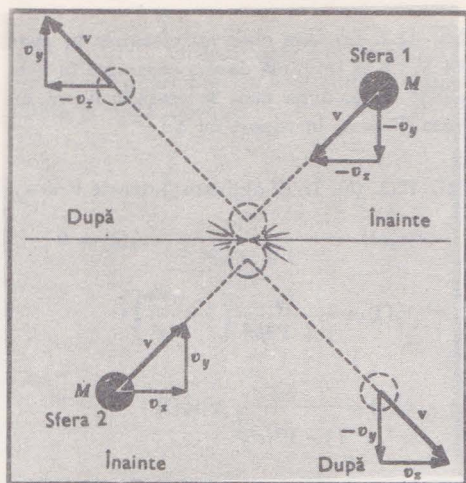


FIG. 12.1. (a). Ciocnirea, în planul  $xy$ , a două sfere de mase  $M$ . Sînt desenate componentele după axele  $x$  și  $y$  ale vitezelor înainte și după ciocnire.

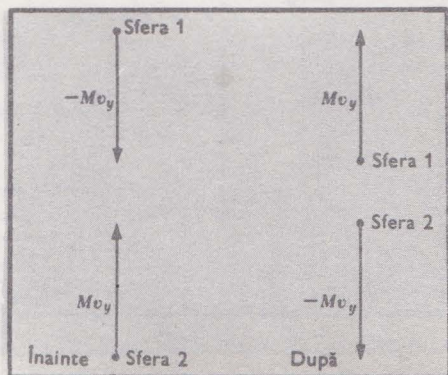


FIG. 12.1. (b). Impulsurile individuale nerezativiste în direcția  $y$ . Impulsul total pe direcția  $y$  este zero, atît înainte, cît și după ciocnire.

doua a lui Newton nu este valabilă dacă  $M$  este constant, căci accelerația  $a$  este egală cu  $\mathbf{F}/M$  și dacă forța ar acționa un timp suficient de lung,  $v$  ar fi mai mare decît  $c$ .

Să considerăm figurile 12.1,  $a$  și  $b$  care ilustrează ciocnirea între particule de mase egale. Alegem un sistem de referință  $S$  astfel încît particulele se apropie una de cealaltă cu viteze egale și de sens contrar: componenta  $y$  a vitezei particulei 1 este  $-v_y$  înainte de ciocnire și  $+v_y$  după ciocnire. În acest sistem de referință, centrul de masă se află în repaus. Din considerente de simetrie, componenta  $y$  a impulsului total este zero, atît înainte cît și după ciocnire.

Acest lucru va fi adevărat, independent de definiția impulsului, cu condiția ca el să aibă semne diferite pentru  $\pm v_y$ . Așadar, nu întîmpinăm dificultăți aici cu definiția newtoniană a impulsului  $\mathbf{p} = M\mathbf{v}$  (indiferent dacă expresia este sau nu corectă); variația lui  $p_y$  pentru particula 1 este  $+2Mv_y$  și variația lui  $p_y$  pentru particula 2 este  $-2Mv_y$ , astfel încît variația totală a componentei  $y$  a impulsului newtonian este nulă.

Să considerăm acum un alt sistem de referință  $S'$ , care se mișcă cu viteză particulară  $\mathbf{V} = v_x \hat{x}$ , în raport cu sistemul  $S$ , ca în figura 12.2,  $a$ . Remarcăți că  $v_x$  este componenta  $x$  a vitezei particulei 2 în  $S$ , iar  $-v_x$  este componenta  $x$  a particulei 1. Compunerea relativistă a vitezelor descrisă de ecuațiile (11.15)–(11.17) poate fi folosită la aflarea componentelor vitezelor în  $S'$  (reamintim că  $V = v_x$ ):

$$\begin{aligned} -v'_x(1) &= \frac{-v_x - V}{1 + v_x V/c^2} = \frac{-2v_x}{1 + v_x^2/c^2} \\ v'_y(1) &= \frac{v_y}{1 + v_x V/c^2} \left(1 - \frac{V^2}{c^2}\right)^{\frac{1}{2}} = \frac{v_y}{1 + v_x^2/c^2} \left(1 - \frac{v_x^2}{c^2}\right)^{\frac{1}{2}} \\ v'_x(2) &= \frac{v_x - V}{1 - v_x V/c^2} = 0 \end{aligned} \quad (12.1)$$



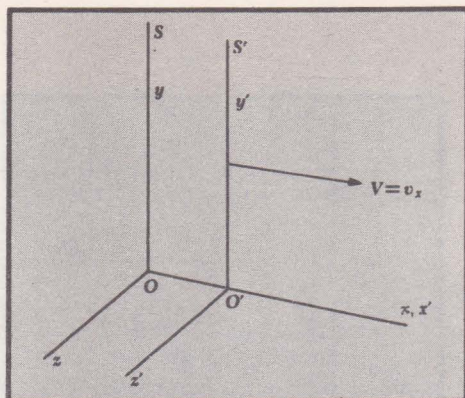


FIG. 12.2. (a). Am observat ciocnirea în sistemul  $S$ . Ce se întâmplă dacă o observăm în sistemul  $S'$ , care, după cum se arată în figură, are viteza  $V = v_x$  în raport cu  $S$ ?

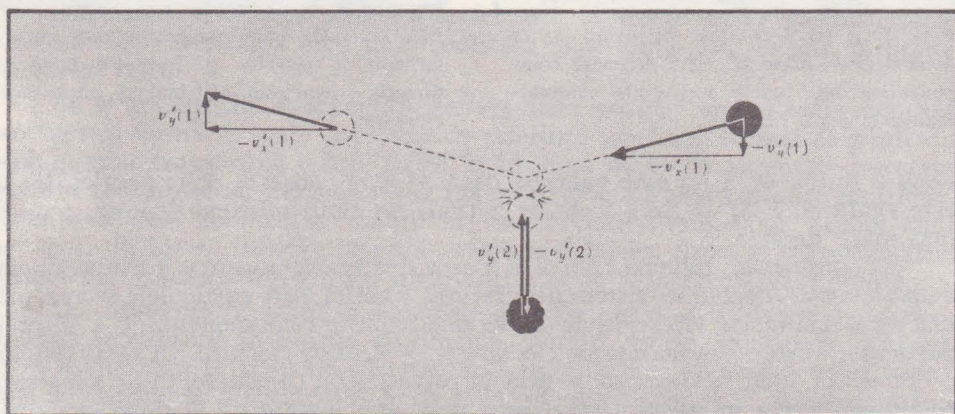
FIG. 12.2. (b). În  $S'$  obținem (intrucît  $V = v_x$ ),

$$-v'_x(1) = -\frac{2V}{1 + V^2/c^2}; \quad v'_x(2) = 0$$

$$v'_y(1) = \frac{v_y}{1 + V^2/c^2} \left(1 - \frac{V^2}{c^2}\right)^{\frac{1}{2}}$$

și

$$v'_y(2) = \frac{v_y}{(1 - V^2/c^2)^{\frac{1}{2}}} > v'_y(1)$$



$$v'_y(2) = \frac{v_y}{1 - v_x V/c^2} \left(1 - \frac{V^2}{c^2}\right)^{\frac{1}{2}} = \frac{v_y}{(1 - v_x^2/c^2)^{\frac{1}{2}}} \quad (12.2)$$

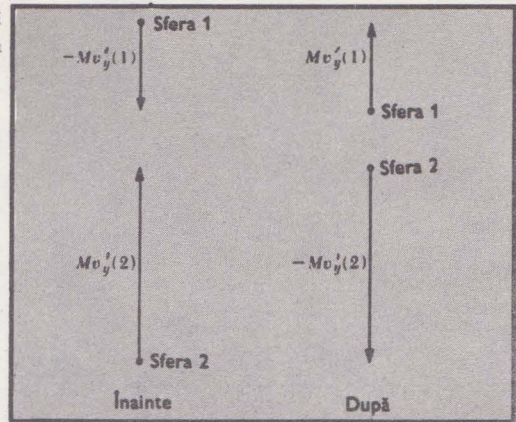
Aceste rezultate sînt ilustrate în figura 12.2, b. [Remarcați că în figură expresiile sînt date în funcție de  $V$ , pe cînd în ecuațiile (12.1) și (12.2) ele sînt date întîi în funcție de  $v_x$  și  $V$  și apoi numai în funcție de  $v_x$ .]

Evident, mărimile componentelor  $y$  ale vitezei în  $S'$ , date de ecuațiile (12.1) și (12.2), nu sînt egale, chiar dacă ele ar fi egale în  $S$ . Diferența în mărimile componente  $y$  a vitezelor în  $S'$  apare din faptul că componentele  $x$  ale vitezelor în  $S$  nu sînt aceleași; ele sînt egale, dar de semn contrar. Situația este ilustrată în figura 12.2, c. Variațiile impulsului nerelativist,  $-2Mv'_y(2)$  și  $2Mv'_y(1)$  nu vor fi egale și de semn contrar. Vedem așadar, că o definiție în care impulsul este direct proporțional cu viteza nu poate asigura conservarea impulsului în toate sistemele de referință. Sau conservarea impulsului este incompatibilă cu transformarea Lorentz, sau există o altă definiție a sa, astfel încît conservarea impulsului să fie valabilă în toate sistemele de referință care se mișcă unul față de celălalt cu viteză constantă.

Vom căuta acum o definiție Lorentz invariantă a impulsului. Definiția trebuie să fie astfel încît componenta  $y$  a impulsului particulei să fie independentă de componenta  $x$  a vitezei sistemului de referință în care se observă



FIG. 12.2. (c). În noul sistem  $S'$  impulsul nerelativist după direcția  $y'$  nu este același înainte și după ciocnire.



ciocnirea. Dacă se găsește o astfel de definiție, atunci conservarea componentei  $y$  a impulsului particulei într-un sistem de referință, asigură conservarea ei în toate sistemele. Știm că deplasarea  $\Delta y$  în direcția  $y$  rămâne invariantă la transformarea Lorentz. Dar timpul  $\Delta t$  în care se parcurge distanța  $\Delta y$  depinde de sistemul de referință și atunci viteza  $v_y = \Delta y / \Delta t$  depinde de sistemul de referință. În loc de a folosi ceasurile din sistemul laboratorului pentru a măsura pe  $\Delta t$ , putem folosi un ceas legat de particulă. Acest ceas va măsura timpul propriu al particulei  $\Delta \tau$ . *Toți observatorii vor fi de acord cu valoarea lui  $\Delta \tau$ .* Așadar, mărimea  $\Delta y / \Delta \tau$  este aceeași în toate sistemele de referință. Știm că  $\Delta t$  și  $\Delta \tau$  diferă prin factorul de dilatare a timpului din ecuația (11.11), astfel încît avem:

$$\Delta \tau = \Delta t \left( 1 - \frac{v^2}{c^2} \right)^{\frac{1}{2}} \quad (12.3)$$

unde  $v$  este viteza particulei în raport cu sistemul de referință în care este măsurat  $\Delta t$ . De aici rezultă:

$$\frac{\Delta y}{\Delta \tau} = \frac{\Delta y}{\Delta t} \cdot \frac{\Delta t}{\Delta \tau} = \frac{\Delta y}{\Delta t} \cdot \frac{1}{\left( 1 - v^2/c^2 \right)^{\frac{1}{2}}}.$$

Vedem că componenta  $y$  a lui  $\mathbf{v} / (1 - v^2/c^2)^{\frac{1}{2}}$  va fi aceeași în toate sistemele de referință care diferă doar prin componenta  $x$  a vitezei lor. Dacă *definim* impulsul relativist prin relația:

$$\mathbf{p} \equiv \frac{M\mathbf{v}}{\left( 1 - v^2/c^2 \right)^{\frac{1}{2}}} \quad (12.4)$$

atunci conservarea componentei  $y$  a impulsului este valabilă în orice sistem inerțial, care se mișcă față de unul aflat în repaus, cu o viteză constantă îndreptată de-a lungul axei  $x$ . Remarcați că folosind definițiile  $\beta = v/c$  și  $\gamma = (1 - v^2/c^2)^{-\frac{1}{2}}$ , introduse în capitolul 11, putem scrie pentru mărimea impulsului:

$$\mathbf{p} = Mc \beta \gamma. \quad (12.5)$$

Figura 12.3 ilustrează această nouă definiție a impulsului în funcție de  $v$ .



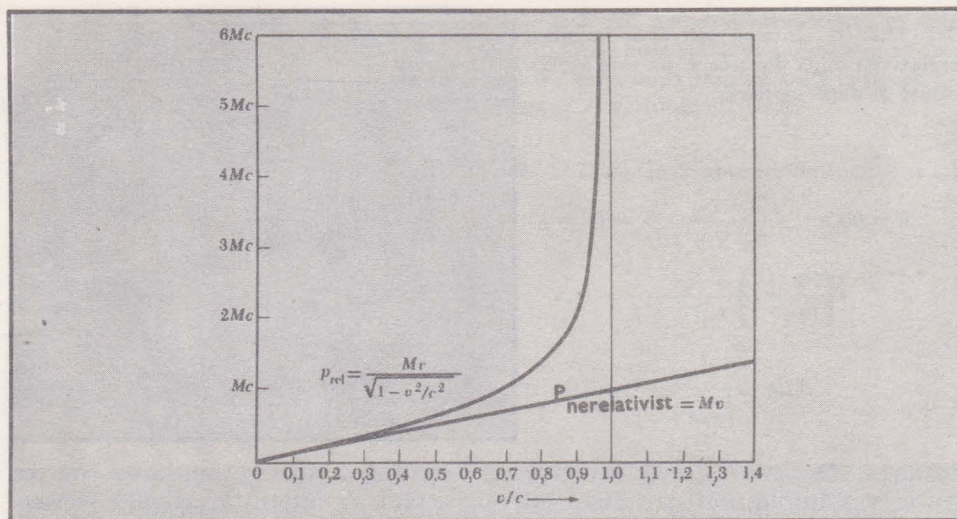


FIG. 12.3. Pentru ca impulsul să se conserve în orice sistem, redefinim  $p$  după cum urmează. Pentru o particulă cu viteza  $v$  și masa de repaus  $M$ ,

$$p = \frac{Mv}{\sqrt{1 - v^2/c^2}}.$$

Mărimile impulsurilor relativist și nerelativist sînt trasate pe grafic.

În discuția de pînă acum, am folosit pentru simplitate axe de coordonate simetric dispuse în raport cu mișcările, astfel încît nu apăreau modificări în componenta  $x$  a vitezei niciunei particule. Întrucît nu există modificări nici în componenta  $y$ , definiția (12.4) asigură și conservarea componentei  $x$  a impulsului. Vom vedea în paragraful „Transformarea impulsului și energiei” (pagina 378) că, în general, transformarea impulsului în  $S'$  este legată atît de impulsul cît și de energia din  $S$ . Cititorul poate arăta că, chiar dacă particula 2 are masa diferită de a particulei 1, argumentul de mai sus este valabil, astfel încît avem o lege relativistă de conservare a impulsului. Pentru  $v/c \ll 1$  definiția impulsului se reduce la cazul nerelativist,  $p = Mv$ . Este un fapt experimental dovedit că impulsul definit de relația (12.4) se conservă în toate procesele de ciocnire.

Putem scrie impulsul relativist [ecuația (12.4)]:

$$p = M(v)v$$

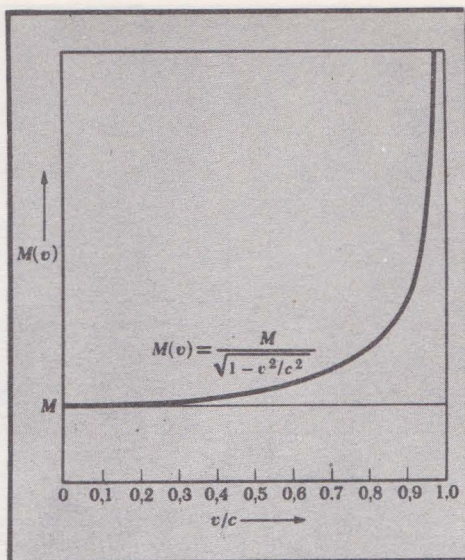
și interpretăm mărimea:

$$M(v) \equiv \frac{M}{(1 - v^2/c^2)^{1/2}} = M\gamma \quad (12.6)$$

drept masa relativistă a particulei de viteză  $v$  și masă de repaus  $M$ . Ea este ilustrată în figura 12.4. Masa de repaus este masa obținută în limita  $v \rightarrow 0$ . Cînd  $v \rightarrow c$ ,  $M(v)/M \rightarrow \infty$ . Creșterea relativistă a masei a fost verificată în numeroase experiențe de deviere a electronilor; ea este, de asemenea, implicit verificată în funcționarea oricărui accelerator de particule de mare energie. O altă formulare a relației (12.6), dată în paginile următoare, evidențiază în mod direct legătura dintre energia relativistă și impuls, și este deseori mai simplu de aplicat.

FIG. 12.4. Noua definiție a impulsului conduce la această comportare a masei:

$$M(v) = \frac{M}{\sqrt{1 - v^2/c^2}}.$$



În unele cărți se folosește  $M$  pentru masa variabilă și se scrie  $M = M_0/\sqrt{1 - v^2/c^2} = \gamma M_0$ , unde  $M_0$  este masa de repaus. Vom continua însă să notăm masa de repaus cu  $M$ , iar masa relativistă variabilă cu  $\gamma M$ , sau uneori cu  $M(v)$ .

## ENERGIA RELATIVISTĂ

Ce este energia cinetică relativistă? Prin ce vom înlocui expresia  $\frac{1}{2} Mv^2$  pentru a obține o expresie relativistă semnificativă? În primul rînd, să ne reamintim cum am definit energia cinetică în capitolul 5: ea era energia căpătată de o particulă liberă, aflată inițial în repaus, atunci cînd se efectua asupra ei un lucru mecanic. Reținem această definiție și scriem legea a doua a lui Newton sub forma:

$$\mathbf{F} = \frac{d\mathbf{p}}{dt} = \frac{d}{dt} \frac{M\mathbf{v}}{\sqrt{1 - v^2/c^2}},$$

unde timpul  $t$  și forța  $F$  se referă la cantitățile măsurate în sistemul laboratorului în care se observă impulsul  $p$ . (Transformarea forței dintr-un sistem de referință în altul este tratată ceva mai departe în acest paragraf.) Presupunem că  $\mathbf{F}$  este pe direcția  $x$ . Atunci, lucrul mecanic  $L$  efectuat de ea este:

$$\begin{aligned} L &= \int F dx = \int \frac{d}{dt} \frac{Mv}{\sqrt{1 - v^2/c^2}} dx = \int \frac{d}{dt} \left( \frac{Mv}{\sqrt{1 - v^2/c^2}} \right) \frac{dx}{dt} dt = \\ &= \int \left[ \frac{Mv}{\sqrt{1 - v^2/c^2}} \frac{dv}{dt} + \frac{Mv^3 c^{-2}}{\sqrt{(1 - v^2/c^2)^3}} \frac{dv}{dt} \right] dt = \\ &= \int \frac{Mv}{\sqrt{(1 - v^2/c^2)^3}} \frac{dv}{dt} dt = \int \frac{d}{dt} \left( \frac{Mc^2}{\sqrt{1 - v^2/c^2}} \right) dt, \end{aligned}$$

unde am folosit faptul că  $dx/dt = v$ .



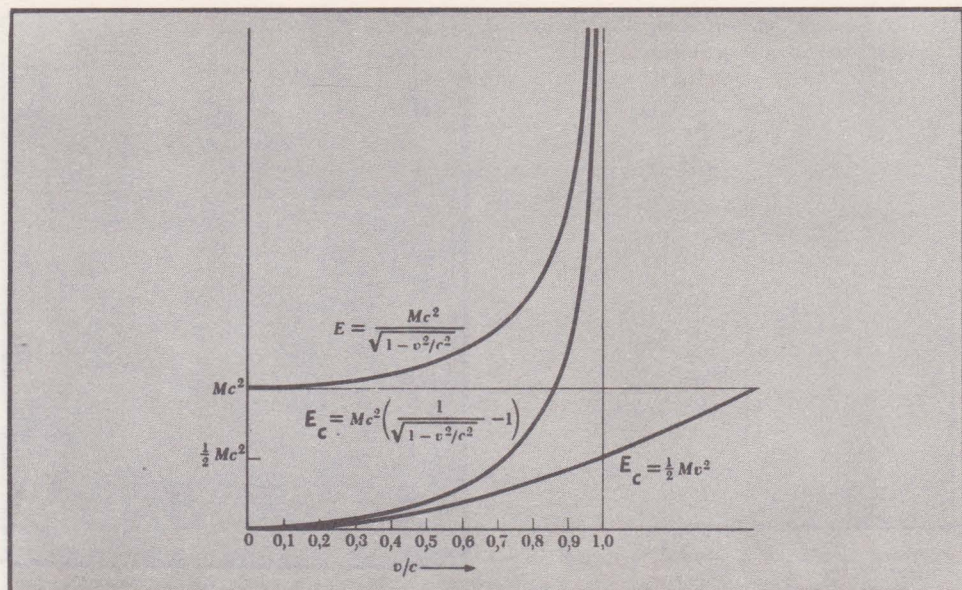


FIG. 12.5. Energia relativistă  $E = Mc^2/(1 - v^2/c^2)^{1/2}$ , energia cinetică relativistă,  $E_c = Mc^2/\sqrt{1 - v^2/c^2} - Mc^2$  și energia cinetică nerelativistă  $E_c = \frac{1}{2}Mv^2$  sînt trasate ca funcții de  $v/c$ . Pentru  $v/c \ll 1$ , curbele pentru  $E$  și  $E_c$  sînt aproape identice ca formă, deoarece  $Mc^2/(1 - v^2/c^2)^{1/2} \approx Mc^2 + \frac{1}{2}Mv^2$ . Pentru  $v/c \sim 1$ ,  $E$  crește mult mai repede decît  $\frac{1}{2}Mv^2$ .

Dacă presupunem că la limita superioară de integrare viteza este  $v$ , iar la limita inferioară este zero, obținem:

$$L = \frac{Mc^2}{\sqrt{1 - v^2/c^2}} - Mc^2 = Mc^2(\gamma - 1). \quad (12.7)$$

Aceasta va fi energia cinetică  $E_c$ ; graficul ei în funcție de  $v$  este trasat în figura 12.5. Folosind această expresie pentru  $E_c$  obținem concordanță cu rezultatele experimentale prezentate în figura 10.20.

Din punct de vedere formal această nouă expresie nu seamănă cu  $\frac{1}{2}Mv^2$ , dar să vedem ce devine ea pentru  $v/c \ll 1$ .

$$\gamma = \frac{1}{\sqrt{1 - v^2/c^2}} = 1 + \frac{1}{2} \frac{v^2}{c^2} \dots$$

ca urmare,

$$\gamma - 1 = \frac{1}{2} \frac{v^2}{c^2}$$

și, în definitiv,

$$Mc^2(\gamma - 1) \text{ devine } \frac{1}{2} Mc^2 \frac{v^2}{c^2} = \frac{1}{2} Mv^2,$$

reducîndu-se, pentru valori mici ale raportului  $v/c$ , la expresia newtoniană.

Să considerăm acum energia relativistă din punct de vedere formal. Folosind relația (12.5), pătratul impulsului relativist poate fi scris sub forma:

$$\vec{p}^2 = M^2 c^2 \beta^2 \gamma^2. \quad (12.8)$$

Identitatea:

$$\frac{1}{1 - v^2/c^2} - \frac{v^2/c^2}{1 - v^2/c^2} = 1,$$

sau

$$\gamma^2 - \beta^2 \gamma^2 = 1,$$

este implicit Lorentz — invariantă deoarece 1 este o constantă. Înmulțind cu  $M^2 c^4$ , obținem:

$$M^2 c^4 (\gamma^2 - \beta^2 \gamma^2) = M^2 c^4$$

și, folosind ecuația (12.8),

$$M^2 c^4 \gamma^2 - \vec{p}^2 c^2 = M^2 c^4. \quad (12.9)$$

Întrucât *masa de repaus* este constantă,  $M^2 c^4$  este o constantă, deci un invariant Lorentz, așa cum trebuia.

Ce mărime fizică este însă  $M^2 c^4 \gamma^2$ ? Rolul său în ecuația (12.9) sugerează că ea trebuie să fie o mărime fizică importantă, deoarece scăzând din ea  $\vec{p}^2 c^2$  obținem numărul  $M^2 c^4$  care este un invariant Lorentz.

Să definim *energia totală relativistă*  $E$  a unei particule libere prin relația:

$$E \equiv M c^2 \gamma \equiv \frac{M c^2}{(1 - v^2/c^2)^{\frac{1}{2}}} \quad (12.10)$$

Atunci ecuația (12.9) spune că mărimea:

$$\boxed{E^2 - \vec{p}^2 c^2 = M^2 c^4} \quad (12.11)$$

este un invariant Lorentz.

Prin trecerea de la un sistem de referință la altul,  $\vec{p} \rightarrow \vec{p}'$  și  $E \rightarrow E'$ , invarianța mărimii date de relația (12.9) arată că:

$$E'^2 - \vec{p}'^2 c^2 = E^2 - \vec{p}^2 c^2 = M^2 c^4.$$

Acesta este lucrul pe care îl înțelegem atunci când spunem că expresia (12.11) este un invariant Lorentz. Subliniem că  $M$  reprezintă masa de repaus a particulei și este Lorentz invariantă. Din ecuația (12.11) rezultă:

$$E = \sqrt{\vec{p}^2 c^2 + M^2 c^4}. \quad (12.12)$$

Dacă  $\vec{p} c \ll M c^2$ , atunci:

$$E = M c^2 \sqrt{1 + \frac{\vec{p}^2 c^2}{M^2 c^4}} = M c^2 \left( 1 + \frac{1}{2} \frac{\vec{p}^2 c^2}{M^2 c^4} \dots \right) = M c^2 + \frac{1}{2} \frac{\vec{p}^2}{M},$$



iar  $E_c = \frac{1}{2} \frac{p^2}{M}$  este tocmai rezultatul nerelativist. Pe de altă parte, dacă  $pc \gg Mc^2$ , atunci:

$$E = pc.$$

Această aproximație este deseori făcută de fizicienii care lucrează în domeniul energiilor înalte. Vom vedea în cele ce urmează (pagina 384) că ea este valabilă în cazul cuantelor de lumină, pentru care  $M = 0$ .

Între aceste două limite, relația dintre  $E$  și  $p$  sau dintre  $E_c$  și  $p$  (sau  $v$ ) nu este simplă. Remarcați că, folosind egalitatea  $E = \gamma Mc^2$ , energia cinetică  $E_c$  dată de ecuația (12.7) devine acum:

$$E_c = E - Mc^2 \text{ sau } E = Mc^2 + E_c. \quad (12.13)$$

Este important de subliniat că dacă  $v = 0$ , atunci  $E = Mc^2$ . Cu alte cuvinte, masa  $M$  are energie chiar în repaus. Această energie reprezintă, desigur, *energia de repaus* și vom vedea în cele ce urmează câteva exemple în care ea se va dovedi importantă. Diferența dintre energia totală  $E$  (pentru  $v > 0$ ) și energia de repaus este energia cinetică  $E_c$ .

Remarcați, de asemenea, că  $E = \gamma Mc^2$  [ecuația (12.10)] și  $\gamma M$  este tocmai masa relativistă, astfel încât  $E$  este produsul dintre masa relativistă și  $c^2$ . Masa și energia sînt, de fapt, nume diferite pentru aceeași mărime. Nu are sens să întrebăm: are o particulă masa mai mare, deoarece are energie cinetică sau are energie cinetică fiindcă i s-a mărit masa? „Masă mai mare” și „energie cinetică” *trebuie* să fie considerate laolaltă.

Conservarea energiei în ciocnirea particulelor cere ca suma:

$$\sum_i^n E_i = \text{const.},$$

[în care  $E_i$  este energia relativistă a particulei de indice  $i$ , dată de relația (12.12)], să fie aceeași înainte și după ciocnire. Conservarea energiei relativiste este valabilă chiar și pentru ceea ce am numit ciocnire neelastică, întrucît pierderea de energie cinetică (sub formă de excitații interne ale particulelor) este compensată de o creștere corespunzătoare a masei particulelor. Conservarea impulsului cere ca suma:

$$\sum_{i=1}^n \mathbf{p}_i = \text{const.},$$

să fie aceeași înainte și după ciocnire.

## TRANSFORMAREA IMPULSULUI ȘI ENERGIEI

Folosind ecuația (12.3), scriem acum relația (12.4) pe componente:

$$p_x = M \frac{dx}{d\tau}; \quad p_y = M \frac{dy}{d\tau}; \quad p_z = M \frac{dz}{d\tau}. \quad (12.14)$$

În mod similar, din ecuațiile (12.10) și (12.3) rezultă că putem scrie energia  $E$  sub forma:

$$E = Mc^2 \frac{dt}{d\tau}. \quad (12.15)$$

Întrucît  $M$  și  $\tau$  sînt invarianți Lorentz, din ecuațiile (12.14) și (12.15) rezultă că, la o transformare Lorentz  $p_x, p_y, p_z$  și  $E/c^2$  trebuie să se transforme la fel ca  $x, y, z$  și  $t$ . Deoarece cunoaștem transformarea acestora, ecuația (12.16) rezultă imediat. Folosind transformările date în capitolul 11, obținem relațiile de transformare pentru impuls și energie:

$$\boxed{\begin{aligned} p'_x &= \gamma \left( p_x - \frac{\beta E}{c} \right); & p'_y &= p_y; & p'_z &= p_z \\ E' &= \gamma (E - p_x c \beta) \end{aligned}} \quad (12.16)$$

Transformarea inversă rezultă schimbînd pe  $-\beta$  în  $+\beta$  și schimbînd între ele cantitățile indicate cu prim și cele neindicate:

$$\begin{aligned} p_x &= \gamma \left( p'_x + \frac{\beta E'}{c} \right); & p_y &= p'_y; & p_z &= p'_z \\ E &= \gamma (E' + p'_x c \beta). \end{aligned} \quad (12.17)$$

Folosind ecuațiile (12.14) și (12.15) putem afla viteza particulei din impulsul și energia ei:

$$v_x = \frac{dx}{dt} = \frac{dx}{d\tau} \cdot \frac{d\tau}{dt} = \frac{p_x}{M} \cdot \frac{Mc^2}{E} = \frac{c^2 p_x}{E},$$

sau

$$\mathbf{p} = \mathbf{v} \frac{E}{c^2}. \quad (12.18)$$

## EXEMPLU

**Ciocnirea neelastică.** Presupunem că două particule identice 1 și 2 se ciocnesc și se unesc formînd o a treia particulă 3. În sistemul  $S$  al centrului de masă avem (din însăși definiția centrului de masă):

$$\mathbf{p}_1 + \mathbf{p}_2 = 0.$$

Particula rezultată trebuie să rămînă în repaus. Într-un alt sistem  $S'$ , avem:

$$\mathbf{p}'_1 + \mathbf{p}'_2 = \mathbf{p}'_3.$$

Exprimăm noile impulsuri în funcție de cele observate în  $S$ , cu ajutorul transformării (12.16):

$$p'_{x1} + p'_{x2} = \gamma(p_{x1} + p_{x2}) - \frac{\gamma\beta(E_1 + E_2)}{c} = p'_{x3} = \gamma p_{x3} - \frac{\gamma\beta E_3}{c}. \quad (12.19)$$

$E_1$  și  $E_2$  sînt energiile particulelor inițiale, în  $S$ ;  $E_3$  este energia, în  $S$ , a particulei rezultate. Dar întrucît  $p_{x3} = 0$  și  $p_{x1} + p_{x2} = 0$ , ecuația (12.19) se reduce la:

$$E_3 = E_1 + E_2.$$



Acest rezultat ne spune că energia relativistă se conservă în ciocniri. Discuția ne reamintește de discuția similară asupra impulsului și energiei, purtată în capitolul 4.

Întrucît particulele sînt identice,  $E_1 = E_2$ ; folosind ecuația (12.10) pentru  $E_1$ , obținem pentru  $E_3$  în  $S$ :

$$M_3 c^2 = \frac{2Mc^2}{(1 - v^2/c^2)^{\frac{1}{2}}}. \quad (12.20)$$

$M_3$  este masa de repaus a particulei formate în urma ciocnirii iar  $v$  este viteza inițială a particulei 1 (sau 2) în sistemul  $S$ . Masa de repaus  $M_3$  a particulei rezultate este, în acest exemplu, mai mare decît suma  $2M$  a maselor de repaus ale particulelor inițiale. Energia cinetică a particulelor incidente s-a transformat în masă de repaus a particulei rezultate.

Considerind cea mai generală ciocnire, găsim că impulsul se conservă doar dacă suma:

$$\sum_i \frac{M_i c^2}{(1 - v_i^2/c^2)^{\frac{1}{2}}} = \sum_i E_i \quad (12.21)$$

extinsă asupra tuturor particulelor incidente, este egală cu aceeași sumă, extinsă asupra particulelor emergente<sup>1</sup>. Am văzut în ecuația (12.20) o exemplificare a acestui fapt. Într-o ciocnire relativistă, impulsul se conservă numai dacă se conservă și energia relativistă.

Noua masă de repaus  $M_3$  este mai mare decît suma  $2M$  a maselor de repaus inițiale. Pentru  $\beta \ll 1$ , putem descrie parțial această creștere în funcție de mărimi nerelativiste. Întrucît:

$$\frac{1}{(1 - v^2/c^2)^{1/2}} \approx 1 + \frac{v^2}{2c^2} + \dots,$$

obținem din ecuația (12.20) că:

$$M_3 \approx 2 \left( M + \frac{1}{2} M \frac{v^2}{c^2} + \dots \right) \approx 2 \left( M + \frac{\text{energia cinetică}}{c^2} \right). \quad (12.22)$$

Așadar, masa de repaus  $M_3$  nu este compusă numai din suma maselor de repaus ale particulelor incidente ci și dintr-o contribuție proporțională cu energia lor cinetică. Acest exemplu de ciocnire neelastică arată că a avut loc o transformare a energiei cinetice în masă. [Am scris ecuația (12.22) pentru valori mici ale lui  $\beta$  doar întrucît acest fapt ușurează punerea în evidență a transformării masă-energie, dar transformarea are loc pentru orice  $\beta$ .] Din formula (12.22) rezultă relația dintre creșterea masei:

$$\Delta M = M_3 - 2M \quad (12.23)$$

și energia cinetică care „a dispărut“:

$$E_c = c^2 \cdot \Delta M \quad (12.24)$$

Din definiția energiei cinetice dată de egalitatea (12.7)  $E_c = (\gamma - 1)Mc^2$ , se poate constata valabilitatea generală (nu numai pentru  $\beta$  mici) a rezultatelor conținute în formulele (12.22) – (12.24).

**Echivalența dintre masă și energie.** Posibilitatea transformării masei de repaus în energie și reciproc (precum și relația cantitativă dintre ele) a fost considerată de către Einstein drept cea mai semnificativă contribuție a teoriei relativității. Atît timp cît particulele nu capătă viteze semnificative în raport

<sup>1</sup> Nu putem aplica direct ecuația (12.21), dacă în ciocnire intervin fotoni, deoarece pentru fotoni,  $v = c$ . Vom arăta în relațiile (12.26) și (12.27) cum se rezolvă această problemă pentru fotoni și pentru alte particule cu masă de repaus nulă.

cu  $c$ , putem folosi definiția nerelativistă a energiei cinetice din care deducem că, în toate ciocnirile de particule (chiar dacă numărul particulelor incidente diferă de cel al particulelor emergente), variația negativă sau pozitivă a masei de repaus înmulțită cu  $c^2$  este egală cu variația pozitivă sau negativă a energiei cinetice. Reciproc, într-o ciocnire neelastică, pierderea de energie cinetică, trebuie să fie însoțită de o creștere a maselor de repaus ale particulelor emergente.

Vedem din formulele (12.6) și (12.10) că putem scrie  $E = M(v)c^2$ . Astfel, definiția naturală a energiei în teoria relativității validează formula (12.24) a energiei totale, independent de restricția  $v/c \ll 1$ :

$$\Delta E = c^2 \Delta M.$$

(O deducere exactă este dată în nota istorică de la sfârșitul capitolului.) Variația  $\Delta M$  a masei asociată transformării energiei cinetice în masă de repaus este, în general, foarte mică pentru procesele întâlnite în mod uzual, deoarece  $c$  este mult mai mare decât vitezele obișnuite.

Deoarece masa este echivalentă cu energia, unui sistem care are energia totală relativistă  $E$ , îi este asociată o masă inertă  $M = E/c^2$ . Să considerăm o cutie fără masă, care conține  $N$  particule de masă  $M$ , aflate în repaus. Dacă încercăm să o accelerăm, cutia „opune” o masă inertă  $NM$ . La viteza  $V$ , cutia are impulsul  $NMV$ . Dar, dacă fiecare particulă din cutie are viteza  $v$  și energia cinetică  $\frac{1}{2}mv^2$ , atunci masa inertă a cutiei este  $N(M + Mv^2/2c^2)$ ,

iar impulsul ei este  $NV(M + Mv^2/2c^2)$ . În aceste formule, vitezele  $V$  și  $v$  au fost presupuse mult mai mici decât  $c$ .

În mod similar, un resort comprimat are o masă mai mare decât unul liber, diferența fiind dată de raportul dintre lucrul mecanic necesar comprimării și  $c^2$ . Dacă resortul comprimat este complet dizolvat în acid, produsele de reacție vor fi ușor mai grele (sub limita măsurabilității experimentale) decât în cazul în care resortul ar fi liber. Aceasta ar putea fi pusă în evidență sub forma unei mici creșteri de temperatură a soluției, dacă o astfel de creștere ar putea fi măsurată.

## EXEMPLU

### Transformarea masă-energie

(1) Dacă două corpuri cu mase de  $10^{-3}$  kg, având viteze de semn contrar, egale fiecare cu  $10^3$  m/s, se ciocnesc și rămân lipite în urma ciocnirii, masa de repaus suplimentară a particulei rezultate este:

$$\Delta M = \frac{\Delta E}{c^2} \approx 2 \left( \frac{1}{2} M \frac{v^2}{c^2} \right) \approx 1 \cdot 10^{-14} \text{ kg}.$$

Aceasta reprezintă o cantitate mai mică decât precizia cu care poate fi măsurată masa de  $10^{-3}$  kg.

(2) Un atom de hidrogen constă dintr-un electron legat de un proton printr-o forță de atracție electrostatică; masa sa de repaus  $M_H$  este mai mică decât suma maselor de repaus  $m$ , a electronului liber și  $M_p$ , a protonului. Diferența de masă este egală cu energia de ionizare (de legătură) împărțită prin  $c^2$ . Masa  $M_H$  a atomului de hidrogen este de  $1,6736 \cdot 10^{-27}$  kg. Energia de legătură a electronului la proton este de 13,6 eV sau  $22 \cdot 10^{-19}$  J astfel încit:

$$M_p + m - M_H = \frac{22 \cdot 10^{-19}}{c^2} \approx 2,4 \cdot 10^{-35} \text{ kg}$$



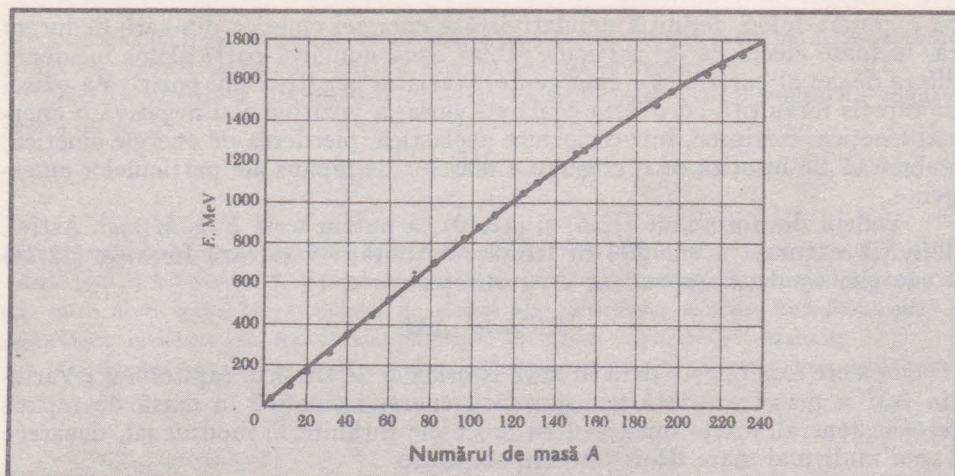


FIG. 12.6. Energia de legătură a nucleelor, în MeV, ca funcție de numărul de masă  $A$  a nucleului. Reamintim că  $1 \text{ MeV}$  este echivalent cu o masă de  $1,76 \cdot 10^{-30} \text{ kg}$ . În grafic nu sînt reprezentate toate nucleele.

cea ce reprezintă  $1/10^8$  din masa atomului de hidrogen — o cantitate prea mică pentru a fi măsurată<sup>1</sup>.

(3) Suma dintre masele de repaus ale protonului și neutronului este:

$$M_p + M_n = (1,67265 + 1,67496) \cdot 10^{-27} = 3,34761 \cdot 10^{-27} \text{ kg}.$$

Cu toate acestea, masa deuteroniului este doar de  $3,34365 \cdot 10^{-27} \text{ kg}$ . Diferența de  $0,00396 \cdot 10^{-27} \text{ kg}$  corespunde unei energii de  $3,56 \cdot 10^{-13} \text{ J}$  sau  $2,23 \text{ MeV}$ , care este tocmai energia necesară pentru a disocia deuteroniul într-un neutron și un proton liberi și care se numește energia de legătură a deuteroniului. (Figura 12.6 prezintă graficul energiei de legătură a nucleelor în funcție de numărul de masă.) În fapt, aceste date furnizează o metodă de obținere a masei neutronului. Dezintegrarea neutronului în proton, electron și neutrino furnizează o altă, iar acordul celor două metode este foarte bun.

(4) În tabelul 12.1 energia degajată observată,  $\Delta E$ , este comparată cu variația observată a masei,  $\Delta M$ , pentru diferite reacții nucleare.

TABELUL 12.1

Compararea energiei de dezintegrare calculate și observate \*

	Scăderea masei u.a.m.	Energia degajată, MeV	
		$\Delta M \cdot c^2$	$\Delta E$
${}^9\text{Be} + {}^1\text{H} \rightarrow {}^6\text{Li} + {}^4\text{He}$	0,00242	2,25	2,28
${}^6\text{Li} + {}^2\text{H} \rightarrow {}^4\text{He} + {}^4\text{He}$	0,02381	22,17	22,20
${}^{10}\text{B} + {}^2\text{H} \rightarrow {}^{11}\text{C} + {}^1\text{n}$	0,00685	6,38	6,08
${}^{14}\text{N} + {}^2\text{H} \rightarrow {}^{12}\text{C} + {}^4\text{He}$	0,01436	13,37	13,40
${}^{14}\text{N} + {}^4\text{He} \rightarrow {}^{17}\text{O} + {}^1\text{H}$	-0,00124	-1,15	-1,16
${}^{28}\text{Si} + {}^4\text{He} \rightarrow {}^{31}\text{P} + {}^1\text{H}$	-0,00242	-2,25	-2,23

\* Ș. Dushman. General Electric Review. 47: 6-13 (octombrie 1944).

<sup>1</sup> Măsurătorile actuale sînt de 10 pînă la 100 ori mai precise. Efectele legăturii electronice au fost observate în reacțiile nucleare.

O unitate atomică de masă (u.a.m.) este egală cu  $1/12$  din masa atomică a izotopului  $^{12}\text{C}$ .

## EXEMPLU

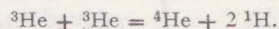
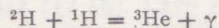
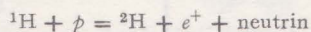
**Producerea energiei în stele.** Cea mai mare parte din energia Soarelui și a majorității stelelor ia naștere în urma „arderii” nucleare a protonilor cu obținere de heliu.

Energia degajată pentru fiecare atom de heliu format (vezi fig. 12.7) poate fi calculată din variația netă a masei în cursul reacției:

$$\begin{aligned} 4M(^1\text{H}) - M(^4\text{He}) &= 4(1,6736 \cdot 10^{-27}) \text{ kg} - (6,6466 \cdot 10^{-27}) \text{ kg} \approx \\ &\approx 0,0478 \cdot 10^{-27} \text{ kg} \approx 52 m. \end{aligned} \quad (12.25)$$

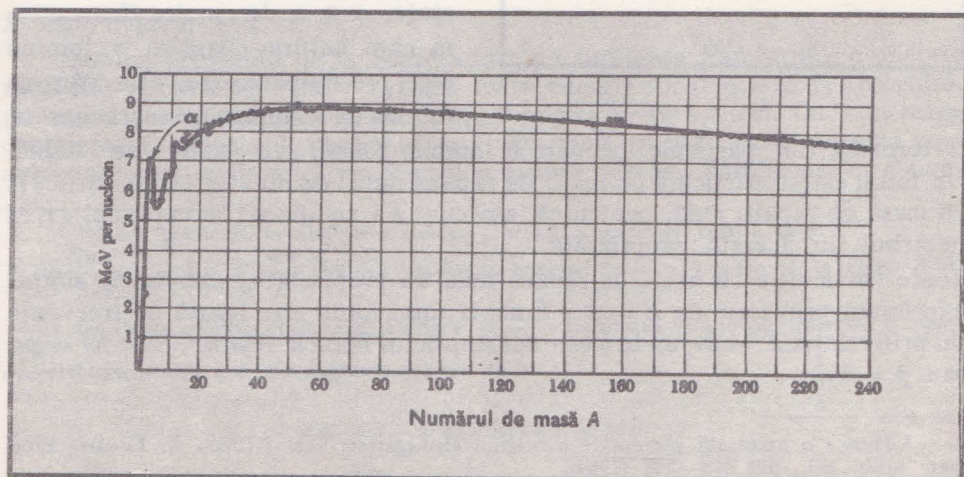
unde  $m$  este masa electronului. Rezultatul este echivalent cu 26,7 MeV. Masele atomice tabulate includ masa electronilor respectivi. În reacțiile de mai jos, pozitronii sint anihilați de electroni și produc raze  $\gamma$ .

Temperatura în centrul Soarelui este de  $\sim 2 \cdot 10^7$  K. La această temperatură se crede că procesele nucleare sint dominate de următoarele reacții (ilustrate în fig. 12.8):



Efectul net este arderea hidrogenului și producerea de  $^4\text{He}$ . Remarcați că în prima treaptă a reacției se elimină un neutrîn (particulă neutră cu masă de repaus nulă), astfel încît Soarele este o sursă puternică de neutrîni. Neutrîinii interacționează foarte slab cu materia; aproape

FIG. 12.7. Energia de legătură pe nucleon, în MeV per nucleon, ca funcție de numărul de masă  $A$ . Punctul notat cu  $\alpha$  corespunde nucleului de  $^4\text{He}$ , care are o energie de legătură relativ mare.





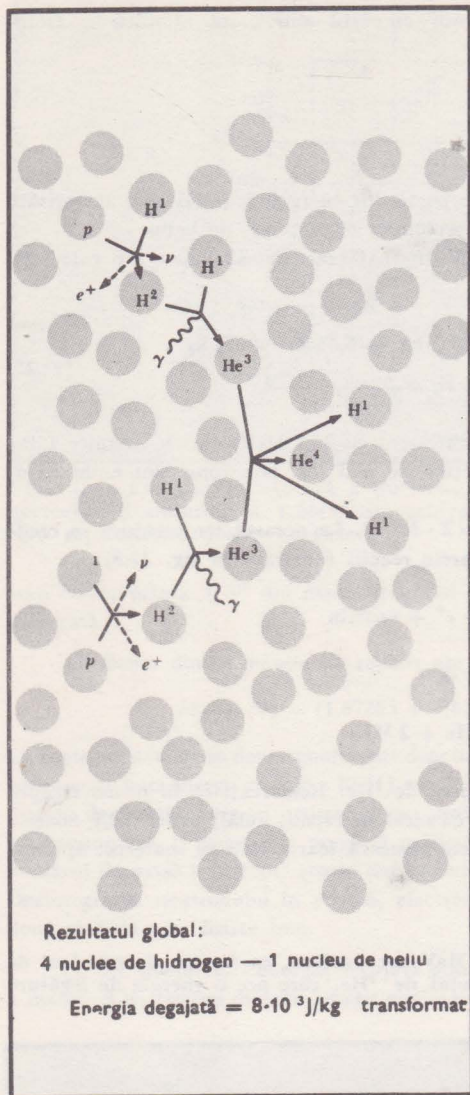


FIG. 12.8. Diagrama fuziunii hidrogenului în heliu prin reacția în lanț  $p - p$  care are loc în cea mai mare parte a stelelor de masă egală sau mai mică decât masa Soarelui. Densitatea:  $10^5 \text{ kg/m}^3$ . Temperatura:  $10^7 \text{ K}$ . (După W. A. Fowler.)

toți neutrinii produși în reacțiile nucleare care au loc în stele, scapă în spațiul cosmic. Ei transportă pînă la 10% din energia emisă de către Soare<sup>1</sup>.

### Particule cu masă de repaus nulă.

Dacă în formula (12.11) punem  $M=0$ , obținem:

$$E = pc \quad (12.26)$$

astfel încît relația (12.18) devine:

$$v = c \quad (12.27)$$

și vedem că o particulă cu masă de repaus nulă se mișcă totdeauna cu viteza luminii. Ea are această viteză pentru orice observator, după cum pentru orice observator ea are masa de repaus nulă. Cu excepția faptului că nu îl putem concepe totdeauna ca pe o particulă, un puls de lumină în vid are tocmai această proprietate,  $v \equiv c$ . În multe fenomene, în care natura cuantică a luminii este precumpănitoare, observăm că lumina se comportă ca și cum ar

fi formată din particule pe care le numim *fotoni*, sau cuante de lumină. Un foton este o particulă cu masă de repaus nulă; ea nu este unica particulă cu masă de repaus nulă, pentru că, așa cum s-a menționat în capitolul 11, și neutrinii au această proprietate.

Toate particulele cu masă de repaus nulă au proprietatea extrem de simplă exprimată prin formula  $E = pc$ . Energia unui foton este legată de frecvența lui prin relația  $E = h\nu$ , unde  $h$  este constanta lui Planck. Așadar,  $E = h\nu = pc$ , sau  $p = h\nu/c$ .

<sup>1</sup> Pentru o excelentă prezentare a originii elementelor, vezi William A. Fowler, Proc. Nat. Acad. Sci., 52: 524–548 (1964).

Există totdeauna un impuls  $E/c$  asociat unui foton de energie  $E$ . Atunci când un foton este absorbit de un atom, atomul primește un impuls egal cu  $E/c$ . Dacă fotonul este reflectat (absorbit și reemis în sens contrar), transferul de impuls este  $2E/c$ .

Să calculăm presiunea radiației în interiorul unui cub de latură  $L$  care conține fotoni cu energia radiantă totală  $U$  pe unitatea de volum. Presupunem că fotonii se mișcă dezordonat în toate direcțiile; aceasta este echivalent cu a spune că o treime din ei se mișcă paralel cu una dintre muchiile cubului.

În unitatea de timp pe o față a cubului au loc  $\left(\frac{N}{3}\right)\left(\frac{c}{2L}\right)$  ciocniri, unde  $N$  este numărul total al fotonilor din cutie. Variația impulsului la fiecare ciocnire este  $2E/c$ . Media temporală a forței care acționează asupra unei fețe este  $F = (\text{ciocniri în unitatea de timp}) \cdot (\text{variația impulsului la o ciocnire}) = N \left(\frac{c}{6L}\right) \left(\frac{2E}{c}\right) = N \frac{E}{3L}$ . Dacă  $n$  este numărul de fotoni din unitatea de volum, atunci  $N = nL^3$  și pentru presiunea radiației rezultă formula:

$$F = nL^2 \frac{E}{3} \text{ sau } P = \frac{1}{3} U^1$$

unde  $P = F/L^2$  și  $U = nE$ .

Este ușor de obținut expresia deplasării Doppler din expresiile lui  $p$  și  $E$  și din transformările Lorentz (12.16). Care sînt valorile lui  $E'$  și  $p'$ , în sistemul  $S'$ , dacă valorile corespunzătoare în sistemul  $S$  sînt  $E = h\nu$ ,  $p_x = h\nu/c$ ?

$$p'_x = \gamma \left( \frac{h\nu}{c} - \beta \frac{h\nu}{c} \right); E' = \gamma \left( h\nu - \beta c \frac{h\nu}{c} \right).$$

Deci:

$$p'_x = \frac{h\nu}{c} (1 - \beta)\gamma; E' = h\nu(1 - \beta)\gamma$$

$$p'_x = \frac{h\nu}{c} \sqrt{\frac{1 - \beta}{1 + \beta}}; E' = h\nu' = h\nu \sqrt{\frac{1 - \beta}{1 + \beta}}. \quad (12.28)$$

$E'$  este, evident, egal cu  $p'_x c$ .

Lumina provenită de la Soare aduce pe suprafața Pămîntului o energie radiantă de circa  $10^3 \text{ J/m}^2 \cdot \text{s}$ . Dacă toată energia incidentă ar fi absorbită, presiunea corespunzătoare ar fi  $(10^3/c) \text{ N/m}^2 \approx 3 \cdot 10^{-6} \text{ N/m}^2$ . Dacă întreaga energie ar fi reflectată, presiunea ar fi de două ori mai mare. Această presiune este extrem de mică iar efectul ei asupra mișcării Pămîntului este com-

<sup>1</sup> Pentru particule nerelativiste (teoria cinetică a gazelor) relația este:

$P = \frac{Nmv^2}{3L^3} = \frac{2}{3} \left( \frac{1}{2} N \frac{mv^2}{L^3} \right) = \frac{2}{3}$  . densitatea energiei cinetice. Trecerea de la relația  $P = \frac{2}{3}$  . densitatea energiei cinetice la relația  $P = \frac{1}{3}$  . densitatea de energie (care va fi egală cu presiunea pentru  $v \approx c$ ) corespunde trecerii de la:

$$E_c = \frac{p^2}{2m} \text{ la } E_c = E = pc.$$





FIG. 12.9. Cometa Mkros, 27 August 1957. (Fotografie de la Observatoarele Mount Wilson și Mount Palomar.)

plet neglijabil. În cazul cozii foarte difuze a unei comete sau a sateliților lui Echo, pentru care aria suprafeței este mare în raport cu masa, efectul global al acestei presiuni poate să nu fie neglijabil. Figura 12.9 reprezintă o ilustrare a acestui fapt. Bombardarea cozii cometei de către particulele provenite de la Soare poate avea un efect notabil. În interiorul unei stele fierbinți de mică densitate, presiunea radiației poate deveni extrem de importantă.

Pentru orice particulă cu energie suficient de mare, astfel încât  $E \gg Mc^2$ , vom avea aproximativ aceeași relație între impuls și energie, ca și pentru foton. Pentru o particulă, putem totdeauna postula un observator aflat în mișcare, pentru care particula este în repaus. Dar fotonul nu va putea fi adus niciodată în repaus prin schimbarea sistemului de referință, deoarece, deși energia și impulsul lui pot diferi pentru diferiți observatori, el va avea totdeauna  $v = c = E/p$ .

Să considerăm un atom de hidrogen în repaus, dar aflat într-o stare electronică excitată. Atomul de hidrogen emite o cantă luminoasă de energie  $E$  și impuls  $(E/c)\hat{x}$ . Atomul capătă un impuls de recul egal cu  $-(E/c)\hat{x}$ . Ca urmare a reculului, centrul de masă al sistemului (atom plus cantă de lumină) nu poate rămâne în repaus decât dacă cantă de lumină are o masă  $M_\gamma$ . Pentru a afla pe  $M_\gamma$ , punem:

$$\dot{\mathbf{r}}_{c.m.} \equiv \frac{M_H \dot{\mathbf{r}}_H + M_\gamma \dot{\mathbf{r}}_\gamma}{M_H + M_\gamma} = 0$$

$M_H \dot{\mathbf{r}}_H = -(E/c)\hat{x}$  și  $\dot{\mathbf{r}}_\gamma = c\hat{x}$ , astfel încât:

$$-\frac{E}{c} + M_\gamma c = 0 \text{ și } M_\gamma = \frac{E}{c^2}.$$

Aceasta este tocmai masa dată de relația lui Einstein. Masa cuantei de lumină nu este o masă de repaus; ea este masa corespunzătoare energiei  $E$ . Masa de repaus a cuantei de lumină este nulă.

## TRANSFORMAREA VITEZEI DE VARIAȚIE A IMPULSULUI

Ne interesează legea a doua a lui Newton:

$$\mathbf{F} = \frac{d\mathbf{p}}{dt} = M \frac{d}{dt} \frac{\mathbf{v}}{\sqrt{1 - v^2/c^2}}$$

și modul în care se transformă ea. Este evident că:

$$\frac{d\mathbf{p}}{dt} \neq \frac{d\mathbf{p}'}{dt'}.$$

Să considerăm sistemul  $S'$  în care masa  $M$  este instantaneu în repaus. Atunci  $S'$  se mișcă cu viteza  $v\hat{\mathbf{x}}$  în raport cu  $S$ . Din transformările (12.16) rezultă:

$$\Delta p_y = \Delta p'_y; \quad \Delta p_z = \Delta p'_z$$

iar din formula (12.3), obținem:

$$\Delta t' = \Delta \tau = \sqrt{1 - \frac{v^2}{c^2}} \Delta t$$

unde  $\Delta \tau$  este timpul propriu. Prin urmare:

$$\frac{\Delta p_y}{\Delta t} = \frac{\Delta p'_y \sqrt{1 - v^2/c^2}}{\Delta t'} = \frac{1}{\gamma} \frac{\Delta p'_y}{\Delta t'}.$$

Întrucît

$$F_y = \frac{\Delta p_y}{\Delta t} \quad \text{și} \quad F'_y = \frac{\Delta p'_y}{\Delta t'}$$

vedem că

$$F_y = \frac{1}{\gamma} F'_y \quad \text{și} \quad F_z = \frac{1}{\gamma} F'_z.$$

Componentele  $x$  ale lui  $\Delta \mathbf{p}/\Delta t$  nu sînt la fel de simple.

$$p_x = \gamma \left( p'_x + \frac{vE'}{c^2} \right) \quad (12.29)$$

$$\Delta p_x = \gamma \Delta p'_x + \gamma v \frac{\Delta E'}{c^2}.$$

Evaluăm  $\Delta E'$  în funcție de  $\Delta p'_x$ :

$$\Delta E' = \frac{c^2 p'_x \Delta p'_x}{\sqrt{M_0^2 c^4 + c^2 p'^2}}.$$



Dar  $p'_x, p'_y, p'_z$  sînt toți egali cu zero. Așadar,  $\Delta E' = 0$  și reîntorcîndu-ne la relația (12.29), obținem:

$$\frac{\Delta p_x}{\Delta t} = \frac{\gamma \Delta p'_x}{\Delta t'} \cdot \frac{\Delta t'}{\Delta t} = \frac{\gamma \Delta p'_x}{\Delta t'} \cdot \frac{1}{\gamma} = \frac{\Delta p'_x}{\Delta t'}$$

sau

$$\frac{dp_x}{dt} = \frac{dp'_x}{dt'}$$

și

$$F_x = F'_x. \quad (12.30)$$

Aceste ecuații vor juca un rol fundamental în volumul 2, capitolul 5. Ele sînt, desigur, cazuri particulare ale unor rezultate mult mai generale.

## CONSTANȚA SARCINII

Legea de mișcare  $q\mathbf{E} = \dot{\mathbf{p}}$  pentru o particulă de sarcină  $q$  într-un câmp electric  $\mathbf{E}$  este incompletă, cîtă vreme nu știm dependența sarcinii de viteză și accelerația particulei de impuls  $\mathbf{p}$ . Cea mai bună verificare experimentală a faptului că sarcina protonului sau a electronului este constantă cu o foarte mare precizie, este observația că fasciculele de hidrogen atomic sau molecular nu sînt deviate de câmpuri electrice uniforme, perpendiculare pe fascicule. Atomul de hidrogen constă dintr-un electron  $e$  și un proton  $p$ . Molecula de hidrogen  $H_2$  constă din doi electroni și doi protoni. Chiar dacă protonii se mișcă foarte încet, electronii se mișcă în jurul protonilor cu o viteză medie de circa  $10^{-2}c$ <sup>1</sup>. Molecula nedeviată are în acest caz impulsul constant, astfel încît rezultatul experimental ne spune că  $\dot{\mathbf{p}}_p + \dot{\mathbf{p}}_e = 0 = (e_p + e_e)\mathbf{E}$ . Rezultă deci din experiență că, în atom sau moleculă,  $e_e = -e_p$  în ciuda faptului că electronul are o viteză mare, iar protonul o viteză mică, sau că viteza medie a electronului este diferită în atom și în moleculă. Din punct de vedere cantitativ, se știe că pînă la viteze de ordinul  $10^{-2}c$ , sarcina electronului este independentă de viteză și egală cu cea a protonului, cu o precizie mai mare de  $1/10^9$ . În plus, se știe că sarcinile existente în natură sînt multipli ai sarcinii electronului, astfel încît sarcina totală poate fi aflată printr-o simplă numărare, independentă de sistemul de referință.

Situația experimentală va fi discutată în volumul 2. Rezultatul experimental indică independența sarcinii față de viteza particulei sau observatorului. Prin urmare, la o schimbare a sistemului de referință, sarcina și masa se transformă în mod diferit.

<sup>1</sup> Teoria elementară a lui Bohr, asupra atomului dă pentru starea fundamentală viteza  $v = c/137$ .

## PROBLEME

1. *Impulsul relativist.* Care este impulsul unui proton care are energia cinetică de 1 GeV<sup>1</sup>? (Dacă  $E$  este măsurat în GeV, putem măsura impulsul  $p$  în GeV/c.)

R: 1,7 GeV/c.

2. *Impulsul relativist.* Care este impulsul unui electron cu energia de 1 GeV?

R: 1,0005 GeV/c.

3. *Impulsul fotonului.* Care este impulsul fotonului cu energia de 1 GeV?

4. *Energia și impulsul unui proton rapid.* Considerăm un proton cu viteza  $\beta = 0,995$  în sistemul laboratorului; ce valori are impulsul relativist și energia totală relativistă? Ce valoare are energia cinetică?

5. *Particule provenite din raze cosmice de mare energie.* Se știe că particulele provenite din razele cosmice pot avea energii până la 10<sup>19</sup> eV și chiar mai mari.

(a) Care este masa aparentă (aproximativă) a unei astfel de particule?

R:  $1,8 \cdot 10^{-17}$  kg.

(b) Care este impulsul ei (aproximativ)?

R:  $5 \cdot 10^{-9}$  kg · m/s.

6. *Transformarea energiei și impulsului.* Un proton are viteza  $\beta = 0,999$  în sistemul laboratorului. Aflați valoarea energiei și impulsului într-un sistem care se deplasează în același sens cu viteza  $\beta' = 0,990$  în raport cu sistemul laboratorului.

<sup>1</sup> În original 1 BeV. Cuvintul billion are sensuri diferite în diferite țări. În Statele Unite, este egal cu 10<sup>9</sup>, dar în Anglia, este 10<sup>12</sup>. Se preferă folosirea prefixului giga (prescurtat G) pentru a desemna factorul 10<sup>9</sup>.

7. *Energia unui electron rapid.* Un electron are  $\beta = 0,99$ . Care este energia sa cinetică?

R: ? 1 MeV.

8. *Reculul în emisia  $\gamma$ .* Care este, în sistemul laboratorului, impulsul de recul al unui nucleu de <sup>57</sup>Fe care reculează datorită emisiei unui foton de 14 keV. Impulsul nucleului este relativist?

R:  $7,5 \cdot 10^{-24}$  kg · m/s.

9. Considerați o rază  $\gamma$  de energie  $E_\gamma$  care se îndreaptă către un proton aflat în repaus în sistemul laboratorului.

(a) Care este impulsul razei  $\gamma$  în sistemul laboratorului?

(b) Arătați că viteza  $V$  a centrului de masă în sistemul laboratorului este dată de raportul:

$$\frac{V}{c} = \frac{E_\gamma}{E_\gamma + M_p c^2}$$

(c) Care este energia razei  $\gamma$  în sistemul centrului de masă? Dar energia protonului în același sistem?

10. *Dezintegrarea neutronilor.* Folosind valorile date în capitolul 12, calculați energia degajată la dezintegrarea unui neutron într-un proton și un electron.

R: 0,79 MeV

11. *Invarianța Lorentz într-un sistem de două particule.* Fie  $\mathbf{p} = \mathbf{p}_1 + \mathbf{p}_2$  și  $E = E_1 + E_2$ , impulsul total și respectiv energia totală, pentru un sistem de două particule. Arătați în mod explicit că transformările Lorentz aplicate lui  $\mathbf{p}$  și  $E$  sunt compatibile cu invarianța mărimii  $E^2 - p^2 c^2$ .

12. *Trecerea de la sistemul în repaus la sistemul centrului de masă.* Doi protoni pleacă din același punct cu viteze  $\beta = 0,5$  în sensuri contrare.

(a) Care sînt energia și impulsul unui proton în raport cu punctul de plecare?



(b) Cu ajutorul transformării Lorentz, găsiți energia și impulsul unui proton în sistemul propriu al celui alt. (În probleme de acest fel este convenabil să se exprime energia ca un multiplu al energiei de repaus.)

13. *Radiația masei prin antenă.* Care este masa corespunzătoare energiei radiate de o antenă radio cu puterea de 1000 W, în timp de 24 h? ( $1 \text{ W} = 1 \text{ J/s}$ ).

14. *Energia solară. Constanta solară* este fluxul energiei solare pe metru pătrat și pe secundă, la distanța Pământului. Măsurătorile au arătat că valoarea ei este  $1,4 \cdot 10^3 \text{ J/m}^2 \cdot \text{s}$ .

(a) Arătați că puterea totală radiată de Soare este  $4 \cdot 10^{26} \text{ W}$ .

(b) Arătați că puterea radiată medie per kilogram de materie solară este  $\approx 2 \cdot 10^{-4} \text{ W/kg} \approx 6 \cdot 10^3 \text{ J/kg} \cdot \text{an}$ .

(c) Arătați că energia produsă prin transformarea unui gram de hidrogen în  $^4\text{He}$  este  $\approx 6 \cdot 10^{11} \text{ J}$ .

## TEME AVANSATE

Emisia fără recul a razelor  $\gamma$ . Un nucleu aflat într-o stare excitată poate emite un foton (rază  $\gamma$ ) în timpul tranziției către starea sa fundamentală, sau neexcitată. Poate avea loc și procesul invers: un nucleu aflat în starea fundamentală poate absorbi un foton, trecând într-o stare excitată (vezi fig. 12.10).

Presupunem că preparăm o sursă care conține nuclee excitate. În timp, sursa va emite fotoni. Fotonii sînt lăsați să ciocnească un material absorbant care conține nuclee de același tip, aflate însă în starea fundamentală. Aceste nuclee vor absorbi fotonii incidenti pe care îi vor reemite mai târziu. Acest fenomen de absorbție și reemisie se numește *fluorescență nucleară*. Fotonii emiși (atît de sursă cit și de absorbant) vor avea un spectru energetic de lărgime  $\Gamma$ , ca în figura 12.11.  $\Gamma$  este litera grecească gamma mare.

Un exemplu instructiv este furnizat de nucleul  $^{57}\text{Fe}$ . Acesta se formează în stare excitată, ca produs de dezintegrare a  $^{57}\text{Co}$ .

(d) Arătați că, dacă o treime din masa Soarelui ar fi hidrogen, iar procesul de fuziune ar continua fără modificări, Soarele ar continua să radieze cu aceeași putere ca și în prezent, timp de încă  $3 \cdot 10^{10}$  ani.

15. *Propulsarea datorită presiunii radiației.* Un dispozitiv posibil de propulsare în spațiul cosmic constă dintr-o foaie metalică reflectătoare de mare suprafață, legată de un mic vehicul spațial. Faceți estimări rezonabile referitoare la accelerațiile pe care le-ar căpăta un astfel de vehicul la distanța de 1 UA față de Soare.

16. *Impulsul unui puls laser.* Un laser mare poate produce un puls luminos cu energia de 2000 J.

(a) Arătați că impulsul acestui puls este de ordinul  $10^{-5} \text{ kg} \cdot \text{m/s}$ .

(b) Analizați cum poate fi măsurat acest impuls. Durata pulsului poate fi de 1 ms ( $10^{-3} \text{ s}$ ).

În starea excitată, nucleul  $^{57}\text{Fe}$  emite un foton de energie 14,4 keV, trecînd în starea fundamentală.

Considerăm nucleul  $^{57}\text{Fe}$  într-o stare excitată și presupunem că nucleul se află inițial în repaus în vid. Atunci cînd este emis fotonul, nucleul va recula în sens opus.

(a) Care este frecvența  $\nu$  a fotonului de energie 14,4 keV? Reamintim că  $E = h\nu$ , unde  $h$  este constanta lui Planck, iar  $E$  este energia.

$$R: 3,5 \cdot 10^{18} \text{ Hz.}$$

(b) Impulsul fotonului este  $h\nu/c$ . Care este impulsul de recul al nucleului?

$$R: 7,7 \cdot 10^{-29} \text{ kg} \cdot \text{m/s.}$$

(c) Arătați că energia de recul  $R$  a nucleului este:

$$R = \frac{E^2}{2Mc^2},$$

unde  $M$  este masa nucleului, iar  $E$  este energia fotonului. Evaluați energia  $R$  pentru  $^{57}\text{Fe}$ , în eV.

$$R: 2 \cdot 10^{-3} \text{ eV}$$



Nivelele energetice nucleare nu sînt perfect monocromatice ci au o lărgime  $\Gamma$ , dată de relația de incertitudine:

$$\tau\Gamma \approx \frac{h}{2\pi},$$

unde  $\tau$  este timpul de viață al stării. Pentru raze  $\gamma$  de joasă energie, ca cea dată de  $^{57}\text{Fe}$ , lărgimea nivelelor energetice nucleare poate fi mult mai mică decît energia de recul  $R$ . În această situație, razele  $\gamma$  emise nu mai pot fi reabsorbite de un nucleu aflat în repaus întrucît frecvența este modificată (vezi fig. 12.11 și 12.12).

O metodă de acordare a frecvențelor emițătorului și receptorului este aceea de a imprima sursei o viteză în raport cu receptorul.

(d) Care este viteza necesară în cazul nucleului  $^{57}\text{Fe}$ ?

(e) Mössbauer a observat că în cazul fotonilor emiși de anumite cristale, impulsul de recul este preluat de întregul cristal și nu de nucleul individual. La temperatura camerei, aproximativ 70% din fotonii emiși de un cristal de Fe nu dau, în acest sens, efecte de recul. Calculați energia  $R$  pentru un foton emis fără recul, dacă masa cristalului de Fe este de  $10^{-3}$  kg.

R:  $2 \cdot 10^{-25}$  eV, ceea ce este complet neglijabil.

## NOTĂ ISTORICĂ

**Relația dintre masă și energie.** Primul articol al lui Einstein referitor la teoria restrînsă a relativității, intitulat „Asupra electrodinamicii corpurilor în mișcare” a apărut în Annalen der Physik 17: 891–921 (1905). Acest volum din Annalen conține trei articole clasice ale lui Einstein: unul referitor la interpretarea cuantică a efectului fotoelectric (pag. 132–148); unul referitor la mișcarea browniană (pag. 549–560) și cel referitor la teoria restrînsă a relativității, citat mai sus (multe dintre rezultatele conținute în acest articol au fost anticipate de către Larmor, Lorentz și alții). În același an, a apărut în vol. 18 pag. 639–641, un mic articol al lui Einstein,

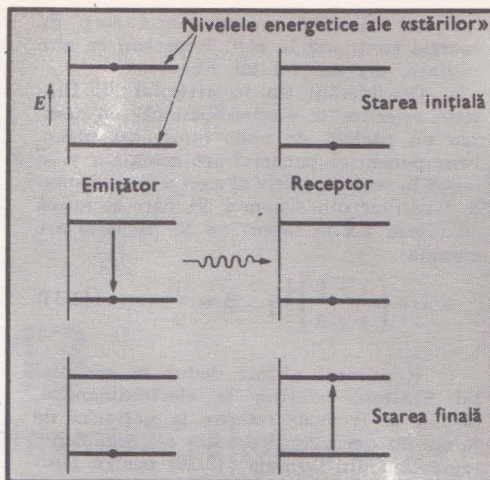


FIG. 12.10. Variația nivelelor energetice nucleare în timpul emisie și absorbției radiației

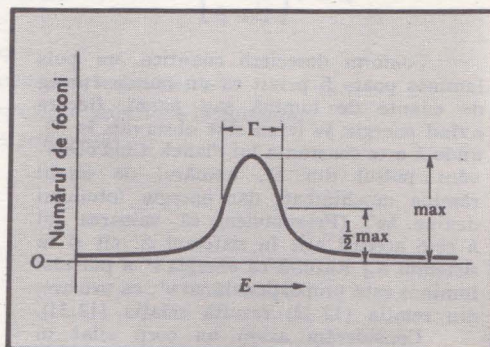


FIG. 12.11. Distribuția de energie a razelor  $\gamma$  datorată lărgimii nivelului energetic nuclear

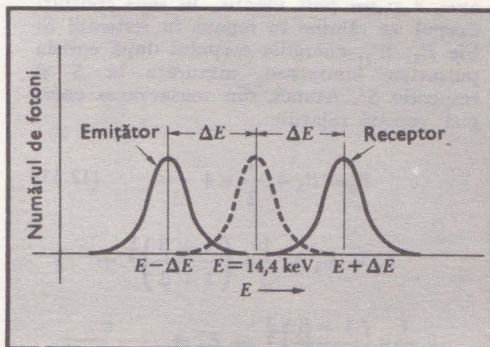


FIG. 12.12. Deplasările curbei energetice a razelor  $\gamma$  pentru emisia și absorbția nucleară.



intitulat „Depinde inerția unui corp de energia conținută în el?” Repetăm, cu alte cuvinte, argumentul lui Einstein:

Considerăm (ca în articolul lui Einstein referitor la electrodinamică) un tren, sau un pachet, de unde luminoase plane. Presupunem că pachetul are energia  $\epsilon$  și se mișcă în sensul pozitiv al axei  $x$  din sistemul  $S$ . Observat din sistemul  $S'$ , care se mișcă cu viteza  $V$  în raport cu  $S$ , pachetul are energia:

$$\epsilon' = \epsilon \left( \frac{1 - \beta}{1 + \beta} \right)^{\frac{1}{2}}; \quad \beta = \frac{V}{c}. \quad (12.31)$$

Rezultatul a fost dedus în articolul lui Einstein referitor la electrodinamică, fără a se fi făcut referire la noțiunea de foton. El decurge direct din alt argument: remarcăm din formula (12.28) pentru efectul Doppler longitudinal, că frecvențele măsurate de observatori aflați în repaus în sistemele  $S'$  și respectiv  $S$  sint legate prin relația:

$$\nu' = \nu \left( \frac{1 - \beta}{1 + \beta} \right)^{\frac{1}{2}}. \quad (12.32)$$

Conform descrierii cuantice, un puls luminos poate fi privit ca un număr întreg de cuante de lumină sau *fotoni*, fiecare avînd energie  $h\nu$  (cînd sint observați în  $S$ ), unde  $h$  este constanta lui Planck. Cînd observăm pulsul din  $S'$ , numărul de fotoni rămîne neschimbat, dar energia fotonului devine  $h\nu'$ . (Presupunem că valoarea lui  $h$  este aceeași atît în sistemul  $S'$  cît și în sistemul  $S$ .) Rezultă că energia  $\epsilon'$  a pulsului luminos este proporțională cu  $\nu'$ ; ca urmare, din relația (12.32) rezultă relația (12.31).

Considerăm acum un corp aflat în repaus în sistemul  $S$  și presupunem că energia sa inițială este  $E_0$  în  $S$  și  $E'_0$  în  $S'$ . Presupunem că corpul emite un puls luminos de energie  $\frac{1}{2}\epsilon$  în sensul pozitiv al

axei  $x$  și un puls identic, în sens contrar. Corpul va rămîne în repaus în sistemul  $S$ . Fie  $E_1$ ,  $E'_1$ , energiile corpului după emisia pulsurilor luminoase, măsurate în  $S$  și respectiv  $S'$ . Atunci, din conservarea energiei, rezultă relațiile:

$$E_0 = E_1 + \frac{1}{2}\epsilon + \frac{1}{2}\epsilon \quad (12.33)$$

$$\begin{aligned} E'_0 &= E'_1 + \frac{1}{2}\epsilon \left( \frac{1 - \beta}{1 + \beta} \right)^{\frac{1}{2}} + \\ &+ \frac{1}{2}\epsilon \left( \frac{1 + \beta}{1 - \beta} \right)^{\frac{1}{2}} = E'_1 + \frac{\epsilon}{(1 - \beta^2)^{\frac{1}{2}}} \end{aligned} \quad (12.34)$$

din care, prin scădere obținem:

$$E_0 - E'_0 = E_1 - E'_1 + \epsilon - \frac{\epsilon}{(1 - \beta^2)^{\frac{1}{2}}}. \quad (12.35)$$

Diferența de energie  $E'_0 - E_0$  trebuie să fie tocmai energia cinetică  $E_{c0}$  a corpului, măsurată în  $S'$ , deoarece corpul se află inițial în repaus în sistemul  $S$ . În mod similar,  $E'_1 - E_1$  este energia cinetică finală  $E_{c1}$ , măsurată în  $S'$ . Așadar, ecuația (12.35) poate fi scrisă sub forma:

$$E_{c0} - E_{c1} = \epsilon \left[ \frac{1}{(1 - \beta^2)^{\frac{1}{2}}} - 1 \right].$$

Vedem că energia cinetică a corpului scade în urma emisiei de lumină. Scăderea este independentă de proprietățile corpului. Dacă  $\beta \ll 1$ , atunci:

$$E_{c0} - E_{c1} \approx \frac{1}{2}\epsilon\beta^2 = \frac{1}{2}\frac{\epsilon}{c^2}V^2,$$

astfel încît masa de repaus a corpului scade cu

$$\Delta M = \frac{\epsilon}{c^2}.$$

Din această relație, Einstein a dedus că: *dacă un corp cedează energia  $\epsilon$  sub formă de radiație, masa lui scade cu  $\epsilon/c^2$* . Evident, nu importă faptul că energia luată de la corp devine energie de radiație, astfel încît sintem conduși la concluzia mai generală că:

Masa unui corp este o măsură a energiei conținute în el; dacă energia variază cu  $\epsilon$ , atunci masa variază în același sens cu  $\epsilon/(9 \cdot 10^{16})$ , energia fiind măsurată în Jouli, iar masa în kg.

Nu este imposibil ca pentru corpuri a căror energie este puternic variabilă (de exemplu, săruri de radium), teoria să fie supusă unei verificări concludente.

Dacă teoria concordă cu faptele experimentale, atunci radiația transportă masă inertă între emițător și receptor.

## LECTURI SUPLIMENTARE

M. Born, *Teoria relativității a lui Einstein* („Einstein's Theory of Relativity”), capitolul 6, §(7-9), (retipărire) Dover Publications, Inc., New York, 1962.

A. P. French, *Relativitatea restrînsă* („Special Relativity”), capitolul 7, W. W. Norton & Company, Inc., New York, 1968.

C. Kacser, *Introducere în teoria restrînsă a relativității* („Introduction to the Special Theory of Relativity”) capitolele 5-7, Ediție broșată Co-Op, Prentice-Hall, Inc., Englewood Cliffs, N. J., 1967.

# 13

## Probleme de dinamică relativistă

### Cuprins

Accelerarea unei particule încărcate de către un câmp electric longitudinal constant

Accelerarea de către un câmp electric transversal

Particula încărcată în câmp magnetic

Sistemul centrului de masă și energia de prag

Exemplu. Energia de prag în fotoproducerea mezonilor  $\pi^0$ .

Exemplu. Energia pe care o poate furniza o particulă în mișcare.

Exemplu. Pragul de producere a antiprotonului.

Exemplu. Efectul Compton.

*Probleme*

*Notă istorică: sincrotronul*

*Lecturi suplimentare*



Am analizat în capitolul 3 o serie de probleme referitoare la mișcarea nerelativistă a particulelor în câmpuri electrice și magnetice. De asemenea, am discutat în capitolele 3, 4 și 6, ciocnirile neelastice ale particulelor nerelativiste. Extindem acum câteva dintre soluții la domeniul relativist. De multe ori, soluțiile nu prezintă dificultăți speciale, iar o parte dintre ele sînt de mare importanță pentru fizica energiilor înalte și pentru astrofizică.

Este binecunoscut faptul că în ciocnirea particulelor cu energie foarte mare, pot fi create particule noi, inexistente înainte de ciocnire, prin transformarea energiei în masă. În sistemul centrului de masă, toată energia cinetică a particulelor incidente poate participa la crearea unor particule noi și a unor stări energetice excitate. Orice reacție care conduce la o anumită configurație de noi particule sau stări excitate este caracterizată de un prag energetic de la care reacția poate avea loc. Dacă în reacții intervin energii relativiste, atunci, partea din energia în sistemul laboratorului, reprezentată de această energie de prag a centrului de masă, este mai mică decît în cazul nerelativist. Aceasta este o considerație importantă în fizica energiilor înalte. Un exemplu este dat la pagina 405.

Faptul că impulsul unei particule relativiste accelerate poate crește indefinit, chiar dacă viteza variază puțin, atunci cînd are valori apropiate de  $c$ , stă la baza funcționării marilor acceleratoare și a analizei după impulsuri a particulelor de mare energie cu ajutorul câmpului magnetic de deflecție. Metodele de deflecție magnetică sînt folosite pe scară largă în cercetările asupra particulelor de mare energie.

Pentru a ne forma obișnuința în efectuarea unor operații standard, vom studia mai întîi accelerarea unei particule relativiste de către un câmp electric.

## ACCELERAREA UNEI PARTICULE ÎNCĂRCATE DE CĂTRE UN CÂMP ELECTRIC LONGITUDINAL CONSTANT<sup>1</sup>

Ecuția de mișcare a unei particule de sarcină  $q$  și masă de repaus  $M$  într-un câmp electric uniform<sup>2</sup>  $\mathcal{E}\hat{x}$  este:

$$\dot{p}\hat{x} = q\mathcal{E}\hat{x} \quad (13.1)$$

<sup>1</sup> Studentul care vrea să verifice corectitudinea formulei (13.1) trebuie să-și reamintească egalitatea (12.30). O analiză detaliată este făcută în volumul 2.

<sup>2</sup> Notăm aici câmpul electric cu  $\mathcal{E}$  pentru a nu-l confunda cu energia  $E$ .

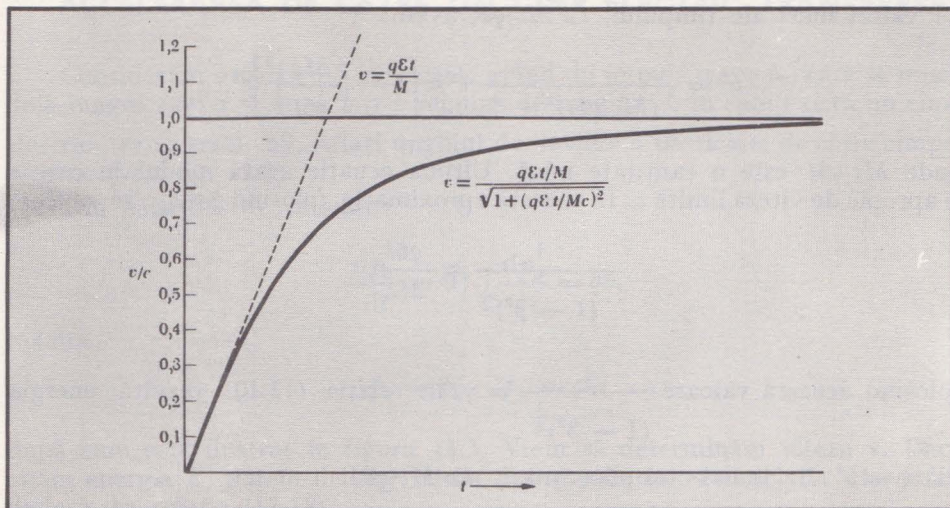


FIG. 13.1. Viteza  $v$  a unei particule de sarcină  $q$  și masă de repaus  $M$ , accelerate din repaus de către un câmp electric  $\mathcal{E}$ , ca funcție de timp. Pentru  $t \gg 0$ , viteza  $v$  se apropie de limita  $c$ . Linia punctată reprezintă viteza sarcinii prezisă de mecanica nerelativistă.

sau, scriind  $p = Mv/(1 - v^2/c^2)^{1/2}$  obținem:

$$M \frac{d}{dt} \frac{v}{(1 - v^2/c^2)^{1/2}} = q\mathcal{E}, \quad (13.2)$$

unde am presupus  $v_y = v_z = 0$ , așa cum se întâmplă la accelerarea din repaus în direcția  $x$ . Integrând ecuația (13.2) în raport cu timpul, vedem imediat că:

$$p = M \frac{v}{(1 - v^2/c^2)^{1/2}} = q\mathcal{E}t$$

cu  $v(0) = 0$ . Ridicând la pătrat și rearanjând termenii, sau folosind relațiile (12.11) și (12.18), obținem:

$$v^2 = \frac{(q\mathcal{E}t/Mc)^2}{1 + (q\mathcal{E}t/Mc)^2} c^2. \quad (13.3)$$

În figura 13.1 este reprezentat grafic raportul  $v/c$  în funcție de  $t$ . Pentru valori mici ale timpului<sup>1</sup>,  $t < Mc/q\mathcal{E}$ , numărătorul din expresia (13.3) poate fi înlocuit cu unu și rezultă:

$$v^2 \approx \left( \frac{q\mathcal{E}}{M} t \right)^2 = \frac{p^2}{M^2},$$

ca și în cazul aproximației nerelativiste din capitolul 3.

<sup>1</sup> Dacă  $\mathcal{E} = 3 \cdot 10^4$  V/m, avem pentru un electron:

$$\frac{mc}{q\mathcal{E}} \approx \frac{10^{-30} \times 3 \times 10^8}{5 \times 10^{-15}} \approx 10^{-7} \text{ s.}$$



La valori mari ale timpului,  $t \gg Mc/q\mathfrak{E}$ , avem:

$$v^2 = \frac{1}{(Mc/q\mathfrak{E}t)^2 + 1} c^2 \approx \left[ 1 - \left( \frac{Mc}{q\mathfrak{E}t} \right)^2 \right] c^2,$$

unde  $Mc/q\mathfrak{E}t$  este o cantitate mică. Ultima ecuație arată modul în care  $v$  se apropie de viteza limită  $c$ . În această aproximație, folosind  $\beta \equiv v/c$  se obține:

$$\frac{1}{(1 - \beta^2)^{\frac{1}{2}}} \approx \frac{q\mathfrak{E}t}{Mc}.$$

Folosind această valoare  $\frac{1}{(1 - \beta^2)^{\frac{1}{2}}} = \gamma$  în relația (12.10) rezultă energia relativistă<sup>1</sup> în limita timpilor mari,  $t \gg Mc/q\mathfrak{E}$ ,

$$E = \frac{Mc^2}{(1 - \beta^2)^{\frac{1}{2}}} \approx q\mathfrak{E}ct.$$

Rezultatul este egal tocmai cu produsul dintre forță și distanța străbătută în timpul  $t$  cu viteza  $c$ . În aceeași limită, impulsul este:

$$p \approx q\mathfrak{E}t \approx \frac{Mc}{(1 - \beta^2)^{\frac{1}{2}}} = \frac{E}{c}.$$

Remarcați particularitatea tipic relativistă că impulsul și energia cresc continuu, chiar după ce viteza s-a plafonat practic, și că energia este proporțională cu  $p$  și nu cu  $p^2$ .

Spațiul parcurs se calculează extrăgând radicalul în egalitatea (13.3) și scriind  $v = dx/dt$ :

$$dx = \frac{(q\mathfrak{E}/Mc)t}{1 + (q^2\mathfrak{E}^2 t^2 / M^2 c^2)} c dt. \quad (13.4)$$

Integrând de la 0 la  $t$ , obținem distanța:

$$x = \frac{Mc^2}{q\mathfrak{E}} \left\{ \left[ 1 + \left( \frac{q\mathfrak{E}t}{Mc} \right)^2 \right]^{\frac{1}{2}} - 1 \right\}. \quad (13.5)$$

Am presupus  $x = 0$  și  $v = 0$  la  $t = 0$ . Remarcați că dacă  $q\mathfrak{E}t/Mc \gg 1$ , atunci  $x \approx ct$ , în timp ce dacă  $q\mathfrak{E}t/Mc \leq 1$ ,  $x \approx \frac{1}{2} (q\mathfrak{E}/M) t^2$ , ceea ce reprezintă cazul nerelativist.

<sup>1</sup> Expresia generală a energiei  $E$  obținută din formula (12.11) este:

$$E^2 = M^2 c^4 + q^2 \mathfrak{E}^2 t^2 c^2.$$

## ACCELERAREA DE CĂTRE UN CÎMP ELECTRIC TRANSVERSAL

Considerăm o particulă încărcată, avînd un impuls mare  $p_0$ , care se mișcă de-a lungul axei  $x$  și intră într-o regiune de lungime  $L$  în care există un cîmp electric transversal,  $\mathcal{E}$ . Aflați unghiul de deviere a particulei de către cîmpul electric (vezi fig. 13.2).

Din ecuațiile de mișcare:

$$\frac{dp_x}{dt} = 0; \quad \frac{dp_y}{dt} = q\mathcal{E},$$

rezultă:

$$p_x = p_0; \quad p_y = q\mathcal{E}t,$$

după cum este ilustrat în figura 13.3. Vrem să determinăm viteza  $\mathbf{v}$ . Dacă aflăm energia  $E$ , putem deduce viteza din impuls, folosind relația  $\mathbf{v} = \mathbf{p}c^2/E$  dedusă din relația (12.18).

Energia este dată de expresia:

$$E^2 = M^2c^4 + p^2c^2 = M^2c^4 + p_0^2c^2 + (q\mathcal{E}t)^2 = E_0^2 + (q\mathcal{E}t)^2, \quad (13.6)$$

unde  $E_0$  este energia inițială. Atunci, din formula (13.6) și din relația viteză — impuls, avem

$$v_x = \frac{p_0c^2}{[E_0^2 + (q\mathcal{E}t)^2]^{\frac{1}{2}}}. \quad (13.7)$$

$$v_y = \frac{q\mathcal{E}tc^2}{[E_0^2 + (q\mathcal{E}t)^2]^{\frac{1}{2}}}. \quad (13.8)$$

Remarcați că  $v_x$  descrește atunci cînd  $t$  crește (vezi fig. 13.4). Observăm, de asemenea, că  $v_y$  este totdeauna mai mic decît valoarea sa nerelativistă  $q\mathcal{E}t/M$ . La momentul  $t$ , unghiul  $\theta$  pe care îl face traiectoria cu axa  $x$  este dat de:

$$\operatorname{tg} \theta(t) = \frac{v_y}{v_x} = \frac{q\mathcal{E}tc^2}{p_0c^2} = \frac{q\mathcal{E}t}{p_0}.$$

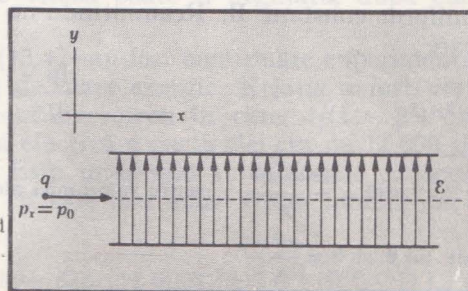


FIG. 13.2. Presupunem că o sarcină  $q$ , avînd impulsul inițial  $p_x$ , pătrunde într-un cîmp electric transversal  $\mathcal{E}$ .



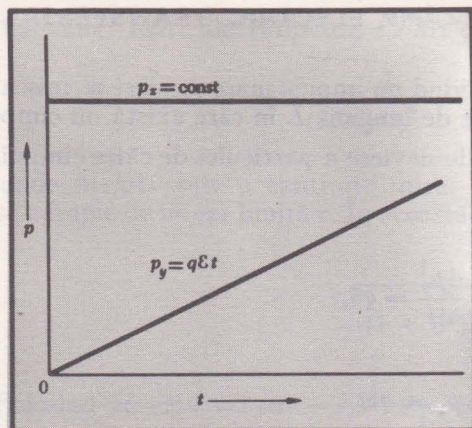


FIG. 13.3. Forța în direcția  $y$  este  $q\mathcal{E}$ , astfel încît  $p_y = q\mathcal{E}t$ , în timp ce  $p_x$  rămîne constant. Energia:  $E = c \sqrt{(p_x^2 + p_y^2) + M^2 c^2}$  crește.

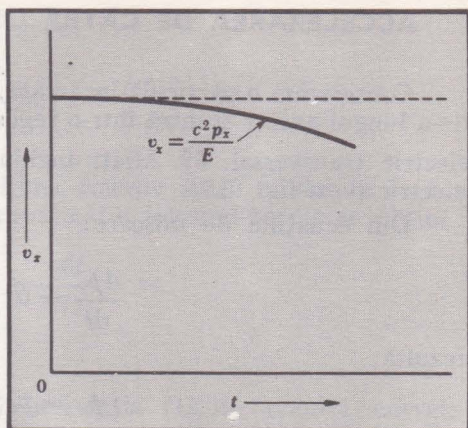


FIG. 13.4. Întrucît  $v_x = c^2 p_x / E$ , viteza  $v_x$  *descrește* atunci cînd particula este accelerată în direcția  $y$ . Mecanica nerelativistă ar fi prezis, desigur,  $v_x = \text{const}$ .

Timpul  $t_L$  necesar pentru a străbate distanța  $L$  se calculează integrînd ecuația (13.7)

$$\int_0^L dx = p_0 c^2 \int_0^{t_L} \frac{dt}{[E_0^2 + (q\mathcal{E}tc)^2]^{\frac{1}{2}}},$$

sau, folosind formula 728.1 din Dwight

$$L = \frac{p_0 c}{q\mathcal{E}} \operatorname{arc sh} \frac{q\mathcal{E}t_L c}{E_0},$$

adică

$$t_L = \frac{E_0}{q\mathcal{E}c} \operatorname{sh} \frac{q\mathcal{E}L}{p_0 c}.$$

## PARTICULA ÎNCĂRCATĂ ÎN CÎMP MAGNETIC

Vom considera, în cele ce urmează, o importantă problemă practică, tratînd despre mișcarea unei particule de sarcină  $q$  într-un cîmp magnetic uniform constant  $\mathbf{B}$ . Reamintindu-ne ecuația (3.23) scriem ecuația de mișcare:

$$\frac{d\mathbf{p}}{dt} = q\mathbf{v} \times \mathbf{B}. \quad (13.9)$$

$$^1 \operatorname{sh} \theta = \frac{e^\theta - e^{-\theta}}{2}; \text{ pentru valori mici ale lui } \theta, \operatorname{sh} \theta \approx \theta \text{ în timp ce pentru valori mari}$$

$$\text{ale lui } \theta, \operatorname{sh} \theta \approx \frac{e^\theta}{2}.$$

Ca și în cazul nerelativist (cap. 3, pagina 94) avem  $dp^2/dt = 0$ , deoarece:

$$\frac{d}{dt} p^2 = 2\mathbf{p} \cdot \frac{d\mathbf{p}}{dt} = 2q\mathbf{p}(\mathbf{v} \times \mathbf{B}),$$

iar  $\mathbf{p}$  este totdeauna paralel cu  $\mathbf{v}$ , astfel încît produsul mixt este nul. Așadar, mărimea impulsului și, corespunzător, mărimea vitezei particulei rămîn neschimbate într-un cîmp magnetic constant. Dar, dacă numai direcția particulei este modificată de către cîmp, atunci factorul:

$$\frac{M}{(1 - v^2/c^2)^{\frac{1}{2}}}, \quad (13.10)$$

care intră în definiția lui  $\mathbf{p}$ , este constant.

Ecuția de mișcare (13.9) poate fi scrisă sub forma:

$$\frac{d\mathbf{p}}{dt} = \frac{M}{(1 - v^2/c^2)^{\frac{1}{2}}} \frac{d\mathbf{v}}{dt} = q\mathbf{v} \times \mathbf{B}. \quad (13.11)$$

Întrucît expresia (13.10) este constantă, ecuația de mai sus are soluții în care particula se mișcă pe o orbită circulară aflată într-un plan perpendicular pe  $\mathbf{B}$  (vezi cap. 3, pag. 94—99). Fie  $\rho$  raza cercului și  $\omega_c$  viteza unghiulară a mișcării, pentru cazul  $\mathbf{v}$  perpendicular pe  $\mathbf{B}$  (vezi fig. 13.5). Înlocuind în ecuația (13.11)  $d\mathbf{v}/dt$  cu accelerația centripetă  $\omega_c^2 \rho$  și pe  $v$  cu  $\omega_c \rho$ , obținem:

$$\frac{M}{(1 - v^2/c^2)^{\frac{1}{2}}} \omega_c^2 \rho = q\omega_c \rho B$$

din care rezultă:

$$\boxed{\omega_c = \frac{qB(1 - v^2/c^2)^{\frac{1}{2}}}{M}}. \quad (13.12)$$

Observăm că frecvența mișcării este mai joasă pentru particulele rapide decît pentru cele care se mișcă lent. Așadar, ciclotronul poate fi folosit pentru accelerarea particulelor la energii relativiste, doar dacă radiofrecvența cîmpului de accelerare (sau inducția magnetică) este modulată în așa fel încît să satisfacă la orice moment relația (13.12), pe măsură ce energia particulei crește. În figura 13.6 este trasat graficul acestei relații. Pentru particule nerelativiste dependența frecvenței de viteză poate fi neglijată, după cum am văzut în capitolul 3.

Valorile lui  $\omega_c$  prezise de formula (13.12) au fost confirmate experimental în timpul funcționării acceleratoarelor de mare energie. Relația a fost verificată pentru electroni accelerați într-un sincrotron în care  $1/(1 - \beta^2)^{1/2} \approx 12\,000$ , adică în situații în care masa efectivă a particulei era de 12 000 de ori mai mare decît masa de repaus. Este interesant de observat că acest număr arată, în termeni de  $c - v$ , cu cît este mai mare viteza luminii decît viteza particulei. Avem în adevăr:

$$1 - \beta^2 = (1 + \beta)(1 - \beta) \approx 2(1 - \beta) \approx (12\,000)^{-2} \approx 7,0 \cdot 10^{-9}. \quad (13.13)$$



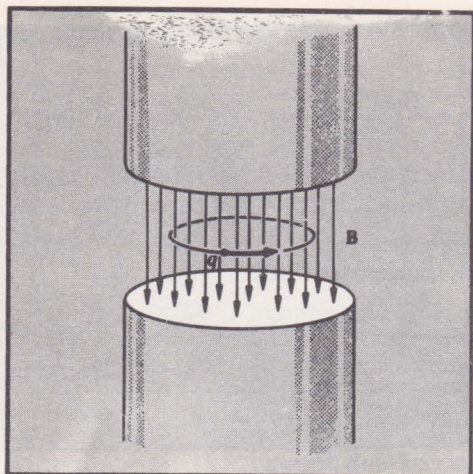


FIG. 13.5. O sarcină cu viteza  $v$ , perpendiculară pe un câmp magnetic uniform, efectuează o mișcare circulară, pe un cerc de rază  $\rho = p/qB$ .

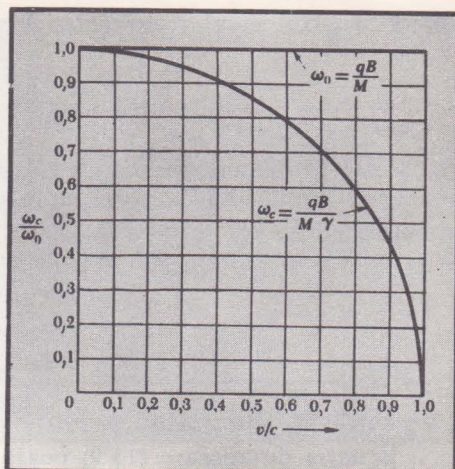


FIG. 13.6. Frecvența ciclotronică  $\omega_c$  a mișcării circulare a unei sarcini  $q$ , cu masa de repaus  $M$ , în planul perpendicular pe câmpul magnetic uniform  $B$ , este reprezentată ca funcție de raportul  $v/c$ . Frecvența ciclotronică nerelativistă  $\omega_0$  este reprezentată de linia orizontală.

Remarcați că am pus  $1 + \beta \approx 2$ . Din relația (13.13) avem:

$$1 - \beta = \frac{c - v}{c} \approx 3,5 \cdot 10^{-9}; \quad c - v \approx 1 \text{ m/s}.$$

În acceleratorul de protoni de la Serpukhov din Uniunea Sovietică, protonii sînt injectați la o energie de 100 MeV pe o orbită circulară într-un câmp magnetic și accelerați pînă la circa 80 000 MeV. Aceasta corespunde la o variație a lui  $\beta$  de la 0,43 la  $1 - 6,8 \cdot 10^{-5}$ .

Folosind expresia (13.12), rezultă raza de girație  $\rho$  a unei particule relativiste într-un câmp magnetic:

$$\rho = \frac{v}{\omega_c} = \frac{Mv}{qB(1 - \beta^2)^{\frac{1}{2}}}.$$

Membrul drept conține impulsul  $p$ , astfel încît<sup>1</sup>:

$$B\rho = \frac{p}{q}.$$

Rezultă că raza  $\rho$  a cercului descris de o particulă încărcată care se mișcă în câmp magnetic este o măsură directă a impulsului relativist. Această relație este cea mai importantă metodă independentă de măsurare a impulsurilor particulelor relativiste încărcate.

<sup>1</sup> În sistemul CGS, în care forța Lorentz se scrie  $\mathbf{F} = \frac{q}{c} \mathbf{v} \times \mathbf{B}$ , relația capătă forma

$$B\rho = \frac{cp}{q}, \quad (\text{N.T.})$$

## SISTEMUL CENTRULUI DE MASĂ ȘI ENERGIA DE PRAG

Conservarea energiei impune în general o limitare asupra reacțiilor nucleare sau fenomenelor care pot avea loc la ciocnirea a două particule. De exemplu, un foton de mare energie (rază  $\gamma$ ) poate produce o pereche electron-pozitron conform reacției:

$$\gamma \rightarrow e^- + e^+,$$

numai dacă energia razei  $\gamma$  este mai mare decât energia corespunzătoare maselor de repaus ale electronului și pozitronului. Așadar, doar conservarea energiei impune faptul că pragul sau energia minimă de producere a perechii electron-pozitron este:

$$E_\gamma = 2mc^2 \approx 1,02 \cdot 10^6 \text{ eV}.$$

Reamintim din capitolul 9, pagina 313, că masa de repaus a pozitronului este egală cu masa de repaus a electronului.

Această reacție este, cu toate acestea, imposibilă în spațiul liber, oricât de mare ar fi energia, întrucât impulsul nu se poate conserva. Am văzut în capitolul 12 că impulsul fotonului este  $p_\gamma = \frac{E_\gamma}{c}$ . Vom observa această

reacție în sistemul centrului de masă al perechii electron-pozitron. În acest sistem, suma dintre impulsurile electronului și pozitronului este zero:

$$p_{e^-} + p_{e^+} = 0.$$

Dar, în acest sistem, impulsul fotonului incident nu este zero, deoarece nu există *nici un* sistem în care impulsul fotonului să poată fi făcut egal cu zero<sup>1</sup>. Așadar, în sistemul centrului de masă

$$p_\gamma \neq p_{e^-} + p_{e^+} = 0,$$

iar reacția  $\gamma \rightarrow e^- + e^+$  nu poate avea loc întrucât nu se conservă impulsul. Dacă reacția nu poate avea loc într-un sistem, ea nu poate avea loc în nici un sistem.

Reacția poate avea loc în vecinătatea altei particule, ca de exemplu un nucleu sau un atom, pentru că atunci nucleul poate absorbi variația de impuls. El absoarbe variația de impuls acționînd într-un sens sau altul asupra particulelor încărcate, prin intermediul cîmpului său coulombian. Avem atunci:

$$p_\gamma + p_{nuc} = p'_{nuc} + p_{e^-} + p_{e^+}.$$

Impulsul nucleului variază în timpul reacției, dar altfel nucleul rămîne nemodificat și acționează doar ca un catalizator de tipul cel mai simplu. Impulsul nuclear inițial poate fi nul.

O particulă grea sau un nucleu poate absorbi o mare variație de impuls, fără să absoarbă multă energie. Aceasta se vede din forma energiei cinetice nerelativiste:

$$E_c = \frac{1}{2} M v^2 = \frac{p^2}{2M}.$$

<sup>1</sup> Putem modifica frecvența fotonului trecînd de la un sistem la altul, dar nu-l putem face să dispară sau să-l aducem în repaus prin acest procedeu.



Cu cât masa  $M$  este mai mare, cu atât energia cinetică asociată unui impuls dat, este mai mică.

## EXEMPLU

**Energia de prag în fotoproducerea mezonilor  $\pi^0$ .** Masa mezonului  $\pi^0$  este de 135 MeV. Care este energia minimă a unei raze  $\gamma$  care poate produce în sistemul laboratorului reacția:

$$\gamma + p = \pi^0 + p,$$

dacă protonul inițial se află în repaus?

Este instructiv să se considere această problemă din două puncte de vedere diferite: în sistemul laboratorului și în sistemul centrului de masă.

(1) În sistemul laboratorului (vezi fig. 13.7) o rază  $\gamma$  de mare energie ciocnește un proton aflat în repaus, iar produsele de reacție, la prag, sînt un proton și un mezon  $\pi^0$  care se mișcă împreună cu viteza  $\beta c$ , în sensul de mișcare al razei  $\gamma$ . Scriem legile de conservare ale impulsului și energiei. (Observați că în ecuațiile de mai jos,  $\gamma = (1 - \beta^2)^{-1/2}$  și nu trebuie confundat cu simbolul pentru razele  $\gamma$ , din discuția precedentă.)

$$\text{Energia: } h\nu_{lab} + M_p c^2 = \frac{(M_p + M_\pi) c^2}{\sqrt{1 - \beta^2}} = \gamma(M_p + M_\pi) c^2. \quad (13.14)$$

$$\text{Impulsul: } \frac{h\nu_{lab}}{c} = \frac{(M_p + M_\pi) \beta c}{\sqrt{1 - \beta^2}} = \gamma(M_p + M_\pi) \beta c.$$

Putem elimina pe  $h\nu_{lab}$  și să rezolvăm în funcție de  $\beta$  și  $\gamma$ :

$$h\nu_{lab} = \gamma(M_p + M_\pi) \beta c^2$$

$$\gamma(M_p + M_\pi) \beta c^2 + M_p c^2 = \gamma(M_p + M_\pi) c^2$$

Punind  $M_\pi/M_p = \alpha$ , obținem:

$$1 + \gamma\beta(1 + \alpha) = \gamma(1 + \alpha)$$

sau

$$\sqrt{1 - \beta^2} = (1 + \alpha)(1 - \beta)$$

ceea ce dă:

$$\beta = \frac{\alpha(2 + \alpha)}{2 + 2\alpha + \alpha^2} \quad (13.15)$$

și

$$\gamma = \frac{2 + 2\alpha + \alpha^2}{2(1 + \alpha)}.$$

Rezolvînd acum pentru  $h\nu_{lab}$ :

$$h\nu_{lab} = \frac{M_p c^2 \alpha(1 + \alpha)(2 + \alpha)}{2(1 + \alpha)} = \frac{M_\pi c^2}{2} (2 + \alpha) \quad (13.16)$$

sau

$$h\nu_{lab} = 144,7 \text{ MeV},$$

unde am folosit valoarea:

$$\alpha = \frac{135}{938} = 0,144.$$

(2) În sistemul centrului de masă (vezi fig. 13.8) scriem:

$$\text{energia: } h\nu_{c.m.} + \gamma M_p c^2 = (M_p + M_\pi) c^2$$

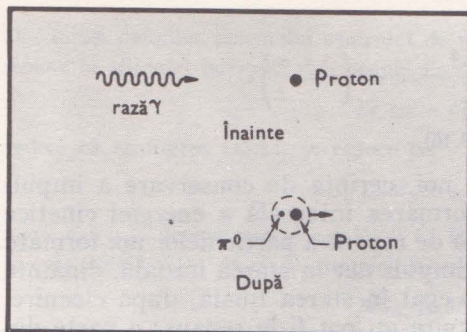


FIG. 13.7. În sistemul laboratorului, o rază  $\gamma$  ciocnește un proton aflat în repaus și produce un proton și un mezon  $\pi^0$ , care, pentru a conserva impulsul la prag, trebuie să se deplaseze împreună în direcția razei  $\gamma$ .

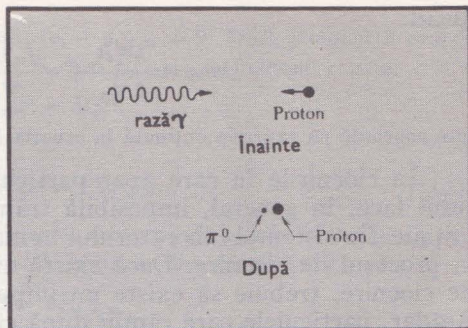


FIG. 13.8. Sistemul centrului de masă. O rază  $\gamma$  și un proton se deplasează unul către celălalt, cu impulsuri egale. După interacție, protonul și mezonul  $\pi^0$  rămân în repaus, dacă reacția are loc la prag.

$$\text{și impulsul: } \frac{h\nu_{c.m.}}{c} = \gamma M_p \beta c$$

unde  $\beta$  și  $\gamma$  se referă acum la mișcarea inițială a protonului în sistemul centrului de masă. Folosind aceeași notație ca mai sus și eliminând  $h\nu_{c.m.}$ , rezultă:

$$\gamma(\beta + 1) = 1 + \alpha; \quad \frac{\beta + 1}{\alpha + 1} = \sqrt{1 - \beta^2}$$

și

$$\beta = \frac{\alpha(2 + \alpha)}{2 + 2\alpha + \alpha^2},$$

care este același cu  $\beta$  obținut din ecuația (13.15) de mai sus, așa cum și trebuia să fie, întrucât în sistemul centrului de masă protonul și mezonul  $\pi^0$  se află în repaus în starea finală. Continuând calculul, găsim:

$$h\nu_{c.m.} = M_\pi c^2 \frac{2 + \alpha}{2(1 + \alpha)} = 126,5 \text{ MeV.} \quad (13.17)$$

Putem afla, de asemenea,  $h\nu_{c.m.}$  din  $h\nu_{lab}$  aplicind formula pentru efectul Doppler (ec. 12.28)

$$h\nu_{c.m.} = h\nu_{lab} \sqrt{\frac{1 - \beta}{1 + \beta}} = \frac{M_\pi c^2}{2} (2 + \alpha) \frac{1}{1 + \alpha},$$

ceea ce concordă cu valoarea din relația (13.17).

Un mod mai simplu de a rezolva problema este acela de a ține seama că  $E^2 - p^2 c^2$  este un invariant. Scriem acest lucru în sistemul laboratorului, pentru situația dinainte și de după ciocnire și obținem:

$$(h\nu_{lab} + M_p c^2)^2 - \left( \frac{h\nu_{lab} c}{c} \right)^2 = [\gamma(M_p + M_\pi) c^2]^2 - [\beta \gamma(M_p + M_\pi) c^2]^2, \quad (13.18)$$

ceea ce dă:

$$2h\nu_{lab} M_p c^2 + M_p^2 c^4 = (M_p + M_\pi)^2 c^4,$$

unde am folosit relația:

$$\gamma^2 - \beta^2 \gamma^2 = 1.$$



Atunci:

$$h\nu_{lab} = \frac{M^2 c^2}{2M_p} + \frac{M_\pi M_p c^2}{M_p} = M_\pi c^2 \left( 1 + \frac{\alpha}{2} \right),$$

care concordă cu expresia obținută în ecuația (13.16).

În ciocnirile în care apar particule noi, cerința de conservare a impulsului face, în general, imposibilă transformarea integrală a energiei cinetice inițiale din sistemul laboratorului în masă de repaus a particulelor noi formate în procesul de ciocnire. Dacă există un impuls net în starea inițială, dinainte de ciocnire, trebuie să existe un impuls egal în starea finală, după ciocnire. Așadar, particulele care rămân după ciocnire nu pot fi în repaus; o parte din energia cinetică inițială este transferată particulelor finale ca energie cinetică.

Singurul caz în care *toată* energia cinetică din reacție este disponibilă, este acela în care impulsul stării inițiale este zero. Impulsul poate fi făcut totdeauna egal cu zero prin observarea ciocnirii dintr-un sistem de referință potrivit — sistemul centrului de masă.

## EXEMPLU

Energia pe care o poate furniza o particulă în mișcare. Câtă energie se poate elibera la ciocnirea unui proton în mișcare cu un proton în repaus?

Presupunem întâi că energia cinetică a protonului incident este mult mai mică decât  $M_p c^2$ , astfel încît ciocnirea poate fi tratată nerelativist. Dacă protonul incident are viteza  $v$  în sistemul laboratorului, atunci energia sa cinetică este:

$$E_{c, lab} = \frac{1}{2} M_p v^2. \quad (13.19)$$

În sistemul centrului de masă un proton are viteza  $\frac{1}{2} v$ , iar celălalt, viteza  $-\frac{1}{2} v$ . În sistemul centrului de masă toată energia cinetică este disponibilă pentru producerea altor particule, această energie cinetică este:

$$E_{c, c.m.} = \frac{1}{2} M_p \left( \frac{1}{2} v \right)^2 + \frac{1}{2} M_p \left( \frac{1}{2} v \right)^2 = \frac{1}{4} M_p v^2. \quad (13.20)$$

Din relațiile (13.19) și (13.20) obținem rezultatul nerelativist:

$$\frac{E_{c, c.m.}}{E_{c, lab}} = \frac{1}{2}$$

așadar, este disponibilă jumătate din energie în sistemul laboratorului. Dacă accelerăm un proton la 50 MeV, numai 25 MeV din această energie este capabilă, la ciocnirea acestui proton de un alt proton în repaus, să creeze particule noi.

Eficiența este și mai scăzută în regiunea relativistă; ea se calculează imediat.

Putem lega energia relativistă totală în sistemul laboratorului de energie relativistă totală în sistemul centrului de masă, folosind proprietatea de invarianță [relația (12.11) folosită de asemenea și în ecuația (13.18) de mai sus] aplicată sistemului de doi protoni:

$$\underbrace{(E_1 + E_2)^2 - (\mathbf{p}_1 + \mathbf{p}_2)^2 c^2}_{\text{laborator}} = \underbrace{(E_1 + E_2)^2 - (\mathbf{p}_1 + \mathbf{p}_2)^2 c^2}_{\text{centru de masă}}. \quad (13.21)$$

Din însăși definiția sistemului centrului de masă,  $(p_1 + p_2)_{c.m.} = 0$ . Dacă protonul 2 este în repaus în sistemul laboratorului, atunci  $E_{2, lab} = M_p c^2$  și  $p_{2, lab} = 0$ . Folosind relația:

$$E_{1, lab}^2 - p_{1, lab}^2 c^2 = M_p^2 c^4,$$

vedem că egalitatea (13.21) se reduce la:

$$2E_{1, lab} M_p c^2 + 2M_p^2 c^4 = E_{tot, c.m.}^2, \quad (13.22)$$

unde  $E_{tot, c.m.}$  desemnează suma  $E_1 + E_2$  în sistemul centrului de masă. Dacă  $E_{tot, lab}$  este energia totală  $E_1 + M_p c^2$  în sistemul laboratorului, obținem din relația (13.22) că:

$$2E_{tot, lab} M_p c^2 = E_{tot, c.m.}^2.$$

sau

$$\frac{E_{tot, c.m.}}{E_{tot, lab}} = \frac{2M_p c^2}{E_{tot, c.m.}}. \quad (13.23)$$

Aceasta dă o măsură a „eficienței”. Pentru a obține o energie totală de 20 GeV în sistemul centrului de masă, pentru  $M_p c^2 \approx 1$  GeV, avem nevoie de:

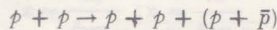
$$E_{tot, lab} = \frac{E_{tot, c.m.}^2}{2M_p c^2} \approx \frac{400}{2} \approx 200 \text{ GeV}.$$

În acest caz, circa 20 GeV din energia cinetică a protonului de 200 GeV din sistemul laboratorului, este disponibilă pentru crearea de noi particule.

Din cauza eficienței scăzute în cazul ciocnirii unei particule relativiste cu o particulă în repaus, s-au construit acceleratoare cu fascicule încrucișate de electroni, în care se ciocnesc două fascicule de electroni cu impulsuri egale și de semn contrar, precum și un nou inel de accelerare pentru acceleratorul de protoni de 28 GeV de la CERN<sup>1</sup>, astfel încît pot fi efectuate și experiențe cu fascicule încrucișate de protoni.

## EXEMPLU

**Pragul de producere a antiprotonului.** Energia bevatronului de la Berkeley a fost proiectată astfel încît să poată produce antiprotoni (notați  $\bar{p}$ ) prin bombardarea protonilor aflați în repaus cu protoni de mare energie. Reacția poate fi scrisă sub forma:



adică, se produce o pereche proton-antiproton. Sarcina se conservă întrucît antiprotonul are sarcina  $-e$ . Care este energia de prag a reacției?

Energia de repaus a perechii proton-antiproton este  $2M_p c^2$ , deoarece masa de repaus a antiprotonului este egală cu masa de repaus a protonului. Așadar, în sistemul centrului de masă energia cinetică trebuie să fie cel puțin  $2M_p c^2$ , ceea ce înseamnă  $M_p c^2$  pentru fiecare dintre cei doi protoni inițiali. La aceasta trebuie adăugată energia de repaus  $M_p c^2$  a fiecăruia dintre protonii inițiali, astfel încît energia totală în sistemul centrului de masă este:

$$E_{tot, c.m.} = 4M_p c^2.$$

În sistemul laboratorului energia corespunzătoare este, din ecuația (13.23):

$$E_{tot, lab} = \frac{E_{tot, c.m.}^2}{2M_p c^2} = \frac{16}{2} M_p c^2,$$

<sup>1</sup> Conseil Européen pour la Recherche Nucléaire (Consiliul European pentru Cercetarea Nucleară) institut de cercetări din Geneva, Elveția, la care încrează împreună cercetători din mai multe țări europene.



din care  $2M_{pc^2}$  este energia de repaus a celor doi protoni, iar  $6M_{pc^2}$  este energie cinetică. Așadar energia de prag a reacției este

$$6M_{pc^2} = 6(0,938 \text{ GeV}) \approx 5,63 \text{ GeV}.$$

Dacă protonul incident se ciocnește cu un proton legat în nucleu, energia de prag este mai mică, intrucât protonul țintă este legat. Puteți spune de ce? Energia de prag observată pentru producerea antiprotonilor, atunci cînd protonii se ciocnesc cu nuclee, este de circa 4,4 GeV, cu 1,2 GeV mai mică decît cea calculată pentru o țintă de protoni liberi în repaus. Acest prag este energia cinetică minimă pe care trebuie s-o aibă protonul incident în sistemul laboratorului, pentru ca reacția să aibă loc.

## EXEMPLU

**Efectul Compton.** Efectul Compton este una dintre cele mai convingătoare manifestări a naturii corpusculare a undelor electromagnetice. Presupunem că studenților le este binecunoscut caracterul ondulatoriu al luminii ca, de exemplu, faptul că lungimea de undă poate fi determinată din efecte de interferență. În 1922, Compton (pentru o analiză detaliată a efectului Compton, vezi volumul 4) a arătat că atunci cînd unde electromagnetice din domeniul razelor  $X$  (lungimea de undă de ordinul  $10^{-10}$  m) interacționează cu electroni liberi, ele se comportă ca niște particule în ciocniri elastice. Am văzut deja că energia caracteristică, sau energia cuantică, asociată undelor electromagnetice de frecvență  $\nu$ , este  $h\nu$ ; impulsul corespunzător este  $h\nu/c$ . Figura 13.9 ilustrează impulsurile într-o ciocnire cu un electron în care raza  $X$  este împrăștiată la unghiul  $\theta$ , cu frecvența micșorată  $\nu'$ .

$$\text{Impulsul longitudinal: } \frac{h\nu}{c} = \frac{h\nu'}{c} \cos \theta + \gamma m \beta c \cos \Phi.$$

$$\text{Impulsul transversal: } \frac{h\nu'}{c} \sin \theta = \gamma m \beta c \sin \Phi.$$

$$\text{Energia: } mc^2 + h\nu = h\nu' + \gamma mc^2.$$

Vom calcula  $\nu'$  în funcție de  $\theta$ , eliminînd  $\beta$  și  $\Phi$ . Fie:

$$\frac{h\nu}{mc^2} = \alpha; \quad \frac{h\nu'}{mc^2} = \alpha'$$

$$\alpha = \alpha' \cos \theta + \gamma \beta \cos \Phi$$

$$\alpha' \sin \theta = \gamma \beta \sin \Phi.$$

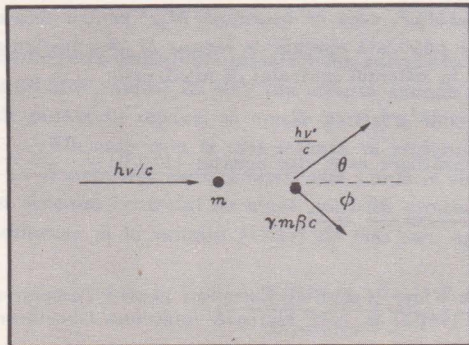


FIG. 13.9. Efectul Compton. Impulsurile înainte și după ciocnire.

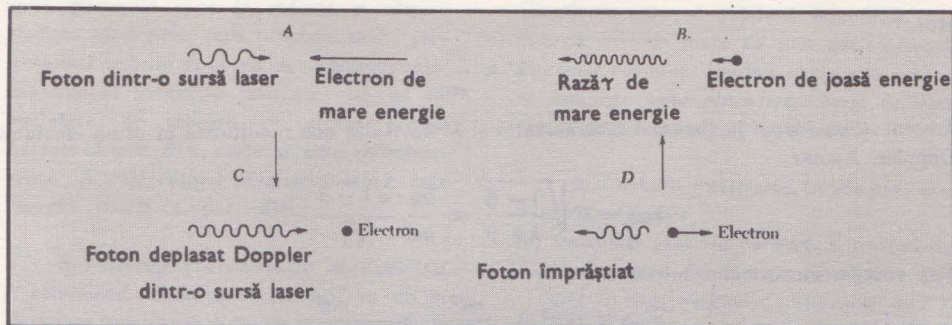


FIG. 13.10. Efectul Compton invers.  $A$  și  $B$  sînt stările în sistemul laboratorului. Transformarea discutată în text trece pe  $A$  în  $C$ .  $C \rightarrow D$  prin efect Compton ( $\theta = \pi$ ) iar transformarea duce înapoi pe  $D$  în  $B$ .

După cîteva calcule nu prea complicate, obținem:

$$\alpha - \alpha' = \alpha \alpha' (1 - \cos \theta)$$

$$\frac{h\nu}{mc^2} - \frac{h\nu'}{mc^2} = \frac{h^2 \nu \nu'}{m^2 c^4} (1 - \cos \theta).$$

$$\frac{1}{\nu'} - \frac{1}{\nu} = \frac{h}{mc^2} (1 - \cos \theta)$$

$$\lambda' - \lambda = \frac{h}{mc} (1 - \cos \theta).$$

Același rezultat poate fi obținut rezolvînd problema în sistemul centrului de masă și apoi trecînd înapoi în sistemul laboratorului, dar aceasta complică mult calculele.

O aplicație recentă în care intervine efectul Compton este folosirea acceleratoarelor de electroni de mare energie și a laserilor pentru a produce raze  $\gamma$  de mare energie prin efect Compton invers. Să privim ciocnirea ilustrată în figura 13.10. Pentru a calcula energia razelor  $\gamma$ , trecem în sistemul pe care l-am folosit mai sus, în care electronul este în repaus.

Fotonul produs de un laser și care a suferit o deplasare Doppler are energia:

$$h\nu_c = h\nu \sqrt{(1 + \beta)/(1 - \beta)}$$

[relația (12.28)] (am folosit  $\nu_c$  pentru a ne referi la fig. 13.10, C) sau:

$$\lambda_c = \lambda \sqrt{\frac{1 - \beta}{1 + \beta}},$$

unde  $\beta$  este raportul  $v/c$  pentru electron și este  $\approx 1$ . Considerăm acum împrăștierea înapoi a fotonului care a suferit deplasarea Doppler, astfel încît:

$$\lambda' - \lambda_c = \frac{h}{mc} (1 - \cos \pi) = \frac{2h}{mc}.$$

Dacă,

$$\beta \approx 1 \text{ astfel încît } \lambda_c \ll \frac{h}{mc},$$

<sup>1</sup> În problema 13 de la sfîrșitul acestui capitol se cere soluția exactă.



atunci

$$\lambda' \approx \frac{2h}{mc}$$

Trecem acum înapoi la sistemul laboratorului și  $\lambda'$  va fi din nou modificată în urma efectului Doppler. Așadar

$$\lambda_{lab} \approx \lambda' \sqrt{\frac{1-\beta}{1+\beta}} \approx \frac{2h}{mc} \frac{\sqrt{1-\beta}}{\sqrt{2}}$$

Dar energia electronului inițial este:

$$E_{lab} \approx \gamma mc^2 = \frac{mc^2}{\sqrt{1-\beta^2}} \approx \frac{mc^2}{\sqrt{2}\sqrt{1-\beta}}$$

$$\lambda_{lab} \approx \frac{2h}{mc} \frac{1}{\sqrt{2}} \frac{mc^2}{\sqrt{2} E_{lab}} \approx \frac{h}{mc} \frac{mc^2}{E_{lab}}$$

Atunci, vom avea, în această aproximație:

$$\frac{c}{\lambda_{lab}} \approx \frac{mc^2}{h} \cdot \frac{E_{lab}}{mc^2} \approx \nu_{lab}$$

și

$$h\nu_{lab} \approx E_{lab}$$

unde  $E$  este energia electronului; aproape toată energia cinetică trece asupra fotonului. Efectul Compton invers este important în probleme de astrofizică (vezi probl. 12 și 13).

## PROBLEME

1. *Protonul în câmp magnetic.* Calculați raza de rotație și frecvența de rotație a unui proton având energia relativistă totală de 30 GeV, într-un câmp magnetic cu inducția de 1,5 T.

$$R: \omega_c = 4,5 \cdot 10^6 \text{ rad/s.}$$

2. *Reculul nuclear.* Care este energia de recul (exprimată în Jouli și în electron-volți) a unui nucleu de masă  $10^{-26}$  kg, după emisiia unei raze  $\gamma$  de 1 MeV? (Vezi cap. 12, teme avansate.)

$$R: 1,4 \cdot 10^{-17} \text{ J; } 90 \text{ eV.}$$

3. *Ciocnirea electron-proton.* Un electron cu energia de 10 GeV se ciocnește cu un proton aflat în repaus.

(a) Care este viteza în sistemul centrului de masă?

(b) Care este energia disponibilă pentru producerea de noi particule? (Exprimați-o în unități de  $M_{pc^2}$ .)

4. *Frecvența ciclotronică la energii înalte.* La energii înalte frecvența ciclotronică depinde de viteza particulei accelerate. Pentru a menține sincronismul

între particula care se rotește și câmpul electric alternativ care o accelerează, proiectantul trebuie să ceară ca radiofrecvența, sau câmpul magnetic (sau ambele), să fie modulate pe măsură ce viteza crește. Arătați că  $\omega \propto B/E$ , unde  $\omega$  este radiofrecvența,  $B$  este câmpul magnetic, iar  $E$  este energia totală a particulei.

5. Frecvențele ciclotronice nerelativistă și relativistă. Ciclotronul de 4,67 m de la Berkeley funcționează la un câmp magnetic fixat, de inducție 2,3 T.

- (a) Calculați frecvența ciclotronică nerelativistă a protonilor în acest câmp.  
 $R: 2,2 \cdot 10^8 \text{ rad/s.}$
- (b) Calculați frecvența corespunzătoare unei energii cinetice finale de 720 MeV.

#### 6. Legi de conservare

- (a) Arătați că un electron care se deplasează în vid cu viteza  $v$  nu poate emite o singură cantă de lumină. Arătați, cu alte cuvinte, că un astfel de proces de emisie ar încălca legile de conservare.
- (b) Un atom de hidrogen aflat într-o stare electronică excitată poate emite o cantă de lumină. Arătați că într-un astfel de proces legile de conservare pot fi satisfăcute. Cum vă explicați diferența dintre situațiile prezentate în cazurile a și b?

7. Proton de mare energie. Calculați impulsul, energia totală și energia cinetică a unui proton ( $M_p c^2 = 0,94 \text{ GeV}$ ) pentru care  $\beta \equiv v/c = 0,99$ , în următoarele cazuri:

- (a) În sistemul laboratorului.  
 $R: 6,58 \text{ GeV}/c; 6,65 \text{ GeV}; 5,71 \text{ GeV.}$
- (b) În sistemul propriu al particulei.
- (c) În sistemul centrului de masă al protonului și al unui nucleu de heliu în repaus ( $M_{He} \approx 4M_p$ ).
- (d) În sistemul centrului de masă al protonului și al unui proton în repaus.

8. Particule provenite din raze cosmice. Aflați raza orbitei unei particule de sarcină  $e$  și energie  $10^{19} \text{ eV}$  într-un câmp magnetic de  $10^{-10} \text{ T}$ . (Această valoare este rezonabilă pentru câmpul magnetic al galaxiei noastre.) Comparați cu diametrul galaxiei.

(Particule care să producă fenomene la o energie atât de mare au fost găsite efectiv în razele cosmice, ele dau naștere la ceea ce se numește *jerbe atmosferice largi* de electroni, pozitroni, raze  $\gamma$  și mezonii.)

#### 9. Curbura traiectoriei în câmpuri electrice și magnetice

- (a) Calculați raza de curbură a traiectoriei unui proton de energie cinetică 1 GeV într-un câmp magnetic transversal de 2 T.  
 $R: 2,83 \text{ m.}$

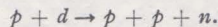
- (b) Ce câmp electric transversal este necesar pentru a produce aproximativ aceeași rază de curbură? Folosiți faptul că raza de curbură a curbei  $y(x)$  este dată de

formula  $\rho = [1 + (dy/dx)^2]^{3/2} / (d^2y/dx^2)$  și calculați  $\rho$  în punctul în care protonul intră în câmpul electric, știind că  $dy/dx = 0$ , iar  $d^2y/dx^2$  poate fi calculat din  $d^2y/dt^2$  și  $x = vt$ .

$R: 5,25 \cdot 10^8 \text{ V/m.}$

- (c) Considerați mărimea câmpului electric de la punctul (b) și discutați posibilitatea folosirii câmpului electric pentru deflecția particulelor relativiste.

10. Dezintegrarea deuterului. Considerăm reacția nucleară în care un proton incident de energie cinetică  $E_{c,p}$  ciocnește și desface în componentele sale un deuteron aflat în repaus, conform reacției:



În apropiere de prag, cei doi protoni și neutronul se mișcă ca o îngrămădire nelegată, cu aproximativ aceeași viteză. Scrieți expresiile nerelativiste pentru impuls și energie și arătați că energia cinetică de prag,  $E_{c,p}^0$ , a protonului incident este:

$$E_{c,p}^0 = \frac{3}{2} E_L,$$

unde  $E_L$  ( $\approx 2 \text{ MeV}$ ) este energia de legătură a deuterului în raport cu protonul și neutronul liberi.

11. Pragul nerelativist al mezonului  $\pi^0$ . Folosiți expresiile nerelativiste pentru energia cinetică și impulsul protonului și mezonului  $\pi^0$  pentru calcularea pragului de fotoproducere [comparați cu ecuațiile (13.14)].



Care este diferența față de pragul calculat din formula (13.16)? Care este energia cinetică corectă a sistemului proton-mezon  $\pi^0$  la prag? Care este energia cinetică nerelativistă la prag?

$$R: h\nu_{\text{prag}} = M_{pc^2} [1 + \alpha - (1 - \alpha^2)^{\frac{1}{2}}].$$

### 12. Ciocnirea elastică electron-foton.

Care este energia cinetică a unui electron care este împrăștiat fără pierdere sau câștig de energie de către un foton cu energia de 10 000 eV? (Indicație: comparați

cu ciocnirea elastică în sistemul centrului de masă.)

$$R: 98 \text{ eV}.$$

13. *Efectul Compton invers.* Deduceți formula exactă pentru lungimea de undă a fotonului de lungime de undă  $\lambda$  împrăștiat înapoi de către un electron cu viteza  $\beta c$ .

Aplicați-o la cazul în care fotonul incident are energia  $h\nu = 3,0 \text{ eV}$ , iar electronul are energia totală  $1,02 \text{ MeV}$  ( $\gamma = 2$ ), pentru a găsi energia fotonului împrăștiat.

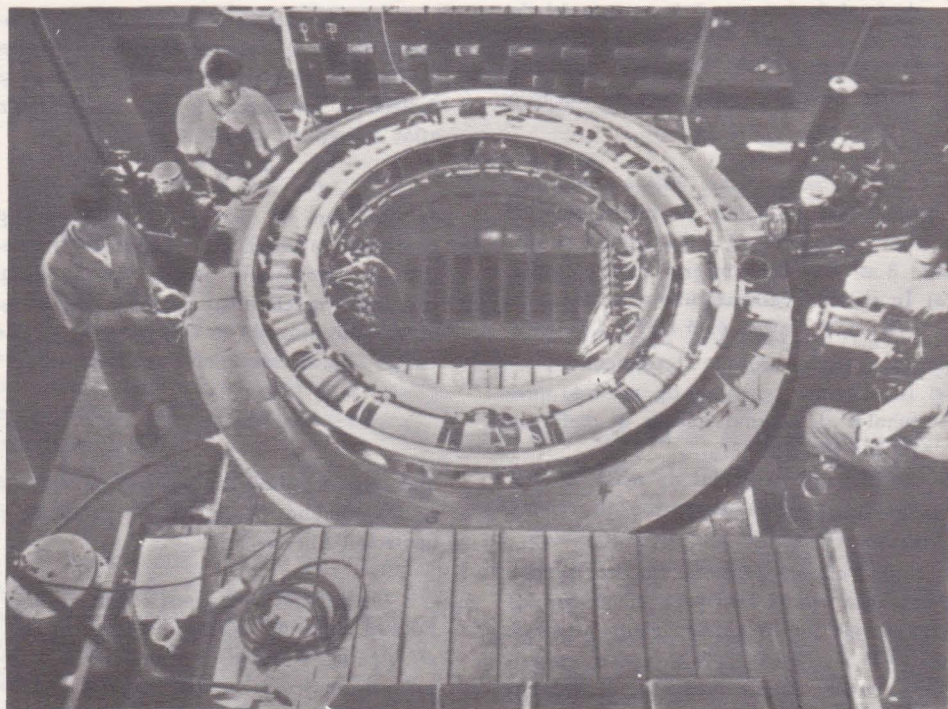
$$R: 41 \text{ eV}.$$

## NOTĂ ISTORICĂ

**Sincrotronul.** Principiul sincrotronului este folosit la toate acceleratoarele de mare energie în regiunea peste  $1 \text{ GeV}$ , cu excepția acceleratoarelor liniare de electroni, ca cel de la Stanford. Sincrotronul este o instalație destinată accelerării particulelor la energii

foarte mari. El este de fapt un ciclotron în care sau cîmpul magnetic, sau radio-frecvența aplicate sînt variate în timpul accelerării și în care faza particulelor în raport cu cîmpul electric de frecvență radio se adaptează în mod automat la valoarea

FIG. 13.11. Primul sincrotron electronic. (Fotografie făcută în Laboratorul Lawrence de la Berkeley.)





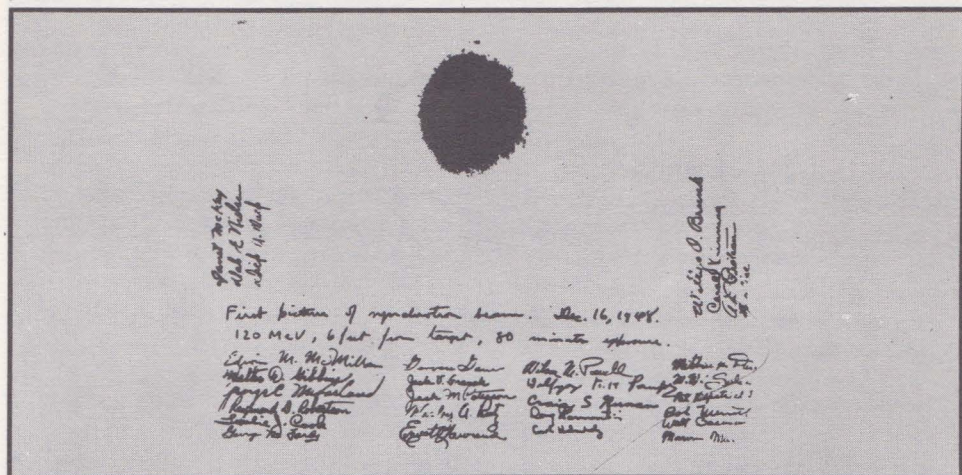


FIG. 13.12. Prima imagine a unui fascicul sincrotronic. (Fotografie făcută în Laboratorul Lawrence de la Berkeley.)

convenabilă pentru accelerare. Ideea modulației frecvenței sau a cîmpului nu era nouă; nouă era demonstrarea faptului că orbitele particulelor rămîn stabile în timpul modulației. Principiul sincrotronului a fost descoperit de V. Veksler la Moscova și independent de el de către E. M. McMillan la Berkeley.

O relatare completă a cercetărilor lui Veksler a apărut în *Journal of Physics*

(U.R.S.S.) 9: 153–158 (1945). Articolul lui McMillan a apărut în *Physical Review* 68: 143 (1945). Reproducem în facsimil articolul lui McMillan. Figura 13.11 este fotografia primului sincrotron construit sub conducerea lui McMillan, iar figura 13.12 este prima înregistrare fotografică a unui fascicul de raze X.

## LECTURI SUPLIMENTARE

C. Kacser, *Introducere în teoria restrînsă a relativității* („Introduction to the Special Theory of Relativity“), capitolul 7, Ediție broșată Co-Op, Prentice-Hall, Inc., Englewood Cliffs, N.J., 1967.

A.P. French, *Relativitatea restrînsă* („Special Relativity“), capitolul 6 W. W. Norton and Company, Inc., New York, 1968.

Lawrence Radiation Laboratory, *Introducere în detectarea particulelor nucleare în camera cu bule* („Introduction to the Detection of Nuclear Particles in a Bubble Chamber“), Ealing Press, Cambridge, Mass., 1964. O foarte frumoasă colecție de fotografii ale urmelor particulelor în camera cu bule (de privit cu un aparat stereoscopic).



# Sincrotronul — Propunere de accelerator de particule de mare energie

Edwin M. McMillan

Universitatea din California, Berkeley, California

5 septembrie 1945

Una dintre metodele folosite cu succes pentru accelerarea particulelor la energii foarte mari se bazează pe aplicarea repetată a unui câmp electric oscilant, ca în ciclotron. Dacă însă e nevoie de un număr mare de accelerații individuale, poate apărea o dificultate în a menține particulele în fază cu câmpul electric. În cazul ciclotronului, această dificultate apare în momentul în care variația relativistă a masei produce o variație apreciabilă a vitezei unghiulare a particulelor.

Dispozitivul propus aici folosește „stabilitatea de fază” pe care o au anumite orbite în ciclotron. Să considerăm, de exemplu, o particulă a cărei energie este astfel încât frecvența ei egalează frecvența câmpului electric. Această energie va fi numită energia de echilibru. Să presupunem în continuare că particula traversează spațiile de accelerare chiar în momentul în care câmpul electric se anulează, schimbându-se în așa fel încât dacă particula ajunge mai devreme, ea este accelerată. Această orbită este evident staționară. Pentru a arăta că este și stabilă, să presupunem că modificăm faza astfel încât particula să ajungă mai devreme în spațiul de accelerare. Atunci ea este accelerată; creșterea de energie produce o scădere a frecvenței, ceea ce face ca particula să ajungă mai târziu. Un argument similar arată că o abatere a energiei față de valoarea de echilibru tinde să se corecteze de la sine. Aceste orbite deplasate vor continua să oscileze, faza și energia lor variind în jurul valorilor de echilibru.

Pentru a accelera particulele este deci necesar să se schimbe valoarea energiei de echilibru, ceea ce poate fi făcut prin variația sau a cîmpului magnetic, sau a frecvenței. În timp ce energia de echilibru variază, faza se va deplasa înainte, în măsură suficientă spre a furniza forța de accelerare necesară; asemănarea acestei comportări cu aceea a motorului sincron a sugerat numele dispozitivului.

Ecuția care descrie variațiile fazei și energiei a fost dedusă ținându-se seama de variația temporală a cîmpului magnetic și a frecvenței, de accelerarea prin efectul betatron (viteza de variație a fluxului), de variația acesteia din urmă cu raza orbitei în timpul oscilațiilor și de pierderile pe energie prin ionizare și radiație. S-a presupus că perioada oscilațiilor fazei este mare în comparație cu perioada mișcării orbitale. Sarcina a fost luată egală cu sarcina electronică. Ecuția (1) definește energia de echilibru; (2) dă energia instantanee în funcție de valoarea de echilibru și de variația fazei iar (3) este „ecuația de mișcare” a fazei. Ecuția (4) determină raza orbitei.

$$E_0 = (300 \text{ cH}) / (2\pi f) \quad (1)$$

$$E = E_0 [1 - (d\Phi)/(d\theta)] \quad (2)$$

$$2\pi \frac{d}{d\theta} \left( E_0 \frac{d\Phi}{d\theta} \right) + V \sin \Phi =$$

$$= \left[ \frac{1}{f} \frac{dE_0}{dt} - \frac{300}{c} \frac{dF_0}{dt} + L \right] +$$

$$+ \left[ \frac{E_0}{f^2} \frac{df}{dt} \right] \frac{d\Phi}{d\theta} \quad (3)$$

$$R = (E^2 - E_p^2)^{\frac{1}{2}} / 300 H.$$

Simbolurile sint:

$E$  = energia totală a particulei (energie cinetică și de repaus),



$E_0$  = valoarea de echilibru a lui  $E$ ,

$E_r$  = energia de repaus,

$V$  = câștigul de energie pe rotație de la cîmpul electric, corespunzînd fazei de accelerare cea mai favorabilă,

$L$  = pierderea de energie per rotație prin ionizare și radiație,

$H$  = cîmpul magnetic pe orbită,

$F_0$  = fluxul magnetic pe orbita de echilibru,

$\Phi$  = faza particulei (poziția unghiulară în raport cu spațiul de accelerare atunci cînd cîmpul electric = 0),

$\theta$  = deplasarea unghiulară a particulei,

$f$  = frecvența cîmpului electric,

$c$  = viteza luminii,

$R$  = raza orbitei.

(Energile sînt date în eV, mărimile magnetice în sistemul CGS e.m., unghiurile în radiani, celelalte mărimi în unități CGS).

Se vede că ecuația (3) este identică cu ecuația de mișcare a pendulului fără restricții de amplitudine, termenii din dreapta fiind respectiv un cuplu constant și o forță de atenuare. Variația fazei este așadar oscilatorie atît timp cît amplitudinea nu este prea mare, amplitudinea permisă fiind egală cu  $\pm \pi$ , atunci cînd prima paranteză din dreapta este zero și egală cu zero atunci cînd această paranteză este egală cu  $V$ . Pe baza teoremei adiabactice, amplitudinea va scădea ca inversul rădăcinii a patra a lui  $E_0$ , deoarece  $E_0$  are rolul unei mase slab variabile în primul termen al ecuației; dacă frecvența scade, ultimul termen din dreapta va produce o atenuare suplimentară.

Aplicarea metodei va depinde de tipul particulelor care urmează a fi accelerate, deoarece energia inițială va fi

în orice caz apropiată de energia de repaus. În cazul electronilor,  $E_0$  va varia în cursul accelerării cu un factor mare. Nu este practic, în condițiile actuale, să se varieze frecvența cu un factor atît de mare, astfel încît se va prefera variația lui  $H$ , ceea ce are avantajul suplimentar că orbitele se apropie de o rază constantă. În cazul particulelor grele,  $E_0$  va varia mult mai puțin; de exemplu, pentru accelerarea protonilor la 300 MeV,  $E_0$  variază doar cu 30%. Astfel, pentru accelerarea particulelor grele, este practic să se varieze frecvența.

Un proiect posibil pentru un accelerator de electroni la 300 MeV este schițat mai jos:

cîmpul maxim  $H = 10\,000$  gauss,  
raza finală a orbitei = 100 cm,  
frecvența = 48 megacicli/s,  
energia de injectare = 300 kV,  
raza inițială a orbitei = 78 cm.

Deoarece raza crește cu 22 cm în timpul accelerării, cîmpul magnetic trebuie să acopere doar o coroană circulară de această lărgime, desigur cu o margine de toleranță pentru a asigura cîmpului o formă corespunzătoare. Cîmpul trebuie să scadă ușor cu raza, pentru a asigura stabilitatea radială și axială a orbitelor. Fluxul magnetic total este aproximativ 1/5 din cel necesar pentru a satisface condiția de flux în betatron, pentru aceeași energie finală.

Tensiunea electrozilor de accelerare depinde de viteza de variație a cîmpului magnetic. Dacă magnetul este excitat la 60 cicli, valoarea maximă a lui  $\frac{1}{f} \frac{dE_0}{dt}$  este 2 300 V. (Termenul be-

tatronic care conține  $\frac{dF_0}{dt}$  este apro-

ximativ 1/5 din această valoare și poate fi neglijat). Dacă luăm  $V = 10\,000$  V cel mai mare defazaj va fi 13°. Numărul de rotații pentru o oscilație de fază va varia de la 22 la 440 în decursul accelerării. Variația relativă a lui  $E_0$  în timpul unei perioade



de oscilație a fazei va fi 6,3% în momentul injectării, iar apoi va scădea. Așadar, presupunerea variației lente în timpul unei perioade, folosită în deducerea ecuațiilor, este valabilă. Pierderea de energie prin radiație este discutată în nota următoare, unde se arată că ea nu este importantă în condițiile de mai sus.

Aplicarea la particule grele nu va fi discutată în detaliu, dar pare probabil ca cea mai bună metodă să fie variația frecvenței. Deoarece această variație nu trebuie să aibă loc foarte rapid, ea poate fi executată cu ajutorul unor

instalații rotitoare mecanice, antrenate de un motor.

Sincrotronul oferă posibilități de a câștiga energii de ordinul miliardului de eV, atât pentru electroni, cât și pentru particule grele; în primul caz, costul în materiale și putere va fi mai mic decât în betatron; în al doilea, nu apare limitarea relativistă de energie din cazul betatronului.

În prezent se prevede construirea unui accelerator de electroni de 300 MeV folosind principiul de mai sus, la Laboratorul de Radiații al Universității din California, de la Berkeley.

# 14

## Principiul echivalenței

### Cuprins

Masa inertă și masa gravitațională

Masa gravitațională a fotonilor

Deplasarea gravitațională spre roșu

Deflecția fotonilor de către Soare

Precesia periheliului lui Mercur

Echivalența

Undele gravitaționale

Probleme

Notă istorică: pendulele lui Newton

Lecturi suplimentare



Vom discuta în acest capitol alte câteva aspecte ale relativității. Unele subiecte leagă teoria generală a relativității de teoria restrînsă discutată în capitolele 11—13.

## MASA INERTĂ ȘI MASA GRAVITAȚIONALĂ

Legea a doua a lui Newton poate fi folosită pentru a defini masa unui obiect, supunînd corpuri de diverse mase la aceeași forță și măsurînd accelerațiile corespunzătoare. Astfel:

$$M(1) a(1) = F = M(2) a(2)$$

$$\frac{M(2)}{M(1)} = \frac{a(1)}{a(2)}$$

și dacă punem  $M(1) = 1$ , atunci  $M(2)$  este unic determinată. Masa astfel determinată este cunoscută ca *masa inertă* și se notează cu  $M_i$ . Putem însă determina masa și prin măsurarea forței gravitaționale exercitate asupra corpului de către un alt corp, ca de pildă Pămîntul:

$$\frac{GM_g M_p}{R_p^2} = F; \quad M_g = \frac{FR_p^2}{GM_p}. \quad (14.1)$$

Masa astfel determinată este cunoscută sub numele de *masă gravitațională* și se notează cu  $M_g$ . În ecuația (14.1)  $M_p$  și  $R_p$  sînt masa și raza Pămîntului. Este remarcabil faptul că masa inertă a tuturor corpurilor este proporțională, în limita erorilor experimentale, cu masa gravitațională. (Putem considera că constanta  $G$  a fost determinată ca în experiența lui Cavendish, folosind definiția forței și implicînd așadar masa inertă.) Cea mai simplă experiență pentru a demonstra acest fapt este de a vedea dacă toate corpurile cad cu aceeași accelerație. Pentru un corp care cade aproape de suprafața Pămîntului, avem:

$$M_i(1) a(1) = \frac{GM_p M_g(1)}{R_p^2}. \quad (14.2)$$

iar pentru un alt corp:

$$M_i(2) a(2) = \frac{GM_p M_g(2)}{R_p^2}. \quad (14.3)$$

Împărțind ecuația (14.2) prin (14.3), rezultă:

$$\frac{M_i(1)}{M_i(2)} \frac{a(1)}{a(2)} = \frac{M_g(1)}{M_g(2)}$$

$$\frac{M_i(1)}{M_g(1)} = \frac{M_i(2)}{M_g(2)} \cdot \frac{a(2)}{a(1)}.$$

Dar observația directă arată că, în limita erorilor experimentale pentru corpurile care cad în vid avem relația  $a(2) = a(1)$ ; obținem așadar egalitatea raportelor maselor inerte și gravitaționale:

$$\frac{M_i(1)}{M_g(1)} = \frac{M_i(2)}{M_g(2)}. \quad (14.4)$$

Cîtă vreme acest raport este constant, putem face valoarea raportului din relația (14.4) egală cu unu, prin ajustarea corespunzătoare a valorii lui  $G$ ; adică, determinăm ca în experiența lui Cavendish forța  $F$  între masele  $M_i(1)$  și  $M_i(2)$ , măsurate în sistemul inerțial la distanța  $r$  una de cealaltă și punem:

$$G = \frac{F r^2}{M_i(1) M_i(2)}.$$

Sarcina experimentală este de a determina dacă apar variații ale raportului  $M_i/M_g$  pentru diverse particule, materiale sau obiecte.

Determinările clasice au fost făcute de către Newton folosind metoda pendulului descrisă în problema 1 de la sfîrșitul acestui capitol. Alte determinări celebre sînt cele ale lui R. Eötvös, care le-a început prin 1890 și le-a continuat timp de aproape 25 de ani. Metoda lui ingenioasă poate fi înțeleasă dacă se consideră un pendul suspendat la suprafața Pămîntului la latitudinea de  $45^\circ$  ca în figura 14.1. Asupra pendulului acționează forța gravitațională  $M_g \cdot g$  îndreptată spre centrul Pămîntului, precum și forța centrifugă<sup>1</sup>  $M_i \omega^2 R_p / \sqrt{2}$ , unde  $R_p / \sqrt{2}$  este raza cercului pe care se rotește bobita pendulului, datorită rotației Pămîntului. Forța centrifugă este îndreptată normal la axa de rotație, iar componenta sa orizontală se obține printr-o înmulțire cu  $\cos 45^\circ$  sau  $1/\sqrt{2}$ . Rezultanta celor două forțe face un unghi:

$$\theta \approx \frac{M_i \omega^2 R_p / 2}{M_g g - \frac{1}{2} M_i \omega^2 R_p} \approx \frac{M_i \omega^2 R_p}{2 M_g g}$$

cu direcția razei Pămîntului în punctul respectiv. Am folosit aici faptul că raportul  $M_i \omega^2 R_p / M_g \cdot g$  este un număr mic astfel că  $\tan \theta \approx \theta$ . Folosind datele de la începutul capitolului 4, vedem că acest raport are valoarea de aproximativ 0,003.

Să presupunem acum că pe un fir de torsiune sînt suspendate, ca în figura 14.2, două bobite din materiale diferite, avînd masele gravitaționale egale,  $M_g(1) = M_g(2)$ . Dacă  $M_i(1) = M_i(2)$ , atunci nu va exista nici un cuplu care să tîndă a răsuci firul de torsiune; această situație este ilustrată

<sup>1</sup> Ne plasăm într-un sistem de referință care se rotește odată cu Pămîntul.



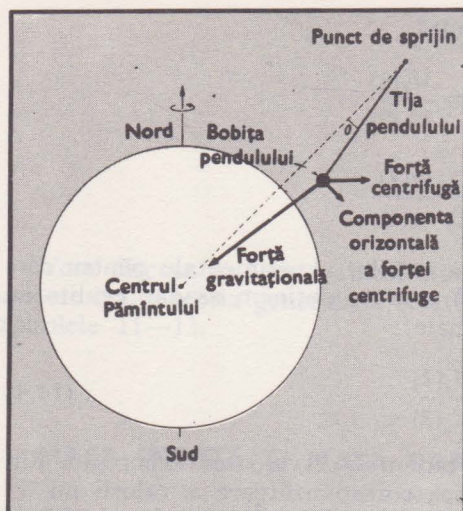


FIG. 14.1. Ilustrarea deznivelării pendulului de la verticală cu un unghi  $\theta$  din cauza forței centrifuge care apare ca urmare a rotației Pământului. În figură unghiul  $\theta$ , distanța dintre bobită și suprafața pământului, precum și forța centrifugă sînt mult amplificate.

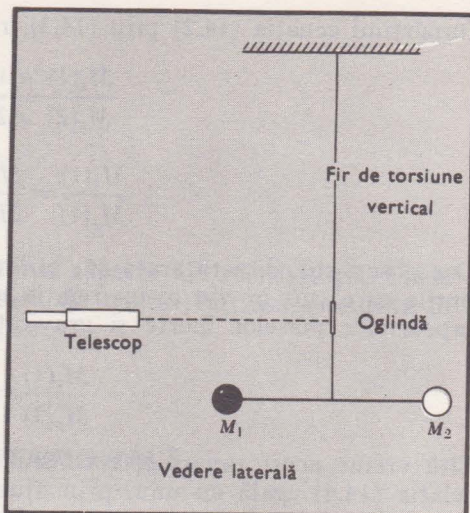


FIG. 14.2. Vedere laterală a unui aparat asemănător cu cel folosit de Eötvös pentru determinarea raportului dintre masa inertă și cea gravitațională. Corpurile  $M_1$  și  $M_2$  sînt de naturi diferite, dar au aceeași masă gravitațională.

în figura 14.3. Dacă însă  $M_i(1)$  este mai mare decît  $M_i(2)$ , atunci componenta orizontală a forței centrifuge asupra lui  $M(1)$  va fi mai mare decît cea asupra lui  $M(2)$  și firul se va răsuci sub acțiunea unui moment diferit de zero, ca în figura 14.4. Se repetă măsurătoarea după întoarcerea aparatului cu  $180^\circ$ ; aceasta ajută la determinarea poziției de echilibru a balanței. Experiența este un bun exemplu de aplicare a unei metode de zero: efectul ar fi observabil numai dacă  $M_i(1) \neq M_i(2)$ . Eötvös a comparat opt materiale diferite cu platina (Pt), luată ca etalon. El a găsit că:

$$\frac{M_i(1)}{M_g(1)} = \frac{M_i(\text{Pt})}{M_g(\text{Pt})},$$

FIG. 14.3. Dacă masele inerte ale corpurilor  $M_1$ ,  $M_2$  sînt egale, componentele orizontale ale forței centrifuge (cele două săgeți) sînt egale și în fir nu apare nicio torsiune.

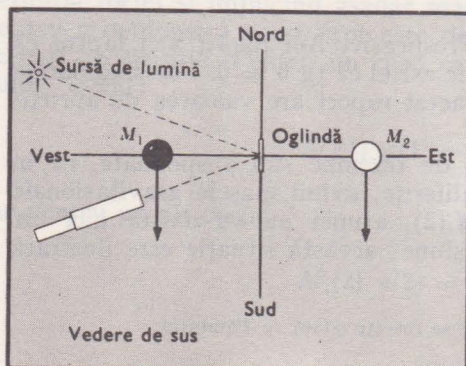
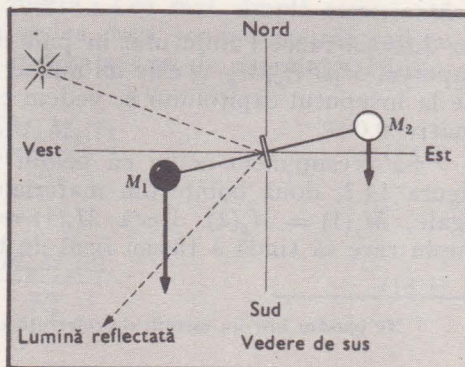


FIG. 14.4. Dacă masa inertă a lui  $M_1$  este mai mare decît cea a lui  $M_2$ , va apărea o răsucire a firului de torsiune și oglinda se va roti.





cu o eroare mai mică de  $1/10^8$ . Dicke și alții<sup>1</sup> au îmbunătățit experiența folosind aceeași tehnică de ansamblu. Rezultatele lor arată că raportul este egal cu unu, cu o eroare mai mică de  $1/3 \cdot 10^{10}$ .

Situația experimentală actuală poate fi sintetizată astfel:

Notînd cu  $Q$  raportul  $M_g/M_i$ , atunci:

1. Valoarea lui  $Q$  pentru un electron plus un proton este egală cu valoarea lui  $Q$  pentru un neutron cu o eroare de  $1/10^7$ . (Această comparație decurge direct din compararea elementelor ușoare și grele din tabelul periodic; elementele grele au o proporție mai mare de neutroni decît cele ușoare.)
2. Valoarea lui  $Q$  pentru acea parte a masei nucleare corespunzătoare energiei de legătură nucleară este egală cu unu cu o eroare de  $1/10^5$ .
3. Valoarea lui  $Q$  pentru acea parte a masei atomice corespunzătoare energiei de legătură a electronilor orbitali este egală cu unu cu o eroare de  $1/200$ .
4.  $Q$  pentru aluminiu în raport cu aurul este egal cu  $1 \pm 3 \cdot 10^{-11}$ .

## MASA GRAVITAȚIONALĂ A FOTONILOR

Am văzut în capitolul 12 că un foton de energie  $h\nu$ , unde  $\nu$  este frecvența, trebuie să aibă o masă inertă egală cu  $\frac{h\nu}{c^2}$ . Are fotonul și masă gravitațională? Din punct de vedere experimental este evident că are, și că masa gravitațională este egală ca valoare cu masa inertă. (Masa de *repas* este, evident, nulă.)

Să considerăm un foton, care la înălțimea  $L$  deasupra suprafeței Pămîntului are frecvența  $\nu$  și energia  $h\nu$ . După ce cade pe distanța  $L$ , el va pierde energia potențială  $mgL = \frac{h\nu}{c^2}gL$  pe care o va cîștiga ca energie „cinetică” astfel încît energia sa va deveni  $h\nu'$ , unde:

$$h\nu' \approx h\nu + \frac{h\nu}{c^2}gL, \quad (14.5)$$

presupunînd că fotonul are masa  $\frac{h\nu}{c^2}$  constantă în timpul căderii (argumentul fiind acela că  $\nu'$  nu diferă mult de  $\nu$ ). Frecvența măsurată a fotonului după cădere,  $\nu'$ , rezultă așadar, din relația (14.5):

$$\nu' \approx \nu \left( 1 + \frac{gL}{c^2} \right). \quad (14.6)$$

Figura 14.5 ilustrează acest efect. Dacă  $L = 20$  m, deplasarea relativă a frecvenței este:

$$\frac{\Delta\nu}{\nu} = \frac{gL}{c^2} \approx \frac{10^3 \times 2 \times 10^3}{(3 \times 10^{10})^2} \approx 2 \cdot 10^{-15}. \quad (14.7)$$

<sup>1</sup> P. G. Roll, R. Krotkov, R. H. Dicke, Ann. Phys. (N.Y.) 26: 442 (1964).



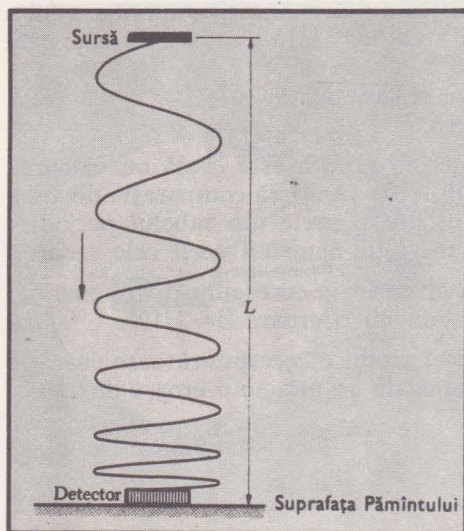


FIG. 14.5. Prezentare schematică a experienței care pune în evidență deplasarea gravitațională spre roșu. Un foton emis de către sursă spre centrul Pământului pierde „energia potențială”  $\Delta U = (hv/c^2)gL$  și câștigă, în căderea de-a lungul distanței  $L$ , o cantitate egală de „energie cinetică”. Frecvența fotonului care intră în detector este  $\nu' = \nu(1 + gL/c^2)$ ; frecvența fotonului emis de sursă este  $\nu$ . (Cazul descris aici este de fapt o *deplasare spre albastru*. El ar fi o *deplasare spre roșu* dacă fotonul s-ar mișca în sus.)

Efectul extrem de slab, a fost într-adevăr observat de către Pound și Rebka<sup>1</sup> folosind o sursă de raze  $\gamma$  (vezi fig. 14.6). Ei au găsit că:

$$\frac{(\Delta\nu)_{exp}}{(\Delta\nu)_{calc}} = 1,05 \pm 0,10$$

unde  $\Delta\nu = \nu' - \nu$ , iar valoarea calculată a fost obținută din ecuația (14.6).

Un foton cu frecvența  $\nu$  emis la o distanță infinită față de Pământ va avea la suprafața Pământului frecvența  $\nu'$  care, prin generalizarea relațiilor (14.5) și (14.6), va fi egală cu:

$$\nu' \approx \nu(1 + GM_p/R_p c^2). \quad (14.8)$$

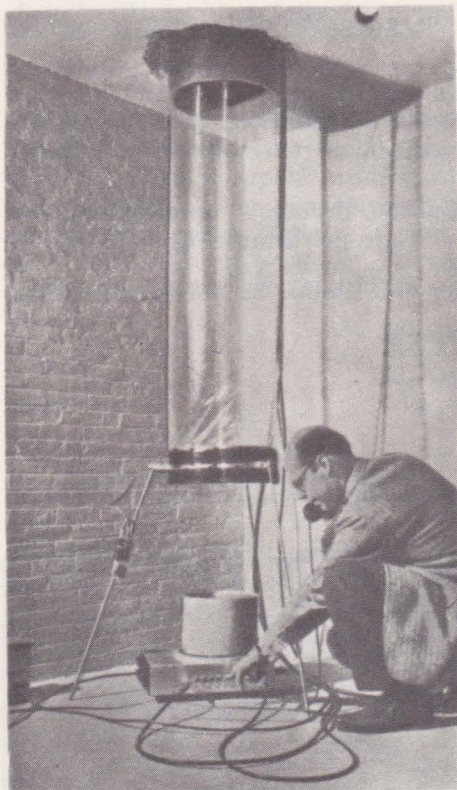


FIG. 14.6. Capătul inferior al instalației experimentale de cădere a fotonilor construită de Pound la Harvard. G. A. Rebka Jr. reglează fotomultiplicatorii după comenzile centrului de control. Într-o versiune ulterioară a experienței au fost prevăzute și mijloace de control ale temperaturii sursei și detectorului. Deplasarea gravitațională măsurată este egală doar cu 1/500 din lărgimea liniei. Pentru a măsura cu precizie o deplasare atât de mică sînt necesare câteva artificii tehnice speciale. (Prin amabilitatea lui R. V. Pound.)

<sup>1</sup> R. V. Pound și G. A. Rebka, Jr., Phys. Rev. Lett. 4: 337 (1960).  
R. V. Pound și J. L. Snider, Phys. Rev., 140: B 788 (1965).

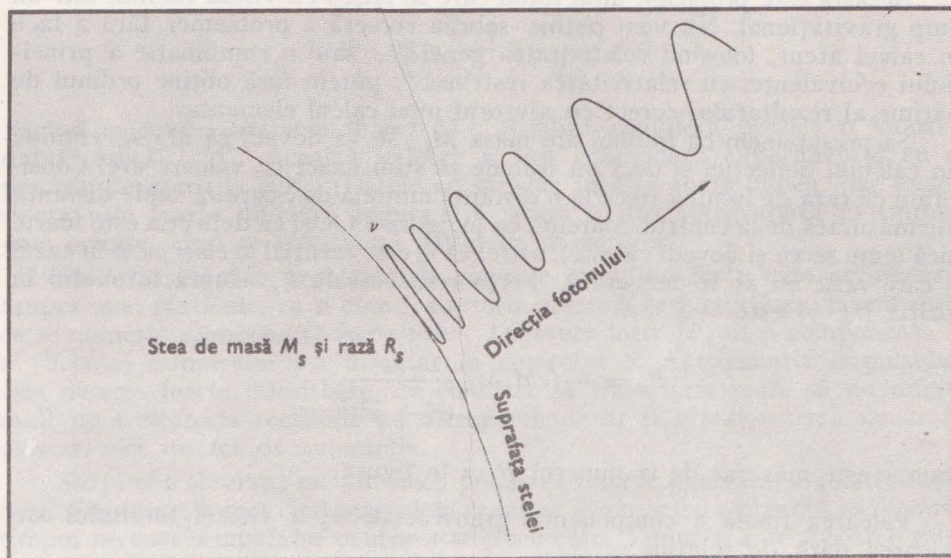
Menționăm că în formula deplasării de frecvență intervine raportul dintre lungimea gravitațională a Pământului<sup>1</sup>,  $GM_p/c^2$  și raza sa,  $R_p$ . Raportul este de  $6 \cdot 10^{-10}$ . Efectul mai puternic de aici este de aceeași natură ca și cel din ecuația (14.6) numai că acum sursa de lumină este la distanță infinită de Pământ.

**Deplasarea gravitațională spre roșu.** După cum este ilustrat în figura 14.7, un foton de frecvență  $\nu$  care părăsește o stea și ajunge la infinit, va fi observat cu o frecvență:

$$\nu' \approx \nu \left( 1 - \frac{GM_s}{R_s c^2} \right) \quad (14.9)$$

unde  $M_s$  și  $R_s$  sînt masa și raza stelei respective. Aceasta rezultă dintr-o modificare a ecuației (14.8): fotonul pierde acum energie prin părăsirea cîmpului gravitațional al stelei. Un foton din regiunea albastră a spectrului vizibil va avea frecvența deplasată către capătul roșu al spectrului. Pentru acest motiv efectul este cunoscut sub numele de *deplasare gravitațională spre roșu*. Ea nu trebuie să fie confundată cu deplasarea doppleriană<sup>2</sup> spre roșu, care se datorează îndepărtării radiale aparente a stelelor față de Pământ, conform celor discutate în capitolul 10.

FIG. 14.7. Un foton care părăsește suprafața unei stele, îndreptîndu-se spre infinit, cîștigă „energie potențială” și pierde o cantitate egală de „energie cinetică”. Dacă frecvența fotonului la suprafață este  $\nu$ , atunci frecvența fotonului la infinit este  $\nu' = \nu (1 - GM_s/R_s c^2)$ .



<sup>1</sup> Definită prin analogie cu raza electronului (cap. 9, pag. 301)  $M_e c^2 = \frac{GM_e^2}{R}$ ,  $R = \frac{GM_e}{c^2}$

<sup>2</sup> În original „recessional red-shift” adică deplasarea spre roșu datorată îndepărtării (N.T.)



Piticele albe au valori mari ale raportului  $M_s/R_s$  și au așadar valori ridicate pentru deplasarea gravitațională spre roșu. Pentru steaua Sirius B deplasarea relativă calculată este:

$$\frac{\Delta\nu}{\nu} \approx -5,9 \cdot 10^{-5},$$

iar valoarea observată este  $-6,6 \cdot 10^{-5}$ . Discrepanța se datorează necunoașterii precise a lui  $M_s$  și  $R_s$ .

Dacă:

$$\frac{GM_s}{R_sc^2} > 1,$$

atunci frecvența  $\nu$  în ecuația (14.9) ar fi negativă, ceea ce este desigur imposibil. Totuși, cazul  $GM_s/R_sc^2 \approx 1$  este o problemă mai complicată care se rezolvă în cadrul teoriei generale a relativității. Rezultatul este că dacă:

$$\frac{2GM_s}{R_sc^2} \geq 1, \quad (14.10)$$

atunci fotonul sau orice altă particulă *nu* pot părăsi steaua. Astfel de stele se numesc *găuri negre* și ele au stîrnit un mare interes printre astrofizicieni<sup>1</sup> (vezi probl. 5).

**Deflecția fotonilor de către Soare.** Ce este deflecția unghiulară a unei raze de lumină sau a unui foton care trece foarte aproape de suprafața Soarelui?

Aceasta este problema unui foton care se mișcă cu viteza luminii într-un câmp gravitațional. Nu vom obține soluția corectă a problemei fără a face un calcul atent, folosind relativitatea generală, sau o combinație a principiului echivalenței cu relativitatea restrînsă<sup>2</sup>; putem însă obține ordinul de mărime al rezultatului corect cu ajutorul unui calcul elementar.

Să presupunem că fotonul are masa  $M_L$ ; se va dovedi că  $M_L$  se elimină din calculul deflecției și deci nu trebuie să știm exact ce valoare are. Considerăm că raza de lumină trece la o distanță minimă de Soare  $r_0$ , unde distanța este măsurată de la centrul Soarelui, ca în figura 14.8, și că deflecția este foarte mică (cum se va și dovedi că este), astfel că  $r_0$  este esențial același ca și în cazul în care raza nu ar fi deflectată. Forța transversală  $F_x$  asupra fotonului în poziția  $(r_0, y)$  este:

$$F_x = -GM_s M_L \frac{r_0}{(r_0^2 + y^2)^{3/2}},$$

unde  $y$  este măsurat de la punctul  $P$  ca în figură.

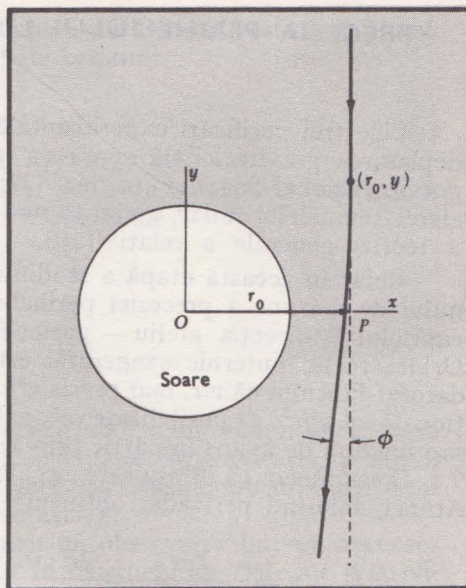
Valoarea finală a componentei transversale  $v_x$  a vitezei fotonului are valoarea dată de relațiile:

$$M_L v_x = \int F_x dt = \int F_x \frac{dy}{v_y} \approx \frac{1}{c} \int F_x dy$$

<sup>1</sup> De exemplu, Kip S. Thorne, Scientific American 217: 5, (1967); R. Ruffini și J. A. Wheeler, Physics Today 24: 30 (1971)

<sup>2</sup> I. I. Schiff, Am. J. Phys. 28: 340 (1961).

FIG. 14.8. Deflecția unui foton de către câmpul gravitațional al Soarelui.



astfel încît:

$$v_x \approx -\frac{GM_s r_0}{c} \int_{-\infty}^{\infty} \frac{dy}{(r_0^2 + y^2)^{\frac{3}{2}}} \approx -\frac{2GM_s r_0}{c} \int_0^{\infty} \frac{dy}{(r_0^2 + y^2)^{\frac{3}{2}}} \approx -\frac{2GM_s}{cr_0}.$$

Rezultă că, atunci cînd  $r_0$  este egal cu raza Soarelui,  $R_s$ , deflecția unghiulară este (vezi fig. 14.8).

$$\operatorname{tg} \Phi \approx \Phi \approx \frac{|v_x|}{c} \approx \frac{2GM_s}{R_s c^2} \text{ rad.}$$

Făcînd calculele, obținem  $\Phi = 0,87''$ . Analiza completă prezice o valoare dublă, adică  $1,75''$ . Această valoare a fost confirmată experimental cu o precizie de aproape 20%. (Datele nu satisfac încă pe toată lumea, dar experiența este foarte dificilă.) Figura 1.9. arată o stea fotografiată în timpul unei eclipse, cînd se efectuează astfel de măsurători.

Cînd rezolvăm o problemă de ciocnire calculînd forța care acționează asupra unei particule, ca și cum traiectoria acesteia ar fi rectilie, facem ceea ce se numește *aproximația impulsului*. Legătura între  $\int F_x dt$  și componenta  $x$  a variației impulsului s-a discutat în capitolul 5. Aproximația impulsului este deseori foarte folositoare, cu condiția ca traiectoria reală să nu difere mult de traiectoria rectilie pe care particula ar fi urmat-o dacă nu ar fi existat nici un fel de interacție.

Shapiro<sup>1</sup> a observat un alt efect prezis de teoria generală a relativității a lui Einstein. Atunci cînd semnalele radar se ciocnesc cu o planetă ca Venus, timpul necesar semnalului pentru a se duce către Venus și a se întoarce este mai mare în cazul în care semnalul trece aproape de Soare decît în cazul în care acesta este departe de Soare, iar observațiile experimentale sînt în acord cu teoria.

<sup>1</sup> I. I. Shapiro, Scientific American, 219:1, 28 (1968).



## PRECESIA PERIHELIULUI LUI MERCUR

Cele trei verificări experimentale clasice ale relativității generale sînt deplasarea gravitațională spre roșu (pagina 421), deflecția luminii în câmpul gravitațional al Soarelui (pagina 422) și precesia periheliului lui Mercur. Întîrzierea semnalelor radar, amintită mai sus, este cunoscută ca a patra verificare a teoriei generale a relativității.

Chiar în această etapă a studiului nostru putem face o estimare a ordinului de mărime a precesiei periheliului lui Mercur. Conform calculelor din capitolul 9 direcția afeliu — periheliu trebuie să rămînă fixă în spațiu<sup>1</sup>. Orbita reală, puternic exagerată, este ilustrată în figura 14.9. Efectul este datorat faptului că  $v/c$ , mai precis  $v^2/c^2$ , nu este zero. Ce cantitate este proporțională cu  $v^2/c^2$ ? O posibilitate rezonabilă ar fi unghiul de avans per revoluție, sau unghiul de avans împărțit prin  $2\pi$ . Putem estima raportul  $v/c$  din tabelul 9.2. Presupunem că orbita este circulară, iar raza este egală cu semiaxa mare. Atunci, folosind perioada, obținem:

$$v = \frac{2\pi r}{\text{perioadă}} = \frac{2\pi \cdot 0,39 \cdot 1,5 \cdot 10^{11}}{7,6 \cdot 10^6} \approx 4,8 \cdot 10^4 \text{ m/s}$$

$$\frac{v}{c} \approx 1,6 \cdot 10^{-4}$$

$$\frac{v^2}{c^2} \approx 2,6 \cdot 10^{-8} = \frac{\delta\theta}{2\pi}$$

$$\delta\theta \text{ (în grade)} \approx 360 \cdot 2,6 \cdot 10^{-8} \approx 9 \cdot 10^{-6}$$

$$\delta\theta \approx 3 \cdot 10^{-2} \text{ secunde de arc/revoluție.}$$

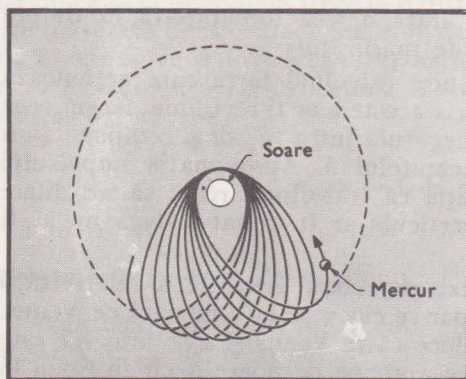


FIG. 14.9. Precesia orbitei lui Mercur explicată de teoria generală a relativității. Planul orbitei coincide cu cel al paginii; pentru claritate, excentricitatea orbitei este puternic amplificată. Dacă nu ar exista precesie, figura ar fi o elipsă staționară.

<sup>1</sup> Perturbația datorată celorlalte planete poate fi calculată și comparată cu experiența. Mișcarea observată a acestei direcții în spațiu diferă de cea calculată cu ajutorul acestor perturbații cu 43'' pe secol.

Cifra obișnuită este numărul de secunde pe secol. Perioada este de 0,24 ani. Putem atunci să ne așteptăm la un efect de ordinul:

$$\delta\theta \text{ (pe secol)} = \frac{100}{0,24} \cdot 3 \cdot 10^{-2} \approx 13''.$$

Valoarea experimentală este 42,9" iar teoria generală a relativității prezice 43,0", ceea ce este în limitele erorilor experimentale <sup>1</sup>.

## ECHIVALENȚA

Faptul experimental că nu s-a descoperit nici o diferență între masa inertă și cea gravitațională a unui corp, sugerează că gravitația poate fi într-un anumit sens echivalentă cu o accelerare. Să considerăm un observator într-un ascensor care cade liber cu accelerația  $g$ .

Principiul echivalenței afirmă că, pentru un observator într-un ascensor care cade liber, legile fizicii sînt aceleași ca în sistemele inerțiale ale relativității restrînse (cel puțin în imediata apropiere a centrului ascensorului). *Efectele datorate mișcării accelerate și forțelor gravitaționale se anulează reciproc.* Observînd forțe aparent gravitaționale, un observator situat într-un ascensor închis nu poate spune ce parte din aceste forțe corespunde accelerației și ce parte adevăratelor forțe gravitaționale. El nu va discerne, de altfel, nici o forță, în afara cazului în care alte forțe (adică, nu de tip gravitațional) ar acționa asupra ascensorului. În particular, principiul postulat al echivalenței cere ca raportul dintre masa inerțială și masa gravitațională să fie  $\frac{M_i}{M_g} \equiv 1$ . „Imponderabilitatea” unui om aflat într-un satelit pe orbită este o consecință a principiului echivalenței.

Urmărirea consecințelor matematice ale principiului echivalenței conduce la teoria generală a relativității; pentru o discuție suplimentară, consultați bibliografia indicată la sfîrșitul capitolului 11.

## UNDELE GRAVITAȚIONALE

Teoria generală a relativității prezice că, așa cum sarcinile electrice oscilante dau naștere undelor electromagnetice, masele gravitaționale oscilante, ca stelele duble, dau naștere undelor gravitaționale. Din cauza valorii mici a constantei gravitaționale  $G$ , acestea sînt greu de detectat, dar, recent, Weber<sup>2</sup> a publicat o serie de rezultate care indică sosirea din spațiul cosmic a undelor gravitaționale. Figura 14.10 prezintă un detector de unde gravitaționale<sup>3</sup>.

<sup>1</sup> O discuție atentă a acestor experiențe clasice se găsește în primul capitol al cărții lui L. Witten, *Gravitația: o introducere în cercetarea curentă* (Gravitation: An Introduction to Current Research), John Wiley & Sons, Inc., New York, 1962.

<sup>2</sup> J. Weber, *Phys. Rev. Lett.* 24: 276 (1970); *Scientific American* 224: 5, 22 (1971).

<sup>3</sup> Experiențele lui Weber ca și experiențele ulterioare nu au dat un rezultat pozitiv cert. În prezent, se lucrează la punerea la punct a unor instalații cu o precizie de 10–100 ori mai mare decît cea a primului aparat. Este de așteptat ca undele gravitaționale să fie, totuși, detectate. (N.T.)



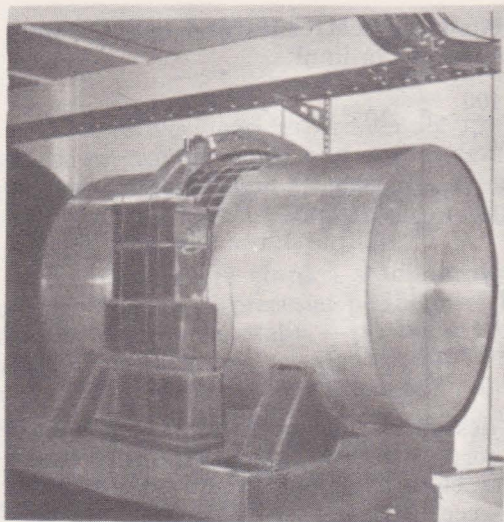


FIG. 14.10. Detectorul de unde gravitaționale este un cilindru de aluminiu cu diametrul de 96 cm. Lungimea sa este de 151 cm și frecvența sa fundamentală este 1661 Hz. Are directivitatea unui cuadropol masic. (Prin amabilitatea Profesorului Weber.)

## PROBLEME

1. Studiul pendulului în funcție de masele inertă și gravitațională. Arătați că frecvența pendulului de lungime  $L$  este dată de

$$\nu = \frac{\omega}{2\pi} = \frac{1}{2\pi} \left( \frac{M_g}{M_i} \cdot \frac{g}{L} \right)^{\frac{1}{2}},$$

unde  $M_g$  și  $M_i$  sint masele gravitațională și inertă. (Bessel a făcut încă de mult observații foarte atente ale pendulului și a arătat că  $M_g$  este egal cu  $M_i$  cu o eroare de  $1/6 \times 10^4$ .)

2. Deplasarea gravitațională spre roșu. Găsiți o expresie pentru deplasarea gravitațională spre roșu în care să nu se folosească presupunerea  $\Delta\nu/\nu \ll 1$  (Neglijați orice efecte legate de curbura spațiului.) Plecați de la egalitatea  $h\Delta\nu = -(h\nu/c^2)(M_g G/r^2)\Delta r$  și integrați pentru  $dr$  de la  $R_s$  la infinit și pentru  $d\nu$  de la  $\nu$  la  $\nu'$ .

$$R: \nu' = \nu e^{-GM_g/Rsc^2}.$$

3. Deplasarea spre roșu dată de galaxia noastră. Estimați deplasarea gravitațională

spre roșu pentru lumina care părăsește centrul galaxiei noastre, atunci cînd este observată de la o distanță foarte mare. (Considerați masa uniform distribuită într-o sferă cu raza 10 000 parseci.) Masa galaxiei este  $\sim 8 \cdot 10^{11}$  kg.

$$R: \Delta\nu/\nu = -3 \times 10^{-6}.$$

4. Radio-galaxii. În 1962, a fost identificată cu mijloace optice o sursă extraterestră intensă de unde radio; ea apărea ca o mică stea cu un diametru unghiular de  $0,5''$ . S-a crezut la început că este vorba de o stea din galaxia noastră care emite unde radio, dar apoi i s-a determinat spectrul și s-a văzut că liniile spectrale sint foarte puternic deplasate spre roșu. De exemplu, o linie a oxigenului atomic avînd în mod normal  $\lambda = 3,727 \cdot 10^{-7}$  m a fost identificată la  $\lambda = 5,097 \cdot 10^{-7}$  m. O explicație posibilă ar fi aceea că este vorba de o stea foarte masivă cu un spectru puternic deplasat gravitațional spre roșu. Dacă această radio-stea ipotetică se află în galaxia noastră, distanța ei față de

Pământ trebuie să fie mai mică decât  $10^{20} \text{ m}^1$ .

- (a) Calculați din diametrul unghiular și deplasarea spre roșu, masa și densitatea medie a stelei în ipoteza că distanța este de  $10^{20} \text{ m}$ . Conduce aceasta la o explicare rezonabilă a acestui obiect?

R: Masa este  $1,0 \times 10^{41} \text{ kg}$ , densitatea medie este  $1,7 \times 10^{-3} \text{ kg/m}^3$ . Rezultatul nu pare rezonabil, întrucât masa este aproape 0,1 din masa totală a galaxiei noastre (folosiți rezultatul probl. 2).

- (b) O altă sugestie ar putea fi aceea că obiectul este o „radio-galaxie” de un tip special, iar deplasarea spre roșu este

o deplasare spre roșu dopplariană, ca cea din capitolul 10. Calculați distanța până la ea în această a doua ipoteză.

R:  $6 \cdot 10^9$  ani lumină ( $5 \cdot 10^{25} \text{ m}$ ).

- (c) Ipoteza radio-galaxiei nu este în contradicție cu această valoare?

R: da, ea are o rază de aproximativ  $10^{20} \text{ m}$ , care se află în domeniul obișnuit al razelor galactice.

5. *Gaură neagră*. Care ar trebui să fie raza Soarelui pentru ca el să formeze o gaură neagră [vezi ecuația (14.10)]? Comparați densitatea pe care ar avea-o atunci, cu densitatea nucleului.

R:  $\sim 3 \cdot 10^3 \text{ m}$

## NOTĂ ISTORICĂ

**Pendulele lui Newton.** Cităm din cele relatate de Newton în *Principia* asupra experiențelor sale cu pendule, făcute pentru a determina eventualele variații ale raportului dintre masele gravitaționale și inerțiale.

Că toate corpurile grele cad spre pământ (cel puțin înlăturând întârzierea neegală provenită din rezistența slabă a aerului) în timpuri egale, s-a observat de mult de către alții; și că egalitatea timpurilor se poate constata foarte precis cu pendulele. Am făcut experiența cu aur, argint, plumb, sticlă, nisip, sare comună, lemn, apă, griu. Am folosit două cutii de lemn rotunde și egale. Pe una am umplut-o cu lemn și aceeași greutate de aur am atârnat-o (cît se poate de exact) în centrul de oscilație al celeilalte. Cutiile atârinate de fire egale de 11 picioare, formau pendule cu totul egale, în ceea ce privește greutatea, forma și rezistența aerului; și situate

una lângă alta mergeau și se întorceau împreună, cu oscilații egale, timp foarte îndelungat. Prin urmare, cantitatea de materie în aur (potrivit corolarului 1 și 6, propoziția XXIV, Cartea a II-a) era către cantitatea de materie în lemn, precum acțiunea forței motoare asupra aurului întreg către acțiunea aceleiași asupra lemnului întreg: adică, precum greutatea către greutate. Și tot așa pentru celelalte.

În corpurile de aceeași greutate s-a putut observa în mod manifest o diferență de materie, chiar, dacă ea ar fi fost mai mică decât a mia parte a întregii materii<sup>2</sup>.

## LECTURI SUPLIMENTARE

C. Kacser, *Introducere în teoria restrînsă a relativității* („Introduction to the Special Theory of Relativity”), capitolul 8, Ediție broșată Co-Op, Prentice-Hall, Inc., Englewood Cliffs, N.J., 1967.

<sup>1</sup> Pentru detalii suplimentare vezi J.L. Greenstein, *Radiosurse cuasistelare* (Quasi-stellar Radio Sources), Scientific American 209: 54 (decembrie 1963).

<sup>2</sup> Traducerea fragmentului a fost luată din Principiile matematice ale filozofiei naturale, traducere de Victor Marian, text revizuit de Prof. V. Vilcovici, Editura Academiei RPR, București, 1956.



## Anexe

Următoarele cărți de mecanică sînt de nivel aproximativ egal cu cel al textului prezentat; cititorul care studiază mecanica le poate folosi ca material de consultare sau aprofundare. Ar fi bine, însă, ca el să se uite la mai multe dintre aceste cărți înainte de a cumpăra una dintre ele sau a-i dedica un timp mai îndelungat.

H. D. Young, *Fundamentele mecanicii și căldurii* („Fundamentals of Mechanics and Heat”), Mc. Graw-Hill Book Company, New York 1964. Text bun. Întrucîtva mai puțin avansat. Tratare pe scurt a relativității restrinse.

R. Resnick și D. Halliday, *Fizică pentru studenții din domeniul științei și ingineriei* („Physics for Students of Science and Engineering”) John Wiley and Sons, Inc., New York, 1966. Vol. I, ed. a doua, sau vol. I și II împreună. Multe exemple. Bun text uzual.

R. Resnick și D. Halliday, *Fizică*<sup>1</sup> („Fundamentals of Physics”), John Wiley & Sons, Inc., New York, 1970. Versiune prescurtată a textului anterior.

A. P. French, *Mecanica newtoniană* („Newtonian Mechanics”), W. W. Norton and Company, Inc., New York, 1971. Parte din seria M.I.T. Foarte bună carte exhaustivă.

M. Alonso și E. J. Finn, *Bazele fizicii pentru universitate* („Fundamental University Physics”), vol. I, Mecanica („Mechanics”), Addison-Wesley Publishing Company, Inc., Reading, Mass, 1967. Carte bună, scurtă și concisă, dar uneori prea rezumativă pentru nivelul ei.

R. T. Weidner și R. L. Sells, *Fizică clasică elementară* („Elementary Classical Physics”), vol. I, Allyn and Bacon, Inc., Boston, 1965. Nu atît de avansată ca celelalte manuale.

R. P. Feynman, R. B. Leighton și M. Sands, *Fizica Modernă*<sup>2</sup> („The Feynman Lectures on Physics”), vol. I, Addison-Wesley Publishing Company, Inc., Reading, Mass., 1963. O serie de lecții remarcabile care pătrund adînc în multe aspecte ale mecanicii. Nu e un manual.

În ultimii ani au apărut o serie de cărți de probleme. Deși în cărțile menționate mai sus există multe probleme, pot exista studenți care să dorească mai mult.

<sup>1</sup> Apărută în limba română la Editura didactică și pedagogică, București, 1975 (N.T.)

<sup>2</sup> Apărută în limba română, la Editura tehnică, București, 1971.

J. A. Taylor, *Îndrumător programat de studiu pentru fizica elementară* („Programmed Study Aid for Introductory Physics“), partea I, Mecanica (Mechanics), Addison-Wesley Publishing Company, Inc., Reading, Mass., 1970. Bună, cu multe probleme de nivel mai elementar.

R. B. Leighton și E. Vogt, *Exerciții de fizică generală* („Exercises in Introduc-

tory Physics“), Addison-Wesley Publishing Company, Inc., Reading, Mass., 1969. Scrisă pentru a însoți vol. I din lecțiile lui Feynman. Probleme excelente.

D. Schaum, *Fizica generală — teorie și probleme* („Theory and Problems of College Physics“), Schaum Publishing Co., New York, 1961. Multe probleme, aproape jumătate dintre ele rezolvate.



## Lista de filme

### Anexe

Există multe filme excelente care tratează subiecte din mecanică. Scrisoarea Comisiei pentru resursele Fizicii Universitare, BSPF-1, Filme de fizică (Physics Films) de W. R. Riley, Am. J. Phys. 36: 475 (1968) pune la dispoziție o bună listă de filme de 16 mm și, în plus, informații despre cataloage, locurile în care pot fi obținute filmele etc. Multe dintre comentariile date mai jos sint luate direct din acest articol de sinteză.

În ultimii ani au fost produse multe filme. Ele sint foarte folositoare, în special în măsura în care servesc studiului individual. Comisia de Fizică Generală a publicat un catalog, *Filme scurte pentru învățarea fizicii* („Short Films for Physics Teaching”) care poate fi procurat de la Institutul American de Fizică (AIP), Direcția pentru Educație și Forță de Muncă, Serviciul de Informații, Universitatea de Stat din New York; Stony Brook, N.Y., 11790.

Cititorul va reține că multe dintre filmele indicate mai jos sint filme PSSC și că sint, așadar, la un nivel mai elementar decît cel al cursului de față. Totuși, aceste filme sint foarte bine concepute și realizate și ele pot fi utile chiar și celor care le vîd a doua oară.

Recent, a fost format un Comitet Național pentru Filme de Demonstrare a Fizicii [George Appleton, James Strickland, Am. J. Phys. 38: 1945 (1970)]; Strickland poate fi contactat la Centrul pentru Dezvoltarea Educației Newton, Mass. 02160.

Filmele sint înscrise la capitolul în care ele par a se potrivi cel mai bine. Locurile din care pot fi obținute sint notate la sfîrșit.

### Capitolul 1

*Evoluția ideilor fizice* („The Evolution of Physical Ideas”), 49 min., P.A.M. Dirac; SUNY. Interpretarea proprie dată de Dirac fizicii teoretice; sugerează că încercările fizicienilor de a îmbunătăți teoriile existente implică o căutare a frumuseții matematice.

*Măsurarea distanțelor mari* („Measuring Large Distances”), 29 min., F. Watson; PSSC MLA 0103. Arată cum pot fi determinate distanțele pînă la lună și la stele aflate pînă la 500 ani-lumină, cu ajutorul triangulației și a măsurătorilor de parallaxă.

*Schimbarea de scală* („Change of Scale”), 23 min., R. W. Williams PSSC MLA 0106. Pentru orientarea în ideile de estimare și schimbare a scalei. Prezintă exemple frumoase de scalare a forțelor și vitezelor (proiectarea navelor).

### Capitolul 2

*Măsurarea* („Measurement”), 21 min., William Siebert; MLA. Măsurarea vitezei unui glonț de pușcă cu accentuarea legăturii dintre precizia obținută și judiciozitatea întrebărilor.

*Simetria* („Symmetry“), 10 min., P. Stapp, J. Bregman, R. Davisson, A. Holden, BTL. Prezentare interesantă și modernă a invarianței la reflexie, rotație și translație și a utilizării ei.

*Mișcarea circulară uniformă* („Uniform Circular Motion“), 8 min., MGH. Prezintă variațiile vectorului vitezei, explicând că mișcarea este accelerată chiar atunci când mărimea vitezei este constantă. Forța centripetă ilustrată prin câteva desene animate.

*Cinemateca vectorială* („Vector Kinematics“), 16 min., Francis Friedman; PSSC MLA 0109. Un calculator trasează pe ecranul unui tub catodic vectorii vitezei și accelerației corespunzători diferitelor tipuri de deplasări ale petei luminoase: circulară, oscilatorie armonică și cădere liberă.

*Cinematica mișcării rectilinii* („Straight Line Kinematics“), 34 min., E. M. Hafner; PSSC MLA. Graficele în raport cu timpul ale distanței, vitezei și accelerației sunt trasate prin folosirea unui echipament special într-un mobil de test; sunt analizate relațiile între aceste grafice.

*Legătura matematicii cu fizica* („The Relation of Mathematics to Physics“), 57 min., Richard Feynman; EDC. Fără o înțelegere adâncă a matematicii nu este posibilă o adevărată explicare a frumuseții legilor naturii.

### Capitolul 3

*Forță, masă și mișcare* („Force, Mass and Motion“), 10 min., F. W. Sinden. Bell and EDC. Film animat de calculator care ilustrează mișcarea corpurilor masive sub acțiunea forței gravitaționale și a altor forțe. Se trasează orbitele și se pune în evidență conservarea impulsului.

*Forțe* („Forces“), 23 min., Jerrold Zacharias; PSSC MLA 0301. Discută forțele din natură, cu demonstrații experi-

mentale. Este ilustrată experiența lui Cavendish. Se poate obține și o versiune de 8 minute a experienței lui Cavendish.

*Electroni în câmp magnetic uniform* („Electrons in a Uniform Magnetic Field“), 11 min., Dorothy Montgomery; PSSC MLA 0412. Prezintă electronii în tubul Leybold pentru determinarea sarcinii specifice  $e/m$ .

*Legea lui Coulomb* („Coulomb's Law“), 30 min., Eric Rogers; PSSC MLA 0403. Ilustrează dependența forțelor electrice de sarcină și de distanță.

*Constanta din forța lui Coulomb* („Coulomb Force Constant“), 34 min., Eric Rogers; PSSC MLA 0405. Un aparat Milikan la scară mare este folosit pentru determinarea constantei de proporționalitate din legea lui Coulomb a forței dintre sarcinile electrice.

*Masa electronului* („Mass of the Electron“), 18 min. Eric Rogers; PSSC MLA 0413. Arată cum se pot face măsurători de masă prin observarea mișcării electronului.

*Legea gravitației, un exemplu de lege fizică* („The Law of Gravitation, an Example of Physical Law“), 55 min., Richard Feynman; EDC. Excelentă prezentare a descoperirii legii și a unora dintre consecințele sale.

*Inerția* („Inertia“), 26 min., E. M. Purcell; PSSC MLA 0302. Mișcarea unui puc de gheață carbonică de masă constantă în câmp de forțe nul și în câmp de forțe externe.

*Masa inerțială* („Inertial Mass“), 19 min., E. M. Purcell; PSSC MLA 0303. Mișcarea unor pucuri de gheață carbonică de mase diferite sub acțiunea unei forțe constante.

*Căderea liberă și mișcarea proiectilelor* („Free Fall and Projectile Motion“), 27 min., Nathaniel Frank; PSSC MLA 0304. Studiul căderii libere și a maselor inerte și gravitațională conduce la mișcarea proiectilelor.



## Capitolul 4

*Sisteme de referință* („Frames of Reference“), 28 min., Patterson Hume and Donald Ivey; PSSC MLA 0307. Demonstrații excelente ale mișcării în sisteme de referință inerțiale și accelerate. Disponibil (EDC) și ca versiuni prescurtate asupra sistemelor liniar accelerate (6 min.) și sistemelor în rotație (7 min.).

*Forțe de inerție—acclerație centripetă* („Inertial Forces — Centripetal Acceleration“), 3 1/4 min., Franklin Miller Jr.; OSU, bobină de 16 min. Prezintă călărirea unui rotor într-un parc de distracții.

*Forțe de inerție — acclerație de translație* („Inertial Forces — Translational Acceleration“), 2 min., Franklin Miller Jr.; OSU, bobină de 16 mm. Ilustrează forțele în mișcarea uniformă și uniform accelerată în sus și în jos.

## Capitolul 5

*Energia și lucrul mecanic* („Energy and Work“), 28 min., Dorothy Montgomery; PSSC MLA 0311. Discută lucrul mecanic efectuat de către o forță constantă și de către una variabilă, precum și determinarea energiei produse de către acest lucru mecanic.

*Ciocniri elastice și energie înmagazinată.* („Elastic Collisions and Stored Energy“), 28 min., James Strickland; PSSC MLA 0318. Demonstrații cantitative ale transformărilor dintre energia cinetică și potențială în ciocnirile elastice.

*Marile principii de conservare* („The Great Conservation Principles“), 56 min., Richard Feynman; EDC. Discuție foarte interesantă a principiilor de conservare și a legăturii lor cu fizica.

## Capitolul 6

*Cîmpul turbionar* („Vorticity“), 44 min. Ascher H. Shapiro; EBEC. Film

interesant cu referiri la momentul cinetic (vezi și cap. 8).

## Capitolul 7

*Mișcarea periodică* („Periodic Motion“), 33 min., Patterson Hume și Donald Ivey; PSSC MLA 0306. Film excelent despre mișcarea oscilatorie armonică; se folosesc pucuri fără frecare montate între resorturi elastice.

*Mișcarea oscilatorie armonică* („Simple Harmonic Motion“), 10 min., MGH. Mișcarea oscilatorie armonică este ilustrată cu ajutorul unui corp montat la capătul unui resort care se mișcă orizontal.

*Ruperea podului de la Cheile Tacoma* („Tacoma Narrows Bridge Collapse“), 4 min. 40 sec., OSU. Imagini spectaculoase ale vibrațiilor excitate de vînt care distrug podul intrat în rezonanță.

*Pendulul Wilberforce* („The Wilberforce Pendulum“), 5 min., Franklin Miller Jr.; OSU. Un caz interesant de rezonanță între vibrațiile de torsiune și de translație.

## Capitolul 8

*Momentul cinetic, o mărime vectorială* („Angular Momentum, a Vector Quantity“), 27 min., Aaron Lemonick; ESI MLA 0451. Ilustrează faptul că momentele cinetice se adună vectorial și că aplicarea unui moment asupra unui sistem care are deja un moment cinetic, duce la precesia momentului cinetic.

*Mișcarea în sistemul centrului de masă* („Moving with the Center of Mass“), 26 min., Herman Branson; PSSC MLA 0320. Se ilustrează legea conservării energiei și impulsului, pentru cîteva mobile care interacționează magnetic din două sisteme de referință distincte.

## Capitolul 9

*Orbite eliptice* („Elliptic Orbits“), 19 min., Albert Baez; PSSC MLĂ 0310. Demonstrarea geometrică a primelor două legi ale lui Kepler precum și a faptului că forța de atracție gravitațională este invers proporțională cu pătratul distanței.

*Măsurarea lui G – experiența lui Cavendish* („Measurement of „G” – Cavendish Experiment“), 4 min. 25 sec., Franklin Miller, Jr.; OSU. Film scurt despre pendulul de torsiune al lui Cavendish.

*Gravitația universală* („Universal Gravitation“), 31 min., Patterson Hume și Donald Ivey; PSSC MLA 0309. Se deduce legea gravitației pentru planeta X din observații asupra planetei și sateliților.

## Capitolul 10

*Măsurarea vitezei luminii* („Measurement of the Speed of Light“), 8 min., MGH. O foarte bună explicare a citorva metode terestre de măsurare a vitezei luminii, printre care metodele lui Fizeau, Foucault și Michelson.

*Efectul Doppler* („Doppler Effect“), 8 min., MGH. O aplicare clară a cazurilor sursei în mișcare și observatorului în mișcare.

*Efectul Doppler și undele de șoc* („Doppler Effect and Shock Waves“), 8 min., James Strickland; MLA 0464. Parte dintr-o serie de experiențe efectuate în cuva de studiat unde. Prezintă efectele produse de o sursă de unde periodice care se mișcă cu viteze diferite în raport cu mediul.

*Viteza limită, o explorare cu electroni de energie înaltă* („The Ultimate Speed, an Exploration with High-energy Electrons“), 38 min., William Bertozzi; ESI MLA 0452. Legătura dintre energia cinetică a electronilor și viteza lor; investigată prin metoda timpului de zbor și a tehnicilor calorimetrice.

*Viteza luminii* („Speed of light“), 21 min., William Siebert; PSSC MLA. Determinarea vitezei luminii prin folosirea metodei timpului de zbor al unui puls luminos și cu ajutorul metodei oglinzii rotitoare.

## Capitolul 11

*Marea lume a lui Albert Einstein* („The Large World of Albert Einstein“), 60 min., Edward Teller; SUNY. Extinderea relațiilor obișnuite timp-distanță la domeniul relativist. Discută influența relativității restrinse asupra fizicii.

*Dilatarea timpului, o experiență cu mezonii* („Time Dilation, an Experiment with Mu-Mesons“), 36 min., David Frish și James Smith; ESI MLA 0453. Se ilustrează dilatarea timpului, prin folosirea dezintegrării radioactive a mezonilor  $\mu$  din razele cosmice într-o experiență care are loc la Muntele Washington, N.H. (1475 m) și Cambridge, Mass. (nivelul mării). O expunere amănunțită a acestei experiențe a apărut în *Am. J. Phys.* 31 342 (1963).

BELL. (Sistemul Bell): legătura cu Compania de telefoane Bell (Bell Telephone Company).

(BTL) Biroul de afaceri Laboratoarele Bell (Bell Telephone Laboratories) (BTL), Filmoteca, Murray Hill, N.J. 17971.

BTL: vezi Bell.

EBEC: Corporația Educațională -Enciclopedia Britanica (Encyclopedia Britannica Educational Corporation), 425 North Michigan Avenue, Chicago, Ill. 60611.

EDC: Centrul de dezvoltare educațională (Education Development Center) (fosti servicii educaționale), Filmoteca Centrul de dezvoltare educațională, 39 Chapel Street, Newton, Mass 02160.



ESI MLA: ESI filme pentru Colegiul de fizică produse de serviciile educaționale. Procurabile de la Mijloace moderne de învățămînt, 1212 Avenue of the Americas, N.Y. 10036.

MGH: Mc Grow - Hill Book Company. Redacția text film, 327 West 41 st Street, N.Y. 10036. Numai pentru vinzări.

MLA: vezi ESI MLA.

OSU: Universitatea de Stat din Ohio (Ohio State University). Supraveghetorul de distribuție a filmelor, Direcția de filme

animate, 1885 Neil Avenue, Columbus Ohio 43210. Film continuu de 16 mm.

PSSC MLA: PSSC - Mijloace moderne de învățămînt. Împrumuturile sînt înminate de serviciile de film modern vorbit. Pentru cumpărare, de luat legătura cu direcția MLA a serviciului de științe naturale, Inc. P.O. Box 302, Rochester, N.Y. 14603.

SUNY: Universitatea de stat din New York, Biroul de Comunicații educaționale, Room 2332, 60 East 42nd Street, N.Y. 10017.

## Tabel de valori

Valoarea și unitățile	Mărimea	Simbol sau abreviere	Relația de unde provine
<b>Generale</b>			
$57,3^\circ$ ( $57^\circ 18'$ )	= 1 radian	rad	$180^\circ/\pi$
$3,44 \times 10^3$ minute (de arc)	= 1 radian	rad	
$2,06 \times 10^5$ secunde (de arc)	= 1 radian	rad	
$1,75 \times 10^{-2}$ rad	= 1 grad	°	$\pi/180^\circ$
$2,91 \times 10^{-4}$ rad	= 1 minut (de arc)	"	
$4,85 \times 10^{-6}$ rad	= 1 secundă (de arc)	"	
$1,609 \times 10^3$ m	= 1 milă terestră		
$10^{-10}$ m	≡ 1 angstrom	Å	
$10^{-6}$ m	≡ 1 micrometru (micron)	μm	
$2,998 \times 10^2$ V	= 1 statvolt		$10^{-6} c$
$2,99725 \times 10^8$ m/s	Viteza luminii în vid	c	
$\approx 9,80$ m/s <sup>2</sup>	Accelerația gravitației la suprafața pământului	g	$GM_p/R_p^2$
$6,671 \times 10^{-11}$ Nm <sup>2</sup> /kg <sup>2</sup>	Constanta gravitației	G	
$6,671 \times 10^{-8}$ dyn cm <sup>2</sup> /g <sup>2</sup>	Constanta gravitației		
1 dynă	≡ 1 g · cm/s <sup>2</sup>	dyn	
1 newton	≡ 1 kg · m/s <sup>2</sup>	N	
<b>Astronomice</b>			
$3,084 \times 10^{16}$ m	= 1 parsec		
$9,464 \times 10^{15}$ m	= 1 an lumină		$c \times \text{s/an}$
$1,49 \times 10^{11}$ m	= 1 unitate astronomică (≡ raza orbitei Pământului)	UA	
$\approx 10^{80}$	Numărul de nucleoni		Universul cunoscut
$\approx 10^{26}$ m	Raza		
$\approx 10^{11}$	Numărul de galaxii		
$\approx 1,6 \times 10^{-18}$ (m/s)/m	Viteza de îndepărtare a nebuloaselor		
$\approx 1,6 \times 10^{11}$	Numărul stelelor	Galaxia	
$\approx 10^{21}$ m	Diametrul		
$\approx 8 \times 10^{41}$ kg	Masa		



Valoarea și unitățile	Mărimea	Simbol sau abreviere	Relația de unde provine
-----------------------	---------	-------------------------	----------------------------

$6,96 \times 10^8 \text{ m}$	Raza	}	Soarele
$2,14 \times 10^6 \text{ s}$	Perioada de rotație		
$1,99 \times 10^{30} \text{ kg}$	Masa		
$1,49 \times 10^{11} \text{ m}$	Raza orbitei	}	Pământul
$6,37 \times 10^6 \text{ m}$	Raza medie		
$5,98 \times 10^{24} \text{ kg}$	Masa		
$5,52 \times 10^3 \text{ kg/m}^3$	Densitatea medie		
$3,156 \times 10^7 \text{ s}$	= 1 an (perioada de revoluție)		
$8,64 \times 10^4 \text{ s}$	= 24 ore (perioada de rotație)		
$3,84 \times 10^8 \text{ m}$	Raza orbitei	}	Luna
$1,74 \times 10^6 \text{ m}$	Raza		
$7,34 \times 10^{22} \text{ kg}$	Masa		
$2,36 \times 10^6 \text{ s}$	Perioada de revoluție		

#### Gaze

$22,4 \text{ m}^3/\text{kmol}$	Volumul molar la parametri standard (PS)	$V_0$	
$2,69 \times 10^{25} \text{ m}^{-3}$	Numărul lui Loschmidt	$n_0$	$N_0/V_0$
$6,0222 \times 10^{26} \text{ kmol}^{-1}$	Numărul lui Avogadro	$N_0$	
$8,314 \times 10^3 \text{ J} \cdot \text{kmol}^{-1} \cdot \text{K}^{-1}$	Constanta gazelor	$R$	
$1,381 \times 10^{-23} \text{ J/K}$	Constanta lui Boltzmann	$k$	$R/N$
$1,01 \times 10^5 \text{ N/m}^2$	Presiunea atmosferică		
$10^{-7} \text{ m}$	Drumul liber mediu la PS		
$3,32 \times 10^2 \text{ m/s}$	Viteza sunetului în aer la PS		

#### Atomice

$6,6262 \times 10^{-34} \text{ J} \cdot \text{s}$	Constanta lui Planck	$\hbar$	
$1,0546 \times 10^{-34} \text{ J} \cdot \text{s}$	Constanta lui Planck/ $2\pi$	$\hbar$	$\hbar/2\pi$
13,6 electroni volți	Energia asociată cu un Rydberg	$Ry$	
$1,6022 \times 10^{-19} \text{ J}$	Energia asociată cu un electron-volt	$\text{eV}$	
$1,2398 \times 10^{-6} \text{ m}$	Lungimea de undă asociată cu un electron-volt		$hc/e$
$2,4180 \times 10^{14} \text{ s}^{-1}$	Frecvența asociată cu un electron-volt		
$0,5292 \times 10^{-10} \text{ m}$	Raza Bohr pentru starea fundamentală a hidrogenului		$\hbar^2/me^2$

# Valoarea și unitățile

# Mărimea

# Simbol sau abreviere

# Relația de unde provine

$\approx 10^{-10}$  m  
 $0,9274 \times 10^{-23}$  J/T  
 137,036

Raza unui atom  
 Magnetronul Bohr  
 Inversul constantei structurii  
 fine

$\mu_B$   
 $\alpha^{-1}$

$e\hbar/2m$   
 $(\hbar c/e^2) 4\pi\epsilon_0$

## Particule

$1,67265 \times 10^{-27}$  kg  
 $1,67496 \times 10^{-27}$  kg  
 $1,66057 \times 10^{-27}$  kg

Masa de repaus a protonului  
 Masa de repaus a neutronului  
 1 unitate atomică de masă  
 unificată ( $\equiv 1/12$  masa lui<sup>12</sup> C)

$M_p$   
 $M_n$

$0,910954 \times 10^{-30}$  kg  
 $0,93828 \times 10^9$  eV

Masa de repaus a electronului  
 Energia echivalentă cu masa de  
 repaus a protonului

$u$   
 $E_p$

$M_p c^2$

$0,511004 \times 10^6$  eV

Energia echivalentă cu masa de  
 repaus a electronului

$m c^2$

$0,93150 \times 10^9$  eV

Energia echivalentă cu o unitate  
 atomică de masă

1836

Masa protonului/masa  
 electronului

$M_p/m$

$2,818 \times 10^{-15}$  m

Raza clasică a electronului

$r_0$

$e^2/4\pi\epsilon_0 m c^2$

$4,80325 \times 10^{-10}$  ues

Sarcina protonului

$e$

$1,60219 \times 10^{-19}$  C

Sarcina protonului

$e$

$2,423 \times 10^{-12}$  m

Lungimea de undă Compton

$\lambda_C$

$h/mc$



## Index

- Aberație, 324—327, 362  
 Aberația luminii care vine de la stele, 324—327  
 Absolută, accelerație, 131, 132  
 viteză, 137  
 Acceleratoare cu fascicule încrucișate, 405  
 Acceleratorul Van de Graaff, 340  
 Accelerație, 63, 71, 78, 80  
     absolută și relativă, 131—132  
     centripetă, 65, 126, 127  
     a centrului de masă, 197—198  
     Coriolis, 149—152  
     gravitațională, 84—86, 169, 184  
     în legea a doua a lui Newton  
     78, 80  
     longitudinală  
         a electronului, 93  
         a protonului, 92  
         a sarcinii, 394—396  
     în mișcarea circulară, 63—65  
     149—152  
     a Pământului considerat un corp rigid, 127  
     relativistă, 394—398  
     în sisteme în rotație, 149—152  
     a Soarelui considerat ca un corp rigid, 127—128  
     transversală, 93, 397—398  
     unghiulară, 216  
 Accelerometru, 133  
 Acid clorhidric, 315—316  
     dezoxiribonucleic (ADN), 22, 24—25  
     fluorhidric, 315—316  
 Adams, J. C., 193  
 Adâncimea de pătrundere, 329  
 ADN (acid dezoxiribonucleic), 22, 24—25  
 Agent extern, 161—162, 170  
 Alternativ, câmp electric, 113—114  
 Amortizare, critică, 242, 260  
     forță de, 239—245, 251—262  
 Amortizate, oscilații armonice, 242—245, 251—262  
 Amper, 87  
 Amplitudine, 227, 231, 232  
 Anarmonic, oscilator, 249—251  
 An-lumină, 22, 31, 34  
 Antiproton, 405  
     pragul de producere, 405  
 Aparatul cu roată dințată (Fizeau) 327—328  
 Aproximația impulsului, 423  
 Aria: elipsei, 307, 309  
     paralelogramului, 56  
 Armonica a treia, 251  
 Armonică, frecvență, 250—251  
     mișcare în jurul poziției de echilibru, 236  
 ARN, 22  
 ascensor în cădere liberă, 134—135  
 Astronomică, unitate (UA), 310  
 Atomul de hidrogen, 381  
 Atracția gravitațională, 23, 84—85, 292—314  
 Avion supersonic, 151  
 Axele elipsei, 307, 309  
     ortogonale, 50, 55  
     principale, 281  
     în rotație, 149, 282  
 Balon umplut cu heliu, 123  
 Bergstrand, E. 323, 330  
 Bertozzi, W. 340  
 Bessel, F. W. 343, 426  
 Bevatron, 39  
 Bondi, H., 31  
 Bradley, James, 324—327  
 Bridgman, P. W., 131  
 c, constantă, 322—323  
     viteză limită, 340—342

- Calea Lactee, 127  
 Cal-putere, 189  
 Camera cu bule, 97  
 Capacitate, 226, 234—236  
 Cascadă, transformarea energiei într-o, 173  
 Cavitare rezonantă, 328  
 Cădere, liberă, 134, 169  
 Căldură, 177  
 Ceasuri, 138—139  
     accelerate, 364  
 Celula Kerr, 329—331  
 Celule de materie vie, 22—25  
 Centrimetru, definiție, 81  
 Centrală, forță, 85, 175—176, 213, 292  
 Centrifugă, forță, 124, 134, 219  
 Centripetă,  
     acclerație, 65, 85, 96, 134, 151, 219  
     forță, 134, 151, 152, 280  
 Centru de greutate, 211  
     de percuție, 289  
 Ceres, descoperirea, 192  
 CERN (Consiliul European pentru Cercetări Nucleare), 39, 405  
 Cicloidă, 153—154  
 Ciclotron, 100—101, 116—120  
     relativist, 399—400  
 Ciclotronică, frecvență, 95, 400  
 CINETIC, moment, 196, 208—220  
     conservarea, 33, 208—220  
 Ciocnire  
     a atomului și moleculei, 145  
     cinematică, 49—50, 202—204  
     dinamica relativistă, 404—405  
     elastică, 104, 202—204  
     neelastică, 143, 201  
     energia în, 401—406  
     cu excitație internă, 201  
     cu lipire, 199—200  
     a particulelor grele și ușoare, 145—146  
     relativistă, 379—380  
     a particulelor, 102—104  
 Circuit  
     LC 234—236  
     LCR, 236  
 Circulară, orbită, 85—86  
 Câmp electric, 88—89, 91—94, 394—398  
     alternativ, 113—114  
     și magnetic încrucișate, 152—153  
     transversal, 397  
     gravitațional, 80, 82, 124  
     magnetic, 89—91, 94—101  
     de vectori, 66  
 Cîmpuri,  
     de forțe, 80  
     încrucișate, 152—153  
     scalare și vectoriale, 66  
 Coeficient, de amortizare, 239, 260  
     de restituire, 222  
 Cometa, 386  
     presiunea radiației asupra cozii, 386  
 Complex conjugat, 261  
 Componente, carteziene, 50—52  
     radială și transversală, 62, 304  
     transversale ale impulsului, 201  
 Compunerea vitezelor, 140—141, 359—362  
 Compus, pendul, 277  
 Condiții inițiale, 115  
 Conservarea, energiei, 158—159  
     energiei și impulsului relativist, 370—378  
     impulsului, 33, 79, 102—104, 141—146, 196—197  
     momentului cinetic, 33, 210, 214  
 Conservative, forțe, 173—179  
 Constanta,  
     elastică, 170, 226—228  
     lui Planck, 322, 384  
     solară, 390  
 Contact, forțe de, 80, 105—109  
 Contractia,  
     Fitzgerald, 349—351  
     Lorentz-Fitzgerald, 350  
     lungimii, 349—351  
 Contractia și accelerația unghiulară, 216  
 Coordonate,  
     polare, 75  
     sferice, 75  
 Coriolis, accelerație, 149—152  
     forță, 149—152  
 Cap atârnat de un resort, 226—228  
 Corp rigid, 264—290  
     ecuațiile de mișcare, 264—265  
     particule în, 264  
     rotatorul biparticulă, 279—280, 283  
 Cosinuși, directori, 51  
     legea, 52



- Coulomb, unitatea de sarcină, 87, 91  
 Curbarea razelor de lumină de către Soare, 31—32, 422—423  
 Curbilinie, integrală, 175  
 Curbura spațiului, 29—30  
 Curent alternativ, 234—236  
 Debit volumic, 53  
 Defazaj, oscilatorul forțat, 246, 252—257, 262  
 Deflecția fotonilor, 422—423  
 Densitate, 123  
 Deplasarea, Doppler (v. efect Doppler; deplasare spre roșu) gravitațională spre roșu, 421—422  
 Derivata temporală, 60—64  
 Derivate,  
     parțiale, 178—179  
     vectoriale, 59—63  
 Determinanți, 56  
 Deuteron, 382  
 Dezintegrarea neutronului, 389  
 Dezvoltare, binomială, 74  
     în serie, 73, 84, 100  
     Taylor, 73  
 Dicke, R. 85, 419  
 Diferență, de potențial, 182, 186  
 Diferențierea, 71—72  
     funcțiilor trigonometrice, 72  
     parțială, 178—179  
     produsului de vectori, 155  
     vectorilor, 59  
 Dilatarea,  
     termică, 251  
     timpului, 352—359  
 Dimensiuni, 82, 86—87, 98  
 Dinamica,  
     nerelativistă, 78  
     particulelor, 78—79  
     relativistă, 370—388, 394—408  
     corpului rigid, 264—286  
 Dirac, P. A. M. 25  
 Directori, cosinuși, 51  
 Disc circular, 284  
 Draconis, stea, 324  
 Durbine, R. P., 358  
 Dushman, L., 382  
 Dynă, 78  
 Echilibru, 69, 30  
     instabil, 179  
     stabil, 179, 236, 301  
     static, 301  
 Echivalență,  
     dintre masă și energie, 380—384, 391—392  
     principiul lui Einstein al, 425  
 Eclipsele lui Io, satelitul lui Jupiter, 323, 343  
 Ecuația, liniară, 241  
     de mișcare, 80, 264—265  
     a planului, 53  
 Ecuații diferențiale, 114—115, 257—262  
 Ecuațiile lui Euler, 283—284  
 Efectivă, energie potențială centrifugală, 223, 318  
 Efectul Cerenkov, 322  
     Compton invers, 407, 410  
     Doppler longitudinal, 337—340, 363—364  
     relativist, 363—364  
     transversal, 364  
     Mössbauer, 391  
     Zeeman, 56  
 Einstein, Albert, 32, 35, 132, 391—392, 423  
     principiul echivalenței, 416—425  
     teoria generală a relativității, 416—425  
     teoria restrânsă a relativității, 346—364  
 Elastică, forță, 170—171, 226—228  
 Electrodinamica, legile, 24, 391—392  
 Electron (i)  
     acelerația, 92—93  
     legat de proton, 221  
     masa, 91  
     raza clasică, 300—301  
     sarcina, 88  
 Electron-volți (eV), 187  
 Electrostatic (ă), forță, 86—87, 292  
     potențial, 182, 186—187  
 Elipsă 75, 305—308  
 aria, 307  
 Emisie, fără recul, 390—391  
 Energie, cinetică, 95, 104, 142—146, 159—189, 306  
     dezordonată, 177  
     dimensiune, 163  
     a oscilatorului armonic, 237—238  
     și potențială medie, 237—238  
     relativistă, 375—386, 396—450  
     de rotație, 265—286  
     conservarea, 104, 159—189

dezordonată, căldură, 173, 177  
 disponibilă în ciocnire, 401—405  
 funcția, 166—167  
 gravitațională, 298—299  
   a galaxiei, 298  
   a sferei, 299  
   a Soarelui, 300  
   a stelelor, 317  
 de ionizare, 221  
 de legătură, 381—383  
   a nucleelor, 382—383  
 a oscilatorului armonic, 227—231,  
 237—238, 243—244  
 potențială, 159—165, 170—173,  
 177—187, 292—300  
   centrifugală, 217—218, 318  
   efectivă, 217, 223, 318  
   în câmp electric, 180—181—  
   186  
   dependența de  
   inversul distanței, 180—  
   181, 293  
   electrostatică, 181, 186—  
   188  
   a oscilatorului  
   armonic, 227, 231  
 de prag, 394, 401—406  
 proprie, 298—300  
   electrostatică, 300  
   gravitațională, 298—300  
 relativistă, 375—386, 396—406  
 de repaus, 378  
 solară, 383—384  
 stelară, 383—384  
 termică, 173  
 transformarea între forma  
 cinetică și potențială, 170—173  
 Eötvös, R., 85, 417—418  
 Essen, L., 329  
 Eter, 332—333  
 Evadare, viteza de, 183—184  
 Excentricitatea (e), 305—310  
 Exces sferic, 28  
 Excitație internă, 142  
 Experiența lui Cavendish, 85, 416  
 Experimentele lui Michelson și Mor-  
 ley, 333—337  
 Fază, 227, 231—232  
 Factor de calitate, 245  
 Fermi, E., 35  
 Feynman, R. P., 25  
 Fictive, forțe, 133—136, 152

Fizeau, aparatul cu roată dințată  
 al lui, 327—328  
 Focalizare magnetică, 99—100  
 Forțate, oscilații armonice, 245,  
 251—257, 260—262  
 Forță (e)  
   de amortizare, 239—245, 251—  
   262  
   centrală, 85, 175—177, 210—  
   211, 292  
   centrifugă, 124, 134, 217—218  
   centripetă, 134, 151, 152, 280  
   conservativă, 173—175  
   de contact, 80, 105—109  
   lui Coulomb, 87, 292  
   lui Coriolis, 149—152  
   între două corpuri, 176  
   elastică, 170—171, 226—228,  
   259  
   electrică, 86—89, 90—94, 186—  
   188  
   electrostatică, 80, 86—89  
   și energia potențială, 177—179  
   externe, 198, 264  
   fictivă, 133—136, 152  
   de frecare, 105—107, 177, 239—  
   240, 275—276  
   gravitațională, 82—86, 127, 161—  
   163, 229, 274—276, 278, 292—  
   293  
   internă, 196—197, 210—211, 264  
   invers proporțională cu pătratul  
   distanței, 85, 292—316  
   în legea a doua a lui Newton,  
   78, 80, 124  
   Lorentz, 90—91, 176  
   magnetică, 58, 80, 89—90, 95—  
   97, 398—400  
   necentrală, 177  
   neutron-proton, 293  
   relativistă, 387—388  
   de rezistență, 206, 258—259  
   ascensională, 152  
   pe scară, 221  
   unități de, 78  
 Foton, 384  
   deflecția de către Soare, 31, 422—  
   423  
 Foucault, pendulul lui, 131, 135—  
 136  
 Frecare, 105—107, 177, 239—240  
 275—277  
   coeficient de, 107, 290



- Frecvență (e), 23, 65, 226—247  
     armonică, 250—251  
     ciclotronică, 98, 400  
     fundamentală, 251  
     de rotație, 95, 98, 400  
     impusă (a forței externe), 251—255  
     unghiulară, 65, 232—233  
     de vibrație, 315  
 Funcția energie, 166—167  
     exponențială, 72—73  
 Fundamentală, frecvență, 251  
     lungime, 301  
 g, 82—84  
     corecția centrifugală la valorile lui, 126  
 Galaxie, (i)  
     diametru, 219  
     energie gravitațională, 298  
     formă, 217—218  
     masă, 219  
     mișcarea în, 317  
     rotația, 343  
     viteză, 339—340  
 Galilean (ă) invariantă, 122, 137—143, 196  
     sistem de referință, 137—144  
     transformare, 137—143  
 Galileo Galilei, 129—130  
 Galle, J. G., 193  
 Gaură, neagră, 422, 427  
 Gauss, C. F., 28, 29, 192, 193  
 Gauss, unitatea de câmp magnetic, 90, 91  
 Găleata rotitoare, 131—132  
 Genetică, molecula ADN în, 24  
 Geodimetru, 381  
 Geometrie, 26—83  
     analitică, formule, 75  
     euclidiană, 26—32, 45  
 Ghidaj inerțial, 264  
 Gibbs, J. W., 35, 45  
 Giroscop, 264, 284—287  
 Gram, definiție, 81  
 Gravitație universală, 84—86  
 Gravitațional (ă),  
     câmp, 80, 82, 124  
         uniform, 82—84, 175,  
         deplasare spre roșu, 421—422  
         masă, 85, 416—422  
         a fotonilor, 419—422  
     potențial, 180—185, 293—302  
 Greenstein, J. L., 427  
 Grupul local, 127  
 Hadamard, J., 326  
 Hamiltonian, 167  
 Havens, W. W. Jr., 358  
 Hayes, T. L., 41  
 HCl (acid clorhidric), 315—316  
 Heaviside, O., 45  
 Heliu, 383  
 Hertz (unitate), 23, 233  
 HF (acid fluorhidric), 315—316  
 Hidrogen, arderea, 383  
 Hiperbolă, 75, 214, 305—306  
 Imponderabilitate, 135, 425  
 Impuls,  
     conservarea, 79, 102—105,  
         141—146, 196, 370—374  
     fotonului, 385  
     relativist, 370—374, 394—400  
     total pentru un sistem de particule, 196  
     transversal, 201  
 Impulsul forței, 159—160  
 Inductanța, 226, 234—236  
 Inertă, masă, 85, 416—419  
 Inerțial, sistem de referință, 122—141, 208, 331—333,  
 Inerție (v. Moment de inerție)  
 Intensitatea câmpului electric (E), 88—91  
 Integrală curbilinie, 175  
     de drum, 175  
 Interferometru, 333—336  
 Intern, momentul forței, 210—211, 264  
 Invariantă, 32, 70, 158  
     galileană, 140—141  
     Lorentz, 348  
     la rotații, 33, 215—216  
     la translații, 33  
     a vitezei luminii (c), 337  
 Invarianți, 65, 348, 377  
 Io, eclipsele lui, 323, 343  
 Ioni de mare viteză, 117—119  
 Ives, H. E., 363  
 Izotropia spațiului, 346  
 Imprăștiere, unghi de, 202—204  
 Joule, 161  
 Jupiter, eclipsarea lui Io de către  
 323, 343  
 Kilogram, definiția, 81  
 Klein, F., 264  
 Krotkov, R., 85, 419

- Laboratorul Național de la Brookhaven, 39
- Lagrangean, 167
- Lanțul în cădere, 207—208
- Larmor, J., 348
- Lawrence, E. O., 117—119
- LC, circuit, 234—236
- LCR, circuit, 236
- Lege (i)
- asociativă, 46
  - de conservare, 158—194, 196—224, 370—374
  - a lui Coulomb, 86—87
  - ale electrodinamicii, 24
  - fizice, 23—24
  - ale fizicii, 23—24, 140, 246
  - gravitației a lui Newton, 84—85
  - a lui Hooke, 170
  - ale lui Kepler, 213, 309—311
  - ale mecanicii clasice, 23
  - ale mecanicii cuantice, 23
  - newtoniene ale mișcării, 32, 78—80, 122, 416
  - a lui Stokes, 240
- Le Verrier, U. J. J., 193
- Limită, viteză, 340—342
- Livingston, M. S., 117—119
- Loar, H. H., 358
- Longitudinal (ă),
- acclerație, 92
  - efect Doppler, 363—364
- Looping-ul, 191
- Lorentz, transformare, 158, 346—362, 370—388
- Lucru mecanic, 70, 159, 162, 167—168, 173—177
- dimensiune, 163
  - și energia relativistă, 375
  - de-a lungul unui drum închis, 173—177
  - unități, 161
  - în unitatea de timp, 53
- Lumina,
- drumul curbat, al, 31—32, 422—423
- Soarelui, 385
  - viteza, 91, 322—342, 346—347
- Lungime
- contractia pe direcția vitezei relative, 349—350
  - gravitațională, 421
  - perpendiculară pe direcția vitezei relative, 352
  - proprie, 349
- în transformarea galileană, 137—140
- Magnetic,
- cîmp, 89—91, 94—96, 99—101, 118, 175, 398—400
  - și electric, cîmpuri încrucișate, 152—155
  - forță, 58, 89—91, 94—96, 99 101,
- Marea, pe Pămînt, 318
- Marte, 41, 42
- Masa, 78, 80, 81
- electronului, 91
  - fotonului, 419—423
  - gravitațională, 85, 416—420
  - inertă, 85, 416—420
  - Pămîntului, 22
  - protonului, 91
  - redușă, 312—315
  - relativistă, 374,
  - de repaus, 374, 377
  - nulă, 384—396
- Soarelui, 22
- unități, de, 81
- Masă — energie, echivalență, 381—384, 391
- Mașina lui Atwood, 104, 190
- Maxwell, J. C., 332
- Mărimea (modulul) unui vector, 44, 46, 51, 65—66
- McDonald, D. F., 323
- McMillan, E. M., 411
- McVitties, G. C., 339
- Mecanica clasică, 23
- cuantică, legile, 23, 167
  - statistică, 23
- Mediu dispersiv, 322
- refractiv, 321
- Mercur, orbita lui, 32, 424
- Metru, definiția, 81
- Mezoni,
- $\mu$ , 365
  - $\pi$ , 358
  - $\pi^+$ , 358
  - $\pi^0$ , 402
- Michelson, A. A., 327, 333, 343
- Mingea atârnată de sfoară, 222
- Mixt, produs vectorial, 57
- Mișcare armonică simplă, 236
- circulară, 63—65, 85—86, 95, 305—306
- Moleculă biatomică, 315



Moment cinetic ( $J$ ), 196, 208—220, 264—290, 313  
     în raport cu centrul de masă, 211—212, 267—268  
     conservarea, 33, 208—220  
     în sistemul solar, 219—220  
     de spin, 212  
     vectorul, 279—280  
 Momentul forței, 58, 70, 196, 208—212, 264—290  
     în raport cu centrul de masă, 276  
     datorat forței gravitaționale, 211  
     intern, 201—211  
     de rotație, 280, 284  
 Momentul de inerție, 266—271, 281  
     al barei, 260  
     al discului, 270  
     al inelului, 269  
     al plăcii, 270  
     al sferei, 271, 287  
     al triunghiului, 288  
 Morley, E. W., 333  
 Mulligan, J. F., 323  
 Neelastică, ciocnire, 103, 142—144  
 Neinertial, sistem de referință, 133—136  
 Neptun, descoperirea, 29, 193  
     momentul cinetic, 219—220  
 Neutrino, 346, 358, 365, 383  
 Newkirk, Gordon, 31  
 Newton, exemplul cu găleata  
     rotitoare, 131—132  
     pendulul, 417, 427  
 Newton (unitate), 78  
 Nivelele energetice ale pozitroniului, 314  
 Note matematice, 71—76, 114—116, 257—262  
 Nove, 344  
 Numere complexe, 260—262  
 Oglinda rotitoare a lui Foucault, 327—329  
 Orbite, circulare, 63—65, 85—86, 307—308  
     ecuația și excentricitatea, 302—310  
     ale planetelor, 310  
 Ordine ciclică (permutări), 57  
 Originea elementelor, 384  
 Oscilator, 226—262  
     amortizat, 241—245, 251—252  
     anarmonic, 249—251  
     armonic, 179, 226—262, 315

    absorbția puterii, 254—256  
     amortizat, 241—243, 251—256, 260  
     disiparea puterii, 243—245  
     energia, 227—231, 237—238, 243—244  
     forțat, 245—246, 251—256, 260—262  
     critic amortizat, 260  
     forțat, 245—246, 251—257, 260—262  
     ultraamortizat, 260  
 Parabolă, 75, 83, 305, 306, 309  
 Paradoxul gemenilor, 359—360  
 Paralaxa, 29, 33  
     stelelor, 343  
     trigonometrică, 29  
 Paralelipiped, volumul, 57, 69  
 Paralelogram, aria, 56  
 Parsec, 34, 310  
 Particule  
     accelerarea, 64  
     ciocnirea, 102—104  
     în corpul rigid, 264—265  
     elementare, 158, 287  
     în interacție, 196—197  
     încărcate  
         în câmp electric  
         constant, 91—93, 394—398  
         în câmp electric uniform  
         alternativ, 113—114  
         în câmp magnetic, 94—101, 398—400  
     cu masă de repaus, nulă, 384—386  
     orbita, 302—314  
     din razele cosmice, 389  
     timpul de viață, 358  
     viteza, 60  
 Pământul, centru de forțe, 85—86  
     date despre, 310  
     forma elipsoidală, 126  
     sistem de referință, 125—126  
     sistem de referință neinertial, 105—106, 135—136, 149—152, 417  
 Pătură sferică, energia potențială, 293—296  
 Pendul, 228—234  
     cu amplitudine mare, 251  
     compus, 277  
     efecte neliniare, 249—251,  
     Foucault, 135—136

- Newton, 417, 427  
 reversibil, 289  
 Pereche electron-pozitron, 314, 401  
 Periheliul lui Mercur, precesia, 32, 424  
 Perioadă, 65  
   a oscilatorului, 227—236  
   a planetelor, 310—311  
   a sateliților, 86  
 Perpetuum-mobile, 158  
 Perturbație, 250  
 Piazzi, G., 192—193  
 Pioni, 358, 402  
 Plan înclinat, 107, 273  
 Planete  
   descoperirea, 29, 192—193  
   momentul cinetic, 219—220, 264  
   orbitele, 310—311  
   legile lui Kepler, 213, 309—311  
   perioadele, 310—311  
 Pluton, descoperirea, 29  
 Potențial, 182—183  
   electrostatic, 180—183, 186—188  
   gravitațional, 180—181, 183—186, 292—297  
 Pound, R. V., 420  
 Pozitron, 314, 401  
 Pozitroniu, 314  
 Prag, energia de, 304, 401—405  
   a antiprotonului, 405—406  
 Precesia, giroscopului, 286  
   periheliului lui Mercur, 32, 424  
 Presiunea radiației, 385—386  
 Principale, axe, 282—283  
 Principiul,  
   lui Arhimede, 248  
   lui Mach, 132  
   superpoziției, 247  
 Problema,  
   unui corp (din problema  
   celor două corpuri), 311—316  
   celor două corpuri, 311—315  
   lui Kepler, 302—307  
 Produs mixt, 57  
   scalar, 49—54, 67, 68  
   vectorial, 55—59, 88—89, 94  
 Proiectil, 82—84, 185—186  
 Propriu, timp 352—359, 373  
 Proton, 87, 92, 99, 186—187, 405—406  
   în câmpuri electrice și magnetice  
   încrucișate, 152—153  
   ciocnindu-se de un nucleu greu,  
   214—215  
 Pseudoforță, 133  
 Psihologia invenției, 326  
 Pulsație, 232  
 Puncte de întoarcere, 179, 231  
 Putere, 188—189  
   absorbită, oscilatorul armonic,  
   246, 254—256, 262  
   disipată, oscilatorul armonic,  
   243—244  
 Rachetă (v. vehicul spațial), 223  
 Radiani, 34, 72  
   pe secundă, 63—64  
 Radiație, presiunea, 385—386  
 Raza  
   ciclotronică, 96, 400  
   electronului, 300—301  
   de rotație, 96, 99, 400  
   Pământului, 22  
   Universului, 22, 340  
 Raze gamma, 390—391, 401—404  
   reculul pe, 390—391  
 Răspuns liniar, 226, 247  
 Reacții, chimice, 114  
   nucleare, 381—384  
 Rebka, G. A. Jr, 420  
 Redusă, masa, 312—315  
 Referință, sistem de, 122—155  
   accelerat, 122—124, 133—136  
   al centrului de masă, 144, 200  
   401  
   galilean, 126, 131, 137—143  
   inercial, 122—131  
   neinercial, 133—136  
   în rotație, 134, 149—152  
   transformarea, 137—141, 346—  
   348  
 Regula  
   paralelogramului, 46  
   burghiului (drept), 55  
 Relativist (ă),  
   acelerație, 394—400  
   ciclotron, 398—400  
   dinamică, 370—411  
   energie, 375—378  
   impuls, 370—375  
   masă, 374—375  
 Relativitate  
   teoria generală, 32, 416—425  
   teoria restrânsă, 23, 137, 139,  
   346—425  
 Repaus, masă de, 374—375



- Resort, 171, 226—228  
     comprimat, 381  
 Restituire, coeficient de, 222  
 Reversibil, pendul, 289  
 Rezistență, 236  
     forță de, 258  
 Rezonanță, 246, 255, 262  
 Roemer O., 323  
 Roll, P. G., 85, 419  
 Rostogolire fără alunecare, 273—276  
 rotație  
     în raport cu axe fixe, 279  
     a corpului rigid, 264—290  
     energia cinetică de, 265, 267, 274  
     finită, 48  
     a galaxiilor, 343  
     invariantă, la, 215—216  
 Sachs, M., 358  
 Sadeh, D., 362  
 Sarcina  
     constanță, 388  
     electrică, 86—87  
     elementară, 87  
 Sateliți,  
     decelerația, 205  
     momentul cinetic, 220  
     pe orbită, 85—86, 190  
     perioada, 85—86  
     viteza, 205  
 Scalar, 46  
     cîmp, 66  
     multiplicarea cu, 46  
 Scară, forțe pe, 221  
 Schiff, L. I., 422  
 Schimbarea unghiului în relativitatea restrînsă, 365  
 Schwarzschild, K., 29  
 Secunda, definiție, 81  
 Secțiune conică, 305  
 Selector, de viteze, 153  
 Semi-axa mare și semi-axa mică a elipsei, 307, 309  
 Serie, dezvoltare în, 73  
 Serpukhov (accelerator), 39, 400  
 Sferă, energia proprie gravitațională, 298—300  
 Shapiro, I. I., 423  
 Simetrie, 158, 281  
 Simplu, pendul, 228—230  
 Simultaneitate, 349—351  
 Sincronizare, 354—357  
 Sincrotron, 412—413  
 Sinuși, teorema, 58  
 Sirius, 33  
 Sistem (e) de coordonate, 46, 55, 75, 137—139, 335  
     cartezian, 51, 55  
     drept, 55  
     în rotație, 122—128, 134, 149—152, 282  
 Sistem cu masă variabilă, 205—207  
 Sisteme de referință, 122—142, 335  
     accelerate, 122, 133—135  
     galileene, 137—143  
     inerțiale, 122—130, 331—333  
     relativiste, 346—365, 370—373  
 Sistemul centrului de masă, 144, 198—204  
 Sistemul Internațional de Unități, SI, 87—91, 182—183  
 Sistemul solar, momentul cinetic, 219—220  
 Soare  
     deflecția fotonilor, 31, 422—423  
     energia, 300, 383  
 Solară, energie, 300  
 Sommerfeld, A., 264  
 Spațiu, proprietățile, 26—29, 32, 33, 129, 346  
 Spectrometrul de masă, 191  
 Spin, 212  
 Stabil, echilibru, 236  
 Stabilizare giroscopică, 287  
 Stare staționară, oscilatorul armonic, 245, 251  
 Statcoulomb, 87, 91  
 Statvolt, 89, 91, 92, 182  
 Stelară, energie, 300  
     paralaxă, 343  
 Stele, duble, 318  
     fixe, 127—129  
     nove, 300, 344  
     pitice, albe, 422  
     rotația, 344  
     variabile, 343  
 Stilwell, G. R., 363  
 Suprafețe echipotențiale, 301, 302  
 Suprapunere, 226, 247  
 Sunet, deplasare Doppler, 337, 367  
 Taylor, J. H., 351  
 Tensiunea în fir, 104, 273  
 Tensor, 45  
 Teorema  
     axelor perpendiculare, 268  
     cosinusului, 52  
     lui de Moivre, 73, 260

- lui Pitagora, 26, 27, 230
- sinusului, 58
- lui Steiner (axelor paralele), 266—267
- Teoria, lui Bohr a atomului de hidrogen, 388
- „big-bang“, 338
- Tesla, N., 89
- Tesla (unitate), 89
- Testele relativității generale, 424
- Timp,
  - dilatare, 352—359
  - propriu, 352—359, 373
  - de relaxare, 239, 249
  - de viață a particulelor, 358
- Titirez, 264, 284—287
- Toricelli, E., 333
- Transformarea, forței, 387—388
- galileeană, 137—143
- a impulsului și energiei, 378—379, 385
- Lorentz, 364—362
- masă-energie, 381—384, 391
- vitezei de variație a impulsului, 387—388
- vitezelor
  - nerelativistă, 140—141
  - relativistă, 359—362
- Transversal, efect Doppler, 364
- Triunghi sferic, 27—28, 34
- Ultracentrifugă, 122—124
- Unde electromagnetice, 52
- gravitaționale, 425
- Unghiulară, accelerație, 216
- frecvență, 65, 232—233
- viteză, 64—65, 265—287
- a Pământului, 86
- Unghiuri, 72
- Unitate, astronomică, (UA), 310
- atomică de masă (u.a.m) 82
- Unități, 80—81, 86—91
- CGS, 80—81, 86—91
- gaussiene, 86—89
- SI
  - electrice, 87
  - mecanice, 78, 88
- Univers
  - masa, 22
  - raza, 22, 33, 340
  - vârsta, 34, 340
- Uranus, 193, 310—311
- Variabile, stele, 343
- Vector (i), 44—68, 76
  - accelerația, 63—65
  - adunarea, 46, 69
  - componente; 51, 68
  - derivate, 59—65, 155
  - identități, 76
  - mărime (modul), 50
  - notație, 44—45
  - (de) poziție, 59—60
  - produs scalar, 49—54, 67, 68
  - mixt, 57
  - vectorial, 55—59, 88—89, 94
  - scădere, 47
  - unitate, 45, 51, 60—61, 67
- Vehicul spațial, 206—207
- Veksler, V. 411
- Venus (planeta), 423
- Versor (v. vector unitate)
  - derivatele, 61—62
- Viață, 22
- Vibrația moleculelor, 315—316
- Viscozitate, 240, 248—249
- Viteză, 44, 58, 60—62, 69, 70, 103—104, 110
  - absolută și relativă, 137
  - de evadare, 183—184, 317
  - de îndepărtare a galaxiei, 366
  - limită, 241, 258—259
  - a luminii (c), 322—342
  - în medii vâscoase, 240
  - a Pământului, 332—337
  - în sisteme în rotație, 149—152
  - unghiulară, 64, 72, 265
- Vârsta Universului, 34, 340
- Volt, 89, 91, 182
- Volumul, paralelipipedului, 57
- Watt, 189
- Weber, J., 425
- Weber, W, E., 89
- Weber/m<sup>2</sup>, 89
- Weisskopf, V. F., 351
- Wheeler, J. A., 351
- Zbor la întîmplare, 70
- Zeeman, P., 56
- Zeroul energiei potențiale, 162—163, 170, 177, 180—181









Lei 21,30

EDITURA DIDACTICĂ ȘI PEDAGOGICĂ-BUCUREȘTI

